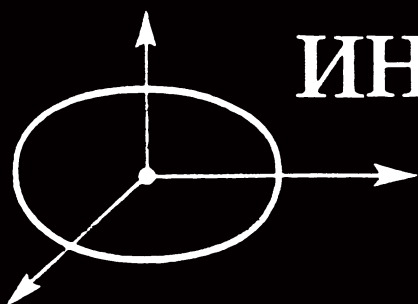


Моменты *М.В. Фаворин*



инерции
ТЕЛ

Справочник

М. В. Фаворин

МОМЕНТЫ ИНЕРЦИИ ТЕЛ

Справочник

Издание второе,
переработанное и дополненное

*Под редакцией заслуженного деятеля науки
и техники РСФСР д-ра техн. наук проф. М. М. ГЕРНЕТА*



МОСКВА
«МАШИНОСТРОЕНИЕ»
1977

6П5.1

Ф13

УДК 531.23 (031)

Фаворин М. В.

Ф13 Моменты инерции тел. Справочник. Под ред. М. М. Гернета. Изд. 2-е, перераб. и доп. М., «Машиностроение», 1977.

511 с. с ил.

В справочнике систематизированы краткие теоретические сведения о статических моментах, центре масс, моментах инерции относительно осей и плоскостей, об эллипсоиде инерции, центробежных моментах и главных осях инерции тела и т. п. Изложена методика расчета инерционных характеристик сложных механических систем.

Приведены расчетные формулы и таблицы для вычисления объемов, поверхностей, координат центра масс и моментов инерции более чем для 700 различных тел. Общие аналитические формулы характеристик геометрии масс представлены в форме, удобной для проведения расчетов на ЭВМ.

Второе издание справочника дополнено решениями задач по геометрии масс, часто встречающихся при проектировании и конструировании машин и механизмов.

Справочник предназначен для инженерно-технических работников конструкторских и проектных отделов.

Ф $\frac{30100-606}{038(01)-77}$ БЗ-1-8-1977

6П5.1

© Издательство «Машиностроение», 1977 г.

ОГЛАВЛЕНИЕ

Предисловие редактора ко второму изданию	5
Предметно-иллюстрированное оглавление	7
Принятые обозначения	54
Характеристики геометрии масс	55
Некоторые сведения из геометрии масс	55
Основные понятия	55
Статические моменты и моменты инерции	
тела в прямоугольной системе координат	57
Статические моменты и моменты инерции тела при параллельном	
переносе и повороте системы координат	61
Центр тяжести. Центр масс тела	74
Моменты инерции тела относительно оси и плоскости	76
Эллипсоид инерции, тензор инерции. Главные оси и главные мо-	
менты инерции. Центробежные моменты инерции. Шаровые точки	81
Расчет характеристик геометрии масс сложных тел	88
Вычисление массы, положения центра масс и центральных мо-	
ментов инерции сложных тел	88
Определение направлений главных осей инерции и вычисление	
главных моментов инерции сложных тел	106
Приближенный расчет характеристик геометрии масс сложных тел	
вращения	121
Справочные таблицы	126
1. Элементы оживального тора	133
Элементы объема	133
Элементы поверхности	141
2. Элементы параболического тороида и тора	145
Элементы объема тороида	145
Элементы объема тора	148
Элементы поверхности	153
3. Элементы эллиптического тороида и тора	158
Элементы объема тороида	158
Элементы объема тора	163
Комбинированные элементы объема	171
4. Элементы кругового тороида и тора	175
Элементы объема тороида	175
Элементы объема тора	184
Комбинированные элементы объема	216
Элементы поверхности	225
Комбинированные элементы поверхности	236
5. Элементы оживала	247
Элементы объема	247
Элементы поверхности	257
6. Элементы параболоида вращения	265
Элементы объема	265
Элементы поверхности	267

7. Элементы эллипсоида вращения	270
Элементы объема	270
Комбинированные элементы объема	275
Элементы поверхности	278
8. Элементы шара	285
Элементы объема	285
Комбинированные элементы объема	301
Элементы поверхности	313
Комбинированные элементы поверхности	321
9. Элементы кругового усеченного конуса	326
Элементы объема	336
Комбинированные элементы поверхности	348
10. Элементы оживального, параболического и эллиптического цилиндров	354
Элементы объема оживального цилиндра	354
Элементы объема параболического цилиндра	361
Элементы объема эллиптического цилиндра	366
11. Элементы кругового цилиндра	372
Элементы объема	372
Комбинированные элементы объема	396
Комбинированные элементы поверхности	406
12. Элементы кругового конуса	413
Элементы объема	413
Комбинированные элементы поверхности	418
13. Балки, плиты, профили толстостенные	423
14. Профили, коробки тонкостенные	461
Приложение	476

ПРЕДИСЛОВИЕ РЕДАКТОРА КО ВТОРОМУ ИЗДАНИЮ

Перед инженерами, проектирующими различные механические системы (механизмы, машины, самолеты, космические корабли и др.) возникают задачи, для решения которых необходимо иметь точные сведения о распределении массы в конструируемой механической системе. К таким задачам относятся уравнивание роторов, уравнивание машин на фундаменте, определение статической устойчивости и устойчивости движения, управление летательными аппаратами, их ориентировка в пространстве, стабилизация на траектории и др.

Чтобы охарактеризовать распределение массы в каком-либо теле, его мысленно разбивают на n материальных частиц, из которых каждая обладает массой m_i и имеет координаты x_i , y_i и z_i . Затем вычисляют суммы вида]

$$\sum_{i=1}^{i=n} m_i f(x_i, y_i, z_i),$$

распространенные на все материальные частицы, принадлежащие данному телу. Так определяют массу тела, статические моменты масс, координаты центра масс и (если функция f является целой функцией второй степени относительно координат) момент инерции тела.

Современные машины, механизмы, корабли и прочие механические системы состоят из большого количества частей (деталей), имеющих обычно сложную форму. Поэтому при расчете все сборочные единицы (узлы, отсеки и т. п.) и почти каждую отдельную деталь приходится рассматривать как состоящую из нескольких более простых тел.

Все необходимые сведения более чем о 700 тел простой формы, могущих служить элементами, составляющими конструируемую деталь, приведены в справочнике, достоинство которого заключается не только в обилии помещенного в нем материала, но и в удобстве пользования, в удачной классификации и систематизации, позволившей свести весь справочный материал в единообразные таблицы.

Автор разработал удобную и стройную методику вычисления моментов инерции сложных тел. Почти весь обширный материал, публикуемый в справочных таблицах, впервые получен М. В. Фавориным.

Во второе издание справочника внесены существенные дополнения и изменения, проведена некоторая перегруппировка материала. Предметно-иллюстрированное оглавление помещено в начале книги, а функции его несколько расширены: оно предназначено теперь не только для указания местонахождения искомым данным, но и содержит часть справочного материала.

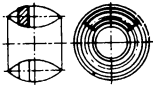
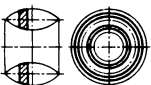
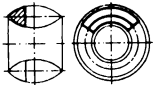
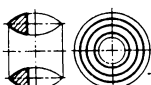
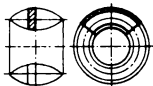
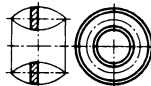
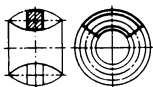
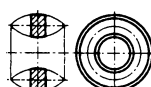
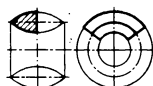
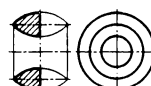
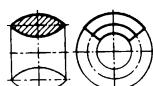

Основной общий элемент каждой группы тел во втором издании выделен с большим количеством изменяемых параметров, что позволило увеличить информативность справочника и привести расчетные формулы в более обобщенном виде.

Значительно расширена глава об определении главных направлений и вычислении главных моментов инерции сложных тел, для чего автор разработал и представил в виде таблицы подробную методику.

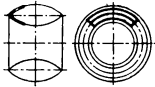
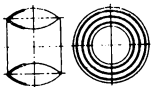
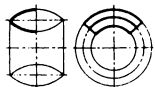
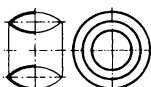
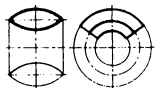
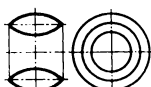
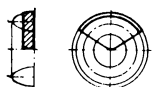
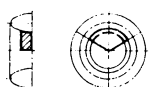


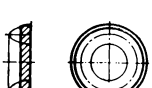



Вычисление моментов инерции и других охваченных справочником величин не требует глубоких математических познаний. Процесс вычисления почти трафаретный, но очень кропотливый и требует от вычислителя большого внимания и аккуратности. Чтобы устранить возможность ошибок при пользовании справочником, в текстовой его части и при решении многочисленных примеров допущены подробности, иногда, быть может, излишние, но не нарушающие научной строгости.

Проф. М. М. ГЕРНЕТ


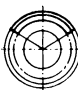

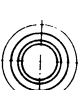



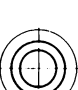




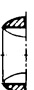


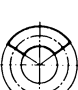










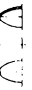

ПРЕДМЕТНО-ИЛЛЮСТРИРОВАННОЕ ОГЛАВЛЕНИЕ

Эскиз элемента	Стра- ница	Номер элемента	Эскиз элемента	Стра- ница	Номер элемента
ЭЛЕМЕНТЫ ОЖИВАЛЬНОГО ТОРА Элементы объема					
	133	1		136	2
	133	При $\frac{1}{H} = h$		138	3
	133	При $\frac{1}{H} = d$		139	4
	133	При $H = d + \frac{h}{2}$		139	5
	133	При $\frac{1}{H} = \frac{1}{h} = \frac{1}{d}$		140	6
	133	При $H = \frac{1}{h} = 2d$		140	7

Продолжение

Эскиз элемента	Страница	Номер элемента	Эскиз элемента	Страница	Номер элемента
Элементы поверхности					
	141	8		143	11
	142	9		144	12
	143	10		144	13
ЭЛЕМЕНТЫ ПАРАБОЛИЧЕСКОГО ТОРОИДА И ТОРА					
Элементы объема тороида					
	145	14, а		145	14, б
	145	14, а При $r = 0$		145	14, б При $r = 0$
	145	14, а При $\varphi = \pi$		145	14, б При $\varphi = \pi$
	147	15, а		147	15, б

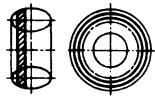
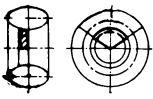
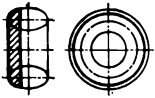
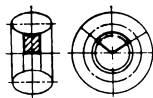
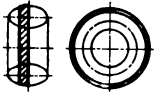
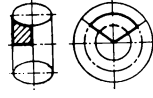
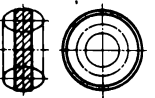
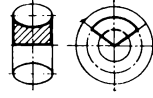
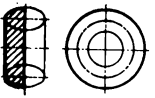
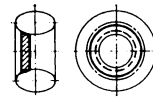
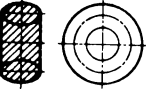
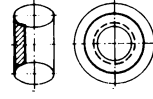
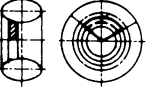
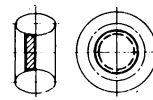
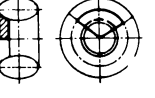
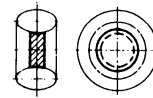
Продолжение

Эскиз элемента	Стра- ница	Номер элемента	Эскиз элемента	Стра- ница	Номер элемента		
Элементы объема тора							
		148	16, а			148	16, б При $\varphi = 0$
		148	16, а При $r = 0$			150	17, б
		148	16, а При $\varphi = \pi$			151	18
		150	17, а			151	18 При $r = 0$
		148	16, б			151	18 При $\varphi = 0$
		148	16, б При $r = 0$			152	19
Элементы поверхности							
		153	20, а			153	20, а При $h = H$

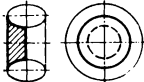
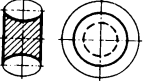
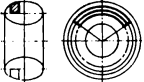
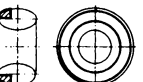

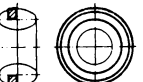
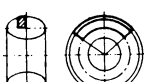
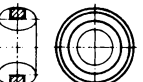

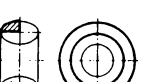


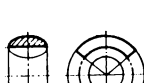
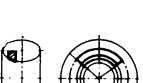


Продолжение

Эскиз элемента	Страница	Номер элемента	Эскиз элемента	Страница	Номер элемента
	153	20, а При $\varphi = \pi$		153	20, б При $\varphi = \pi$
	155	21, а		155	21, б
	153	20, б		156	22
	153	20, б При $h = H$		157	23
<p>ЭЛЕМЕНТЫ ЭЛЛИПТИЧЕСКОГО ТОРОИДА И ТОРА</p> <p>Элементы объема тороида</p>					
	158	24, а		158	24, а При $H = \frac{h}{2}$ $= a + \frac{h}{2}$
	158	24, а При $H = h$		158	24, а При $H = h \Rightarrow a$
	158	24, а При $H = a$		158	24, а При $H = h = 2a$

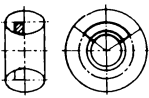
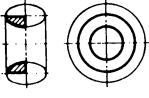
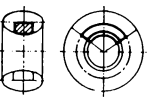
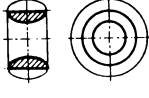
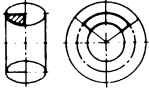
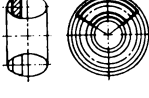
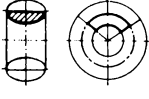
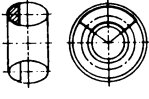
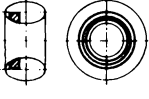
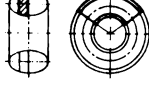
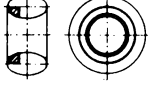

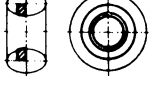
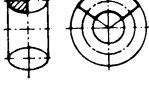
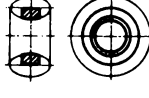
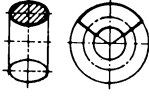
Продолжение

Эскиз элемента	Страница	Номер элемента	Эскиз элемента	Страница	Номер элемента
	161	25, а		158	24, б При $H = a$
	161	25, а При $H = h$		158	24, б При $H = a + \frac{h}{2}$
	161	25, а При $H = a$		158	24, б При $H = h = a$
	161	25, а При $H = a + \frac{h}{2}$		158	24, б При $H = h = 2a$
	161	25, а При $H = h = a$		161	25, б
	161	25, а При $H = h = 2a$		161	25, б При $H = h$
	158	24, б		161	25, б При $H = a$
	158	24, б При $H = h$		161	25, б При $H = a + \frac{h}{2}$

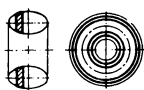
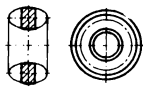
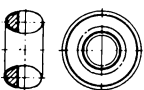
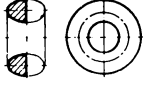
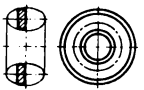
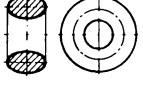
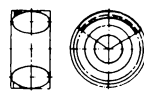
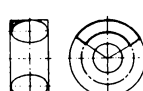
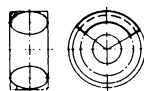
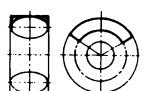
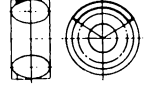
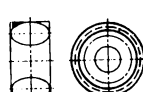
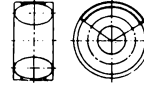
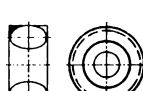
Продолжение

Эскиз элемента	Стра- ница	Номер элемента	Эскиз элемента	Стра- ница	Номер элемента
	161	25, б При $H = h = a$		161	25, б При $H = h = 2a$
Элементы объема тора					
	163	26, а		165	27, а При $H = h$
	163	26, а При $H = h$		165	27, а При $H = a$
	163	26, а При $H = a$		165	27, а При $H = a + \frac{h}{2}$
	163	26, а При $H = a + \frac{h}{2}$		165	27, а При $H = a$
	163	26, а При $H = h = a$		165	27, а При $H = h = 2a$
	163	26, а При $H = h = 2a$		163	26, б
	165	27, а		163	26, б При $H = h$

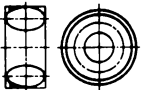
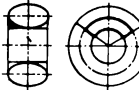
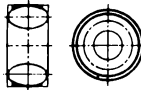
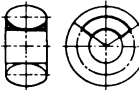
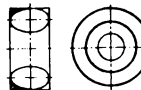
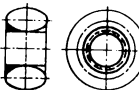
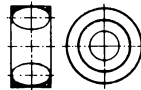
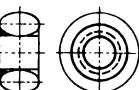
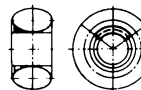
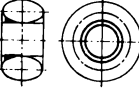
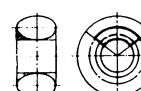
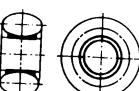
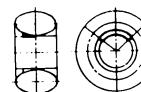
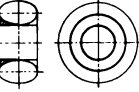
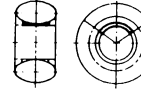
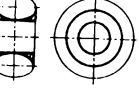
Продолжение

Эскиз элемента	Стра- ница	Номер элемента	Эскиз элемента	Стра- ница	Номер элемента
	163	26, а При $H = a$		165	27, б При $H = h = a$
	163	26, б При $H =$ $= a + \frac{h}{2}$		165	27, б При $H = h = 2a$
	163	26, б При $H = h = a$		167	28
	163	26, б При $H = h = 2a$		167	28 При $H = h$
	165	27, б		167	28 При $H = a$
	165	27, б При $H = h$		167	28 При $H =$ $= a + \frac{h}{2}$
	165	27, б При $H = a$		167	28 При $H = h = a$
	165	27, б При $H =$ $= a + \frac{h}{2}$		167	28 При $H = h = 2a$

Продолжение

Эскиз элемента	Стра- ница	Номер элемента	Эскиз элемента	Стра- ница	Номер элемента
	169	29		169	29 При $H = a + \frac{h}{2}$
	169	29 При $H = h$		169	29 При $H = h = a$
	169	29 При $H = a$		169	29 При $H = h = 2a$
Комбинированные элементы объема					
	171	30, а		171	30, а При $H = h = a$
	171	30, а При $H = h$		171	30, а При $H = h = 2a$
	171	30, а При $H = a$		173	31, а
	171	30, а При $H = a + \frac{h}{2}$		173	31, а При $H = h$

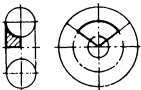
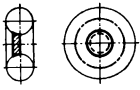
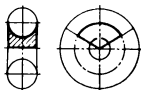
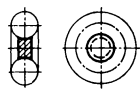
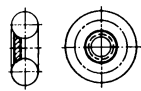
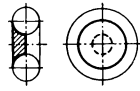
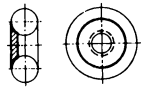
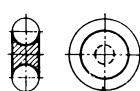
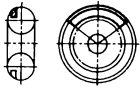
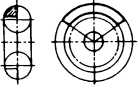
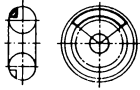
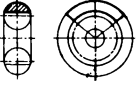
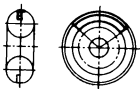
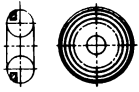
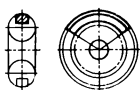
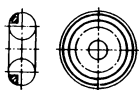
Продолжение

Эскиз элемента	Страница	Номер элемента	Эскиз элемента	Страница	Номер элемента
	173	31, а При $H = a$		171	30, б При $H = h = a$
	173	31, а При $H = a + \frac{h}{2}$		171	30, б При $H = h = 2a$
	173	31, а При $H = h = a$		173	31, б
	173	31, а При $H = h = 2a$		173	31, б При $H = h$
	171	30, б		173	31, б При $H = a$
	171	30, б При $H = h$		173	31, б При $H = \frac{h}{2} = a + \frac{h}{2}$
	171	30, б При $H = a$		173	31, б При $H = h = a$
	171	30, б При $H = \frac{h}{2} = a + \frac{h}{2}$		173	31, б При $H = h = 2a$

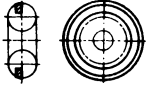
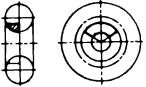
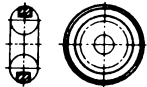
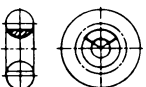
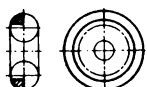
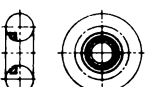
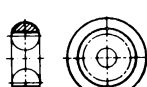
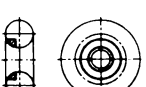

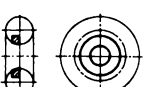






Продолжение

Эскиз элемента	Стра- ница	Номер элемента	Эскиз элемента	Стра- ница	Номер элемента
ЭЛЕМЕНТЫ КРУГОВОГО ТОРОИДА И ТОРА Элементы объема тороида					
	175	32, а		180	35, а
	175	32, а При $H = h$		181	36, а
	175	32, а При $H = r$		182	37, а
	175	32, а При $H = \frac{h}{2}$ $= r + \frac{h}{2}$		183	38, а
	175	32, а При $H = h = r$		175	32, б
	175	32, а При $H = h = 2r$		175	32, б При $H = h$
	177	33, а		175	32, б При $H = r$
	179	34, а		175	32, б При $H = \frac{h}{2}$ $= r + \frac{h}{2}$

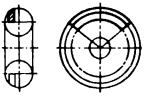
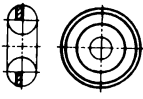
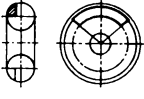
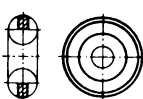
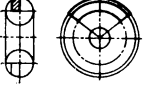
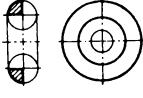
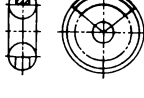
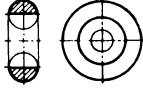
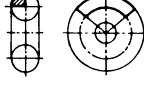
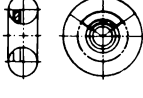
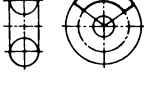
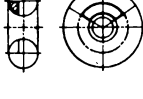
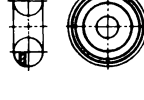
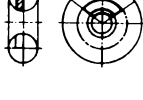


Продолжение

Эскиз элемента	Страница	Номер элемента	Эскиз элемента	Страница	Номер элемента
	175	32, б При $H = h = r$		180	35, б
	175	32, б При $H = h = 2r$		181	36, б
	177	33, б		182	37, б
	179	34, б		183	38, б
Элементы объема тора					
	184	39, а		184	39, а При $H = h = r$
	184	39, а При $H = h$		184	39, а При $H = h = 2r$
	184	39, а При $H = r$		187	40, а
	184	39, а При $H = r + \frac{h}{2}$		189	41, а

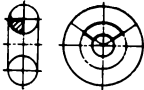
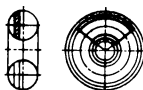
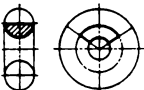
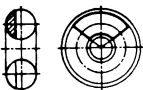
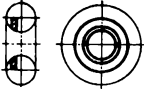
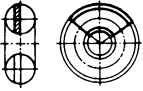
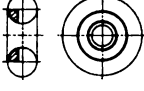

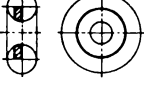
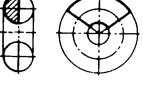
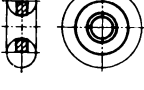
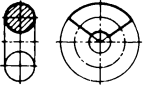
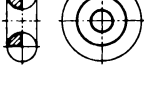
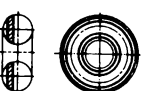
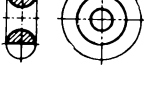
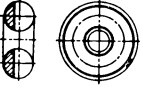
Продолжение

Эскиз элемента	Страница	Номер элемента	Эскиз элемента	Страница	Номер элемента
	190	42, а		184	39, б При $H = h = r$
	191	43, а		184	39, б При $H = h = 2r$
	192	44, а		187	40, б
	193	45, а		189	41, б
	184	39, б		190	42, б
	184	39, б При $H = h$		191	43, б
	184	39, б При $H = r$		192	44, б
	184	39, б При $H = \frac{h}{2} = r + \frac{h}{2}$		193	45, б

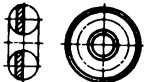

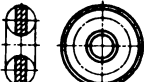
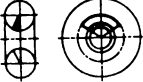
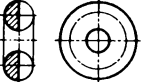
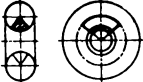
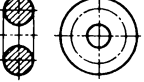

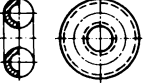
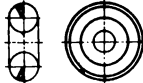

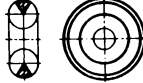

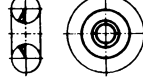
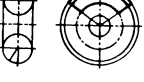
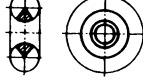
Продолжение

Эскиз элемента	Стра- ница	Номер элемента	Эскиз элемента	Стра- ница	Номер элемента
	194	46, а		199	49, а
	194	46, а При $H = h$		200	50, а
	194	46, а При $H = r$		201	51, а
	194	46, а При $H = r + \frac{h}{2}$		202	52, а
	194	46, а При $H = h = r$		194	46, б
	194	46, а При $H = h = 2r$		194	46, б При $H = h$
	196	47, а		194	46, б При $H = r$
	198	48, а		194	46, б При $H = r + \frac{h}{2}$

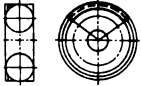
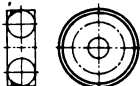
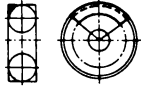
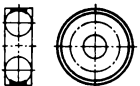
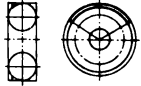
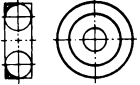

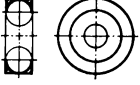
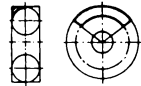
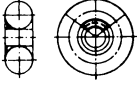
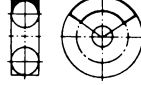
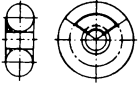

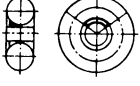
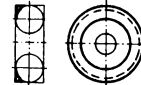
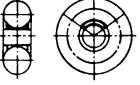
Продолжение

Эскиз элемента	Стра- ница	Номер элемента	Эскиз элемента	Стра- ница	Номер элемента
	194	46, 6 При $H = h = r$		203	53
	194	46, 6 При $H = h = 2r$		203	53 При $H = h$
	196	47, 6		203	53 При $II = r$
	198	48, 6		203	53 При $H = r + \frac{h}{2}$
	199	49, 6		203	53 При $H = h = r$
	200	50, 6		203	53 При $H = h = 2r$
	201	51, 6		205	54
	202	52, 6		207	55

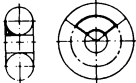
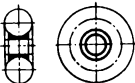
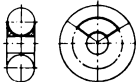

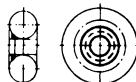

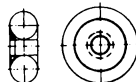
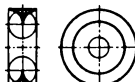
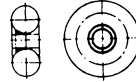
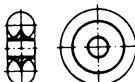
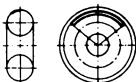
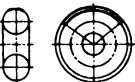
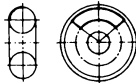
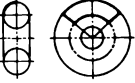
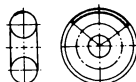
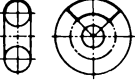
Продолжение

Эскиз элемента	Стра- ница	Номер элемента	Эскиз элемента	Стра- ница	Номер элемента
	208	56		212	При $\beta = -\gamma$
	209	57		212	При $\gamma = \pi$
	210	58		212	При $\gamma = \pi - \beta$
	210	59		213	63
	211	60		214	64
	211	61		214	65
	212	62		215	66
	212	При $\beta = 0$		215	67

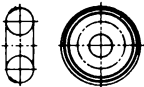
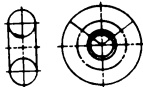
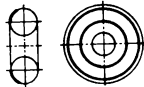
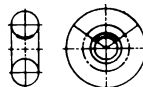
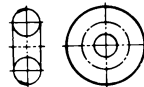
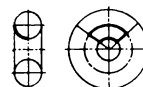
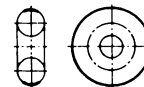
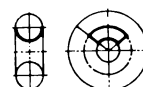
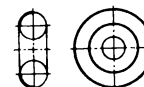
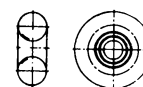
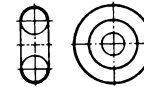
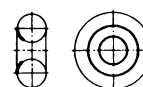
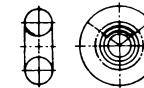
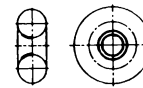
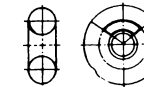
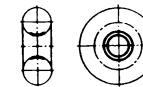
Продолжение

Эскиз элемента	Страница	Номер элемента	Эскиз элемента	Страница	Номер элемента
Комбинированные элементы объема					
	216	68, а		220	71, а
	216	68, а При $H = h$		221	72, а
	216	68, а При $H = r$		222	73, а
	216	68, а При $H = r + \frac{h}{2}$		223	74, а
	216	68, а При $H = h = r$		216	68, б
	216	68, а При $H = h = 2r$		216	68, б При $H = h$
	218	69, а		216	68, б При $H = r$
	219	70, а		216	68, б При $H = r + \frac{h}{2}$

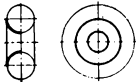
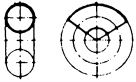
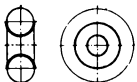
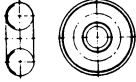
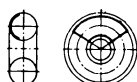
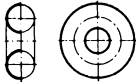
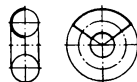
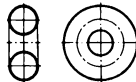
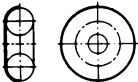
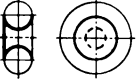
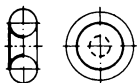
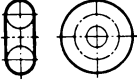
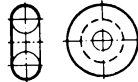
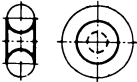
Продолжение

Эскиз элемента	Стр.- ница	Номер элемента	Эскиз элемента	Стр.- ница	Номер элемента
	216	68, б При $H = h = r$		221	72, б
	216	68, б При $H = h = 2r$		222	73, б
	218	69, б		223	74, б
	219	70, б		224	75, а
	220	71, б		224	75, б
Элементы поверхности					
	225	76, а		225	76, а При $H = h = r + \frac{h}{2}$
	225	76, а При $H = h$		225	76, а При $H = h = r$
	225	76, а При $H = r$		225	76, а При $H = h = 2r$

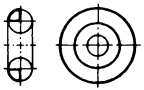
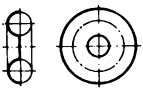
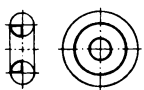
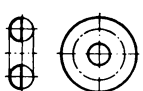
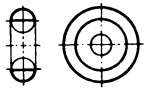
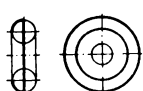
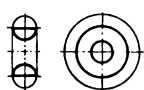
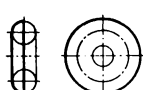
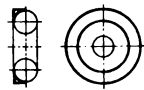
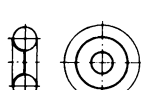
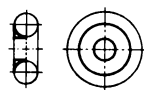

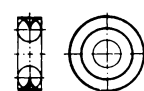
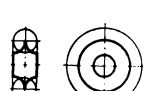
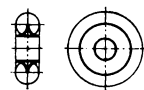
Продолжение

Эскиз элемента	Страница	Номер элемента	Эскиз элемента	Страница	Номер элемента
	226	77, а		225	76, б При $H = r$
	227	78, а		225	76, б При $H = r + \frac{h}{2}$
	228	79, а		225	76, б При $H = h = r$
	229	80, а		225	76, б При $H = h = 2r$
	230	81, а		226	77, б
	231	82, а		227	78, б
	225	76, б		228	79, б
	225	76, б При $H = h$		229	80, б















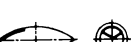









Продолжение

Эскиз элемента	Стр- ница	Номер элемента	Эскиз элемента	Стр- ница	Номер элемента
	230	81, б		234	85
	231	82, б		234	86
	232	83		235	87
	233	84		235	88
Комбинированные элементы поверхности					
	236	89, а		237	90, б
	236	89, б		238	91, а
	237	90, а		238	91, б







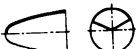
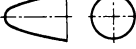
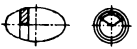
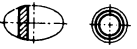
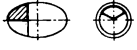
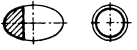

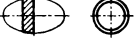

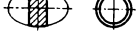
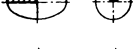



Продолжение

Эскиз элемента	Стра- ница	Номер элемента	Эскиз элемента	Стра- ница	Номер элемента
	239	92, а		243	96
	239	92, б		243	97
	240	93, а		244	98
	240	93, б		244	99
	241	94, а		245	100
	241	94, б		245	101
	242	95, а		246	102
	242	95, б			

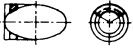
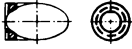
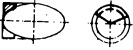

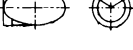
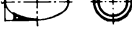







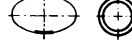
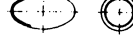
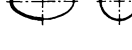
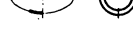

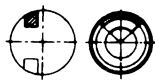
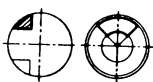
Продолжение

Эскиз элемента	Стра- ница	Номер элемента	Эскиз элемента	Стра- ница	Номер элемента
ЭЛЕМЕНТЫ ОЖИВАЛА					
Элементы объема					
	247	103		250	104
	247	103 При $H = h$		252	105
	247	103 При $H = d$		253	106
	247	103 При $H = \frac{h}{2} = d + \frac{h}{2}$		254	107
	247	103 При $H = h = d$		255	108
	247	103 При $H = h = 2d$		256	109
Элементы поверхности					
	257	110		259	111
	257	110 При $H = h$		260	112
	257	110 При $H = d$		261	113
	257	110 При $H = \frac{h}{2} = d + \frac{h}{2}$		262	114
	257	110 При $H = h = d$		263	115
	257	110 При $H = h = 2d$		264	116

Продолжение

Эскиз элемента	Стра- ница	Номер элемента	Эскиз элемента	Стра- ница	Номер элемента
ЭЛЕМЕНТЫ ПАРАБОЛОИДА ВРАЩЕНИЯ					
Элементы объема					
	265	117		266	119
	265	118		266	120
Элементы поверхности					
	267	121		269	123
	268	122		269	124
ЭЛЕМЕНТЫ ЭЛЛИПСОИДА ВРАЩЕНИЯ					
Элементы объема					
	270	125		272	126
	270	125 При $H = h$		273	127
	270	125 При $H = a$		273	128
	270	125 При $H = \frac{h}{2}$ $= a + \frac{h}{2}$		274	129
	270	125 При $H = h = a$		274	130
	270	125 При $H = h = 2a$		275	131

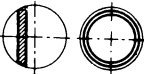
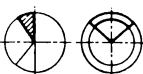
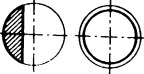
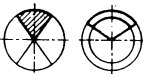
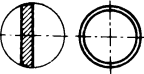
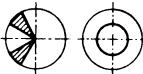
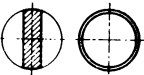
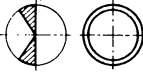
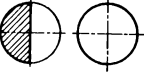
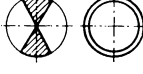
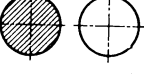
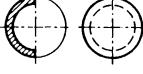


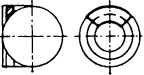

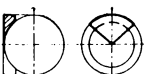

Продолжение

Эскиз элемента	Страница	Номер элемента	Эскиз элемента	Страница	Номер элемента
Комбинированные элементы объема					
	275	132		277	133
	275	132 При $H = h$		277	133 При $H = h$
	275	132 При $H = a$		277	133 При $H = a$
	275	132 При $H = \frac{h}{2} = a + \frac{h}{2}$		277	133 При $H = \frac{h}{2} = a + \frac{h}{2}$
	275	132 При $H = h = a$		277	133 При $H = h = a$
	275	132 При $H = h = 2a$		277	133 При $H = h = 2a$
Элементы поверхности					
	278	134		282	137
	280	135		283	138
	281	136		284	139
ЭЛЕМЕНТЫ ШАРА					
Элементы объема					
	285	140		285	140 При $H = h$

Продолжение

Эскиз элемента	Страница	Номер элемента	Эскиз элемента	Страница	Номер элемента
	285	140 При $H = d$		288	142
	285	140 При $H = d + \frac{h}{2}$		288	143
	285	140 При $H = h = d$		289	144
	285	140 При $H = h = 2d$		289	144 При $H = h$
	287	141		289	144 При $H = r$
	287	141 При $H = h$		289	144 При $H = r + \frac{h}{2}$
	287	141 При $H = d$		291	145
	287	141 При $H = d + \frac{h}{2}$		291	146

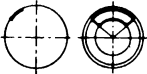
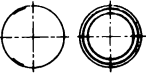
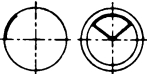
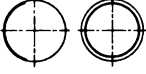
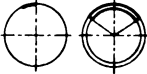

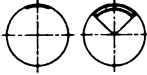
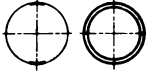
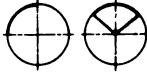
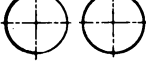


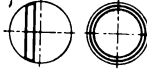

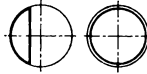
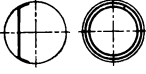
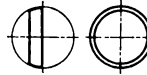

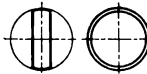
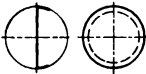
Продолжение

Эскиз элемента	Стра- ница	Номер элемента	Эскиз элемента	Стра- ница	Номер элемента
	292	147		297	154
	293	148		298	155
	293	149		298	156
	294	150		299	157
	294	151		299	158
	295	152		300	159
	295	153		300	160
Комбинированные элементы объема					
	301	161		301	¹⁶¹ При $H = r$
	301	¹⁶¹ При $H = h$		301	¹⁶¹ При $H =$ $= r + \frac{h}{2}$








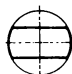
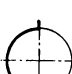
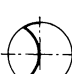




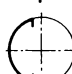



Продолжение

Эскиз элемента	Стр- ница	Номер элемента	Эскиз элемента	Стр- ница	Номер элемента
	301	161 При $H = h = r$		308	171
	301	161 При $H = h = 2r$		308	172
	303	162		309	173
	304	163		309	174
	304	164		310	175
	305	165		310	176
	305	166		311	177
	306	167		311	178
	306	168		312	179
	307	169		312	180
	307	170			

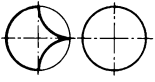
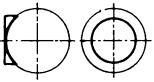
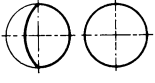
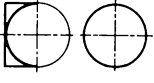
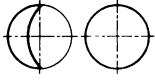
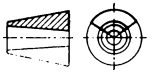
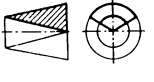
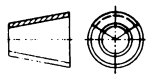
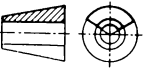
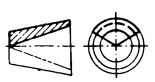
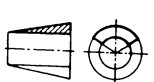
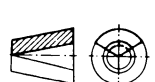
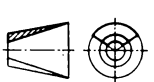






Продолжение

Эскиз элемента	Стр- ница	Номер элемента	Эскиз элемента	Стр- ница	Номер элемента
Элементы поверхности					
	313	181		317	187
	314	182		318	188
	314	183		318	189
	315	184		319	190
	315	185		319	191
	316	186		320	192
Комбинированные элементы поверхности					
	321	193		323	197
	322	194		324	198
	322	195		325	199
	323	196		326	200

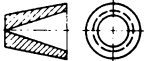
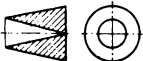
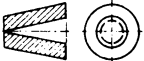
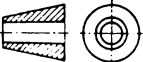
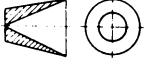
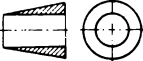



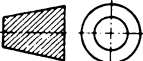
Продолжение

Эскиз элемента	Стра- ница	Номер элемента	Эскиз элемента	Стра- ница	Номер элемента
	326	201		329	206
	327	202		330	207
	327	202 При $h = r$		330	208
	328	203		331	209
	327	202 При $h = r_1 = r$		331	210
	328	204		332	211
	327	202 При $r_1 = 0$; $h = r$		332	212
	329	205		333	213
	327	202 При $h = R = r$		333	214




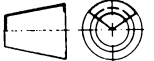

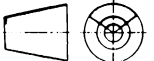

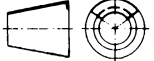
Продолжение

Эскиз элемента	Страница	Номер элемента	Эскиз элемента	Страница	Номер элемента
	334	215		335	218
	334	216		335	218 При $h = r$
	335	217			
ЭЛЕМЕНТЫ УСЕЧЕННОГО КОНУСА Элементы объема					
	336	219		336	219 При $r_1 = r$; $R_1 = 0$
	338	220		340	222
	336	219 При $r_1 = 0$		341	223
	336	219 При $r_1 = 0$; $R_1 = R - r$		342	224
	336	219 При $r_1 = 0$; $R_1 = R$		343	225
	339	221		344	226
	336	219 При $R_1 = 0$		345	227

Продолжение

Эскиз элемента	Страница	Номер элемента	Эскиз элемента	Страница	Номер элемента
	344	226 При $r_1 = 0$		344	226 При $r_1 = r$; $R_1 = 0$
	344	226 При $r_1 = 0$; $R_1 = R - r$		346	229
	344	226 При $r_1 = 0$; $R_1 = R$		346	230
	345	228		347	231
	344	226 При $R_1 = 0$		347	232

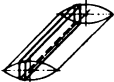
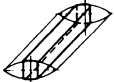

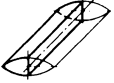
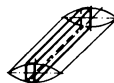
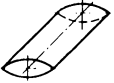
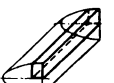
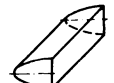

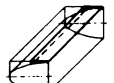
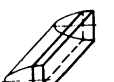

Комбинированные элементы поверхности

	348	233		348	233 При $R_1 = r$; $R_2 = R$
	348	233 При $r_1 = r$; $r_2 = R$		348	233 При $R_1 = r$; $r_1 = 0$; $R_2 = R$
	348	233 При $R_1 = r$; $r_2 = R$		348	233 При $R_1 = r$; $R_2 = r_2 = R$
	348	233 При $r_1 = 0$; $R_1 = r$; $r_2 = R$		348	233 При $R_2 = R$; $R_1 = r_1 = r$

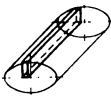
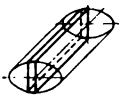
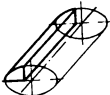
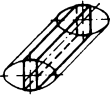
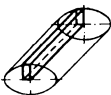

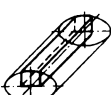

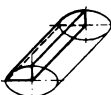
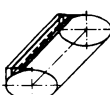
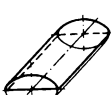
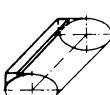
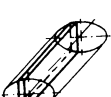
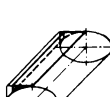
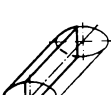
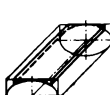
Продолжение

Эскиз элемента	Стра- ница	Номер элемента	Эскиз элемента	Стра- ница	Номер элемента
	348	233 При $R_1 = r$; $R_2 = R$; $r_2 = 0$		350	235 При $r_1 = 0$; $R_1 = r$; $R_2 = R$
	348	233 При $R_1 = r_1 = r$; $R_2 = R$; $r_2 = 0$		352	238
	348	233 При $R_2 = r_2 = R$; $r_1 = 0$; $R_1 = r$		352	239
	348	233 При $r_1 = r_2 = 0$; $R_1 = r$; $R_2 = R$		353	240
	349	234		350	235 При $R_1 = r$; $R_2 = R$; $r_2 = 0$
	350	235		350	235 При $R_1 = r$; $r_1 = R$; $R_2 = R$; $r_2 = 0$
	351	236		350	235 При $r_2 = R$; $r_1 = 0$; $R_1 = r$
	351	237		350	235 При $r_1 = r_2 = 0$; $R_1 = r$; $R_2 = R$
	350	235 При $r_1 = r$; $R_1 = R$; $r_2 = R$		353	241

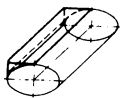
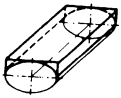
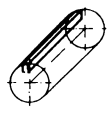
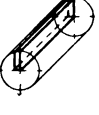
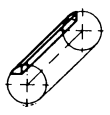
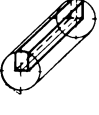
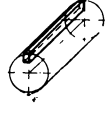
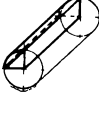
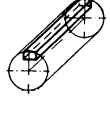
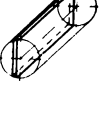
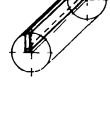
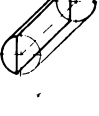
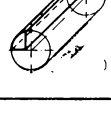
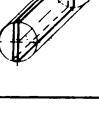
Продолжение

Эскиз элемента	Страница	Номер элемента	Эскиз элемента	Страница	Номер элемента
<p>ЭЛЕМЕНТЫ ОБЪЕМА ОЖИВАЛЬНОГО, ПАРАБОЛИЧЕСКОГО И ЭЛЛИПТИЧЕСКОГО ЦИЛИНДРА</p> <p>Элементы объема оживального цилиндра</p>					
	354	242		358	245
	356	243		359	246
	357	244		360	247
<p>Элементы объема параболического цилиндра</p>					
	361	248		363	251
	362	249		364	252
	362	250		365	253

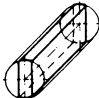
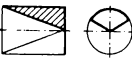
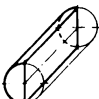
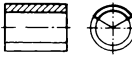
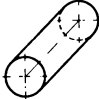
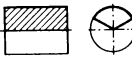
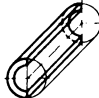

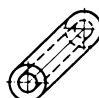
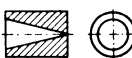

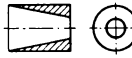
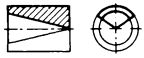
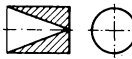
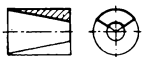
Продолжение

Эскиз элемента	Страница	Номер элемента	Эскиз элемента	Страница	Номер элемента
Элементы объема эллиптического цилиндра					
	366	254		368	255 При $H = a$
	366	254 При $H = h$		368	255 При $H = \frac{h}{2}$ $= a + \frac{h}{2}$
	366	254 При $H = a$		368	255 При $H = h = a$
	366	254 При $H = \frac{h}{2}$ $= a + \frac{h}{2}$		368	255 При $H = h = 2a$
	366	254 При $H = h = a$		370	256
	366	254 При $H = h = 2a$		370	256 При $H = h$
	368	255		370	256 При $H = a$
	368	255 При $H = h$		370	256 При $H = \frac{h}{2}$ $= a + \frac{h}{2}$

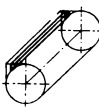
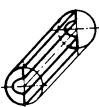
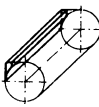
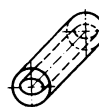
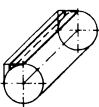
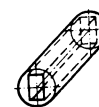
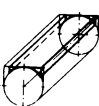
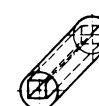
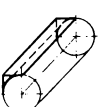

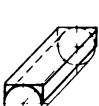
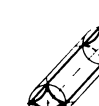
Продолжение

Эскиз элемента	Страница	Номер элемента	Эскиз элемента	Страница	Номер элемента
	370	256 При $H = h = a$		370	256 При $H = h = 2a$
ЭЛЕМЕНТЫ КРУГОВОГО ЦИЛИНДРА Элементы объема					
	372	257		380	263
	374	258		381	264
	376	259		382	265
	377	260		383	266
	378	261		385	267
	379	262		386	268


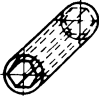
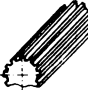



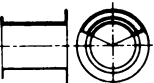



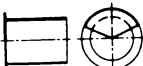
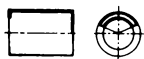
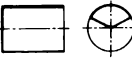
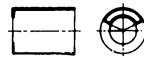
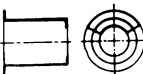
Продолжение

Эскиз элемента	Страница	Номер элемента	Эскиз элемента	Страница	Номер элемента
	387	269		393	277
	388	270		393	278
	388	271		394	279
	389	272		394	280
	389	273		395	281
	390	274		395	282
	391	275		395	283
	392	276			

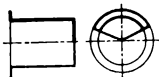
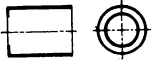
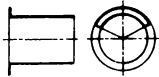
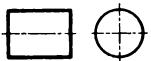
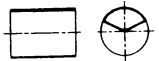

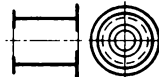
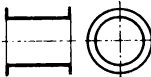

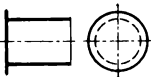
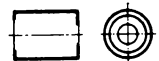
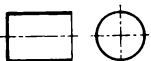
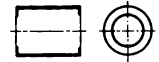
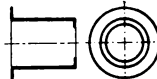
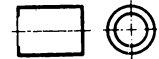
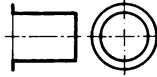
Продолжение

Эскиз элемента	Страница	Номер элемента	Эскиз элемента	Страница	Номер элемента
Комбинированные элементы объема					
	396	284		401	290
	338	285		402	291
	399	286		402	292
	400	287		402	292 При $B = A$
	400	288		403	293
	401	289		403	294

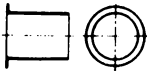
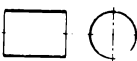





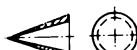
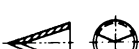
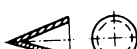








Продолжение

Эскиз элемента	Страница	Номер элемента	Эскиз элемента	Страница	Номер элемента
	404	295		405	297
	405	296			
Комбинированные элементы поверхности					
	406	298		406	298 При $R_1 = R_2 = R$; $r_1 = r_2 = 0$
	406	298 При $r_2 = r_1$; $R_2 = R_1$		406	298 При $r_1 = r_2 = R$
	406	298 При $R_1 = R_2 = R$		405	298 При $R_2 = R_1$; $r_1 = r_2 = R$
	406	298 При $r_2 = r_1$; $R_1 = R_2 = R$		406	298 При $r_1 = 0$; $R_2 = r_2 = R$
	406	298 При $r_2 = 0$; $R_1 = R_2 = R$		405	298 При $r_1 = 0$; $R_2 = r_2 = R$
	406	298 При $R_1 = R_2 = R$		406	298 При $r_1 = R_2 = R$





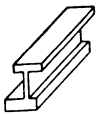
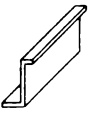
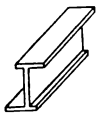
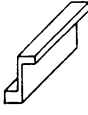
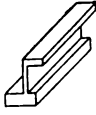
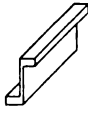
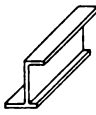
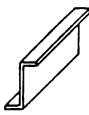
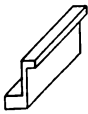
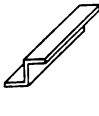
Продолжение

Эскиз элемента	Стр- ница	Номер элемента	Эскиз элемента	Стр- ница	Номер элемента
	406	298 При $r_2 = 0$; $r_1 = R_2 = R$		409	302
	406	298 $r_1 = R_2 =$ $r_2 = R$		407	300 При $r_2 = 0$; $R_1 = R_2 = R$
	407	299		410	303
	407	300		410	304
	407	300 При $r_2 = r_1$; $R_2 = R_1$		407	300 При $r_1 = 0$; $r_2 = R_2 = R$
	409	301		407	300 При $r_1 = 0$; $r_2 = R_2 =$ $= R_1 = R$
	407	300 При $r_2 = r_1$; $R_1 = R_2 = R$		411	305
	407	300 При $r_2 = 0$; $R_1 = R_2 = R$		407	300 При $r_2 = 0$; $r_1 = R_2 = R$

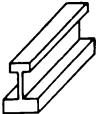
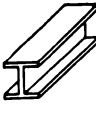
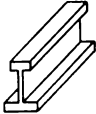
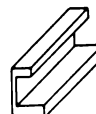
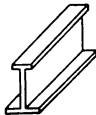
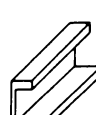
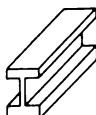
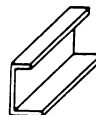
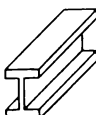
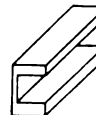
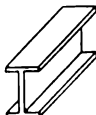
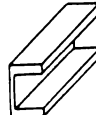
Продолжение

Эскиз элемента	Стр- ница	Номер элемента	Эскиз элемента	Стр- ница	Номер элемента
	412	306		412	307
ЭЛЕМЕНТЫ КРУГОВОГО КОНУСА					
Элементы объема					
	413	308		415	310
	413	308 При $R_1 = R$		416	311
	413	308 При $h = l$		416	312
	413	308 При $h = \frac{R_1}{R} l$		417	313
	414	309		417	314
Комбинированные элементы поверхности					
	418	315		418	315 При $R_2 = R$; $r_2 = 0$
	418	315 При $r_2 = R$		419	316
	418	315 При $R_2 = R$		420	317

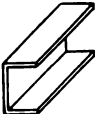
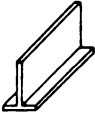
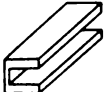
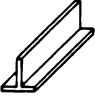

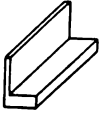
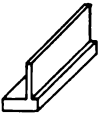
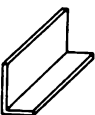
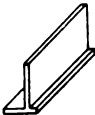
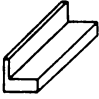
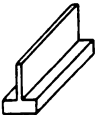
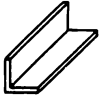
Продолжение

Эскиз элемента	Страница	Номер элемента	Эскиз элемента	Страница	Номер элемента
	421	318		422	320
	421	319		422	321
БАЛКИ, ПЛИТЫ, ПРОФИЛИ ТОЛСТОСТЕННЫЕ					
	423	322		427	324
	423	322 При $b = c = \delta$		428	325
	423	322 При $e = 0$		423	322 При $e = 0$; $E = A$; $a = A - \delta$; $c = b$
	423	322 При $e = 0$; $b = c = \delta$		429	326
	426	323		423	322 При $a = A - \delta$; $e = 0$; $c = b = \delta$; $B = E = A$

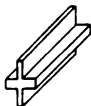
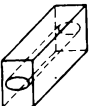
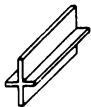
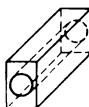
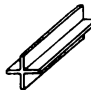
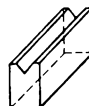
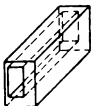
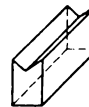
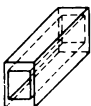
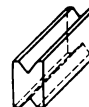
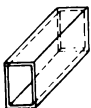
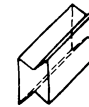
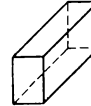
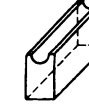
Продолжение

Эскиз элемента	Стро- ница	Номер элемента	Эскиз элемента	Стро- ница	Номер элемента
	429	327		423	322 При $a = e = \frac{A - \delta}{2}$; $B = E = A$; $b = c = \delta$
	423	322 При $a = \frac{A - \delta}{2}$; $e = \frac{E - \delta}{2}$; $c = b$		432	331
	430	328		423	322 При $a = e = 0$; $c = b$
	430	329		433	332
	423	322 При $a = e = \frac{A - \delta}{2}$; $E = A$; $c = b$		434	333
	431	330		423	322 При $e = a = 0$; $E = A$; $c = b$

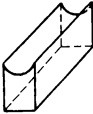

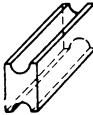
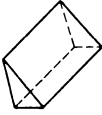
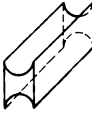
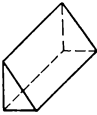
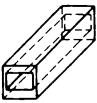
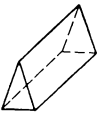
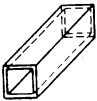
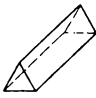
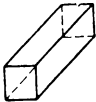
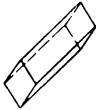
Продолжение

Эскиз элемента	Страница	Номер элемента	Эскиз элемента	Страница	Номер элемента
	435	334		433	338
	423	322 При $a = e = 0$; $B = E = A$; $c = b$		423	322 При $a = \frac{A - b}{2}$; $c = 0$; $B = A$; $h = b$
	423	322 При $a = e = 0$; $B = E = A$; $c = b = b$		439	339
	436	335		440	340
	437	336		423	322 При $a = c = 0$; $B = A$
	438	337		440	341

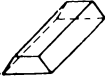


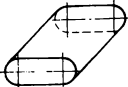
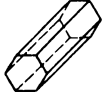
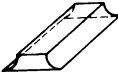
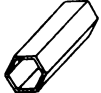

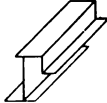
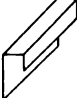
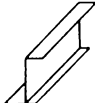
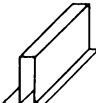
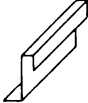
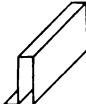
Продолжение

Эскиз элемента	Стра- ница	Номер элемента	Эскиз элемента	Стра- ница	Номер элемента
	441	342		445	349
	441	343		446	350
	442	344		446	351
	442	345		447	352
	444	346		447	353
	444	347		448	354
	445	348		448	355

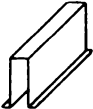
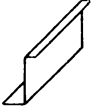
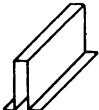
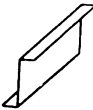
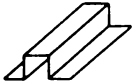
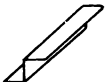
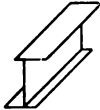
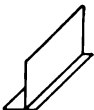
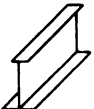
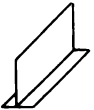
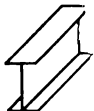
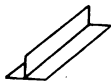
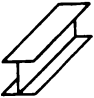
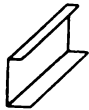
Продолжение

Эскиз элемента	Стра- ница	Номер элемента	Эскиз элемента	Стра- ница	Номер элемента
	449	356		452	362
	449	357		452	363
	450	358		453	364
	450	359		453	365
	451	360		454	366
	451	361		454	367

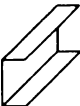
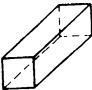
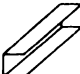
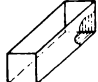
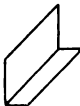



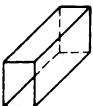

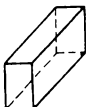
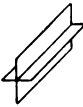
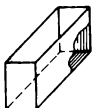
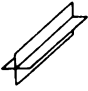
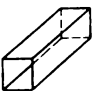

Продолжение

Эскиз элемента	Страница	Номер элемента	Эскиз элемента	Страница	Номер элемента
	455	368		457	372
	455	369		458	373
	456	370		459	374
	456	371		460	375
ПРОФИЛИ. КОРОБКИ ТОНКОСТЕННЫЕ					
	461	376		461	376 При $a = d = e = A = 0$
	461	376 При $b = d = e = 0$		463	377
	461	376 При $a = A; e = d = 0$		463	378

Продолжение

Эскиз элемента	Страница	Номер элемента	Эскиз элемента	Страница	Номер элемента
	464	379		466	383
	461	376 При $a = d =$ $= E = A;$ $b = B;$ $e = 0$		466	384
	461	376 При $a = b =$ $= d = B =$ $= E = A;$ $e = 0$		461	376 При $b = d =$ $= e = 0;$ $a = B =$ $= E = A$
	464	380		467	385
	465	381		467	386
	465	382		461	376 При $a =$ $= B = \frac{A}{2};$ $b = d = E =$ $= c = 0$
	461	376 При $a =$ $= e = \frac{A}{2};$ $b = d = 0;$ $B = A$		468	387

Продолжение

Эскиз элемента	Страница	Номер элемента	Эскиз элемента	Страница	Номер элемента
	468	388		472	395
	461	376 При $a = b =$ $d = e = 0;$ $B = E = A$		472	396
	469	389		473	397
	469	390		473	398
	470	391		474	399
	470	392		474	400
	471	393		475	401
	471	394		475	402

ПРИНЯТЫЕ ОБОЗНАЧЕНИЯ

Наименование	Обозначение	Наименование	Обозначение
Масса тела	m	Моменты инерции тела относительно осей системы координат:	
Центр масс	O	произвольной	J_{xx}, J_{yy}, J_{zz}
Координаты центра масс	x_0, y_0, z_0	центральной	$J_{x_0x_0}, J_{y_0y_0}, J_{z_0z_0}$
Объем тела	V	главной	I_{XX}, I_{YY}, I_{ZZ}
Поверхность тела	S	главной центральной	$I_{X_0X_0}, I_{Y_0Y_0}, I_{Z_0Z_0}$
Толщина стенки	δ	Моменты инерции тела относительно плоскостей системы координат:	
Плотность материала	ρ	произвольной	$J_{yAz}, J_{zAx}, J_{xAy}$
Удельный вес материала	γ	центральной	$J_{y_0Oz_0}, J_{z_0Ox_0}, J_{x_0Oy_0}$
Прямоугольная система координат:		главной	$I_{YAZ}, I_{ZAX}, I_{XAY}$
произвольная (начало в произвольной точке A)	$Axyz$	главной центральной	$I_{Y_0OZ_0}, I_{Z_0OX_0}, I_{X_0OY_0}$
центральной (начало в центре масс тела)	$Ox_0y_0z_0$	Центробежные моменты инерции тела в системе координат:	
главная (начало в произвольной точке A)	$AXYZ$	произвольной	$J_{y \cdot z}, J_{z \cdot x}, J_{x \cdot y}$
главная центральная	$Ox_0Y_0Z_0$	центральной	$J_{y_0 \cdot z_0}, J_{z_0 \cdot x_0}, J_{x_0 \cdot y_0}$
Плоскости системы координат:		главной	
произвольной	yAz, zAx, xAy	главной центральной	
центральной	$y_0Oz_0, z_0Ox_0, x_0Oy_0$		
главной	YAZ, ZAX, XAY		
главной центральной	$Y_0OZ_0, Z_0OX_0, X_0OY_0$		
Оси системы координат:			
произвольной	xx, yy, zz		
центральной	x_0x_0, y_0y_0, z_0z_0		
главной	XX, YY, ZZ		
главной центральной	X_0X_0, Y_0Y_0, Z_0Z_0		
Статические моменты тела относительно координатных плоскостей:			
yAz, YAZ	S_x, S_X		
zAx, ZAX	S_y, S_Y		
xAy, XAY	S_z, S_Z		

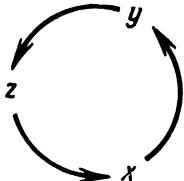


Рис. 1

Примечания: 1. Величины, относящиеся к одному элементу, имеют правый нижний индекс i .
 2. При обозначении характеристик и написании формул геометрии масс целесообразно пользоваться круговой перестановкой индексов (рис. 1)

ХАРАКТЕРИСТИКИ ГЕОМЕТРИИ МАСС

НЕКОТОРЫЕ СВЕДЕНИЯ ИЗ ГЕОМЕТРИИ МАСС

ОСНОВНЫЕ ПОНЯТИЯ

Мысленно разбивая тело на большое число n малых частиц, представим массу тела как сумму масс его частиц:

$$m = \sum_{i=1}^n m_i.$$

Статическим моментом тела относительно плоскости называют сумму произведений массы каждой частицы тела на ее расстояние до этой плоскости. Расстояния точек, находящихся по одну (другую) сторону от плоскости, считают положительными (отрицательными):

$$S = \sum_{i=1}^n m_i r_i.$$

Моментом инерции тела относительно оси (плоскости или полюса) называют сумму произведений массы каждой частицы тела на квадрат ее расстояния до этой оси (плоскости или полюса):

$$J = \sum_{i=1}^n m_i r_i^2.$$

Центробежным моментом инерции тела (моментом девиации или произведением инерции)* называют сумму произведений массы каждой частицы тела на две ее координаты, являющиеся расстояниями от двух взаимно перпендикулярных плоскостей P и F , взятыми с соответствующими знаками:

$$J_{P \cdot F} = \sum_{i=1}^n m_i r_{P_i} r_{F_i}.$$

Чем больше n , тем точнее значения статических моментов и моментов инерции. При n , стремящемся к бесконечности, получаем предел суммы бесконечно большого числа бесконечно малых слагаемых, т. е. интеграл, распространенный на массу всего тела:

$$S = \int_m r dm; \quad J = \int_m r^2 dm;$$

$$J_{P \cdot F} = \int_m r_P r_F dm.$$

* Употребляемый иногда термин «перекрестные моменты» следует считать неудачным, как не имеющий физического смысла.

Массу каждой частицы тела можно выразить произведением ее плотности на объем

$$m_i = \rho_i V_i,$$

поэтому формулы статических моментов и моментов инерции тела можно записать в виде

$$S = \int_V \rho r dV; \quad J = \int_V \rho r^2 dV; \quad J_{P.F} = \int_V \rho r_P r_F dV.$$

Если плотность всех частиц тела одинакова (однородное тело), то ρ выносят за знак интеграла и сначала вычисляют статический момент объема и моменты инерции объема, иногда называемые геометрическими моментами инерции.

Если одно или два измерения тела настолько малы, что их практически можно не учитывать, то однородное тело представляет собой тонкостенную поверхность или линию. В этом случае условно считают, что масса тела равномерно распределена по поверхности или линии.

Моменты инерции физического тела относительно оси, плоскости или полюса всегда положительны*. Статический момент и центробежные моменты инерции тела могут быть положительными, отрицательными или равными нулю в зависимости от положения тела относительно плоскостей системы координат.

Размерность статических моментов и моментов инерции в физических системах единиц:

$$[S] = L^1 M^1 T^0; \quad [J] = L^2 M^1 T^0;$$

в технических системах единиц:

$$[S] = L^0 F^1 T^2; \quad [J] = L^1 F^1 T^2.$$

Наряду с моментами инерции тела относительно оси (плоскости или полюса) часто рассматривают радиусы инерции (плечо инерции, гирационный радиус), т. е. величину r_n , имеющую размерность длины, на квадрат которой надо умножить массу тела, чтобы получить момент инерции тела относительно оси (плоскости или полюса):

$$J = m r_n^2.$$

Радиус инерции тела относительно оси (полюса) — это радиус воображаемого круглого полого цилиндра (шара), построенного вокруг этой оси (с центром в полюсе), который обладает той же массой и тем же моментом инерции относительно этой оси (полюса), что и заданное тело. Радиус инерции тела — величина положительная:

$$r_n = + \sqrt{\frac{J}{m}}.$$

Чтобы определить статические моменты и моменты (радиусы) инерции сложного тела, необходимо найти статические моменты и моменты (радиусы) инерции составляющих его частей (относительно одних и тех же осей, плоскостей и полюсов) и просуммировать их.

Для характеристики распределения масс вращающихся звеньев машин иногда применяют понятие «маховой момент», понимая под этим произведение веса звена на квадрат удвоенного радиуса инерции звена относительно оси вращения:

$$GD_n^2 = mg (2r_n)^2.$$

* Исключение составляют моменты инерции нескольких абстрагированных тел, так как равны нулю момент инерции бесконечно тонкого стержня (прямолинейный отрезок) относительно оси, совпадающей с ним; момент инерции бесконечно тонкой пластины (плоской фигуры) относительно ее плоскости и полярный момент инерции точечной частицы, совпадающей с полюсом.

СТАТИЧЕСКИЕ МОМЕНТЫ И МОМЕНТЫ ИНЕРЦИИ ТЕЛА В ПРЯМОУГОЛЬНОЙ СИСТЕМЕ КООРДИНАТ

В справочнике принята правая прямоугольная система координат $Axyz$ (рис. 2). В табл. 1 приведены формулы для статических моментов и моментов инерции тела (с дискретным и непрерывным распределением массы) относительно осей, плоскостей и начала принятой системы координат. В табл. 2 сформулированы основные элементарные свойства моментов инерции тела и приведены формулы, устанавливающие зависимость между ними.

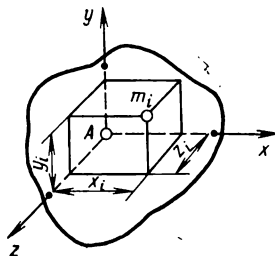


Рис. 2

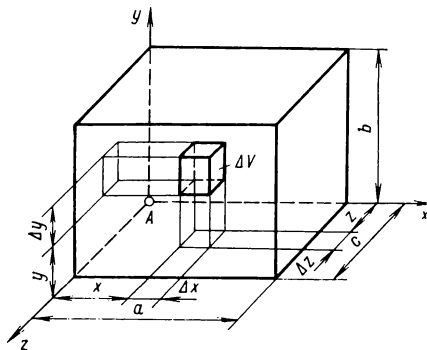


Рис. 3

Пример 1. Для однородного параллелепипеда плотностью ρ со сторонами a , b и c (рис. 3) вычислить статические моменты, центробежные моменты и моменты инерции относительно плоскостей прямоугольной системы координат $Axyz$, начало которой помещено в вершине, а координатные оси направлены по ребрам параллелепипеда.

Решение. Плоскостями, параллельными координатным плоскостям, выделим в параллелепипеде элементарный объем ΔV со сторонами Δx , Δy и Δz . Учитывая, что плотность материала ρ есть величина постоянная, переменные x , y и z меняются от 0 до a , b и c соответственно, а масса параллелепипеда равна

$$m = \rho V = \rho abc,$$

в результате интегрирования соответствующих выражений табл. 1 получаем: статические моменты относительно координатных плоскостей

$$S_x = \rho \int_0^a x \, dx \int_0^b dy \int_0^c dz = \frac{1}{2} \rho a^2 bc = \frac{1}{2} ma;$$

$$S_y = \rho \int_0^a dx \int_0^b y \, dy \int_0^c dz = \frac{1}{2} \rho ab^2 c = \frac{1}{2} mb;$$

$$S_z = \rho \int_0^a dx \int_0^b dy \int_0^c z \, dz = \frac{1}{2} \rho abc^2 = \frac{1}{2} mc;$$

1. Статические моменты и моменты инерции тела
в прямоугольной системе координат

Моменты		Распределение массы в теле	
Наименование	Обозначение	дискретное	непрерывное
Статические моменты	S_x	$\sum_{i=1}^n \rho_i V_i x_i$	$\int \int \int_V \rho x \, dx \, dy \, dz$
	S_y	$\sum_{i=1}^n \rho_i V_i y_i$	$\int \int \int_V \rho y \, dx \, dy \, dz$
	S_z	$\sum_{i=1}^n \rho_i V_i z_i$	$\int \int \int_V \rho z \, dx \, dy \, dz$
Моменты инерции относительно координатных осей	J_{xx}	$\sum_{i=1}^n \rho_i V_i (y_i^2 + z_i^2)$	$\int \int \int_V \rho (y^2 + z^2) \, dx \, dy \, dz$
	J_{yy}	$\sum_{i=1}^n \rho_i V_i (z_i^2 + x_i^2)$	$\int \int \int_V \rho (z^2 + x^2) \, dx \, dy \, dz$
	J_{zz}	$\sum_{i=1}^n \rho_i V_i (x_i^2 + y_i^2)$	$\int \int \int_V \rho (x^2 + y^2) \, dx \, dy \, dz$
Моменты инерции относительно координатных плоскостей	J_{yAz}	$\sum_{i=1}^n \rho_i V_i x_i^2$	$\int \int \int_V \rho x^2 \, dx \, dy \, dz$
	J_{zAx}	$\sum_{i=1}^n \rho_i V_i y_i^2$	$\int \int \int_V \rho y^2 \, dx \, dy \, dz$
	J_{xAy}	$\sum_{i=1}^n \rho_i V_i z_i^2$	$\int \int \int_V \rho z^2 \, dx \, dy \, dz$
Момент инерции относительно начала координат	J_A	$\sum_{i=1}^n \rho_i V_i (x_i^2 + y_i^2 + z_i^2)$	$\int \int \int_V \rho (x^2 + y^2 + z^2) \times$ $\times \, dx \, dy \, dz$
Центробежные моменты инерции	$J_{y \cdot z}$	$\sum_{i=1}^n \rho_i V_i y_i z_i$	$\int \int \int_V \rho y z \, dx \, dy \, dz$
	$J_{z \cdot x}$	$\sum_{i=1}^n \rho_i V_i z_i x_i$	$\int \int \int_V \rho z x \, dx \, dy \, dz$
	$J_{x \cdot y}$	$\sum_{i=1}^n \rho_i V_i x_i y_i$	$\int \int \int_V \rho x y \, dx \, dy \, dz$

Примечание. Индекс V при интегралах указывает, что интегрирование производят по всему объему тела.

2. Элементарные свойства моментов инерции тела *

Свойства	Формулы
1. Момент инерции тела относительно любой координатной оси равен сумме двух моментов инерции тела относительно координатных плоскостей, пересекающихся по этой оси	$J_{xx} = J_{zAx} + J_{xAy}$ $J_{yy} = J_{xAy} + J_{yAz}$ $J_{zz} = J_{yAz} + J_{zAx}$
2. Момент инерции тела относительно начала координат равен сумме трех моментов инерции тела относительно координатных плоскостей	$J_A = J_{yAz} + J_{zAx} + J_{xAy}$
3. Момент инерции тела относительно начала координат равен полусумме трех моментов инерции тела относительно координатных осей	$J_A = \frac{1}{2} (J_{xx} + J_{yy} + J_{zz})$
4. Момент инерции тела относительно начала координат равен сумме момента инерции тела относительно какой-либо координатной оси и момента инерции относительно координатной плоскости, перпендикулярной к этой оси	$J_A = J_{xx} + J_{yAz} = J_{yy} + J_{zAx} = J_{zz} + J_{xAy}$
5. Момент инерции тела относительно какой-либо координатной плоскости равен полусумме моментов инерции тела относительно координатных осей, лежащих в этой плоскости, минус половина момента инерции тела относительно координатной оси, перпендикулярной к этой плоскости	$J_{yAz} = \frac{1}{2} (J_{yy} + J_{zz} - J_{xx})$ $J_{zAx} = \frac{1}{2} (J_{zz} + J_{xx} - J_{yy})$ $J_{xAy} = \frac{1}{2} (J_{xx} + J_{yy} - J_{zz})$
6. Момент инерции тела относительно любой координатной оси всегда меньше суммы моментов инерции относительно двух других осей и больше их разности **	$J_{yy} + J_{zz} > J_{xx} > \pm J_{yy} \mp J_{zz}$ $J_{zz} + J_{xx} > J_{yy} > \pm J_{zz} \mp J_{xx}$ $J_{xx} + J_{yy} > J_{zz} > \pm J_{xx} \mp J_{yy}$
7. Момент инерции тела относительно какой-либо координатной оси всегда больше или равен удвоенному центробежному моменту инерции, в обозначении которого нет индекса этой оси	$J_{xx} \geq 2J_{y \cdot z}$ $J_{yy} \geq 2J_{z \cdot x}$ $J_{zz} \geq 2J_{x \cdot y}$

Продолжение табл. 2

Свойства	Формулы
8. Момент инерции тела относительно начала координат всегда больше или равен сумме всех трех центробежных моментов инерции	$J_A \geq J_{y \cdot z} + J_{z \cdot x} + J_{x \cdot y}$
<p>* Аналогичные зависимости (п. 1—6) справедливы и для радиусов инерции.</p> <p>** Исключение составляет плоская фигура, лежащая в координатной плоскости, для которой момент инерции относительно оси, перпендикулярной к плоскости фигуры, равен сумме двух моментов инерции относительно взаимно перпендикулярных осей, лежащих в плоскости фигуры и пересекающих первую ось.</p>	

моменты инерции относительно координатных плоскостей

$$J_{yAz} = \rho \int_0^a x^2 dx \int_0^b dy \int_0^c dz = \frac{1}{3} \rho a^3 bc = \frac{1}{3} ma^2;$$

$$J_{zAx} = \rho \int_0^a dx \int_0^b y^2 dy \int_0^c dz = \frac{1}{3} \rho ab^3 c = \frac{1}{3} mb^2;$$

$$J_{xAy} = \rho \int_0^a dx \int_0^b dy \int_0^c z^2 dz = \frac{1}{3} \rho abc^3 = \frac{1}{3} mc^2;$$

центробежные моменты инерции

$$J_{y \cdot z} = \rho \int_0^a dx \int_0^b y dy \int_0^c z dz = \frac{1}{4} \rho ab^2 c^2 = \frac{1}{4} mbc;$$

$$J_{z \cdot x} = \rho \int_0^a x dx \int_0^b dy \int_0^c z dz = \frac{1}{4} \rho a^2 bc^2 = \frac{1}{4} mca;$$

$$J_{x \cdot y} = \rho \int_0^a x dx \int_0^b y dy \int_0^c dz = \frac{1}{4} \rho a^2 b^2 c = \frac{1}{4} mab.$$

Ответ. Однородный параллелепипед со сторонами a , b и c в системе координат $Axyz$, начало которой помещено в вершине параллелепипеда, а оси направлены по его ребрам, характеризуется следующими значениями моментов;

статические моменты

$$S_x = \frac{1}{2} ma; \quad S_y = \frac{1}{2} mb; \quad S_z = \frac{1}{2} mc;$$

моменты инерции относительно координатных плоскостей

$$J_{yAz} = \frac{1}{3} ma^2; \quad J_{zAx} = \frac{1}{3} mb^2; \quad J_{xAy} = \frac{1}{3} mc^2;$$

центробежные моменты инерции

$$J_{y \cdot z} = \frac{1}{4} mbc; \quad J_{z \cdot x} = \frac{1}{4} mca; \quad J_{x \cdot y} = \frac{1}{4} mab.$$

Пример 2. Вычислить моменты инерции однородного параллелепипеда со сторонами a , b , и c (см. рис. 3) относительно координатных осей и начала прямоугольной системы координат $Axyz$, которая помещена в вершине, а оси направлены по ребрам параллелепипеда.

Решение. Используя значения моментов инерции параллелепипеда относительно координатных плоскостей системы $Axyz$, полученные в примере 1, и зависимости между моментами инерции одного и того же тела относительно координатных осей и плоскостей (см. табл. 2), получаем

$$J_{xx} = J_{zAx} + J_{xAy} = \frac{1}{3} mb^2 + \frac{1}{3} mc^2 = \frac{1}{3} m (b^2 + c^2);$$

$$J_{yy} = J_{xAy} + J_{yAz} = \frac{1}{3} mc^2 + \frac{1}{3} ma^2 = \frac{1}{3} m (c^2 + a^2);$$

$$J_{zz} = J_{yAz} + J_{zAx} = \frac{1}{3} ma^2 + \frac{1}{3} mb^2 = \frac{1}{3} m (a^2 + b^2).$$

Момент инерции параллелепипеда относительно начала координат вычисляем как сумму моментов инерции его относительно координатных плоскостей, используя свойство 2 (табл. 2), по формуле

$$J_A = J_{yAz} + J_{zAx} + J_{xAy} = \frac{1}{3} ma^2 + \frac{1}{3} mb^2 + \frac{1}{3} mc^2 = \frac{1}{3} m (a^2 + b^2 + c^2).$$

Ответ. Моменты инерции однородного параллелепипеда со сторонами a , b и c относительно осей, совпадающих с его ребрами, равны

$$J_{xx} = \frac{1}{3} m (b^2 + c^2); \quad J_{yy} = \frac{1}{3} m (c^2 + a^2); \quad J_{zz} = \frac{1}{3} m (a^2 + b^2),$$

а относительно вершины параллелепипеда

$$J_A = \frac{1}{3} m (a^2 + b^2 + c^2).$$

СТАТИЧЕСКИЕ МОМЕНТЫ И МОМЕНТЫ ИНЕРЦИИ ТЕЛА ПРИ ПАРАЛЛЕЛЬНОМ ПЕРЕНОСЕ И ПОВОРОТЕ СИСТЕМЫ КООРДИНАТ

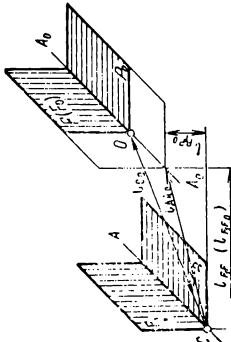
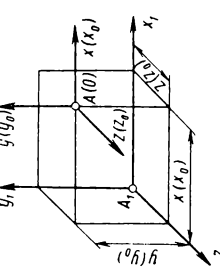
При вычислении статических моментов и моментов инерции сложное тело разбивают на простые элементы и вычисляют их моменты относительно непосредственно с ними связанных вспомогательных координатных систем. Эти вспомогательные системы могут быть различно ориентированы относительно общей, выбранной для всего тела системы координат. Поэтому при подсчете моментов отдельных элементов относительно общей системы приходится учитывать, что у вспомогательных и общей координатных систем возможны несовпадения начала и направления осей.

Для совмещения двух прямоугольных систем координат, имеющих различную ориентацию в пространстве, в общем случае достаточно сделать два поворота вокруг осей, одна из которых координатная, и три параллельных переноса в направлении каждой координатной оси. При поворотах и параллельных переносах осей изменяются координаты точек тела, а, следовательно, и моменты.

Для приведения элементов тела к плоскостям и осям общей для всего тела системы координат в табл. 3—6 приведены правила и расчетные формулы для вычисления статических моментов и моментов инерции тела относительно осей, плоскостей и начала координат новой прямоугольной системы координат $A_1x_1y_1z_1$, полученной:

- 1) при параллельном переносе старой системы координат $Axyz$ по направлению координатных осей (табл. 3);
- 2) при повороте системы координат $Axyz$ вокруг каждой из координатных осей на произвольный угол (табл. 4);
- 3) при повороте главной системы координат $AXYZ$ вокруг каждой из главных осей на произвольный угол (табл. 5);
- 4) при повороте системы координат $Axyz$ вокруг каждой из координатных осей на углы 90, 180 и 270° (табл. 6).

3. Статические моменты и моменты инерции тела при параллельном переносе системы координат

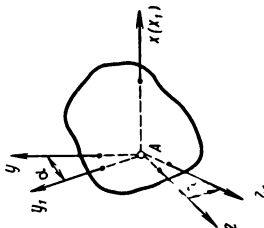
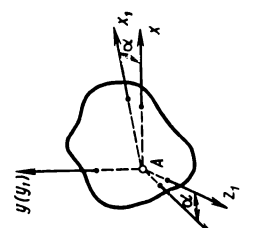
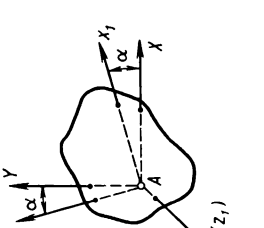
Формулы моментов		
Определения	общие	в прямоугольной системе координат
<p>1. Статический момент тела S_{F_1} относительно какой-либо плоскости F_1 равен статическому моменту тела S_F относительно плоскости F, параллельной заданной, плюс произведение массы тела m на расстояние l_{F_1F} между плоскостями, взятое с соответствующим знаком.</p> <p>Частный случай. Если плоскость F совпадает с центральной плоскостью F_0, то статический момент тела S_{F_1} равен произведению массы тела m на расстояние $l_{F_1F_0}$ между плоскостями, взятое с соответствующим знаком</p>	 $S_{F_1} = S_F + m l_{F_1F}$	 $S_{x_1} = S_x + mx$ $S_{y_1} = S_y + my$ $S_{z_1} = S_z + mz$
<p>2. Момент инерции тела J_{AA} относительно какой-либо оси AA равен моменту инерции тела $J_{A_0A_0}$ относительно центральной оси A_0A_0, параллельной заданной, плюс произведение массы тела m на квадрат расстояния l_{AA_0} между осями</p>	$J_{AA} = J_{A_0A_0} + m l_{AA_0}^2$	$J_{x_1x_1} = J_{x_0x_0} + m (y_0^2 + z_0^2)$ $J_{y_1y_1} = J_{y_0y_0} + m (x_0^2 + z_0^2)$ $J_{z_1z_1} = J_{z_0z_0} + m (x_0^2 + y_0^2)$

Продолжение табл. 3

Определения	Формулы моментов	
	общие	в прямоугольной системе координат
3. Момент инерции тела J_F относительно какой-либо плоскости F_1 равен моменту инерции тела J_{F_0} относительно центральной плоскости F_0 , параллельной заданной, плюс произведение массы тела m на квадрат расстояния $l_{F_1 F_0}$ между плоскостями	$J_{F_1} = J_{F_0} + m l_{F_1 F_0}^2$	$J_{y_1 z_1} = J_{y_0 z_0} + m x_0^2$ $J_{z_1 x_1} = J_{z_0 x_0} + m y_0^2$ $J_{x_1 y_1} = J_{x_0 y_0} + m z_0^2$
4. Момент инерции тела J_C относительно какого-либо полюса C равен моменту инерции тела J_0 относительно центра масс O плюс произведение массы тела m на квадрат расстояния l_{CO} между полюсами	$J_C = J_0 + m l_{CO}^2$	$J_C = J_0 + m (x_0^2 + y_0^2 + z_0^2)$
5. Центробежный момент инерции тела в нецентральной системе равен соответствующему центробежному моменту инерции того же тела в параллельной системе его центральных осей плюс произведение массы тела на две соответствующие координаты центра масс.	$J_{F_1 \cdot P_1} = J_{F_0 \cdot P_0} + m l_{F_1 F_0} l_{P_1 P_0}$	$J_{y_1 \cdot z_1} = J_{y_0 \cdot z_0} + m y_0 z_0$ $J_{z_1 \cdot x_1} = J_{z_0 \cdot x_0} + m z_0 x_0$ $J_{x_1 \cdot y_1} = J_{x_0 \cdot y_0} + m x_0 y_0$

Определения	Формулы моментов	
	общие	в прямоугольной системе координат
<p>Частный случай. Если центральные плоскости F_0 и P_0 совпадают с главными центральными плоскостями, то центральный момент инерции тела $J_{F_1 \cdot P_1}$ равен произведению массы тела m на расстояния $l_{F_1 F_0}$ и $l_{P_1 P_0}$ между плоскостями, взятые с соответствующими знаками</p>	$J_{F_1 \cdot P_1} = m l_{F_1 F_0} l_{P_1 P_0}$	$J_{y_1 \cdot z_1} = m y_0 z_0$ $J_{z_1 \cdot x_1} = m z_0 x_0$ $J_{x_1 \cdot y_1} = m x_0 y_0$
<p>С л е д с т в и я:</p> <p>1. Так как произведение массы тела на квадрат расстояния все да больше нуля, т. е. $ml_i^2 > 0$, то из всех моментов инерции тела относительно параллельных между собой осей (плоскостей или полюсов) момент инерции тела относительно центральной оси (плоскости или центра масс) имеет наименьшее значение.</p> <p>2. Если для тела с массой m известны момент инерции J_1 относительно произвольной (не центральной) оси (плоскости) или произвольного полюса и положение центра масс, то момент инерции J_2 этого тела относительно любой оси (плоскости), параллельной первой, или любого полюса равен</p> $J_2 = J_1 + m(l_2^2 - l_1^2),$ <p>где l_1 и l_2 — расстояния от центра масс тела соответственно до первой и второй оси, плоскости или полюса.</p> <p>3. Если J_{1_0} и J_{2_0} есть центральные моменты инерции тел с массами m_1 и m_2, то момент инерции тела J_0, составленного из этих двух тел, относительно их общего центра масс (для полярного момента) или новой оси (плоскости), параллельной первым двум осям (плоскостям) и проходящей через их общий центр масс, равен</p> $J_0 = J_{1_0} + J_{2_0} + \frac{m_1 m_2}{m_1 + m_2} l^2,$ <p>где l — расстояние между центрами масс или параллельными центральными осями (плоскостями) тел.</p> <p>П р и м е ч а н и е. Из формул для моментов инерции следует, что в общем случае моменты инерции тела относительно оси (плоскости, полюса) складываются из двух составляющих.</p> <p>Первые члены в формулах определяют моменты инерции тела относительно центральных осей (плоскостей, центра масс). Эти моменты зависят как от формы и размеров самого тела, так и от распределения массы тела относительно центральных осей (плоскостей, центра масс).</p> <p>Вторые члены в формулах есть дополнительные величины, которые зависят только от массы тела и расстояний от центра масс тела до заданной оси (плоскости, полюса). Поэтому произведение массы тела на квадраты расстояний от центра масс тела до заданной оси (плоскости, полюса) иногда называют переносными моментами инерции тела, а произведение массы тела на расстояния от центра масс до двух заданных плоскостей — переносными центробежными моментами инерции тела.</p> <p>Термины «собственные» и «переносные» моменты инерции не имеют физического обоснования, и поэтому их не рекомендуется применять.</p>		

4. Статические моменты и моменты инерции тела при повороте системы координат вокруг координатных осей на произвольный угол

Моменты		Формулы моментов		
Наименование	Обозначение			
Статические моменты	S_{x_1} S_{y_1} S_{z_1}	S_x $S_y \cos \alpha + S_z \sin \alpha$ $-S_y \sin \alpha + S_z \cos \alpha$	$-S_z \sin \alpha + S_x \cos \alpha$ S_y $S_z \cos \alpha + S_x \sin \alpha$	$S_x \cos \alpha + S_y \sin \alpha$ $-S_x \sin \alpha + S_y \cos \alpha$ S_z
Моменты инерции относительно координатных осей	$J_{x_1 x_1}$ $J_{y_1 y_1}$ $J_{z_1 z_1}$	J_{xx} $J_{yy} \cos^2 \alpha + J_{zz} \sin^2 \alpha - J_{y \cdot z} \sin 2\alpha$ $J_{yy} \sin^2 \alpha + J_{zz} \cos^2 \alpha + J_{y \cdot z} \sin 2\alpha$	$J_{zz} \sin^2 \alpha + J_{xx} \cos^2 \alpha + J_{z \cdot x} \sin 2\alpha$ J_{yy} $J_{zz} \cos^2 \alpha + J_{xx} \sin^2 \alpha - J_{z \cdot x} \sin 2\alpha$	$J_{xx} \cos^2 \alpha + J_{yy} \sin^2 \alpha - J_{x \cdot y} \sin 2\alpha$ $J_{xx} \sin^2 \alpha + J_{yy} \cos^2 \alpha + J_{x \cdot y} \sin 2\alpha$ J_{zz}

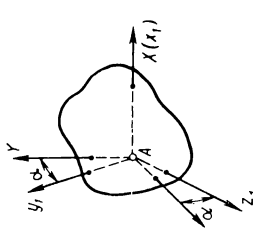
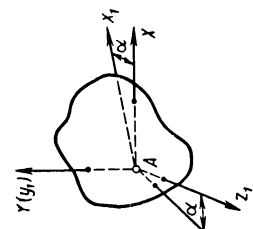
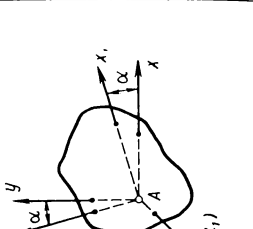
Продолжение табл. 4

Моменты		Формулы моментов	
Наименование	Обозначение		
Моменты инерции относительно координатных плоскостей	J_{y_1, Az_1}	$J_{xAy} \sin^2 \alpha + J_{yAz} \cos^2 \alpha - J_{z, x} \sin 2\alpha$	$J_{yAz} \cos^2 \alpha + J_{zAx} \sin^2 \alpha + J_{x, y} \sin 2\alpha$
	J_{z_1, Ax_1}	$J_{zAx} \cos^2 \alpha + J_{xAy} \sin^2 \alpha + J_{y, z} \sin 2\alpha$	$J_{yAz} \sin^2 \alpha + J_{zAx} \cos^2 \alpha - J_{x, y} \sin 2\alpha$
	J_{x_1, Ay_1}	$J_{zAx} \sin^2 \alpha + J_{xAy} \cos^2 \alpha - J_{y, z} \sin 2\alpha$	J_{xAy}
Центробежные моменты инерции	J_{y_1, z_1}	$\frac{1}{2} (J_{yy} - J_{zz}) \sin 2\alpha + J_{y, z} \cos 2\alpha$	$J_{y, z} \cos \alpha - J_{z, x} \sin \alpha$
	J_{z_1, x_1}	$J_{z, x} \cos \alpha - J_{x, y} \sin \alpha$	$J_{y, z} \sin \alpha + J_{z, x} \cos \alpha$
	J_{x_1, y_1}	$J_{z, x} \sin \alpha + J_{x, y} \cos \alpha$	$\frac{1}{2} (J_{xx} - J_{yy}) \sin 2\alpha + J_{x, y} \cos 2\alpha$

Примечания: 1. Формулы справедливы при повороте правой системы координат против часовой стрелки, если смотреть с положительного конца оси поворота. При повороте системы по часовой стрелке угол α следует брать со знаком «минус».

2. Статические моменты и центробежные моменты инерции тела подставляются в формулы со своими знаками.

5. Моменты инерции тела при повороте главной системы координат вокруг координатных осей на произвольный угол *

Моменты		Формулы моментов инерции		
Наименование	Обозначение			
Моменты инерции относительно координатных осей	$J_{x_1 x_1}$ $J_{y_1 y_1}$ $J_{z_1 z_1}$	I_{XX} $I_{YY} \cos^2 \alpha + I_{ZZ} \sin^2 \alpha$ $I_{YY} \sin^2 \alpha + I_{ZZ} \cos^2 \alpha$	$I_{XX} \cos^2 \alpha + I_{ZZ} \sin^2 \alpha$ I_{YY} $I_{XX} \sin^2 \alpha + I_{ZZ} \cos^2 \alpha$	$I_{XX} \cos^2 \alpha + I_{YY} \sin^2 \alpha$ $I_{XX} \sin^2 \alpha + I_{YY} \cos^2 \alpha$ I_{ZZ}
	$J_{y_1 z_1}$ $J_{z_1 x_1}$ $J_{x_1 y_1}$	I_{YAZ} $I_{ZAX} \cos^2 \alpha + I_{XAY} \sin^2 \alpha$ $I_{ZAX} \sin^2 \alpha + I_{XAY} \cos^2 \alpha$	$I_{YAZ} \cos^2 \alpha + I_{XAY} \sin^2 \alpha$ I_{ZAX} $I_{YAZ} \sin^2 \alpha + I_{XAY} \cos^2 \alpha$	$I_{YAZ} \cos^2 \alpha + I_{ZAX} \sin^2 \alpha$ $I_{YAZ} \sin^2 \alpha + I_{ZAX} \cos^2 \alpha$ I_{XAY}
Центробежные моменты инерции	$J_{y_1 z_1}$ $J_{z_1 x_1}$ $J_{x_1 y_1}$	$\frac{1}{2} (I_{YY} - I_{ZZ}) \sin 2\alpha$ 0 0	0 $\frac{1}{2} (I_{ZZ} - I_{XX}) \sin 2\alpha$ 0	0 0 $\frac{1}{2} (I_{XX} - I_{YY}) \sin 2\alpha$

* См приложение 1 к табл. 4.

6. Статические моменты и моменты инерции тела при повороте системы координат вокруг координатных осей на углы 90, 180 и 270°

Ось поворота	Угол поворота, градусы	Статические моменты			относительно координатных осей			относительно координатных плоскостей			Моменты инерции			центробежные		
		S_x	S_y	S_z	$J_{x_1x_1}$	$J_{y_1y_1}$	$J_{z_1z_1}$	$J_{y_1A z_1}$	$J_{z_1A x_1}$	$J_{x_1A y_1}$	$J_{y_1, A z_1}$	$J_{x_1A y_1}$	J_{y_1, z_1}	J_{z_1, x_1}	J_{x_1, y_1}	
xx	90	S_x	S_z	$-S_y$	J_{xx}	J_{zz}	J_{yy}	J_{yAy}	J_{xAy}	J_{zAx}	J_{yAz}	J_{xAy}	$-J_{y,z}$	$-J_{x,y}$	$J_{z,x}$	$J_{z,x}$
	180	S_x	$-S_y$	$-S_z$	J_{xx}	J_{yy}	J_{zz}	J_{yAz}	J_{zAx}	J_{xAy}	J_{yAz}	J_{xAy}	$J_{y,z}$	$-J_{z,x}$	$-J_{x,y}$	$-J_{z,x}$
	270	S_x	$-S_z$	S_y	J_{xx}	J_{zz}	J_{yy}	J_{yAz}	J_{xAy}	J_{zAx}	J_{yAz}	J_{xAy}	$-J_{y,z}$	$J_{x,y}$	$-J_{z,x}$	$-J_{z,x}$
yy	90	$-S_z$	S_y	S_x	J_{zz}	J_{yy}	J_{xx}	J_{xAy}	J_{zAx}	J_{yAz}	J_{xAx}	J_{yAz}	$J_{x,y}$	$-J_{z,x}$	$-J_{y,z}$	$-J_{y,z}$
	180	$-S_x$	S_y	$-S_z$	J_{xx}	J_{yy}	J_{zz}	J_{yAz}	J_{zAx}	J_{xAy}	J_{yAz}	J_{xAy}	$-J_{y,z}$	$J_{z,x}$	$-J_{x,y}$	$-J_{x,y}$
	270	S_z	S_y	$-S_x$	J_{zz}	J_{yy}	J_{xx}	J_{xAy}	J_{zAx}	J_{yAz}	J_{xAx}	J_{yAz}	$-J_{x,y}$	$-J_{z,x}$	$J_{y,z}$	$J_{y,z}$
zz	90	S_y	$-S_x$	S_z	J_{yy}	J_{xx}	J_{zz}	J_{zAx}	J_{yAy}	J_{xAy}	J_{zAx}	J_{yAy}	$-J_{z,x}$	$J_{y,z}$	$-J_{x,y}$	$-J_{x,y}$
	180	$-S_x$	$-S_y$	S_z	J_{xx}	J_{yy}	J_{zz}	J_{yAz}	J_{zAx}	J_{xAy}	J_{yAz}	J_{xAy}	$-J_{y,z}$	$-J_{z,x}$	$J_{x,y}$	$J_{x,y}$
	270	$-S_y$	S_x	S_z	J_{yy}	J_{xx}	J_{zz}	J_{zAx}	J_{yAy}	J_{xAy}	J_{zAx}	J_{yAy}	$J_{z,x}$	$-J_{y,z}$	$-J_{x,y}$	$-J_{x,y}$

Примечания: 1. Схему поворота системы координат см. табл. 4.
 2. Формулы справедливы при повороте правой системы координат против часовой стрелки, если смотреть с положительного конца оси поворота.

Пример 3. Определить статические моменты и центробежные моменты инерции однородного параллелепипеда со сторонами a , b и c (рис. 4) в системе $OX_0Y_0Z_0$, оси которой параллельны осям системы $Axyz$, расположенной в вершине A параллелепипеда, а плоскости отстоят от координатных плоскостей системы $Axyz$ на половину длины соответствующей стороны.

Решение. Положение координатных плоскостей системы $Axyz$ в системе отсчета $OX_0Y_0Z_0$ определяется координатами:

$$x_0 = -\frac{1}{2}a; \quad y_0 = -\frac{1}{2}b; \quad z_0 = -\frac{1}{2}c.$$

Статические моменты параллелепипеда относительно плоскостей системы координат $OX_0Y_0Z_0$ находим по формулам табл. 3 (стр. 62), используя результаты решения примера 1:

$$S_{X_0} = S_x + mx_0 = \frac{1}{2}ma + m\left(-\frac{1}{2}a\right) = 0;$$

$$S_{Y_0} = S_y + my_0 = \frac{1}{2}mb + m\left(-\frac{1}{2}b\right) = 0;$$

$$S_{Z_0} = S_z + mz_0 = \frac{1}{2}mc + m\left(-\frac{1}{2}c\right) = 0.$$

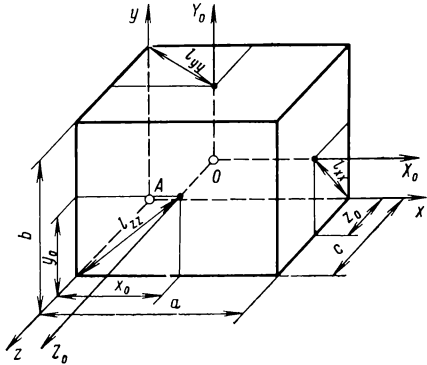


Рис. 4

Статические моменты параллелепипеда равны нулю, потому что заданная система координат $OX_0Y_0Z_0$ является центральной*.

Центробежные моменты инерции параллелепипеда в центральной системе $OX_0Y_0Z_0$ вычисляем по формулам табл. 3, также используя результаты решения примера 1:

$$J_{Y_0Z_0} = J_{y \cdot z} - my_0z_0 = \frac{1}{4}mbc - m\left(-\frac{1}{2}b\right)\left(-\frac{1}{2}c\right) = 0;$$

$$J_{Z_0X_0} = J_{z \cdot x} - mz_0x_0 = \frac{1}{4}mca - m\left(-\frac{1}{2}c\right)\left(-\frac{1}{2}a\right) = 0;$$

$$J_{X_0Y_0} = J_{x \cdot y} - mx_0y_0 = \frac{1}{4}mab - m\left(-\frac{1}{2}a\right)\left(-\frac{1}{2}b\right) = 0.$$

Равенство нулю центробежных моментов инерции показывает, что координатные оси центральной системы $OX_0Y_0Z_0$, показанной на рис. 4, являются главными осями инерции параллелепипеда.

Ответ. Статические моменты и центробежные моменты инерции однородного параллелепипеда, как и всякого другого тела, в главной центральной системе координат равны нулю.

Пример 4. Определить моменты инерции однородного параллелепипеда со сторонами a , b и c (см. рис. 4) относительно его главных центральных осей.

Решение. В предыдущем примере показано, что координатные оси системы $OX_0Y_0Z_0$ есть главные центральные оси параллелепипеда. В примере 2 найдены моменты инерции его относительно координатных осей системы $Axyz$. Определив расстояния между параллельными координатными осями

$$l_{xx} = \frac{1}{2}\sqrt{b^2 + c^2}; \quad l_{yy} = \frac{1}{2}\sqrt{c^2 + a^2}; \quad l_{zz} = \frac{1}{2}\sqrt{a^2 + b^2},$$

вычислим моменты инерции заданного параллелепипеда относительно главных центральных осей по формулам

$$I_{X_0X_0} = J_{xx} - ml_{xx}^2 = \frac{1}{3}m(b^2 + c^2) - m\left(\frac{1}{2}\sqrt{b^2 + c^2}\right)^2 = \frac{1}{12}m(b^2 + c^2);$$

$$I_{Y_0Y_0} = J_{yy} - ml_{yy}^2 = \frac{1}{3}m(c^2 + a^2) - m\left(\frac{1}{2}\sqrt{c^2 + a^2}\right)^2 = \frac{1}{12}m(c^2 + a^2);$$

$$I_{Z_0Z_0} = J_{zz} - ml_{zz}^2 = \frac{1}{3}m(a^2 + b^2) - m\left(\frac{1}{2}\sqrt{a^2 + b^2}\right)^2 = \frac{1}{12}m(a^2 + b^2).$$

* Прямоугольную систему координат, начало которой помещено в центре масс тела, называют центральной системой координат, а ее оси и плоскости — центральными осями и центральными плоскостями.

Ответ. Главные центральные моменты инерции параллелепипеда со сторонами a , b и c имеют следующие значения:

$$I_{X_0 X_0} = \frac{1}{12} m (b^2 + c^2); \quad I_{Y_0 Y_0} = \frac{1}{12} m (c^2 + a^2); \quad I_{Z_0 Z_0} = \frac{1}{12} m (a^2 + b^2).$$

Пример 5. Моменты инерции сплошного кругового цилиндра с заданным обозначением главных центральных осей, расположенного, как показано на рис. 5, привести к осям прямоугольной системы координат $Axyz$. Цилиндр радиусом $R = 0,15$ м и высотой $l = 0,25$ м изготовлен из алюминиевого сплава с удельным весом $\gamma = 2,75$ гс/см³. Координаты центра масс цилиндра в системе $Axyz$: $x_0 = 0,10$ м; $y_0 = 0,03$ м; $z_0 = 0,035$ м. Расчет провести в технической системе единиц.

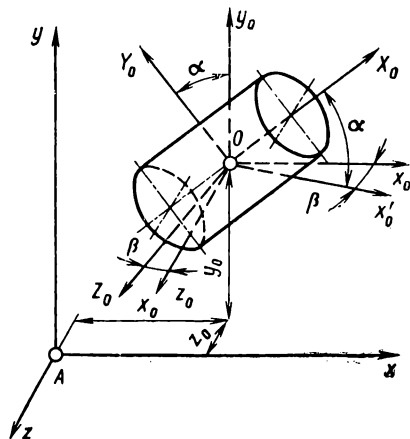


Рис. 5

Решение. Поставленную задачу решим следующим образом. Сначала осуществим необходимые повороты цилиндра с тем, чтобы направления главных центральных осей цилиндра и соответствующих осей заданной системы координат совпали. Затем параллельными переносами совмещаем новые центральные оси цилиндра с координатными осями заданной системы $Axyz$. Сначала задачу решим в общем виде, а затем вычислим значения моментов инерции. Все расчеты проводим в следующей последовательности.

1. По предметно-иллюстрированному оглавлению находим, что расчетные формулы характеристик геометрии масс для сплошного кругового цилиндра приведены на стр. 388 (элемент 271). Выписываем необходимые для расчета формулы объема и главных центральных моментов инерции цилиндра, используя табл. 25 (стр. 127) и учитывая, что по обозначениям оси цилиндра, показанные на эскизе в справочной таблице, не совпадают с осями заданного цилиндра:

$$V = \pi R^2 l; \quad I_{X_0 X_0} = \frac{1}{2} m R^2;$$

$$I_{Y_0 Y_0} = I_{Z_0 Z_0} = \frac{1}{12} m (3R^2 + l^2).$$

2. В центре масс цилиндра строим прямоугольную систему координат $Ox_0y_0z_0$, оси которой параллельны соответствующим осям заданной системы отсчета $Axyz$. Определяем углы, которые составляет проекция продольной оси цилиндра на плоскость z_0Ox_0 с осью цилиндра (угол α) и с координатной осью x_0x_0 (угол β). Для определенности задачи принимаем, что $\alpha = 30^\circ$, $\beta = 60^\circ$.

3. Цилиндр поворачиваем вокруг главной центральной оси Z_0O_0 на угол α . При этом его главная ось Y_0O_0 совмещается с координатной осью y_0y_0 , а ось X_0O_0 занимает положение $x'_0x'_0$ в плоскости z_0Ox_0 . Так как поворот производим по часовой стрелке, то углу α следует приписать знак «минус». С учетом этого поворота по формулам (табл. 5) получаем:

моменты инерции цилиндра относительно осей центральной системы координат

$$I_{x'_0 x'_0} = I_{X_0 X_0} \cos^2 \alpha + I_{Y_0 Y_0} \sin^2 \alpha = \frac{1}{2} m R^2 \cos^2 (-30^\circ) +$$

$$+ \frac{1}{12} m (3R^2 + l^2) \sin^2 (-30^\circ) = \frac{1}{48} m (21R^2 + l^2);$$

$$I_{y_0 y_0} = I_{X_0 X_0} \sin^2 \alpha + I_{Y_0 Y_0} \cos^2 \alpha = \frac{1}{2} m R^2 \sin^2 (-30^\circ) +$$

$$+ \frac{1}{12} m (3R^2 + l^2) \cos^2 (-30^\circ) = \frac{1}{16} m (5R^2 + l^2);$$

$$I_{z_0 z_0} = \frac{1}{12} m (3R^2 + l^2);$$

центробежный момент инерции в центральной координатной системе, появившийся в результате поворота главной системы координат,

$$\begin{aligned} J_{x_0'y_0} &= \frac{1}{2} (I_{X_0}X_0 - I_{Y_0}Y_0) \sin 2\alpha = \\ &= \frac{1}{2} \left[\frac{1}{2} m R^2 - \frac{1}{12} m (3R^2 + l^2) \right] \sin 2(-30^\circ) = \\ &= -\frac{\sqrt{3}}{48} m (3R^2 - l^2). \end{aligned}$$

4. Считая полученные значения моментов инерции в системе $Ox_0'y_0z_0$ за исходные, повернем цилиндр вокруг координатной оси y_0y_0 на угол β . В этом случае направления осей цилиндра и координатных осей центральной системы $Ox_0y_0z_0$, параллельной заданной системе координат $Axyz$, совпадут. Учитывая, что поворот происходит против часовой стрелки, по формулам (табл. 4) получаем моменты инерции цилиндра в центральной системе координат $Ox_0y_0z_0$:

относительно координатных осей

$$\begin{aligned} J_{x_0x_0} &= I_{Z_0}Z_0 \sin^2 \beta + J_{x_0'x_0'} \cos^2 \beta + J_{Z_0x_0'} \sin 2\beta = \\ &= \frac{1}{12} m (3R^2 + l^2) \sin^2 60^\circ + \frac{1}{48} m (21R^2 + l^2) \cos^2 60^\circ + 0 = \\ &= \frac{1}{192} m (57R^2 + 13l^2); \\ J_{y_0y_0} &= \frac{1}{16} m (5R^2 + l^2); \\ J_{z_0z_0} &= I_{Z_0}Z_0 \cos^2 \beta + J_{x_0'x_0'} \sin^2 \beta - J_{Z_0x_0'} \sin 2\beta = \\ &= \frac{1}{12} m (3R^2 + l^2) \cos^2 60^\circ + \frac{1}{48} m (21R^2 + l^2) \sin^2 60^\circ - 0 = \\ &= \frac{1}{192} m (75R^2 + 7l^2); \end{aligned}$$

центробежные моменты инерции

$$\begin{aligned} J_{y_0z_0} &= J_{y_0'z_0'} \cos \beta + J_{x_0'y_0'} \sin \beta = \\ &= 0 + \left[-\frac{\sqrt{3}}{48} m (3R^2 - l^2) \right] \sin 60^\circ = -\frac{1}{32} m (3R^2 - l^2); \\ J_{z_0x_0} &= \frac{1}{2} \left(I_{Z_0}Z_0 - J_{x_0'x_0'} \right) \sin 2\beta + J_{Z_0x_0'} \cos 2\beta = \\ &= \frac{1}{2} \left[\frac{1}{12} m (3R^2 + l^2) - \frac{1}{48} m (21R^2 + l^2) \right] \sin 2 \cdot 60^\circ + 0 = \\ &= -\frac{\sqrt{3}}{64} m (3R^2 - l^2); \\ J_{x_0y_0} &= -J_{y_0'z_0'} \sin \beta + J_{x_0'y_0'} \cos \beta = 0 + \\ &+ \left[-\frac{\sqrt{3}}{48} m (3R^2 - l^2) \right] \cos 60^\circ = -\frac{\sqrt{3}}{96} m (3R^2 - l^2). \end{aligned}$$

Чтобы проверить правильность определения моментов инерции кругового цилиндра в системе $Ox_0y_0z_0$, вычисляем инерционные инварианты (табл. 18, п. 1): до поворота; после двух поворотов. Для любой прямоугольной системы координат с началом в одной и той же точке инерционные инварианты тела остаются неизменными.

Для главной центральной системы координат $O X_0 Y_0 Z_0$ инерционные инварианты цилиндра вычисляем по заданным значениям главных центральных моментов инерции, учитывая, что центробежные моменты инерции равны нулю:

$$\begin{aligned}
 b &= - (I_{X_0 X_0} + I_{Y_0 Y_0} + I_{Z_0 Z_0}) = \\
 &= - \left[\frac{1}{2} m R^2 + \frac{1}{12} m (3R^2 + l^2) + \frac{1}{12} m (3R^2 + l^2) \right] = \\
 &= - \frac{1}{6} m (6R^2 + l^2); \\
 c &= I_{X_0 X_0} I_{Y_0 Y_0} + I_{Y_0 Y_0} I_{Z_0 Z_0} + I_{Z_0 Z_0} I_{X_0 X_0} = \\
 &= \frac{1}{2} m R^2 \cdot \frac{1}{12} m (3R^2 + l^2) + \frac{1}{12} m (3R^2 + l^2) \times \\
 &\times \frac{1}{12} m (3R^2 + l^2) + \frac{1}{12} m (3R^2 + l^2) \cdot \frac{1}{2} m R^2 = \frac{1}{144} m^2 (45R^4 + 18R^2 l^2 + l^4); \\
 d &= - I_{X_0 X_0} I_{Y_0 Y_0} I_{Z_0 Z_0} = - \frac{1}{2} m R^2 \cdot \frac{1}{12} m (3R^2 + l^2) \cdot \frac{1}{12} m (3R^2 + l^2) = \\
 &= - \frac{1}{288} m^3 (9R^6 + 6R^4 l^2 + R^2 l^4).
 \end{aligned}$$

Инерционные инварианты цилиндра для центральной системы координат $O x_0 y_0 z_0$, полученной после двух поворотов, определяем по тем же формулам, подставляя вычисленные моменты инерции:

$$\begin{aligned}
 b &= - (J_{x_0 x_0} + J_{y_0 y_0} + J_{z_0 z_0}) = - \left[\frac{1}{192} m (57R^2 + 13l^2) + \right. \\
 &+ \left. \frac{1}{16} m (5R^2 + l^2) + \frac{1}{192} m (75R^2 + 7l^2) \right] = - \frac{1}{6} m (6R^2 + l^2); \\
 c &= J_{x_0 x_0} J_{y_0 y_0} + J_{y_0 y_0} J_{z_0 z_0} + J_{z_0 z_0} J_{x_0 x_0} - \left(J_{y_0 \cdot z_0}^2 + J_{z_0 \cdot x_0}^2 + J_{x_0 \cdot y_0}^2 \right) = \\
 &= \frac{1}{192} m (57R^2 + 13l^2) \cdot \frac{1}{16} m (5R^2 + l^2) + \\
 &+ \frac{1}{16} m (5R^2 + l^2) \cdot \frac{1}{192} m (75R^2 + 7l^2) + \frac{1}{192} m (75R^2 + 7l^2) \times \\
 &\times \frac{1}{192} m (57R^2 + 13l^2) - \left\{ \left[-\frac{1}{32} m (3R^2 - l^2) \right]^2 + \right. \\
 &+ \left[-\frac{\sqrt{3}}{64} m (3R^2 - l^2) \right]^2 + \left[-\frac{\sqrt{3}}{96} m (3R^2 - l^2) \right]^2 \left. \right\} = \frac{1}{144} m^2 (45R^4 + 18R^2 l^2 + l^4); \\
 d &= - J_{x_0 x_0} J_{y_0 y_0} J_{z_0 z_0} + \left(J_{x_0 x_0} J_{y_0 \cdot z_0}^2 + J_{y_0 y_0} J_{z_0 \cdot x_0}^2 + \right. \\
 &+ \left. J_{z_0 z_0} J_{x_0 \cdot y_0}^2 + 2J_{y_0 \cdot z_0} J_{z_0 \cdot x_0} J_{x_0 \cdot y_0} \right) = \\
 &= - \frac{1}{192} m (57R^2 + 13l^2) \cdot \frac{1}{16} m (5R^2 + l^2) - \frac{1}{192} m (75R^2 + 7l^2) + \\
 &+ \left\{ \frac{1}{192} m (57R^2 + 13l^2) \left[-\frac{1}{32} m (3R^2 - l^2) \right]^2 + \frac{1}{16} m (5R^2 + l^2) \times \right. \\
 &\times \left[-\frac{\sqrt{3}}{64} m (3R^2 - l^2) \right]^2 + \frac{1}{192} m (75R^2 + 7l^2) \left[-\frac{\sqrt{3}}{96} m (3R^2 - l^2) \right]^2 + \\
 &+ 2 \left\{ \left[-\frac{1}{32} m (3R^2 - l^2) \right] \left[-\frac{\sqrt{3}}{64} m (3R^2 - l^2) \right] \times \right. \\
 &\times \left. \left. \left[-\frac{\sqrt{3}}{96} m (3R^2 - l^2) \right] \right\} \right\} = - \frac{1}{288} m^3 (9R^6 + 6R^4 l^2 + R^2 l^4).
 \end{aligned}$$

Инерционные инварианты цилиндра до и после поворотов совпадают. Следовательно, моменты инерции кругового цилиндра в центральной системе координат $Ox_0y_0z_0$ определены правильно.

5. После последовательного параллельных переносов по направлению каждой координатной оси на расстояния x_0 , y_0 и z_0 соответственно определяем моменты инерции сплошного кругового цилиндра в заданной системе координат $Axyz$:

относительно координатных осей (табл. 3, п. 2)

$$J_{xx} = J_{x_0x_0} + m(y_0^2 + z_0^2) = \frac{1}{192} m [57R^2 + 13l^2 + 192(y_0^2 + z_0^2)];$$

$$J_{yy} = J_{y_0y_0} + m(z_0^2 + x_0^2) = \frac{1}{16} m [5R^2 + l^2 + 16(z_0^2 + x_0^2)];$$

$$J_{zz} = J_{z_0z_0} + m(x_0^2 + y_0^2) = \frac{1}{192} m [75R^2 + 7l^2 + 192(x_0^2 + y_0^2)];$$

центробежные моменты инерции (табл. 3, п. 5)

$$J_{y \cdot z} = J_{y_0 \cdot z_0} + m y_0 z_0 = \frac{1}{32} m [32 y_0 z_0 - (3R^2 - l^2)];$$

$$J_{z \cdot x} = J_{z_0 \cdot x_0} + m z_0 x_0 = \frac{1}{64} m [64 z_0 x_0 - \sqrt{3} (3R^2 - l^2)];$$

$$J_{x \cdot y} = J_{x_0 \cdot y_0} + m x_0 y_0 = \frac{1}{96} m [96 x_0 y_0 - \sqrt{3} (3R^2 - l^2)].$$

6. Массу сплошного цилиндра вычисляем по формуле

$$m = \rho V = \frac{\gamma}{g} \pi R^2 l = \frac{2,75 \cdot 10^3}{9,81} 3,142 \cdot 0,15^2 \cdot 0,25 = 4,95 \text{ кгс} \cdot \text{м}^{-1} \cdot \text{с}^2,$$

где $g = 9,81 \text{ м/с}^2$ — ускорение свободного падения тела.

7. Подставляя в полученные формулы заданные значения геометрических параметров, для сплошного кругового цилиндра в заданной системе координат $Axyz$ находим: моменты инерции относительно координатных осей

$$J_{xx} = \frac{1}{192} 4,95 \{57 \cdot 0,15^2 + 13 \cdot 0,25^2 + 192 [0,03^2 + (-0,035)^2]\} = 0,0346 \text{ кгс} \cdot \text{м} \cdot \text{с}^2;$$

$$J_{yy} = \frac{1}{16} 4,95 \{5 \cdot 0,15^2 + 0,25^2 + 16 [(-0,035)^2 + 0,10^2]\} = 0,1100 \text{ кгс} \cdot \text{м} \cdot \text{с}^2;$$

$$J_{zz} = \frac{1}{192} 4,95 [75 \cdot 0,15^2 + 7 \cdot 0,25^2 + 192 (0,10^2 + 0,03^2)] = 0,1030 \text{ кгс} \cdot \text{м} \cdot \text{с}^2;$$

центробежные моменты инерции

$$J_{y \cdot z} = \frac{1}{32} 4,95 [32 \cdot 0,03 (-0,035) - (3 \cdot 0,15^2 - 0,25^2)] = -0,0032 \text{ кгс} \cdot \text{м} \cdot \text{с}^2;$$

$$J_{z \cdot x} = \frac{1}{64} 4,95 [64 (-0,035) \cdot 0,10 - \sqrt{3} (3 \cdot 0,15^2 - 0,25^2)] = -0,0181 \text{ кгс} \cdot \text{м} \cdot \text{с}^2;$$

$$J_{x \cdot y} = \frac{1}{96} 4,95 [96 \cdot 0,10 \cdot 0,03 - \sqrt{3} (3 \cdot 0,15^2 - 0,25^2)] = 0,0114 \text{ кгс} \cdot \text{м} \cdot \text{с}^2.$$

Ответ. Моменты инерции сплошного кругового цилиндра радиусом $R = 0,15 \text{ м}$ и высотой $l = 0,25 \text{ м}$, выполненного из алюминиевого сплава с удельным весом $\gamma = 2,75 \text{ гс/см}^3$ и расположенного, как показано на рис. 5, в заданной системе координат $Axyz$, имеют следующие значения:

$$J_{xx} = 6,46 \cdot 10^{-2} \text{ кгс} \cdot \text{м} \cdot \text{с}^2; \quad J_{yy} = 11,00 \cdot 10^{-2} \text{ кгс} \cdot \text{м} \cdot \text{с}^2;$$

$$J_{zz} = 10,80 \cdot 10^{-2} \text{ кгс} \cdot \text{м} \cdot \text{с}^2;$$

$$J_{y \cdot z} = -0,62 \cdot 10^{-2} \text{ кгс} \cdot \text{м} \cdot \text{с}^2; \quad J_{z \cdot x} = -1,81 \cdot 10^{-2} \text{ кгс} \cdot \text{м} \cdot \text{с}^2;$$

$$J_{x \cdot y} = 1,44 \cdot 10^{-2} \text{ кгс} \cdot \text{м} \cdot \text{с}^2.$$

ЦЕНТР ТЯЖЕСТИ. ЦЕНТР МАСС ТЕЛА

Общие сведения о центре тяжести и центре масс тела приведены в табл. 7. В табл. 8 сформулированы основные свойства центра масс и центральных осей и плоскостей тела.

Положения центра масс сложных тел определяют методом непосредственного интегрирования; методом разбиения сложного тела на составляющие части, для которых положения центра масс известны или легко могут быть найдены; методом «отрицательных» масс, при котором вырезы и пустоты заполняют «отрицательными» массами и, приписывая этим элементам знак «минус», оперируют с ними, как с обычными элементами.

В главе «Вычисление массы, положения центра масс и центральных моментов инерции сложных тел» (стр. 88) изложен порядок вычисления координат центра масс сложных тел различными методами.

7. Общие сведения о центре тяжести и центре масс

Центр тяжести	Центр масс
<p>Центр тяжести твердого тела есть точка, неизменно связанная с телом, через которую проходит линия действия равнодействующей сил тяжести всех частиц тела при любой ориентации его в пространстве</p>	<p>Центр масс твердого тела есть точка, неизменно связанная с телом и определяемая радиусом-вектором, равным отношению статического момента тела к его массе</p>
<div data-bbox="401 787 685 1079" data-label="Image"> </div> <div data-bbox="478 1101 613 1123" data-label="Caption">Радиус-вектор</div> <div data-bbox="223 1133 436 1274" data-label="Equation-Block"> $\vec{r}_0 = \frac{\sum_{i=1}^n G_i \vec{r}_i}{\sum_{i=1}^n G_i} = \frac{\vec{S}_G}{G}$ </div> <div data-bbox="653 1133 871 1274" data-label="Equation-Block"> $\vec{r}_0 = \frac{\sum_{i=1}^n m_i \vec{r}_i}{\sum_{i=1}^n m_i} = \frac{\vec{S}_m}{m}$ </div> <div data-bbox="485 1295 606 1318" data-label="Caption">Координаты</div> <div data-bbox="223 1328 436 1469" data-label="Equation-Block"> $x_0 = \frac{\sum_{i=1}^n G_i x_i}{\sum_{i=1}^n G_i} = \frac{S_x^G}{G}$ </div> <div data-bbox="653 1328 871 1469" data-label="Equation-Block"> $x_0 = \frac{\sum_{i=1}^n m_i x_i}{\sum_{i=1}^n m_i} = \frac{S_x^m}{m}$ </div>	

Продолжение табл. 7

Центр тяжести	Центр масс
$y_0 = \frac{\sum_{i=1}^n G_i y_i}{\sum_{i=1}^n G_i} = \frac{S_y^G}{G}$ $z_0 = \frac{\sum_{i=1}^n G_i z_i}{\sum_{i=1}^n G_i} = \frac{S_z^G}{G}$	$y_0 = \frac{\sum_{i=1}^n m_i y_i}{\sum_{i=1}^n m_i} = \frac{S_y^m}{m}$ $z_0 = \frac{\sum_{i=1}^n m_i z_i}{\sum_{i=1}^n m_i} = \frac{S_z^m}{m}$
<p>Принятые обозначения: G_i — вес i-й частицы тела;</p> <p>\vec{r}_i — радиус-вектор i-й частицы тела;</p> <p>$m_i = \frac{G_i}{g}$ — масса i-й частицы тела;</p> <p>g — ускорение свободного падения тела;</p> <p>\vec{S}_A — статический момент тела относительно полюса;</p> <p>x_i, y_i, z_i — расстояния i-й частицы тела до соответствующих координатных плоскостей, взятые со своими знаками;</p> <p>S_x, S_y, S_z — статические моменты тела относительно координатных плоскостей yAz, zAx, xAy.</p> <p>Примечания: 1. Для тела, находящегося в однородном поле тяжести, положения центра масс и центра тяжести совпадают. Однако эти понятия не тождественны. Центр тяжести имеет смысл для тела, находящегося в однородном поле тяжести, а центр масс тела зависит только от распределения массы в теле и сохраняет свой смысл независимо от того, находится ли тело под действием каких-либо сил.</p> <p>2. Масса конкретного тела есть величина постоянная и положительная, поэтому значения и знаки координат центра масс тела полностью определяются значениями и знаками статических моментов, т. е. взаимным расположением тела и системы координат.</p> <p>3. Формулы для координат центра масс тел с непрерывным распределением массы следует считать приближенными, так как масса и координаты центра масс каждой i-й частицы определены с точностью до размеров этих частиц. Чтобы получить точные результаты, суммы в формулах необходимо заменить интегралами.</p> <p>4. Общие формулы для вычисления статических моментов тела приведены в табл. 1 (стр. 58); при параллельном переносе системы координат — в табл. 3 (стр. 62); при повороте системы координат — в табл. 4 (стр. 65).</p>	

8. Свойства центра масс и центральных осей и плоскостей

Центр масс	Центральные оси и плоскости
<p>1. Положение центра масс в теле зависит только от распределения массы в нем и не зависит от выбора системы отсчета и от последовательности определения его координат</p> <p>2. Если однородное тело имеет плоскость, ось или центр симметрии, то его центр масс лежит соответственно в плоскости, на оси или в центре симметрии тела</p> <p>3. Центр масс тела есть полюс (точка), относительно которого полярный момент инерции тела достигает минимума</p> <p>4. По известному моменту инерции тела относительно центра масс всегда можно определить момент инерции этого тела относительно любого полюса (табл. 3, п. 4)</p>	<p>1. Статический момент тела относительно центральной плоскости равен нулю</p> <p>2. Из всех моментов инерции тела относительно параллельных осей (плоскостей) момент инерции тела относительно центральной оси (плоскости) имеет наименьшее значение</p> <p>3. Зная момент инерции тела относительно центральной оси (плоскости), всегда можно определить момент инерции этого тела относительно любой оси (плоскости), параллельной центральной (табл. 3, п. 1 и 2)</p>

МОМЕНТЫ ИНЕРЦИИ ТЕЛА ОТНОСИТЕЛЬНО ОСИ И ПЛОСКОСТИ

Момент инерции тела относительно оси есть мера его инерции при вращении вокруг данной оси.

Все изменения положения оси в пространстве можно свести к двум частным случаям: параллельному (поступательному) переносу оси (направление оси

в пространстве неизменно) и повороту оси (ось, поворачиваясь вокруг точки, меняет направление в пространстве).

Момент инерции J_{LL} тела относительно любой оси LL (рис. 6), проходящей через начало прямоугольной системы координат $Axyz$ и образующей с положительными направлениями координатных осей соответственно углы α , β , и γ , определяют по формуле

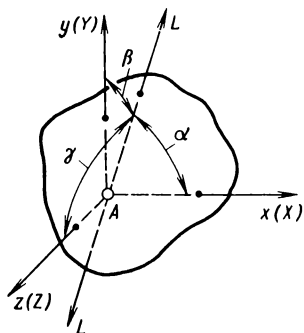


Рис. 6

$$\begin{aligned}
 J_{LL} = & J_{xx} \cos^2 \alpha + J_{yy} \cos^2 \beta + \\
 & + J_{zz} \cos^2 \gamma - 2J_{y \cdot z} \cos \beta \cos \gamma - \\
 & - 2J_{z \cdot x} \cos \gamma \cos \alpha - 2J_{x \cdot y} \cos \alpha \cos \beta,
 \end{aligned}$$

где J_{xx} , J_{yy} , J_{zz} — моменты инерции тела относительно координатных осей прямоугольной системы $Axyz$;

$J_{y \cdot z}$, $J_{z \cdot x}$, $J_{x \cdot y}$ — центробежные моменты инерции тела в координатной системе $Axyz$;

$\cos \alpha$, $\cos \beta$, $\cos \gamma$ — направляющие косинусы оси LL .

Если координатные оси и главные оси инерции (стр. 84) в заданной точке совпадают, то центробежные моменты инерции тела равны нулю, а моменты инерции относительно координатных осей являются главными моментами инерции тела I_{xx} , I_{yy} и I_{zz} . В этом случае момент инерции J_{LL} тела относительно любой оси LL , проходящей через начало главной системы координат, вычисляют по формуле

$$J_{LL} = I_{xx} \cos^2 \alpha + I_{yy} \cos^2 \beta + I_{zz} \cos^2 \gamma.$$

Если у всех направляющих косинусов одновременно заменить знаки на противоположные, то выражения для момента инерции J_{LL} не изменятся, так как положение оси в пространстве останется прежним, изменится только направление отсчета по оси, а момент инерции не зависит от того, какое направление на оси принято за положительное.

Момент инерции тела относительно любой оси, произвольно расположенной в пространстве, всегда можно вычислить, используя приведенные формулы и формулы моментов инерции тела при параллельном переносе осей (табл. 3, п. 2), если известны: 1) моменты инерции тела $J_{x_0x_0}$, $J_{y_0y_0}$, $J_{z_0z_0}$ относительно координатных осей центральной системы координат и центральные центробежные моменты инерции $J_{y_0 \cdot z_0}$, $J_{z_0 \cdot x_0}$ и $J_{x_0 \cdot y_0}$; 2) направления главных центральных осей инерции тела (углы α_0 , β_0 , γ_0) и его главные центральные моменты инерции $I_{X_0X_0}$, $I_{Y_0Y_0}$ и $I_{Z_0Z_0}$.

Если известны направляющие косинусы $\cos \alpha$, $\cos \beta$ и $\cos \gamma$ произвольной оси AA , то углы α_{yz} , α_{zx} и α_{xy} , образованные проекциями этой оси на координатные плоскости и положительными направлениями координатных осей (рис. 7), вычисляют по формулам

$$\alpha_{yz} = \arctg \frac{\cos \gamma}{\cos \beta}; \quad \alpha_{zx} = \arctg \frac{\cos \alpha}{\cos \gamma};$$

$$\alpha_{xy} = \arctg \frac{\cos \beta}{\cos \alpha}.$$

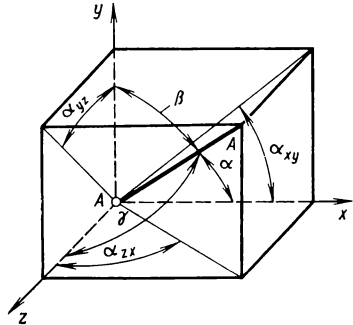


Рис. 7

Если известны углы α_{yz} , α_{zx} , α_{xy} , образованные проекциями произвольной оси на координатные плоскости и положительными направлениями координатных осей, то направляющие косинусы $\cos \alpha$, $\cos \beta$, и $\cos \gamma$ произвольной оси вычисляют по формулам, приведенным в табл. 9.

Направляющие косинусы произвольной оси связаны между собой соотношением

$$\cos^2 \alpha + \cos^2 \beta + \cos^2 \gamma = 1,$$

9. Зависимость между углами α , β , γ и α_{yz} , α_{zx} , α_{xy}

Направляющие косинусы	Координатные плоскости, на которые спроецирована ось		
	yAz и zAx	xAy и yAz	zAx и xAy
$\cos \alpha$	$\frac{\operatorname{tg} \alpha_{zx}}{\sqrt{1 + \operatorname{tg}^2 \alpha_{zx} + \operatorname{ctg}^2 \alpha_{yz}}}$	$\frac{\operatorname{ctg} \alpha_{xy}}{\sqrt{1 + \operatorname{tg}^2 \alpha_{yz} + \operatorname{ctg}^2 \alpha_{xy}}}$	$\frac{1}{\sqrt{1 + \operatorname{tg}^2 \alpha_{xy} + \operatorname{ctg}^2 \alpha_{zx}}}$
$\cos \beta$	$\frac{\operatorname{ctg} \alpha_{yz}}{\sqrt{1 + \operatorname{tg}^2 \alpha_{zx} + \operatorname{ctg}^2 \alpha_{yz}}}$	$\frac{1}{\sqrt{1 + \operatorname{tg}^2 \alpha_{yz} + \operatorname{ctg}^2 \alpha_{xy}}}$	$\frac{\operatorname{tg} \alpha_{xy}}{\sqrt{1 + \operatorname{tg}^2 \alpha_{xy} + \operatorname{ctg}^2 \alpha_{zx}}}$
$\cos \gamma$	$\frac{1}{\sqrt{1 + \operatorname{tg}^2 \alpha_{zx} + \operatorname{ctg}^2 \alpha_{yz}}}$	$\frac{\operatorname{tg} \alpha_{yz}}{\sqrt{1 + \operatorname{tg}^2 \alpha_{yz} + \operatorname{ctg}^2 \alpha_{xy}}}$	$\frac{\operatorname{ctg} \alpha_{zx}}{\sqrt{1 + \operatorname{tg}^2 \alpha_{xy} + \operatorname{ctg}^2 \alpha_{zx}}}$

Углы, образованные проекциями этой оси на координатные плоскости и положительными направлениями координатных осей, связаны соотношением

$$\operatorname{tg} \alpha_{yz} \operatorname{tg} \alpha_{zx} \operatorname{tg} \alpha_{xy} = 1.$$

Пример 6. Определить момент инерции однородного параллелепипеда со сторонами a , b , c и массой m (рис. 8) относительно его диагонали, если известны:

- 1) центробежные моменты инерции и моменты инерции относительно координатных осей системы $Axyz$, начало которой помещено в вершине параллелепипеда;
- 2) главные центральные моменты инерции параллелепипеда.

Решение. Для решения поставленной задачи предварительно находим направляющие косинусы диагонали AA параллелепипеда.

Согласно рис. 8

$$\cos \alpha = \frac{a}{\sqrt{a^2 + b^2 + c^2}};$$

$$\cos \beta = \frac{b}{\sqrt{a^2 + b^2 + c^2}};$$

$$\cos \gamma = \frac{c}{\sqrt{a^2 + b^2 + c^2}}.$$

Определим момент инерции J_{AA} параллелепипеда относительно его диагонали AA , используя общую формулу, приведенную на стр. 76. Центробежные моменты инерции параллелепипеда в системе $Axyz$ получены при решении примера 1:

$$J_{y \cdot z} = \frac{1}{4} mbc; \quad J_{z \cdot x} = \frac{1}{4} mca;$$

$$J_{x \cdot y} = \frac{1}{4} mab,$$

а моменты инерции относительно координатных осей — при решении примера 2:

$$J_{xx} = \frac{1}{3} m (b^2 + c^2); \quad J_{yy} = \frac{1}{3} m (c^2 + a^2); \quad J_{zz} = \frac{1}{3} m (a^2 + b^2).$$

Если подставить в общую формулу значения моментов инерции и направляющих косинусов и для краткости обозначить

$$\sqrt{a^2 + b^2 + c^2} = k,$$

то получим момент инерции параллелепипеда относительно его диагонали

$$\begin{aligned} J_{AA} &= J_{xx} \cos^2 \alpha + J_{yy} \cos^2 \beta + J_{zz} \cos^2 \gamma - \\ &- 2J_{y \cdot z} \cos \beta \cos \gamma - 2J_{z \cdot x} \cos \gamma \cos \alpha - 2J_{x \cdot y} \cos \alpha \cos \beta = \\ &= \frac{1}{3} m (b^2 + c^2) \left(\frac{a}{k} \right)^2 + \frac{1}{3} m (c^2 + a^2) \left(\frac{b}{k} \right)^2 + \frac{1}{3} m (a^2 + b^2) \left(\frac{c}{k} \right)^2 - \\ &- 2 \frac{1}{4} mbc \frac{b}{k} \cdot \frac{c}{k} - 2 \frac{1}{4} mca \frac{c}{k} \cdot \frac{a}{k} - \\ &- 2 \frac{1}{4} mab \frac{a}{k} \cdot \frac{b}{k} = \frac{1}{6} m \frac{a^2 b^2 + b^2 c^2 + c^2 a^2}{a^2 + b^2 + c^2}. \end{aligned}$$

Во втором случае момент инерции параллелепипеда относительно диагонали определяем, используя значения главных центральных моментов инерции параллелепипеда

$$I_{X_0 X_0} = \frac{1}{12} m (b^2 + c^2); \quad I_{Y_0 Y_0} = \frac{1}{12} m (c^2 + a^2); \quad I_{Z_0 Z_0} = \frac{1}{12} m (a^2 + b^2),$$

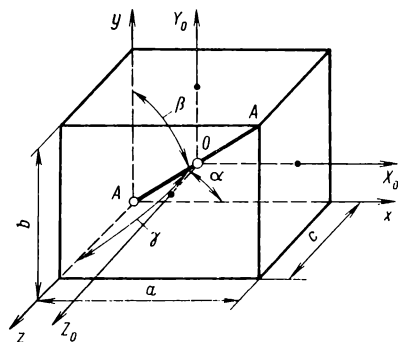


Рис. 8

вычисленные в примере 4, и величины направляющих косинусов по частной формуле (стр. 76)

$$J_{AA} = I_{X_0 X_0} \cos^2 \alpha + I_{Y_0 Y_0} \cos^2 \beta + I_{Z_0 Z_0} \cos^2 \gamma = \frac{1}{12} m (b^2 + c^2) \left(\frac{a}{k} \right)^2 + \\ + \frac{1}{12} m (c^2 + a^2) \left(\frac{b}{k} \right)^2 + \frac{1}{12} m (a^2 + b^2) \left(\frac{c}{k} \right)^2 = \frac{1}{6} m \frac{a^2 b^2 + b^2 c^2 + c^2 a^2}{a^2 + b^2 + c^2}.$$

Ответ. Момент инерции однородного параллелепипеда со сторонами a, b, c и массой m относительно его диагонали равен

$$I_{AA} = \frac{1}{6} m \frac{a^2 b^2 + b^2 c^2 + c^2 a^2}{a^2 + b^2 + c^2}.$$

Пример 7. Вычислить момент инерции сплошного кругового конуса массой m , высотой l и радиусом основания R (рис 9) относительно его образующей по известным главным центральным моментам инерции конуса.

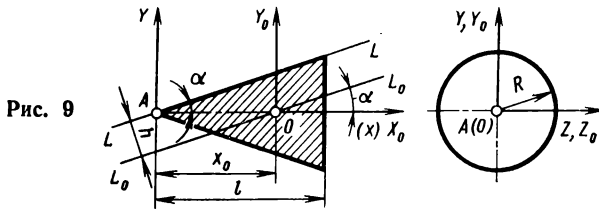


Рис. 9

Решение. Момент инерции J_{LL} конуса относительно его образующей LL можно вычислить следующими способами.

1. Вычислив момент инерции $J_{L_0 L_0}$ конуса относительно его центральной оси $L_0 L_0$, параллельной образующей LL , сделать параллельный перенос на расстояние h .

2. Определив параллельным переносом на расстояние x_0 моменты инерции относительно осей главной системы координат $AXYZ$, начало которой помещено в вершине конуса, а оси параллельны координатным осям показанной на рис. 9 главной центральной системы $OX_0 Y_0 Z_0$, сделать поворот осей на угол α .

Решим поставленную задачу обоими способами. По предметно-иллюстрированному оглавлению находим, что формулы характеристик геометрии масс для сплошного кругового конуса приведены на стр. 417 (элемент 314). Выписываем необходимые для расчета величины:

координату центра масс конуса по продольной оси

$$x_0 = \frac{3}{4} l;$$

моменты инерции относительно главных центральных плоскостей

$$I_{Y_0 O Z_0} = \frac{3}{80} m l^2; \quad I_{Z_0 O X_0} = I_{X_0 O Y_0} = \frac{3}{20} m R^2.$$

Главные центральные моменты инерции сплошного кругового конуса определяем по формулам, приведенным в табл. 25 для элементов III типа (стр. 127):

$$I_{X_0 X_0} = 2 I_{Z_0 O X_0} = 2 \cdot \frac{3}{20} m R^2 = \frac{3}{10} m R^2;$$

$$I_{Y_0 Y_0} = I_{Z_0 Z_0} = I_{Y_0 O Z_0} + I_{Z_0 O X_0} = \frac{3}{80} m l^2 + \frac{3}{20} m R^2 = \frac{3}{80} m (4 R^2 + l^2).$$

1. Вычислим момент инерции $J_{L_0 L_0}$ конуса относительно центральной оси $L_0 L_0$, параллельной образующей LL , повернув главную центральную систему координат $OX_0 Y_0 Z_0$ вокруг главной оси $Z_0 Z_0$ на угол α . Согласно рис. 9

$$\sin \alpha = \frac{R}{\sqrt{R^2 + l^2}}; \quad \cos \alpha = \frac{l}{\sqrt{R^2 + l^2}}.$$

Тогда по формуле (табл. 5), соответствующей нашему случаю поворота главной системы координат, получим момент инерции конуса относительно центральной оси параллельной образующей:

$$J_{L_0 L_0} = I_{X_0 X_0} \cos^2 \alpha + I_{Y_0 Y_0} \sin^2 \alpha = \frac{3}{10} m R^2 \left(\frac{l}{\sqrt{R^2 + l^2}} \right)^2 + \\ + \frac{3}{80} m (4R^2 + l^2) \left(\frac{R}{\sqrt{R^2 + l^2}} \right)^2 = \frac{3}{80} m R^2 \frac{4R^2 + 9l^2}{R^2 + l^2}.$$

Сделаем параллельный перенос оси на расстояние

$$h = x_0 \sin \alpha = \frac{3}{4} l \frac{R}{\sqrt{R^2 + l^2}},$$

определим момент инерции конуса относительно его образующей по формуле

$$J_{LL} = J_{L_0 L_0} + m h^2 = \frac{3}{80} m R^2 \frac{4R^2 + 9l^2}{R^2 + l^2} + m \left(\frac{3}{4} l \frac{R}{\sqrt{R^2 + l^2}} \right)^2 = \\ = \frac{3}{20} m R^2 \frac{R^2 + 6l^2}{R^2 + l^2}.$$

2. Определим моменты инерции конуса относительно осей главной системы координат $AXYZ$, параллельной главной центральной системе $OX_0Y_0Z_0$ и отстоящей от нее на расстоянии x_0 :

$$I_{YY} = I_{ZZ} = I_{Y_0 Y_0} + m x_0^2 = \frac{3}{80} m (4R^2 + l^2) + \\ + m \left(\frac{3}{4} l \right)^2 = \frac{3}{20} m (R^2 + 4l^2),$$

а момент инерции относительно продольной оси конуса, очевидно, не изменит своего значения.

Момент инерции конуса относительно его образующей получим по соответствующей нашему случаю поворота формуле (табл. 5), повернув главную систему координат $AXYZ$ вокруг главной оси ZZ на угол α :

$$J_{LL} = I_{X_0 X_0} \cos^2 \alpha + I_{Y Y} \sin^2 \alpha = \frac{3}{10} m R^2 \left(\frac{l}{\sqrt{R^2 + l^2}} \right)^2 + \\ + \frac{3}{20} m (R^2 + 4l^2) \left(\frac{R}{\sqrt{R^2 + l^2}} \right)^2 = \frac{3}{20} m R^2 \frac{R^2 + 6l^2}{R^2 + l^2}.$$

Ответ. Момент инерции однородного кругового конуса массой m , высотой l и радиусом основания R относительно его образующей равен

$$J_{LL} = \frac{3}{20} m R^2 \frac{R^2 + 6l^2}{R^2 + l^2}.$$

Моменты инерции тела относительно координатных плоскостей физического смысла не имеют, и их следует считать вспомогательными величинами, облегчающими расчет моментов инерции сложного тела относительно осей.

При вычислении моментов инерции сложного тела относительно каких-либо осей для его частей (элементов), на которые мысленно разбивают тело, целесообразно оперировать не моментами инерции относительно осей, а вспомогательными величинами — моментами инерции относительно координатных плоскостей. И только когда определены моменты инерции всех частей сложного тела относительно плоскостей общей для всего тела системы координат, находят моменты инерции сложного тела относительно заданных осей. Это объясняется следующими соображениями.

1. Аналитические формулы для вычисления моментов инерции тел относительно координатных плоскостей значительно проще, так как эти моменты являются составными частями моментов инерции относительно координатных осей (см. табл. 2, п. 1).

2. В аналитические формулы моментов инерции относительно координатных плоскостей входят лишь те параметры, которые определяют размеры тела в одном

направлении. Во многих случаях это дает возможность записать сложные аналитические формулы моментов инерции в упрощенном (по форме записи) виде, используя безразмерные геометрические коэффициенты*.

3. На рабочем чертеже любой детали или узла дано плоское изображение в одной или нескольких ортогональных проекциях. Следовательно, все необходимые для расчета размеры тела определяют непосредственно по чертежу, не делая каких-либо пересчетов, кроме масштабных.

Поэтому осевые моменты инерции разрабатываемых машин и механизмов как на этапе проектирования, так и по рабочим чертежам наиболее быстро, просто и четко можно рассчитать по методике, основанной на использовании моментов инерции относительно координатных плоскостей. Эти преимущества особенно важны при определении характеристик геометрии масс сложных изделий, состоящих из большого числа узлов и деталей сложной геометрической формы.

ЭЛЛИпсоид ИНЕРЦИИ, ТЕНЗОР ИНЕРЦИИ. ГЛАВНЫЕ ОСИ И ГЛАВНЫЕ МОМЕНТЫ ИНЕРЦИИ. ЦЕНТРОБЕЖНЫЕ МОМЕНТЫ ИНЕРЦИИ. ШАРОВЫЕ ТОЧКИ

Эллипсоидом инерции тела в заданной точке называют эллипсоид, имеющий центр в данной точке и обладающий следующим свойством. Момент инерции тела относительно любой оси, проходящей через эту точку, обратно пропорционален квадрату длины отрезка n этой оси, лежащего внутри эллипсоида инерции, т. е. $J = k/n^2$, где k — любое постоянное число.

В дальнейшем из семейства подобных эллипсоидов инерции будем рассматривать эллипсоид инерции, уравнение которого имеет более простой вид, т. е. при $k = 1$.

В табл. 10 приведены уравнения эллипсоида инерции (в общей и канонической форме) в произвольной и главных системах координат.

Пример 8. Написать уравнение и найти полуоси центрального эллипсоида инерции сплошного кругового конуса высотой l , радиусом R и массой m (рис. 10). Произвести вычисления для конуса, изготовленного из материала плотностью $\rho = 2,7 \text{ г/см}^3$ при $l = 0,45 \text{ м}$ и $R = 0,12 \text{ м}$.

Решение. Сплошной круговой конус представляет собой тело вращения, поэтому всякая центральная ось, лежащая в плоскости Y_0OZ_0 , есть главная центральная ось инерции. Следовательно, оси центральной системы координат, показанной на рис. 10, являются главными центральными осями инерции конуса. При этом ввиду симметрии конуса главные центральные моменты инерции его относительно осей, перпендикулярных к плоскостям симметрии, равны, т. е. $I_{Y_0Y_0} = I_{Z_0Z_0}$.

Уравнение центрального эллипсоида инерции при $k = 1$ запишем в виде

$$I_{X_0X_0}x^2 + I_{Y_0Y_0}(y^2 + z^2) = 1.$$

Определим моменты инерции сплошного кругового конуса относительно главных центральных осей. Выпишем со стр. 417 (элемент 314) значения моментов инерции конуса относительно его главных центральных плоскостей:

$$I_{Y_0OZ_0} = \frac{3}{80} ml^2 \text{ и } I_{Z_0OX_0} = I_{X_0OY_0} = \frac{3}{20} mR^2.$$

* Таблицы значений безразмерных геометрических коэффициентов для некоторых наиболее часто встречающихся тел даны в приложении (стр. 476).

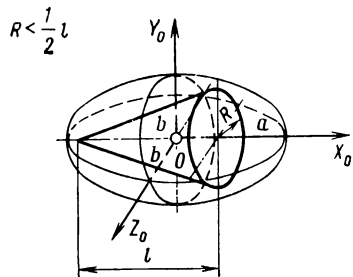
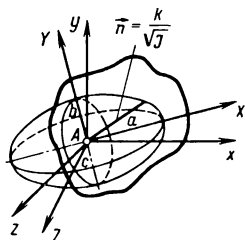


Рис. 10

10. Уравнения эллипсоида инерции



Эллипсоид инерции	Уравнение
Эллипсоид инерции тела в произвольной системе прямоугольных координат $Axyz$	$J_{xx}x^2 + J_{yy}y^2 + J_{zz}z^2 - 2J_{y \cdot z}yz - 2J_{z \cdot x}zx - 2J_{x \cdot y}xy = I$
Эллипсоид инерции тела в главной системе координат $AXYZ$ (координатные оси системы совпадают с осями симметрии эллипсоида инерции)	$I_{XX}x^2 + I_{YY}y^2 + I_{ZZ}z^2 = I$
В общем случае (значения главных моментов инерции тела различны) эллипсоид инерции тела представляет собой трехосный эллипсоид, т. е. все его полуоси различны: $a \neq b \neq c$	$\frac{x^2}{a^2} + \frac{y^2}{b^2} + \frac{z^2}{c^2} = 1$, где $a = \frac{1}{\sqrt{I_{XX}}}$; $b = \frac{1}{\sqrt{I_{YY}}}$; $c = \frac{1}{\sqrt{I_{ZZ}}}$
Эллипсоид инерции является эллипсоидом вращения, если главные моменты инерции тела относительно двух осей равны между собой: при $I_{YY} = I_{XX}$ $b = a \neq c$	$\frac{x^2 + y^2}{a^2} + \frac{z^2}{c^2} = 1$, где $a = b = \frac{1}{\sqrt{I_{XX}}}$; $c = \frac{1}{\sqrt{I_{ZZ}}}$
при $I_{ZZ} = I_{XX}$ $c = a \neq b$	$\frac{x^2 + z^2}{a^2} + \frac{y^2}{b^2} = 1$, где $a = c = \frac{1}{\sqrt{I_{XX}}}$; $b = \frac{1}{\sqrt{I_{YY}}}$
при $I_{ZZ} = I_{YY}$ $c = b \neq a$	$\frac{x^2}{a^2} + \frac{y^2 + z^2}{b^2} = 1$, где $a = \frac{1}{\sqrt{I_{XX}}}$; $b = c = \frac{1}{\sqrt{I_{YY}}}$

Продолжение табл. 10

Эллипсоид инерции	Уравнение
Если три главных момента инерции тела равны между собой: $I_{XX} = I_{YY} = I_{ZZ} = I$, то эллипсоид инерции является шаром, т. е. $a = b = c = R$	$x^2 + y^2 + z^2 = R^2$, где $R = \frac{1}{\sqrt{I}}$
<p>Примечания: 1. Для каждого тела в любой точке, лежащей в теле или вне его, может быть построен эллипсоид инерции. Исключение составляет тело в виде бесконечно тонкого прямого материального отрезка (линии), для которого момент инерции относительно этой линии равен нулю. Эллипсоид инерции, построенный в одной из точек этого отрезка, вырождается в круговой цилиндр бесконечной длины, осью которого служит сама прямая.</p> <p>2. Эллипсоид инерции, построенный в центре масс тела, называют центральным эллипсоидом инерции.</p> <p>3. При графическом построении эллипсоида инерции в заданной точке A удобнее откладывать вдоль каждой оси, проходящей через эту точку, не $\frac{1}{\sqrt{J}}$, а величину $\frac{J_A}{\sqrt{Jm}}$, где J_A (полярный момент инерции тела относительно заданной точки A) и масса m — величины постоянные для данного тела и точки A. При использовании этого приема, предложенного в 1964 г. Э. Сторчи, эллипсоид инерции не видоизменяется, но этот прием позволяет выразить его полуоси в единицах длины.</p>	

С учетом того, что конус — осесимметричное тело (тип III), по формулам табл. 25 (стр. 127) получим

$$I_{X_0X_0} = 2I_{Z_0OX_0} = 2 \frac{3}{20} mR^2 = \frac{3}{10} mR^2;$$

$$I_{Y_0Y_0} = I_{Z_0Z_0} = I_{Y_0OZ_0} + I_{Z_0OX_0} = \frac{3}{80} ml^2 + \frac{3}{20} mR^2 = \frac{3}{80} m(4R^2 + l^2).$$

Подставив полученные значения главных центральных моментов инерции в уравнение эллипсоида, напишем уравнение центрального эллипсоида инерции сплошного кругового конуса

$$\frac{3}{10} mR^2 x^2 + \frac{3}{80} m(4R^2 + l^2)(y^2 + z^2) = 1.$$

Так как эллипсоид инерции представляет собой эллипсоид вращения, то две его полуоси, соответствующие равным моментам инерции, равны, т. е. $c = b \neq a$. Формулы для определения полуосей центрального эллипсоида инерции выйдем из табл. 10 (стр. 82) для соответствующего случая:

$$a = \frac{1}{\sqrt{I_{X_0X_0}}} = \frac{1}{R} \sqrt{\frac{10}{3m}};$$

$$b = c = \frac{1}{\sqrt{I_{Y_0Y_0}}} = \sqrt{\frac{80}{3m(4R^2 + l^2)}}.$$

Подставив заданные значения параметров l , R , и ρ и определив массу однородного кругового конуса по формуле

$$m = V\rho = \frac{\pi}{3} R^2 l \rho = \frac{3,142}{3} 0,12^2 \cdot 0,45 \cdot 2,7 \cdot 10^3 = 18,3 \text{ кг},$$

вычислим длину полуосей центрального эллипсоида инерции:

$$a = \frac{1}{R} \sqrt{\frac{10}{3m}} = \frac{1}{0,12} \sqrt{\frac{10}{3 \cdot 18,3}} = 3,56 \text{ м};$$

$$b = c = \sqrt{\frac{80}{3m(4R^2 + l^2)}} = \sqrt{\frac{80}{3 \cdot 18,3(4 \cdot 0,12^2 + 0,45^2)}} = 2,37 \text{ м}$$

Уравнение эллипсоида инерции запишем в канонической форме:

$$\frac{x^2}{a^2} + \frac{y^2 + z^2}{b^2} = 1 \text{ или } \frac{x^2}{(3,56)^2} + \frac{y^2 + z^2}{(2,37)^2} = 1.$$

Так как $a > b = c$, то полученное уравнение определяет вытянутый эллипсоид вращения.

Ответ. Для однородного кругового конуса высотой $l = 0,45$ м и радиусом $R = 0,12$ м, изготовленного из материала плотностью $\rho = 2,7$ г/см³, центральный эллипсоид инерции представляет собой вытянутый по оси X_0X_0 эллипсоид вращения

$$\frac{x^2}{(3,56)^2} + \frac{y^2 + z^2}{(2,37)^2} = 1,$$

полуоси которого $a = 3,56$ м; $b = c = 2,37$ м.

Эллипсоид инерции тела, построенный в данной точке сопоставляется **тензору инерции**. Компонентами тензора инерции являются осевые моменты инерции и взятые с обратным знаком центробежные моменты инерции:

В произвольной системе прямоугольных координат	В главной системе прямоугольных координат
$\begin{pmatrix} J_{xx} & -J_{x \cdot y} & -J_{z \cdot x} \\ -J_{x \cdot y} & J_{yy} & -J_{y \cdot z} \\ -J_{z \cdot x} & -J_{y \cdot z} & J_{zz} \end{pmatrix}$	$\begin{pmatrix} I_{XX} & 0 & 0 \\ 0 & I_{YY} & 0 \\ 0 & 0 & I_{ZZ} \end{pmatrix}$

Главными осями инерции тела в данной точке называют оси XX , YY и ZZ , относительно которых центробежные моменты инерции $J_{y \cdot z}$, $J_{z \cdot x}$, $J_{x \cdot y}$ равны нулю. Следовательно, главные оси инерции тела совпадают с осями симметрии (главными диаметрами) эллипсоида инерции. Главные оси X_0X_0 , Y_0Y_0 и Z_0Z_0 , проходящие через центр масс тела, называют **главными центральными осями инерции тела**.

На опоры вращающегося тела действуют реакции, которые зависят от приложенных внешних сил, угловой скорости, углового ускорения и распределения массы этого тела относительно оси вращения. Для полной уравновешенности вращающегося тела (реакции в опорах не зависят от угловой скорости) необходимо и достаточно, чтобы ось вращения проходила через центр масс тела (статическая уравновешенность) и была его главной осью инерции (динамическая уравновешенность).

Следовательно, центробежные моменты инерции, равенством нулю которых определяется направление главных осей инерции, характеризуют динамическую неуравновешенность масс тела.

Свойства главных осей инерции тела

1. Для того чтобы какая-либо ось была главной осью инерции тела, необходимым и достаточным условием является равенство нулю центробежных моментов инерции, в обозначении которых имеется индекс этой оси.

2. В любой точке тела (или вне его) существуют по крайней мере три взаимно перпендикулярные главные оси инерции.

3. Главная центральная ось инерции есть главная ось инерции тела во всех своих точках, при этом две другие главные оси инерции сохраняют параллельность соответствующим главным центральным осям.

4. Главная, но не центральная ось инерции является главной осью инерции тела только в одной своей точке.

5. Если некоторая прямая является главной осью инерции для каких-либо двух своих точек, то эта прямая проходит через центр масс тела и является одной из его главных центральных осей инерции.

В некоторых частных случаях направления главных осей инерции легко установить из условия симметрии тела* (табл. 11).

11. Направления главных осей инерции симметричных тел

Признак симметрии тела	Главные оси инерции
1. Тело имеет одну плоскость симметрии	Любая прямая, перпендикулярная к плоскости симметрии тела, в точке пересечения
2. Тело имеет две взаимно перпендикулярные плоскости симметрии	Линия пересечения плоскостей симметрии и две взаимно перпендикулярные прямые, лежащие в плоскостях симметрии и перпендикулярные к линии пересечения
3. Тело имеет три и более плоскости симметрии	Линии пересечения плоскостей симметрии
4. Осесимметричное тело (тело вращения)	Ось симметрии и две любые прямые, взаимно перпендикулярные к оси симметрии
Примечание. Если точка пересечения совпадает с центром масс тела, то найденные оси являются главными центральными осями инерции тела.	

Моменты инерции тела относительно главных осей инерции I_{xx} , I_{yy} , I_{zz} называют **главными моментами инерции в данной точке**, а моменты инерции относительно главных центральных осей инерции $I_{x_0x_0}$, $I_{y_0y_0}$ и $I_{z_0z_0}$ — **главными центральными моментами инерции тела**.

В общем случае, когда эллипсоид инерции тела является трехосным, все три главных момента инерции тела имеют различные значения: главный момент инерции тела относительно большей (меньшей) оси симметрии эллипсоида инерции имеет наименьшее (наибольшее) значение; значения моментов инерции тела

* Определение направлений главных осей инерции сложных тел приведено в главе «Определение направлений главных осей инерции и вычисление главных моментов инерции сложных тел» (стр. 106).

относительно всех других прямых, проходящих через центр эллипсоида инерции, лежат между крайними значениями. Следовательно, эллипсоид инерции простым геометрическим образом иллюстрирует изменение моментов инерции тела относительно различных осей, проходящих через центр эллипсоида инерции.

Из всех существующих для тела моментов инерции наименьшее значение имеет главный центральный момент инерции тела относительно большей оси центрального эллипсоида инерции.

Главные центральные оси инерции, относительно которых моменты инерции имеют экстремальные значения, иногда называют свободными осями тела.

Эллипсоид инерции, построенный для какой-либо точки, или тензор инерции, заданный таблицей компонентов, полностью определяют инерционные свойства тела в данной точке. Действительно, если для тела в какой-то прямоугольной системе координат, расположенной в данной точке, известны осевые и центробежные моменты инерции, или направления главных осей инерции и главные моменты инерции, то по формулам, приведенным на стр. 76, всегда можно определить момент инерции тела относительно любой оси, проходящей через эту точку.

Центральный эллипсоид инерции или тензор инерции, компонентами которого являются центральные или главные центральные моменты инерции, полностью характеризуют инерционные свойства тела во вращательном движении. Это значит, что если известны моменты инерции тела относительно центральных осей и центральные центробежные моменты инерции или направления главных центральных осей и главные центральные моменты инерции, то по формулам, приведенным на стр. 76, и по формулам, определяющим зависимость между моментами инерции тела относительно параллельных осей (табл. 3, п. 2), всегда можно определять момент инерции тела относительно любой оси, расположенной как угодно в пространстве и проходящей через любую точку.

Шаровыми точками называют точки (полюсы), в которых эллипсоид инерции тела обращается в сферу. Для существования шаровых точек необходимо, чтобы центральный эллипсоид инерции тела представлял собой сплюснутый эллипсоид вращения. В этом случае на неравной оси его существуют две шаровые точки, лежащие по обе стороны от центра масс тела на равных расстояниях. Координаты шаровых точек в зависимости от соотношения между полуосями центрального эллипсоида инерции или соответствующими им главными центральными моментами инерции приведены в табл. 12.

12. Координаты шаровых точек

Ось, относительно которой сплюснут эллипсоид инерции	Полуоси центрального эллипсоида инерции	Главные центральные моменты инерции	Координаты шаровых точек
X_0X_0	$a < b = c$	$I_{X_0X_0} > I_{Y_0Y_0} = I_{Z_0Z_0}$	$x_{ш} = \pm \sqrt{\frac{I_{X_0X_0} - I_{Y_0Y_0}}{m}}$
Y_0Y_0	$b < c = a$	$I_{Y_0Y_0} > I_{Z_0Z_0} = I_{X_0X_0}$	$y_{ш} = \pm \sqrt{\frac{I_{Y_0Y_0} - I_{Z_0Z_0}}{m}}$
Z_0Z_0	$c < a = b$	$I_{Z_0Z_0} > I_{X_0X_0} = I_{Y_0Y_0}$	$z_{ш} = \pm \sqrt{\frac{I_{Z_0Z_0} - I_{X_0X_0}}{m}}$

Пример 9. Исследовать, при каком соотношении радиуса R и высоты l сплошной круговой конус массой m (рис. 10) имеет шаровые точки.

Решение. В примере 3 показано, что неравной осью центрального эллипсоида инерции кругового конуса является ось X_0X_0 , относительно которой главный момент инерции равен $I_{X_0X_0}$. Поэтому для существования шаровых точек центральный эллипсоид

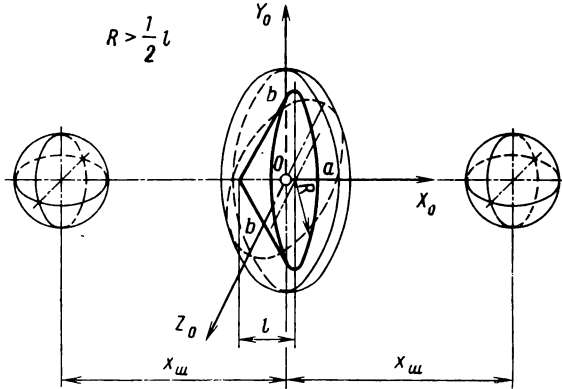


Рис. 11

инерции, являющийся эллипсоидом вращения, должен быть сплюснут по оси X_0X_0 , т. е. должно удовлетворяться неравенство

$$a < b = c \text{ или } I_{X_0X_0} > I_{Y_0Y_0} = I_{Z_0Z_0}.$$

Подставив значения главных центральных моментов инерции

$$I_{X_0X_0} = \frac{3}{10} m R^2; \quad I_{Y_0Y_0} = I_{Z_0Z_0} = \frac{3}{80} m (4R^2 + l^2),$$

запишем неравенство в развернутом виде:

$$\frac{3}{10} m R^2 > \frac{3}{80} m (4R^2 + l^2).$$

После простых преобразований окончательно получим, что для существования шаровых точек необходимо следующее соотношение между радиусом и высотой кругового конуса:

$$R > \frac{1}{2} l.$$

В этом случае на оси X_0X_0 существуют две шаровые точки (рис. 11), расположенные по обе стороны от центра масс на расстоянии (табл. 12)

$$\begin{aligned} x_{\text{ш}} &= \pm \sqrt{\frac{I_{X_0X_0} - I_{Y_0Y_0}}{m}} = \\ &= \pm \sqrt{\frac{3}{80} (4R^2 - l^2)}. \end{aligned}$$

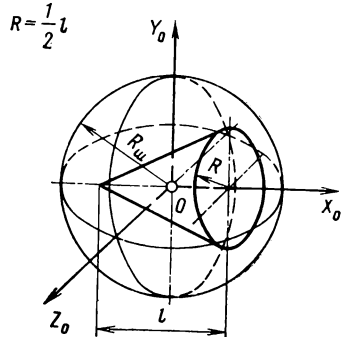


Рис. 12

При равенстве всех трех главных центральных моментов инерции, что соответствует условию

$$R = \frac{1}{2} l,$$

центральный эллипсоид инерции превращается в сферу. В этом случае конус имеет одну шаровую точку, совпадающую с центром масс (рис. 12). Действительно, подставив в формулу координаты шаровой точки $R = \frac{1}{2} l$, получим $x_{\text{ш}} = 0$.

При $R < \frac{1}{2} l$ круговой конус не имеет ни одной шаровой точки, так как эллипсоид инерции является вытянутым (см. рис. 10), а не сплюснутым эллипсоидом вращения. Этот случай соответствует условию

$$a > b = c \text{ или } I_{X_0 X_0} < I_{Y_0 Y_0} = I_{Z_0 Z_0},$$

и, следовательно, координата шаровой точки есть мнимая величина.

Ответ. Сплошной круговой конус при $R > \frac{1}{2} l$ имеет две шаровые точки, лежащие на продольной оси по обе стороны от центра масс на расстоянии

$$x_{ш} = \pm \sqrt{\frac{3}{80} (4R^2 - l^2)};$$

при $R = \frac{1}{2} l$ — одну шаровую точку, совпадающую с центром масс. Если $R < \frac{1}{2} l$, то он не имеет ни одной шаровой точки.

РАСЧЕТ ХАРАКТЕРИСТИК ГЕОМЕТРИИ МАСС СЛОЖНЫХ ТЕЛ *

В общем виде задача формулируется так: необходимо вычислить массу, найти положение центра масс, определить направления главных центральных осей и главные центральные моменты инерции сложного тела.

Общая задача по определению характеристик геометрии масс сложного тела может быть разбита на две самостоятельные частные задачи:

1. Вычисление массы, положения центра масс и моментов инерции относительно центральных осей и центральных центробежных моментов инерции сложного тела.

2. Определение направлений главных центральных осей инерции и вычисление главных центральных моментов инерции сложного тела.

ВЫЧИСЛЕНИЕ МАССЫ, ПОЛОЖЕНИЯ ЦЕНТРА МАСС И ЦЕНТРАЛЬНЫХ МОМЕНТОВ ИНЕРЦИИ СЛОЖНЫХ ТЕЛ

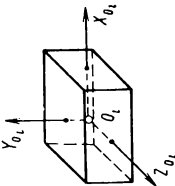
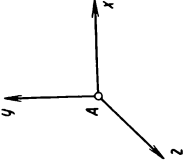
При вычислении массы, положения центра масс и центральных моментов инерции различают случаи, когда сложное тело имеет произвольную форму (общий случай), плоскость симметрии или представляет собой тело вращения.

Методика расчета массы, координат центра масс и центральных моментов инерции (табл. 13) применима к любому сложному телу произвольной формы. Особенности расчета сложных тел, имеющих плоскость симметрии, и сложных тел вращения оговорены особо.

Методика основана на использовании в промежуточных расчетах вспомогательных величин — моментов инерции тела относительно координатных плоскостей и поэтому предусматривает использование аналитических формул, записанных в простейшем виде, и числовых таблиц безразмерных геометрических коэффициентов, приведенных в приложении.

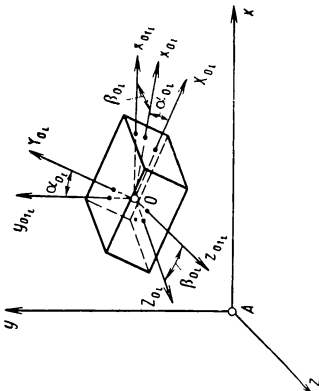
* Различные методы экспериментального определения моментов инерции самых разнообразных тел исследованы, систематизированы и доведены до практического применения в монографии: Гернета М. М. и Ратобильского В. Ф. «Определение моментов инерции». М., «Машиностроение», 1969.

13. Методика расчета массы, положения центра масс и центральных моментов инерции сложных тел

Последовательность расчета	Определяемые параметры и расчетные формулы	Пояснения
<p>1. Предварительный этап расчета</p> <p>Заданное сложное тело мысленно разбивают на наименьшее число n простых тел (элементов) правильной геометрической формы, для которых объемы, центры масс и моменты инерции известны или легко могут быть определены</p> <p>Перед разбивкой сложного тела на элементы предварительно следует ознакомиться с «Предметно-иллюстрированным оглавлением».</p> <p>Для каждого выделенного элемента фиксируют собственную систему координат, за ось которой принимают центральные или главные центральные (если известно их направление) оси элемента</p> <p>Выбирают общую для всего тела прямоугольную систему координат, оси которой параллельны соответствующим осям собственных систем координат наибольшего числа выделенных элементов</p>	  <p>R, r, l, φ, H, h и т. д.</p>	<p>1. Каждый выделенный элемент должен быть выполнен из одного и того же материала. Если элемент имеет простую геометрическую форму, но изготовлен из различных по плотности материалов, то его разбивают на однородные элементы как сложное тело</p> <p>2. Вырезы и пустоты считают отдельными элементами, заполненными «отрицательными» массами, и, приписывая им знак «минус», оперируют с ними как с обычными элементами</p> <p>3. Если сложное тело невозможно разбить на элементы правильной геометрической формы, то его разбивают на такие части, которые с некоторой точностью можно принять за элементы правильной формы. В этом случае результаты расчета будут приближенными. Для повышения точности расчетов следует уменьшать размеры выделенных элементов</p> <p>4. Если сложное тело имеет плоскость симметрии, то ее следует принять за одну из координатных плоскостей</p> <p>5. Сложное тело вращения разбивают на элементы плоскостями, перпендикулярными к оси симметрии, приняв ее и две любые взаимно перпендикулярные и перпендикулярные ей оси за координатные</p>

Последовательность расчета	Определяемые параметры и расчетные формулы	Пояснения
<p>2. Для каждого выделенного i-го элемента сложного тела по аналитическим формулам, приведенным в «Справочных таблицах», или по упрощенным формулам, используя таблицы безразмерных геометрических коэффициентов, вычисляют:</p> <p>объем или поверхность зная плотность материала ρ, под- считывают массу элемента: сплошного или толстостенного тонкостенного</p> <p>Координаты центра масс относительно каких-либо плоскостей элемента в его собственной системе координат, взятые с соответствующими знаками</p> <p>Моменты инерции относительно главных центральных плоскостей</p> <p>Если направление главных центральных плоскостей для какого-нибудь элемента неизвестно, то определяют:</p> <p>моменты инерции относительно плоскостей центральной системы координат, приведенной на эскизах элементов</p> <p>центральные центробежные моменты инерции</p>	$V_i; S_i$ $m_i = V_i \rho_i$ $m_i = S_i \delta_i \rho_i$ $x'_0; y'_0; z'_0$ $I(y_0 O z_0)_i; I(z_0 O x_0)_i; I(x_0 O y_0)_i$ $J(y_0 O z_0)_i; J(z_0 O x_0)_i; J(x_0 O y_0)_i$ $J(y_0 \cdot z_0)_i; J(z_0 \cdot x_0)_i; J(x_0 \cdot y_0)_i$	<p>1. В практических расчетах направления и, следовательно, индексы координатных осей собственных систем отсчета элементов могут не совпадать с направлениями и индексами координатных осей, принятыми в «Справочных таблицах». Поэтому во избежание недоразумений необходимо внимательно следить за соответствующим обозначением координат центра масс и за правильной постановкой индексов в обозначении моментов инерции</p> <p>2. Вычисление объемов, поверхностей, координат центра масс и моментов инерции по упрощенным (по форме записи) формулам с использованием таблиц безразмерных коэффициентов показано на конкретных числовых примерах (см. стр. 129—132)</p> <p>3. При расчетах следует иметь в виду следующее.</p> <p>Если тело имеет плоскость симметрии, то координата центра масс тела по оси, перпендикулярной к этой плоскости, и центробежные моменты инерции этой оси, равные нулю. Для тела вращения центры масс лежит на оси вращения; моменты инерции относительно плоскостей, пересекающих по оси симметрии, равны между собой, а центробежные моменты инерции равны нулю</p>

Продолжение табл. 13

Последовательность расчета	Определяемые параметры и расчетные формулы	Пояснения
<p>3. Для каждого выделенного i-го элемента, оси собственной системы координат которого не параллельны осям общей системы координат, выбранной для всего тела, необходимо:</p> <p>найти углы, на которые следует повернуть собственную систему координат рассматриваемого элемента, чтобы направления ее осей и соответствующих осей общей системы координат совпали;</p> <p>в новой центральной системе координат, полученной поворотом старой системы координат, вычислить: координаты центра масс</p> <p>моменты инерции относительно новых центральных плоскостей</p> <p>центральные центробежные моменты инерции</p>	 <p style="text-align: center;">$\alpha_i; \beta_i$</p> <p style="text-align: center;"> $x'_{0i}; y'_{0i}; z'_{0i}$ $J(y_{0i}, O z_{0i})_i; J(z_{0i}, O x_{0i})_i; J(x_{0i}, O y_{0i})_i$ $J(y_{0i}, z_{0i})_i; J(z_{0i}, x_{0i})_i; J(x_{0i}, y_{0i})_i$ </p>	<p>1. В общем случае для совмещения двух любых прямоугольных систем координат с началом в одной точке достаточно сделать два поворота вокруг осей, одна из которых координатная, или три поворота вокруг координатных осей</p> <p>2. Новые значения статических моментов и моментов инерции при повороте системы координат вычисляются по формулам, приведенным в табл. 4 для общего случая, в табл. 5 при повороте главной системы координат, в табл. 6 при повороте системы координат на углы 90, 180 и 270°</p> <p>3. Если для приведения какого-либо элемента к осям общей системы координат требуется сделать два поворота, то моменты инерции, полученные после первого поворота, считают начальными, исходными для второго поворота. Последовательность проведения поворотов не влияет на результаты расчета</p> <p>4. После каждого поворота целесообразно проверить правильность полученных результатов, используя неизменность инерционных инвариантов (табл 18, п. 1)</p> <p>5. Расчет моментов инерции тела при повороте системы координат проиллюстрирован в примере 5 (стр. 70)</p>

Продолжение табл. 13

Последовательность расчета	Определяемые параметры и расчетные формулы	Пояснения
<p>4. Для каждого выделенного i-го элемента в общей для всего тела системе координат подсчитывают: расстояния между соответствующими параллельными плоскостями общей и собственной систем координат, взятые со своими знаками; координаты центра масс относительно плоскостей общей системы координат (с учетом знаков слагаемых величин)</p> <p>статические моменты относительно плоскостей общей системы координат</p> <p>произведения массы элемента на квадраты его координат центра масс</p> <p>произведения массы элемента на две соответствующие координаты его центра масс, взятые со своими знаками</p>	$l_{x_i}; l_{y_i}; l_{z_i}$ $x'_{0_i} = l_{x_i} + x'_{0_i}$ $y'_{0_i} = l_{y_i} + y'_{0_i}$ $z'_{0_i} = l_{z_i} + z'_{0_i}$ $S_{x_i} = m_i x'_{0_i}$ $S_{y_i} = m_i y'_{0_i}$ $S_{z_i} = m_i z'_{0_i}$ $m_i^2 x_{0_i}^2 = S_{x_i} x_{0_i}$ $m_i^2 y_{0_i}^2 = S_{y_i} y_{0_i}$ $m_i^2 z_{0_i}^2 = S_{z_i} z_{0_i}$ $m_i y_{0_i} z_{0_i} = S_{y_i z_{0_i}}$ $m_i z_{0_i} x_{0_i} = S_{z_i x_{0_i}}$ $m_i x_{0_i} y_{0_i} = S_{x_i y_{0_i}}$	<p>Совершенно недопустимо вычислять центральные моменты инерции нескольких элементов вместе, если для каждого из них в отдельности определены указанные произведения. Также будет грубой ошибкой вычисление этих произведений для нескольких элементов вместе, если для каждого элемента в отдельности найдены центральные моменты инерции</p>

Продолжение табл. 13

Последовательность расчета	Определяемые параметры и расчетные формулы	Пояснения
<p>5. Для заданного сложного тела окончательно вычисляются:</p> <p>массу тела как сумму масс составляющих элементов</p> <p>координаты центра масс относительно общей для всего тела системы координат</p>	$m = \sum_{i=1}^n m_i$ $x_0 = \frac{\sum_{i=1}^n S x_i}{m}$ $y_0 = \frac{\sum_{i=1}^n S y_i}{m}$ $z_0 = \frac{\sum_{i=1}^n S z_i}{m}$	<p>1. Для тела, имеющего плоскость симметрии, координата центра масс по оси, перпендикулярной к этой плоскости, равна нулю</p> <p>2. Для тела вращения координаты центра масс относительно осей, перпендикулярных оси симметрии, равны нулю</p>

Продолжение табл. 13

Последовательность расчета	Определяемые параметры и расчетные формулы	Пояснения
<p>моменты инерции относительно центральных плоскостей, параллельных соответствующим плоскостям общей системы координат</p>	$J_{y_0Oz_0} = \sum_{i=1}^n J(y_0Oz_0)_i + \sum_{i=1}^n m_i x_{0i}^2 - m x_0^2$ $J_{z_0Ox_0} = \sum_{i=1}^n J(z_0Ox_0)_i + \sum_{i=1}^n m_i y_{0i}^2 - m y_0^2$ $J_{x_0Oy_0} = \sum_{i=1}^n J(x_0Oy_0)_i + \sum_{i=1}^n m_i z_{0i}^2 - m z_0^2$ $J_{x_0x_0} = J_{z_0Ox_0} + J_{x_0Oy_0}$ $J_{y_0y_0} = J_{x_0Oy_0} + J_{y_0Oz_0}$ $J_{z_0z_0} = J_{y_0Oz_0} + J_{z_0Ox_0}$	<p>3. Для тела вращения моменты инерции относительно плоскостей симметрии равны</p> <p>4. Через $J(y_0Oz_0)_i$, $J(z_0Ox_0)_i$ и $J(x_0Oy_0)_i$ обозначены все моменты инерции элементов относительно центральных главных центральных и центральных плоскостей, полученные в результате проведения необходимых поворотов систем координат</p> <p>5. Для тела вращения моменты инерции относительно осей, перпендикулярных к оси симметрии, равны</p>

Продолжение табл. 13

Последовательность расчета	Определяемые параметры и расчетные формулы	Пояснения
центральные центробежные моменты инерции	$J_{y_0 \cdot z_0} = \sum_{i=1}^n J(y_0 \cdot z_0)_i + \sum_{i=1}^n m_i y_0_i z_0_i - m y_0 z_0$ $J_{z_0 \cdot x_0} = \sum_{i=1}^n J(z_0 \cdot x_0)_i + \sum_{i=1}^n m_i z_0_i x_0_i - m z_0 x_0$ $J_{x_0 \cdot y_0} = \sum_{i=1}^n J(x_0 \cdot y_0)_i + \sum_{i=1}^n m_i x_0_i y_0_i - m x_0 y_0$	<p>6. Через $J(y_0 \cdot z_0)_i$, $J(z_0 \cdot x_0)_i$ и $J(x_0 \cdot y_0)_i$ обозначены все центральные центробежные моменты инерции элементов, вычисленные по справочным таблицам и полученные в результате поворотов центральной или главной центральной систем координат.</p> <p>7. Для тела, имеющего плоскость симметрии, два центробежных момента инерции, содержащих в своем обозначении индекс главной оси (перпендикулярна к плоскости симметрии), равны нулю. Для тела вращения все три центробежных момента инерции относительно центральных осей равны нулю.</p>
Примечание. На практике инерционные характеристики тел часто вычисляют в технической системе единиц (м, кгс, с). Поэтому для каждого элемента определяют вес, статические моменты веса и суммы произведений веса каждой частицы на квадрат расстояния от оси или плоскости. В технической системе единиц такие величины равны произведению gJ и выражаются в кгс·м ² , а в системе СИ (м, кг, с) численно равны моментам инерции, выражаемым в кг·м ² . Вычислив gJ и разделив окончательный результат на ускорение свободного падения тела g , получают значение момента инерции тела в кгс·м·с ² .		

Пример 10. Вычислить массу, положение центра масс и главные центральные моменты инерции сложного тела вращения, показанного на рис. 13. Тело изготовлено из алюминевого сплава плотностью $\rho = 2,7 \text{ г/см}^3$.

Решение. Ознакомившись с предметно-иллюстрированным оглавлением (стр. 7), сложное тело вращения разобьем плоскостями, перпендикулярными к оси вращения, на составляющие его элементы правильной геометрической формы. Заданное сложное тело вращения составлено из следующих простых тел: 1 — конус; 2 — цилиндр; 3 — элемент кругового тора; 4 — комбинированный элемент кругового тора; 5 — элемент параболоида; 6 — тороид вогнутый; 7 — конус усеченный; 8 — полутороид вогнутый; 9 — цилиндр; 10 — шаровой сегмент. Внутри тела имеется полость, образованная полуэллипсоидом (элемент 11) и полуэллипсоидом (элемент 12). Приняв, что эти элементы заполнены «отрицательной» массой, припишем им знак «минус» и будем оперировать с ними как с обычными элементами.

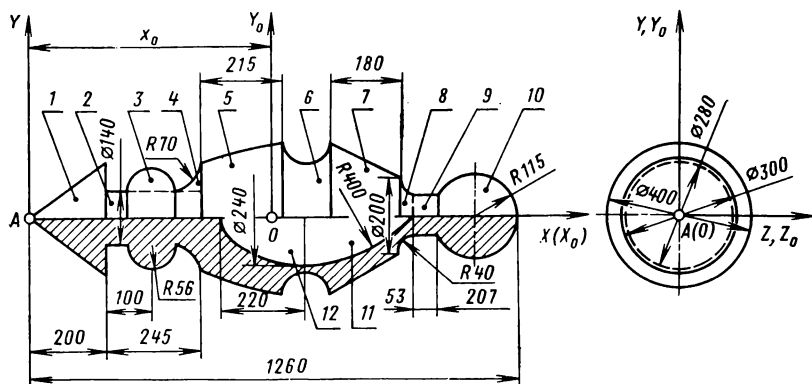


Рис. 13

Для упрощения расчета главных центральных моментов инерции используем вспомогательные величины — моменты инерции относительно плоскостей. За систему отсчета применим прямоугольную систему координат $AXYZ$, начало которой помещено в левой вершине тела, а ось XX направлена по оси симметрии тела. В этом случае координатные плоскости ZAX и YAX являются плоскостями симметрии тела. Поэтому в принятой системе отсчета координаты центра масс однородного тела вращения по осям YY и ZZ равны нулю, а моменты инерции относительно этих плоскостей равны между собой, т. е. $y_0 = z_0 = 0$, $I_{ZAX} = I_{YAX}$.

Расчет главных центральных моментов инерции проведем в следующей последовательности. Сначала вычислим статические моменты и моменты инерции тела относительно координатных плоскостей системы $AXYZ$. Затем, определив положение центра масс, вычислим моменты инерции относительно центральных плоскостей, параллельных координатным плоскостям. По обычным формулам (табл. 2, п. 1) подсчитаем моменты инерции заданного сложного тела относительно центральных осей, которые для тела вращения совпадают с главными центральными осями инерции.

Поскольку рассматриваем однородное тело, то в промежуточных расчетах целесообразно оперировать так называемыми геометрическими моментами инерции, в которых вместо массы фигурирует объем, и только в конце расчета, умножив геометрические моменты инерции на одинаковую величину — плотность ρ , перейти к физическим моментам инерции тела.

Таким образом, при решении задачи для каждого составляющего элемента необходимо предварительно вычислить: объем V_i , координату центра масс по оси симметрии x'_{0i} относительно левого основания (вершины) элемента, геометрические моменты инерции $I_{(Y_0OZ_0)_i}^V$ и $I_{(X_0OX_0)_i}^V$ относительно плоскостей главной центральной системы $(OX_0Y_0Z_0)_i$ каждого элемента, оси которой параллельны (или совпадают) координатным осям выбранной для всего тела системы отсчета $AXYZ$.

Характеристики геометрии масс выделенных элементов рассчитаем на 50-сантиметровой логарифмической линейке по приведенным к простейшему виду аналитические формулам с использованием таблиц безразмерных геометрических коэффициентов. Сравним полученные результаты с данными точного расчета, проведенного на электриче-

ской счетной машинке по аналитическим формулам, оценим относительную ошибку расчета. Весь расчет сведем в типовую таблицу (табл. 14).

В графы 1 и 2 табл. 14 запишем соответственно номер позиции элемента по чертежу и наименованию, в графы 3—5 — размеры выделенных элементов, рассчитанные по чертежу. В графе 6 указаны номера страниц, на которых приведены эскизы и расчетные формулы характеристик геометрии масс рассматриваемых элементов, в графе 7 — номера элементов. Числовые значения безразмерных геометрических коэффициентов K_i (графы 11, 13, 18 и 20) выпишем из соответствующих таблиц приложения для вычисленных в графе 8 значений безразмерного параметра p . В графе 9 указаны номера страниц, на которых приведены таблицы коэффициентов, а в графе 10 — номера таблиц.

Для элементов 4, 7, 10 и 11 в справочных таблицах приведены формулы для определения координаты центра масс элемента от плоскости его правого основания. Поэтому для перечисленных элементов требуемую координату x'_0 (от плоскости левого основания) получим как разность длины элемента и координаты центра масс от плоскости правого основания. В графе 15 записаны найденные по чертежу расстояния l_i от координатной плоскости YAZ до левого основания рассматриваемого элемента.

В третьей сверху строке указаны номера граф (жирным шрифтом) и действия, которые необходимо произвести, чтобы получить требуемую величину.

В последней строке алгебраическим суммированием соответствующих величин для заданного сложного тела вращения получены:

объем V (графа 12);

статический момент объема S_x^V относительно координатной плоскости YAZ графа 17);

сумма геометрических моментов инерции $\sum_{i=1}^{12} I_{(Y_0 O Z_0)_i}^V$ составляющих элементов относительно их главных центральных плоскостей $(Y_0 O Z_0)_i$, параллельных координатной плоскости YAZ (графа 19);

сумма геометрических моментов инерции $\sum_{i=1}^{12} I_{(Z_0 O X_0)_i}^V$ составляющих элементов относительно главной центральной плоскости тела $Z_0 O X_0$, равная геометрическому моменту инерции тела $I_{Z_0 O X_0}^V$ относительно этой же плоскости (графа 21);

сумма произведений объемов составляющих элементов на квадраты их координат центра масс $\sum_{i=1}^{12} V_i x_{0i}^2$ (графа 22).

Используя полученные величины, вычислим характеристики геометрии масс заданного сложного тела вращения:

$$m = \rho V = 2,7 \cdot 10^3 \cdot 47,61 = 128,5 \cdot 10^3 \text{ г} = 128,5 \text{ кг};$$

координату центра масс тела относительно плоскости YAZ

$$x_0 = \frac{S_x^V}{V} = \frac{3017 \cdot 10^3}{47,61 \cdot 10^3} = 63,3 \text{ см} = 0,633 \text{ м};$$

моменты инерции относительно главных центральных плоскостей

$$I_{Y_0 O Z_0} = \rho \left(\sum_{i=1}^{12} I_{(Y_0 O Z_0)_i}^V + \sum_{i=1}^{12} V_i x_{0i}^2 - V x_0^2 \right) = 2,7 (1146 \cdot 10^3 + 232 \ 880 \cdot 10^3 - \\ - 47,61 \cdot 10^3 \cdot 63,3^2) = 116,3 \cdot 10^6 \text{ г} \cdot \text{см}^2 = 11,63 \text{ кг} \cdot \text{м}^2;$$

$$I_{Z_0 O X_0} = I_{X_0 O Y_0} = \rho \sum_{i=1}^{12} I_{(Z_0 O X_0)_i}^V = 2,7 \cdot 3126 \cdot 10^3 = 8,4 \cdot 10^6 \text{ г} \cdot \text{см}^2 = 0,84 \text{ кг} \cdot \text{м}^2;$$

моменты инерции относительно главных центральных осей

$$I_{X_0 X_0} = 2I_{Z_0 O X_0} = 2 \cdot 0,84 = 1,68 \text{ кг} \cdot \text{м}^2;$$

$$I_{Y_0 Y_0} = I_{Z_0 Z_0} = I_{Y_0 O Z_0} + I_{Z_0 O X_0} = 11,63 + 0,84 = 12,47 \text{ кг} \cdot \text{м}^2.$$

14. Решение

№ позиции на рис. 13	Наименование элемента	R_i	r_i	h_i	Страница	Номер элемента	ρ_i	Страница	Таблица	K_{V_i}
		см								
1	2	3	4	5	6	7	8	9	10	11
		По чертежу								
1	Конус	15,0	0	20,0	417	314	—	—	—	1,047
2	Цилиндр	7,0	7,0	24,5	388	271	—	—	—	3,142
3	Элемент тора	7,0	5,6	—	202	52, а	0,80	427	4	8,461
4	Комбинированный элемент тора	14,0	7,0	—	222	73, б	0,50	431	6	0,206
5	Элемент парабо- лоида	20,0	14,0	21,5	266	119	0,70	439	10	2,340
6	Тороид вогнутый	20,0	6,0	12,0	183	38, б	0,30	426	3	1,110
7	Конус усеченный	20,0	10,0	18,0	347	232	0,50	453, 466	17, 19	1,833
8	Полутороид вог- нутый	10,0	4,0	4,0	182	37, б	0,40	426	3	0,601
9	Цилиндр	6,0	6,0	5,3	388	271	—	—	—	3,142
10	Сегмент шаровой	11,5	—	20,7	293	148	1,80	441	12	4,072
11	Полуоживал	40,0	12,0	—	255	108	0,30	437	8	0,113
12	Полуэллипсоид	22,0	12,0	—	274	130	—	—	—	2,094
Тело вращения										
Примечания: 1. Для полуоживала в графах 3 и 4 указаны размеры r и b ; для 2. Для элементов 1, 2, 5, 7 и 9 объем $V_i = K_{V_i} R_i^2 h_i = 3^2 \cdot 5 \cdot 11$; для элемента 12 3. Для элементов 1, 2, 5 и 9 координата центра масс $x'_{0_i} = K_{x_i} h_i = 5 \cdot 13$; для элемен $x'_{0_7} = h_7 (1 - K_{x_7}) = 5 (1 - 13)$; для элементов 8 и 12 $x'_{0_i} = K_{x_i} R_i = 3 \cdot 13$; для элемента $(d = K_b r$, стр. 256; элемент 109; коэффициент K_b взят из табл. 8, стр. 487). 4. Для элементов 1, 2, 5, 7 и 9 момент инерции $I_{(Y_0 O Z_0)_i}^V = K_{(Y_0 O Z_0)_i} V_i h_i^2 = 5^2 \cdot 12 \cdot 18$. 5. Для элемента 12 момент инерции $I_{(Z_0 O X_0)_{12}}^V = K_{(Z_0 O X_0)_{12}} V_{12}^2 = 4^2 \cdot 12 \cdot 20$.										

В табл. 15 для сравнения даны конечные результаты расчетов, проведенных на логарифмической линейке по приведенным формулам с использованием безразмерных коэффициентов и на электрической счетной машинке по аналитическим формулам. Погрешность в определении характеристик геометрии масс сложного тела не превышает 1%, что вполне приемлемо для проведения обычных проектных расчетов.

Ответ. Тело вращения, показанное на рис. 13, имеет массу $m = 128,5$ кг. Центр масс его лежит на оси симметрии на расстоянии $x_0 = 0,633$ м от левой вершины тела. Моменты инерции тела относительно главных центральных осей равны

$$I_{X_0 X_0} = 1,68 \text{ кг} \cdot \text{м}^2 \text{ и } I_{Y_0 Y_0} = I_{Z_0 Z_0} = 12,47 \text{ кг} \cdot \text{м}^2.$$

Пример 11. Вычислить массу и момент инерции стального шатуна с бронзовыми втулками относительно оси большей проушины (рис. 14), считая плотность стали $\rho_1 = 7,85$ г/см³, бронзы $\rho_2 = 8,75$ г/см³.

Решение. Оси прямоугольной системы координат расположим, как показано на рис. 14. Принятая система отсчета есть главная система координат $AXYZ$ шатуна для точки A , так как координатные оси YU и ZZ перпендикулярны плоскостям симметрии шатуна ZAX и XAY . Момент инерции шатуна относительно оси большей проушины

примера 10

$V_i \cdot 10^{-3}, \text{см}^3$	K_{x_i}	x'_{0i}	l_i	x_{0i}	$S^V_{x_i} \cdot 10^{-3}, \text{см}^4$	$K(Y_0 O Z_0)_i$	$I^V_{(Y_0 O Z_0)_i} \times 10^{-3}, \text{см}^5$	$K(Z_0 O X_0)_i$	$I^V_{(Z_0 O X_0)_i} \times 10^{-3}, \text{см}^5$	$V_i x'^2_{0i} \cdot 10^{-3}, \text{см}^5$
12	13	14	15	16	17	18	19	20	21	22
3 ^в 11				14+15	12 16		3 ^в 12 18		3 ^в 12 20	16 17
4,710	0,750	15,00	0	15,00	70,7	0,0375	70,4	0,150	159,0	1 060
3,770	0,500	12,25	20,0	32,25	121,6	0,0833	188,0	0,250	46,3	3 930
2,900	1,000	5,60	24,4	30,00	87,0	0,1520	21,5	0,965	137,0	2 610
0,564	0,103	5,56	37,5	43,06	24,3	0,0082	0,9	0,201	22,2	1 040
20,100	0,557	11,96	44,5	56,46	1135,0	0,0801	744,0	0,194	1556,0	64 100
8,870	1,000	6,00	66,0	72,00	638,0	0,0348	123,4	0,152	539,0	45 900
13,170	0,607	7,07	78,0	85,07	1120,0	0,0742	316,0	0,166	875,0	95 200
0,601	0,171	1,71	96,0	97,71	58,8	0,0138	0,8	0,129	7,7	5 730
0,598	0,500	2,65	100,0	102,65	61,6	0,0833	1,4	0,250	5,4	6 310
6,190	0,975	9,50	105,3	114,80	710,0	0,1830	149,6	0,204	166,7	81 500
-7,230	0,232	9,28	72,0	81,28	-588,0	0,0242	-280,0	0,017	-196,8	-47 700
-6,630	0,625	13,75	50,0	63,75	-422,0	0,0594	-190,0	0,200	-190,9	-26 800
47,61					3017		1146		3126	232 880

полуэллипсоида — полуоси a и b соответственно.

$$V_{12} = K_{V_{12}} ab^2 = 3 \cdot 4^2 \cdot 11.$$

тов 3 и 6 $x'_{0i} = K_{x_i} r_i = 4 \cdot 13$; для элемента 4 $x'_{04} = r_4 - K_{x_4} R_4 = 4 - 3 \cdot 13$; для элемента 7
 10 $x'_{0_{10}} = h_{10} - K_{x_{10}} R_{10} = 5 - 3 \cdot 13$; для элемента 11 $x'_{0_{11}} = d - K_{x_{11}} R_{11} = d - 3 \cdot 13$

15. Результаты расчета

Характеристики тела	По формулам		Относительная ошибка, %
	аналитическим	приведенным	
Масса	128,689	128,5	+0,15
Координата центра масс	0,634	0,633	+0,16
Главные центральные моменты инерции относительно осей:			
$X_0 X_0$	1,688	1,68	+0,48
$Y_0 Y_0$ и $Z_0 Z_0$	12,386	12,47	-0,65

(ось YU) вычислим как сумму моментов инерции относительно плоскостей, пересекающихся по этой оси:

$$I_{YU} = I_{YAZ} + I_{XAY}.$$

Ознакомившись с предметно-иллюстрированным оглавлением, разобьем шатун на следующие простые элементы:

1, 2, 5 и 6 — толстостенные цилиндры, при этом втулки шатуна (элементы 2 и 6) выполнены из бронзы;

3 — призма трапецевидная, высота которой равна расстоянию между осями проушин шатуна;

4 — паз, состоящий из параллелепипеда и двух круговых полуцилиндров, который рассмотрим как единый элемент «отрицательной» массы;

7 и 10 — круговые полуцилиндры «отрицательной» массы, толщина которых равна толщине трапецевидной призмы;

8 и 9 — скругления, представляющие собой комбинированные элементы кругового тора и имеющие «отрицательную» массу.

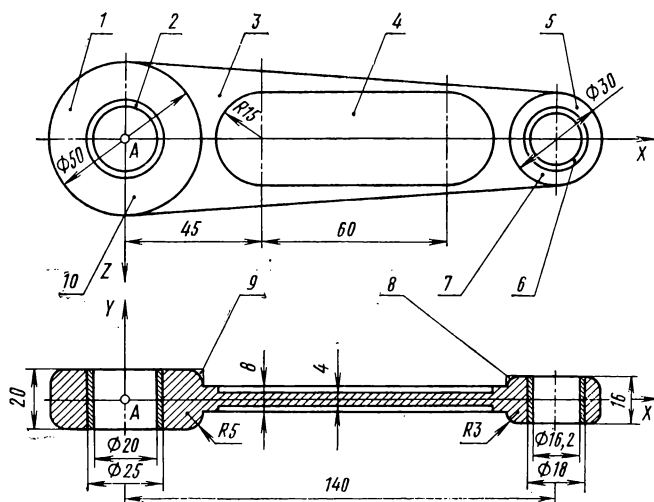


Рис. 14

Расчет массы, координат центра масс и моментов инерции элементов относительно координатных плоскостей YAZ и XAY сведен в табл. 16. Элементам с «отрицательной» массой приписан знак «минус». Все необходимые геометрические размеры элементов определены по чертежу и записаны в соответствующие графы табл. 16 (графы 4—6).

Для рассматриваемых элементов объем (графа 7) и моменты инерции относительно центральных плоскостей элементов (графы 9 и 12), параллельных плоскостям принятой в расчете системы координат, вычислены по следующим формулам*.

Для толстостенных цилиндров (стр. 389, элемент 273)

$$V = \pi l (R^2 - r^2); \quad I_{Y_0OZ_0} = I_{X_0OY_0} = \frac{1}{4} m (R^2 + r^2).$$

Для трапецевидной призмы (стр. 455, элемент 368)

$$V = Bl (A + c); \quad I_{Y_0OZ_0} = \frac{1}{36} m B^2 \left[3 - \frac{c^2}{(A + c)^2} \right]; \quad I_{X_0OY_0} = \frac{1}{12} m [(A + c)^2 + c^2].$$

* Для большинства элементов системы координат, показанные на эскизах в справочных таблицах, не совпадают по обозначению осей с принятой в расчете общей системой координат. Поэтому необходимо внимательно следить за правильным использованием расчетных формул и соответствующим обозначением координат центра масс и моментов инерции элементов.

Для паза, состоящего из параллелепипеда и двух круговых полуцилиндров (стр. 458, элемент 373),

$$V = K_1 A^2 l; \quad I_{Y_0 O Z_0} = K_3 m A^2;$$

$$I_{X_0 O Y_0} = K_4 m A^2,$$

в которых коэффициенты K_i определены по табл. 24 (стр. 511) для $p = R/A = 1,5/6,0 = 0,25$ (случай $R \leq A$).

Для полуцилиндров (стр. 388, элемент 270)

$$V = 1,5703 R^2 l; \quad I_{Y_0 O Z_0} = 0,0599 m R^2;$$

$$I_{X_0 O Y_0} = 0,25 m R^2.$$

Для скруглений, являющихся комбинарованными элементами кругового тора (стр. 222, элемент 73, а)

$$V = K_1 R^3;$$

$$I_{Y_0 O Z_0} = I_{X_0 O Z_0} = K_4 m R^2,$$

где геометрические коэффициенты K_i определены по табл. 6 (стр. 484) для $p = r/R = 0,30/1,20 = 0,50/2,00 = 0,25$ (случай $r \leq R$).

Масса каждого элемента (графа 8) вычислена как произведение объема элемента на его плотность.

Расстояния x_{0i} (графа 10) от центра масс элемента до координатной плоскости YAZ определены:

- 1) по чертежу для элементов 1, 2, 4—6, 8 и 9;
- 2) по формулам для элементов 7 и 10

$$x_{07} = l - R_7 + x'_{07};$$

$$x_{010} = R_{10} - x'_{010},$$

где l — расстояние между осями проушин;

$x'_{0i} = \frac{3\pi - 4}{3\pi} R_i$ — координата центра масс полуцилиндра (стр. 388);

3) по формуле, приведенной на стр. 455 (элемент 368) для элемента 3

$$x_{03} = \frac{1}{6} B \left(3 - \frac{c}{A+c} \right).$$

Используя данные табл. 16, для шатуна вычислим: массу как сумму масс составляющих его элементов

$$m = \sum_{i=1}^{10} m_i = 0,498 \text{ г};$$

16. Решение примера 11

№ позиции на рис. 14	Наименование элемента	Число элементов	2			R_i	r_i	l_i	$V_i, \text{ см}^3$	$m_i, \text{ кг}$	$I(Y_0 O Z_0)_i, \text{ кг} \cdot \text{см}^2$	$x_{0i}, \text{ см}$	$m_i x_{0i}^2, \text{ кг} \cdot \text{см}^2$		$I(X_0 O Y_0)_i$
			4	5	6								11	12	
1	Цилиндр толстостенный	1	2,50	1,25	2,0	2,50	1,25	2,0	29,45	0,231	0,452	0	0	0,452	1
2	То же	1	1,25	1,00	2,0	1,25	1,00	2,0	3,53	0,031	0,020	0	0	0,020	2
3	Призма трапециевидная	1	$A = 3,0; B = 14,0; C = 1,0; l = 0,8$	$A = 6,0$	14,0	$A = 3,0; B = 14,0; C = 1,0; l = 0,8$	$A = 6,0$	14,0	44,80	0,352	5,620	6,42	14,52	0,496	3
4	Паз	2	1,50	0,90	0,2	1,50	0,90	0,2	10,04	—0,079	—0,467	7,50	—4,45	—0,054	4
5	Цилиндр толстостенный	1	1,50	0,90	1,6	1,50	0,90	1,6	7,24	0,057	0,044	14,00	11,18	0,043	5
6	То же	1	0,50	0,81	1,6	0,50	0,81	1,6	0,74	0,006	0,003	14,00	1,27	0,002	6
7	Полуцилиндр	1	1,50	—	—	1,50	—	—	2,83	—0,022	—0,003	13,36	—3,92	—0,012	7
8	Скругление	2	1,20	0,30	—	1,20	0,30	—	0,33	—0,003	—0,003	14,00	0,59	—0,003	8
9	То же	2	2,00	0,50	—	2,00	0,50	—	1,62	—0,013	—0,013	1,06	0	—0,037	9
10	Полуцилиндр	1	2,50	—	0,8	2,50	—	0,8	7,86	—0,062	—0,027	—	—0,07	—0,097	10

момент инерции относительно оси большой проушины

$$I_{YY} = I_{YAZ} + I_{XAY} = \sum_{i=1}^{10} \left[I(Y_0 O Z_0)_i + m_i x_{0i}^2 + I(X_0 O Y_0)_i \right] = \\ = 5,60 + 17,94 + 0,81 = 24,35 \text{ кг} \cdot \text{см}^2.$$

Ответ. Масса шатуна, показанного на рис. 14, составляет $m = 0,498$ кг, а момент инерции его относительно оси большой проушины равен $I_{YY} = 24,35$ кг·см².

Пример 12. Получить аналитические формулы для вычисления массы и главных центральных моментов инерции вала с шестью равномерно расположенными шлицами (рис. 15). Диаметр вала $d = 2r$, длина l , диаметр окружности шлицев $D = 2R$, ширина шлица h . Вал изготовлен из однородного материала плотностью ρ .

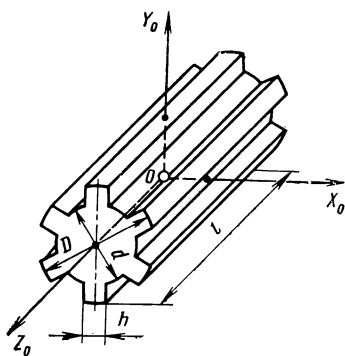


Рис. 15

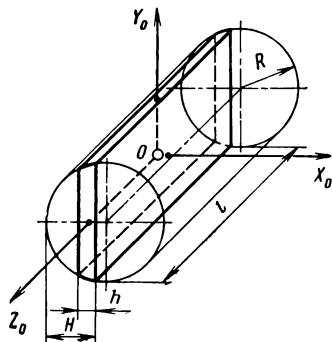


Рис. 16

Решение. Расчетные формулы характеристик геометрии масс для заданного вала со шлицами получим, используя аналитические формулы для элемента кругового цилиндра (назовем основным), показанного на рис. 16. Вал с шестью равномерно расположенными шлицами из основного элемента образуем как показано на рис. 17 (приведены сечения тел, перпендикулярные к продольной оси) в следующей последовательности.

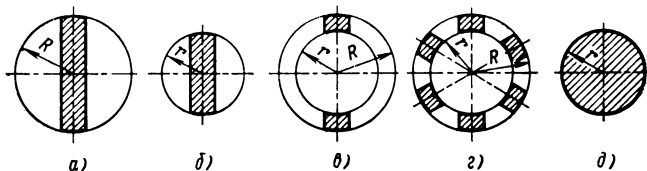


Рис. 17

1. Приняв в основном элементе цилиндра (рис. 16) соответствующее значение параметра H , получим цилиндрический слой радиусом R , симметрично расположенный относительно центральной плоскости $Y_0 O Z_0$ (рис. 17, а), толщина которого равна ширине шлица h .

2. Если из полученного тела вычесть аналогичный цилиндрический слой той же ширины h , но радиусом, равным радиусу вала r (рис. 17, б), то образуем тело (рис. 17, в), представляющее собой два симметрично расположенных шлица.

3. Добавив к этому телу два аналогичных тела, расположенных по обе стороны от него под углами 60° , составим тело из шести равномерно расположенных по окружности шлицев толщиной h (рис. 17, г).

4. Добавив к этому телу по центру цилиндр, радиус которого равен радиусу вала r (рис. 17, д), получим требуемый вал с шестью равномерно расположенными шлицами (см. рис. 15).

Наметив схему решения, приступим к выводу аналитических формул для характеристик геометрии масс вала со шлицами. Для упрощения вывода формул используем вспомогательные величины — моменты инерции относительно координатных плоскостей.

По предметно-иллюстрированному оглавлению найдем, что формулы для основного элемента кругового цилиндра, показанного на рис. 16, приведены на стр. 383 (элемент 266). Выпишем необходимые для решения задачи формулы, приписывая параметру c индекс R :
объем

$$V = l [P_t (R - t) - P_H (R - H) + c_R R^2];$$

моменты инерции относительно главных центральных плоскостей

$$I_{Y_0 O Z_0} = m \left\{ \frac{1}{12} \cdot \frac{l}{V} \{ P_t [5R^2 (3R + t) + 2t^2 (R - 3t)] - P_H [5R^2 (3R + H) + 2H^2 (R - 3H)] + 15c_R R^4 \} - (x_0 + t)^2 \right\};$$

$$I_{Z_0 O X_0} = \frac{1}{12} m \frac{l}{V} \{ P_t [R^2 (3R + t) - 2t^2 (3R - t)] - P_H [R^2 (3R + H) - 2H^2 (3R - H)] + 3c_R R^4 \};$$

$$I_{X_0 O Y_0} = \frac{1}{12} m l^2$$

где

$$t = H - h; \quad P_t = \sqrt{t(2R - t)}; \quad P_H = \sqrt{H(2R - H)};$$

$$c_R = \arcsin \frac{R - t}{R} - \arcsin \frac{R - H}{R}.$$

Формулы для характеристик геометрии масс цилиндрического слоя радиусом R и толщиной h , симметрично расположенного относительно центральной плоскости $Y_0 O Z_0$ (см. рис. 17, а), получим, подставив в формулы основного элемента величину $H = R + h/2$ и введя индекс a :

$$V(a) = \frac{1}{2} l (4c_R R^2 + P_R h);$$

$$I_{Y_0 O Z_0}^{(a)} = \frac{1}{16} m(a) \frac{l}{V(a)} [8c_R R^4 - P_R h (2R^2 - h^2)];$$

$$I_{Z_0 O X_0}^{(a)} = \frac{1}{48} m(a) \frac{l}{V(a)} [24c_R R^4 + P_R h (10R^2 - h^2)];$$

$$I_{X_0 O Y_0}^{(a)} = \frac{1}{12} m(a) l^2,$$

где

$$P_R = \sqrt{4R^2 - h^2}; \quad c_R = \arcsin \frac{h}{2R}.$$

Заменив в предыдущих формулах радиус окружности шлицев R на радиус вала r и введя для обозначения индекс b , запишем формулы для аналогичного цилиндрического слоя той же ширины h , но с радиусом r (см. рис. 17, б):

$$V(b) = \frac{1}{2} l (4c_r r^2 + P_r h);$$

$$I_{Y_0 O Z_0}^{(b)} = \frac{1}{12} m(b) \frac{l}{V(b)} [8c_r r^4 - P_r h (2r^2 - h^2)];$$

$$I_{Z_0 O X_0}^{(b)} = \frac{1}{48} m(b) \frac{l}{V(b)} [24c_r r^4 + P_r h (10r^2 - h^2)];$$

$$I_{X_0 O Y_0}^{(b)} = \frac{1}{12} m(b) l^2,$$

где $P_r = \sqrt{4r^2 - h^2}; \quad c_r = \arcsin \frac{h}{2r}.$

Объем тела, представляющего собой два симметрично расположенных шлица (рис. 17, а) и обозначенного индексом в, получим, если из объема элемента 17, а вычтем объем элемента 17, б:

$$V^{(в)} = V^{(а)} - V^{(б)} = \frac{1}{2} l (4c_R R^2 + P_R h) - \frac{1}{2} l (4c_r r^2 + P_r h) = \frac{1}{2} l [4(c_R R^2 - c_r r^2) + h(P_R - P_r)].$$

Формулы для моментов инерции этого тела найдем простым вычитанием, так как моменты инерции составляющих тел определены относительно одних и те же плоскостей. Представим массу тел как произведение объема тела на плотность материала:

$$m = V\rho.$$

Тогда

$$\begin{aligned} I_{Y_0 O Z_0}^{(в)} &= I_{Y_0 O Z_0}^{(а)} - I_{Y_0 O Z_0}^{(б)} = \frac{1}{16} \rho l \frac{V^{(а)}}{V^{(а)}} [8c_R R^4 - P_R h (2R^2 - h^2)] - \\ &- \frac{1}{16} \rho l \frac{V^{(б)}}{V^{(б)}} [8c_r r^4 - P_r h (2r^2 - h^2)] = \frac{1}{16} \rho l \{8(c_R R^4 - c_r r^4) - \\ &- h[P_R (2R^2 - h^2) - P_r (2r^2 - h^2)]\}. \end{aligned}$$

Умножив числитель и знаменатель на объем $V^{(в)}$ тела, состоящего из двух шлицев, запишем момент инерции его относительно центральной плоскости $Y_0 O Z_0$ в обычной форме:

$$I_{Y_0 O Z_0}^{(в)} = \frac{1}{16} m^{(в)} \frac{l}{V^{(в)}} \{8(c_R R^4 - c_r r^4) - h[P_R (2R^2 - h^2) - P_r (2r^2 - h^2)]\}.$$

Аналогично получим формулы для моментов инерции этого тела относительно двух других главных центральных плоскостей

$$\begin{aligned} I_{Z_0 O X_0}^{(в)} &= I_{Z_0 O X_0}^{(а)} - I_{Z_0 O X_0}^{(б)} = \frac{1}{48} m^{(в)} \frac{l}{V^{(в)}} \{24(c_R R^4 - c_r r^4) + \\ &+ h[P_R (10R^2 - h^2) - P_r (10r^2 - h^2)]\}; \\ I_{X_0 O Y_0}^{(в)} &= I_{X_0 O Y_0}^{(а)} - I_{X_0 O Y_0}^{(б)} = \frac{1}{12} m^{(в)} l^2. \end{aligned}$$

Выведем формулы для тела, состоящего из шести равномерно расположенных шлицев (см. рис. 17, г). Очевидно, что объем тела, условно обозначенного индексом г, равен утроенному объему предыдущего тела, состоящего из двух шлицев, т. е.

$$V^{(г)} = 3V^{(в)} = \frac{3}{2} l [4(c_R R^2 - c_r r^2) + h(P_R - P_r)].$$

Моменты инерции этого тела относительно главных центральных плоскостей общей для всего тела системы координат определим, повернув два тела, каждое из которых состоит из двух шлицев, вокруг оси $Z_0 O Z_0$ на угол $\alpha = 60^\circ$ (одно тело по часовой стрелке, другое — против часовой стрелки) и сложив соответствующие моменты инерции трех тел.

По соответствующим формулам (табл. 5) получим: момент инерции относительно главной центральной плоскости $Y_0 O Z_0$

$$\begin{aligned} I_{Y_0 O Z_0}^{(г)} &= I_{Y_0 O Z_0}^{(в)} + [I_{Y_0 O Z_0}^{(в)} \cos^2(-60^\circ) + I_{Z_0 O X_0}^{(в)} \sin^2(-60^\circ)] + \\ &+ [I_{Y_0 O Z_0}^{(в)} \cos^2 60^\circ + I_{Z_0 O X_0}^{(в)} \sin^2 60^\circ] = \frac{3}{2} [I_{Y_0 O Z_0}^{(в)} + I_{Z_0 O X_0}^{(в)}]; \end{aligned}$$

момент инерции относительно главной центральной плоскости $Z_0 O X_0$

$$\begin{aligned} I_{Z_0 O X_0}^{(г)} &= I_{Z_0 O X_0}^{(в)} + [I_{Y_0 O Z_0}^{(в)} \sin^2(-60^\circ) + I_{Z_0 O X_0}^{(в)} \cos^2(-60^\circ)] + \\ &+ [I_{Y_0 O Z_0}^{(в)} \sin^2 60^\circ + I_{Z_0 O X_0}^{(в)} \cos^2 60^\circ] = \frac{3}{2} [I_{Y_0 O Z_0}^{(в)} + I_{Z_0 O X_0}^{(в)}]. \end{aligned}$$

Следовательно, для рассматриваемого тела, состоящего из шести равномерно расположенных по окружности шлицев, моменты инерции относительно главных центральных плоскостей, пересекающихся по оси симметрии тела, равны между собой:

$$I_{Y_0 O Z_0}^{(r)} = I_{Z_0 O X_0}^{(r)} = \frac{3}{2} [I_{Y_0 O Z_0}^{(B)} + I_{Z_0 O X_0}^{(B)}] = \frac{1}{16} m^{(r)} \frac{l}{V^{(r)}} [24 (c_R R^4 - c_r r^4) + P_R h (2R^2 + h^2) - P_r h (2r^2 + h^2)].$$

Момент инерции этого тела относительно главной центральной плоскости $X_0 O Y_0$, перпендикулярной к его оси симметрии, равен сумме моментов инерции составляющих частей:

$$I_{X_0 O Y_0}^{(r)} = 3 \frac{1}{12} m^{(B)} l^2 = \frac{1}{12} m^{(r)} l^2.$$

Подставив в формулы для основного элемента цилиндра (см. рис. 16) вместо радиуса окружности шлицев R значения радиуса вала r и параметров $H = h = 2r$, получим формулы (условно обозначенные индексом д) для объема и моментов инерции сплошного цилиндра (см. рис. 17, д), радиус которого равен радиусу вала r :

$$V^{(d)} = \pi r^2 l;$$

$$I_{Y_0 O Z_0}^{(d)} = I_{Z_0 O X_0}^{(d)} = \frac{1}{4} m^{(d)} r^2; \quad I_{X_0 O Y_0}^{(d)} = \frac{1}{12} m^{(d)} l^2.$$

И, наконец, добавив к телу, состоящему из шести шлицев (см. рис. 17, з), цилиндр, радиус которого равен радиусу вала r (см. рис. 17, д), получим заданный вал с шестью равномерно расположенными шлицами, характеристики геометрии масс которого равны соответствующим суммам:

$$m = \rho [V^{(r)} + V^{(d)}] = \rho V = \rho \left\{ \frac{3}{2} l [4 (c_R R^2 - c_r r^2) + h (P_R - P_r)] + \pi r^2 l \right\} = \frac{1}{2} \rho l \{ 2\pi r^2 + 3 [4 (c_R R^2 - c_r r^2) + h (P_R - P_r)] \};$$

моменты инерции относительно главных центральных плоскостей

$$I_{Y_0 O Z_0} = I_{Z_0 O X_0} = I_{Y_0 O Z_0}^{(r)} + I_{Y_0 O Z_0}^{(d)} = \frac{1}{16} m^{(r)} \frac{l}{V^{(r)}} [24 (c_R R^4 - c_r r^4) + P_R h (2R^2 + h^2) - P_r h (2r^2 + h^2)] + \frac{1}{4} m^{(d)} r^2 = \frac{1}{16} m \frac{l}{V} \{ 4 [\pi r^4 + 6 (c_R R^4 - c_r r^4)] + h [P_R (2R^2 + h^2) - P_r (2r^2 + h^2)] \};$$

$$I_{X_0 O Y_0} = I_{X_0 O Y_0}^{(r)} + I_{X_0 O Y_0}^{(d)} = \frac{1}{12} m^{(r)} l^2 + \frac{1}{12} m^{(d)} l^2 = \frac{1}{12} m l^2,$$

где V — объем вала со шлицами.

Моменты инерции вала со шлицами относительно главных центральных осей инерции определим как суммы соответствующих моментов инерции вала относительно главных центральных плоскостей.

Ответ. Вал, изготовленный из однородного материала плотностью ρ , длиной l и радиусом r с шестью шлицами шириной h , равномерно расположенными по окружности радиусом R , имеет следующие инерционные характеристики:

$$m = \frac{1}{2} \rho l \{ 2\pi r^2 + 3 [4 (c_R R^2 - c_r r^2) + h (P_R - P_r)] \};$$

главные центральные моменты инерции

$$I_{X_0 X_0} = I_{Y_0 Y_0} = \frac{1}{48} m \frac{l}{V} \{ 3 [4 [\pi r^4 + 6 (c_R R^4 - c_r r^4)] + h [P_R (2R^2 + h^2) - P_r (2r^2 + h^2)]] + 4Vl \};$$

$$I_{Z_0 Z_0} = \frac{1}{8} m \frac{l}{V} \{ 4 [\pi r^4 + 6 (c_R R^4 - c_r r^4)] + h [P_R (2R^2 + h^2) - P_r (2r^2 + h^2)] \},$$

где

$$\begin{cases} P_R = \sqrt{4R^2 - h^2}; & P_r = \sqrt{4r^2 - h^2}; \\ c_R = \arcsin \frac{h}{2R}; & c_r = \arcsin \frac{h}{2r}. \end{cases}$$

ОПРЕДЕЛЕНИЕ НАПРАВЛЕНИЙ ГЛАВНЫХ ОСЕЙ ИНЕРЦИИ И ВЫЧИСЛЕНИЕ ГЛАВНЫХ МОМЕНТОВ ИНЕРЦИИ СЛОЖНЫХ ТЕЛ

Постановка задачи. Для тела известны центробежные моменты инерции $J_{y \cdot z}$, $J_{z \cdot x}$, $J_{x \cdot y}$ и моменты инерции J_{xx} , J_{yy} , J_{zz} относительно осей прямоугольной системы координат $Axyz$ с началом в произвольной точке A . Требуется найти направления главных осей инерции тела в заданной точке A и вычислить соответствующие этим осям главные моменты инерции тела.

При решении поставленной задачи возможны следующие случаи, когда в принятой прямоугольной системе координат $Axyz$:

- 1) все три центробежных момента инерции тела равны нулю;
- 2) два центробежных момента инерции тела равны нулю;
- 3) все три центробежных момента инерции тела не равны нулю.

Если все три центробежных момента инерции тела равны нулю, принятая прямоугольная система координат $Axyz$ есть главная система координат $AXYZ$ для тела в точке A , а координатные оси — главные оси инерции XX , YY и ZZ тела в точке A . Моменты инерции, вычисленные относительно этих осей, являются главными моментами инерции тела I_{XX} , I_{YY} и I_{ZZ} . Если начало координат совпадает с центром масс тела, то координатные оси X_0X_0 , Y_0Y_0 и Z_0Z_0 главной центральной системы координат $OX_0Y_0Z_0$ — главные центральные оси инерции тела, а моменты инерции относительно этих осей — главные центральные моменты инерции тела $I_{X_0X_0}$, $I_{Y_0Y_0}$ и $I_{Z_0Z_0}$.

В случае, когда два центробежных момента инерции тела в принятой системе координат равны нулю, тело имеет плоскость симметрии или для тела известна экваториальная плоскость эллипсоида инерции. Ось, перпендикулярная к плоскости симметрии, есть главная ось инерции тела в точке пересечения ее с плоскостью симметрии. Для всех возможных случаев расположения плоскости симметрии или экваториальной плоскости эллипсоида инерции в табл. 17 приведены расчетные формулы для определения угла, на который необходимо повернуть две другие координатные оси, чтобы они стали главными осями инерции тела, а также формулы для вычисления главных моментов инерции тела.

В общем случае, когда в принятой системе координат все три центробежных момента инерции тела не равны нулю, главные моменты инерции тела вычисляются, решая кубическое уравнение

$$I^3 + bI^2 + cI + d = 0,$$

корни которого — главные моменты инерции рассматриваемого тела для принятого полюса (начало системы координат).

Для определения направлений главных осей инерции тела, которым соответствуют значения главных моментов инерции I_1 , I_2 и I_3 , необходимо найти углы, которые составляют главные оси инерции с положительными направлениями координатных осей принятой системы отсчета. Для каждого конкретного значения главного момента инерции следует решить однородную систему линейных уравнений

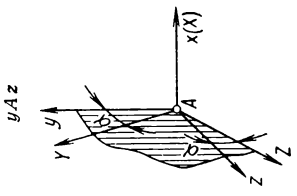
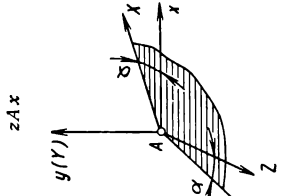
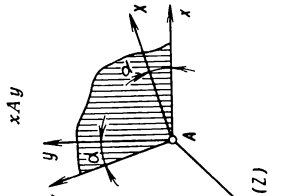
$$\begin{aligned} (J_{xx} - I_i) \cos \alpha_i - J_{x \cdot y} \cos \beta_i - J_{z \cdot x} \cos \gamma_i &= 0; \\ -J_{x \cdot y} \cos \alpha_i + (J_{yy} - I_i) \cos \beta_i - J_{y \cdot z} \cos \gamma_i &= 0; \\ -J_{z \cdot x} \cos \alpha_i - J_{y \cdot z} \cos \beta_i + (J_{zz} - I_i) \cos \gamma_i &= 0, \end{aligned}$$

в которых неизвестными являются направляющие косинусы главных осей инерции, совместно с уравнением

$$\cos^2 \alpha_i + \cos^2 \beta_i + \cos^2 \gamma_i = 1.$$

Методика вычисления главных моментов инерции тела для общего случая, когда все три центробежных момента инерции тела не равны нулю, приведена в табл. 18, а соответствующие им направления главных осей инерции определяются по методике, изложенной в табл. 19.

17. Главные оси и главные моменты инерции тела, два центробежных момента инерции которого в принятой системе координат равны нулю

Характеристики тела	Значения и расчетные формулы характеристик		
Плоскость симметрии тела или экваториальная плоскость эллипсоида инерции			
Главная ось инерции тела	XX	YY	ZZ
Центробежный момент инерции тела, не равный нулю	$J_{y \cdot z}$	$J_{z \cdot x}$	$J_{x \cdot y}$
Угол, на который необходимо повернуть координатные оси, чтобы они стали главными осями инерции тела	$\alpha = \frac{1}{2} \arctg \left(-\frac{2J_{y \cdot z}}{J_{yy} - J_{zz}} \right) = \frac{1}{2} \arctg \left(\frac{2J_{y \cdot z}}{J_{zAx} - J_{xAy}} \right)$	$\alpha = \frac{1}{2} \arctg \left(-\frac{2J_{z \cdot x}}{J_{zz} - J_{xx}} \right) = \frac{1}{2} \arctg \left(\frac{2J_{z \cdot x}}{J_{xAy} - J_{yAz}} \right)$	$\alpha = \frac{1}{2} \arctg \left(-\frac{2J_{x \cdot y}}{J_{xx} - J_{yy}} \right) = \frac{1}{2} \arctg \left(\frac{2J_{x \cdot y}}{J_{yAz} - J_{zAx}} \right)$

Продолжение табл. 17

Характеристики тела	Значения и расчетные формулы характеристик		
Момент инерции тела относительно главной оси XX	$I_{XX} = J_{xx}$	$I_{XX} = J_{zz} \sin^2 \alpha + J_{xx} \cos^2 \alpha + J_{z \cdot x} \sin 2\alpha$	$I_{XX} = J_{xx} \cos^2 \alpha + J_{yy} \sin^2 \alpha - J_{x \cdot y} \sin 2\alpha$
главной оси YY	$I_{YY} = J_{yy} \cos^2 \alpha + J_{zz} \sin^2 \alpha - J_{y \cdot z} \sin 2\alpha$	$I_{YY} = J_{yy}$	$I_{YY} = J_{xx} \sin^2 \alpha + J_{yy} \cos^2 \alpha - J_{x \cdot y} \sin 2\alpha$
главной оси ZZ	$I_{ZZ} = J_{yy} \sin^2 \alpha + J_{zz} \cos^2 \alpha + J_{y \cdot z} \sin 2\alpha$	$I_{ZZ} = J_{zz} \cos^2 \alpha + J_{xx} \sin^2 \alpha - J_{z \cdot x} \sin 2\alpha$	$I_{ZZ} = J_{zz}$

- Пр и м е ч а н и я:
1. Центробежные моменты инерции тела подставляют в формулы со своими знаками.
 2. Правильность определения главных моментов инерции тела проверяют, используя инерционные инварианты, которые остаются неизменными до и после поворота системы координат (табл. 18, п. 1).
 3. Угол α отсчитывают против часовой стрелки, если $\alpha > 0$, и по часовой стрелке при $\alpha < 0$.
 4. Если начало координат совпадает с центром масс тела, то полученные углы α_0 определяют направления главных центральных осей инерции X_0X_0 , Y_0Y_0 и Z_0Z_0 , а соответствующие им моменты инерции — значения главных центральных моментов инерции тела $I_{X_0X_0}$, $I_{Y_0Y_0}$ и $I_{Z_0Z_0}$.

18. Методика вычисления главных моментов инерции тела, все три центробежных момента инерции которого в принятой системе координат не равны нулю

Последовательность расчета	Расчетные формулы
1. Вычисляют коэффициенты b , c и d кубического уравнения, приведенного на стр. 106, которые определяются осевыми и центробежными моментами инерции тела и являются инерционными инвариантами этого тела для данного полюса *	$b = -(J_{xx} + J_{yy} + J_{zz})$ $c = J_{xx}J_{yy} + J_{yy}J_{zz} + J_{zz}J_{xx} - (J_{yz}^2 + J_{zx}^2 + J_{xy}^2)$ $d = -J_{xx}J_{yy}J_{zz} + (J_{xx}J_{yz}^2 + J_{yy}J_{zx}^2 + J_{zz}J_{xy}^2 + 2J_{yz}J_{zx}J_{xy})$
2. Заменяя в кубическом уравнении (стр. 106) неизвестное l на новое неизвестное $y = l + \frac{b}{3}$, получают приведенное кубическое уравнение	$y^3 + 3py + 2q = 0$
3. Вычисляют коэффициенты приведенного кубического уравнения	$p = \frac{3c - b^2}{9}$ $q = \frac{b^3}{27} - \frac{bc}{6} + \frac{d}{2}$
4. Определяют дискриминант кубического уравнения и убеждаются в том, что он меньше или равен нулю **	$D = p^3 + q^2 \leq 0$
5. Подсчитывают вспомогательные величины r и φ° (знак r должен совпадать со знаком q)	$r = \pm \sqrt{ p }$ $\varphi^\circ = \arccos \frac{q}{r^3}$
6. Вычисляют корни приведенного кубического уравнения	$y_1 = -2r \cdot \cos \frac{\varphi^\circ}{3}$ $y_2 = -2r \cdot \cos \left(60^\circ - \frac{\varphi^\circ}{3}\right)$ $y_3 = -2r \cdot \cos \left(60^\circ + \frac{\varphi^\circ}{3}\right)$
7. Подсчитывают моменты инерции тела относительно главных осей инерции	$I_1 = y_1 - \frac{b}{3}$ $I_2 = y_2 - \frac{b}{3}$ $I_3 = y_3 - \frac{b}{3}$
<p>* Так как главные моменты инерции при заданном полюсе остаются неизменными, каково бы ни было направление прямоугольных координатных осей по отношению к телу, то остаются неизменными и корни, а следовательно, и коэффициенты b, c и d кубического уравнения.</p> <p>** Если дискриминант $D < 0$, то кубическое уравнение имеет три решения — три действительных различных корня; если $D = 0$, то при $p^3 = -q^2 = 0$ уравнение имеет два решения — из трех действительных корней два совпали.</p> <p>П р и м е ч а н и я:</p> <p>1. Правильность определения главных моментов инерции тела можно проверить:</p> <ol style="list-style-type: none"> 1) непосредственной подстановкой вычисленных значений I_1, I_2 и I_3 в кубическое уравнение (стр. 106); 2) используя инвариантность коэффициентов кубического уравнения (см. п. 1); 3) используя свойство корней кубического уравнения $\frac{1}{I_1} + \frac{1}{I_2} + \frac{1}{I_3} = -\frac{c}{d}.$ <p>2. Если начало системы координат совпадает с центром масс тела, то найденные моменты инерции являются главными центральными моментами инерции тела I_{1_0}, I_{2_0} и I_{3_0}.</p>	

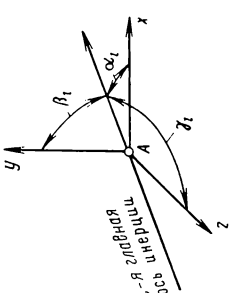
19. Методика определения направлений главных осей инерции тела, все три центробежных момента инерции которого в принятой системе координат не равны нулю

Последовательность расчета	Определяемые параметры и расчетные формулы
<p>Направление i-й главной оси инерции тела, относительно которой главный момент инерции тела равен I_i ($i = 1, 2, 3$), определяют в следующей последовательности:</p> <p>1. Из однородной системы линейных уравнений (стр. 106) выбирают два независимых уравнения, т. е. два уравнения, при подстановке в которые значения главного момента инерции I_i коэффициенты при неизвестных направляющих косинусах не пропорциональны.</p> <p>Для этого составляют определитель однородной системы линейных уравнений. Для каждого значения главного момента инерции и приравнивают его к нулю.</p> <p>Затем в определителе системы находят минор, который не обращается в нуль при подстановке в него главного значения момента инерции I_i. Пусть (для конкретности) не обращается в нуль минор, получаемый вычеркиванием из определителя системы 3-й строки и 3-го столбца.</p> <p>2. Составляют систему трех уравнений с тремя неизвестными направляющими косинусами. В нее входят те два уравнения системы линейных уравнений (стр. 106), из коэффициентов которых был составлен отличный от нуля минор, и уравнение, связывающее направляющие косинусы главной оси инерции (стр. 106).</p> <p>Следовательно, в данном случае для определения направляющих косинусов i-й главной оси инерции, относительно которой главный момент инерции равен I_i, используют первые два уравнения системы и уравнение, связывающее направляющие косинусы главной оси инерции.</p> <p>3. Выводят формулы для вычисления направляющих косинусов i-й главной оси инерции.</p> <p>Для этого дают произвольное значение тому направляющему косинусу, коэффициенты при котором не входят в отличный от нуля минор. В рассматриваемом случае произвольное значение необходимо дать направляющему косинусу $\cos \gamma_i$.</p> <p>Через произвольно взятое значение направляющего косинуса и коэффициенты пропорциональности k_i и n_i выражают остальные неизвестные направляющие косинусы главной оси инерции.</p> <p>В данном случае направляющие косинусы i-й главной оси инерции $\cos \alpha_i$ и $\cos \beta_i$ должны быть выражены через $\cos \gamma_i$:</p>	$\begin{vmatrix} J_{xx} - I_i & -J_{x,y} & -J_{z,x} \\ -J_{x,y} & J_{yy} - I_i & -J_{y,z} \\ -J_{z,x} & -J_{y,z} & J_{zz} - I_i \end{vmatrix} = 0$ $\begin{vmatrix} J_{xx} - I_i & -J_{x,y} \\ -J_{x,y} & J_{yy} - I_i \end{vmatrix} \neq 0$ $\left. \begin{aligned} (J_{xx} - I_i) \cos \alpha_i - J_{x,y} \cos \beta_i - J_{z,x} \cos \gamma_i &= 0 \\ -J_{x,y} \cos \alpha_i + (J_{yy} - I_i) \cos \beta_i - J_{y,z} \cos \gamma_i &= 0 \\ \cos^2 \alpha_i + \cos^2 \beta_i + \cos^2 \gamma_i &= 1 \end{aligned} \right\}$ $\cos \alpha_i = k_i \cos \gamma_i$ $\cos \beta_i = n_i \cos \gamma_i$

Продолжение табл. 19

Определяемые параметры и расчетные формулы	Последовательность расчета
$\cos \gamma_i = \frac{1}{\sqrt{1 + k_i^2 + n_i^2}}$ $\cos \alpha_i = \frac{k_i}{\sqrt{1 + k_i^2 + n_i^2}}$ $\cos \beta_i = \frac{n_i}{\sqrt{1 + k_i^2 + n_i^2}}$ $\left. \begin{aligned} (J_{xx} - I_i) k_i - J_{xy} n_i &= J_{zx} x \\ - J_{xy} k_i + (J_{yy} - I_i) n_i &= J_{yz} z \end{aligned} \right\}$ $k_i \text{ и } n_i$ $\cos \alpha_i; \cos \beta_i; \cos \gamma_i$ <p>См. табл. 20 (стр. 114)</p>	<p>Подставив значения направляющих косинусов, записанные через коэффициенты пропорциональности, в уравнение, связывающее направляющие косинусы главной оси инерции (стр. 106), получают формулу для вычисления произвольно взятого значения направляющего косинуса (в рассматриваемом случае — $\cos \gamma_i$). Подставив полученное значение направляющего косинуса в выражения, связывающие направляющие косинусы главной оси инерции через коэффициенты пропорциональности, получают формулы для вычисления двух других направляющих косинусов i-й главной оси инерции.</p> <p>4. Вычисляют коэффициенты пропорциональности направляющих косинусов главной оси инерции.</p> <p>Для этого составляют систему двух уравнений с двумя неизвестными k_i и n_i, подставив в те два уравнения системы (стр. 106), из которых получен отличный от нуля минор, значения направляющих косинусов, выраженных через коэффициенты пропорциональности.</p> <p>В данном случае, подставив значения направляющих косинусов в первые два уравнения системы (п. 2), получим систему двух уравнений с неизвестными k_i и n_i.</p> <p>Решив полученную систему уравнений, определяют числовые значения коэффициентов пропорциональности k_i и n_i, связывающих направляющие косинусы i-й главной оси инерции с главными осями инерции.</p> <p>5. Вычисляют направляющие косинусы главной оси инерции.</p> <p>В рассматриваемом случае направляющие косинусы i-й главной оси инерции, относительно которой момент инерции равен I_i, вычисляют по ранее выведенным формулам (п. 3), используя полученные значения коэффициентов пропорциональности.</p> <p>6. Устанавливают пространственное положение и направление i-й главной оси инерции, используя табл. 20, в которой представлены все возможные случаи расположения в пространстве главной оси инерции в зависимости от знаков направляющих косинусов</p>

Продолжение табл. 19

Последовательность расчета	Определяемые параметры и расчетные формулы
<p>7. Определяют углы α_i, β_i и γ_i, которые составляют положительные направления координатных осей принятой системы прямоугольных координат $Ax/y/z$ с i-й главной осью инерции.</p> <p>Углы φ_i (так обозначены углы α_i, β_i и γ_i) определяют, используя вычисленные значения направляющих косинусов и таблицы тригонометрических функций, если:</p> $\cos \varphi_i = B$ $\cos \varphi_i = -B$	 $\varphi_i = \arccos B$ $\varphi_i = \pi - \arccos -B $

Примечания: 1. Если в определителе системы однородной системы линейных уравнений (стр. 110) один и тот же минор не обращается в нуль при подстановке в него поочередно всех трех значений главных моментов инерции, то направления всех трех главных осей инерции тела определяют из одних и тех же уравнений системы и, следовательно, направляющие косинусы вычисляются по одним и тем же формулам. Поэтому целесообразно проверить условие неравенства нулю рассматриваемого минора для всех трех значений главных моментов инерции.

2. При выборе направляющего косинуса, которому можно дать произвольное значение, различают три случая.

Продолжение табл. 19

Все три минора, которые можно составить из этих двух уравнений, не равны нулю. Произвольное значение можно дать одному любому направляющему косинусу. В данном случае, если

$$\begin{vmatrix} -J_{x \cdot y} & -J_{z \cdot x} \\ J_{yy} - I_i & -J_{y \cdot z} \end{vmatrix} \neq 0; \quad \begin{vmatrix} J_{xx} - I_i & -J_{z \cdot x} \\ -J_{x \cdot y} & -J_{y \cdot z} \end{vmatrix} \neq 0; \quad \begin{vmatrix} J_{xx} - I_i & -J_{x \cdot y} \\ -J_{x \cdot y} & J_{yy} - I_i \end{vmatrix} \neq 0;$$

то произвольное значение можно дать $\cos \alpha_i$ или $\cos \beta_i$ или $\cos \gamma_i$.

Один минор равен нулю. Произвольное значение можно дать одному из двух направляющих косинусов, из коэффициентов при которых составлен равный нулю минор. В рассматриваемом случае, если

$$\begin{vmatrix} -J_{x \cdot y} & -J_{z \cdot x} \\ J_{yy} - I_i & -J_{y \cdot z} \end{vmatrix} \neq 0; \quad \begin{vmatrix} J_{xx} - I_i & -J_{z \cdot x} \\ -J_{x \cdot y} & -J_{y \cdot z} \end{vmatrix} = 0; \quad \begin{vmatrix} J_{xx} - I_i & -J_{x \cdot y} \\ -J_{x \cdot y} & J_{yy} - I_i \end{vmatrix} \neq 0,$$

то произвольное значение можно дать направляющим косинусам $\cos \alpha_i$ или $\cos \gamma_i$, но не направляющему косинусу $\cos \beta_i$.

Два минора равны нулю. Произвольное значение можно дать только тому направляющему косинусу, коэффициенты при котором не входят в отличный от нуля минор. В данном случае, если

$$\begin{vmatrix} -J_{x \cdot y} & -J_{z \cdot x} \\ J_{yy} - I_i & -J_{y \cdot z} \end{vmatrix} = 0; \quad \begin{vmatrix} J_{xx} - I_i & -J_{z \cdot x} \\ -J_{x \cdot y} & -J_{y \cdot z} \end{vmatrix} = 0; \quad \begin{vmatrix} J_{xx} - I_i & -J_{x \cdot y} \\ -J_{x \cdot y} & J_{yy} - I_i \end{vmatrix} \neq 0,$$

то произвольное значение можно дать одному направляющему косинусу $\cos \gamma_i$.

Так как третий случай предельный, позволяющий не проводить дополнительные исследования, то целесообразно давать произвольное значение тому направляющему косинусу, коэффициенты при котором не входят в отличный от нуля минор. 3. Знаки направляющих косинусов определяются знаками числителей, поэтому в формулах берут арифметическое значение корня, т. е. знак «плюс». Если у корня, стоящего в знаменателях, взять знак «минус», то у всех направляющих косинусов знаки поменяются на противоположные, а при одновременной замене знаков у направляющих косинусов положение осей в пространстве остается неизменным, изменится только направление отсчета по этой оси, момент же инерции не зависит от направления отсчета.

4. Для того чтобы убедиться в том, что направления главных осей инерции тела определены правильно, можно использовать условия взаимной перпендикулярности главных осей инерции:

$$\text{первой и второй} \quad \cos \alpha_1 \cos \alpha_2 + \cos \beta_1 \cos \beta_2 + \cos \gamma_1 \cos \gamma_2 = 0;$$

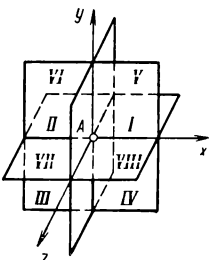
$$\text{второй и третьей} \quad \cos \alpha_2 \cos \alpha_3 + \cos \beta_2 \cos \beta_3 + \cos \gamma_2 \cos \gamma_3 = 0;$$

$$\text{третьей и первой} \quad \cos \alpha_3 \cos \alpha_1 + \cos \beta_3 \cos \beta_1 + \cos \gamma_3 \cos \gamma_1 = 0;$$

очевидные соотношения между направляющими косинусами каждой главной оси инерции:

$$\cos^2 \alpha_i + \cos^2 \beta_i + \cos^2 \gamma_i = 1.$$

20. Положение и направление главной оси инерции в пространстве в зависимости от знаков направляющих косинусов

Схема расположения октантов	Знаки направляющих косинусов			Направление главной оси инерции
	$\cos \alpha$	$\cos \beta$	$\cos \gamma$	
	+	+	+	От VII к I
	+	+	-	» VIII » II
	+	-	+	» V » III
	+	-	-	» VI » IV

Пример 13. Вычислить главные моменты инерции и найти направления главных осей инерции для параллелепипеда массой m со сторонами $H = 1$, $h = 2$ и $l = 3$ в его вершине (рис. 18).

Решение. Поместим прямоугольную систему координат $Axyz$ в заданную вершину параллелепипеда (точка A), направив координатные оси по его ребрам, как показано на рис. 18.

Для заданного параллелепипеда со сторонами $H = 1$, $h = 2$ и $l = 3$ в принятой системе координат $Axyz$ по известным формулам вычислим:

моменты инерции относительно координатных осей (см. пример 2, стр. 61)

$$J_{xx} = \frac{1}{3} m (h^2 + l^2) = \frac{1}{3} m (2^2 + 3^2) = 4,3333m;$$

$$J_{yy} = \frac{1}{3} m (l^2 + H^2) = \frac{1}{3} m (3^2 + 1^2) = 3,3333m;$$

$$J_{zz} = \frac{1}{3} m (H^2 + h^2) = \frac{1}{3} m (1^2 + 2^2) = 1,6667m;$$

центробежные моменты инерции (см. пример 1, стр. 57)

$$J_{y \cdot z} = \frac{1}{4} mhl = \frac{1}{4} 2 \cdot 3m = 1,50m;$$

$$J_{z \cdot x} = \frac{1}{4} m lH = \frac{1}{4} 3 \cdot 1m = 0,75m;$$

$$J_{x \cdot y} = \frac{1}{4} m Hh = \frac{1}{4} 1 \cdot 2m = 0,50m.$$

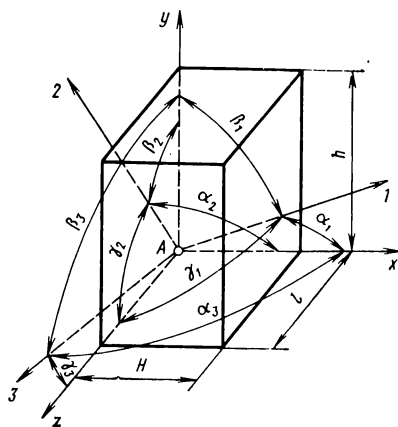


Рис. 18

Расчет главных моментов инерции заданного параллелепипеда для точки A проведем по методике, изложенной в табл. 18 (см. стр. 109), в следующей последовательности.

1. Подсчитаем коэффициенты кубического уравнения, приведенного на стр. 106 (см. табл. 18, п. 1):

$$b = -(J_{xx} + J_{yy} + J_{zz}) = -(4,3333m + 3,3333m + 1,6667m) = -9,3333m;$$

$$\begin{aligned}
c &= J_{xx}J_{yy} + J_{yy}J_{zz} + J_{zz}J_{xx} - (J_y^2 \cdot z + J_z^2 \cdot x + J_x^2 \cdot y) = 4,3333m \cdot 3,3333m + \\
&+ 3,3333m \cdot 1,6667m + 1,6667m \cdot 4,3333m - [(1,50m)^2 + (0,75m)^2 + (0,50m)^2] = 24,1596m^2; \\
d &= -J_{xx}J_{yy}J_{zz} + (J_{xx}J_y^2 \cdot z + J_{yy}J_z^2 \cdot x + J_{zz}J_x^2 \cdot y + 2J_y \cdot z \cdot x J_x \cdot y) = \\
&= -4,3333m \cdot 3,3333m \cdot 1,6667m + [4,3333m (1,50m)^2 + 3,3333m (0,75m)^2 + 1,6667m (0,50m)^2 + \\
&+ 2 \cdot 1,50m \cdot 0,75m \cdot 0,50m] = -10,9075m^3.
\end{aligned}$$

2. Вычислим коэффициенты приведенного кубического уравнения (см. табл. 18, п. 3):

$$\begin{aligned}
p &= \frac{3c - b^2}{9} = \frac{1}{9} [3 \cdot 24,1596m^2 - (-9,3333m)^2] = -1,6257m^2; \\
q &= \frac{b^3}{27} - \frac{bc}{6} + \frac{d}{2} = \frac{1}{27} (-9,3333m)^3 - \frac{1}{6} (-9,3333m) \cdot 24,1596m^2 + \\
&+ \frac{1}{2} (-10,9075m^3) = 2,0156m^3.
\end{aligned}$$

3. Определим дискриминант кубического уравнения (см. табл. 18, п. 4):

$$D = p^3 + q^2 = (-1,6257m^2)^3 + (2,0156m^3)^2 = -0,2340m^6 < 0.$$

Это значит, что в данном случае кубическое уравнение имеет три различных действительных корня, т. е. значения всех трех главных моментов инерции рассматриваемого параллелепипеда в его вершине различны.

4. Вычислим вспомогательные величины r и Φ (см. табл. 18, п. 5).

Значение r найдем по формуле

$$r = +\sqrt{|p|} = +\sqrt{|-1,6257m^2|} = 1,2750m,$$

в которой перед корнем взят знак «плюс», так как коэффициент приведенного кубического уравнения $q > 0$.

Вспомогательный угол

$$\Phi = \arccos \frac{q}{r^3} = \arccos \frac{2,0156m^3}{(1,2750m)^3} = \arccos 0,9725;$$

откуда

$$\Phi^\circ = 13^\circ 27' \text{ и } \frac{\Phi^\circ}{3} = 4^\circ 29'.$$

5. Определим корни приведенного кубического уравнения (см. табл. 18, п. 6)

$$y_1 = -2r \cos \frac{\Phi^\circ}{3} = -2r \cos 4^\circ 29' = -2 \cdot 1,2750m \cdot 0,9969 = -2,5421m;$$

$$y_2 = 2r \cos \left(60^\circ - \frac{\Phi^\circ}{3} \right) = 2r \cos 55^\circ 31' = 2 \cdot 1,2750m \cdot 0,5662 = 1,4438m;$$

$$y_3 = 2r \cos \left(60^\circ + \frac{\Phi^\circ}{3} \right) = 2r \cos 64^\circ 29' = 2 \cdot 1,2750m \cdot 0,4307 = 1,0983m.$$

6. Подсчитаем главные моменты инерции заданного параллелепипеда в точке A (см. табл. 18, п. 7):

$$I_1 = y_1 - \frac{b}{3} = -2,5421m - \frac{1}{3} (-9,3333m) = 0,5690m;$$

$$I_2 = y_2 - \frac{b}{3} = 1,4438m - \frac{1}{3} (-9,3333m) = 4,5549m;$$

$$I_3 = y_3 - \frac{b}{3} = 1,0983m - \frac{1}{3} (-9,3333m) = 4,2094m.$$

Проверим, правильно ли определены главные моменты инерции заданного параллелепипеда для точки A . Для этого вычислим инерционные инварианты для главных моментов инерции и сравним их с инвариантами, полученными для координатных осей системы $Axyz$ в качестве коэффициентов кубического уравнения.

В данном случае центробежные моменты инерции равны нулю, а моменты инерции являются главными моментами инерции параллелепипеда. Поэтому по формулам (см. табл. 18, п. 1) получим

$$b = -(I_1 + I_2 + I_3) = -(0,5690m + 4,5549m + 4,2094m) = -9,3333m;$$

$$c = I_1 I_2 + I_2 I_3 + I_3 I_1 = 0,5690m \cdot 4,5549m + 4,5549m \cdot 4,2094m + 4,2094m \cdot 0,5690m = 24,1602m^2;$$

$$d = -I_1 I_2 I_3 = -0,5690m \cdot 4,5549m \cdot 4,2094m = -10,9097m^3.$$

Значения инерционных инвариантов, вычисленные для главных моментов инерции, достаточно хорошо совпадают с ранее вычисленными (стр. 114), если учесть, что расчет проведен с округлением числовых значений до четвертого знака после запятой. Следовательно, главные моменты инерции заданного параллелепипеда в его вершине определены достаточно точно.

Направление главных осей инерции параллелепипеда в заданной точке A , которым соответствуют найденные значения главных моментов инерции I_1 , I_2 и I_3 , определим по методике, изложенной в табл. 19 (стр. 110), в следующей последовательности:

1. Составим определитель (см. табл. 19, п. 1) однородной системы линейных уравнений, подставив конкретные числовые значения моментов инерции параллелепипеда относительно координатных осей системы $Axyz$:

$$\begin{vmatrix} 4,3333m - I_i & -0,50m & -0,75m \\ -0,50m & 3,3333m - I_i & -1,50m \\ -0,75m & -1,50m & 1,6667m - I_i \end{vmatrix} = 0.$$

2. Найдем миноры, которые не обращаются в нуль при подстановке в них вычисленных значений главных моментов инерции параллелепипеда. Исследуем минор определителя системы

$$\Delta_i = \begin{vmatrix} 4,3333m - I_i & -0,50m \\ -0,50m & 3,3333m - I_i \end{vmatrix},$$

полученный вычеркиванием из него 3-й строки и 3-го столбца.

Подставим в него значение главного момента инерции $I_i = I_1 = 0,5690m$:

$$\Delta_1 = \begin{vmatrix} 4,3333m - 0,5690m & -0,50m \\ -0,50m & 3,3333m - 0,5690m \end{vmatrix} = \begin{vmatrix} 3,7643m & -0,50m \\ -0,50m & 2,7643m \end{vmatrix} =$$

$$= 3,7643m \cdot 2,7643m - (-0,50m)(-0,50m) = 10,1556m^2 \neq 0.$$

Убедимся, что этот минор также не обращается в нуль при подстановке в него двух других значений главных моментов инерции. Действительно, при $I_i = I_2 = 4,5549m$ и $I_i = I_3 = 4,2094m$ получим соответственно

$$\Delta_2 = \begin{vmatrix} -0,2216m & -0,50m \\ -0,50m & -1,2216m \end{vmatrix} = 0,0207m^2 \neq 0;$$

$$\Delta_3 = \begin{vmatrix} 0,1239m & -0,50m \\ -0,50m & -0,8761m \end{vmatrix} = -0,3585m^2 \neq 0.$$

Таким образом, для всех трех значений главных моментов инерции рассматриваемый минор не обращается в нуль*. Поэтому для определения направляющих косинусов всех трех главных осей инерции используем первые два уравнения системы, из коэффициентов которых был составлен не обращающийся в нуль минор, и уравнение, связывающее направляющие косинусы главной оси инерции, т. е. следующую систему:

$$(4,3333m - I_i) \cos \alpha_i - 0,50m \cos \beta_i - 0,75m \cos \gamma_i = 0;$$

$$-0,50m \cos \alpha_i + (3,3333m - I_i) \cos \beta_i - 1,50m \cos \gamma_i = 0;$$

$$\cos^2 \alpha_i + \cos^2 \beta_i + \cos^2 \gamma_i = 1.$$

* В рассматриваемом определителе ни один минор не обращается в нуль при подстановке в него всех трех значений главных моментов инерции. Поэтому для решения поставленной задачи можно было использовать два любых уравнения системы.

3. Дадим произвольное значение неизвестной величине — направляющему косинусу $\cos \gamma_i$, так как коэффициенты при нем не входят в отличный от нуля минор (см. табл. 19, п. 3), и выразим через него и коэффициенты пропорциональности остальные неизвестные

$$k_i = \frac{\cos \alpha_i}{\cos \gamma_i} \text{ и } n_i = \frac{\cos \beta_i}{\cos \gamma_i},$$

Следовательно, в рассматриваемой задаче направляющие косинусы всех трех главных осей инерции связаны между собой одинаковыми соотношениями $\cos \alpha_i = k_i \cos \gamma_i$; $\cos \beta_i = n_i \cos \gamma_i$.

4. Выведем формулы для вычисления направляющих косинусов главных осей инерции. Подставив значения направляющих косинусов, выраженных через коэффициенты пропорциональности, в уравнение, связывающее направляющие косинусы, получим формулу для вычисления произвольно взятого значения направляющего косинуса:

$$\cos^2 \alpha_i + \cos^2 \beta_i + \cos^2 \gamma_i = k_i^2 \cos^2 \gamma_i + n_i^2 \cos^2 \gamma_i + \cos^2 \gamma_i = \cos^2 \gamma_i (k_i^2 + n_i^2 + 1) = 1;$$

откуда

$$\cos \gamma_i = \frac{1}{\sqrt{1 + k_i^2 + n_i^2}}.$$

Подставим полученное значение $\cos \gamma_i$ в выражения для двух других направляющих косинусов, записанные через коэффициенты пропорциональности:

$$\cos \alpha_i = k_i \cos \gamma_i = \frac{k_i}{\sqrt{1 + k_i^2 + n_i^2}};$$

$$\cos \beta_i = n_i \cos \gamma_i = \frac{n_i}{\sqrt{1 + k_i^2 + n_i^2}}.$$

Таким образом, в данной задаче направляющие косинусы всех трех главных осей инерции определяем по одним и тем же формулам.

5. Вычислим коэффициенты пропорциональности k_i и n_i направляющих косинусов главных осей инерции. Подставив в два первых уравнения системы, полученной для определения направляющих косинусов при решении задачи (стр. 116), значения направляющих косинусов $\cos \alpha_i = k_i \cos \gamma_i$ и $\cos \beta_i = n_i \cos \gamma_i$ и сократив на произвольную величину $\cos \gamma_i$, получим систему двух уравнений с двумя неизвестными k_i и n_i

$$(4,3333m - I_i) k_i - 0,50mn_i = 0,75m;$$

$$-0,50mk_i + (3,3333m - I_i) n_i = 1,50m.$$

Для каждого значения главного момента инерции вычислим числовые значения коэффициентов пропорциональности, используя формулы

$$k_i = \frac{\Delta_{k_i}}{\Delta_i} \text{ и } n_i = \frac{\Delta_{n_i}}{\Delta_i},$$

где Δ_i — определитель рассматриваемой системы двух уравнений, вычисленный для всех трех значений главных моментов инерции;

$\Delta_{k_i}, \Delta_{n_i}$ — определители рассматриваемой системы двух уравнений, получаемые заменой коэффициентов при соответствующем неизвестном свободными членами и вычисляемые по формулам

$$\Delta_{k_i} = \begin{vmatrix} 0,75m & -0,50m \\ 1,50m & 3,3333m - I_i \end{vmatrix} = 0,75m (3,3333m - I_i) - (-0,50m) 1,50m;$$

$$\Delta_{n_i} = \begin{vmatrix} 4,3333m - I_i & 0,75m \\ -0,50m & 1,50m \end{vmatrix} = (4,3333m - I_i) 1,50m - 0,75m (-0,50m).$$

В приведенные формулы подставим значения главного момента инерции $I_i = I_1 = 0,5690m$. Тогда

$$\Delta k_1 = 0,75m (3,3333m - 0,5690m) - (-0,50m) 1,50m = 2,8232m^2;$$

$$\Delta n_1 = (4,3333m - 0,5690m) 1,50m - 0,75m (-0,50m) = 6,0214m^2.$$

Используя полученные значения определителей Δk_1 и Δn_1 и вычисленный определитель системы $\Delta_1 = 10,1556m^2$, определим коэффициенты пропорциональности k_1 и n_1 направляющих косинусов главной оси инерции по формулам

$$k_1 = \frac{\Delta k_1}{\Delta_1} = \frac{2,8232m^2}{10,1556m^2} = 0,2780;$$

$$n_1 = \frac{\Delta n_1}{\Delta_1} = \frac{6,0214m^2}{10,1556m^2} = 0,5929.$$

Аналогично, подставив поочередно значения главных моментов инерции $I_i = I_2 = 4,5549m$ и $I_i = I_3 = 4,2094m$, подсчитав определители Δk_2 , Δn_2 и Δk_3 , Δn_3 и используя ранее вычисленные определители системы $\Delta_2 = 0,0207m^2$ и $\Delta_3 = -0,3585m^2$ (стр. 116), получим коэффициенты пропорциональности направляющих косинусов двух других главных осей инерции

$$k_2 = -0,0290; \quad n_2 = 2,0580;$$

$$k_3 = -0,2591; \quad n_3 = -1,5643.$$

6. Вычислим направляющие косинусы главных осей инерции заданного параллелепипеда в точке А. Для этого для всех трех пар чисел k_i и n_i предварительно определим значения корня, стоящего в знаменателях формул, определяющих направляющие косинусы главных осей инерции

$$T_i = \sqrt{1 + k_i^2 + n_i^2} = \begin{cases} \sqrt{1 + 0,2780^2 + 0,5929^2} = 1,1953 \text{ для } i = 1; \\ \sqrt{1 + (-0,0290)^2 + 2,0580^2} = 8,3485 \text{ для } i = 2; \\ \sqrt{1 + (-0,2591)^2 + (-1,5643)^2} = 1,8746 \text{ для } i = 3; \end{cases}$$

Подставив в формулы (стр. 117) соответствующие значения коэффициентов пропорциональности и корня, определим направляющие косинусы главных осей инерции.

Для главной оси инерции, относительно которой момент инерции $I_1 = 0,5690m$:

$$\cos \alpha_1 = \frac{k_1}{T_1} = \frac{0,2780}{1,1953} = 0,2326;$$

$$\cos \beta_1 = \frac{n_1}{T_1} = \frac{0,5929}{1,1953} = 0,4960;$$

$$\cos \gamma_1 = \frac{1}{T_1} = \frac{1}{1,1953} = 0,8366.$$

Для главной оси инерции, относительно которой момент инерции $I_2 = 4,5549m$:

$$\cos \alpha_2 = \frac{k_2}{T_2} = -\frac{0,0290}{8,3485} = -0,9617;$$

$$\cos \beta_2 = \frac{n_2}{T_2} = \frac{2,0580}{8,3485} = 0,2465;$$

$$\cos \gamma_2 = \frac{1}{T_2} = \frac{1}{8,3485} = 0,1198.$$

Для главной оси инерции, относительно которой момент инерции $I_3 = 4,2049m$:

$$\cos \alpha_3 = \frac{k_3}{T_3} = -\frac{0,2591}{1,8746} = -0,1382;$$

$$\cos \beta_3 = \frac{n_3}{T_3} = -\frac{1,5643}{1,8746} = -0,8345;$$

$$\cos \gamma_3 = \frac{1}{T_3} = \frac{1}{1,8746} = 0,5334.$$

Для того чтобы убедиться в правильности вычисленных значений направляющих косинусов, покажем, что для всех трех главных осей инерции сумма квадратов направляющих косинусов равна единице:

$$\begin{aligned}\cos^2 \alpha_1 + \cos^2 \beta_1 + \cos^2 \gamma_1 &= 0,2326^2 + 0,4960^2 + 0,8366^2 = 1,0000; \\ \cos^2 \alpha_2 + \cos^2 \beta_2 + \cos^2 \gamma_2 &= (-0,9617)^2 + 0,2465^2 + 0,1198^2 = 1,0000; \\ \cos^2 \alpha_3 + \cos^2 \beta_3 + \cos^2 \gamma_3 &= (-0,1382)^2 + (-0,8345)^2 + 0,5334^2 = 1,0000.\end{aligned}$$

Для проверки используем также условие взаимной перпендикулярности главных осей инерции. Подставив в выражения, приведенные в примечании 4 к табл. 19, значения направляющих косинусов, получим:

для первой и второй главных осей инерции

$$\cos \alpha_1 \cos \alpha_2 + \cos \beta_1 \cos \beta_2 + \cos \gamma_1 \cos \gamma_2 = 0,2326 (-0,9617) + 0,4960 \cdot 0,2465 + 0,8366 \cdot 0,1198 = -0,0012;$$

для второй и третьей главных осей инерции

$$\cos \alpha_2 \cos \alpha_3 + \cos \beta_2 \cos \beta_3 + \cos \gamma_2 \cos \gamma_3 = (-0,9617) (-0,1382) + 0,2465 (-0,8345) + 0,1198 \cdot 0,5334 = -0,0039;$$

для третьей и первой главных осей инерции

$$\cos \alpha_3 \cos \alpha_1 + \cos \beta_3 \cos \beta_1 + \cos \gamma_3 \cos \gamma_1 = (-0,1382) 0,2326 + (-0,8345) 0,4960 + 0,5334 \cdot 0,8366 = +0,0002.$$

Из проведенных вычислений следует, что суммы произведений направляющих косинусов главных осей инерции близки к нулю. Погрешности вычислений объясняются тем, что расчет был проведен с определенным округлением (до четвертого знака после запятой) числовых значений.

Для того чтобы убедиться в том, что эти погрешности действительно незначительны, вычислим главные моменты инерции, используя известное выражение для момента инерции (см. стр. 76)

$$\begin{aligned}I_i &= J_{xx} \cos^2 \alpha_i + J_{yy} \cos^2 \beta_i + J_{zz} \cos^2 \gamma_i - \\ &- 2J_{y \cdot z} \cos \beta_i \cos \gamma_i - 2J_{z \cdot x} \cos \gamma_i \cos \alpha_i - 2J_{x \cdot y} \cos \alpha_i \cos \beta_i,\end{aligned}$$

в которое входят вычисленные значения направляющих косинусов и исходные данные — центробежные моменты и моменты инерции заданного параллелепипеда относительно осей принятой системы координат $Axyz$, а затем сравним их с вычисленными ранее значениями главных моментов инерции.

Подставив в выражение для I_i исходные данные и вычисленные значения направляющих косинусов соответствующих главных осей инерции, получим следующие значения главных моментов инерции:

относительно первой главной оси инерции

$$I_1 = 4,3333m \cdot 0,2326^2 + 3,3333m \cdot 0,4960^2 + 1,6667m \cdot 0,8366^2 - 2 \cdot 1,50m \cdot 0,4960 \cdot 0,8366 - 2 \cdot 0,75m \cdot 0,8366 \cdot 0,2326 - 2 \cdot 0,50m \cdot 0,2326 \cdot 0,4960 = 0,5689m;$$

относительно второй главной оси инерции

$$I_2 = 4,3333m (-0,9617)^2 + 3,3333m \cdot 0,2465^2 + 1,6667m \cdot 0,1198^2 - 2 \cdot 1,50m \cdot 0,2465 \cdot 0,1198 - 2 \cdot 0,75m \cdot 0,1198 (-0,9617) - 2 \cdot 0,50m \cdot (-0,9617) 0,2465 = 4,5555m.$$

относительно третьей главной оси инерции

$$\begin{aligned}I_3 &= 4,3333m (-0,1382)^2 + 3,3333m (-0,8345)^2 + 1,6667m \cdot 0,5334^2 - \\ &- 2 \cdot 1,50m (-0,8345) 0,5334 - 2 \cdot 0,75m \cdot 0,5334 (-0,1382) - \\ &- 2 \cdot 0,50m (-0,1382) (-0,8345) = 4,2088m.\end{aligned}$$

Сравнивая полученные значения главных моментов инерции параллелепипеда в точке A с ранее вычисленными (стр. 115) и считая последние точными (I_i^T), оценим относительную ошибку определения главных моментов инерции:

$$\delta I_i = \frac{I_i - I_i^T}{I_i^T} 100\%.$$

Подставим поочередно соответствующие значения главных моментов инерции.

$$\delta I_1 = \frac{0,5639m - 0,5690m}{0,5690m} 100\% = -0,018\%;$$

$$\delta I_2 = \frac{4,5555m - 4,5549m}{4,5549m} 100\% = +0,013\%;$$

$$\delta I_3 = \frac{4,2038m - 4,2034m}{4,2034m} 100\% = -0,014\%.$$

Так как относительная ошибка вычисления главных моментов инерции по полученным значениям направляющих косинусов не превышает $\delta I = 0,02\%$, то можно считать, что направляющие косинусы главных осей инерции заданного параллелепипеда в его вершине A определены достаточно точно.

7. Определим углы α_i , β_i и γ_i между положительными направлениями координатных осей принятой системы отсчета $Axyz$ и направлениями главных осей инерции заданного параллелепипеда в его вершине.

Используя вычисленные значения направляющих косинусов, таблицы тригонометрических функций и данные табл. 20, по формулам (табл. 19 п. 7) для рассматриваемого параллелепипеда в его вершине устанавливаем следующее.

Главная ось инерции, относительно которой момент инерции $I_1 = 0,5690m$, направлена от VII к I октанту и с положительными направлениями координатных осей системы $Axyz$ составляет углы

$$\alpha_1 = \arccos 0,2326 = 76^\circ 33';$$

$$\beta_1 = \arccos 0,4960 = 60^\circ 16';$$

$$\gamma_1 = \arccos 0,8366 = 33^\circ 13'.$$

Главная ось инерции, относительно которой момент инерции $I_2 = 4,5549m$, направлена от VIII к II октанту и с положительными направлениями координатных осей системы $Axyz$ составляет углы

$$\alpha_2 = \pi - \arccos |-0,9617| = 180^\circ - 15^\circ 54' = 164^\circ 06';$$

$$\beta_2 = \arccos 0,2465 = 75^\circ 44';$$

$$\gamma_2 = \arccos 0,1198 = 83^\circ 07'.$$

Главная ось инерции, относительно которой момент инерции $I_3 = 4,2094m$, направлена от V к III октанту и с положительными направлениями координатных осей системы $Axyz$ составляет углы

$$\alpha_3 = \pi - \arccos |-0,1382| = 180^\circ - 82^\circ 03' = 97^\circ 57';$$

$$\beta_3 = \pi - \arccos |-0,8345| = 180^\circ - 33^\circ 26' = 146^\circ 34';$$

$$\gamma_3 = \arccos 0,5334 = 57^\circ 46'.$$

Отложив в определенном масштабе направляющие косинусы (с учетом их знаков), по координатным осям принятой системы отсчета $Axyz$, построим главные оси инерции заданного параллелепипеда в его вершине (см. рис. 18).

Ответ. Углы между положительными направлениями координатных осей принятой прямоугольной системы $Axyz$ и направлениями главных осей инерции параллелепипеда массой m и сторонами $h = 1$, $h = 2$ и $l = 3$ в его вершине составляют

$$\alpha_1 = 76^\circ 33'; \quad \alpha_2 = 164^\circ 06'; \quad \alpha_3 = 97^\circ 57';$$

$$\beta_1 = 60^\circ 16'; \quad \beta_2 = 75^\circ 44'; \quad \beta_3 = 146^\circ 34';$$

$$\gamma_1 = 33^\circ 13'; \quad \gamma_2 = 83^\circ 07'; \quad \gamma_3 = 57^\circ 46'.$$

Соответствующие им главные моменты инерции параллелепипеда равны

$$I_1 = 0,5690m;$$

$$I_2 = 4,5549m;$$

$$I_3 = 4,2094m.$$

ПРИБЛИЖЕННЫЙ РАСЧЕТ ХАРАКТЕРИСТИК ГЕОМЕТРИИ МАСС СЛОЖНЫХ ТЕЛ ВРАЩЕНИЯ

Для быстрого, но приближенного вычисления инерционных характеристик сложных тел вращения применяют метод аппроксимации. Элементы, на которые разбивают сложное тело вращения, в зависимости от их конфигурации и требуемой точности аппроксимируют телами простой геометрической формы: сплошными, толстостенными или тонкостенными усеченными круговыми конусами, конусами

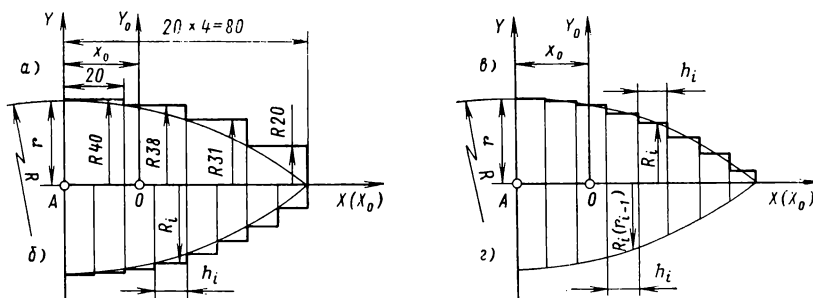


Рис. 19

или цилиндрами. Точность расчета зависит от точности аппроксимации. Методика приближенного расчета характеристик геометрии масс сложных тел вращения приведена в табл. 21.

Пример 14. Вычислить объем, положение центра масс и главные центральные моменты инерции объема полуоживала (см. рис. 19) с радиусами $R = 10$ см и $r = 4$ см. Оценить погрешность, получаемую в расчетах при различных вариантах разбиения полуоживала на элементы.

Решение. Для ориентировочной (грубой) оценки указанных характеристик геометрии масс разобьем полуоживал плоскостями, перпендикулярными к оси вращения, на четыре элемента одинаковой высоты h (см. рис. 19, а). Каждый элемент представим в виде сплошного цилиндра, радиус которого R_i равен радиусу большего основания элемента. В этом случае получим завышенные значения.

Вычисления сведены в типовую таблицу (табл. 23). В строке сверху указаны действия (жирным шрифтом набраны номера граф), которые следует произвести, чтобы получить необходимую величину. В нижней строке суммированием величин в соответствующих графах для заданного полуоживала получены:

1) объем V (графа 4);

2) статический момент S_x относительно плоскости YAZ (графа 6);

3) сумма произведений объемов элементов на квадраты их координат $\sum_{i=1}^4 V_i x_{0i}^2$

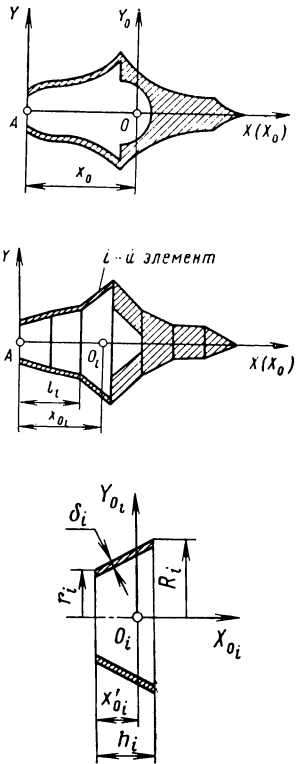
(графа 7);

4) моменты инерции объема $I_{Z_0 O X_0}^V = I_{X_0 O Y_0}^V = \sum_{i=1}^4 I_{(Z_0 O X_0)_i}^V$ относительно

главных центральных плоскостей $Z_0 O X_0$ и $X_0 O Y_0$ (графа 8);

5) координата центра масс тела x_0 (графа 5), полученная делением статического момента тела на его объем.

21. Методика приближенного расчета характеристик геометрии масс сложных тел вращения

Последовательность расчета	Определяемые параметры и расчетные формулы
<p>1. Предварительный этап. В определенном масштабе вычерчивают сечение (по оси симметрии) заданного сложного тела вращения. Главную прямоугольную систему координат $AXYZ$ располагают у левого (правого) основания тела, направив по оси симметрии главную центральную ось X_0X_0, а ось ZZ — перпендикулярно плоскости чертежа</p> <p>Плоскостями, перпендикулярными к оси вращения, заданное тело разбивают на n элементов, которые в зависимости от их конфигурации и требуемой точности расчета аппроксимируют телами простой геометрической формы: усеченными круговыми конусами, конусами или цилиндрами</p> <p>Для каждого выделенного i-го элемента фиксируют собственную главную центральную систему координат $(OX_0Y_0Z_0)_i$, оси которой параллельны соответствующим осям общей, выбранной для всего тела, системы координат, и по чертежу определяют геометрические размеры</p>	 <p>R_i; r_i; h_i и δ_i</p>
<p>2. Для каждого выделенного i-го элемента по формулам табл. 22, используя таблицы безразмерных коэффициентов, вычисляются: объем или поверхность</p> <p>Зная плотность материала ρ, подсчитывают массу элемента:</p> <p>сплошного или толстостенного</p> <p>тонкостенного</p> <p>координату центра масс относительно плоскости соответственно левого (правого) основания элемента</p> <p>вспомогательные величины — моменты инерции относительно главных центральных плоскостей элемента</p>	<p>V_i или S_i</p> <p>$m_i = V_i \rho_i$</p> <p>$m_i = S_i \delta_i \rho_i$</p> <p>$x'_{0i}$</p> <p>$I(Y_0OZ_0)_i$</p> <p>$I(Z_0OX_0)_i = I(X_0OY_0)_i$</p>

Продолжение табл. 21

Последовательность расчета	Определяемые параметры и расчетные формулы
<p>3. Для каждого выделенного i-го элемента в общей, выбранной для всего тела главной системе координат XYZ подсчитывают: расстояние между координатной плоскостью YAZ и параллельной ей плоскостью основания элемента</p> <p>координату центра масс относительно координатной плоскости YAZ</p> <p>статический момент относительно координатной плоскости YAZ</p> <p>произведение массы элемента на квадрат его координаты центра масс</p>	l_i $x_{0i} = l_i + x'_{0i}$ $S_{x_i} = m_i x_{0i}$ $m_i x_{0i}^2 = S_{x_i} x_{0i}$
<p>4. Для заданного сложного тела вращения вычисляют: массу тела как сумм масс составляющих его элементов</p> <p>координату центра масс относительно координатной плоскости YAZ</p> <p>моменты инерции тела относительно главных центральных осей: X_0X_0 Y_0Y_0 и Z_0Z_0</p>	$m = \sum_{i=1}^n m_i$ $x_0 = \frac{\sum_{i=1}^n S_{x_i}}{m}$ $I_{X_0X_0} = 2 \sum_{i=1}^n I_{(Z_0OX_0)_i}$ $I_{Y_0Y_0} = I_{Z_0Z_0} =$ $= \sum_{i=1}^n [I_{(Y_0OZ_0)_i} + I_{(Z_0OX_0)_i} + m_i x_{0i}^2] - m x_0^2$
<p>Примечания: 1. Формулы объема, центра масс и моментов инерции относительно главных центральных плоскостей тел простой геометрической формы (сплошных, толстостенных и тонкостенных усеченных конусов, конусов и цилиндров) приведены в табл. 22.</p> <p>2. Для удобства и упрощения расчетов целесообразно построить по соответствующим таблицам графики безразмерных геометрических коэффициентов K_i, которые дают меньшую точность (в зависимости от выбранного масштаба), но удобны для приближенных расчетов.</p> <p>3. Для повышения точности расчета тело следует разбивать на более тонкие элементы, а для упрощения расчетов — на элементы одинаковой толщины.</p>	

22. Формулы объема, центра масс и моментов инерции относительно главных центральных плоскостей круговых усеченных конусов, конусов и цилиндров

Параметры									
V	$K_1 R^2 h$	$K_1 R^2 h$	$6,2832 \times R_0 h \delta$	$3,1416 \times R^2 h$	$6,2832 \times R h \delta$	$K_1 R^2 h$	$1,0472 \times R^2 h$	$6,2852 \times R_0 h \delta$	
x'_0	$K_2 h$	$K_2 h$	$K_1 h$	$0,5h$	$0,5h$	$K_2 h$	$0,75h$	$0,3333h$	
$I_{Y_0 O Z_0}$	$K_3 m h^2$	$K_3 m h^2$	$K_2 m h^2$	$0,0833 m h^2$	$0,0833 m h^2$	$K_3 m h^2$	$0,0875 \times m h^2$	$0,0556 \times m h^2$	
$I_{Z_0 O X_0} = I_{X_0 O Y_0}$	$K_4 m R^2$	$K_4 m R^2$	$0,25m \times (R^2 + r^2)$	$0,25m R^2$	$0,5m R^2$	$K_4 m R^2$	$0,15m R^2$	$0,25m R^2$	

Примечания: 1. На эскизах приведены сечения тел центральной плоскостью по оси симметрии; главная центральная ось $Z_0 O X_0$ перпендикулярна к плоскости чертежа.

2. R_0 — радиус окружности, описываемый центром тяжести образующей.

3. Значения коэффициентов K_i приведены: для элемента 1 $K_i = f\left(n = \frac{r}{R}; p = \frac{r_1}{R}\right)$ в табл. 18 (см. стр. 501); для элемента 2 $K_i = f\left(p = \frac{r}{R}\right) - K_1$ и K_7 в табл. 17 (см. стр. 496) при $\varphi = \pi$, K_2 и K_5 в табл. 19 (см. стр. 504); для элемента 3 $K_i = f\left(p = \frac{r}{R}\right)$ в табл. 21 (см. стр. 509); для элемента 7 $K_i = f\left(p = \frac{R_1}{R}\right)$ в табл. 23 (см. стр. 511).

Используя данные, приведенные в табл. 23, и учитывая, что полуоживал разбит на цилиндры одинаковой высоты h , вычислим моменты инерции объема полуоживала относительно главных центральных осей:

$$I_{X_0 X_0}^V = 2 \sum_{i=1}^4 I_{(Z_0 O X_0)_i}^V = 2 \cdot 902 = 1804 \text{ см}^5;$$

$$I_{Y_0 Y_0}^V = I_{Z_0 Z_0}^V = \frac{1}{12} h^2 \sum_{i=1}^4 V_i + \sum_{i=1}^4 [V_i x_{0i}^2 + I_{(Z_0 O X_0)_i}^V] - V x_0^2 =$$

$$= 0,0833 \cdot 2,0^2 \cdot 277 + 3656 + 902 - 277 \cdot 3,07^2 = 2040 \text{ см}^5.$$

Для повышения точности результатов проведены аналогичные расчеты для следующих вариантов разбивки полуоживала: 1) на восемь цилиндрических элементов одинаковой высоты, взятых по большему радиусу (см. рис. 19, б); 2) на восемь цилиндрических элементов одинаковой высоты, взятых по среднему радиусу (см. рис. 19, в); 3) на семь усеченных конусов и конус одинаковой высоты (см. рис. 19, г).

Результаты расчетов с указанием полученных относительных ошибок $\Delta\%$ при различных вариантах разбивки полуоживала на элементы сведены в табл. 24.

Ответ. Объем однородного полуоживала с радиусами $R = 10$ см и $r = 4$ см равен $V = 229,2 \text{ см}^3$. Центр масс его лежит на оси вращения на расстоянии $x_0 = 2,63$ см от плоскости основания. Главные центральные моменты инерции объема равны между собой: $I_{X_0 X_0}^V = I_{Y_0 Y_0}^V = I_{Z_0 Z_0}^V = 1421 \text{ см}^5$. При увеличении числа элементов и подборе более близких к форме элемента аппроксимирующих тел ошибка в расчетах уменьшается от 21–44 до 0,5–1,0%.

23. Решение примера 14 (вариант а)

№ эле- мента	R_i	h_i	$V_i, \text{ см}^3$	$x_{0i}, \text{ см}$	$S_{x_i}, \text{ см}^4$	$V_i x_{0i}^2$	$I_{(Z_0 O X_0)_i}^V$
	см					см³	
	1	2				3	4
По чертежу			$\pi \cdot 2^2 \cdot 3$	$1+3(i-1)$	4.5	5.6	$0,25 \cdot 2^2 \cdot 4$
1	4,0	2,0	100,7	1,0	100,7	100,7	404,6
2	3,8	2,0	90,7	3,0	271,6	815,3	327,0
3	3,1	2,0	60,4	5,0	302,0	1510,0	145,2
4	2,0	2,0	25,2	7,0	175,7	1230,0	25,2
			277,0	3,07	850,0	3656,0	902,0

24. Результаты и относительные ошибки при различных вариантах расчета

Вариант расчета	Объем		Центр масс		Моменты инерции			
	$V, \text{ см}^3$	$\Delta V, \%$	$x_0, \text{ см}$	$\Delta x, \%$	$I_{X_0 X_0}^V, \text{ см}^5$	$\Delta I_{X_0 X_0}^V, \%$	$I_{Y_0 Y_0}^V, \text{ см}^5$	$\Delta I_{Y_0 Y_0}^V, \%$
По аналитическим формулам	229,2	—	2,63	—	1421	—	1421	—
а	277	+20,8	3,07	+16,7	1804	+27,0	2040	+43,5
б	255	+11,3	2,85	+8,4	1632	+14,8	1727	+21,5
в	226	-1,4	2,61	-0,8	1402	-1,3	1408	-0,9
г	227	-1,0	2,62	-0,4	1408	-0,9	1416	-0,4

СПРАВОЧНЫЕ ТАБЛИЦЫ

В этой части приведены справочные таблицы для вычисления объемов, поверхностей, массы, координат центра масс и главных центральных моментов инерции более чем для 700 различных элементов тел разнообразной конфигурации, из которых могут быть составлены сложные по форме детали и узлы современных машин и механизмов.

Для удобства пользования все приведенные в справочных таблицах элементы тел классифицированы по характерным геометрическим признакам. В предметно-иллюстрированном оглавлении показаны эскизы элементов тел и даны номера страниц, на которых для этих элементов приведены справочные данные. Для некоторых элементов тел справочные таблицы не приведены, а в Предметно-иллюстрированном оглавлении указаны частные значения геометрических параметров, подставив которые в общие формулы (дана ссылка на соответствующий элемент), можно получить расчетные формулы для характеристик геометрии масс этих частных тел. Таблицы включают эскиз элемента тела и расчетные формулы.

Эскизы элементов тел представлены в изометрической проекции или даны проекцией и сечением со всеми необходимыми параметрами, характеризующими геометрическую форму и размеры элемента. Тело, частью которого является рассматриваемый элемент, показано тонкой линией. На эскизах элементов тел (типовые элементы приведены в табл. 25, стр. 127) показаны центральная $Ox_0y_0z_0$, главная центральная $OX_0Y_0Z_0$ системы координат и угол α_0 , определяющий направления главных центральных осей инерции элемента X_0X_0 и Y_0Y_0 .

Расчетные формулы, приведенные в справочных таблицах, дают возможность вычислить для каждого элемента:

- 1) объем V ;
- 2) поверхность S ;
- 3) координаты центра масс x_0 , y_0 и z_0 относительно каких-либо плоскостей, связанных с элементом;
- 4) вспомогательные величины — моменты инерции относительно центральных $J_{y_0Oz_0}$ и $J_{z_0Ox_0}$ или главных центральных плоскостей $I_{Y_0OZ_0}$, $I_{Z_0OX_0}$ и $I_{X_0OY_0}$ ($I_{x_0Oy_0}$);
- 5) центральный центробежный момент инерции $J_{x_0 \cdot y_0}$ или угол α_0 .

Массу m и вес G элемента определяют по обычным формулам

$$m = V\rho \text{ или } m = S\rho\delta;$$

$$G = V\gamma \text{ или } G = S\gamma\delta,$$

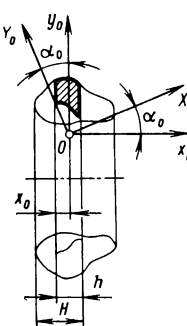
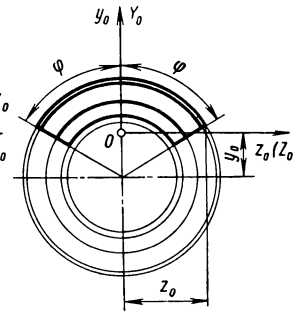
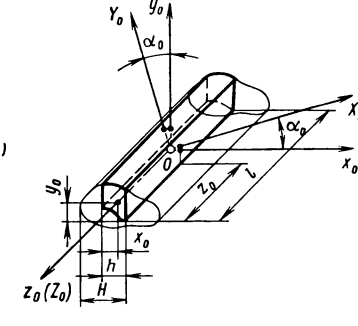
где δ — толщина стенки тонкостенного элемента;

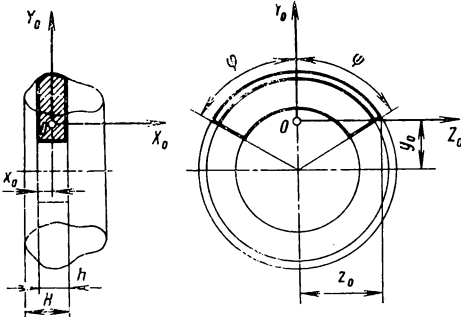
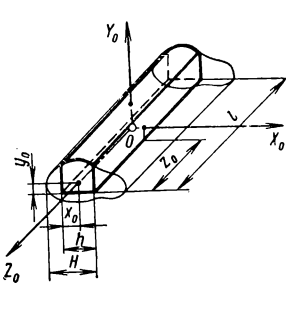
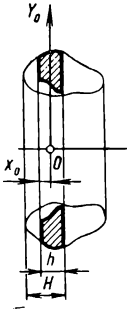
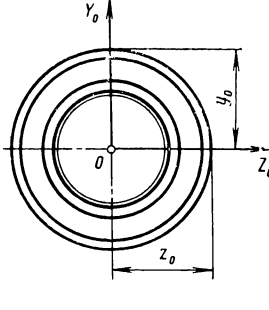
ρ — плотность материала;

γ — удельный вес материала.

Главные центральные моменты инерции элементов $I_{x_0x_0}$, $I_{y_0y_0}$ и $I_{z_0z_0}$ в зависимости от типа элемента вычисляют по формулам, приведенным в табл. 25 (стр. 127). Тип элемента указан над эскизом элемента (слева сверху) римской

25. Формулы для вычисления главных центральных моментов инерции элементов в зависимости от типа элемента

Элемент	Главные центральные моменты инерции элемента
Тип \boxed{I} . Элемент имеет одну плоскость симметрии	
  <p>Угловые элементы кольцевых тел, не симметричные относительно центральной плоскости y_0Oz_0, и элементы прямого цилиндра, не симметричные относительно центральных плоскостей y_0Oz_0 и z_0Ox_0</p>	 $I_{X_0X_0} = J_{x_0x_0} \cos^2 \alpha_0 + J_{y_0y_0} \sin^2 \alpha_0 - J_{x_0y_0} \sin 2\alpha_0$ $I_{Y_0Y_0} = J_{x_0x_0} \sin^2 \alpha_0 + J_{y_0y_0} \cos^2 \alpha_0 + J_{x_0y_0} \sin 2\alpha_0$ $I_{Z_0Z_0} = J_{y_0Oz_0} + J_{z_0Ox_0},$ <p>где $J_{x_0x_0}$, $J_{y_0y_0}$ — моменты инерции элемента относительно центральных осей x_0Ox_0 и y_0Oy_0, определяемые по формулам</p> $J_{x_0x_0} = J_{z_0Ox_0} + I_{x_0Oy_0};$ $J_{y_0y_0} = I_{x_0Oy_0} + J_{y_0Oz_0};$ <p>α_0 — угол, на который необходимо повернуть центральные оси x_0Ox_0 и y_0Oy_0, лежащие в плоскости симметрии x_0Oy_0, чтобы они стали главными центральными осями инерции X_0Ox_0 и Y_0Oy_0 элемента;</p> $\alpha_0 = \frac{1}{2} \operatorname{arctg} \left(-\frac{2J_{x_0y_0}}{J_{x_0x_0} - J_{y_0y_0}} \right)$
<p>Примечание. Угол α_0 отсчитывают против часовой стрелки, если $\alpha_0 > 0$, и по часовой стрелке при $\alpha_0 < 0$.</p>	

Элемент	Главные центральные моменты инерции элемента
Тип <u>II</u> . Элемент имеет две (и более) плоскости симметрии	
 <p data-bbox="131 706 436 852">Угловые элементы кольцевых тел, симметричные относительно главной центральной плоскости Y_0OZ_0, и элементы прямого цилиндра, симметричные относительно главной центральной плоскости Y_0OZ_0 или Z_0OX_0</p>	 $I_{X_0X_0} = I_{Z_0OX_0} + I_{X_0OY_0}$ $I_{Y_0Y_0} = I_{X_0OY_0} + I_{Y_0OZ_0}$ $I_{Z_0Z_0} = I_{Y_0OZ_0} + I_{Z_0OX_0}$
Тип <u>III</u> . Осесимметричные элементы	
 <p data-bbox="131 1258 436 1307">Кольцевые элементы — тела вращения</p>	 $I_{X_0X_0} = 2I_{Z_0OX_0}$ $I_{Y_0Y_0} = I_{Z_0Z_0} = I_{Y_0OZ_0} + I_{Z_0OX_0}$
<p data-bbox="147 1339 939 1380">Примечания: 1. В справочных таблицах тип элемента указан над эскизом элемента (слева сверху) римской цифрой <u>I</u>, <u>II</u> или <u>III</u>.</p> <p data-bbox="147 1380 939 1469">2. Вспомогательные величины — моменты инерции элементов относительно центральных плоскостей $J_{Y_0OZ_0}$ и $J_{Z_0OX_0}$, относительно главных центральных плоскостей $I_{Y_0OZ_0}$, $I_{Z_0OX_0}$ и $I_{X_0OY_0}$ ($I_{X_0OY_0}$) и центральный центробежный момент инерции $J_{X_0Y_0}$ вычисляют по формулам, приведенным в справочных таблицах.</p>	

цифрой $\overline{\text{I}}$, $\overline{\text{II}}$ или $\overline{\text{III}}$. Значения угла φ в радианах и функций $2\varphi + \sin 2\varphi$ и $2\varphi - \sin 2\varphi$, входящих в расчетные формулы, приведены в приложениях (табл. 1, стр. 476).

В разделах «Элементы эллиптического тороида и тора» и «Элементы эллипсоида вращения» формулы характеристик геометрии масс приведены для элементов, образованных вращением эллипса относительно оси, параллельной его большой оси или совпадающей (для элементов эллипсоида) с ней. Если аналогичные элементы образованы вращением эллипса относительно оси, параллельной (или совпадающей) его малой оси (эллипс повернут на 90° в своей плоскости), то в формулах необходимо заменить a на b и b на a . При этом очевидно, что эксцентриситет эллипса $e = \frac{\sqrt{a^2 - b^2}}{a}$ сохраняет прежнее значение.

Если аналитические формулы являются общими для ряда тел, то указано, при каких частных значениях геометрических параметров можно получить частные формулы для более простого элемента. Общие формулы удобно использовать при расчетах на электронных вычислительных машинах. Так, например, из общих формул для основного элемента кругового тора (элемент 39, стр. 184), варьируя геометрические параметры b , R , r и φ , можно получить расчетные формулы для вычисления геометрических и инерционных характеристик различных элементов кругового тора (элементы 40—52, стр. 187—202), оживала (элементы 103—109, стр. 247—256) и шара (элементы 140—152, стр. 285—295).

В расчетные формулы, приведенные в справочных таблицах, входят линейные параметры элементов: толщина элемента h и размер H , определяющий положение элемента в плоскости $x_0 O y_0$. Если элемент задан углами β и γ , то по формулам, приведенным в табл. 26 (стр. 130), переходят к линейным параметрам h и H в зависимости от конкретной формы образующей.

Для некоторых наиболее употребительных на практике элементов аналитические формулы приведены к простейшему (по форме записи) единообразному виду введением безразмерных геометрических коэффициентов K_i . Числовые значения коэффициентов K_i , определяющих объем, поверхность, координаты центра масс и моменты инерции рассматриваемых элементов, вычислены на ЭВМ и сведены в таблицы (см. приложение, стр. 476).

Для вычисления характеристик элемента по приведенным формулам с использованием безразмерных коэффициентов необходимо подсчитать значения ρ или n и r и по соответствующей таблице найти коэффициенты K_i . Последний несложный расчет позволяет быстро и с большой точностью определить требуемые характеристики.

Пример 15. Вычислить главные центральные моменты инерции (боковой поверхности полуоживала (рис. 20) массой m кг и радиусами $r = 0,640$ м и $b = 0,256$ м.

Решение. По предметно-иллюстрированному оглавлению (стр. 27) находим, что расчетные формулы для поверхности полуоживала приведены на стр. 263. Подсчитываем безразмерную величину

$$\rho = \frac{b}{r} = \frac{0,256}{0,640} = 0,400.$$

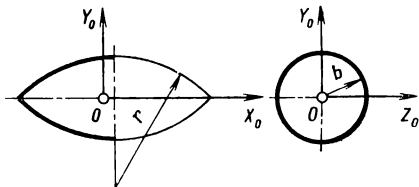


Рис. 20

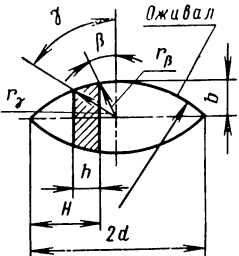
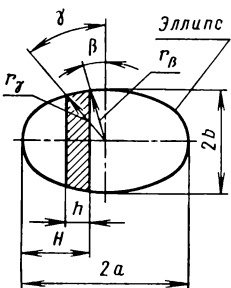
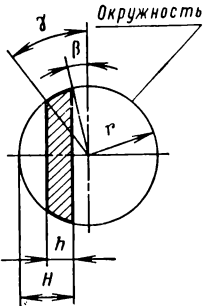
По табл. 9 (стр. 488) находим безразмерные геометрические коэффициенты $K_0 = 0,04190$ и $K_4 = 0,05432$. Учитывая, что полуоживал относится к элементам III типа (табл. 25, стр. 127), по приведенным формулам вычисляем моменты инерции его относительно главных центральных осей

$$I_{X_0 X_0} = 2K_4 m r^2 = 2 \cdot 0,05432 \cdot 0,640^2 m = 0,0445 m \text{ кг} \cdot \text{м}^2;$$

$$I_{Y_0 Y_0} = I_{Z_0 Z_0} = (K_3 + K_4) m r^2 = (0,04190 + 0,05432) 0,640^2 m = 0,0394 m \text{ кг} \cdot \text{м}^2.$$

Ответ. Главные центральные моменты инерции боковой поверхности полуоживала равны: $I_{X_0 X_0} = 0,0445 m \text{ кг} \cdot \text{м}^2$; $I_{Y_0 Y_0} = I_{Z_0 Z_0} = 0,0394 m \text{ кг} \cdot \text{м}^2$.

26. Формулы перехода от угловых к линейным параметрам элемента

Форма образующей	Формулы
	$H = d - r_{\beta} \sin \beta$ $h = r_{\gamma} \sin \gamma - r_{\beta} \sin \beta$ $d = \sqrt{b(2r - b)}$ $r_{\beta} = (r - b) \cos \beta - \sqrt{(r - b)^2 \cos^2 \beta + d^2}$ $r_{\gamma} = (r - b) \cos \gamma - \sqrt{(r - b)^2 \cos^2 \gamma + d^2}$
	$H = a - r_{\beta} \sin \beta$ $h = r_{\gamma} \sin \gamma - r_{\beta} \sin \beta$ $r_{\beta} = \frac{ab}{\sqrt{a^2 \cos^2 \beta + b^2 \sin^2 \beta}}$ $r_{\gamma} = \frac{ab}{\sqrt{a^2 \cos^2 \gamma + b^2 \sin^2 \gamma}}$
	$H = r(1 - \sin \beta)$ $h = r(\sin \gamma - \sin \beta)$

Пример 16. Вычислить объем элемента кругового тора шириной $h = 0,15$ м, расположенного на расстоянии $H = 0,325$ м от плоскости левого основания. Тор образован вращением окружности радиусом $r = 0,25$ м, центр которой находится на расстоянии $R = 0,85$ м от оси вращения (рис. 21.)

Решение. По предметно-иллюстрированному оглавлению (стр. 20) находим, что расчетные формулы для кругового тора приведены на стр. 205. Подсчитываем безразмерные величины:

$$\rho = \frac{h}{r} = \frac{0,15}{0,25} = 0,600; \quad n = \frac{H}{r} = \frac{0,325}{0,250} = 1,300.$$

По табл. 2 (стр. 477) на пересечении графы $n = 1,300$ и строки $\rho = 0,600$ находим значения коэффициента $K_1 = 7,42515$. Объем элемента вычислим по формуле

$$V = K_1 R r^2 = 7,42515 \cdot 0,85 \cdot 0,25^2 = 0,3945 \text{ м}^3.$$

Ответ. Объем заданного элемента кругового тора $V = 0,3945 \text{ м}^3$.

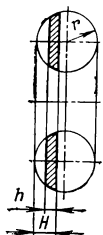


Рис. 21

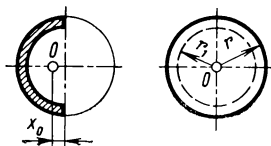
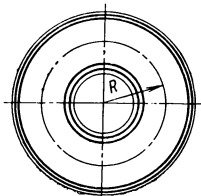


Рис. 22

Пример 17. Определить координату центра масс толстостенного полушара (рис. 22), наружный и внутренний радиусы которого соответственно равны $r = 0,214$ м и $r_1 = 0,163$ м.

Решение. По предметно-иллюстрированному оглавлению (стр. 31) определяем, что расчетные формулы для толстостенного полушара приведены на стр. 300. Подсчитываем величину

$$\rho = \frac{r_1}{r} = \frac{0,163}{0,214} = 0,761.$$

В табл. 15 (стр. 495) такого значения ρ нет, поэтому используем метод линейной интерполяции. Из табл. 15 выписываем значения коэффициента K_2 , определяющего требуемую координату x_0 , для ближайших (с избытком и недостатком) значений:

$$K_2^{(1)} = 0,44341 \text{ для } \rho^{(1)} = 0,750,$$

$$K_2^{(2)} = 0,45369 \text{ для } \rho^{(2)} = 0,800.$$

Применяя формулу линейной интерполяции, получаем значение коэффициента K_2 для вычисленной величины $\rho = 0,761$:

$$\begin{aligned} K_2 &= K_2^{(1)} + \frac{K_2^{(2)} - K_2^{(1)}}{\rho^{(2)} - \rho^{(1)}} (\rho - \rho^{(1)}) = 0,44341 + \\ &+ \frac{0,45369 - 0,44341}{0,800 - 0,750} (0,761 - 0,750) = 0,446. \end{aligned}$$

Полученное значение коэффициента K_2 подставляем в приведенную формулу и вычисляем координату

$$x_0 = K_2 r = 0,446 \cdot 0,214 = 0,095 \text{ м}.$$

Пример решен на 50-сантиметровой логарифмической линейке. Расчет по аналитическим формулам на счетной машинке дает результат $x_0 = 0,0954$ м. Относительная ошибка составляет $\sim 0,3\%$.

Ответ. Центр масс толстостенного полушара с радиусами $r = 0,214$ м и $r_1 = 0,163$ м расположен от плоскости левого основания на расстоянии $x_0 = 0,095$ м.

Пример 18. Вычислить объем шарового слоя с параметрами $r = 0,550$ м; $H = 0,324$ м и $h = 0,131$ м (рис. 23).

Решение. По формулам, приведенным на стр. 292, подсчитываем безразмерные величины

$$p = \frac{h}{r} = \frac{0,131}{0,550} = 0,238; \quad n = \frac{H}{r} = \frac{0,324}{0,550} = 0,589 \text{ м.}$$

В табл. 12 (стр. 489) таких значений p и n нет. Поэтому прибегаем к методу линейной интерполяции. По табл. 12 находим значения коэффициента K_1 для ближайших (с избытком и недостатком) значений p и для ближайшего (с недостатком) значения $n^{(1)}$:

$$\left. \begin{aligned} K_1^{(1)} &= 0,40002 \text{ для } p^{(1)} = 0,200 \\ K_1^{(2)} &= 0,53721 \text{ для } p^{(2)} = 0,300 \end{aligned} \right\} \text{ при } n^{(1)} = 0,500.$$

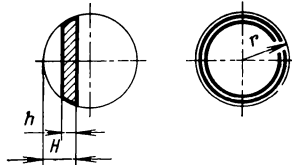


Рис. 23

Затем для тех же значений p выпишем коэффициент K_1 для ближайшего (с избытком) значения $n^{(2)}$:

$$\left. \begin{aligned} K_1^{(3)} &= 0,46914 \text{ для } p^{(1)} = 0,200 \\ K_1^{(4)} &= 0,65031 \text{ для } p^{(2)} = 0,300 \end{aligned} \right\} \text{ при } n^{(2)} = 0,600.$$

По формуле линейного интерполирования подсчитываем значения коэффициента $K_1^{(1, 2)}$ для $n^{(1)} = 0,500$ и $p = 0,238$:

$$\begin{aligned} K_1^{(1, 2)} &= K_1^{(1)} + \frac{K_1^{(2)} - K_1^{(1)}}{p^{(2)} - p^{(1)}} (p - p^{(1)}) = 0,40002 + \\ &+ \frac{0,53721 - 0,40002}{0,300 - 0,200} (0,238 - 0,200) = 0,4521. \end{aligned}$$

По аналогичной интерполяционной формуле вычисляем значение коэффициента $K_1^{(3, 4)}$ для $n^{(2)} = 0,600$ и $p = 0,238$:

$$\begin{aligned} K_1^{(3, 4)} &= K_1^{(3)} + \frac{K_1^{(4)} - K_1^{(3)}}{p^{(2)} - p^{(1)}} (p - p^{(1)}) = 0,46914 + \\ &+ \frac{0,65031 - 0,46914}{0,300 - 0,200} (0,238 - 0,200) = 0,5379. \end{aligned}$$

Интерполируя линейно по величине n , получаем требуемое значение коэффициента K_1 для заданных значений $n = 0,589$ и $p = 0,238$:

$$\begin{aligned} K_1 &= K_1^{(1, 2)} + \frac{K_1^{(3, 4)} - K_1^{(1, 2)}}{n^{(2)} - n^{(1)}} (n - n^{(1)}) = 0,45212 + \\ &+ \frac{0,5379 - 0,4521}{0,600 - 0,500} (0,589 - 0,500) = 0,5285. \end{aligned}$$

Объем шарового слоя вычисляем по формуле

$$V = K_1 r^3 = 0,5285 \cdot 0,550 = 0,088 \text{ м}^3.$$

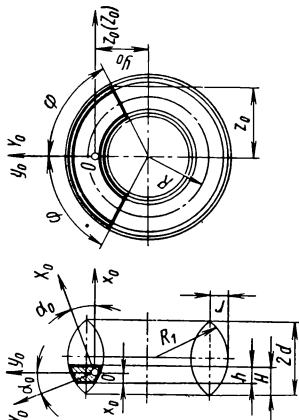
При расчете по аналитическим формулам на счетной машинке получаем $V = 0,08893 \text{ м}^3$. Ошибка составляет 1,1%.

Ответ. Объем шарового слоя с заданными параметрами равен $V = 0,088 \text{ м}^3$.

1. ЭЛЕМЕНТЫ ОЖИВАЛЬНОГО ТОРА

Масса $m = V\rho$ или $m = S\delta\rho$ где V — объем; S — поверхность; δ — толщина стенки; ρ — плотность материала

ЭЛЕМЕНТЫ ОБЪЕМА

Эскиз и номер элемента	Объем, координаты центра масс	Моменты инерции относительно центральных плоскостей (вспомогательные величины) Главные центральные моменты инерции см. табл. 25, стр. 127
<div data-bbox="489 1409 529 1437" style="border: 1px solid black; padding: 2px; display: inline-block;">1</div>  <p style="text-align: right;">Элемент 1</p>	$V = 2\varphi K [P_t (d - t) - P_H \times (d - H) + cR_1^2]$ $x_0 = \frac{2}{3} \varphi \frac{K}{V} \{ P_t [2 (R_1^2 - t^2) + d (d + t)] - P_H \times [2 (R_1^2 - H^2) + d (d + H)] + 3cdR_1^2 \} - t$	$J_{y_0 O z_0} = m \left\{ \frac{\varphi}{6} \cdot \frac{K}{V} \{ P_t [R_1^2 (13d + 3t) + 2d^2 (d + t) + 2t^2 (d - 3t)] - P_H \times [R_1^2 (13d + 3H) + 2d^2 (d + H) + 2H^2 (d - 3H)] + 3cR_1^2 (4d^2 + R_1^2) \} - (x_0 + t)^2 \right\}$ $J_{z_0 O x_0} = m [(2\varphi + \sin 2\varphi) T^2 - y_0^2]$ $I_{x_0 O y_0} = (2\varphi - \sin 2\varphi) m T^2$

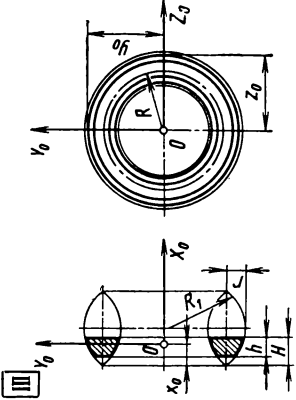
Продолжение табл. 1

Эскиз и номер элемента	Объем, координаты центра масс	Моменты инерции относительно центральных плоскостей (вспомогательные величины) Г главные центральные моменты инерции см. табл. 25, стр. 127
	$y_0 = \frac{\sin \varphi}{6} \cdot \frac{1}{V} \times$ $\times \{ P_t [(12K^2 + 5R_1^2) \times$ $\times (d - t) - 2d^2 (d - 3t) -$ $- 2t^2 (3d - t)] - P_H \times$ $\times [(12K^2 + 5R_1^2) (d - H) -$ $- 2d^2 (d - 3H) - 2H^2 \times$ $\times (3d - H)] +$ $+ 3cR_1^2 (4K^2 + R_1^2) \}$ $z_0 = (R + P_H) \sin \varphi$	$J_{x_0 y_0} = m \left\{ \frac{\sin \varphi}{30} \cdot \frac{1}{V} \{ P_t [5 (4K^2 +$ $+ R_1^2) (2R_1^2 + d^2) - 2 (R_1 - r)^4 +$ $+ t d (20K^2 + 7R_1^2 - 2d^2) - 2t^2 (20K^2 +$ $+ 8R_1^2 - 9d^2) - 2t^3 (11d - 4t)] -$ $- P_H [5 (4K^2 + R_1^2) (2R_1^2 + d^2) -$ $- 2 (R_1 - r)^4 + H d (20K^2 + 7R_1^2 - 2d^2) -$ $- 2H^2 (20K^2 + 8R_1^2 - 9d^2) - 2H^3 \times$ $\times (11d - 4H)] + 15cR_1^2 d (4K^2 + R_1^2) \} -$ $- (x_0 + t) y_0 \}$

Продолжение табл. I

Эскиз и номер элемента	Объем, координаты центра масс	Моменты инерции относительно центральных плоскостей (вспомогательные величины) Главные центральные моменты инерции см. табл. 25, стр. 127
		<p>В формулах $K = R - (R_1 - r)$; $t = H - h$; $d = \sqrt{r(2R_1 - r)}$;</p> $P_t = \sqrt{(R_1 - r)^2 + t(2d - t)}$; $P_H = \sqrt{(R_1 - r)^2 + H(2d - H)}$; $c = \arcsin \frac{d - t}{R_1} - \arcsin \frac{d - H}{R_1}$; $T^2 = \frac{1}{8} \cdot \frac{K}{V} \{ P_t [(4K^2 + 5R_1^2)(d - t) - 2d^2(d - 3t) - 2t^2(3d - t)] -$ $- P_H [(4K^2 + 5R_1^2)(d - H) - 2d^2(d - 3H) - 2H^2(3d - H)] +$ $+ cR_1^2(4K^2 + 3R_1^2) \}.$ <p>Подставляя значения параметров H и h, указанные в «Предметно-иллюстрированном оглавлении», можно получить формулы для соответствующих элементов оживального тора (см. стр. 7). Элементы при $H = d + \frac{h}{2}$ и $H = h = 2d$ относятся к элементам II типа (см. табл. 25, стр. 127), остальные — к элементам I типа.</p> <p>Формулы для некоторых тел, полученные подстановкой значений параметров φ и R_1, приведены: при $\varphi = \pi$ на стр. 136 (элемент 2), при $R_1 = r$ на стр. 203 (элемент 53)</p>

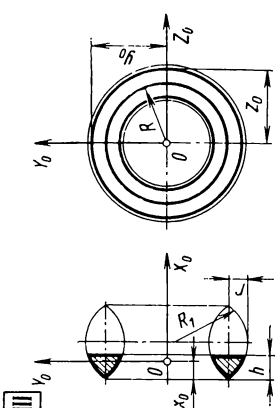
Продолжение табл. 1

Эскиз и номер элемента	Объем, координаты центра масс	Моменты инерции относительно центральных плоскостей — (вспомогательные величины) Главные центральные моменты инерции см. табл. 25, стр. 127
 <p style="text-align: center;">Элемент 2</p>	$V = 2\pi K [P_t (d - t) - P_H (d - H) + cR_1^2]$ $x_0 = \frac{2}{3} \pi \frac{K}{V} \{ P_t [2 (R_1^2 - t^2) + d (d + t)] - P_H \times [2 (R_1^2 - H^2) + d (d + H)] + 3c d R_1^2 \} - t$ $y_0 = z_0 = R + P_H$	$I_{y_0 z_0} = m \left\{ \frac{\pi}{6} \cdot \frac{K}{V} \{ P_t [R_1^2 (13d + 3t) + 2d^2 (d + t) + 2t^2 (d - 3t)] - P_H \times [R_1^2 (13d + 3H) + 2d^2 (d + H) + 2H^2 (d - 3H)] + 3c R_1^2 (4d^2 + R_1^2) \} - (x_0 + t)^2 \right\}$ $I_{z_0 x_0} = I_{x_0 y_0} = \frac{\pi}{4} m \frac{K}{V} \times \{ P_t [(4K^2 + 5R_1^2) (d - t) - 2d^2 \times (d - 3t) - 2t^2 (3d - t)] - P_H \times [(4K^2 + 5R_1^2) (d - H) - 2d^2 (d - 3H) - 2H^2 (3d - H)] + c R_1^2 (4K^2 + 3R_1^2) \}$

Продолжение табл. 1

Эскиз и номер элемента	Объем, координаты центра масс	Моменты инерции относительно центральных плоскостей (вспомогательные величины) Главные центральные моменты инерции см. табл. 28, стр. 127
		<p>В формулах $K = R - (R_1 - r)$; $t = H - h$; $d = \sqrt{r(2R_1 - r)}$; $P_t = \sqrt{(R_1 - r)^2 + t(2d - t)}$; $P_H = \sqrt{(R_1 - r)^2 + H(2d - H)}$; $c = \arcsin \frac{d - t}{R_1} - \arcsin \frac{d - H}{R_1}$.</p> <p>Формулы для некоторых тел, полученные подстановкой значений параметров H, h и R_1, приведены на следующих страницах:</p>
Параметр	$H = h$ $H = d$	$H = h = d$ $H = h = 2d$ $R_1 = r$
Страница	138 139	140 140 205
Элемент	3 4	5 6 7 54

Продолжение табл. 1

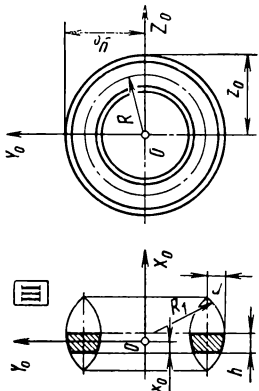
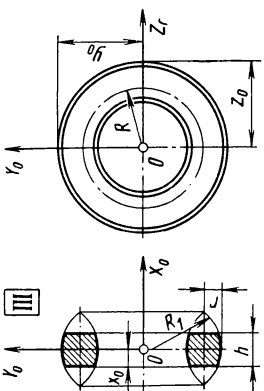
Эскиз и номер элемента	Объем, координаты центра масс	Моменты инерции относительно центральных плоскостей (вспомогательные величины) Главные центральные моменты инерции см. табл. 25, стр. 127
	$V = 2\pi K [d(R_1 - r) - P \times (d - h) + cR_1^2]$ $x_0 = \frac{2}{3} \pi \frac{K}{V} \{ (2R_1^2 + d^2) \times (R_1 - r) - P [2(R_1^2 - h^2) + d(d + h)] + 3cR_1^2 d \}$ $y_0 = z_0 = R + P$	$I_{y_0 z_0} = m \left\{ \frac{\pi}{6} \cdot \frac{K}{V} [d(R_1 - r) \times (13R_1^2 + 2d^2) - P [R_1^2 (13d + 3h) + 2d^2 (d + h) + 2h^2 (d - 3h)] + 3cR_1^2 (4d^2 + R_1^2)] - x_0^2 \right\}$ $I_{z_0 o x_0} = I_{x_0 o y_0} = \frac{\pi}{4} m \frac{K}{V} \times [d(R_1 - r) (4K^2 + 5R_1 - 2d^2) - P \times (4K^2 + 5R_1^2) (d - h) - 2d^2 (d - 3h) - 2h^2 (3d - h)] + cR_1^2 (4K^2 + 3R_1^2)]$

Элемент 3

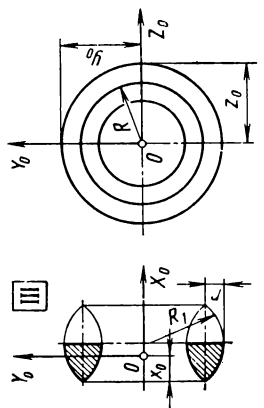
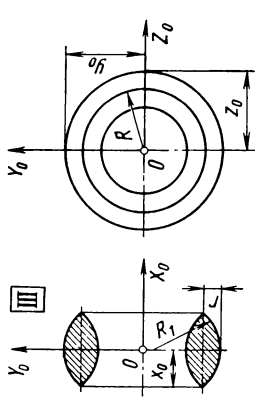
В формулах $K = R - (R_1 - r)$; $d = \sqrt{r(2R_1 - r)}$;

$$P = \sqrt{(R_1 - r)^2 + h(2d - h)}; \quad c = \arcsin \frac{d}{R_1} - \arcsin \frac{d - h}{R_1}$$

Продолжение табл. 1

Эскиз и номер элемента	Объем, координаты центра масс	Моменты инерции относительно центральных плоскостей (вспомогательные величины) Главные центральные моменты инерции см. табл. 25, стр. 127
 <p style="text-align: center;">Элемент 4</p>	$V = 2\pi K (Ph + cR_1^2)$ $x_0 = \frac{2}{3} \pi \frac{K}{V} \{ P [2(R_1^2 - h^2) + 3dh] - R_1^2 (2R_1 - 3cd) \} - (d - h)$ $y_0 = z_0 = R + r$	$I_{Y_0OZ_0} = m \left\{ \frac{\pi}{6} \cdot \frac{K}{V} \{ P [16d(R_1^2 - h^2) - 3h(R_1^2 - 4d^2 - 2h^2)] - R_1^2 [16R_1d - 3c(4d^2 + R_1^2)] \} - (x_0 + d - h)^2 \right\}$ $I_{Z_0OX_0} = I_{X_0OY_0} = \frac{\pi}{4} m \frac{K}{V} \times [Ph(4K^2 + 5R_1^2 - 2h^2) + cR_1^2(4K^2 + 3R_1^2)]$ <p>В формулах $K = R - (R_1 - r)$; $d = \sqrt{r(2R_1 - r)}$; $P = \sqrt{R_1^2 - h^2}$; $c = \arcsin \frac{h}{R_1}$</p>
 <p style="text-align: center;">Элемент 5</p>	$V = \pi K (Ph + 4cR_1^2)$ $x_0 = \frac{1}{2} \frac{h}{r}; y_0 = z_0 = R + r$	$I_{Y_0OZ_0} = \frac{\pi}{8} m \frac{K}{V} [8cR_1^4 - Ph(2R_1^2 - h^2)]$ $I_{Z_0OX_0} = I_{X_0OY_0} = \frac{\pi}{16} m \frac{K}{V} \times \{ Ph [2(4K^2 + 5R_1^2) - h^2] + 8cR_1^2(4K^2 + 3R_1^2) \}$ <p>В формулах $K = R - (R_1 - r)$; $P = \sqrt{4R_1^2 - h^2}$; $c = \arcsin \frac{h}{2R_1}$</p>

Продолжение табл. 1

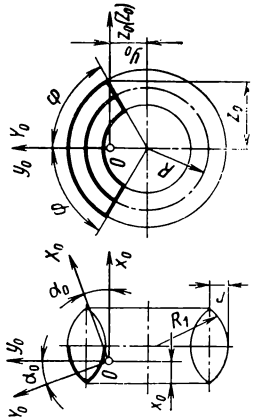
Эскиз и номер элемента	Объем, координаты центра масс	Моменты инерции относительно центральных плоскостей (вспомогательные величины) Главные центральные моменты инерции см. табл. 25, стр. 127
 <p style="text-align: center;">Элемент 6</p>	$V = 2\pi K [d(R_1 - r) + cR_1^2]$ $x_0 = \frac{2}{3} \pi \frac{K}{V} [3cdR_1^2 - r^2 \times$ $\times (3R_1 - r)]$ $y_0 = z_0 = R + r$	$I_{Y_0OZ_0} = m \left\{ \frac{\pi}{6} \cdot \frac{K}{V} \{ d(R_1 - r) \times \right.$ $\times (13R_1^2 + 2d^2) - 16R_1^3 \} +$ $\left. + 3cR_1^2 (4d^2 + R_1^2) \} - x_0^2 \right\}$ $I_{Z_0OX_0} = I_{X_0OY_0} = \frac{\pi}{4} m \frac{K}{V} \times$ $\times [d(R_1 - r) (4K^2 + 5R_1^2 - 2d^2) +$ $+ cR_1^2 (4K^2 + 3R_1^2)]$ <p style="text-align: center;">В формулах $K = R - (R_1 - r)$; $d = \sqrt{r(2R_1 - r)}$; $c = \arcsin \frac{d}{R_1}$</p>
 <p style="text-align: center;">Элемент 7</p>	$V = 4\pi K [d(R_1 - r) + cR_1^2]$ $x_0 = d$ $y_0 = z_0 = R + r$	$I_{Y_0OZ_0} = \pi m \frac{K}{V} [cR_1^4 - d(R_1 - r) \times$ $\times (R_1^2 - 2d^2)]$ $I_{Z_0OX_0} = I_{X_0OY_0} = \frac{\pi}{2} m \frac{K}{V} \times$ $\times [d(R_1 - r) (4K^2 + 5R_1^2 - 2d^2) +$ $+ cR_1^2 (4K^2 + 3R_1^2)]$ <p style="text-align: center;">В формулах $K = R - (R_1 - r)$; $d = \sqrt{r(2R_1 - r)}$; $c = \arcsin \frac{d}{R_1}$</p>

Продолжение табл. 1

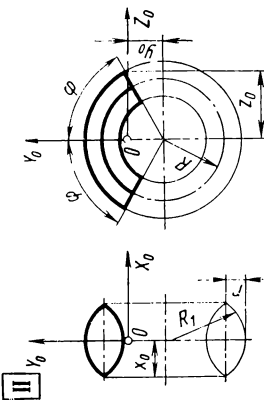
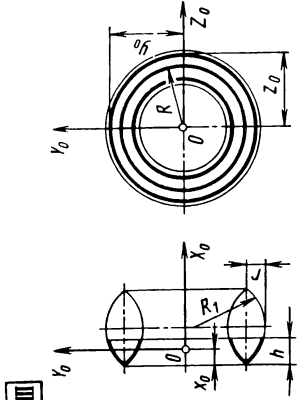
ЭЛЕМЕНТЫ ПОВЕРХНОСТИ

Эскиз и номер элемента	Поверхность, координаты центра масс	Моменты инерции относительно центральных плоскостей (вспомогательные величины) Главные центральные моменты инерции см. табл. 25, стр. 127
<div data-bbox="478 1011 794 1442"> </div> <div data-bbox="802 1166 827 1279" style="text-align: center;">Элемент 8</div>	$S = 4\pi c K R_1$ $x_0 = d + \frac{R_1 - r - P}{c}$ $y_0 = 2 \sin \varphi \cdot \frac{R_1}{S} [d (R_1 - r) - P (d - h) + c (2K^2 + R_1^2)]$ $z_0 = (R + P) \sin \varphi$	$J_{y_0 O z_0} = m \left\{ 2\varphi \frac{K R_1}{S} [3d (R_1 - r) - P (3d + h) + c (2d^2 + R_1^2)] - x_0^2 \right\}$ $J_{z_0 O x_0} = m [(2\varphi + \sin 2\varphi) T^2 - y_0^2]$ $I_{x_0 O y_0} = (2\varphi - \sin 2\varphi) m T^2$ $J_{x_0 \cdot y_0} = m \left\{ \frac{2}{3} \sin \varphi \cdot \frac{R_1}{S} \times \right.$ $\times [(R_1 - r) [2 (3K^2 + R_1^2) + d^2] - P \times$ $\times (6K^2 + 2 (R_1^2 - h^2) + d (d + h)) +$ $\left. + 3cd (2K^2 + R_1^2) \right\} - x_0 y_0 \}$ <p>В формулах $K = R - (R_1 - r)$; $d = \sqrt{r(2R_1 - r)}$; $P = \sqrt{(R_1 - r)^2 + h(2d - h)}$; $c = \arcsin \frac{d}{R_1} - \arcsin \frac{d - h}{R_1}$; $T^2 = \frac{1}{2} \cdot \frac{K R_1}{S} \{ 3 [d (R_1 - r) - P (d - h)] + c (2K^2 + 3R_1^2) \}$.</p> <p>Формулы для некоторых тел, полученные подстановкой значений параметров h, φ и R_1, приведены: при $h = d$ на стр. 142 (элемент 9); при $h = 2d$ на стр. 143 (элемент 10); при $\varphi = \pi$ на стр. 143 (элемент 11) и при $R_1 = r$ — на стр. 232 (элемент 83).</p>

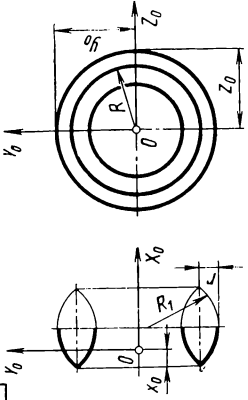
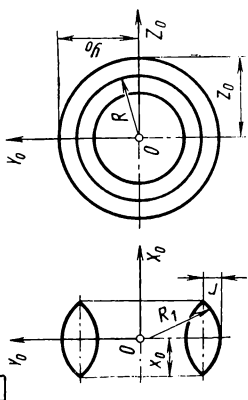
Продолжение табл. 1

Эскиз и номер элемента	Поверхность, координаты центра масс	Моменты инерции относительно центральных плоскостей (вспомогательные величины) Главные центральные моменты инерции см. табл. 25, стр. 127
<div data-bbox="470 1409 511 1442" style="border: 1px solid black; display: inline-block; padding: 2px;">1</div>  <p style="text-align: center;">Элемент 9</p>	$S = 4\varphi c K R_1$ $x_0 = d - \frac{r}{c}$ $y_0 = 2 \sin \varphi \cdot \frac{R_1}{S} [d (R_1 - r) + c (2K^2 + R_1^2)]$ $z_0 = (R + r) \sin \varphi$	$J_{y_0 O z_0} = m \left\{ 2\varphi \frac{K R_1}{S} [c (2d^2 + R_1^2) - d (R_1 + 3r)] - x_0^2 \right\}$ $J_{z_0 O x_0} = m [(2\varphi + \sin 2\varphi) T^2 - y_0^2]$ $I_{x_0 O y_0} = (2\varphi - \sin 2\varphi) m T^2$ $J_{x_0 y_0} = m \left\{ \frac{2}{3} \sin \varphi \cdot \frac{R_1}{S} \times \right.$ $\times [d^2 (R_1 - r) - 2r (3K^2 + R_1^2) + 3cd (2K^2 + R_1^2)] - x_0 y_0 \left. \right\}$ <p style="text-align: center;">В формулах $K = R - (R_1 - r)$; $d = \sqrt{r (2R_1 - r)}$; $c = \arcsin \frac{d}{R_1}$; $T^2 = \frac{1}{2} \cdot \frac{K R_1}{S} [3d (R_1 - r) + c (2K^2 + 3R_1^2)]$</p>

Продолжение табл. 1

Эскиз и номер элемента	Поверхность, координаты центра масс	Моменты инерции относительно центральных плоскостей (вспомогательные величины) Главные центральные моменты инерции см. табл. 25, стр. 127
<div data-bbox="311 1388 354 1421" style="border: 1px solid black; padding: 2px; display: inline-block;">III</div>  <p style="text-align: center;">Элемент 10</p>	$S = 8\varphi c K R_1$ $x_0 = d$ $y_0 = 4 \sin \varphi \cdot \frac{R_1}{S} [d(R_1 - r) + c(2K^2 + R_1^2)]$ $z_0 = (R + r) \sin \varphi$ <p>В формулах $K = R - (R_1 - r)$; $d = \sqrt{r(2R_1 - r)}$; $c = \arcsin \frac{d}{R_1}$;</p> $T^2 = \frac{K R_1}{S} [3d(R_1 - r) + c(2K^2 + 3R_1^2)]$	$I_{y_0 z_0} = 4\varphi m \frac{K R_1}{S} [c R_1^2 - d(R_1 - r)]$ $I_{z_0 x_0} = m [(2\varphi + \sin 2\varphi) T^2 - y_0^2]$ $I_{x_0 y_0} = (2\varphi - \sin 2\varphi) m T^2$
<div data-bbox="627 1388 671 1421" style="border: 1px solid black; padding: 2px; display: inline-block;">III</div>  <p style="text-align: center;">Элемент 11</p>	$S = 4\pi c K R_1$ $x_0 = d + \frac{R_1 - r - p}{c}$ $y_0 = z_0 = p$ <p>В формулах $K = R - (R_1 - r)$; $d = \sqrt{r(2R_1 - r)}$;</p> $p = \sqrt{(R_1 - r)^2 + h(2d - h)}$; $c = \arcsin \frac{d}{R_1}$	$I_{y_0 z_0} = m \left\{ 2\pi \frac{K R_1}{S} [3d(R_1 - r) - p(3d + h) + c(2d^2 + R_1^2)] - x_0^2 \right\}$ $I_{z_0 x_0} = I_{x_0 y_0} = \pi m \frac{K R_1}{S} \times$ $\times \{ 3[d(R_1 - r) - p(d - h)] + c(2K^2 + 3R_1^2) \}$

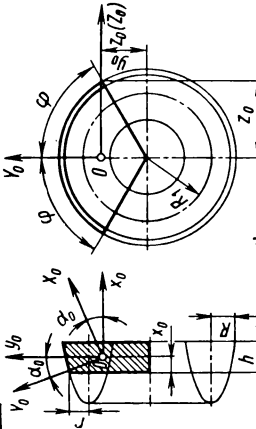
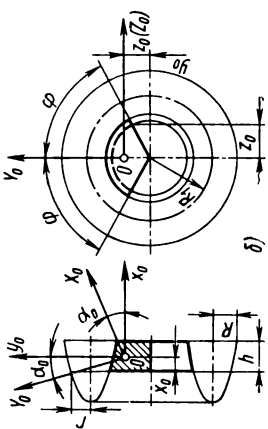
Продолжение табл. 1

Эскиз и номер элемента	Поверхность, координаты центра масс	Моменты инерции относительно центральных плоскостей (вспомогательные величины) Главные центральные моменты инерции см. табл. 25, стр. 127
<div data-bbox="319 1393 358 1425">III</div>  <div data-bbox="603 1157 631 1287">Элемент 12</div>	$S = 4\pi c K R_1$ $x_0 = d - \frac{r}{c};$ $y_0 = z_0 = R + r$	$I_{y_0 z_0} = m \left\{ 2\pi \frac{K R_1}{S} [c(2d^2 + R_1^2) - d(R_1 + 3r)] - x_0^2 \right\}$ $I_{z_0 x_0} = I_{x_0 y_0} = \pi m \frac{K R_1}{S} \times [3d(R_1 - r) + c(2K^2 + 3R_1^2)]$ <p>В формулах $K = R - (R_1 - r)$; $d = \sqrt{r(2R_1 - r)}$; $c = \arcsin \frac{d}{R_1}$</p>
<div data-bbox="647 1393 685 1425">III</div>  <div data-bbox="942 1157 969 1287">Элемент 13</div>	$S = 8\pi c K R_1$ $x_0 = d; \quad y_0 = z_0 = R + r$	$I_{y_0 z_0} = 4\pi m \frac{K R_1}{S} [c R_1^2 - d(R_1 - r)]$ $I_{z_0 x_0} = I_{x_0 y_0} = 2\pi m \frac{K R_1}{S} \times [3d(R_1 - r) + c(2K^2 + 3R_1^2)]$ <p>В формулах $K = R - (R_1 - r)$; $d = \sqrt{r(2R_1 - r)}$; $c = \arcsin \frac{d}{R_1}$</p>

2. ЭЛЕМЕНТЫ ПАРАБОЛИЧЕСКОГО ТОРОИДА И ТОРА (ОБРАЗУЮЩАЯ — КВАДРАТНАЯ ПАРАБОЛА)

Масса $m = V\rho$ или $m = S\delta\rho$, где V — объем; S — поверхность; δ — толщина стенки; ρ — плотность материала

ЭЛЕМЕНТЫ ОБЪЕМА ТОРОИДА

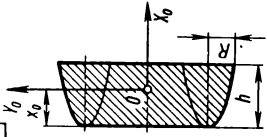
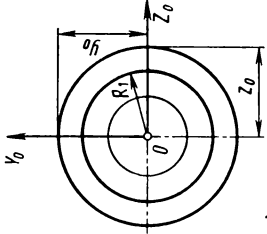
Эскиз и номер элемента	Объем, координаты центра масс	Моменты инерции относительно центральных плоскостей (вспомогательные величины) [Главные центральные моменты инерции см. табл. 25, стр. 127]
<div data-bbox="321 1403 358 1430" style="border: 1px solid black; padding: 2px; display: inline-block;">I</div> 	$V = \frac{\varphi}{6} \cdot \frac{h}{R^2 - r^2} [6R_1^2 \times \\ \times (R^2 - r^2) \pm 8R_1 \times \\ \times (R^3 - r^3) + 3(R^4 - r^4)]$ $x_0 = \frac{\varphi}{30} \cdot \frac{h^2}{V(R^2 - r^2)^2} \times \\ \times [15R_1(R^4 - r^4) \pm 24R_1 \times \\ \times (R^5 - r^5) + 10(R^6 - r^6)] - \\ - h \frac{r^2}{R^2 - r^2}$ $y_0 = \frac{\sin \varphi}{15} \cdot \frac{h}{V(R^2 - r^2)} \times \\ \times [10R_1^3(R^2 - r^2) \pm 20R_1^2 \times \\ \times (R^3 - r^3) + 15R_1(R^4 - r^4) \pm \\ \pm 4(R^5 - r^5)]$ $z_0 = (R_1 \pm R) \sin \varphi$	$J_{y_0 z_0} = m \left\{ \frac{\varphi}{84} \cdot \frac{h^3}{V(R^2 - r^2)^3} \times \right. \\ \times [28R_1^3(R^6 - r^6) \pm 48R_1(R^7 - r^7) + \\ \left. + 21(R^8 - r^8)] - \left(x_0 + h \frac{r^2}{R^2 - r^2} \right)^2 \right\}$ $J_{z_0 x_0} = m [(2\varphi + \sin 2\varphi) T^2 - y_0^2]$ $I_{x_0 y_0} = (2\varphi - \sin 2\varphi) m T^2$ $J_{x_0 y_0} = m \left\{ \frac{\sin \varphi}{105} \cdot \frac{h^3}{V(R^2 - r^2)^2} \times \right. \\ \times [35R_1^3(R^4 - r^4) \pm 84R_1(R^5 - r^5) + \\ \left. + 70R_1(R^6 - r^6) \pm 20(R^7 - r^7)] - \right. \\ \left. - \left(x_0 + h \frac{r^2}{R^2 - r^2} \right) y_0 \right\}$
		

Элемент 14

Продолжение табл. 2

Эскиз и номер элемента	Объем, координаты центра масс	Моменты инерции относительно центральных плоскостей (вспомогательные величины) Главные центральные моменты инерции см. табл. 23, стр. 127
	<p>В формулах</p> $T^2 = \frac{1}{120} \cdot \frac{h}{V(R^2 - r^2)} [15R_1^4(R^2 - r^2) \pm 40R_1^3(R^3 - r^3) +$ $+ 45R_1^2(R^4 - r^4) \pm 24R_1(R^5 - r^5) + 5(R^6 - r^6)];$ <p>верхний знак относится к элементу a, нижний — к элементу b.</p> <p>Подставляя значения параметров r и φ, указанные в «Предметно-иллюстрированном оглавлении», можно получить формулы для соответствующих элементов параболического тороида (см. стр. 8). При $r = 0$ элемент относится к элементам I типа (см. табл. 25, стр. 127), при $\varphi = \pi$ — к элементам III типа.</p> <p>Формулы для некоторых тел, полученные подстановкой значений параметров r, φ и R_1, приведены: при $r = 0$ и $\varphi = \pi$ на стр. 147 (элемент 15), при $R_1 = 0$ (только для элемента a) на стр. 265 (элемент 117).</p>	

Продолжение табл. 2

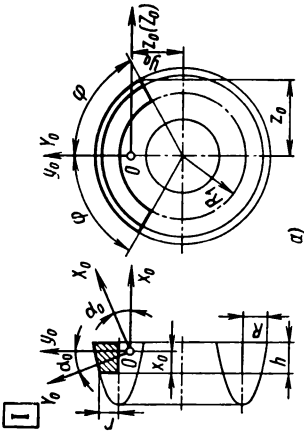
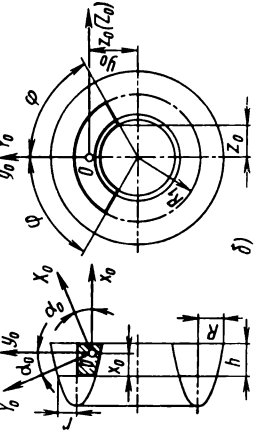
Эскиз и номер элемента	Объем, координаты центра масс	Моменты инерции относительно центральных плоскостей (вспомогательные величины) Главные центральные моменты инерции см. табл. 25, стр. 127
<div data-bbox="303 1398 339 1430" style="border: 1px solid black; padding: 2px; display: inline-block;">III</div> <div style="display: flex; justify-content: space-around; align-items: center;">   </div> <div style="text-align: center; margin-top: 10px;">a)</div>	$V = \frac{\pi}{6} h [3 (2R_1^2 + R^2) \pm 8R_1 R]$ $x_0 = \frac{\pi}{30} \cdot \frac{h^2}{V} \times$ $\times [5 (3R_1^2 + 2R^2) \pm 24R_1 R]$ $y_0 = z_0 = R_1 \pm R$	$I_{Y_0 O Z_0} = m \left\{ \frac{\pi}{84} \cdot \frac{h^3}{V} [7 (4R_1^2 + 3R^2) \pm \right.$ $\left. \pm 48R_1 R] - x_0^2 \right\}$ $I_{Z_0 O X_0} = I_{X_0 O Y_0} = \frac{\pi}{60} m \frac{h}{V} \times$ $\times \{ 5 [3R_1^2 (R_1^2 + 3R^2) + R^4] \pm$ $\pm 8R_1 R (5R_1^2 + 3R^2) \}$

В формулах верхний знак относится к элементу а, нижний — к элементу б

Элемент 15

Продолжение табл. 2

ЭЛЕМЕНТЫ ОБЪЕМА ТОРА

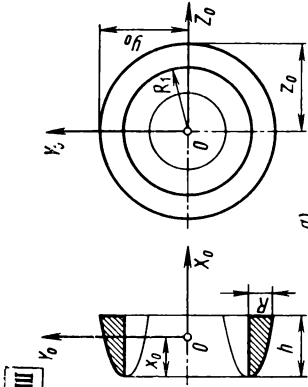
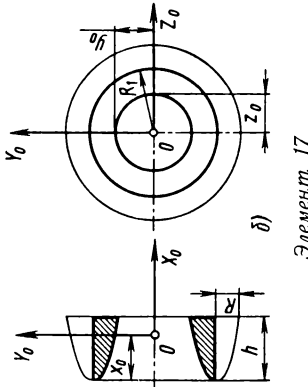
Эскиз и номер элемента	Объем, координаты центра масс	Моменты инерции относительно центральных плоскостей (вспомогательные величины) Главные центральные моменты инерции см. табл. 25, стр. 127
 <p>Эскиз элемента 'а' (torus) с координатами центра масс x_0, y_0, z_0 и моментами инерции.</p>	$V = \frac{\varphi}{6} \cdot \frac{h}{R^2 - r^2} \times$ $\times [8R_1 (R^3 - r^3) \pm$ $\pm 3 (R^4 - r^4)]$ $x_0 = \frac{\varphi}{15} \cdot \frac{h^2}{V (R^2 - r^2)^2} \times$ $\times [12R_1 (R^5 - r^5) \pm$ $\pm 5 (R^6 - r^6)] - h \frac{r^2}{R^2 - r^2}$ $y_0 = \frac{\sin \varphi}{15} \cdot \frac{h}{V (R^2 - r^2)} \times$ $\times [20R_1^2 (R^3 - r^3) \pm$ $\pm 15R_1 (R^4 - r^4) +$ $+ 4 (R^5 - r^5)]$ $z_0 = (R_1 \pm R) \sin \varphi$	$J_{y_0 z_0} = m \left\{ \frac{\varphi}{28} \cdot \frac{h^3}{V (R^2 - r^2)^3} \times \right.$ $\times [16R_1 (R^7 - r^7) \pm 7 (R^8 - r^8)] -$ $\left. - \left(x_0 + h \frac{r^2}{R^2 - r^2} \right)^2 \right\}$ $J_{z_0 x_0} = m [(2\varphi + \sin 2\varphi) T^2 - y_0^2]$ $I_{x_0 y_0} = (2\varphi - \sin 2\varphi) m T^2$ $J_{x_0 y_0} = m \left\{ \frac{2}{105} \cdot \sin \varphi \cdot \frac{h^2}{V (R^2 - r^2)^2} \times \right.$ $\times [42R_1^2 (R^5 - r^5) \pm 35R_1 (R^6 - r^6) +$ $+ 10 (R^7 - r^7)] -$ $\left. - \left(x_0 + h \frac{r^2}{R^2 - r^2} \right) y_0 \right\}$
 <p>Эскиз элемента 'б' (torus) с координатами центра масс x_0, y_0, z_0 и моментами инерции.</p>		

Элемент 16

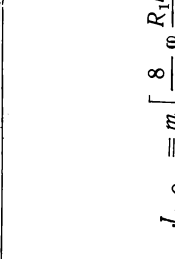
Продолжение табл. 2

Эскиз и номер элемента	Объем, координаты центра масс	Моменты инерции относительно центральных плоскостей (вспомогательные величины) Главные центральные моменты инерции см. табл. 25, стр. 127
	<p>В формулах</p> $T^2 = \frac{1}{120} \cdot \frac{h}{V(R^2 - r^2)} [40R_1^3 (R^3 - r^3) \pm 45R_1^2 (R^4 - r^4) +$ $+ 24R_1 (R^5 - r^5) \pm 5 (R^6 - r^6)].$ <p>В формулах верхний знак относится к элементу a, нижний — к элементу b.</p> <p>Подставляя значения параметров r и φ, указанные в «Предметно-иллюстрированном оглавлении», можно получить формулы для соответствующих элементов параболического тора (см. стр. 9). При $r = 0$ элемент относится к I типу (см. табл. 25, стр. 127), при $\varphi = \pi$ — к III типу. Формулы для некоторых тел, полученные постановкой значений параметров r, φ и R_1, приведены: при $r = 0$ и $\varphi = \pi$ на стр. 150 (элемент 17), при $R_1 = 0$ (только для элемента a) на стр. 265 (элемент 117)</p>	

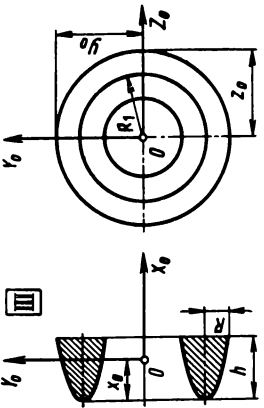
Продолжение табл. 2

Эскиз и номер элемента	Объем, координаты центра масс	Моменты инерции относительно центральных плоскостей (вспомогательные величины) Главные центральные моменты инерции см. табл. 25, стр. 127
<div data-bbox="295 1386 339 1425" style="border: 1px solid black; padding: 2px; display: inline-block;">III</div>  <p style="text-align: center;">a)</p>	$V = \frac{\pi}{6} R h (8R_1 \pm 3R)$ $x_0 = \frac{\pi}{15} \cdot \frac{R h^2}{V} \times$ $\times (12R_1 \pm 5R)$ $y_0 = z_0 = R_1 \pm R$	$I_{y_0 o z_0} = m \left[\frac{\pi}{28} \cdot \frac{R h^3}{V} \times \right.$ $\times (16R_1 \pm 7R) - x_0^2 \left. \right]$ $I_{z_0 o x_0} = I_{x_0 o y_0} = \frac{\pi}{60} m \frac{R h}{V} \times$ $\times [8R_1 (5R_1^2 + 3R^2) \pm 5R (9R_1^2 + R^2)]$
<p style="text-align: center;">Элемент 17</p>		
 <p style="text-align: center;">б)</p>	<p>В формулах верхний знак относится к элементу a, нижний — к элементу b</p>	

Продолжение табл. 2

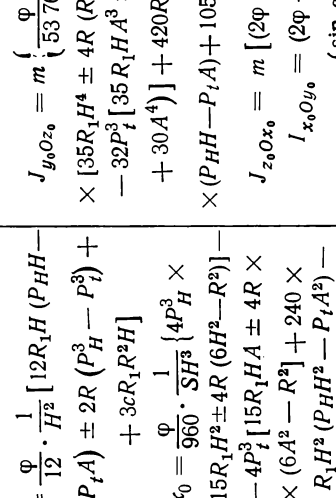
Эскиз и номер элемента	Объем, координаты центра масс	Моменты инерции относительно центральных плоскостей x_0y_0 (вспомогательные величины) Главные центральные моменты инерции см. табл. 25, стр. 127
 <p style="text-align: center;">Элемент 18</p>	$V = \frac{8}{3} \varphi R_1 h \frac{R^3 - r^3}{R^2 - r^2}$ $x_0 = -\frac{8}{5} \varphi \frac{R_1 h^2}{V} \times$ $\times \frac{R^5 - r^5}{(R^2 - r^2)^2} - h \frac{r^2}{R^2 - r^2}$ $y_0 = \frac{8}{15} \sin \varphi \times$ $\times \frac{h}{V (R^2 - r^2)} \times$ $\times [5R_1^3 (R^3 - r^3) + (R^5 - r^5)]$ $z_0 = (R_1 + R) \sin \varphi$	$J_{y_0 O z_0} = m \left[\frac{8}{7} \varphi \frac{R_1 h^3}{V} \cdot \frac{R^7 - r^7}{(R^2 - r^2)^3} - \right.$ $\left. - \left(x_0 + h \frac{r^2}{R^2 - r^2} \right)^2 \right]$ $J_{z_0 O x_0} = m [(2\varphi + \sin 2\varphi) T^2 - y_0^2]$ $I_{x_0 O y_0} = (2\varphi - \sin 2\varphi) m T^2$ $J_{x_0 y_0} = m \left\{ \frac{8}{105} \sin \varphi \cdot \frac{h^2}{V (R^2 - r^2)^2} \times \right.$ $\times [21R_1^2 (R^5 - r^5) + 5(R^7 - r^7)] -$ $\left. - \left(x_0 + h \frac{r^2}{R^2 - r^2} \right) y_0 \right\}$

Продолжение табл. 2

Эскиз и номер элемента	Объем, координаты центра масс	Моменты инерции относительно центральных плоскостей (вспомогательные величины) Главные центральные моменты инерции см. табл. 25, стр. 127
	<p>В формулах</p> $T^2 = \frac{2}{15} \cdot \frac{R_1 h}{V (R^2 - r^2)}$	<p>Подставляя значения параметров r и φ, указанные в «Предметно-иллюстрированном оглавлении», можно получить формулы для соответствующих элементов параболического тора (см. стр. 9). При $r = 0$ элемент относится к элементам I типа (см. табл. 25, стр. 127), при $\varphi = \pi$ — к элементам III типа.</p> <p>Формулы для тела, полученные подстановкой параметров $r = 0$ и $\varphi = \pi$, приведены на стр. 152 (элемент 19).</p>
 <p style="text-align: right;">Элемент 19</p>	$V = \frac{8}{3} \pi R_1 R h =$ $= 8,37728 R_1 R h$ $x_0 = \frac{3}{5} h = 0,6h$ $y_0 = z_0 = R_1 + R$	$I_{Y_0 Z_0} = \frac{12}{175} m h^2 = 0,06858 m h^2$ $I_{Z_0 O X_0} = I_{X_0 O Y_0} = \frac{1}{10} m (5R_1^2 + 3R^2) =$ $= m (0,5R_1^2 + 0,3R^2)$

Продолжение табл. 2

ЭЛЕМЕНТЫ ПОВЕРХНОСТИ

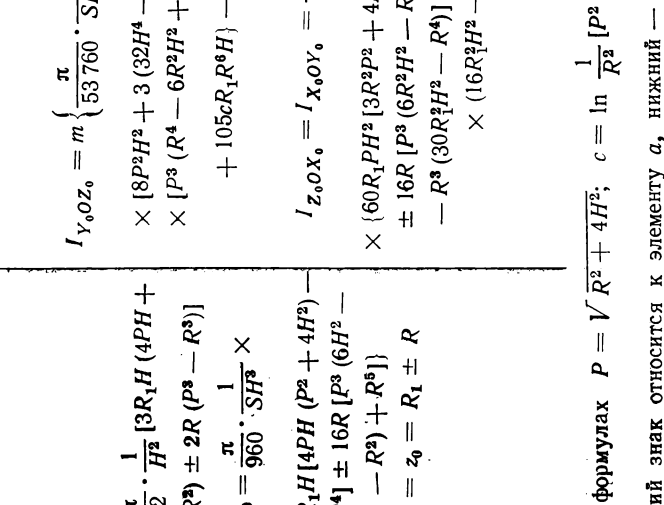
Эскиз и номер элемента	Поверхность координаты центра масс	Моменты инерции относительно центральных плоскостей (вспомогательные величины) Главные центральные моменты инерции см. табл. 25, стр. 127
<div data-bbox="292 185 331 233" style="border: 1px solid black; padding: 2px; display: inline-block;">1</div> 	$S = \frac{\varphi}{12} \cdot \frac{1}{H^2} [12R_1H(P_{HH} - P_tA) \pm 2R(P_H^3 - P^3) + 3cR_1R^2H]$ $x_0 = \frac{\varphi}{960} \cdot \frac{1}{SH^3} \{4P^3H \times [15R_1H^2 \pm 4R(6H^2 - R^2)] - 4P_t^3[15R_1HA \pm 4R \times (6A^2 - R^2)] + 240 \times R_1H^2(P_{HH}^2 - P_tA^2) - 15cR_1R^4H\} - t$ $y_0 = \frac{\sin \varphi}{192} \cdot \frac{1}{SH^3} \{4P_{HH} \times [12H^2(4R_1^2 + R^2) + P_H^2R(3R \pm 16R_1)] - 4P_t[12A(4R_1^2H^2 + R^2A^2) + P_t^2R(3RA \pm 16R_1H)] + 3cR^2(16R_1^2H^2 - R^4)\}$ $z_0 = (R_1 \pm R) \sin \varphi$	$J_{y_0Oz_0} = m \left\{ \frac{\varphi}{53760} \cdot \frac{1}{SH^4} [32P^3H \times [35R_1H^4 \pm 4R(R^4 - 6R^2H^2 + 30H^4)] - 32P_t^3[35R_1HA^3 \pm 4R(R^4 - 6R^2A^2 + 30A^4)] + 420R_1H(32H^4 - R^4) \times (P_{HH} - P_tA) + 105cR_1R^6H] - (x_0 + t)^2 \right\}$ $J_{z_0Ox_0} = m [(2\varphi + \sin 2\varphi) T^2 - y_0^2]$ $I_{x_0Oy_0} = (2\varphi - \sin 2\varphi) m T^2$ $J_{x_0y_0} = m \left\{ \frac{\sin \varphi}{7680} \cdot \frac{1}{SH^4} [32P^3H \times [5H^2(3R_1^2 + R^2) \pm 8R_1R(6H^2 - R^2)] - 32P_t^3[5A(3R_1^2H^2 + R^2A^2) \pm 8R_1RH \times (6A^2 - R^2)] + 60P_HH[32H^4(R_1^2 + R^2) - R^6] - 60P_tA[32A^2(R_1^2H^2 + R^2A^2) - R^6] + 15cR^4(R^4 - 8R_1^2H^2)] - (x_0 + t)y_0 \right\}$

Элемент 20

Продолжение табл. 2

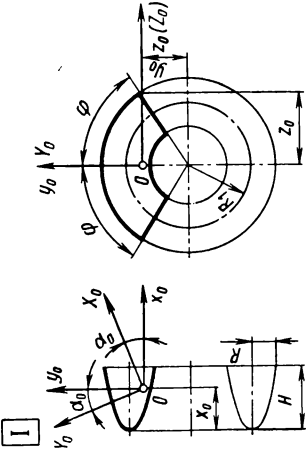
Эскиз и номер элемента	Поверхность, координаты центра масс	Моменты инерции относительно центральных плоскостей (вспомогательные величины) Главные центральные моменты инерции см. табл. 25, стр. 127
	<p>В формулах $P_H = \sqrt{R^2 + 4H^2}$; $P_t = \sqrt{R^2 + 4Ht}$; $A = \sqrt{Ht}$; $t = H - h$;</p> $c = \ln \frac{P_H^2 + 4H(P_H + H)}{P_t^2 + 4A(P_t + A)}; \quad T^2 = \frac{1}{3840} \cdot \frac{1}{SH^4} \{ 4P_H^3 [45R_1 R^2 H^2 \pm$ $\pm 4R(6R^2 H^2 - R^4 + 30R_1^2 H^2)] - 4P_t^3 [45R_1 R^2 H A \pm 4R(6R^2 A^2 -$ $- R^4 + 30R_1^2 H^2)] + 240R_1 H^2 [P_H H^2 (4R_1^2 + 3R^2) - P_t A (4R_1^2 H +$ $+ 3R^2 A)] + 15c R_1 R^2 H (16R_1^2 H^2 - 3R^4) \};$	<p>верхний знак относится к элементу a, нижний — к элементу b. Подставляя значения параметров h и φ, указанные в «Предметно-иллюстрированном оглавлении», можно получить формулы для соответствующих элементов поверхности параболического тора (см. стр. 9—10). При $h=H$ элемент относится к элементам I типа (см. табл. 25, стр. 127), при $\varphi=\pi$ — к элементам III типа. Формулы для некоторых тел, полученные подстановкой значений параметров h, φ и R_1, приведены: при $h=H$ и $\varphi=\pi$ на стр. 155 (элемент 21), при $R_1=0$ (только для элемента a) на стр. 267 (элемент 121)</p>

Продолжение табл. 2

Эскиз и номер элемента	Поверхность, координаты центра масс	Моменты инерции относительно центральных плоскостей (вспомогательные величины) Главные центральные моменты инерции см. табл. 25, стр. 127
<div data-bbox="294 1396 333 1437" style="border: 1px solid black; padding: 2px; display: inline-block;">III</div> 	$S = \frac{\pi}{12} \cdot \frac{1}{H^2} [3R_1 H (4PH + cR^2) \pm 2R (P^2 - R^2)]$ $x_0 = \frac{\pi}{960} \cdot \frac{1}{SH^2} \times$ $\times \{ 15R_1 H [4PH (P^2 + 4H^2) - cR^4] \pm 16R [P^2 (6H^2 - R^2) + R^2] \}$ $y_0 = z_0 = R_1 \pm R$	$I_{y_0 z_0} = m \left\{ \frac{\pi}{53760} \cdot \frac{1}{SH^4} (140R_1 P H^2 \times \right.$ $\times [8P^2 H^2 + 3(32H^4 - R^4)] \pm 128R \times$ $\times [P^2 (R^4 - 6R^2 H^2 + 30H^4) - R^7] +$ $\left. + 105cR_1 R^2 H \right\} - (x_0 + t)^2 \}$ $I_{z_0 x_0} = I_{x_0 y_0} = \frac{\pi}{1920} m \frac{1}{SH^4} \times$ $\times \{ 60R_1 P H^2 [3R^2 P^2 + 4H^2 (4R_1^2 + 3R^2)] \pm$ $\pm 16R [P^2 (6R^2 H^2 - R^4 + 30R^2 H^2) -$ $- R^3 (30R_1^2 H^2 - R^4)] + 15cR_1 R^2 H \times$ $\times (16R_1^2 H^2 - 3R^4) \}$
<p>В формулах $P = \sqrt{R^2 + 4H^2}$; $c = \ln \frac{1}{R^2} [P^2 + 4H(P + H)]$; верхний знак относится к элементу a, нижний — к элементу b</p>		

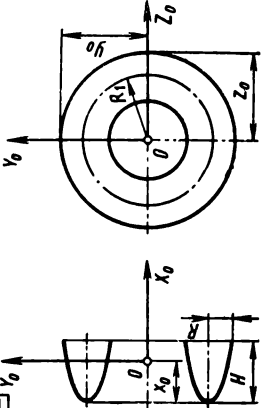
Элемент 21

Продолжение табл. 2

Эскиз и номер элемента	Поверхность, координаты центра масс	Моменты инерции относительно центральных плоскостей (вспомогательные величины) Главные центральные моменты инерции см. табл. 2Б, стр. 127
<div data-bbox="453 1409 489 1442" style="border: 1px solid black; padding: 2px; display: inline-block;">I</div> 	$S = \frac{\varphi}{2} \cdot \frac{R_1}{H} (4PH + cR^2)$ $x_0 = \frac{\varphi}{32} \cdot \frac{R_1}{SH^2} \times$ $\times [4PH (p^2 + 4H^2) - cR^4]$ $y_0 = \frac{\sin \varphi}{32} \cdot \frac{1}{SH^3} \times$ $\times \{4PH [R^2 (p^2 + 4H^2) +$ $+ 16R_1^2 H^2] + cR^2 \times$ $\times (16R_1^2 H^2 - R^4)\}$ $z_0 = (R_1 + R) \sin \varphi$	$J_{y_0 O z_0} = m \left\{ \frac{\varphi}{768} \cdot \frac{R_1}{SH^3} \{4PH [8H^2 \times \right.$ $\times (P^2 + 12H^2) - 3R^4] + 3cR^6\} - x_0^2 \}$ $J_{z_0 O x_0} = m [2\varphi + \sin 2\varphi] T^2 - y_0^2]$ $I_{x_0 O y_0} = (2\varphi - \sin 2\varphi) m T^2$ $J_{x_0 y_0} = m \left\{ \frac{\sin \varphi}{768} \cdot \frac{1}{SH^4} \{96R_1^2 PH^3 \times \right.$ $\times (P^2 + 4H^2) + 4R^2 PH [8H^2 \times$ $\times (P^2 + 12H^2) - 3R^4] -$ $\left. - 3cR^4 (8R_1^2 H^2 - R^4)\} - x_0 y_0 \right\}$
<p>В формулах $P = \sqrt{R^2 + 4H^2}$; $c = \ln \frac{1}{R^2} [P^2 + 4H (P + H)]$;</p> $T^2 = \frac{1}{128} \cdot \frac{R_1}{SH^3} \left\{ 4PH [3R^2 P^2 + 4H^2 (3R^2 + 4R^2)] + \right.$ $\left. + cR^2 (16R_1^2 H^2 - 3R^4) \right\}$		

Элемент 22

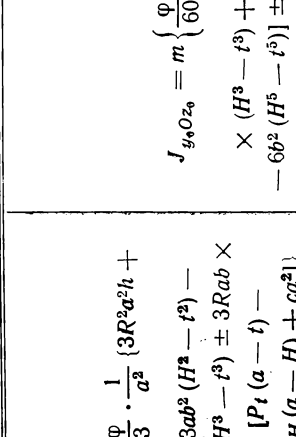
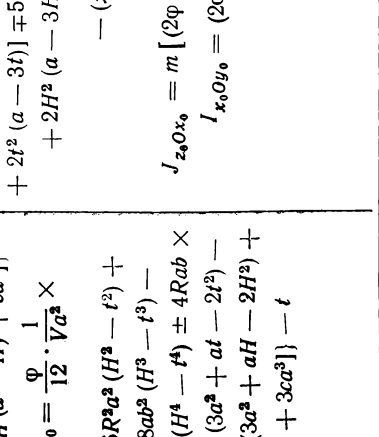
Продолжение табл. 2

Эскиз и номер элемента	Поверхность, координаты центра масс	Моменты инерции относительно центральных плоскостей (вспомогательные величины) Главные центральные моменты инерции см. табл. 25, стр. 127
<div data-bbox="456 1409 497 1438" style="border: 1px solid black; padding: 2px; display: inline-block;">III</div>  <p style="text-align: right;">Элемент 23</p>	$S = \frac{\pi}{2} \cdot \frac{R_1}{H} (4PH + cR^2)$ $x_0 = \frac{\pi}{32} \cdot \frac{R_1}{SH^2} \times$ $i \times [4PH (P^2 + 4H^2) - cR^4]$ $y_0 = z_0 = R_1 + R$	$I_{y_0 z_0} = m \left\{ \frac{\pi}{768} \cdot \frac{R_1}{SH^3} \{ 4PH [8H^2 \times \right.$ $\times (P^2 + 12H^2) - 3R^4 \} + 3cR^6 \} - x_0^2 \}$ $I_{z_0 x_0} = I_{x_0 y_0} = \frac{\pi}{64} m \frac{R_1}{SH^3} \times$ $\times \{ 4PH [3R^2 P^2 + 4H^2 (3R^2 + 4R^2)] +$ $+ cR^2 (16R^2 H^2 - 3R^4) \}$
	<p>В формулах $P = \sqrt{R^2 + 4H^2}$; $c = \ln \frac{1}{R^2} [P^2 + 4H(P + H)]$</p>	

3. ЭЛЕМЕНТЫ ЭЛЛИПТИЧЕСКОГО ТОРОИДА И ТОРА

Масса $m = V\rho$, где V — объем; ρ — плотность материала

ЭЛЕМЕНТЫ ОБЪЕМА ТОРОИДА

Эскиз и номер элемента	Объем, координаты центра масс	Моменты инерции относительно центральных плоскостей (вспомогательные величины) Главные центральные моменты инерции см. табл. 25, стр. 127
 <p style="text-align: center;">а)</p>	$V = \frac{\varphi}{3} \cdot \frac{1}{a^2} \{ 3R^2 a^2 h + 3ab^2 (H^3 - t^3) - b^2 (H^3 - t^3) \pm 3Rab \times [P_t (a - t) - P_H (a - H) + ca^2] \}$ $x_0 = \frac{\varphi}{12} \cdot \frac{1}{Va^2} \times \{ (6R^2 a^3 (H^3 - t^3) + 8ab^2 (H^3 - t^3) - 3b^2 (H^4 - t^4) \pm 4Rab \times [P_t (3a^2 + at - 2t^2) - P_H (3a^2 + aH - 2H^2) + 3ca^3] \} - t$	$J_{y_0 O z_0} = m \left\{ \frac{\varphi}{60} \cdot \frac{1}{Va^2} \{ 2 [10R^2 a^2 \times (H^3 - t^3) + 15ab^2 (H^4 - t^4) - 6b^2 (H^5 - t^5)] \pm 5RabP_t [5a^2 (3a + t) + 2t^2 (a - 3t)] \pm 5RabP_H [5a^2 (3a + H) + 2H^2 (a - 3H)] \pm 75cRa^5 b \} - (x_0 + t)^2 \right\}$
 <p style="text-align: center;">б) Элемент 24</p>	$J_{z_0 O x_0} = m [(2\varphi + \sin 2\varphi) \tau^2 - y_0^2]$ $I_{x_0 O y_0} = (2\varphi - \sin 2\varphi) m \tau^2$	

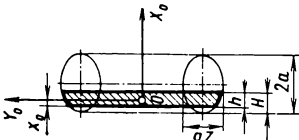
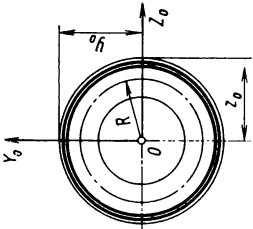
Продолжение табл. 3

Эскиз и номер элемента	Объем, координаты центра масс	Моменты инерции относительно центральных плоскостей (вспомогательные величины) Главные центральные моменты инерции см. табл. 25, стр. 127
	$y_0 = \frac{\sin \varphi}{12} \cdot \frac{1}{V a^3} \times$ $\times \{ 8 R a [R^2 a^2 h + 3 a b^2 \times$ $\times (H^2 - t^2) - b^2 (H^3 - t^3)] \pm$ $\pm b \{ P_t [12 R^2 a^2 (a - t) +$ $+ a^2 b^2 (3a + t) -$ $- 2 b^2 t^2 (3a - t)] -$ $- P_H [12 R^2 a^2 (a - H) +$ $+ a^2 b^2 (3a + H) -$ $- 2 b^2 H^2 (3a - H)] +$ $+ 3 c a^4 (4 R^2 + b^2) \} \}$ $z_0 = \left(R \pm \frac{b}{a} P_H \right) \sin \varphi$	$J_{x_0, y_0} = m \left\{ \frac{\sin \varphi}{60} \cdot \frac{1}{V a^3} \{ 10 R a [2 R^2 a^2 \times$ $\times (H^2 - t^2) + 8 a b^2 (H^3 - t^3) -$ $- 3 b^2 (H^4 - t^4)] \pm b P_t [5 a^3 (4 R^2 + b^2) \times$ $\times (3a + t) - 2 a^2 t^2 (20 R^2 - b^2) -$ $- 2 b^2 t^3 (11a - 4t)] \pm b P_H [5 a^3 \times$ $\times (4 R^2 + b^2) (3a + H) -$ $- 2 a^2 H^2 (20 R^2 - b^2) -$ $- 2 b^2 H^3 (11a - 4H)] \pm$ $\pm 15 c a^5 b (4 R^2 + b^2) \} - (x_0 + t) y_0 \}$

Продолжение табл. 3

Эскиз и номер элемента	Объем, координаты центра масс	Моменты инерции относительно центральных плоскостей (вспомогательные величины) Главные центральные моменты инерции см. табл. 25, стр. 127
		<p>В формулах $t = H - h$; $P_t = \sqrt{t(2a - t)}$; $P_H = \sqrt{H(2a - H)}$;</p> $c = \arcsin \frac{a-t}{a} - \arcsin \frac{a-H}{a}; \quad T^2 = \frac{1}{240} \cdot \frac{1}{Va^4} \{ 2 [15R^4 a^4 h +$ $+ 90R^2 a^3 b^2 (H^2 - t^2) - 10a^2 b^2 (3R^2 - 2b^2) (H^3 - t^3) - 15ab^4 (H^4 - t^4) +$ $+ 3b^4 (H^5 - t^5)] \pm 15Rab \{ P_t [4R^2 a^2 (a - t) + a^2 b^2 (3a + t) -$ $- 2b^2 t^2 (3a - t)] - P_H [4R^2 a^2 (a - H) + a^2 b^2 (3a + H) -$ $- 2b^2 H^2 (3a - H)] + ca^4 (4R^2 + 3b^2) \} \};$ <p>верхний знак относится к элементу a, нижний — к элементу b.</p> <p>Подставляя значения параметров H и h, указанные в «Предметно-иллюстрированном оглавлении», можно получить формулы для соответствующих элементов эллиптического тороида (см. стр. 10—11).</p> <p>Элементы при $H = a + \frac{h}{2}$ и $H = h = 2a$ относятся к элементам II типа (см. табл. 25, стр. 127), остальные — к элементам I типа.</p> <p>Формулы для некоторых тел, полученные подстановкой значений параметров φ, a, b и R, приведены: при $\varphi = \pi$ на стр. 161 (элемент 25), при $a = b = r$ на стр. 175 (элемент 32) и при $R = 0$ (только для элемента a) на стр. 270 (элемент 125)</p>

Продолжение табл. 3

Эскиз и номер элемента	Объем, координаты центра масс	Моменты инерции относительно центральных плоскостей (вспомогательные величины) Главные центральные моменты инерции см. табл. 25, стр. 127
<div data-bbox="274 1414 312 1442" style="border: 1px solid black; padding: 2px; display: inline-block;">III</div> <div style="display: flex; justify-content: space-around; align-items: center;">   </div>	$V = \frac{\pi}{3} \cdot \frac{1}{a^2} (3R^2 a^3 h + 3ab^2 (H^2 - t^2) - b^2 (H^3 - t^3) \pm 3Rab \times [P_t (a - t) - P_H (a - H) + ca^2])$ $x_0 = \frac{\pi}{12} \cdot \frac{1}{Va^2} (6R^2 a^2 \times (H^2 - t^2) + 8ab^2 (H^3 - t^3) - 3b^3 (H^4 - t^4) \pm 4Rab [P_t (3a^2 + at - 2t^2) - P_H (3a^2 + aH - 2H^2) + 3ca^3]) - t$ $y_0 = z_0 = R \pm \frac{b}{a} P_H$	$I_{Y_0 Z_0} = m \left\{ \frac{\pi}{60} \cdot \frac{1}{Va^2} (2 [10R^2 a^2 \times (H^3 - t^3) + 15ab^2 (H^4 - t^4) - 6b^2 (H^5 - t^5)] \pm 5Rab P_t [5a^2 (3a + t) + 2t^2 (a - 3t)] \mp 5Rab P_H [5a^2 (3a + H) + 2H^2 (a - 3H)] \pm 75cRa^5 b) - (x_0 + t)^2 \right\}$ $I_{Z_0 O X_0} = I_{X_0 O Y_0} = \frac{\pi}{120} m \frac{1}{Va^4} \{ 2 \times [15R^4 a^4 h + 90R^2 a^2 b^2 (H^2 - t^2) - 10a^2 b^2 (3R^2 - 2b^2) (H^3 - t^3) - 15ab^4 (H^4 - t^4) + 3b^4 (H^5 - t^5)] \pm 15Rab [P_t [4R^2 a^2 (a - t) + a^2 b^2 (3a + t) - 2b^2 t^2 (3a - t)] - P_H [4R^2 a^2 (a - H) + a^2 b^2 (3a + H) - 2b^2 H^2 (3a - H)] + ca^4 (4R^2 + 3b^2)] \}$

Элемент 25

Продолжение табл. 3

Эскиз и номер элемента	Объем, координаты центра масс	Моменты инерции относительно центральных плоскостей (вспомогательные величины) Главные центральные моменты инерции см. табл. 25, стр. 127
		<p>В формулах $t = H - h$; $P_t = \sqrt{t(2a - t)}$; $P_H = \sqrt{H(2a - H)}$; $c = \arcsin \frac{a - t}{a} - \arcsin \frac{a - H}{a}$; верхний знак относится к элемен- ту a, нижний — к элементу b</p> <p>Подставляя значения параметров H и h, указанные в «Предметно- иллюстрированном оглавлении», можно получить формулы для со- ответствующих элементов эллиптического тороида (см. стр. 11—12). Все элементы относятся к элементам III типа (см. табл. 25, стр. 127).</p> <p>Формулы для некоторых тел, полученные подстановкой значений параметров a, b и R, приведены: при $a = b = r$ на стр. 177 (эле- мент 33), при $R = 0$ (только для элемента a) на стр. 272 (элемент 126)</p>

Продолжение табл. 3

ЭЛЕМЕНТЫ ОБЪЕМА ТОРА

Эскиз и номер элемента	Объем, координаты центра масс	Моменты инерции относительно центральных плоскостей (вспомогательные величины) Главные центральные моменты инерции см. табл. 25, стр. 127
<div data-bbox="292 191 329 311">I</div> <div data-bbox="340 191 642 412"> </div>	$V = \frac{\varphi}{3} \cdot \frac{b}{a^2} \{ 3Ra [P_t \times (a-t) - P_H(a-H) + ca^2] \pm b[3a(H^2-t^2) - (H^3-t^3)] \}$ $x_0 = \frac{\varphi}{12} \cdot \frac{b}{Va^2} \{ 4Ra \times [P_t(3a^2+at-2t^2) - P_H(3a^2+aH-2H^2) + 3ca^3] \pm b[8a(H^3-t^3) - 3(H^4-t^4)] \} - t$ $y_0 = \frac{\sin \varphi}{12} \cdot \frac{b}{Va^3} \{ P_t \times [12R^2a^2(a-t) + a^2b^2(3a+t) - 2b^2t^2(3a-t)] - P_H[12R^2a^2(a-H) + a^2b^2(3a+H) - 2b^2H^2(3a-H)] + 3ca^4(4R^2+b^2) \pm 8Rab[3a(H^2-t^2) - (H^3-t^3)] \}$	$J_{y_0 O z_0} = m \left\{ \frac{\varphi}{60} \cdot \frac{b}{Va^2} \{ 5RaP_t[5a^2(3a+t) + 2t^2(a-3t)] - 5RaP_H[5a^2(3a+H) + 2H^2(a-3H)] + 75cRa^5 \pm 6b[5a(H^4-t^4) - 2(H^5-t^5)] \} - (x_0+t)^2 \right\}$ $J_{z_0 O x_0} = m \left[(2\varphi + \sin 2\varphi) T^2 - y_0^2 \right]$ $I_{x_0 O y_0} = (2\varphi - \sin 2\varphi) m T^2$ $J_{x_0 y_0} = m \left\{ \frac{\sin \varphi}{60} \cdot \frac{b}{Va^3} \{ P_t[5a^3(4R^2+t+b^2)(3a+t) - 2a^2t^2(20R^2-b^2) - 2b^2t^3(11a-4t)] - P_H[5a^3(4R^2+b^2) \times (3a+H) - 2a^2H^2(20R^2-b^2) - 2b^2H^3(11a-4H)] + 15ca^5(4R^2+b^2) \pm 10Rab[8a(H^3-t^3) - 3(H^4-t^4)] \} - (x_0+t)y_0 \right\}$
<div data-bbox="631 971 668 1091">a)</div> <div data-bbox="679 971 947 1188"> </div> <div data-bbox="919 971 956 1091">б)</div>	<p>Элемент 2б</p>	

Продолжение табл. 3

Эскиз и номер элемента	Объем. координаты центра масс	Моменты инерции относительно центральных плоскостей (вспомогательные величины) Главные центральные моменты инерции см. табл. 25, стр. 127
	$z_0 = \left(R \pm \frac{b}{a} P_H \right) \sin \varphi$	<p>В формулах $t = H - h$; $P_t = \sqrt{t(2a - t)}$; $P_H = \sqrt{H(2a - H)}$;</p> $c = \arcsin \frac{a - t}{a} - \arcsin \frac{a - H}{a};$ $T^2 = \frac{1}{240} \cdot \frac{b}{Va^4} \{ 15Ra \{ P_t [4R^2a^2(a - t) + a^2b^2(3a + t) -$ $- 2b^2t^2(3a - t)] - P_H [4R^2a^2(a - H) + a^2b^2(3a + H) - 2b^2H^2(3a - H)] \} +$ $+ ca^4(4R^2 + 3b^2) \} \pm 2b[90R^2a^2(H^2 - t^2) - 10a^2(3R^2 - 2b^2) \times$ $\times (H^3 - t^3) - 15ab^2(H^4 - t^4) + 3b^3(H^5 - t^5) \} \};$ <p>верхний знак относится к элементу a, нижний — к элементу b.</p> <p>Подставляя значения параметров H и h, указанные в «Предметно-иллюстрированном оглавлении», можно получить формулы для соответствующих элементов эллиптического гора (см. стр. 12—13). Элементы при $H = a + \frac{h}{2}$ и $H = h = 2a$ относятся к элементам II типа (см. табл. 25, стр. 127), остальные — к элементам I типа.</p> <p>Формулы для некоторых тел, полученные подстановкой значений параметров φ, a, b и R, приведены: при $\varphi = \pi$ на стр. 165 (элемент 27); при $a = b = r$ на стр. 194 (элемент 46) и при $R = 0$ (только для элемента a) на стр. 270 (элемент 125)</p>

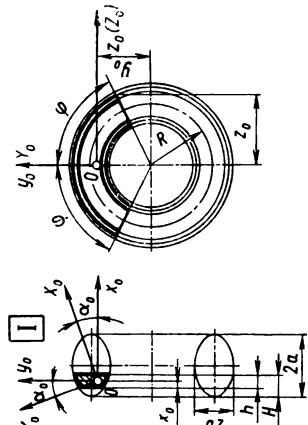
Продолжение табл. 3

Эскиз и номер элемента	Объем, координаты центра масс	Моменты инерции относительно центральных плоскостей (вспомогательные величины) Главные центральные моменты инерции см. табл. 25, стр. 127
<div data-bbox="278 1404 316 1445">III</div> <div data-bbox="316 998 616 1421"> </div> <div data-bbox="595 1226 616 1258">a)</div>	$V = \frac{\pi}{3} \cdot \frac{b}{a^2} \{ 3Ra [P_t \times (a-t) - P_H (a-H) + ca^2] \pm b [3a (H^2 - t^2) - (H^3 - t^3)] \}$ $x_0 = \frac{\pi}{12} \cdot \frac{b}{Va^2} \{ 4Ra [P_t \times (3a^2 + at - 2t^2) - P_H (3a^2 + aH - 2H^2) + 3ca^2] \pm b [8a (H^3 - t^3) - 3 (H^4 - t^4)] \} - t$	$I_{Y_0 O Z_0} = m \left\{ \frac{\pi}{60} \cdot \frac{b}{Va^2} [5RaP_t [5a^2 \times (3a+t) + 2t^2 (a-3t)] - 5RaP_H \times [5a^2 (3a+H) + 2H^2 (a-3H)] + 75cRa^5 \pm 6b [5a (H^4 - t^4) - 2 (H^5 - t^5)]] - (x_0 + t)^2 \right\}$ $I_{Z_0 O X_0} = I_{X_0 O Y_0} = \frac{\pi}{120} m \frac{b}{Va^4} \times \{ 15Ra [P_t [4R^2a^2 (a-t) + a^2b^2 (3a+t) - 2b^2t^2 (3a-t)] - P_H [4R^2a^2 (a-H) + a^2b^2 (3a+H) - 2b^2H^2 (3a-H)] + ca^4 (4R^2 + 3b^2)] \pm 2b [90R^2a^3 (H^2 - t^2) - 10a^2 (3R^2 - 2b^2) (H^3 - t^3) - 15ab^2 (H^4 - t^4) + 3b^2 (H^5 - t^5)] \}$
<div data-bbox="633 998 933 1421"> </div> <div data-bbox="911 1226 933 1258">б)</div>	<p>Элемент 27</p>	

Продолжение табл. 3

Эскиз и номер элемента	Объем, координаты центра масс	Моменты инерции относительно центральных плоскостей (вспомогательные величины) Главные центральные моменты инерции см. табл. 25, стр. 127
	$y_0 = z_0 = R \pm \frac{b}{a} P_H$	<p>В формулах $t = H - h$; $P_t = \sqrt{t(2a - t)}$; $P_H = \sqrt{H(2a - H)}$;</p> <p>$c = \arcsin \frac{a - t}{a} - \arcsin \frac{a - H}{a}$; верхний знак относится к элементу a, нижний — к элементу b.</p> <p>Подставляя значения параметров H и h, указанные в «Предметно-иллюстрированном оглавлении», можно получить формулы для соответствующих элементов эллиптического тора (см. стр. 12—13). Все элементы относятся к элементам III типа (см. табл. 25, стр. 127).</p> <p>Формулы для некоторых тел, полученные подстановкой значений параметров a, b и R, приведены: при $a = b = r$ на стр. 196 (элемент 47), при $R = 0$ (только для элемента a) на стр. 272 (элемент 126)</p>

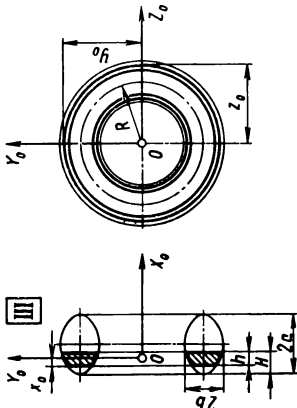
Продолжение табл. 3

Эскиз и номер элемента	Объем, координаты центра масс	Моменты инерции относительно центральных плоскостей (вспомогательные величины) Главные центральные моменты инерции см. табл. 25, стр. 127
 <p style="text-align: center;">Элемент 28</p>	$V = 2\pi R \frac{b}{a} [P_t(a-t) - P_H(a-H) + ca^2]$ $x_0 = \frac{2}{3} \pi \frac{R}{V} \cdot \frac{b}{a} \{P_t \times [3a^2 + t(a-2t)] - P_H[3a^2 + H(a-2H)] + 3ca^3\} - t$ $y_0 = \frac{\sin \varphi}{6} \cdot \frac{b}{Va^3} \{P_t \times [12R^2a^2(a-t) + a^2b^2(3a+t) - 2b^2t^2(3a-t)] - P_H[12R^2a^2(a-H) + a^2b^2(3a+H) - 2b^2H^2(3a-H)] + 3ca^4(4R^2 + b^2)\}$	$J_{y_0Oz_0} = m \left\{ \frac{\varphi}{6} \cdot \frac{R}{V} \cdot \frac{b}{a} \{P_t \times [5a^2(3a+t) + 2t^2(a-3t)] - P_H[5a^2(3a+H) + 2H^2(a-3H)] + 15ca^4\} - (x_0+t)^2 \right\}$ $J_{z_0Ox_0} = m [(2\varphi + \sin 2\varphi) T^2 - y_0^2]$ $I_{x_0Oy_0} = (2\varphi - \sin 2\varphi) m T^2$ $J_{x_0y_0} = m \left\{ \frac{\sin \varphi}{30} \cdot \frac{b}{Va^3} \{P_t \times [5a^3(4R^2 + b^2)(3a+t) - 2a^2t^2(20R^2 - b^2) - 2b^2t^3(11a-4t)] - P_H[5a^3(4R^2 + b^2)(3a+H) - 2a^2H^2(20R^2 - b^2) - 2b^2H^3(11a-4H)] + 15ca^5(4R^2 + b^2)\} - (x_0+t)y_0 \right\}$

Продолжение табл. 3

Эскиз и номер элемента	Объем, координаты центра масс	Моменты инерции относительно центральных плоскостей (вспомогательные величины) Главные центральные моменты инерции см. табл. 25, стр. 127
	$z_0 = \left(R + \frac{b}{a} P_H \right) \sin \varphi$	<p data-bbox="432 207 459 922">В формулах $t = H - h$; $P_t = \sqrt{t(2a - t)}$; $P_H = \sqrt{H(2a - H)}$;</p> $c = \arcsin \frac{a - t}{a} - \arcsin \frac{a - H}{a};$ $T^2 = \frac{1}{4} R \left\{ \frac{1}{\varphi} R + \frac{1}{2} \cdot \frac{b^3}{V a^3} (P_t [a^2 (3a + t) - 2t^2 (3a - t)]) - \right.$ $\left. - P_H [a^2 (3a + H) - 2H^2 (3a - H)] + 3ca^4 \right\}$ <p data-bbox="674 207 896 951">Подставляя значения параметров H и h, указанные в «Предметно-иллюстрированном оглавлении», можно получить формулы для соответствующих элементов эллиптического тора (см. стр. 13). Элементы при $H = a + \frac{h}{2}$ и $H = h = 2a$ относятся к элементам II типа (см. табл. 25, стр. 127), остальные — к элементам I типа. Формулы для некоторых тел, полученные подстановкой значений параметров φ, a и b, приведены: при $\varphi = \pi$ на стр. 169 (элемент 29), при $a = b = r$ на стр. 203 (элемент 53)</p>

Продолжение табл. 3

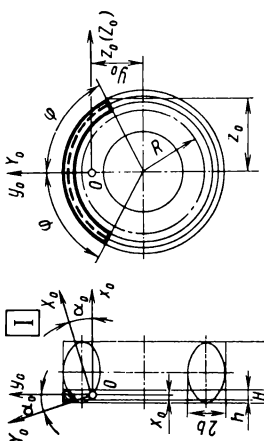
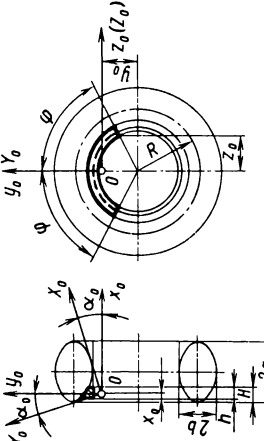
Эскиз и номер элемента	Объем, координаты центра масс	Моменты инерции относительно центральных плоскостей (вспомогательные величины) Главные центральные моменты инерции см. табл. 26, стр. 127
 <p style="text-align: center;">Элемент 29</p>	$V = 2\pi R \frac{b}{a} [P_t(a-t) - P_H(a-H) + ca^2] = K_1 R ab$ $x_0 = \frac{2}{3} \pi \frac{R}{V} \cdot \frac{b}{a} \times [P_t[3a^2 + t(a-2t)] - P_H[3a^2 + H(a-2H)] + 3ca^3] - t = K_2 a$ $y_0 = z_0 = R + \frac{b}{a} P_H = R + K_3 b$	$I_{y_0 z_0} = m \left\{ \frac{\pi}{6} \cdot \frac{R}{V} \cdot \frac{b}{a} \{P_t \times [5a^2(3a+t) + 2t^2(a-3t)] - P_H[5a^2(3a+H) + 2H^2(a-3H)] + 15ca^4\} - (x_0+t)^2 \right\} = K_3 ma^2$ $I_{z_0 x_0} = I_{x_0 y_0} = \frac{1}{2} m R \left\{ R + \frac{\pi}{2} \cdot \frac{b^3}{V a^3} \{P_t[a^2(3a+t) - 2t^2(3a-t)] - P_H[a^2(3a+H) - 2H^2(3a-H)] + 3ca^4\} \right\} = m(0.5R^2 + K_4 b^2)$

Продолжение табл. 3

Эскиз и номер элемента	Объем, координаты центра масс	Моменты инерции относительно центральных плоскостей (вспомогательные величины) Главные центральные моменты инерции см. табл. 25, стр. 127
		<p>В формулах $t = H - h$; $P_t = \sqrt{t(2a - t)}$; $P_H = \sqrt{H(2a - H)}$; $c = \arcsin \frac{a - t}{a} - \arcsin \frac{a - H}{a}$.</p> <p>Коэффициенты $K_t = f\left(n = \frac{H}{a}; p = \frac{h}{a}\right)$ приведены в табл. 2 (см. стр. 476); коэффициент $K_\delta = f\left(p = \frac{H}{a}\right)$ — в табл. 8 (см. стр. 487).</p> <p>Подставляя значения параметров H и h, указанные в «Предметно-иллюстрированном оглавлении», можно получить формулы для соответствующих элементов эллиптического тора (см. стр. 14).</p> <p>Все элементы относятся к элементам III типа (см. табл. 25, стр. 127). Коэффициенты K_i определяют по значениям n и p, указанным для аналогичных элементов кругового тора (см. элементы 55—57, стр. 207—209).</p> <p>Формулы для тела, полученные подстановкой параметров $a = b = r$, приведены на стр. 205 (элемент 54)</p>

Продолжение табл. 3

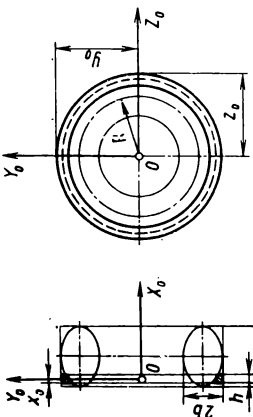
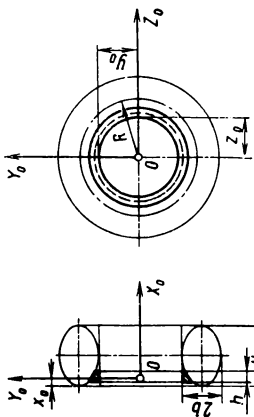
КОМБИНИРОВАННЫЕ ЭЛЕМЕНТЫ ОБЪЕМА

Эскиз и номер элемента	Объем, координаты центра масс	Моменты инерции относительно центральных плоскостей (вспомогательные величины) Главные центральные моменты инерции см. табл. 25, стр. 127
 <p>а)</p>	$V = \frac{\varphi}{3} \cdot \frac{b}{a^2} \{ 3a^2 h \times \\ \times (2R \pm b) \mp b [3a (H^2 - \\ - t^2) - (H^3 - t^3)] - 3Ra \times \\ \times [P_t (a - t) - P_H (a - H) + \\ + ca^2] \}$ $x_0 = \frac{\varphi}{12} \cdot \frac{b}{Va^2} \{ 6a^2 \times \\ \times (2R \pm b) (H^2 - t^2) \mp \\ \mp b [8a (H^3 - t^3) - 3 (H^4 - \\ - t^4)] - 4Ra [P_t (3a^2 + at - \\ - 2t^2) - P_H (3a^2 + aH - \\ - 2H^2) + 3ca^3] \} - t$ $y_0 = \frac{\sin \varphi}{12} \cdot \frac{b}{Va^3} \{ 8a \{ a^2 h \times \\ \times [3R (H^2 \pm b) + b^2] \mp Rb \times \\ \times [3a (H^2 - t^2) - (H^3 - t^3)] - \\ - P_t [12R^2 a^2 (a - t) + a^2 b^2 \times \\ \times (3a + t) - 2b^2 t^2 (3a - t)] + \\ + P_H [12R^2 a^2 (a - H) + \\ + a^2 b^2 (3a + H) - 2b^2 H^2 \times \\ \times (3a - H)] - 3ca^4 \times \\ \times (4R^2 + b^2) \}$	$J_{y_0 O z_0} = m \left\{ \frac{\varphi}{60} \cdot \frac{b}{Va^2} \{ 20a^2 (2R \pm b) \times \right. \\ \times (H^3 - t^3) \mp 6b [5a (H^4 - t^4) - \\ - 2 (H^5 - t^5)] - 5RP_t a [5a^2 (3a + t) + \\ + 2t^2 (a - 3t)] + 5RP_H a [5a^2 (3a + H) + \\ + 2H^2 (a - 3H)] - 75cRa^5 \} - (x_0 + t)^2 \}$ $J_{z_0 O x_0} = m \{ (2\varphi + \sin 2\varphi) T^2 - y_0^2 \}$ $I_{x_0 O y_0} = (2\varphi - \sin 2\varphi) m T^2$ $J_{x_0 y_0} = m \left\{ \frac{\sin \varphi}{60} \cdot \frac{b}{Va^3} \{ 20a^3 [3R (R \pm b) + \right. \\ + b^2] (H^2 - t^2) \mp 10Rab [8a (H^3 - t^3) - \\ - 3 (H^4 - t^4)] - P_t [5a^3 (4R^2 + b^2) \times \\ \times (3a + t) - 2a^2 t^2 (20R^2 - b^2) - \\ - 2b^2 t^3 (11a - 4t)] + P_H [5a^3 (4R^2 + \\ + b^2) (3a + H) - 2a^2 H^2 (20R^2 - b^2) - \\ - 2b^2 H^3 (11a - 4H)] - 15ca^5 (4R^2 + b^2) \} - \\ - (x_0 + t) y_0 \}$
 <p>б)</p>		<p>Элемент 30</p>

Продолжение табл. 3

Эскиз и номер элемента	Объем, координаты центра масс	Моменты инерции относительно центральных плоскостей (вспомогательные величины) Главные центральные моменты инерции см. табл. 25, стр. 127
	$z_0 = (R \pm b) \sin \varphi$	<p>В формулах $t = H - h$; $P_t = \sqrt{t(2a - t)}$; $P_H = \sqrt{H(2a - H)}$; $c = \arcsin \frac{a - t}{a} - \arcsin \frac{a - H}{a}$;</p> $T^2 = \frac{1}{240} \cdot \frac{b}{Va^4} \{ 30a^4h [4R(R^2 + b^2) \pm b(6R^2 + b^2)] \pm 2b[90R^2a^3 \times$ $\times (H^2 - t^2) - 10a^2(3R^2 - 2b^2)(H^3 - t^3) - 15ab^2(H^4 - t^4) +$ $+ 3b^2(H^5 - t^5)] - 15Ra \{ P_t [4R^2a^2(a - t) + a^2b^2(3a + t) -$ $- 2b^2t^2(3a - t)] - P_H [4R^2a^2(a - H) + a^2b^2(3a + H) -$ $- 2b^2H^2(3a - H)] + ca^4(4R^2 + 3b^2) \} ;$ <p>верхний знак относится к элементу a, нижний — к элементу b. Подставляя значения параметров H и h, указанные в «Предметно-иллюстрированном оглавлении», можно получить формулы для соответствующих комбинированных элементов эллиптического тора (см. стр. 14—15). Элементы при $H = a + \frac{h}{2}$ и $H = h = 2a$ относятся к элементам II типа (см. табл. 25, стр. 127), остальные — к элементам I типа.</p> <p>Формулы для некоторых тел, полученные подстановкой значений параметров φ, a, b и R, приведены: при $\varphi = \pi$ на стр. 173 (элемент 31); при $a = b = r$ на стр. 216 (элемент 68) и при $R = 0$ (только для элемента a) на стр. 275 (элемент 132)</p>

Продолжение табл. 3

Эскиз и номер элемента	Объем, координаты центра масс	Моменты инерции относительно центральных плоскостей (вспомогательные величины) Главные центральные моменты инерции см. табл. 25, стр. 127
 <p>а)</p>	$V = \frac{\pi \cdot b}{3} \cdot \frac{3a^2 h}{a^2} \times$ $\times (2R \pm b) \pm b [3a (H^2 - t^2) - (H^3 - t^3)] -$ $- 3Ra [P_t (a - t) - P_H (a - H) + ca^2]]$ $x_0 = \frac{\pi \cdot b}{12} \cdot \frac{6a^2}{Va^2} \{6a^2 \times$ $\times (2R \pm b) (H^2 - t^2) \pm$ $\pm b [8a (H^3 - t^3) -$ $- 3 (H^4 - t^4)] - 4Ra \times$ $\times [P_t (3a^2 + at - 2t^2) -$ $- P_H (3a^2 + aH - 2H^2) +$ $+ 3ca^2]] - t$ $y_0 = z_0 = R \pm b$	$I_{Y_0 O Z_0} = m \left\{ \frac{\pi}{60} \cdot \frac{b}{Va^2} \{ 20a^2 (2R \pm b) \times \right.$ $\times (H^3 - t^3) \pm 6b [5a (H^4 - t^4) -$ $- 2 (H^5 - t^5)] - 5RP_t a [5a^2 (3a + t) +$ $+ 2t^2 (a - 3t)] + 5RP_H a [5a^2 (3a + H) +$ $+ 2H^2 (a - 3H)] - 75cRa^5 \} - (x_0 \pm t)^2 \}$ $I_{Z_0 O X_0} = I_{X_0 O Y_0} = \frac{\pi}{120} m \frac{b}{Va^4} \times$ $\times \{ 30a^4 h [4R (R^2 + b^2) \pm b (6R^2 + b^2)] \pm$ $\pm 2b [90R^2 a^3 (H^2 - t^2) - 10a^2 (3R^2 -$ $- 2b^2) (H^3 - t^3) - 15ab^2 (H^4 - t^4) +$ $+ 3b^2 (H^5 - t^5)] - 15Ra [P_t [4R^2 a^2 \times$ $\times (a - t) + a^2 b^2 (3a + t) - 2b^2 t^2 (3a - t)] -$ $- P_H [4R^2 a^2 (a - H) + a^2 t^2 (3a + H) -$ $- 2b^2 H^2 (3a - H)] + ca^4 (4R^2 + 3b^2) \} \}$
 <p>б)</p>		

Элемент 31

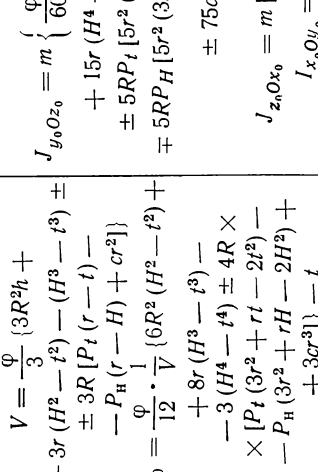
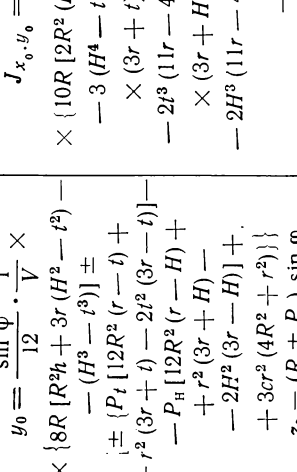
Продолжение табл. 3

Эскиз и номер элемента	Объем, координаты центра масс	Моменты инерции относительно центральных плоскостей (вспомогательные величины) Главные центральные моменты инерции см. табл. 25, стр. 127
		<p>В формулах $t = H - h$; $P_t = \sqrt{t(2a - t)}$; $P_H = \sqrt{H(2a - H)}$;</p> $c = \arcsin \frac{a - t}{a} - \arcsin \frac{a - H}{a}$; верхний знак относится к элементу a , нижний — к элементу b . <p>Подставляя значения параметров H и h, указанные в «Предметно-иллюстрированном оглавлении», можно получить формулы для соответствующих комбинированных элементов эллиптического тора (см. стр. 14—15). Все элементы относятся к элементам III типа (см. табл. 25, стр. 127).</p> <p>Формулы для некоторых тел, полученные постановкой значений параметров a, b и R, приведены: при $a = b = r$ на стр. 218 (элемент 69), при $R = 0$ (только для элемента a) на стр. 277 (элемент 133)</p>

4. ЭЛЕМЕНТЫ КРУГОВОГО ТОРОИДА И ТОРА

Масса $m = V\rho$ или $m = S\delta\rho$, где V — объем; S — поверхность; δ — толщина стенки; ρ — плотность материала

ЭЛЕМЕНТЫ ОБЪЕМА ТОРОИДА

Эскиз и номер элемента	Объем, координаты центра масс	Моменты инерции относительно центральных плоскостей (вспомогательные величины) Главные центральные моменты инерции см. табл. 25, стр. 162
 <p>а)</p>	$V = \frac{\varphi}{3} (3R^2h + 3r(H^2 - t^2) - (H^3 - t^3) \pm \pm 3R[P_t(r-t) - P_H(r-H) + ct^2])$ $x_0 = \frac{\varphi}{12} \cdot \frac{1}{V} (6R^2(H^2 - t^2) + 8r(H^3 - t^3) - 3(H^4 - t^4) \pm 4R \times [P_t(3r^2 + rt - 2t^2) - P_H(3r^2 + rH - 2H^2) + 3ct^3]) - t$ $y_0 = \frac{\sin \varphi}{12} \cdot \frac{1}{V} \times \times \{8R[R^2h + 3r(H^2 - t^2) - (H^3 - t^3)] \pm \pm [P_t(12R^2(r-t) + r^2(3r+t) - 2t^2(3r-t)) - P_H(12R^2(r-H) + r^2(3r+H) - 2H^2(3r-H)) + 3ct^3(4R^2 + r^2)]\}$ $z_0 = (R \pm P_H) \sin \varphi$	$J_{y_0Oz_0} = m \left\{ \frac{\varphi}{60} \cdot \frac{1}{V} \{2[10R^2(H^3 - t^3) + + 15r(H^4 - t^4) - 6(H^5 - t^5)] \pm \pm 5RP_t[5r^2(3r+t) + 2t^2(r-3t)] \mp \mp 5RP_H[5r^2(3r+H) + 2H^2(r-3H)] \pm \pm 75cRr^4\} - (x_0 + t)^2 \right\}$ $J_{z_0Ox_0} = m [(2\varphi + \sin 2\varphi) T^2 - y_0^2]$ $I_{x_0Oy_0} = (2\varphi - \sin 2\varphi) m T^2$ $J_{x_0y_0} = m \left\{ \frac{\sin \varphi}{60} \cdot \frac{1}{V} \times \times \{10R[2R^2(H^2 - t^2) + 8r(H^3 - t^3) - - 3(H^4 - t^4)] \pm P_t[5r(4R^2 + r^2) \times \times (3r+t) - 2t^2(20R^2 - r^2)] - - 2t^3(11r-4t)] \mp P_H[5r(4R^2 + r^2) \times \times (3r+H) - 2H^2(20R^2 - r^2) - - 2H^3(11r-4H)] \pm 15cR^3(4R^2 + r^2)\} - - (x_0 + t) y_0 \right\}$
 <p>б)</p>		

Продолжение табл. 4

Эскиз и номер элемента	Объем, координаты центра масс	Моменты инерции относительно центральных плоскостей (вспомогательные величины) Главные центральные моменты инерции см. табл. 25, стр. 127
	<p>В формулах $t = H - h$; $P_t = \sqrt{t(2r - t)}$; $P_H = \sqrt{H(2r - H)}$;</p> $c = \arcsin \frac{r-t}{r} - \arcsin \frac{r-H}{r}; \quad T^2 = \frac{1}{240V} \times$ $\times \{2[15R^4h + 90R^2r(H^2 - t^2) - 10(3R^2 - 2r^2)(H^3 - t^3) -$ $- 15r(H^4 - t^4) + 3(H^5 - t^5)] \pm 15R[P_t[4R^2(r-t) + r^2(3r+t) -$ $- 2t^2(3r-t)] - P_H[4R^2(r-H) + r^2(3r+H) - 2H^2(3r-H)] +$ $+ cr^2(4R^2 + 3r^2)\};$ <p>верхний знак относится к элементу а, нижний — к элементу б.</p> <p>Подставляя значения параметров H и h, указанные в «Предметно-иллюстрированном оглавлении», можно получить формулы для соответствующих элементов кругового тороида (см. стр. 16—17). Элементы при $H = r + \frac{h}{2}$ и $H = h = 2r$ относятся к элементам II типа (см. табл. 25, стр. 127), остальные — к элементам I типа.</p> <p>Формулы для некоторых тел, полученные подстановкой значений параметров φ и R, приведены: при $\varphi = \pi$ на стр. 177 (элемент 33), при $R = 0$ (только для элемента а) на стр. 289 (элемент 144)</p>	

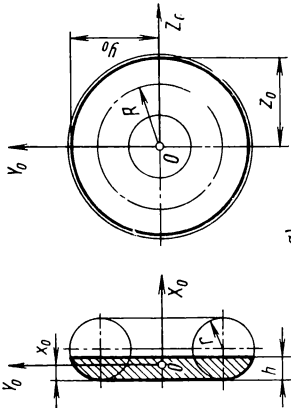
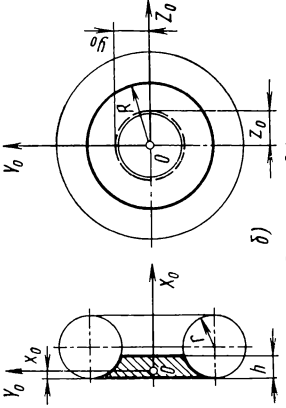
Продолжение табл. 4

Эскиз и номер элемента	Объем, координаты центра масс	Моменты инерции относительно центральных плоскостей (вспомогательные величины) Главные центральные моменты инерции см. табл. 25, стр. 127
<div data-bbox="278 1388 311 1421">III</div> <div data-bbox="278 1096 311 1226">Элемент 33</div> <div data-bbox="322 1015 638 1421"> </div>	$V = \frac{\pi}{3} \{ 3R^2h + 3r(H^2 - t^2) - (H^3 - t^3) \pm 3R[P_t(r - t) - P_H(r - H) + cr^2] \}$ $x_0 = \frac{\pi}{12} \cdot \frac{1}{V} \times \{ 6R^2(H^2 - t^2) + 8r(H^3 - t^3) - 3(H^4 - t^4) \pm 4R[P_t(3r^2 + rH - 2H^2) - P_H(3r^2 + rH - 2H^2) + 3cr^2] \} - t$ $y_0 = z_0 = R \pm P_H$	$I_{Y_0OZ_0} = m \left\{ \frac{\pi}{60} \cdot \frac{1}{V} \{ 2[10R^2(H^3 - t^3) + 15r(H^4 - t^4) - 6(H^5 - t^5)] \pm 5RP_t[5r^2(3r + t) + 2t^2(r - 3t)] \mp 5RP_H[5r^2(3r + H) + 2H^2(r - 3H)] \pm 75cRr^4 \} - (x_0 + t)^2 \right\}$ $I_{Z_0OX_0} = I_{X_0OY_0} = \frac{\pi}{120} m \frac{1}{V} \times \{ 2[15R^4h + 90R^2r(H^2 - t^2) - 10(3R^2 - 2r^2)(H^3 - t^3) - 15r(H^4 - t^4) + 3(H^5 - t^5)] \pm 15R[P_t[4R^2(r - t) + r^2(3r + t) - 2t^2(3r - t)] - P_H[4R^2(r - H) + r^2(3r + H) - 2H^2(3r - H)] + cr^2(4R^2 + 3r^2)] \}$
<div data-bbox="278 1242 311 1274">III</div> <div data-bbox="278 1096 311 1226">Элемент 34</div> <div data-bbox="322 1015 638 1421"> </div>	$V = \frac{\pi}{3} \{ 3R^2h + 3r(H^2 - t^2) - (H^3 - t^3) \pm 3R[P_t(r - t) - P_H(r - H) + cr^2] \}$ $x_0 = \frac{\pi}{12} \cdot \frac{1}{V} \times \{ 6R^2(H^2 - t^2) + 8r(H^3 - t^3) - 3(H^4 - t^4) \pm 4R[P_t(3r^2 + rH - 2H^2) - P_H(3r^2 + rH - 2H^2) + 3cr^2] \} - t$ $y_0 = z_0 = R \pm P_H$	$I_{Y_0OZ_0} = m \left\{ \frac{\pi}{60} \cdot \frac{1}{V} \{ 2[10R^2(H^3 - t^3) + 15r(H^4 - t^4) - 6(H^5 - t^5)] \pm 5RP_t[5r^2(3r + t) + 2t^2(r - 3t)] \mp 5RP_H[5r^2(3r + H) + 2H^2(r - 3H)] \pm 75cRr^4 \} - (x_0 + t)^2 \right\}$ $I_{Z_0OX_0} = I_{X_0OY_0} = \frac{\pi}{120} m \frac{1}{V} \times \{ 2[15R^4h + 90R^2r(H^2 - t^2) - 10(3R^2 - 2r^2)(H^3 - t^3) - 15r(H^4 - t^4) + 3(H^5 - t^5)] \pm 15R[P_t[4R^2(r - t) + r^2(3r + t) - 2t^2(3r - t)] - P_H[4R^2(r - H) + r^2(3r + H) - 2H^2(3r - H)] + cr^2(4R^2 + 3r^2)] \}$

Продолжение табл. 4

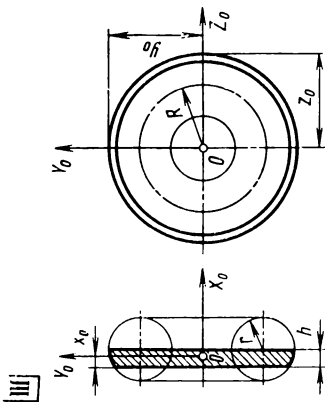
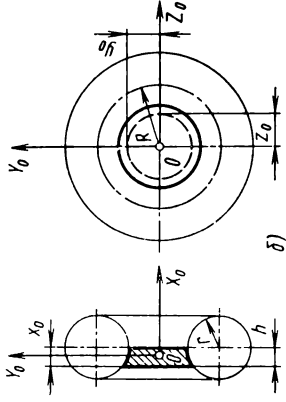
Эскиз и номер элемента	Объем, координаты центра масс	Моменты инерции относительно центральных плоскостей (вспомогательные величины) Главные центральные моменты инерции см. табл. 25, стр. 127				
В формулах $\bar{t} = \sqrt{H-h}$; $P_t = \sqrt{t(2r-t)}$; $P_H = \sqrt{H(2r-H)}$; $c = \arcsin \frac{r-t}{r} - \arcsin \frac{r-H}{r}$; $\frac{r-H}{r}$; Верхний знак относится к элементу a , нижний — к элементу b . Формулы для некоторых тел, полученные подстановкой значений параметров H , h и R , приведены на следующих страницах:						
Параметры	$H=h$	$H=r$	$H = r + \frac{h}{2}$	$H=h=r$	$H=h=2r$	$R=0^*$
Страница	179	180	181	182	183	292
Элемент	34	35	36	37	38	147
* Только для элемента a .						

Продолжение табл. 4

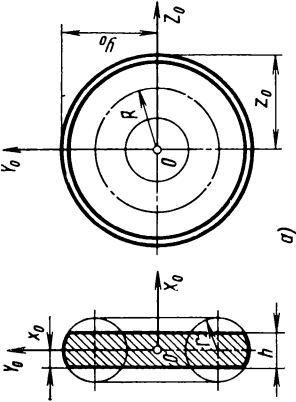
Эскиз и номер элемента	Объем, координаты центра масс	Моменты инерции относительно центральных плоскостей (вспомогательные величины) Главные центральные моменты инерции см. табл. 25, стр. 127
<div data-bbox="267 1404 300 1437" style="border: 1px solid black; padding: 2px; display: inline-block;">III</div> <div style="display: flex; justify-content: space-around; align-items: center;">   </div> <div style="text-align: right; margin-top: 10px;">Элемент 34</div>	$V = \frac{\pi}{3} \times \{ h [3 (R^2 + rh) - h^2] \pm 3R [cr^2 - P (r - h)] \}$ $x_0 = \frac{\pi}{12} \cdot \frac{1}{V} \times \{ h^2 [2 (3R^2 + 4rh) - - 3h^2] \pm 4R [3cr^3 - - P (3r^2 + rh - 2h^2)] \}$ $y_0 = z_0 = R \pm P$	$I_{Y_0 Z_0} = m \left\{ \frac{\pi}{6} \cdot \frac{1}{V} \times \right. \\ \times \{ 2h^3 [5 (2R^2 + 3rh) - 6h^2] \pm \\ \pm 5RP [5r^2 (3r + h) + 2h^2 (r - 3h)] \pm \\ \left. \pm 75cRr^4 \} - x_0^2 \right\}$ $I_{Z_0 O X_0} = I_{X_0 O Y_0} = \frac{\pi}{120} m \frac{1}{V} \times \\ \times \{ 2h [15R^2 (R^2 + 6rh) - \\ - 10h^2 (3R^2 - 2r^2) - 3h^2 (5r - h)] \pm \\ \pm 15R \{ cr^2 (4R^2 + 3r^2) - \\ - P [4R^2 (r - h) + r^2 (3r + h) - \\ - 2h^2 (3r - h)] \} \}$

В формулах $P = \sqrt{h(2r - h)}$; $c = \arccos \frac{r - h}{r}$; верхний знак относится к элементу а, нижний — к элементу б

Продолжение табл. 4

Эскиз и номер элемента	Объем, координаты центра масс	Моменты инерции относительно центральных плоскостей (вспомогательные величины) Главные центральные моменты инерции см. табл. 25, стр. 127
<div data-bbox="281 1386 321 1419" style="border: 1px solid black; padding: 2px; display: inline-block;">III</div>  <div data-bbox="604 1240 626 1273" style="text-align: center;">a)</div>	$V = \frac{\pi}{3} \times \{ h [3 (R^2 + r^2) - h^2] \pm 3R (Ph + cr^2) \}$ $x_0 = \frac{\pi}{12} \cdot \frac{1}{V} \times \{ h [2 (2r - h) (3R^2 + r^2) - h^2 (4r - 3h)] \pm 4R [P (2r^2 + 3rh - 2h^2) - (2 - 3c) r^3] - (r - h) y_0 = z_0 = R \pm r$	$I_{Y_0 O Z_0} = m \left\{ \frac{\pi}{60} \cdot \frac{1}{V} \times \right. \\ \times \{ 2h [30r (r - h) (R^2 + r^2) + 5h^2 (2R^2 + 3rh) - 6h^4] \pm \\ \left. \pm 5RP [16r (r^2 - h^2) + 3h (3r^2 + 2h^2)] \mp \right. \\ \left. \mp 5 (16 - 15c) R r^4 \} - (x_0 + r - h)^2 \right\}$ $I_{Z_0 O X_0} = I_{X_0 O Y_0} = \frac{\pi}{120} m \frac{1}{V} \times \\ \times \{ 2h [15R^2 (R^2 + 6r^2) - 10h^2 (3R^2 + r^2) + 3 (5r^4 + h^4)] \pm \\ \pm 15R [Ph (4R^2 + 5r^2 - 2h^2) + cr^2 (4R^2 + 3r^2)] \}$
<div data-bbox="637 1321 921 1419">  <div data-bbox="899 1240 921 1273" style="text-align: center;">б)</div> </div> <div data-bbox="932 1159 954 1289" style="text-align: center;">Элемент 35</div> <div data-bbox="812 207 899 948" style="text-align: center;"> <p>В формулах $P = \sqrt{r^2 - h^2}$; $c = \arcsin \frac{h}{r}$; верхний знак относится к элементу а, нижний — к элементу б</p> </div>		

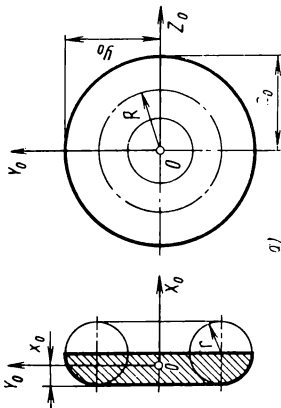
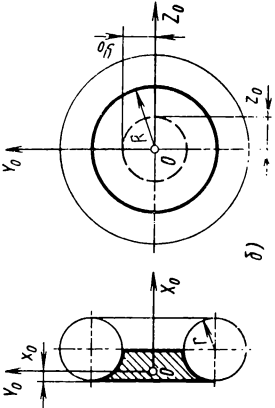
Продолжение табл. 4

Эскиз и номер элемента	Объем, координаты центра масс	Моменты инерции относительно центральных плоскостей (вспомогательные величины) Главные центральные моменты инерции см. табл. 25, стр. 127
<div data-bbox="277 1386 314 1419" style="border: 1px solid black; padding: 2px; display: inline-block;">III</div>  <p style="text-align: right;">a)</p>	$V = \frac{\pi}{12} \times \{ h [12 (R^2 + r^2) - h^2] \pm 6R (Ph + 4cr^2) \}$ $x_0 = \frac{1}{2} h$ $y_0 = z_0 = R \pm r$	$I_{Y_0OZ_0} = \frac{\pi}{240} m \frac{1}{V} \times$ $\times \{ h^3 [20 (R^2 + r^2) - 3h^2] \pm$ $\pm 15R [Ph (2r^2 - h^2) - 8cr^4] \}$ $I_{Z_0OX_0} = I_{X_0OY_0} = \frac{\pi}{960} m \frac{1}{V} \times$ $\times \{ 40h [3R^2 [2R^2 + 6r^2] - h^2] +$ $+ r^2 (6r^2 - h^2) \} + 3h^5 \pm$ $\pm 30R [Ph [2 (4R^2 + 5r^2) - h^2] +$ $+ 8cr^2 (4R^2 + 3r^2) \} \}$

В формулах $P = \sqrt{4r^2 - h^2}$, $c = \arcsin \frac{h}{2r}$; верхний знак относится к элементу a , нижний — к элементу b

Элемент 36

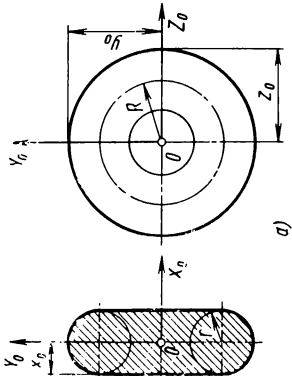
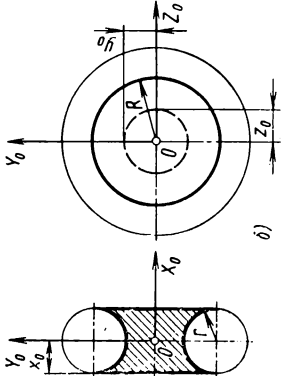
Продолжение табл. 4

Эскиз и номер элемента	Объем, координаты центра масс	Моменты инерции относительно центральных плоскостей (вспомогательные величины) Главные центральные моменты инерции см. табл. 25, стр. 127
<div data-bbox="274 1386 306 1419" style="border: 1px solid black; padding: 2px; display: inline-block;">III</div> <div style="display: flex; justify-content: space-around; align-items: center;">   </div>	$V = \frac{\pi}{6} r [2 (3R^2 + 2r^2) \pm \pm 3\pi Rr] = \begin{cases} K_1 R^3 \\ K_1' r^3 \end{cases}$ $x_0 = \frac{\pi}{12} \cdot \frac{r^2}{V} [(6R^2 + 5r^2) \pm \pm 2 (3\pi - 4) Rr] = \begin{cases} K_2 R \\ K_2' r \end{cases}$ $y_0 = z_0 = R \pm r$	$I_{Y_0 O Z_0} = m \left\{ \frac{\pi}{120} \cdot \frac{r^3}{V} \times \times [4 (10R^2 + 9r^2) \pm 5 (15\pi - 32) Rr] - - x_0^2 \right\} = \begin{cases} K_3 m R^2 \\ K_3' m r^2 \end{cases}$ $I_{Z_0 O X_0} = I_{X_0 O Y_0} = \frac{\pi}{240} m \frac{r}{V} \times \times [4 [15R^2 (R^2 + 4r^2) + 8r^4] \pm \pm 15\pi Rr (4R^2 + 3r^2)] = \begin{cases} K_4 m R^2 \\ K_4' m r^2 \end{cases}$

В формулах верхний знак относится к элементу а, нижний — к элементу б. Коэффициенты $K_i = f \left(p = \frac{r}{R} \right)$ для $r \leq R$ и $K_i' = f \left(p' = \frac{R}{r} \right)$ для $r \geq R$ приведены в табл. 3 (см. стр. 480)

Элемент 37

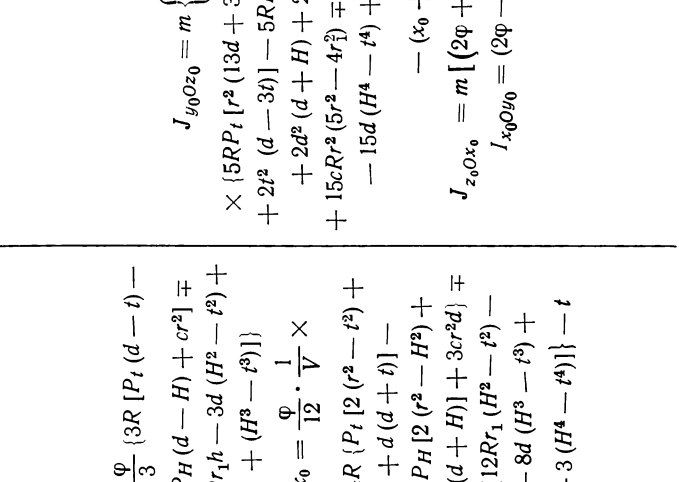
Продолжение табл. 4

Эскиз и номер элемента	Объем, координаты центра масс	Моменты инерции относительно центральных плоскостей (вспомогательные величины) Главные центральные моменты инерции см. табл. 25, стр. 127
<div data-bbox="274 1386 314 1419" style="border: 1px solid black; padding: 2px; display: inline-block;">iii</div> 	$V = \frac{\pi}{3} r [2 (3R^2 + 2r^2) \pm \pm 3\pi Rr] = \begin{cases} 2K_1 R^3 \\ 2K'_1 r^3 \end{cases}$ $x_0 = r$ $y_0 = z_0 = R \pm r$	$I_{Y_0 Z_0} = \frac{\pi}{60} m \frac{r^3}{V} [8 (5R^2 + 2r^2) \pm \pm 15\pi Rr] = \begin{cases} K_5 m R^2 \\ K'_5 m r^2 \end{cases}$ $I_{Z_0 O X_0} = I_{X_0 O Y_0} = \frac{\pi}{120} m \frac{r}{V} \times \times \{ 4 [15R^2 (R^2 + 4r^2) + 8r^4] \pm \pm 15\pi Rr (4R^2 + 3r^2) \} = \begin{cases} K_4 m R^2 \\ K'_4 m r^2 \end{cases}$
	<p>В формулах верхний знак относится к элементу а, нижний — к элементу б.</p> <p>Коэффициенты $K_i = f\left(p = \frac{r}{R}\right)$ для $r \leq R$ и $K'_i = f\left(p' = \frac{R}{r}\right)$ для $r \geq R$ приведены в табл. 3 (см. стр. 480)</p>	

Элемент 38

Продолжение табл. 4

ЭЛЕМЕНТЫ ОБЪЕМА ТОРА

Эскиз и номер элемента	Объем, координаты центра масс	Моменты инерции относительно центральных плоскостей (вспомогательные величины) Главные центральные моменты инерции см. табл. 25, стр. 127
<div data-bbox="289 191 327 412"> <p>Элемент 39</p>  </div>	$V = \frac{\varphi}{3} \{ 3R [P_t (d - t) - P_H (d - H) + cr^2] \mp [6Rr_1 h - 3d (H^2 - t^2) + (H^3 - t^3)] \}$ $x_0 = \frac{\varphi}{12} \cdot \frac{1}{V} \times$ $\times \{ 4R \{ P_t [2 (r^2 - t^2) + d (d + t)] - P_H [2 (r^2 - H^2) + d (d + H)] + 3cr^2 d \} \mp [12Rr_1 (H^2 - t^2) - 8d (H^3 - t^3) + 3 (H^4 - t^4)] \} - t$	$J_{y_0 z_0} = m \left\{ \frac{\varphi}{60} \cdot \frac{1}{V} \times \right.$ $\times \{ 5R P_t [r^2 (13d + 3t) + 2d^2 (d + t) + 2t^2 (d - 3t)] - 5R P_H [r^2 (13d + 3H) + 2d^2 (d + H) + 2H^2 (d - 3H)] + 15cRr^2 (5r^2 - 4t^2) \mp 2 [20Rr_1 (H^3 - t^3) - 15d (H^4 - t^4) + 6 (H^5 - t^5)] \} -$ $\left. - (x_0 + t)^2 \right\}$ $J_{z_0 x_0} = m \left\{ (2\varphi + \sin 2\varphi) T^2 - y_0^2 \right\}$ $I_{x_0 y_0} = (2\varphi - \sin 2\varphi) m T^2$

Продолжение табл. 4

Эскиз и номер элемента	Объем, координаты центра масс	Моменты инерции относительно центральных плоскостей (вспомогательные величины) Главные центральные моменты инерции см. табл. 25, стр. 127
	$y_0 = \frac{\sin \varphi}{12} \cdot \frac{1}{V} \times$ $\times \{ P_t [(12R^2 + 5r^2)(d-t) -$ $- 2d^3(d-3t) -$ $- 2t^2(3d-t)] -$ $- P_H [(12R^2 + 5r^2)(d-H) -$ $- 2d^3(d-3H) -$ $- 2H^2(3d-H)] +$ $+ 3cr^2(4R^2 + r^2) \mp$ $\mp 8\{r_1 h(3R^2 + r_1^2) -$ $- R[3d(H^2 - t^2) -$ $- (H^3 - t^3)] \}$ $z_0 =$ $= [R \pm \sqrt{H(2r-H)}] \sin \varphi$	$J_{x_0 y_0} = m \left\{ \frac{\sin \varphi}{60} \cdot \frac{1}{V} \{ P_t [5(4R^2 + r^2) \times$ $\times (3r^2 - r_1^2) - 2r_1^4 +$ $+ td(20R^2 + 5r^2 + 2r_1^2) -$ $- 2t^2(20R^2 - r^2 + 9r_1^2) -$ $- 2t^3(11d - 4t)] - P_H [5(4R^2 + r^2) \times$ $\times (3r^2 - r_1^2) - 2r_1^4 +$ $+ Hd(20R^2 + 5r^2 + 2r_1^2) -$ $- 2H^2(20R^2 - r^2 + 9r_1^2) -$ $- 2H^2(11d - 4H)] + 15cr^2d(4R^2 + r^2) \mp$ $\mp 10[2r_1(3R^2 + r_1^2)(H^2 - t^2) -$ $- 8Rd(H^3 - t^3) + 3R(H^4 - t^4)] \}$ $- (x_0 + t)y_0 \}$

В формулах $t = H - h$; $d = \sqrt{r^2 - r_1^2}$; $P_t = \sqrt{r_1^2 + t(2d - t)}$;

$P_H = \sqrt{r_1^2 + H(2d - H)}$; $c = \arcsin \frac{d-t}{r} - \arcsin \frac{d-H}{r}$;


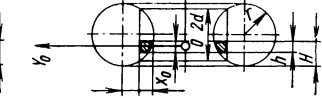
Продолжение табл. 4

Эскиз и номер элемента	Объем, координаты центра масс	Моменты инерции относительно центральных плоскостей (вспомогательные величины) Главные центральные моменты инерции см. табл. 25, стр. 127			
$T^2 = \frac{1}{240V} \{ 15R \{ P_t [(4R^2 + 5r^2) (d - t) - 2d^2 (d - 3t) -$ $- 2t^2 (3d - t)] - P_H [(4R^2 + 5r^2) (d - H) - 2d^2 (d - 3H) -$ $- 2H^2 (3d - H)] + cr^2 (4R^2 + 3r^2) \} \mp$ $\mp 2 [60Rr_1h (R_w^2 + r_1^2) - 30d (3R^2 + r_1^2) (H^2 - t^2) +$ $+ 10 (3R^2 - 2r^2 + 3r_1^2) (H^3 - t^3) + 15d (H^4 - t^4) - 3 (H^5 - t^5)] \};$ <p>верхний знак относится к элементу <i>a</i>, нижний — к элементу <i>b</i>. Подставляя значения параметров <i>H</i> и <i>h</i>, указанные в «Предметно-иллюстрированном оглавлении», можно получить формулы для соответствующих элементов тора (см. стр. 17—18). Элементы при $H = d + \frac{h}{2}$ и $H = h = 2d$ относятся к элементам {II типа (см. табл. 25, стр. 127), остальные — к элементам I типа. Формулы для некоторых тел, полученные подстановкой значений параметров φ, r_1 и <i>R</i>, приведены на следующих страницах:</p>					
Параметры	$\varphi=\pi$	$r_1=0$	$R=-r_1=-(r-b)$	$R=0^*$	$R=r_1=0^*$
Страница	187	194	247	285	289
Элемент	40	46	103	140	144

* Только для элемента *a*.

* Только для элемента *a*.

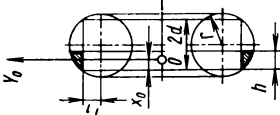
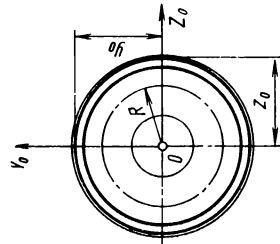
Продолжение табл. 4

Эскиз и номер элемента	Объем, координаты центра масс	Моменты инерции относительно центральных плоскостей (вспомогательные величины) Главные центральные моменты инерции см. табл. 25, стр. 127
<div data-bbox="270 1382 303 1414">III</div> 	$V = \frac{\pi}{3} \{ 3R [P_t (d - t) - P_H (d - H) + cr^2] \mp [6Rr_1 h - 3d (H^2 - t^2) + (H^3 - t^3)] \}$ $x_0 = \frac{\pi}{12} \cdot \frac{1}{V} \times$ $\times \{ 4R \{ P_t [2 (r^2 - t^2) + d (d + t)] - P_H [2 (r^2 - H^2) + d (d + H)] + 3cr^2 d \} \mp [12Rr_1 (H^2 - t^2) - 8d (H^3 - t^3) + 3 (H^4 - t^4)] \} - t$ $y_0 = z_0 = R \pm \sqrt{H (2r - H)}$	$I_{Y_0 Z_0} = m \left\{ \frac{\pi}{60} \cdot \frac{1}{V} \times \right.$ $\times \{ 5R P_t [r^2 (13d + 3t) + 2d^2 (d + t) + 2t^2 (d - 3t)] - 5R P_H [r^2 (13d + 3H) + 2d^2 (d + H) + 2H^2 (d - 3H)] +$ $+ 15c R r (5r^2 - 4r_1^2) \mp$ $\mp 2 [20Rr_1 (H^3 - t^3) - 15d (H^4 - t^4) + 6 (H^5 - t^5)] \} - (x_0 + t)^2 \Big\} ,$ $I_{Z_0 O X_0} = I_{X_0 O Y_0} = \frac{\pi}{120} m \frac{1}{V} \times$ $\times \{ 15R \{ R_t [(4R^2 + 5r^2) (d - t) - 2d^2 (d - 3t) - 2t^2 (3d - t)] -$ $- P_H [(4R^2 + 5r^2) (d - H) - 2d^2 (d - 3H) - 2H^2 (3d - H)] +$ $+ cr^2 (4R^2 + 3r^2) \} \mp$ $\mp 2 [60Rr_1 h (R^2 + r_1^2) - 30d (3R^2 + r_1^2) \times$ $\times (H^2 - t^2) + 10 (3R^2 - 2r^2 + 3r_1^2) (H^3 - t^3) + 15d (H^4 - t^4) -$ $- 3 (H^5 - t^5)] \Big\}$
	<p>Элемент 40</p>	

Продолжение табл. 4

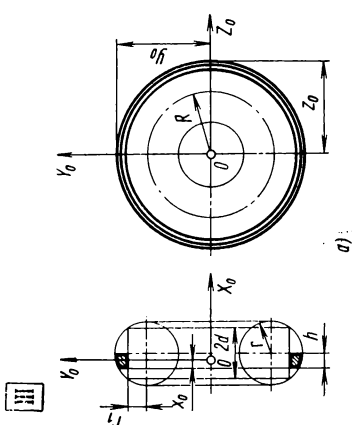
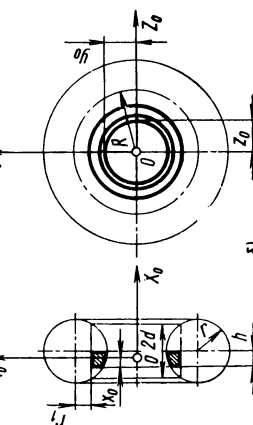
Эскиз и номер элемента	Объем, координаты центра масс	Моменты инерции относительно центральных плоскостей (вспомогательные величины) Главные центральные моменты инерции см. табл. 25, стр. 127			
<p>В формулах $t = H - h$; $d = \sqrt{r^2 - r_1^2}$; $P_t = \sqrt{r_1^2 + t(2d - t)}$; $P_H = \sqrt{r_1^2 + H(2d - H)}$; $c = \arcsin \frac{d - t}{r} - \arcsin \frac{d - H}{d}$; верхний знак относится к элементу a, нижний — к элементу b. Формулы для некоторых тел, полученные подстановкой значений параметров H, h, r_1 и R, приведены на следующих страницах:</p>					
Параметры	$H = h$	$H = d$	$H = d + \frac{h}{2}$	$H = h = d$	$H = h = 2d$
Страница	189	190	191	192	193
Элемент	41	42	43	44	45
Параметры	$r_1 = 0$	$R = -r_1 =$ $= -(r - b)^*$	$R = 0^*$	$R = r_1 = 0^*$	
Страница	196	250	287	292	
Элемент	47	104	141	147	
* Только для элемента a .					

Продолжение табл. 4

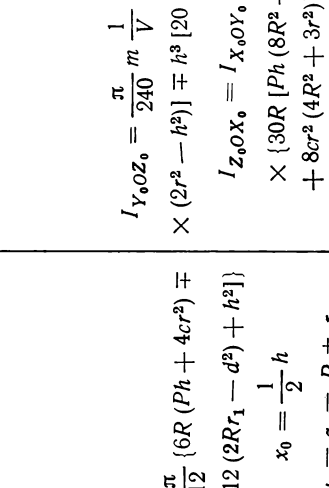
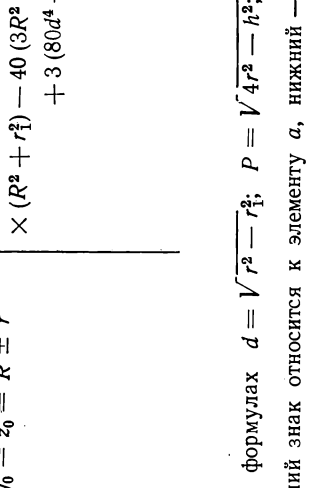
Эскиз и номер элемента	Объем, координаты центра масс	Моменты инерции относительно центральных плоскостей (аспектные величины) Главные центральные моменты инерции см. табл. 25, стр. 127
<div data-bbox="267 1388 300 1429" style="border: 1px solid black; padding: 2px; display: inline-block;">III</div> <div style="display: flex; justify-content: space-around; align-items: center;">   </div>	$V = \frac{\pi}{3} \{ 3R [r_1 d - P \times (d-h) + cr^2] \mp h [6Rr_1 - h (3d-h)] \}$ $x_0 = \frac{\pi}{12} \cdot \frac{1}{V} \{ 4R [r_1 (3r^2 - r_1^2) - P [2 (r^2 - h^2) + d (d+h)] + 3cr^2 d] \mp h^2 [12Rr_1 - h \times (8d - 3h)] \}$ $y_0 = z_0 = R \pm \sqrt{h (2r - h)}$	$I_{y_0 z_0} = m \left\{ \frac{\pi}{60} \cdot \frac{1}{V} [5Rr_1 d (15r^2 - 2r_1^2) - 5RP [r^2 (13d + 3h) + 2d^2 (d+h) + 2h^2 (d-3h)] + 15cr^2 r^2 (5r^2 - 4r_1^2) \mp 2h^3 [20Rr_1 - 3h (5d-2h)] - x_0^2] \right\}$ $I_{z_0 x_0} = I_{x_0 y_0} = \frac{\pi}{120} m \frac{1}{V} \times \{ 15R [r_1 d (4R^2 + 3r^2 + 2r_1^2) - P [(4R^2 + 5r^2) (d-h) - 2d^2 (d-3h) - 2h^2 (3d-h)] + cr^2 (4R^2 + 3r^2)] \mp 2h [60Rr_1 (R^2 + r_1^2) - 30dh (3R^2 + r_1^2) + 10h^2 (3R^2 - 2r^2 + 3r_1^2) + 3h^3 (5d-h)] \}$
<p>В формулах $d = \sqrt{r^2 - r_1^2}$; $P = \sqrt{r_1^2 + h (2d - h)}$; $c = \arcsin \frac{d}{r} - \arcsin \frac{d-h}{r}$; верхний знак относится к элементу а, нижний — к элементу б</p>		

Элемент 41

Продолжение табл. 4

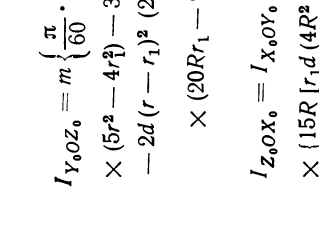
Эскиз и номер элемента	Объем, координаты центра масс	Моменты инерции относительно центральных плоскостей (аспотагальные величины) Главные центральные моменты инерции см. табл. 25, стр. 127
 <p>а)</p>	$V = \frac{\pi}{3} (3R (Ph + cr^2) \mp h [3 (2Rr_1 - d^2) + h^2])$ $x_0 = \frac{\pi}{12} \cdot \frac{1}{V} \times$ $\times \{ 4R [P (2 (r^2 - h^2) + 3hd) - r^2 (2r - 3cd)] \mp h [6 (2d - h) (2Rr_1 - d^2) + h^2 (4d - 3h)] \} - (d - h)$ $y_0 = z_0 = R \pm r$	$I_{Y_0OZ_0} = m \left\{ \frac{\pi}{60} \cdot \frac{1}{V} \{ 5RP [16d (r^2 - h^2) + 3h (3r^2 - 4r_1^2 + 2h^2)] - 5Rr^2 \times \right.$ $\times [16rd - 3c (5r^2 - 4r_1^2)] \mp 2h [20Rr_1 (3d^2 - 3dh + h^2) - 30d^3 \times$ $\times (d - h) - 3h^3 (5d - 2h)] \} - (x_0 + d - h)^2 \Big\}$ $I_{Z_0OY_0} = I_{X_0OY_0} = \frac{\pi}{120} m \cdot \frac{1}{V} \times$ $\times \{ 15R [Ph (4R^2 + 5r^2 - 2h^2) + cr^2 (4R^2 + 3r^2)] \mp 2h [60Rr_1 (R^2 + r_1^2) -$ $- 10 (3d^2 - h^2) (3R^2 + r^2) + 3 (5d^4 - h^4)] \}$
 <p>б)</p>	<p>Элемент 42</p>	<p>В формулах $d = \sqrt{r^2 - r_1^2}$; $P = \sqrt{r^2 - h^2}$; $c = \arcsin \frac{h}{r}$; верхний знак относится к элементу а, нижний — к элементу б</p>

Продолжение табл. 4

Эскиз и номер элемента	Объем, координаты центра масс	Моменты инерции относительно центральных плоскостей (асимптотические величины) Главные центральные моменты инерции см. табл. 25, стр. 127
<div data-bbox="273 1380 311 1429">III</div> 	$V = \frac{\pi}{12} \{6R (Ph + 4cr^2) \mp h [12 (2Rr_1 - d^2) + h^2]\}$ $x_0 = \frac{1}{2} h$ $y_0 = z_0 = R \pm r$	$I_{Y_0OZ_0} = \frac{\pi}{240} m \frac{1}{V} \{15R [8cr^4 - Ph \times (2r^2 - h^2)] \mp h^3 [20 (2Rr_1 - d^2) + 3h^2]\}$ $I_{Z_0OX_0} = I_{X_0OY_0} = \frac{\pi}{960} m \frac{1}{V} \times \{30R [Ph (8R^2 + 10r^2 - h^2) + 8cr^2 (4R^2 + 3r^2)] \mp h [960Rr_1 \times (R^2 + r_1^2) - 40 (3R^2 + r^2) (12d^2 - h^2) + 3 (80d^4 - h^4)]\}$
		<p>В формулах $d = \sqrt{r^2 - r_1^2}$; $P = \sqrt{4r^2 - h^2}$; $c = \arcsin \frac{h}{2r}$; верхний знак относится к элементу а, нижний — к элементу б</p>

Элемент 43

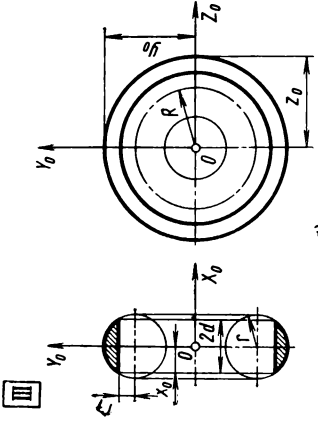
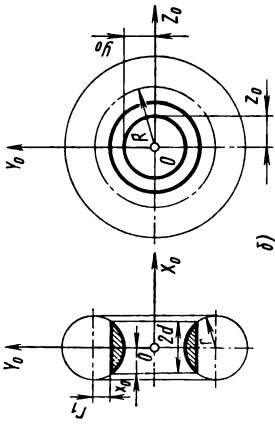
Продолжение табл. 4

Эскиз и номер элемента	Объем, координаты центра масс	Моменты инерции относительно центральных плоскостей (вспомогательные величины) Главные центральные моменты инерции см. табл. 25, стр. 127
 <p style="text-align: center;">а)</p>	$V = \frac{\pi}{3} [3R(r_1 d + c^2) \mp 2d(3Rr_1 - d^2)]$ $x_0 = \frac{\pi}{12} \cdot \frac{1}{V} \{4R[3cr^2 d - r_1(r - r_1)] \mp d^2 \times (12Rr_1 - 5d^2)\}$ $y_0 = z_0 = R \pm r$	$I_{Y_0 Z_0} = m \left\{ \frac{\pi}{60} \cdot \frac{1}{V} \{5R[3cr^2 \times (5r^2 - 4r_1^2) - 3r^2 d(4r - 3r_1) - 2d(r - r_1)^2(2r + r_1)] \mp 2d^3 \times (20Rr_1 - 9d^2)\} - x_0^2 \right\}$ $I_{Z_0 O X_0} = I_{X_0 O Y_0} = \frac{\pi}{120} m \frac{1}{V} \times \{15R[r_1 d(4R^2 + 3r^2 + 2r_1^2) + cr^2(4R^2 + 3r^2)] \mp 8d[15Rr_1(R^2 + r_1^2) - d^2(15R^2 + 2r^2 + 3r_1^2)]\}$

В формулах $d = \sqrt{r^2 - r_1^2}$; $c = \arcsin \frac{d}{r}$; верхний знак относится к элементу а, нижний — к элементу б

Элемент 44

Продолжение табл. 4

Эскиз и номер элемента	Объем, координаты центра масс	Моменты инерции относительно центральных плоскостей (асимметричные величины) Главные центральные моменты инерции см. табл. 25, стр. 127
<div style="display: flex; justify-content: space-around; align-items: center;"> <div style="text-align: center;">  <p>а)</p> </div> <div style="text-align: center;">  <p>б)</p> </div> </div> <p style="text-align: right;">Элемент 45</p>	$V = \frac{2}{3} \pi [3R(r_1 d + cr^2) \mp 2d(3Rr_1 - d^2)]$ $x_0 = d$ $y_0 = z_0 = R \pm r$	$I_{Y_0 Z_0} = \frac{\pi}{30} m \frac{1}{V} \{15R[cr^4 + r_1 d \times (r^2 - 2r_1^2)] \mp 8d^3(5Rr_1 - d^2)\}$ $I_{Z_0 X_0} = I_{X_0 Y_0} = \frac{\pi}{60} m \frac{1}{V} \times \{15R[r_1 d(4R^2 + 3r^2 + 2r_1^2) + cr^2(4R^2 + 3r^2)] \mp 8d[15Rr_1(R^2 + r_1^2) - d^2(15R^2 + 2r^2 + 3r_1^2)]\}$

В формулах $d = \sqrt{r^2 - r_1^2}$; $c = \arcsin \frac{d}{r}$; верхний знак относится к элементу а, нижний — к элементу б

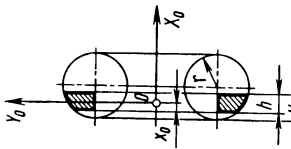
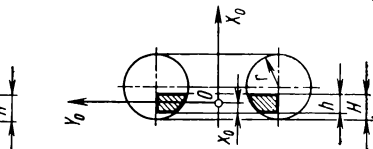
Продолжение табл. 4

Эскиз и номер элемента	Объем, координаты центра масс	Моменты инерции относительно центральных плоскостей (вспомогательные величины) Главные центральные моменты инерции см. табл. 25, стр. 127
<div style="display: flex; justify-content: space-around;"> <div style="text-align: center;"> 1 <p>Элемент 46</p> </div> <div style="text-align: center;"> </div> </div>	$V = \frac{\varphi}{3} \{ 3R [P_t(r-t) - P_H(r-H) + cr^2] \pm [3r(H^2 - t^2) - (H^3 - t^3)] \}$ $x_0 = \frac{\varphi}{12} \cdot \frac{1}{V} \{ 4R [P_t(3r^2 + rt - 2t^2) - P_H(3r^2 + rH - 2H^2) + 3cr^2] \pm [8r(H^3 - t^3) - 3 \times (H^4 - t^4)] \} - t$ $y_0 = \frac{\sin \varphi}{12} \cdot \frac{1}{V} \times \{ P_t [12R^2(r-t) + r^2(3r+t) - 2t^2(3r-t)] - P_H [12R^2(r-H) + r^2(3r+H) - 2H^2(3r-H)] + 3cr^2(4R^2 + r^2) \pm 8R \times [3r(H^2 - t^2) - (H^3 - t^3)] \}$ $z_0 = (R \pm P_H) \sin \varphi$	$J_{y_0 O z_0} = m \left\{ \frac{\varphi}{60} \cdot \frac{1}{V} \{ 5RP_t [5r^2(3r+t) + 2t^2(r-3t)] - 5RP_H [5r^2(3r+H) + 2H^2(r-3H)] + 75cr^4 \pm 6 [5r(H^4 - t^4) - 2(H^5 - t^5)] \} - (x_0 + t)^2 \right\}$ $J_{z_0 O x_0} = m \left[(2\varphi + \sin 2\varphi) m T^2 - y_0^2 \right]$ $I_{x_0 O y_0} = (2\varphi - \sin 2\varphi) m T^2$ $J_{x_0 \cdot y_0} = m \left\{ \frac{\sin \varphi}{60} \cdot \frac{1}{V} \{ P_t [5r(4R^2 + r^2) \times (3r+t) - 2t^2(20R^2 - r^2) - 2t^3 \times (11r-4t)] - P_H [5r(4R^2 + r^2) \times (3r+H) - 2H^2(20R^2 - r^2) - 2H^3 \times (11r-4H)] + 15cr^3(4R^2 + r^2) \pm 10R [8r(H^3 - t^3) - 3(H^4 - t^4)] \} - (x_0 + t) y_0 \right\}$

Продолжение табл. 4

Эскиз и номер элемента	Объем, координаты центра масс	Моменты инерции относительно центральных плоскостей (аспотагательные величины) Главные центральные моменты инерции см. табл. 25, стр. 127
	<p>В формулах $t = H - h$; $P_t = \sqrt{t(2r - t)}$; $P_H = \sqrt{H(2r - H)}$;</p> $c = \arcsin \frac{r-t}{r} - \arcsin \frac{r-H}{r}; \quad T^2 = \frac{1}{240V} \times$ $\times [15R (P_t \{4R^2 (r-t) + r^2 (3r+t) - 2t^2 (3r-t)\} - P_H \times$ $\times [4R^2 (r-H) + r^2 (3r+H) - 2H^2 (3r-H)] + cr^2 (4R^2 + 3r^2)] \pm$ $\pm 2 [90R^2 r (H^2 - t^2) - 10 (3R^2 - 2r^2) (H^3 - t^3) - 15r (H^4 - t^4) +$ $+ 3 (H^5 - t^5)];$ <p>верхний знак относится к элементу a, нижний — к элементу b</p> <p>Подставляя значения параметров H и h, указанные в «Предметно-иллюстрированном оглавлении», можно получить формулы для соответствующих элементов тора (см. стр. 19—20). Элементы при $H = r + \frac{h}{2}$ и $H = h = 2r$ относятся к элементам II типа (см. табл. 25, стр. 127), остальные — к элементам I типа.</p> <p>Формулы для некоторых тел, полученные подстановкой значений параметров φ и R, приведены: при $\varphi = \pi$ на стр. 196 (элемент 47), при $R = 0$ (только для элемента a) на стр. 289 (элемент 144)</p>	

Продолжение табл. 4

Эскиз и номер элемента	Объем, координаты центра масс	Моменты инерции относительно центральных плоскостей (вспомогательные величины) Главные центральные моменты инерции см. табл. 25, стр. 127
<div data-bbox="251 1388 289 1421" style="border: 1px solid black; padding: 2px; display: inline-block;">III</div> 	$V = \frac{\pi}{3} \{ 3R [P_t (r - t) - P_H (r - H) + cr^2] \pm [3r (H^2 - t^2) - (H^3 - t^3)] \}$ $x_0 = \frac{\pi}{12} \cdot \frac{1}{V} \{ 4R [P_t (3r^2 + rt - 2t^2) - P_H \times (3r^2 + rH - 2H^2) + 3cr^2] \pm [8r (H^3 - t^3) - 3 \times (H^4 - t^4)] \} - t$ $y_0 = z_0 = R \pm P_H$	$I_{y_0 z_0} = m \left\{ \frac{\pi}{60} \cdot \frac{1}{V} \{ 5R P_t [5r^2 (3r + t) + 2t^2 (r - 3t)] - 5R P_H [5r^2 (3r + H) + 2H^2 (r - 3H)] + 75cRr^4 \pm 6 [5r (H^4 - t^4) - 2 (H^5 - t^5)] \} - (x_0 + t)^2 \right\}$
	$I_{z_0 x_0} = I_{x_0 y_0} = \frac{\pi}{120} m \frac{1}{V} \times \{ 15R [P_t [4R^2 (r - t) + r^2 (3r + t) - 2t^2 (3r - t)] - P_H [4R^2 (r - H) + r^2 (3r + H) - 2H^2 (3r - H)] + cr^2 (4R^2 + 3r^2) \} \pm 2 [90R^2 r (H^2 - t^2) - 10 (3R^2 - 2r^2) (H^3 - t^3) - 15r (H^4 - t^4) + 3 (H^5 - t^5)] \}$	

Элемент 47

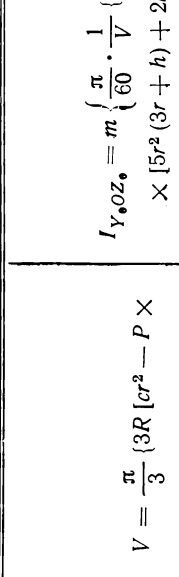
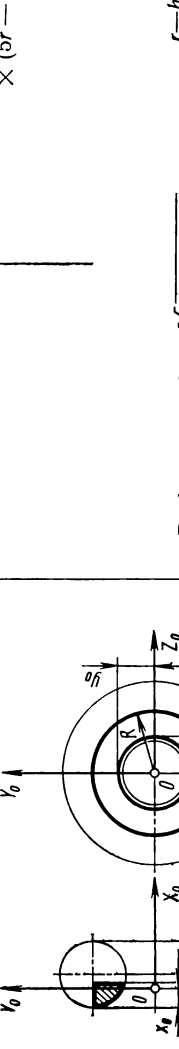
Продолжение табл. 4

Эскиз и номер элемента	Объем, координаты центра масс	Моменты инерции относительно центральных плоскостей (вспомогательные величины) Главные центральные моменты инерции см. табл. 25, стр. 127				
<p>В формулах $t = H - h$; $P_t = \sqrt{t(2r - t)}$; $P_H = \sqrt{H(2r - H)}$; $c = \arcsin \frac{r-t}{r} - \arcsin \frac{r-H}{r}$; верхний знак относится к элементу a, нижний — к элементу b. Формулы для некоторых тел, полученные подготовкой значений параметров H, h и R, приведены на следующих страницах:</p>						
Параметры	$H=h$	$H=r$	$H=r + \frac{h}{2}$	$H=h=r$	$H=h=2r$	$R=0^*$
Страница	198	199	200	201	202	292
Элемент	48	49	50	51	52	147

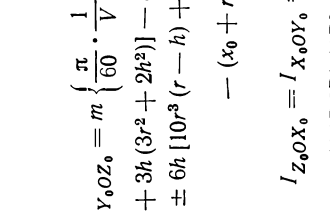
* Только для элемента a

* Только для элемента a

Продолжение табл. 4

Эскиз и номер элемента	Объем, координаты центра масс	Моменты инерции относительно центральных плоскостей (вспомогательные величины) Главные центральные моменты инерции см. табл. 25, стр. 127
 <p style="text-align: center;">a)</p>	$V = \frac{\pi}{3} \{ 3R [cr^2 - P \times (r-h)] \pm h^2 (3r-h) \}$ $x_0 = \frac{\pi}{12} \cdot \frac{1}{V} \{ 4R [3cr^3 - P (3r^2 + rh - 2h^2)] \pm \pm h^3 (8r - 3h) \}$ $y_0 = z_0 = R \pm P$	$I_{y_0 z_0} = m \left\{ \frac{\pi}{60} \cdot \frac{1}{V} \{ 75cR^4 - 5RP \times \right.$ $\times [5r^2 (3r+h) + 2h^2 (r-3h)] \pm \left. \pm 6h^4 (5r-2h) \} - x_0^2 \right\}$ $I_{z_0 x_0} = I_{x_0 y_0} = \frac{\pi}{120} m \frac{1}{V} \times$ $\times \{ 15R \{ cr^2 (4R^2 + 3r^2) - P [4R^2 (r-h) +$ $+ r^2 (3r+h) - 2h^2 (3r-h)] \} \pm 2h^2 \times$ $\times [90R^2 r - 10h (3R^2 - 2r^2) - 3h^2 \times$ $\times (5r-h)] \}$
 <p style="text-align: center;">б)</p>	<p style="text-align: center;">Элемент 48</p>	<p>В формулах $P = \sqrt{h(2r-h)}$; $c = \arccos \frac{r-h}{r}$; верхний знак относится к элементу а, нижний — к элементу б</p>

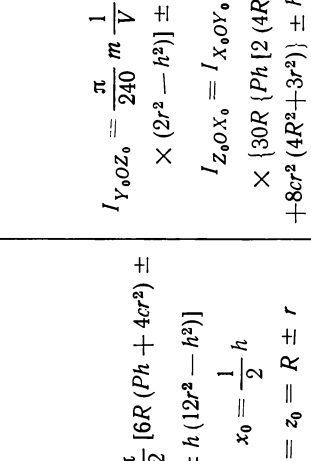
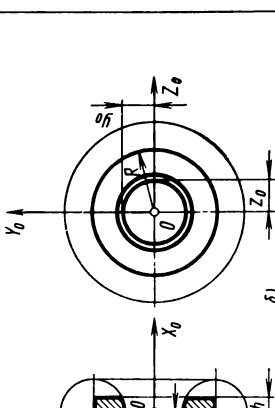
Продолжение табл. 4

Эскиз и номер элемента	Объем, координаты центра масс	Моменты инерции относительно центральных плоскостей (вспомогательные величины) Главные центральные моменты инерции см. табл. 25, стр. 127
<div data-bbox="278 414 322 462">III</div> 	$V = \frac{\pi}{3} [3R (Ph + c^2) \pm \pm h (3r^2 - h^2)]$ $x_0 = \frac{\pi}{12} \cdot \frac{1}{V} \{ 4R [P (2r^2 + 3rh - 2h^2) - (2 - 3c) r^3] \pm \pm h [6r^2 (2r - h) - h^2 \times \times (4r - 3h)] \} - (r - h)$ $y_0 = z_0 = R \pm r$	$I_{Y_0 O Z_0} = m \left\{ \frac{\pi}{60} \cdot \frac{1}{V} \{ 5RP [16r (r^2 - h^2) + + 3h (3r^2 + 2h^2)] - 5 (16 - 15c) R r^4 \pm \pm 6h [10r^3 (r - h) + h^3 (5r - 2h)] \} - - (x_0 + r - h)^2 \right\}$ $I_{Z_0 O X_0} = I_{X_0 O Y_0} = \frac{\pi}{120} m \frac{1}{V} \times \times [15R [Ph (4R^2 + 5r^2 - 2h^2) + + cr^2 (4R^2 + 3r^2)] \pm 2h [10 (3r^2 - h^2) \times \times (3R^2 + r^2) - 3 (5r^4 - h^4)]]$

В формулах $P = \sqrt{r^2 - h^2}$; $c = \arcsin \frac{h}{r}$; верхний знак относится к элементу а, нижний — к элементу б

Элемент 49

Продолжение табл. 4

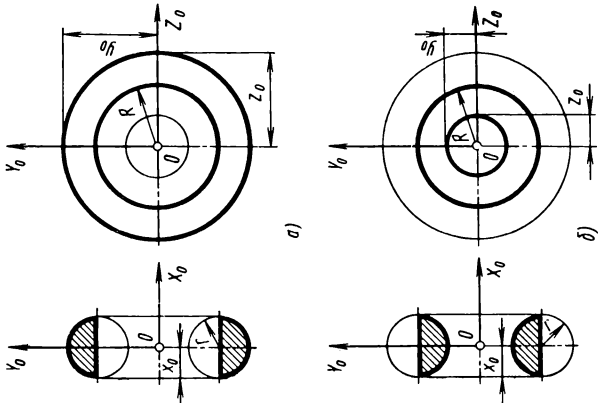
Эскиз и номер элемента	Объем, координаты центра масс	Моменты инерции относительно центральных плоскостей (вспомогательные величины) Главные центральные моменты инерции см. табл. 25, стр. 127
<div data-bbox="281 1393 321 1425">III</div>  <div data-bbox="595 1235 616 1260">a)</div>	$V = \frac{\pi}{12} [6R (Ph + 4cr^2) \pm \pm h (12r^2 - h^2)]$ $x_0 = \frac{1}{2} h$ $y_0 = z_0 = R \pm r$	$I_{Y_0OZ_0} = \frac{\pi}{240} m \frac{1}{V} \{ 15R [8cr^4 - Ph \times \times (2r^2 - h^2)] \pm h^3 (20r^2 - 3h^2) \}$ $I_{Z_0OX_0} = I_{X_0OY_0} = \frac{\pi}{960} m \frac{1}{V} \times \times \{ 30R \{ Ph [2 (4R^2 + 5r^2) - h^2] + + 8cr^2 (4R^2 + 3r^2) \} \pm h [120R^2(12r^2 - h^2) + + 40r^2 (6r^2 - h^2) + 3h^4] \}$
 <div data-bbox="901 1235 923 1260">б)</div>	<p>В формулах $P = \sqrt{4r^2 - h^2}$; $c = \arcsin \frac{h}{2r}$; верхний знак относится к элементу а, нижний — к элементу б</p>	<p>Элемент 50</p>

Продолжение табл. 4

Эскиз и номер элемента	Объем, координаты центра масс	Моменты инерции относительно центральных плоскостей (вспомогательные величины) Главные центральные моменты инерции см. табл. 25, стр. 127
<div data-bbox="281 1404 322 1437" style="border: 1px solid black; padding: 2px; display: inline-block;">III</div> <div data-bbox="322 1023 616 1437"> </div>	$V = \frac{\pi}{6} r^2 (3\pi R \pm 4r) = \begin{cases} K_1 R^3 \\ K'_1 r^3 \end{cases}$ $x_0 = \frac{\pi}{12} \cdot \frac{r^3}{V} [2(3\pi - 4) \times R \pm 5r] = \begin{cases} K_3 R \\ K'_3 r \end{cases}$ $y_0 = z_0 = R \pm r$	$I_{Y_0 Z_0} = m \left\{ \frac{\pi}{120} \cdot \frac{r^4}{V} [5(15\pi - 32) \times \right.$ $\times R \pm 36r] - x_0^2 \Big\} = \begin{cases} K_3 m R^2 \\ K'_3 m r^2 \end{cases}$ $I_{Z_0 O x_0} = I_{X_0 O y_0} = \frac{\pi}{240} m \frac{r^2}{V} \times$ $\times [15\pi R (4R^2 + 3r^2) \pm 16r (15R^2 + 2r^2)] =$ $= \begin{cases} K_4 m R^2 \\ K'_4 m r^2 \end{cases}$
<div data-bbox="638 1023 922 1437"> </div>	<p>В формулах верхний знак относится к элементу а, нижний — к элементу б.</p> <p>Коэффициенты $K_i = f\left(p = \frac{r}{R}\right)$ для $r \leq R$ и $K'_i = f\left(p' = \frac{R}{r}\right)$ для $r \geq R$ приведены в табл. 4 (см. стр. 482)</p>	

Элемент 51

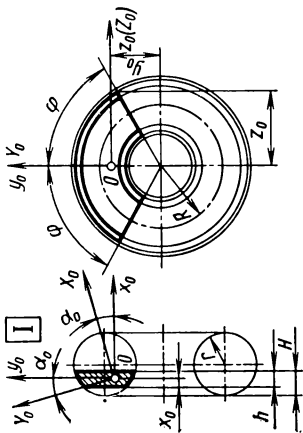
Продолжение табл. 4

Эскиз и номер элемента	Объем, координаты центра масс	Моменты инерции относительно центральных плоскостей (вспомогательные величины) Главные центральные моменты инерции см. табл. 25, стр. 127
<div data-bbox="270 1386 310 1419" style="border: 1px solid black; padding: 2px; display: inline-block;">III</div>  <div style="text-align: right; margin-top: 10px;">Элемент 52</div>	$V = \frac{\pi}{3} r^2 (3\pi R \pm 4r) =$ $= \begin{cases} 2K_1 R^3 \\ 2K_1' r^3 \end{cases}$ $x_0 = r$ $y_0 = z_0 = R \pm r$	$I_{y_0 z_0} = \frac{\pi}{60} m \frac{r^4}{V} (15\pi R \pm 16r) =$ $= \begin{cases} K_5 m R^2 \\ K_5' m r^2 \end{cases}$ $I_{z_0 O x_0} = I_{x_0 O y_0} = \frac{\pi}{120} m \frac{r^2}{V} \times$ $\times [15\pi R (4R^2 + 3r^2) \pm 16 (15R^2 + 2r^2)] =$ $= \begin{cases} K_4 m R^2 \\ K_4' m r^2 \end{cases}$

В формулах верхний знак относится к элементу а, нижний — к элементу б.

Коэффициенты $K_i = f\left(p = \frac{r}{R}\right)$ для $r \leq R$ и $K_i' = f\left(p' = \frac{R}{r}\right)$ для $r \geq R$ приведены в табл. 4 (см. стр. 482).

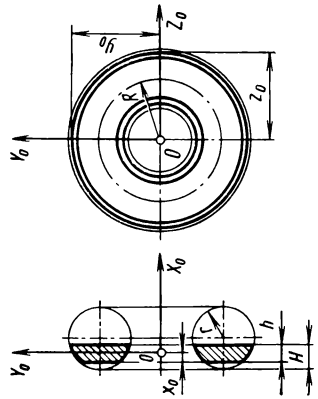
Продолжение табл. 4

Эскиз и номер элемента	Объем, координаты центра масс	Моменты инерции относительно центральных плоскостей (вспомогательные величины) Главные центральные моменты инерции см. табл. 25, стр. 127
 <p style="text-align: center;">Элемент 53</p>	$V = 2\varphi R [P_t (r - t) - P_H (r - H) + cr^2]$ $x_0 = \frac{2}{3} \varphi \frac{R}{V} \{P_t [r(3r+t) - 2t^2] - P_H [r(3r+H) - 2H^2] + 3cr^2\} - t$ $y_0 = \frac{\sin \varphi}{6} \cdot \frac{1}{V} \{P_t [12R^2 \times (r-t) + r^2(3r+t) - 2t^2(3r-t)] - P_H \times [12R^2(r-H) + r^2 \times (3r+H) - 2H^2(3r-H)] + 3cr^2(4R^2 + r^2)\}$ $z_0 = (R + P_H) \sin \varphi$	$J_{y_0 O z_0} = m \left\{ \frac{\varphi}{6} \cdot \frac{R}{V} \{P_t [5r^2(3r+t) + 2t^2(r-3t)] - P_H [5r^2(3r+H) + 2H^2] \times (r-3H)\} + 15cr^4 \right\} - (x_0 + t)^2 \}$ $J_{z_0 O x_0} = m [(2\varphi + \sin 2\varphi) T^2 - y_0^2]$ $I_{x_0 O y_0} = (2\varphi - \sin 2\varphi) m T^2$ $J_{x_0 y_0} = m \left\{ \frac{\sin \varphi}{30} \cdot \frac{1}{V} \times \{P_t [5r(4R^2 + r^2)(3r+t) - 2t^2 \times (20R^2 - r^2) - 2r^3(11r-4t)] - P_H \times [5r(4R^2 + r^2)(3r+H) - 2H^2 \times (20R^2 - r^2) - 2H^3(11r-4H)] + 15cr^3(4R^2 + r^2)\} - (x_0 + t)y_0 \right\}$

Продолжение табл. 4

Эскиз и номер элемента	Объем, координаты центра масс	Моменты инерции относительно центральных плоскостей (вспомогательные величины) Главные центральные моменты инерции см. табл. 25, стр. 127
		<p>В формулах $t = H - h$; $P_t = \sqrt{t(2r - t)}$; $P_H = \sqrt{H(2r - H)}$;</p> $c = \arcsin \frac{r-t}{r} - \arcsin \frac{r-H}{r};$ $T^2 = \frac{1}{4} R \left\{ \frac{1}{\varphi} R + \frac{1}{2V} \{ P_t [r^2(3r + t) - 2t^2(3r - t)] - \right.$ $\left. - P_H [r^2(3r + H) - 2H^2(3r - H)] + 3cr^4 \} \right\}.$ <p>Подставляя значения параметров H и h, указанные в «Предметно-иллюстрированном оглавлении», можно получить формулы для соответствующих элементов тора (см. стр. 20). Элементы при $H = r + \frac{h}{2}$ и $H = h = 2r$ относятся к элементам II типа (см. табл. 25, стр. 127), остальные — к элементам I типа. Формулы для тела, полученные подстановкой $\varphi = \pi$, приведены на стр. 205 (элемент 54)</p>

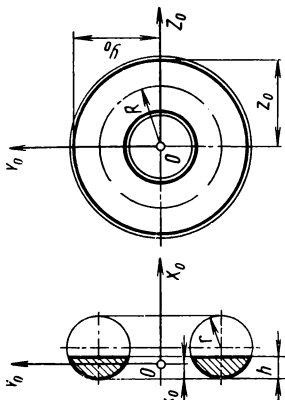
Продолжение табл. 4

Эскиз и номер элемента	Объем, координаты центра масс	Моменты инерции относительно центральных плоскостей (вспомогательные величины) Главные центральные моменты инерции см. табл. 25, стр. 127
<div data-bbox="431 1412 475 1453" style="border: 1px solid black; padding: 2px; display: inline-block;">III</div>  <p style="text-align: center;">Элемент 54</p>	$V = 2\pi R [P_t (r - t) - P_H \times (r - H) + cr^2] = K_1 R r^2$ $x_0 = \frac{2}{3} \pi \frac{R}{V} \times [P_t [r (3r + t) - 2t^2] - P_H [r (3r + H) - 2H^2] + 3cr^2] - t = K_2 r$ $y_0 = z_0 = R + P_H = R + K_3 r$	$I_{Y_0 O Z_0} = m \left\{ \frac{\pi}{6} \cdot \frac{R}{V} \{ P_t [5r^2 (3r + t) + 2t^2 (r - 3t)] - P_H [5r^2 (3r + H) + 2H^2 (r - 3H)] + 15cr^4 \} - (x_0 + t)^2 \right\} = K_3 m r^2$ $I_{Z_0 O X_0} = I_{X_0 O Y_0} = \frac{1}{2} m R \left\{ R + \frac{\pi}{2} \times \frac{1}{V} \{ P_t [r^2 (3r + t) - 2t^2 (3r - t)] - P_H [r^2 (3r + H) - 2H^2 (3r - H)] + 3cr^4 \} \right\} = m (0,5 R^2 + K_4 r^2)$

Продолжение табл. 4

Эскиз и номер элемента	Объем, координаты центра масс	Моменты инерции относительно центральных плоскостей (вспомогательные величины) Главные центральные моменты инерции см. табл. 25, стр. 127				
<p>В формулах $t = H - h$; $P_t = \sqrt{t(2r - t)}$; $P_H = \sqrt{H(2r - H)}$; $c = \arcsin \frac{r-t}{r} - \arcsin \frac{r-H}{r}$.</p> <p>Коэффициенты $K_i = f\left(n = \frac{H}{r}; p = \frac{h}{r}\right)$ приведены в табл. 2 (см. стр. 476); коэффициент $K_5 = f\left(p = \frac{H}{r}\right)$ приведен в табл. 8 (см. стр. 487).</p> <p>Формулы для различных элементов кругового тора, полученные подстановкой частных значений параметров H и h, приведены на следующих страницах:</p>						
Параметры		$H=h$	$H=r$	$H=r+\frac{h}{2}$	$H=h=r$	$H=h=2r$
Страница		207	208	209	210	210
Элемент		55	56	57	58	59

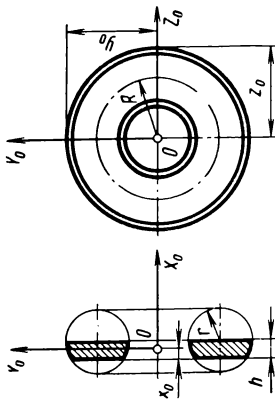
Продолжение табл. 4

Эскиз и номер элемента	Объем, координаты центра масс	Моменты инерции относительно центральных плоскостей (вспомогательные величины) Главные центральные моменты инерции см. табл. 25, стр. 127
<div data-bbox="434 1409 475 1442" style="border: 1px solid black; padding: 2px; display: inline-block;">III</div> 	$V = 2\pi R [cr^2 - P(r-h)] = K_1 R r^2$ $x_0 = \frac{2}{3} \pi \frac{R}{V} [3cr^3 - P \times (3r^2 + rh - 2h^2)] = K_2 r$ $y_0 = z_0 = R + P = R + K_3 r$	$I_{Y_0 Z_0} = m \left\{ \frac{\pi}{6} \cdot \frac{R}{V} \{15cr^4 - P \times [5r^2(3r+h) + 2h^2(r-3h)] - x_0^2\} \right. = K_3 m r^2$ $I_{Z_0 X_0} = I_{X_0 Y_0} = \frac{1}{2} m R \left\{ R + \frac{\pi}{2} \times \frac{1}{V} \{3cr^4 - P[r^2(3r+h) - 2h^2] \times (3r-h)\} \right\} = m(0,5R^2 + K_4 r^2)$

Элемент 55

В формулах $P = \sqrt{h(2r-h)}$; $c = \arccos \frac{r-h}{r}$.
 Коэффициенты $K_i = f\left(\rho = \frac{h}{r}\right)$; K_1, K_2, K_3, K_4 приведены в табл. 2 при $n = \rho$ (см. стр. 476); K_5 — в табл. 8 (см. стр. 487)

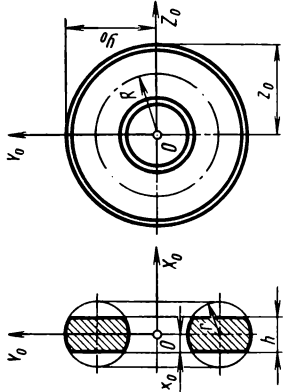
Продолжение табл. 4

Эскиз и номер элемента	Объем, координаты центра масс	Моменты инерции относительно центральных плоскостей (вспомогательные величины) Главные центральные моменты инерции см. табл. 25, стр. 127
<div data-bbox="456 1404 496 1432" style="border: 1px solid black; padding: 2px; display: inline-block;">III</div>  <p style="text-align: right;">Элемент 56</p>	$V = 2\pi R (Ph + cr^2) = K_1 R r^2$ $x_0 = \frac{2}{3} \pi \frac{R}{V} \times$ $\times [P (2r^2 + h^2) + r^2 \times$ $\times (3ch - 2r)] = K_2 r$ $y_0 = z_0 = R + r$	$I_{Y_0 O Z_0} = m \left\{ \frac{\pi}{6} \cdot \frac{R}{V} \cdot \{ P [16 (r^2 - h^2) + \right.$ $+ 3h (3r^2 + 2h^2)] + (15c - 16) r^4 \} -$ $- (x_0 + r - h)^2 \} = K_3 m r^2$ $I_{Z_0 O X_0} = I_{X_0 O Y_0} = \frac{1}{2} m R \left\{ R + \frac{\pi}{2} \times \right.$ $\times \frac{1}{V} [Ph (5r^2 - 2h^2) + 3cr^4] \} =$ $= m (0,5R^2 + K_4 r^2)$

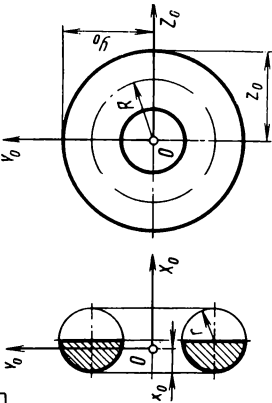
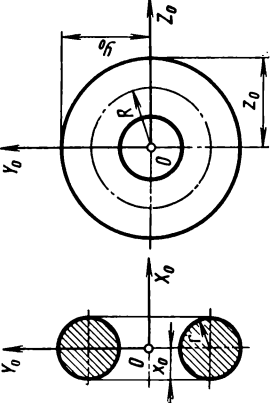
В формулах $P = \sqrt{r^2 - h^2}$; $c = \arcsin \frac{h}{r}$.

Коэффициенты $K_i = f \left(p = \frac{h}{r} \right)$ приведены в табл. 2 при $n = 1$ (см. стр. 476)

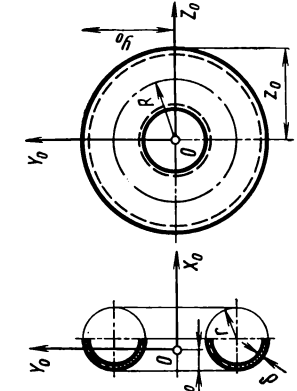
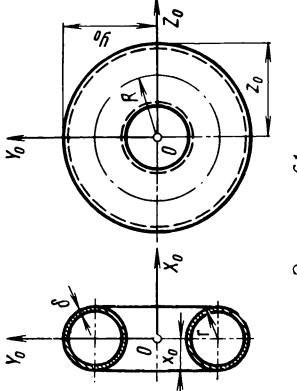
Продолжение табл. 4

Эскиз и номер элемента	Объем, координаты центра масс	Моменты инерции относительно центральных плоскостей (вспомогательные величины) Главные центральные моменты инерции см. табл. 25, стр. 127
<div data-bbox="445 1409 484 1442" style="border: 1px solid black; padding: 2px; display: inline-block;">III</div>  <p style="text-align: right;">Элемент 57</p>	$V = \pi R (4cr^2 + Ph) = K_1 R r^2$ $x_0 = -\frac{1}{2} h = 0,5h$ $y_0 = z_0 = R + r$	$I_{y_0 z_0} = \frac{\pi}{8} m \frac{R}{V} \times$ $\times [8cr^4 - Ph (2r^2 - h^2)] = K_3 m r^2$ $I_{z_0 x_0} = I_{x_0 y_0} = \frac{1}{2} m R \times$ $\times \left\{ R + \frac{\pi}{8} \cdot \frac{1}{V} [24cr^4 + Ph \times \right.$ $\times (10r^2 - h^2)] \left. \right\} = m (0,5R^2 + K_4 r^2)$ <p style="text-align: right;">В формулах $P = \sqrt{4r^2 - h^2}$; $c = \arcsin \frac{h}{2r}$.</p> <p style="text-align: right;">Коэффициенты $K_i = f\left(p = \frac{h}{2}\right)$ приведены в табл. 2 при $n = 1 + \frac{p}{2}$ (см. стр. 476)</p>


Продолжение табл. 4

Эскиз и номер элемента	Объем, координаты центра масс	Моменты инерции относительно центральных плоскостей (вспомогательные величины) Главные центральные моменты инерции см. табл. 25, стр. 127
<div data-bbox="274 1398 310 1430">III</div>  <div data-bbox="587 1162 609 1287">Элемент 58</div>	$V = \pi^2 R r^2 = 9,86960 R r^2$ $x_0 = \frac{3\pi - 4}{3\pi} r = 0,57558r$ $y_0 = z_0 = R + r$	$I_{Y_0 Z_0} = \frac{9\pi^2 - 64}{36\pi^2} m r^2 = 0,06987 m r^2$ $I_{Z_0 X_0} = I_{X_0 Y_0} = \frac{1}{8} m (4R^2 + 3r^2) =$ $= m (0,5R^2 + 0,375r^2)$
<div data-bbox="634 1414 670 1446">III</div>  <div data-bbox="936 1162 958 1287">Элемент 59</div>	$V = 2\pi^2 R r^2 = 19,73921 R r^2$ $x_0 = r; y_0 = z_0 = R + r$	$I_{Y_0 Z_0} = \frac{1}{4} m r^2 = 0,25 m r^2$ $I_{Z_0 X_0} = I_{X_0 Y_0} = \frac{1}{8} m (4R^2 + 3r^2) =$ $= m (0,5R^2 + 0,375r^2)$

Продолжение табл. 4

Эскиз и номер элемента	Объем, координаты центра масс	Моменты инерции относительно центральных плоскостей (вспомогательные величины) Главные центральные моменты инерции см. табл. 25, стр. 127
<div data-bbox="278 1404 316 1437">III</div>  <p style="text-align: center;">Элемент 60</p>	$V = \pi^2 R \delta (2r - \delta) = K_1 R r^2$ $x_0 = \frac{\pi}{3} \cdot \frac{R \delta}{V} \{3r[\pi(2r - \delta)] - 4(r - \delta)\} = K_2 r$ $y_0 = z_0 = R + r$	$I_{y_0 o z_0} = \frac{1}{36} m \frac{R \delta}{V} [72(\pi^2 - 8)(r - 2\delta) \times \times r^3 + 6(21\pi^2 - 160)r^2 \delta^2 - - (9\pi^2 - 64)(6r - \delta)\delta^3] = K_3 m r^2$ $I_{z_0 o x_0} = I_{x_0 o y_0} = \frac{1}{2} m \left\{ R^2 + \frac{3}{4} \pi^2 \times \times \frac{R \delta}{V} [2r^2 (2r - 3\delta) + \delta^2 (4r - \delta)] \right\} =$ $= m (0,5 R^2 + K_4 r^2)$
<div data-bbox="627 1404 666 1437">III</div>  <p style="text-align: center;">Элемент 61</p>	$V = 2\pi^2 R \delta (2r - \delta) =$ $= 2K_1 R r^2$ $x_0 = r$ $y_0 = z_0 = R + r$	$I_{y_0 o z_0} = \frac{1}{2} \pi^2 m \frac{R \delta}{V} [2r^2 (2r - 3\delta) + + \delta^2 (4r - \delta)] = K_5 m r^2$ $I_{z_0 o x_0} = I_{x_0 o y_0} = \frac{1}{2} m \left\{ R^2 + \frac{3}{2} \pi^2 \times \times \frac{R \delta}{V} [2r^2 (2r - 3\delta) + \delta^2 (4r - \delta)] \right\} =$ $= m (0,5 R^2 + K_4 r^2)$
<p style="text-align: center;">Кoeffициенты $K_i = f\left(p = \frac{\delta}{r}\right)$ приведены в табл. 5 (см. стр. 484)</p>		
<p style="text-align: center;">Кoeffициенты $K_i = f\left(p = \frac{\delta}{r}\right)$ приведены в табл. 5 (см. стр. 484)</p>		

Продолжение табл. 4

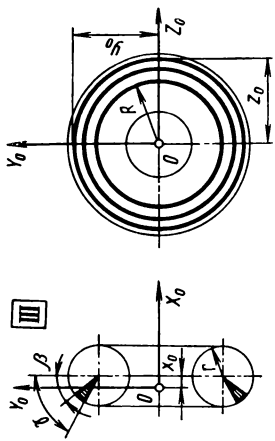
Эскиз и номер элемента	Объем, координаты центра масс	Моменты инерции относительно центральных плоскостей (вспомогательные величины) Главные центральные моменты инерции см. табл. 25, стр. 127
 <p style="text-align: center;">Элемент 62</p>	$V = \frac{\varphi}{3} r^2 [2 (\sin \gamma - \sin \beta) r + 3 (\gamma - \beta) R]$ $x_0 = \frac{\varphi}{12} \cdot \frac{r^3}{V} [3 (\sin^2 \gamma - \sin^2 \beta) r - 8 (\cos \gamma - \cos \beta) R]$ $y_0 = \frac{\sin \varphi}{24} \cdot \frac{r^2}{V} [32 (\sin \gamma - \sin \beta) R r + 3 (\sin 2\gamma - \sin 2\beta) r^2 + 6 (\gamma - \beta) \times (4R^2 + r^2)]$ $z_0 = (R + r \cos \beta) \sin \varphi$	$J_{y_0 O z_0} = m \left\{ \frac{\varphi}{120} \cdot \frac{r^4}{V} [16 (\sin^3 \gamma - \sin^3 \beta) r + 15 (2 (\gamma - \beta) - (\sin 2\gamma - \sin 2\beta)) R] - x_0^2 \right\}$ $J_{z_0 O x_0} = m [(2\varphi + \sin 2\varphi) T^2 - y_0^2]$ $I_{x_0 O y_0} = (2\varphi - \sin 2\varphi) m T^2$ $J_{x_0 y_0} = m \left\{ \frac{\sin \varphi}{30} \cdot \frac{r^3}{V} [15 (\sin^2 \gamma - \sin^2 \beta) R r - 20 (\cos \gamma - \cos \beta) R^2 - 4 (\cos^3 \gamma - \cos^3 \beta) r^2] - x_0 y_0 \right\}$

В формулах $T^2 = \frac{1}{480} \cdot \frac{r^2}{V} (15R [2 (\gamma - \beta) (4R^2 + 3r^2) + 3 \times (\sin 2\gamma - \sin 2\beta) r^2] + 16r [3 (\sin \gamma - \sin \beta) (5R^2 + r^2) - (\sin^3 \gamma - \sin^3 \beta) r^2])$

Подставляя значения параметров β и γ , указанные в «Предметно-иллюстрированном оглавлении», можно получить формулы для соответствующих элементов тора (см. стр. 21). Элементы при $\beta = -\gamma$ и $\gamma = 2\pi - \beta$ относятся к элементам II типа (см. табл. 25, стр. 127), остальные — к элементам I типа.

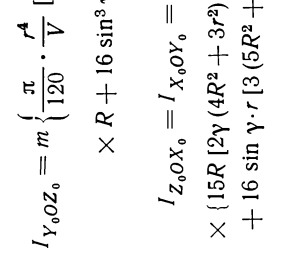
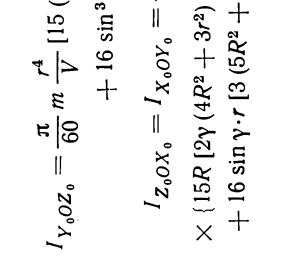
Формулы для некоторых тел, полученные подстановкой значений параметров φ и R , приведены: при $\varphi = \pi$ на стр. 213 (элемент 63), при $R = 0$ на стр. 295 (элемент 153)

Продолжение табл. 4

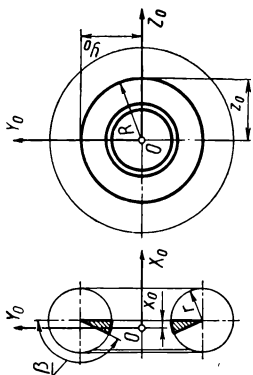
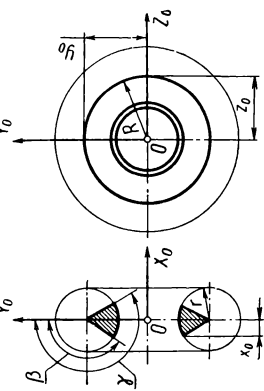
Эскиз и номер элемента	Объем, координаты центра масс	Моменты инерции относительно центральных плоскостей (вспомогательные величины) Главные центральные моменты инерции см. табл. 25, стр. 127
	$V = \frac{\pi}{3} r^2 [2(\sin \gamma - \sin \beta) r + 3(\gamma - \beta) R]$ $x_0 = \frac{\pi}{12} \cdot \frac{r^3}{V} [3(\sin^2 \gamma - \sin^2 \beta) r - 8(\cos \gamma - \cos \beta) R]$ $y_0 = z_0 = R + r \cos \beta$	$I_{Y_0 O Z_0} = m \left\{ \frac{\pi}{120} \cdot \frac{r^4}{V} \{ 16(\sin^3 \gamma - \sin^3 \beta) r + 15[2(\gamma - \beta) - (\sin 2\gamma - \sin 2\beta)] R \} - x_0^2 \right\}$ $I_{Z_0 O X_0} = I_{X_0 O Y_0} = \frac{\pi}{240} m \frac{r^2}{V} \times$ $\times \{ 15R [2(\gamma - \beta) (4R^2 + 3r^2) + 3(\sin 2\gamma - \sin 2\beta) r^2] + 16r [3(\sin \gamma - \sin \beta) (5R^2 + r^2) - (\sin^3 \gamma - \sin^3 \beta) r^2] \}$
<p>Формулы для некоторых тел, полученные подстановкой значений параметров β, γ и R, приведены на следующих страницах:</p>		
Параметры	$\beta=0$ $\beta=-\gamma$	$\beta=0$; $\beta=0$ $\beta=\frac{\pi}{2}$; $\gamma=\frac{\pi}{2}$ $\gamma=\pi$ $\gamma=2\pi$
Страница	214	201
Элемент	64	51, а
Параметры	$\beta=\frac{\pi}{2}$; $\gamma=\frac{3}{2}\pi$	$\beta=-\frac{\pi}{2}$; $\gamma=\frac{\pi}{2}$ $\gamma=\pi$ $\gamma=2\pi-\beta$ $R=0$
Страница	202	202
Элемент	52, б	52, а 66 67 156

Элемент 63

Продолжение табл. 4

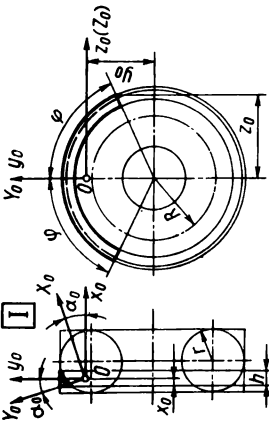
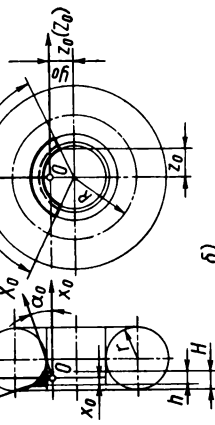
Эскиз и номер элемента	Объем, координаты центра масс	Моменты инерции относительно центральных плоскостей (вспомогательные величины) Главные центральные моменты инерции см. табл. 25, стр. 127
<div data-bbox="270 191 306 261">III</div>  <div data-bbox="579 667 607 737">Элемент 64</div>	$V = \frac{\pi}{3} r^2 (3\gamma R + 2 \sin \gamma \cdot r)$ $x_0 = \frac{\pi}{12} \cdot \frac{r^3}{V} [8 (1 - \cos \gamma) \times$ $\times R + 3 \sin^2 \gamma \cdot r]$ $y_0 = z_0 = R + r$	$I_{y_0 O z_0} = m \left\{ \frac{\pi}{120} \cdot \frac{r^4}{V} [15 (2\gamma - \sin 2\gamma) \times \right.$ $\times R + 16 \sin^3 \gamma \cdot r] - x_0^2 \Big\}$ $I_{z_0 O x_0} = I_{x_0 O y_0} = \frac{\pi}{240} m \frac{r^2}{V} \times$ $\times [15R [2\gamma (4R^2 + 3r^2) + 3 \sin 2\gamma \cdot r^2] +$ $+ 16 \sin \gamma \cdot r [3 (5R^2 + r^2) - \sin^2 \gamma \cdot r^2]]$
<div data-bbox="627 191 663 261">III</div>  <div data-bbox="929 667 956 737">Элемент 65</div>	$V = \frac{2}{3} \pi r^2 (3\gamma R + 2 \sin \gamma \cdot r)$ $x_0 = r \cdot \sin \gamma$ $y_0 = z_0 = R + r$	$I_{y_0 O z_0} = \frac{\pi}{60} m \frac{r^4}{V} [15 (2\gamma - \sin 2\gamma) R +$ $+ 16 \sin^3 \gamma \cdot r]$ $I_{z_0 O x_0} = I_{x_0 O y_0} = \frac{\pi}{120} m \frac{r^2}{V} \times$ $\times [15R [2\gamma (4R^2 + 3r^2) + 3 \sin 2\gamma \cdot r^2] +$ $+ 16 \sin \gamma \cdot r [3 (5R^2 + r^2) - \sin^2 \gamma \cdot r^2]]$

Продолжение табл. 4

Эскиз и номер элемента	Объем, координаты центра масс	Моменты инерции относительно центральных плоскостей (вспомогательные величины) Главные центральные моменты инерции см. табл. 25, стр. 127
<div data-bbox="278 1372 311 1421" style="border: 1px solid black; padding: 2px; display: inline-block;">III</div>  <p style="text-align: center;">Элемент 66</p>	$V = \frac{\pi}{3} r^2 [3(\pi - \beta)R - 2 \sin \beta \cdot r]$ $x_0 = \frac{\pi}{12} \cdot \frac{r^3}{V} [8(1 + \cos \beta) \times R - 3 \sin^2 \beta \cdot r]$ $y_0 = z_0 = R$	$I_{Y_0 O Z_0} = m \left\{ \frac{\pi}{120} \cdot \frac{r^4}{V} \{15[2(\pi - \beta) + \sin 2\beta]R - 16 \sin^3 \beta \cdot r\} - x_0^2 \right\}$ $I_{Z_0 O X_0} = I_{X_0 O Y_0} = \frac{\pi}{240} m \cdot \frac{r^2}{V} \times \{15R[2(\pi - \beta)(4R^2 + 3r^2) - 3 \sin 2\beta \cdot r^2] - 16 \sin \beta \cdot r \times [3(5R^2 + r^2) - \sin^2 \beta \cdot r^2]\}$
<div data-bbox="627 1372 660 1421" style="border: 1px solid black; padding: 2px; display: inline-block;">III</div>  <p style="text-align: center;">Элемент 67</p>	$V = \frac{2}{3} \pi r^2 [3(\pi - \beta)R - 2 \sin \beta \cdot r]$ $x_0 = r \cdot \sin \beta$ $y_0 = z_0 = R$	$I_{Y_0 O Z_0} = \frac{\pi}{60} m \cdot \frac{r^4}{V} \{15[2(\pi - \beta) + \sin 2\beta]R - 16 \sin^3 \beta \cdot r\}$ $I_{Z_0 O X_0} = I_{X_0 O Y_0} = \frac{\pi}{120} m \cdot \frac{r^2}{V} \times \{15R[2(\pi - \beta)(4R^2 + 3r^2) - 3 \sin 2\beta \cdot r^2] - 16 \sin \beta \cdot r [3(5R^2 + r^2) - \sin^2 \beta \cdot r^2]\}$

Продолжение табл. 4

КОМБИНИРОВАННЫЕ ЭЛЕМЕНТЫ ОБЪЕМА

Эскиз и номер элемента	Объем, координаты центра масс	Моменты инерции относительно центральных плоскостей (вспомогательные величины) Главные центральные моменты инерции см. табл. 28, стр. 127
 <p style="text-align: center;">а)</p>	$V = \frac{\pi}{3} \{ 3rh (2R \pm r) \mp [3r(H^2 - t^2) - (H^3 - t^3)] - 3R[P_t(r-t) - P_H(r-H) + cr^2] \}$ $x_0 = \frac{\pi}{12} \cdot \frac{1}{V} \{ 6r(2R \pm r) \times (H^2 - t^2) \mp [8r(H^3 - t^3) - 3(H^4 - t^4)] - 4R(P_t(3r^2 + rt - 2t^2) - P_H(3r^2 + rH - 2H^2) + 3cr^3) \} - t$ $y_0 = \frac{\sin \varphi}{12} \cdot \frac{1}{V} \{ 8(rh[3R(R \pm r) + r^2] \mp R[3r(H^2 - t^2) - (H^3 - t^3)]) - P_t[12R^2(r-t) + r^2(3r+t) - 2t^2(3r-t)] + P_H[12R^2(r-H) + r^2(3r+H) - 2H^2(3r-H)] - 3cr^2(4R^2 + r^2) \}$ $z_0 = (R \pm r) \sin \varphi$	$J_{y_0 z_0} = m \left\{ \frac{\varphi}{60} \cdot \frac{1}{V} \{ 20r(2R \pm r)(H^3 - t^3) \mp 6[5r(H^4 - t^4) - 2(H^5 - t^5)] - 5RP_t[5r^2(3r+t) + 2t^2(r-3t)] + 5RP_H[5r^2(3r+H) + 2H^2(r-3H)] - 75cRr^4 \} - (x_0 + t)^2 \right\}$ $J_{z_0 x_0} = m \{ (2\varphi + \sin 2\varphi) T^2 - y_0^2 \}$ $I_{x_0 y_0} = (2\varphi - \sin 2\varphi) m T^2$ $J_{x_0 y_0} = m \left\{ \frac{\sin \varphi}{60} \cdot \frac{1}{V} \{ 20r[3R(R \pm r) + r^2](H^2 - t^2) \mp 10R[8r(H^3 - t^3) - 3(H^4 - t^4)] - P_t[5r(4R^2 + r^2)(3r+t) - 2t^2(20R^2 - r^2) - 2t^3(11r-4t)] + P_H[5r(4R^2 + r^2)(3r+H) - 2H^2(20R^2 - r^2) - 2H^3(11r-4H)] - 15cr^3(4R^2 + r^2) \} - (x_0 + t)y_0 \right\}$
 <p style="text-align: center;">б)</p>		

Элемент 68

Продолжение табл. 4

Эскиз и номер элемента	Объем, координаты центра масс	Моменты инерции относительно центральных плоскостей (вспомогательные величины) Главные центральные моменты инерции см. табл. 25, стр. 127
	<p>В формулах $t = H - h$; $P_t = \sqrt{t(2r - t)}$; $P_H = \sqrt{H(2r - H)}$;</p> $c = \arcsin \frac{r - t}{r} - \arcsin \frac{r - H}{r}; \quad T^2 = \frac{1}{240V} \{ 30rh[4R(R^2 + r^2) \pm$ $\pm r(6R^2 + r^2)] \mp 2[90R^2r(H^2 - t^2) - 10(3R^2 - 2r^2)(H^3 - t^3) -$ $- 15r(H^4 - t^4) + 3(H^5 - t^5)] - 15R[P_t[4R^2(r - t) + r^2(3r + t) -$ $- 2t^2(3r - t)] - P_H[4R^2(r - H) + r^2(3r + H) - 2H^2(3r - H)] +$ $+ cr^2(4R^2 + 3r^2)\} \};$ <p>верхний знак относится к элементу a, нижний — к элементу b</p>	<p>Подставляя значения параметров H и h, указанные в «Предметно-иллюстрированном оглавлении», можно получить формулы для соответствующих комбинированных элементов тора (см. стр. 22—23).</p> <p>Элементы при $H = r + \frac{h}{2}$ и $H = h = 2r$ относятся к элементам II типа (см. табл. 25, стр. 127), остальные — к элементам I типа.</p> <p>Формулы для некоторых тел, полученные подстановкой значений параметров φ и R, приведены: при $\varphi = \pi$ на стр. 218 (элемент 69), при $R = 0$ (только для элемента a) на стр. 301 (элемент 161)</p>

Продолжение табл. 4

Эскиз и номер элемента

Объем,
координаты центра масс

Моменты инерции относительно
центральных плоскостей
(вспомогательные величины)
Главные центральные моменты инерции
см. табл. 25, стр. 127

$$V = \frac{\pi}{3} \{ 3rh(2R \pm r) \mp [3r(H^2 - t^2) - (H^3 - t^3)] - 3R[P_t(r-t) - P_H(r-H) + cr^2] \}$$

$$x_0 = -\frac{\pi}{12} \cdot \frac{1}{V} \{ 6r(2R \pm r) \times (H^2 - t^2) \mp [8r(H^3 - t^3) - 3(H^4 - t^4)] - 4R[P_t(3r^2 + rt - 2t^2) - P_H(3r^2 + rH - 2H^2) + 3cr^3] \} - t$$

$$y_0 = z_0 = R \pm r$$

$$I_{Y_0 Z_0} = m \left\{ \frac{\pi}{60} \cdot \frac{1}{V} \{ 20r(2R \pm r)(H^3 - t^3) \mp [6[5r(H^4 - t^4) - 2(H^5 - t^5)] - 5RP_t[5r^2 \times (3r + t) + 2t^2(r - 3r)] + 5RP_H[5r^2(3r + H) + 2H^2(r - 3H)] - 75cR^4] - (x_0 + t)^2 \} \right\}$$

$$I_{Z_0 X_0} = I_{X_0 Y_0} = \frac{\pi}{120} m \frac{1}{V} \{ 30rh[4R(R^2 + r^2) \pm r(6R^2 + r^2)] \mp 2[90R^2r(H^2 - t^2) - 10(3R^2 - 2r^2)(H^3 - t^3) - 15r(H^4 - t^4) + 3(H^5 - t^5)] - 15R[P_t[4R^2(r - t) + r^2(3r + t) - 2t^2(3r - t)] - P_H[4R^2(r - H) + r^2(3r + H) - 2H^2(3r - H)] + cr^2(4R^2 + 3r^2)] \}$$

В формулах $t = H - h$; $P_t = \sqrt{t(2r - t)}$; $P_H = \sqrt{H(2r - H)}$; $c = \frac{r-t}{r} - \arcsin \frac{r-t}{r}$; верхний знак относится к элементу а, нижний — к элементу б.

Формулы для некоторых тел, полученные подстановкой значений параметров H, h и R , приведены на следующих страницах:

Параметры	$H=h$	$H=r$	$H = r + \frac{h}{2}$	$H=h=r$	$H=h=2r$	$R=0$ *
Страница	219	220	221	222	223	303
Элемент	70	71	72	73	74	162

* Только для элемента а.

Элемент 69

* Только для элемента а.

Элемент 69

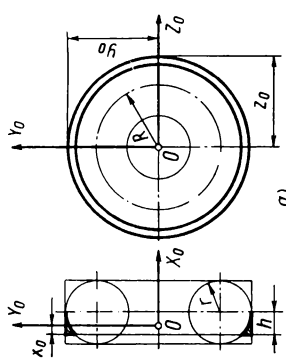
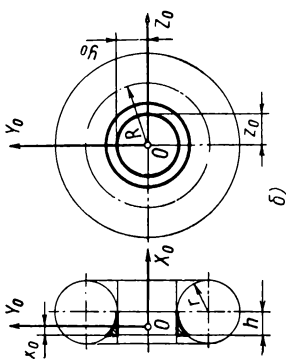
Продолжение табл. 4

Эскиз и номер элемента	Объем, координаты центра масс	Моменты инерции относительно центральных плоскостей (вспомогательные величины) Главные центральные моменты инерции см. табл. 26, стр. 127
<div data-bbox="277 1377 314 1409">III</div> <div data-bbox="317 1036 598 1393"> </div> <div data-bbox="598 1036 904 1393"> </div>	$V = \frac{\pi}{3} \{ 3rh(2R \pm r) \mp h^2(3r - h) - 3R[cr^2 - P(r - h)] \}$ $x_0 = \frac{\pi}{12} \cdot \frac{1}{V} \{ 6rht^2(2R \pm r) \mp h^3(8r - 3h) - 4R\{3cr^3 - P[3r^2 + h(r - 2h)]\} \}$ $y_0 = z_0 = R \pm r$	$I_{Y_0 Z_0} = m \left\{ \frac{\pi}{60} \cdot \frac{1}{V} \{ 2h^3 [10r(2R \pm r) \mp 3h(5r - 2h)] + 5RP[5r^2(3r + h) + 2h^2(r - 3h)] - 75cRr^4 - x_0^2 \} \right.$ $\left. I_{Z_0 X_0} = I_{X_0 Y_0} = \frac{\pi}{120} m \frac{1}{V} \times \right.$ $\times \{ 30rh[4R(R^2 + r^2) \pm r(6R^2 + r^2)] \mp 2h^2[90R^2r - 10h(3R^2 - 2r^2) - 3h^2(5r - h)] + 15R\{P[4R^2(r - h) + r^2(3r + h) - 2h^2(3r - h)] - cr^2(4R^2 + 3r^2)\} \}$

В формулах $P = \sqrt{h(2r - h)}$; $c = \arccos \frac{r - h}{r}$; верхний знак относится к элементу а, нижний — к элементу б

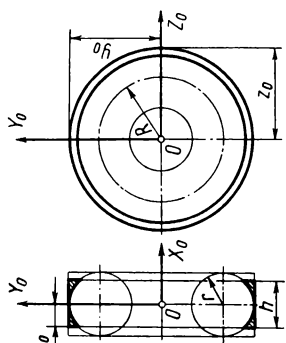
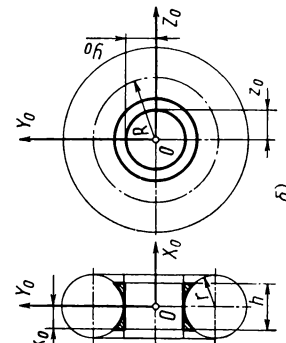
Элемент 70

Продолжение табл. 4

Эскиз и номер элемента	Объем, координаты центра масс	Моменты инерции относительно центральных плоскостей (вспомогательные величины) Главные центральные моменты инерции см. табл. 25, стр. 127
<div data-bbox="278 1372 311 1404" style="border: 1px solid black; padding: 2px; display: inline-block;">III</div> <div style="display: flex; justify-content: space-around; align-items: center;">   </div> <div style="text-align: right; margin-top: 10px;">Элемент 71</div>	$V = \frac{\pi}{3} [h (6Rr \pm h^2) - 3R (Ph + cr^2)]$ $x_0 = \frac{\pi}{12} \cdot \frac{1}{V} \{ h [12Rr \times (2r - h) \pm h^2 (4r - 3h)] - 4R [P (2r^2 + 3rh - 2h^2) - (2 - 3c) r^3] \} - (r - h)$ $y_0 = z_0 = R \pm r$	$I_{y_0 O z_0} = m \left\{ \frac{\pi}{60} \cdot \frac{1}{V} \{ 40Rrh [3r(r-h) + h^2] + 5(16 - 15c) Rr^4 - 5RP [16r \times (r^2 - h^2) + 3h(3r^2 + 2h^2)] \pm \right.$ $\left. \pm 2h^3 [5r(2r - 3h) + 6h^2] \} - (x_0 + r - h)^2 \right\}$ $I_{z_0 O x_0} = I_{x_0 O y_0} = \frac{\pi}{120} m \frac{1}{V} \times$ $\times \{ 120Rrh (R^2 + r^2) - 15R [Ph(4R^2 + 5r^2 - 2h^2) + cr^2(4R^2 + 3r^2)] \pm$ $\pm 2h^3 [10(3R^2 + r^2) - 3h^2] \}$

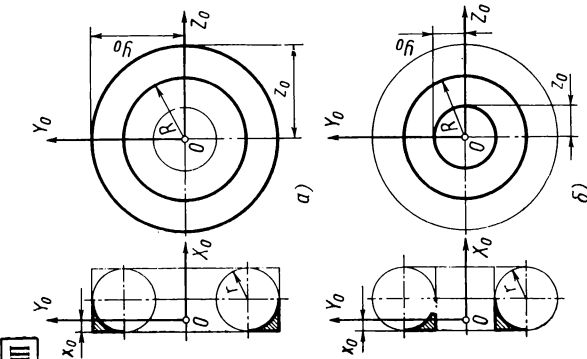
В формулах $P = \sqrt{r^2 - h^2}$; $c = \arcsin \frac{h}{r}$; верхний знак относится к элементу а, нижний — к элементу б

Продолжение табл. 4

Эскиз и номер элемента	Объем, координаты центра масс	Моменты инерции относительно центральных плоскостей (вспомогательные величины) Главные центральные моменты инерции см. табл. 25, стр. 127
<div data-bbox="281 1356 322 1393" style="border: 1px solid black; padding: 2px; display: inline-block;">III</div> <div style="display: flex; justify-content: space-around; align-items: center;">   </div> <div style="text-align: right; margin-top: 10px;">Элемент 72</div>	$V = \frac{\pi}{12} [h (24Rr \pm h^2) - 6R (Ph + 4cr^2)]$ $x_0 = \frac{1}{2} h$ $y_0 = z_0 = R \pm r$	$I_{Y_0OZ_0} = \frac{\pi}{240} m \frac{1}{V} \{ h^3 (40Rr \pm 3h^2) + \pm 15R [Ph (2r^2 - h^2) - 8cr^4] \}$ $I_{Z_0OX_0} = I_{X_0OY_0} = \frac{\pi}{960} m \frac{1}{V} \times$ $\times \{ h \{ 40 [24Rr (R^2 + r^2) \pm \pm h^2 (3R^2 + r^2)] \pm 3h^4 \} -$ $- 30R \{ Ph [2 (4R^2 + 5r^2) - h^2] + + 8cr^2 (4R^2 + 3r^2) \} \}$

В формулах $P = \sqrt{4r^2 - h^2}$; $c = \arcsin \frac{h}{2r}$; верхний знак относится к элементу а, нижний — к элементу б

Продолжение табл. 4

Эскиз и номер элемента	Объем, координаты центра масс	Моменты инерции относительно центральных плоскостей (вспомогательные величины) Главные центральные моменты инерции см. табл. 25, стр. 127
<div data-bbox="300 1372 338 1404" style="border: 1px solid black; padding: 2px; display: inline-block;">III</div>  <div data-bbox="906 1161 933 1291" style="text-align: right;">Элемент 73</div>	$V = \frac{\pi}{6} r^2 [3(4 - \pi) R \pm \pm 2r] = \begin{cases} K_1 R^3 \\ K_1' r^3 \end{cases}$ $x_0 = \frac{\pi}{12} \cdot \frac{r^3}{V} [2(10 - - 3\pi) R \pm r] = \begin{cases} K_2 R \\ K_2' r \end{cases}$ $y_0 = z_0 = R \pm r$	$I_{y_0 z_0} = m \left\{ \frac{\pi}{120} \cdot \frac{r^4}{V} [15(16 - 5\pi) R \pm \pm 4r] - x_0^2 \right\} = \begin{cases} K_3 m R^2 \\ K_3' m r^2 \end{cases}$ $I_{z_0 O x_0} = I_{x_0 O y_0} = \frac{\pi}{240} m \frac{r^2}{V} \times$ $\times \{60 R^2 [(4 - \pi) R \pm 2r] + + r^2 [15(16 - 3\pi) R \pm 28r]\} = \begin{cases} K_4 m R^2 \\ K_4' m r^2 \end{cases}$

В формулах верхний знак относится к элементу а, нижний — к элементу б.

Коэффициенты $K_i = f\left(p = \frac{r}{R}\right)$ для $r \leq R$ и $K'_i = f\left(p' = \frac{R}{r}\right)$ для $r \geq R$ приведены в табл. 6 (см. стр. 484)

Продолжение табл. 4

Эскиз и номер элемента	Объем, координаты центра масс	Моменты инерции относительно центральных плоскостей (вспомогательные величины) Главные центральные моменты инерции см. табл. 25, стр. 127
<div data-bbox="289 1377 327 1412">III</div> <div data-bbox="325 1047 895 1412"> </div> <div data-bbox="911 1161 939 1291" style="writing-mode: vertical-rl; transform: rotate(180deg);">Элемент 74</div>	$V = \frac{\pi}{3} r^2 [3(4 - \pi) R \pm \pm 2r] = \begin{cases} 2K_1 R^3 \\ 2K'_1 r^3 \end{cases}$ $x_0 = r$ $y_0 = z_0 = R \pm r$	$I_{Y_0 Z_0} = \frac{\pi}{60} m \frac{r^4}{V} [5(16 - 3\pi) R \pm \pm 24r] = \begin{cases} K_5 m R^2 \\ K'_5 m r^2 \end{cases}$ $I_{Z_0 O X_0} = I_{X_0 O Y_0} = \frac{\pi}{120} m \frac{r^2}{V} \times \times \{60R^2 [(4 - \pi) R \pm 2r] + r^2 [15(16 - - 3\pi) R \pm 28r]\} = \begin{cases} K_4 m R^2 \\ K'_4 m r^2 \end{cases}$

В формулах верхний знак относится к элементу а, нижний — к элементу б.

Коэффициенты $K_i = f\left(p = \frac{r}{R}\right)$ для $r \leq R$ и $K'_i = f\left(p' = \frac{R}{r}\right)$ для $r \geq R$ приведены в табл. 6 (см. стр. 484)

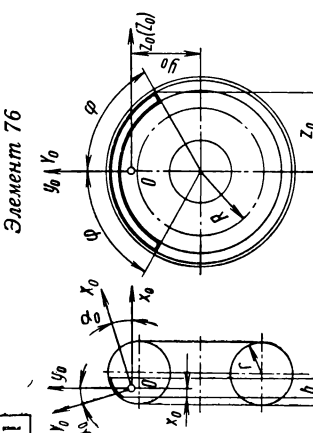
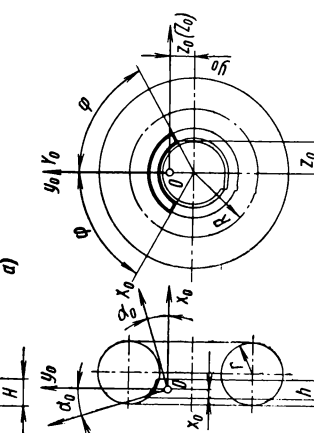
Продолжение табл. 4

Эскиз и номер элемента	Объем, координаты центра масс	Моменты инерции относительно центральных плоскостей (вспомогательные величины) Главные центральные моменты инерции см. табл. 25, стр. 127
<div data-bbox="281 1369 319 1401" style="border: 1px solid black; padding: 2px; display: inline-block;">III</div> <div data-bbox="325 1052 603 1409"> <p style="text-align: right;">a)</p> </div>	$V = \frac{\pi}{3} r^2 [3(4 - \pi)R \pm 2r]$ $x_0 = r$ $y_0 = z_0 = R \pm r$	$I_{y_0 O z_0} = \frac{\pi}{60} m \frac{r^4}{V} [15(16 - 5\pi)R \pm 4r]$ $I_{z_0 O x_0} = I_{x_0 O y_0} = \frac{\pi}{120} m \frac{r^2}{V} \times$ $\times \{60R^2[(4 - \pi)R \pm 2r] +$ $+ r^2[15(16 - 3\pi)R \pm 28r]\}$
<div data-bbox="281 1312 319 1344" style="border: 1px solid black; padding: 2px; display: inline-block;">III</div> <div data-bbox="325 1052 603 1409"> <p style="text-align: right;">б)</p> </div>		<p style="text-align: right;">Элемент 75</p>

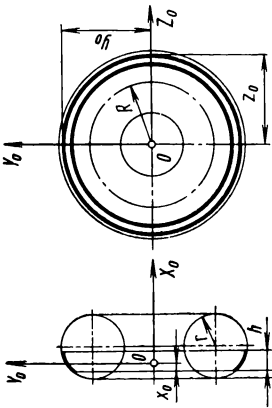
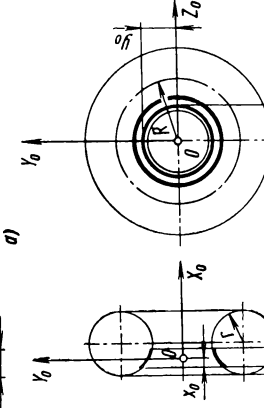
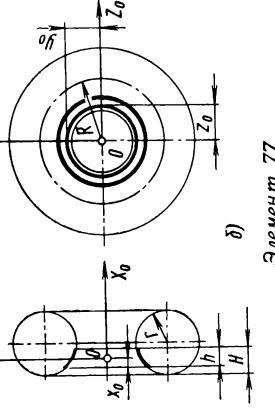
В формулах верхний знак относится к элементу а, нижний — к элементу б

Продолжение табл. 4

ЭЛЕМЕНТЫ ПОВЕРХНОСТИ

Эскиз и номер элемента	Поверхность, координаты центра масс	Моменты инерции относительно центральных плоскостей (вспомогательные величины) Главные центральные моменты инерции см. табл. 25, стр. 127
<p>Элемент 76</p> 	$S = 2\pi r (cR \pm h)$ $x_0 = \varphi \frac{r}{S} [2R (P_t - P_H + cr) \pm (H^2 - t^2)] - t$ $y_0 = \sin \varphi \frac{r}{S} [P_t (r - t) - P_H (r - H) + c(2R^2 + r^2) \pm 4Rh]$ $z_0 = (R \pm P_H) \sin \varphi$	$J_{y_0 z_0} = m \left\{ \frac{\varphi}{3} \cdot \frac{r}{S} \{ 3R [P_t (3r \pm t) - P_H (3r + H) + 3cr^2] \pm 2(H^3 - t^3)] - (x_0 + t)^2 \} \right.$ $J_{z_0 x_0} = m [(2\varphi + \sin 2\varphi) T^2 - y_0^2]$ $I_{x_0 y_0} = (2\varphi - \sin 2\varphi) m T^2$ $J_{x_0 y_0} = m \left\{ \frac{\sin \varphi}{3} \cdot \frac{r}{S} \{ P_t [3(2R^2 + r^2) + t(r - 2t)] - P_H [3(2R^2 + r^2) + H(r - 2H)] + 3cr(2R^2 + r^2) \pm 6R(H^3 - t^3)] - (x_0 + t)y_0 \} \right.$
	<p>В формулах $t = H - h$; $P_t = \sqrt{t(2r - t)}$; $P_H = \sqrt{H(2r - H)}$; $c = \arcsin \frac{r - t}{r} - \arcsin \frac{r - H}{r}$; $T^2 = \frac{r}{12} \cdot \frac{r}{S} \{ 3R [3P_t(r - t) - 3PH \times$ $\times (r - H) + c(2R^2 + 3r^2)] \pm 2[9R^2h + 3r(H^2 - t^2) - (H^3 - t^3)] \}$; верхний знак относится к элементу а, нижний — к элементу б. Подставляя значения параметров H и h, указанные в «Предметно-иллюстрированном оглавлении», можно получить формулы для соответствующих элементов поверхности кругового тора (см. стр. 23—24). Элементы при $H = r + \frac{h}{2}$ и $H = h = 2r$ относятся к элементам II типа (см. табл. 25, стр. 127), остальные — к элементам I типа. Формулы для некоторых тел, полученные подстановкой значений параметров φ и R, приведены: при $\varphi = \pi$ на стр. 226 (элемент 77), при $R = 0$ (только для элемента а) на стр. 313 (элемент 181)</p>	

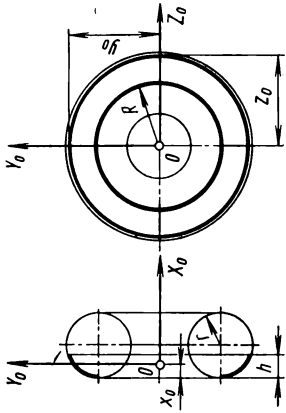
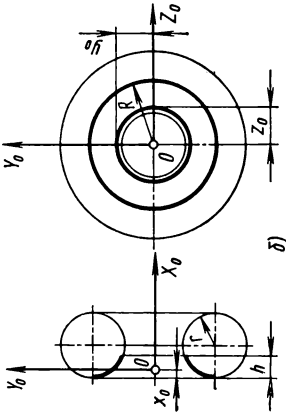
Продолжение табл. 4

Эскиз и номер элемента	Поверхность, координаты центра масс	Моменты инерции относительно центральных плоскостей (вспомогательные величины) Главные центральные моменты инерции см. табл. 25, стр. 127
<div style="display: flex; justify-content: space-around;"> <div style="text-align: center;">  <p>III</p> </div> <div style="text-align: center;">  <p>a)</p> </div> <div style="text-align: center;">  <p>б)</p> </div> </div>	$S = 2\pi r (cR \pm h)$ $x_0 = \pi \frac{r}{S} [2R (P_t - P_H) + cr] \pm (H^2 - t^2) - t$ $y_0 = z_0 = R \pm P_H$	$I_{y_0 z_0} = m \left\{ \frac{\pi}{3} \cdot \frac{r}{S} \{ 3R [P_t (3r + t) - P_H (3r + H) + 3cr^2] \pm 2 (H^3 - t^3) \} - (x_0 + t)^2 \right\}$ $I_{z_0 x_0} = I_{x_0 y_0} = \frac{\pi}{6} m \frac{r}{S} \times$ $\times \{ 3R [3P_t (r - t) - 3P_H (r - H) + c (2R^2 + 3r^2)] \pm 2 [9R^2 h + 3r (H^2 - t^2) - (H^3 - t^3)] \}$ <p>В формулах $t = H - h$; $P_t = \sqrt{t(2r - t)}$; $P_H = \sqrt{H(2r - H)}$; $c = \arcsin \frac{r - t}{r} - \arcsin \frac{r - H}{r}$; верхний знак относится к элементу а, нижний — к элементу б. Формулы для некоторых тел, полученные подстановкой значений параметров H, h и R, приведены на следующих страницах:</p>
Параметры	$H = h$ $H = r$	$H = r + \frac{h}{2}$ $H = h = 2r$ $R = 0^*$
Страница	227 228	229 230 231 317
Элемент	78 79	80 81 82 187

* Только для элемента а.

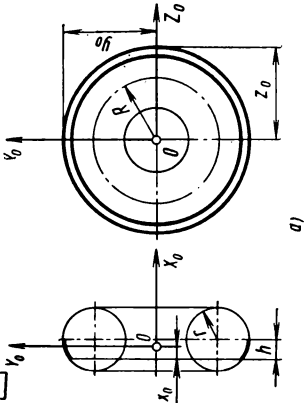
Элемент 77

Продолжение табл. 4

Эскиз и номер элемента	Поверхность, координаты центра масс	Моменты инерции относительно центральных плоскостей (вспомогательные величины) Главные центральные моменты инерции см. табл. 25, стр. 127
<div data-bbox="274 1398 306 1425" style="border: 1px solid black; padding: 2px; display: inline-block;">III</div> <div style="display: flex; justify-content: space-around; align-items: center;">   </div> <div style="text-align: right; margin-top: 10px;"> <p>Элемент 78</p> </div>	$S = 2\pi r (cR \pm h)$ $x_0 = \pi \frac{r}{S} [2R (cr - P) \pm h^2]$ $y_0 = z_0 = R \pm P$	$I_{Y_0 O Z_0} = m \left\{ \frac{\pi}{3} \cdot \frac{r}{S} \{ 3R [3cr^2 - P (3r + h)] \pm 2h^3 \} - x_0^2 \right\}$ $I_{Z_0 O X_0} = I_{X_0 O Y_0} = \frac{\pi}{6} m \frac{r}{S} \times \times \{ 3R [c (2R^2 + 3r^2) - 3P (r - h)] \pm \pm 2h [3 (3R^2 + rh) - h^2] \}$

В формулах $P = \sqrt{h (2r - h)}$; $c = \arccos \frac{r-h}{r}$; верхний знак относится к элементу а, нижний — к элементу б

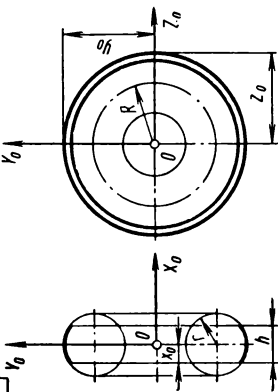
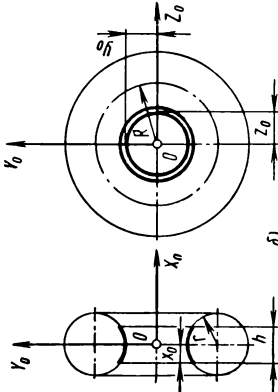
Продолжение табл. 4

Эскиз и номер элемента	Поверхность, координаты центра масс	Моменты инерции относительно центральных плоскостей (вспомогательные величины) Главные центральные моменты инерции см. табл. 25, стр. 127
<div data-bbox="274 1393 303 1425" style="border: 1px solid black; padding: 2px; display: inline-block;">III</div> 	$S = 2\pi r \left(cR \pm h \right)$ $x_0 = \pi \frac{r}{S} [2R(P - r + ch) \pm h^2]$ $y_0 = z_0 = R \pm r$	$I_{Y_0OZ_0} = m \left\{ \frac{\pi}{3} \cdot \frac{r}{S} \{ 3R [P(4r - h) + (3c - 4)r^2] \pm 2h [3r(r - h) + h^2] \} - (x_0 + r - h)^2 \right\}$ $I_{Z_0OX_0} = I_{X_0OY_0} = \frac{\pi}{6} m \frac{r}{S} \times \{ 3R [3Ph + c(2R^2 + 3r^2)] \pm \pm 2h [3(3R^2 + r^2) - h^2] \}$

В формулах $P = \sqrt{r^2 - h^2}$; $c = \arcsin \frac{h}{r}$; верхний знак относится к элементу а, нижний — к элементу б

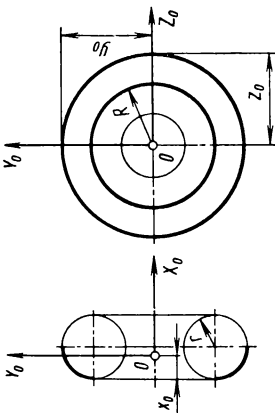
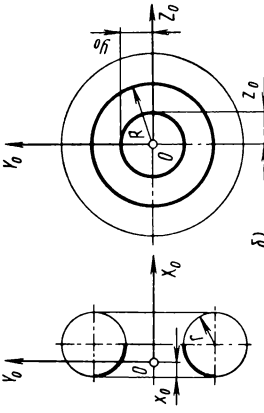
Элемент 79

Продолжение табл. 4

Эскиз и номер элемента	Поверхность, координаты центра масс	Моменты инерции относительно центральных плоскостей (вспомогательные величины) Главные центральные моменты инерции см. табл. 25, стр. 127
<div data-bbox="274 1393 306 1425" style="border: 1px solid black; padding: 2px; display: inline-block;">III</div> <div style="display: flex; justify-content: space-around; align-items: center;">   </div> <div style="text-align: right; margin-top: 10px;"> <p>Элемент 80</p> </div>	$S = 2\pi r \sqrt{(2cR \pm h)}$ $x_0 = \frac{1}{2} h$ $y_0 = z_0 = R \pm r$	$I_{Y_0 O Z_0} = \frac{\pi}{6} m \frac{r}{S} [3R (4cr^2 - Ph) \pm h^3]$ $I_{Z_0 O X_0} = I_{X_0 O Y_0} = \frac{\pi}{12} m \frac{r}{S} \times$ $\times \{3R [3Ph + 4c (2R^2 + 3r^2)] \pm$ $\pm [12 (3R^2 + r^2) - h^2]\}$

В формулах $P = \sqrt{4r^2 - h^2}$; $c = \arcsin \frac{h}{2r}$; верхний знак относится к элементу а, нижний — к элементу б

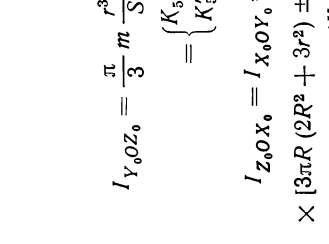
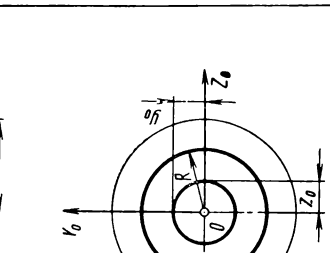
Продолжение табл. 4

Эскиз и номер элемента	Поверхность, координаты центра масс	Моменты инерции относительно центральных плоскостей (вспомогательные величины) Главные центральные моменты инерции см. табл. 25, стр. 127
<div data-bbox="270 1393 306 1422" style="border: 1px solid black; padding: 2px; display: inline-block;">III</div>  <div data-bbox="601 1239 620 1260" style="text-align: center;">a)</div>  <div data-bbox="893 1239 911 1260" style="text-align: center;">б)</div> <div data-bbox="926 1166 947 1287" style="text-align: right;">Элемент 8I</div>	$S = \pi r^2 (\pi R \pm 2r) = \begin{cases} K_1 R^2 \\ K'_1 r^2 \end{cases}$ $x_0 = \pi \frac{r^2}{S} [(\pi - 2) R \pm r] = \begin{cases} K_2 R \\ K'_2 r \end{cases}$ $y_0 = z_0 = R \pm r$	$I_{y_0 z_0} = m \left\{ \frac{\pi}{6} \cdot \frac{r^3}{S} [3(3\pi - 8) R \pm \pm 4r] - x_0^2 \right\} = \begin{cases} K_3 m R^2 \\ K'_3 m r^2 \end{cases}$ $I_{z_0 O x_0} = I_{x_0 O y_0} = \frac{\pi}{12} m \frac{r}{S} \times \times [3\pi R (2R^2 + 3r^2) \pm 4r (9R^2 + 2r^2)] = \begin{cases} K_4 m R^2 \\ K'_4 m r^2 \end{cases}$

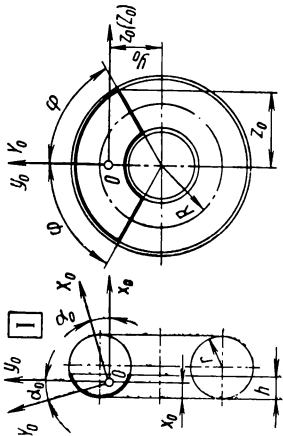
В формулах верхний знак относится к элементу а, нижний — к элементу б.

Коэффициенты $K_i = f\left(p = \frac{r}{R}\right)$ для $r \leq R$ и $K'_i = f\left(p' = \frac{R}{r}\right)$ для $r \geq R$ приведены в табл. 7 (см. стр. 486)

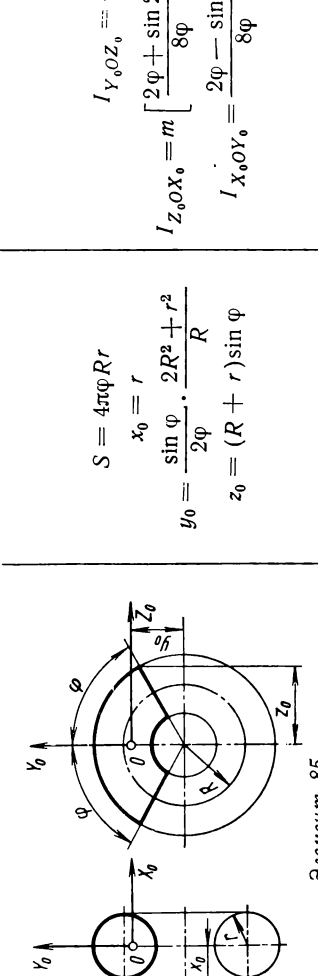
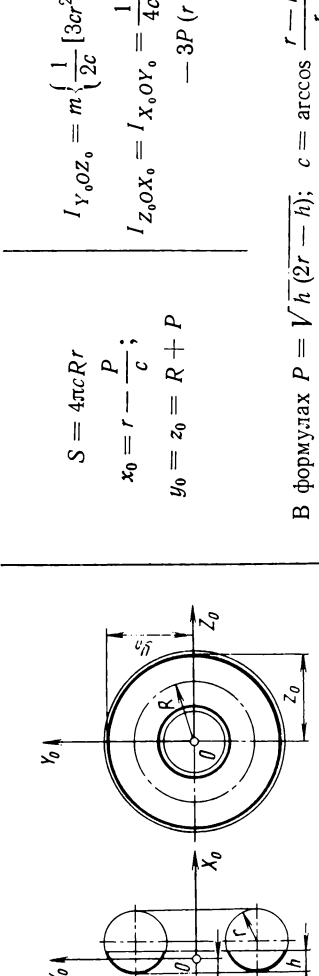
Продолжение табл. 4

Эскиз и номер элемента	Поверхность, координаты центра масс	Моменты инерции относительно центральных плоскостей (вспомогательные величины) Главные центральные моменты инерции см. табл. 23, стр. 127
<div data-bbox="273 194 311 235" style="border: 1px solid black; padding: 2px; display: inline-block;">III</div>  <p style="text-align: right;">a)</p>	$S = 2\pi r (\pi R \pm 2r) =$ $= \begin{cases} 2K_1 R^2 \\ 2K_1' r^2 \end{cases}$ $x_0 = r$ $y_0 = z_0 = R \pm r$	$I_{Y_0 Z_0} = \frac{\pi}{3} m \frac{r^3}{S} (3\pi R \pm 4r) =$ $= \begin{cases} K_3 m R^2 \\ K_3' m r^2 \end{cases}$ $I_{Z_0 O X_0} = I_{X_0 O Y_0} = \frac{\pi}{6} m \frac{r}{S} \times$ $\times [3\pi R (2R^2 + 3r^2) \pm 4r (9R^2 + 2r^2)] =$ $= \begin{cases} K_4 m R^2 \\ K_4' m r^2 \end{cases}$
 <p style="text-align: right;">б)</p> <p style="text-align: right;">Элемент 82</p>	<p>В формулах верхний знак относится к элементу а, нижний — к элементу б.</p> <p>Коэффициенты $K_i = f\left(p = \frac{r}{R}\right)$ для $r \leq R$ и $K_i' = f\left(p' = \frac{R}{r}\right)$ для $r \geq R$ приведены в табл. 7 (см. стр. 486)</p>	

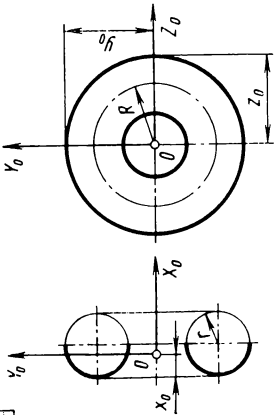
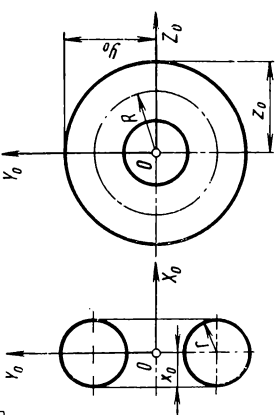
Продолжение табл. 4

Эскиз и номер элемента	Поверхность, координаты центра масс	Моменты инерции относительно центральных плоскостей (вспомогательные величины) Главные центральные моменты инерции см. табл. 25, стр. 127
 <p style="text-align: center;">Элемент 83</p>	$S = 4\pi c R r$ $x_0 = r - \frac{P}{c}$ $y_0 = 2 \sin \varphi \cdot \frac{r}{S} \times$ $\times [c(2R^2 + r^2) - P(r - h)]$ $z_0 = (R + P) \sin \varphi$	$J_{y_0 O z_0} = m \left\{ \frac{1}{2c} [3cr^2 - P(3r + h)] - x_0^2 \right\}$ $J_{z_0 O x_0} = m [(2\varphi + \sin 2\varphi) T^2 - y_0^2]$ $I_{x_0 O y_0} = (2\varphi - \sin 2\varphi) m T^2$ $J_{x_0 y_0} = m \left\{ \frac{2}{3} \sin \varphi \cdot \frac{r}{S} [3(2R^2 + r^2)(cr - P) - Ph(r - 2h)] - x_0 y_0 \right\}$ <p>В формулах $P = \sqrt{h(2r - h)}$; $c = \arccos \frac{r - h}{r}$; $T^2 = \frac{1}{8\pi c} \times [c(2R^2 + 3r^2) - 3P(r - h)]$.</p> <p>Формулы для тел, полученные подстановкой значений параметров h и φ, приведены: при $h = r$ на стр. 233 (элемент 84); при $h = 2r$ на стр. 234 (элемент 85) и при $\varphi = \pi$ на стр. 234 (элемент 86)</p>

Продолжение табл. 4

Эскиз и номер элемента	Поверхность, координаты центра масс	Моменты инерции относительно центральных плоскостей (вспомогательные величины) Главные центральные моменты инерции см. табл. 25, стр. 127
<div data-bbox="273 1404 311 1437">II</div>  <div data-bbox="573 1161 600 1291">Элемент 85</div>	$S = 4\pi\varphi Rr$ $x_0 = r$ $y_0 = \frac{\sin \varphi}{2\varphi} \cdot \frac{2R^2 + r^2}{R}$ $z_0 = (R + r) \sin \varphi$	$I_{Y_0 Z_0} = \frac{1}{2} \pi r^2$ $I_{Z_0 X_0} = m \left[\frac{2\varphi + \sin 2\varphi}{8\varphi} (2R^2 + 3r^2) - y_0^2 \right]$ $I_{X_0 Y_0} = \frac{2\varphi - \sin 2\varphi}{8\varphi} m (2R^2 + 3r^2)$
<div data-bbox="616 1404 655 1437">III</div>  <div data-bbox="928 1161 955 1291">Элемент 86</div>	$S = 4\pi c R r$ $x_0 = r - \frac{P}{c};$ $y_0 = z_0 = R + P$ <p data-bbox="900 690 928 933">В формулах $P = \sqrt{h(2r - h)}$; $c = \arccos \frac{r - h}{r}$</p>	$I_{Y_0 Z_0} = m \left\{ \frac{1}{2c} [3cr^2 - P(3r + h)] - x_0^2 \right\};$ $I_{Z_0 X_0} = I_{X_0 Y_0} = \frac{1}{4c} m [c(2R^2 + 3r^2) - 3P(r - h)]$

Продолжение табл. 4

Эскиз и номер элемента	Поверхность, координаты центра масс	Моменты инерции относительно центральных плоскостей (вспомогательные величины) Главные центральные моменты инерции см. табл. 25, стр. 127
<div data-bbox="289 1414 328 1442" style="border: 1px solid black; padding: 2px; display: inline-block;">III</div>  <p style="text-align: center;">Элемент 87</p>	$S = 2\pi^2 Rr = 19,73920 Rr$ $x_0 = \frac{\pi - 2}{\pi} r = 0,36338r$ $y_0 = z_0 = R + r$	$I_{Y_0 Z_0} = \frac{\pi^2 - 8}{2\pi^2} mr^2 = 0,09472 mr^2$ $I_{Z_0 O X_0} = I_{X_0 O Y_0} = \frac{1}{4} m (2R^2 + 3r^2) = m (0,5R^2 + 0,75r^2)$
<div data-bbox="631 1414 670 1442" style="border: 1px solid black; padding: 2px; display: inline-block;">III</div>  <p style="text-align: center;">Элемент 88</p>	$S = 4\pi^2 Rr = 39,47841 Rr$ $x_0 = r$ $y_0 = z_0 = R + r$	$I_{Y_0 Z_0} = \frac{1}{2} mr^2 = 0,5 mr^2$ $I_{Z_0 O X_0} = I_{X_0 O Y_0} = \frac{1}{4} m (2R^2 + 3r^2) = m (0,5R^2 + 0,75r^2)$

Продолжение табл. 4

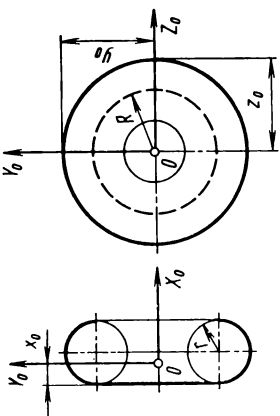
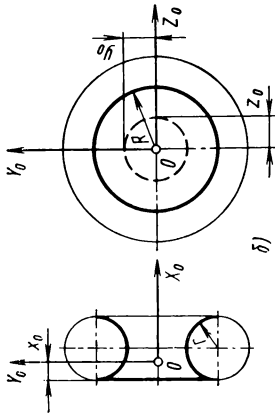
КОМБИНИРОВАННЫЕ ЭЛЕМЕНТЫ ПОВЕРХНОСТИ

Эскиз и номер элемента	Поверхность, координаты центра масс	Моменты инерции относительно центральных плоскостей (вспомогательные величины) Главные центральные моменты инерции см. табл. 25, стр. 127
<div data-bbox="300 1396 333 1429">III</div> <div data-bbox="338 1023 616 1421"> </div> <div data-bbox="666 1023 933 1421"> </div>	$S = \pi [R(R + \pi r) \pm 2r^2]$ $x_0 = \pi \frac{r^2}{S} [(\pi - 2)R \pm r]$ $y_0 = z_0 = R \pm r$	$I_{y_0 z_0} = m \left\{ \frac{\pi}{6} \cdot \frac{r^3}{S} [3(3\pi - 8)R \pm \pm 4r] - x_0^2 \right\}$ $I_{z_0 x_0} = I_{x_0 y_0} = \frac{\pi}{12} m \frac{1}{S} \times \times \{ 3R^4 + r [3\pi R (2R^2 + 3r^2) \pm \pm 4r (9R^2 + 2r^2)] \}$

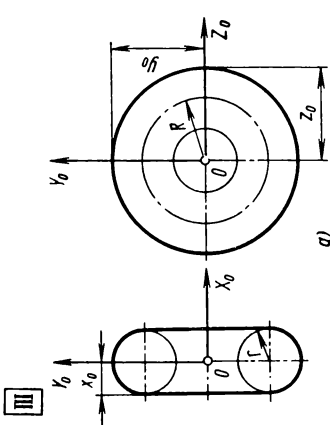
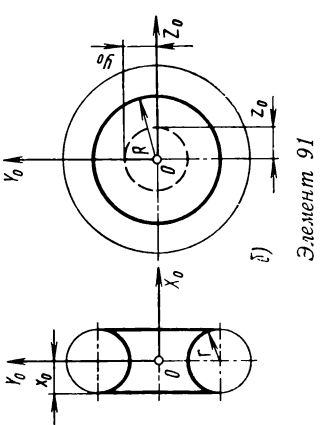
В формулах верхний знак относится к элементу a , нижний — к элементу b

Элемент 89

Продолжение табл. 4

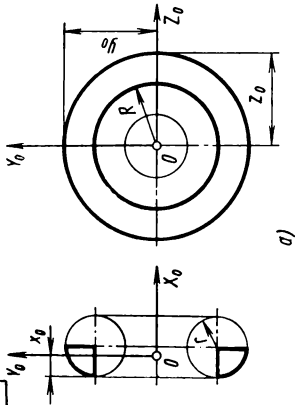
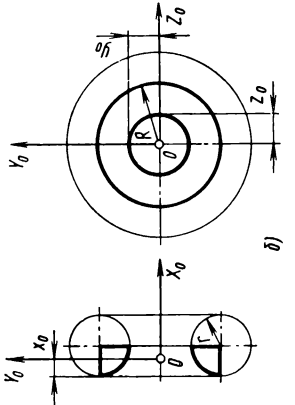
Эскиз и номер элемента	Поверхность, координаты центра масс	Моменты инерции относительно центральных плоскостей (вспомогательные величины) Главные центральные моменты инерции см. табл. 25, стр. 127
<div data-bbox="281 1404 322 1437" style="border: 1px solid black; padding: 2px; display: inline-block;">III</div>  <p style="text-align: center;">а)</p>	$S = \pi [R^2 + 2r (\pi R \pm 2r)]$ $x_0 = 2\pi \frac{r^2}{S} (\pi R \pm 2r)$ $y_0 = z_0 = R \pm r$	$I_{Y_0 Z_0} = m \left[\frac{\pi}{3} \cdot \frac{r^3}{S} (9\pi R \pm 16r) - x_0^2 \right]$ $I_{Z_0 O X_0} = I_{X_0 O Y_0} = \frac{\pi}{12} m \frac{1}{S} \times$ $\times \{ 3R^4 + 2r [3\pi R (2R^2 + 3r^2) \pm \pm 4r (9R^2 + 2r^2)] \}$
 <p style="text-align: center;">б)</p> <p style="text-align: right;">Элемент 90</p>	<p>В формулах верхний знак относится к элементу а, нижний — к элементу б</p>	

Продолжение табл. 4

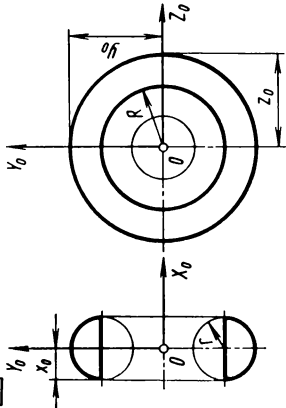
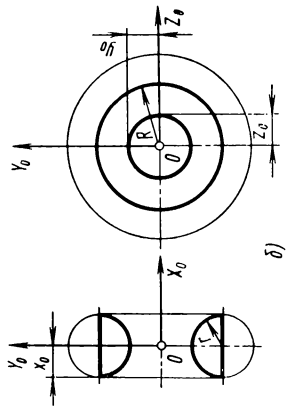
Эскиз и номер элемента	Поверхность, координаты центра масс	Моменты инерции относительно центральных плоскостей (вспомогательные величины) Главные центральные моменты инерции см. табл. 25, стр. 127
<div><div></div><div></div></div>	$S = 2\pi [R (R + \pi r) \pm 2r^2]$ $x_0 = r$ $y_0 = z_0 = R \pm r$	$I_{Y_0OZ_0} = \frac{\pi}{3} m \frac{r^2}{S} [3R (2R + \pi r) \pm 4r^2]$ $I_{Z_0OX_0} = I_{X_0OY_0} = \frac{\pi}{6} m \frac{1}{S} \times$ $\times \{ 3R^4 + r [3\pi R (2R^2 + 3r^2) \pm$ $\pm 4r (9R^2 + 2r^2)] \}$

В формулах верхний знак относится к элементу а, нижний — к элементу б

Продолжение табл. 4

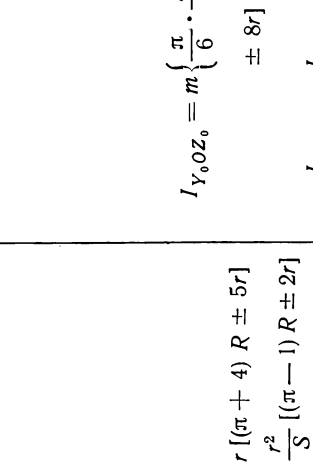
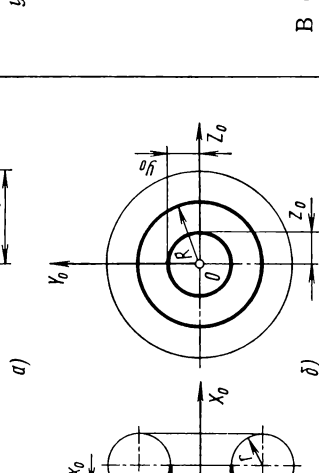
Эскиз и номер элемента	Поверхность, координаты центра масс	Моменты инерции относительно центральных плоскостей (вспомогательные величины) Главные центральные моменты инерции см. табл. 25, стр. 127
<div data-bbox="268 1406 306 1440" style="border: 1px solid black; padding: 2px; display: inline-block;">III</div>  <p style="text-align: center;">a)</p>	$S = \pi r [(\pi + 4) R \pm 3r]$ $x_0 = \pi \frac{r^2}{S} [(\pi + 1) R \pm 2r]$ $y_0 = z_0 = R \pm r$	$I_{y_0 o z_0} = m \left\{ \frac{\pi}{6} \cdot \frac{r^3}{S} [(9\pi - 8) R \pm \pm 10r] - x_0^2 \right\}$ $I_{z_0 o x_0} = I_{x_0 o y_0} = \frac{\pi}{12} m \frac{r}{S} \times$ $\times \{ 6R^3 [(\pi + 4) R \pm 9r] + + r^2 [3 (3\pi + 4) R \pm 11r] \}$
 <p style="text-align: center;">б)</p>	<p style="text-align: center;">Элемент 92</p>	<p>В формулах верхний знак относится к элементу а, нижний — к элементу б</p>

Продолжение табл. 4

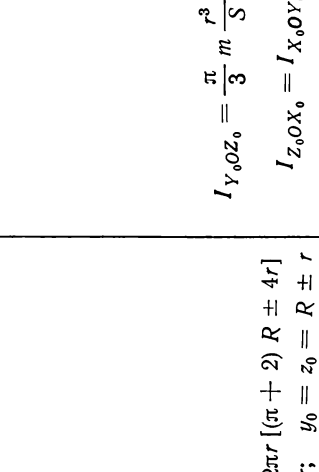
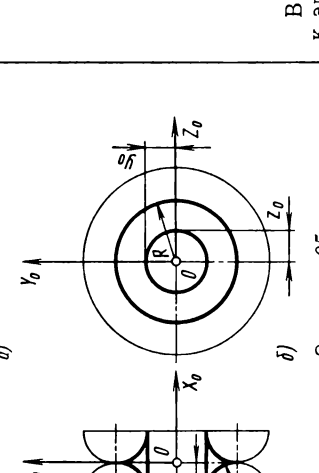
Эскиз и номер элемента	Поверхность, координаты центра масс	Моменты инерции относительно центральных плоскостей (вспомогательные величины) Главные центральные моменты инерции см. табл. 25, стр. 127
<div><div></div><div></div></div> <div>Элемент 93</div>	<div>$S = 2\pi r [(\pi + 2) R \pm 2r]$$x_0 = r$$y_0 = z_0 = R \pm r$</div>	<div>$I_{y_0 z_0} = \frac{\pi}{3} m \frac{r^3}{S} [(3\pi + 4) R \pm 4r]$$I_{z_0 O x_0} = I_{x_0 O y_0} = \frac{\pi}{6} m \frac{r}{S} \times$$\times \{3\pi R (2R^2 + 3r^2) + 4 [3R^2 (R \pm$$\pm 3r) \pm 2r^3]\}$</div>

В формулах верхний знак относится к элементу а, нижний — к элементу б

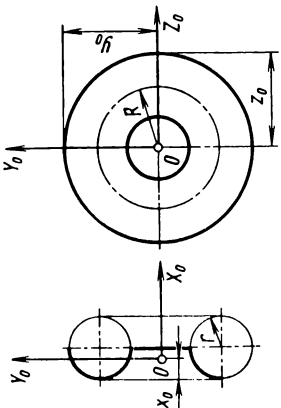
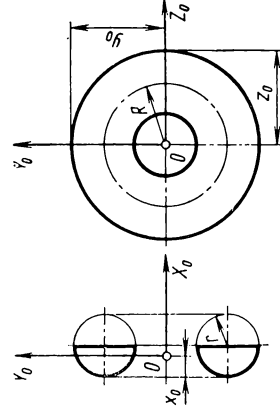
Продолжение табл. 4

Эскиз и номер элемента	Поворхность, координаты центра масс	Моменты инерции относительно центральных плоскостей (вспомогательные величины) Главные центральные моменты инерции см. табл. 25, стр. 127
<div data-bbox="278 1388 311 1421" style="border: 1px solid black; padding: 2px; display: inline-block;">III</div>  <p style="text-align: center;">a)</p>	$S = \pi r [(\pi + 4) R \pm 5r]$ $x_0 = \pi \frac{r^2}{S} [(\pi - 1) R \pm 2r]$ $y_0 = z_0 = R \pm r$	$I_{Y_0 O Z_0} = m \left\{ \frac{\pi}{6} \cdot \frac{r^3}{S} [(9\pi - 20) R \pm \pm 8r] - x_0^2 \right\}$ $I_{Z_0 O X_0} = I_{X_0 O Y_0} = \frac{\pi}{12} m \frac{r}{S} \times \times \{ 6R^2 [(\pi + 4) R \pm 15r] + + r^2 [3 (3\pi + 16) R \pm 23r] \}$
 <p style="text-align: center;">б)</p> <p style="text-align: right;">Элемент 94</p>	<p>В формулах верхний знак относится к элементу а, нижний — к элементу б</p>	

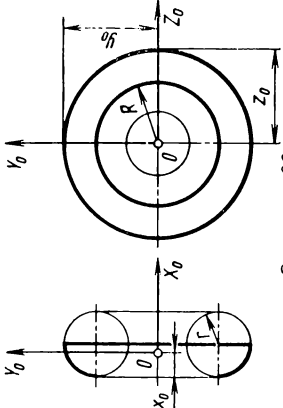
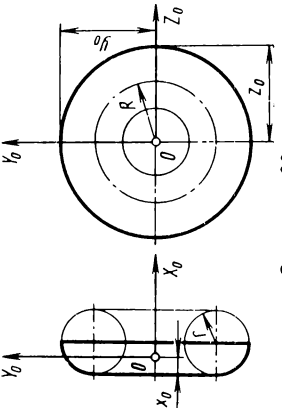
Продолжение табл. 4

Эскиз и номер элемента	Поверхность, координаты центра масс	Моменты инерции относительно центральных плоскостей (вспомогательные величины) Главные центральные моменты инерции см. табл. 25, стр. 127
<div data-bbox="281 1386 321 1419" style="border: 1px solid black; padding: 2px; display: inline-block;">III</div>  <p style="text-align: center;">a)</p>	$S = 2\pi r [(\pi + 2) R \pm 4r]$ $x_0 = r; \quad y_0 = z_0 = R \pm r$	$I_{Y_0 O Z_0} = \frac{\pi}{3} m \frac{r^3}{S} [(9\pi - 20) R \pm 8r]$ $I_{Z_0 O X_0} = I_{X_0 O Y_0} = \frac{\pi}{6} m \frac{r}{S} \times$ $\times \{6R^2 [(\pi + 2) R \pm 12r] +$ $+ r^2 [9(\pi + 4) R \pm 20r]\}$
 <p style="text-align: center;">б)</p> <p style="text-align: right;">Элемент 95</p>	<p>В формулах верхний знак относится к элементу а, нижний — к элементу б</p>	

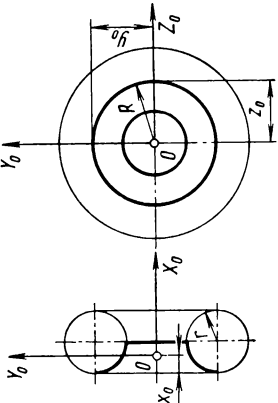
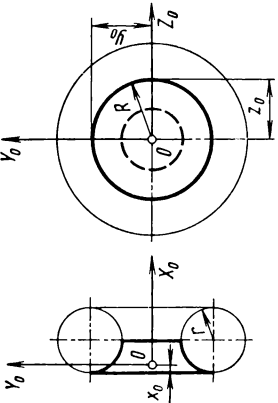
Продолжение табл. 4

Эскиз и номер элемента	Поверхность, координаты центра масс	Моменты инерции относительно центральных плоскостей (вспомогательные величины) Главные центральные моменты инерции см. табл. 25, стр. 127
<div data-bbox="274 1414 312 1446" style="border: 1px solid black; padding: 2px; display: inline-block;">III</div>  <p style="text-align: center;">Элемент 96</p>	$S = \pi (R - r)^2 + 2\pi Rr$ $x_0 = \pi \frac{r}{S} [(R - r)^2 + 2(\pi - 2)Rr]$ $y_0 = z_0 = R + r$	$I_{Y_0OZ_0} = m \left\{ \pi \frac{r^2}{S} [(R - r)^2 + (3\pi - 8)Rr] - x_0^2 \right\}$ $I_{Z_0OX_0} = I_{X_0OY_0} = \frac{\pi}{4} m \frac{1}{S} \times [(R - r)^4 + 2\pi Rr(2R^2 + 3r^2)]$
<div data-bbox="623 1414 661 1446" style="border: 1px solid black; padding: 2px; display: inline-block;">III</div>  <p style="text-align: center;">Элемент 97</p>	$S = 2\pi (\pi + 2) Rr = 32,30558 Rr$ $x_0 = \frac{\pi}{\pi + 2} r = 0,61102r$ $y_0 = z_0 = R + r$	$I_{Y_0OZ_0} = \frac{\pi^2 + 2\pi - 8}{2(\pi + 2)^2} m r^2 = 0,15402 m r^2$ $I_{Z_0OX_0} = I_{X_0OY_0} = \frac{1}{4(\pi + 2)} \times m [2(\pi + 2)R^2 + (3\pi + 4)r^2] = m(0,5R^2 + 0,64959r^2)$

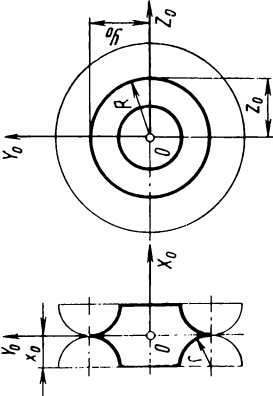
Продолжение табл. 4

Эскиз и номер элемента	Поверхность, координаты центра масс	Моменты инерции относительно центральных плоскостей (вспомогательные величины) Главные центральные моменты инерции см. табл. 25, стр. 127
<div data-bbox="274 1409 310 1442" style="border: 1px solid black; padding: 2px; display: inline-block;">III</div>  <p style="text-align: center;">Элемент 98</p>	$S = \pi [R^2 + (\pi + 2) R r + 3 r^2]$ $x_0 = \pi \frac{r}{S} [R (R + \pi r) + 2 r^2]$ $y_0 = z_0 = R + r$	$I_{Y_0 Z_0} = m \left\{ \frac{\pi}{6} \cdot \frac{r^2}{S} [6 (R - r)^2 + r (9 \pi R + 4 r)] - x_0^2 \right\}$ $I_{Z_0 O X_0} = I_{X_0 O Y_0} = \frac{\pi}{12} m \frac{1}{S} \times \{ 3 (R + r)^4 + r [3 \pi R (2 R^2 + 3 r^2) + 4 r (9 R^2 + 2 r^2)] \}$
<div data-bbox="627 1385 663 1417" style="border: 1px solid black; padding: 2px; display: inline-block;">III</div>  <p style="text-align: center;">Элемент 99</p>	$S = \pi [2 R^2 + (\pi + 2) R r + 3 r^2]$ $x_0 = \pi \frac{r}{S} [R (R + \pi r) + 2 r^2]$ $y_0 = z_0 = R + r$	$I_{Y_0 Z_0} = m \left\{ \frac{\pi}{6} \cdot \frac{r^2}{S} [6 (R - r)^2 + r (9 \pi R + 4 r)] - x_0^2 \right\}$ $I_{Z_0 O X_0} = I_{X_0 O Y_0} = \frac{\pi}{12} m \frac{1}{S} \times \{ 3 [R^4 + (R + r)^4] + r [3 \pi R (2 R^2 + 3 r^2) + 4 r (9 R^2 + 2 r^2)] \}$

Продолжение табл. 4

Эскиз и номер элемента	Поверхность, координаты центра масс	Моменты инерции относительно центральных плоскостей (вспомогательные величины) Главные центральные моменты инерции см. табл. 25, стр. 127
<div data-bbox="281 1409 319 1438">III</div>  <p style="text-align: center;">Элемент 100</p>	$S = \pi [R^2 + (\pi - 2) Rr - r^2] + \pi \frac{Rr}{S} [R - (4 - \pi) r]$ $x_0 = \pi \frac{Rr}{S} [R - (4 - \pi) r]$ $y_0 = z_0 = R$	$I_{Y_0 O Z_0} = m \left\{ \frac{\pi}{6} \cdot \frac{r^2}{S} [2 (3R^2 + r^2) - 9 (4 - \pi) Rr] - x_0^2 \right\}$ $I_{Z_0 O X_0} = I_{X_0 O Y_0} = \frac{\pi}{12} m \frac{1}{S} \times [3 (R - r)^4 + r [3\pi R (2R^2 + 3r^2) - 4r (9R^2 + 2r^2)]]$
<div data-bbox="642 1409 680 1438">III</div>  <p style="text-align: center;">Элемент 101</p>	$S = \pi [2R^2 + (\pi - 2) Rr - r^2] + \pi \frac{Rr}{S} [R - (4 - \pi) r]$ $x_0 = \pi \frac{Rr}{S} [R - (4 - \pi) r]$ $y_0 = z_0 = R$	$I_{Y_0 O Z_0} = m \left\{ \frac{\pi}{6} \cdot \frac{r^2}{S} [2 (3R^2 + r^2) - 9 (4 - \pi) Rr] - x_0^2 \right\}$ $I_{Z_0 O X_0} = I_{X_0 O Y_0} = \frac{\pi}{12} m \frac{1}{S} \times [3 [R^4 + (R - r)^4] + r [3\pi R (2R^2 + 3r^2) - 4r (9R^2 + 2r^2)]]$

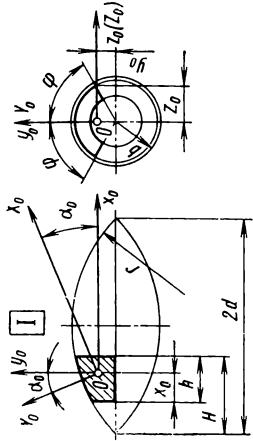
Продолжение табл. 4

Эскиз и номер элемента	Поверхность, координаты центра масс	Моменты инерции относительно центральных плоскостей (вспомогательные величины) Главные центральные моменты инерции см. табл. 25, стр. 127
<div data-bbox="448 1409 487 1435" style="border: 1px solid black; padding: 2px; display: inline-block;">III</div>  <p style="text-align: center;">Элемент 102</p>	$S = 2\pi [R^2 +$ $+ (\pi - 2) Rr - r^2]$ $x_0 = r$ $y_0 = z_0 = R$	$I_{Y_0 O Z_0} = \frac{\pi}{3} m \frac{r^2}{S} [2 (3R^2 + r^2) -$ $- 9 (4 - \pi) Rr]$ $I_{Z_0 O X_0} = I_{X_0 O Y_0} = \frac{\pi}{6} m \frac{1}{S} \times$ $\times \{3 (R - r)^4 + r [3\pi R (2R^2 + 3r^2) -$ $- 4r (9R^2 + 2r^2)]\}$

5. ЭЛЕМЕНТЫ ОЖИВАЛА

Масса $m = V\rho$ или $m = S\delta\rho$, где V — объем; S — поверхность;
 δ — толщина стенки; ρ — плотность материала

ЭЛЕМЕНТЫ ОБЪЕМА

Эскиз и номер элемента	Объем, координаты центра масс	Моменты инерции относительно центральных плоскостей (вспомогательные величины) Главные центральные моменты инерции см. табл. 25, стр. 127
 <p style="text-align: center;">Элемент 103</p>	$V = \frac{\varphi}{3} \{ 6ha^2 + 3d(H^2 - t^2) - (H^3 - t^3) - 2a[P_t(d - t) - P_H(d - H) + ct^2] \}$ $x_0 = \frac{\varphi}{12} \cdot \frac{1}{V} \{ 12a^2(H^2 - t^2) + 8d(H^3 - t^3) - 3(H^4 - t^4) - 4a[P_t(2(r^2 - t^2) + d(d + t)) - P_H[2(r^2 - H^2) + d(d + H)]] \} - t$	$J_{y_0Oz_0} = m \left\{ \frac{\varphi}{60} \cdot \frac{1}{V} \{ 2[20a^2(H^3 - t^3) - 6(H^5 - t^5)] - 5P_t a[r^2(13d + 3t) + 2d^2(d + t) + 2t^2(d - 3t)] + 5P_H a[r^2(13d + 3H) + 2d^2(d + H) + 2H^2(d - 3H)] - 15cr^2a(r^2 + 4d^2) - (x_0 + t)^2 \} \right\}$ $J_{z_0Ox_0} = m \{ (2\varphi + \sin 2\varphi) T^2 - y_0^2 \}$ $I_{x_0Oy_0} = (2\varphi - \sin 2\varphi) m T^2$

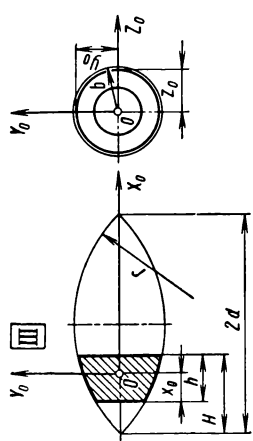
Продолжение табл. 5

Эскиз и номер элемента	Объем, координаты центра масс	Моменты инерции относительно центральных плоскостей (вспомогательные величины) Главные центральные моменты инерции см. табл. 25, стр. 127
	$y_0 = \frac{\sin \varphi}{12} \cdot \frac{1}{V} \{ P_t [17r^2 (d - t) - 2d^2 (7d - 9t) - 2t^2 (3d - t)] - P_H [17r^2 (d - H) - 2d^2 \times (7d - 9H) - 2H^2 (3d - H)] + 3cr^2 (5r^2 - 4d^2) - 8a \times [4a^2 h + 3d (H^2 - t^2) - (H^3 - t^3)] \}$ $z_0 = (P_H - a) \sin \varphi$	$J_{x_0 y_0} = m \left\{ \frac{\sin \varphi}{60} \cdot \frac{1}{V} \times \right. \\ \times \{ P_t [5 (5r^2 - 4d^2) (2r^2 + d^2) - 2a^4 + td (27r^2 - 22d^2) - 2t^2 (28r^2 - 29d^2) - 2t^3 (11d - 4t)] - \\ - P_H [5 (5r^2 - 4d^2) (2r^2 + d^2) - 2a^4 + Hd (27r^2 - 22d^2) - 2H^2 (28r^2 - 29d^2) - 2H^3 (11d - 4H)] + \\ + 15cr^2 d (5r^2 - 4d^2) - 10a [8a^2 (H^2 - t^2) + 8d (H^3 - t^3) - 3 (H^4 - t^4)] \} - (x_0 + t) y_0 \}$

Продолжение табл. 5

Эскиз и номер элемента	Объем, координаты центра масс	Моменты инерции относительно центральных плоскостей (вспомогательные величины) Главные центральные моменты инерции см. табл. 25, стр. 127
		<p>В формулах $a = r - b$; $d = \sqrt{b(2r - b)}$; $P_t = \sqrt{a^2 + t(2d - t)}$; $P_H = \sqrt{a^2 + H(2d - H)}$; $c = \arcsin \frac{d - t}{r} - \arcsin \frac{d - H}{r}$; $t = H - h$; $T^2 = \frac{1}{240V} \{ 2 \{ 120a^2 [a^2h + d(H^2 - t^2)] -$ $- 5 [4(2r^2 - 3d^2)(H^3 - t^3) + 3d(H^4 - t^4)] + 3(H^5 - t^5) \} -$ $- 15a \{ P_t [(9r^2 - 4d^2)(d - t) - 2d^2(d - 3t) - 2t^2(3d - t)] -$ $- P_H [(9r^2 - 4d^2)(d - H) - 2d^2(d - 3H) - 2H^2(3d - H)] +$ $+ cr^2(7r^2 - 4d^2) \}$</p> <p>Подставляя значения параметров H и h, указанные в «Предметно-иллюстрированном оглавлении», можно получить формулы для соответствующих элементов объема оживала (см. стр. 27). Элементы при $H = d + \frac{h}{2}$ и $H = h = 2d$ относятся к элементам II типа (см. табл. 25, стр. 127), остальные — к элементам I типа. Формулы для некоторых тел, полученные подстановкой значений параметров φ и b, приведены: при $\varphi = \pi$ на стр. 250 (элемент 104), при $b = r$ на стр. 289 (элемент 144)</p>

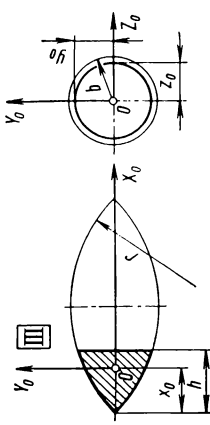
Продолжение табл. 5

Эскиз и номер элемента	Объем, координаты центра масс	Моменты инерции относительно центральных плоскостей (вспомогательные величины) Главные центральные моменты инерции см. табл. 25, стр. 127
 <p style="text-align: center;">Элемент 104</p>	$V = \frac{\pi}{3} \{ 6Ha^2 + 3d(H^2 - t^2) - (H^3 - t^3) - 3a[P_t(d - t) - P_H(d - H) + ct^2] \}$	$I_{Y_0OZ_0} = m \left\{ \frac{\pi}{60} \cdot \frac{1}{V} \times \right. \\ \left. + 15d(H^4 - t^4) - 6(H^5 - t^5) \right\} - \\ - 5P_t a [r^2(13d + 3t) + 2d^2(d + t) + 2t^2(d - 3t)] + \\ + 5P_H a [r^2(13d + 3H) + 2d^2(d + H) + 2H^2(d - 3H)] - \\ - 15ct^2 a (r^2 + 4d^2) - (x_0 + t)^2 \} $

Продолжение табл. 5

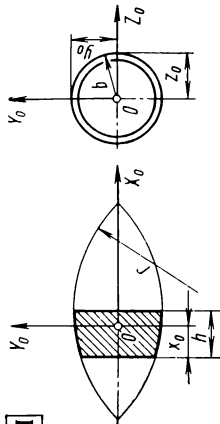
Эскиз и номер элемента	Объем, координаты центра масс	Моменты инерции относительно центральных плоскостей (вспомогательные величины) Главные центральные моменты инерции см. табл. 25, стр. 127
	$x_0 = \frac{\pi}{12} \cdot \frac{1}{V} \{ 12a^2 (H^2 - t^2) +$ $+ 8d (H^3 - t^3) - 3 (H^4 - t^4) -$ $- 4a \{ P_t [2 (r^2 - t^2) +$ $+ d (d + t)] - P_H [2 (r^2 - H^2) +$ $+ d (d + H)] + 3cr^2d \} - t$ $y_0 = z_0 = P_H - a$	$I_{Z_0OY_0} = I_{X_0OY_0} = \frac{\pi}{120} m \frac{1}{V} \times$ $\times \{ 2 \{ 120a^2 [a^2h + d (H^2 - t^2)] -$ $- 5 [4 (2r^2 - 3d^2) (H^3 - t^3) +$ $+ 3d (H^4 - t^4)] + 3 (H^5 - t^5) \} -$ $- 15a \{ P_t [(9r^2 - 4d^2) (d - t) -$ $- 2d^2 (d - 3t) - 2t^2 (3d - t)] -$ $- P_H [(9r^2 - 4d^2) (d - H) -$ $- 2d^2 (d - 3H) - 2H^2 (3d - H)] +$ $+ cr^2 (7r^2 - 4d^2) \}$
<p>В формулах $a = r - b$; $d = \sqrt{b(2r - b)}$; $P_t = \sqrt{a^2 + t(2d - t)}$; $t = H - h$; $P_H = \sqrt{a^2 + H(2d - H)}$; $c = \arcsin \frac{d - t}{r} - \arcsin \frac{d - H}{r}$</p> <p>Формулы для некоторых тел, полученные подстановкой значений параметров H, h и b, приведены на следующих страницах:</p>		
Параметры	$H = h$ $H = d$ $H = d + \frac{h}{2}$	$H = h = d$ $H = h = 2d$ $b = r$
Страница	252 253 254	255 256 292
Элемент	105 106 107	108 109 147

Продолжение табл. 5

Эскиз и номер элемента	Объем, координаты центра масс	Моменты инерции относительно центральных плоскостей (вспомогательные величины) Главные центральные моменты инерции см. табл. 25, стр. 127
 <p style="text-align: center;">Элемент 10</p>	$V = \frac{\pi}{3} \{ h [6a^2 + h(3d - h)] - 3a [ad - P(d - h) + cr^2] \}$ $x_0 = \frac{\pi}{12} \frac{1}{V} \{ h^2 [12a^2 + h(8d - 3h)] - 4a(a(2r^2 + d^2) - P[2(r^2 - h^2) + d(a + h)] + 3cr^2d) \}$ $y_0 = z_0 = P - a$	$I_{y_0 z_0} = m \left\{ \frac{\pi}{60} \cdot \frac{1}{V} \times \right. \\ \times \{ 5Pa[r^2(13d + 3h) + 2d^2(d + h) + 2h^2(d - 3h)] - \\ - 5a^2d(13r^2 + 2d^2) - \\ - 15cr^2a(r^2 + 4d^2) + 2h^3[20a^2 + \\ + 3h(5d - 2h)] \} - x_0^2 \} \\ I_{z_0 x_0} = I_{x_0 y_0} = \frac{\pi}{120} m \frac{1}{V} \times \\ \times \{ 2h[120a^4 + 10h(4r^2 - 3d^2) \times \\ \times (3d - h) - 3d^2(d - h)] - 3h^3 \times \\ \times (5d - h) \} - 15a \{ 3ad(3r^2 - 2d^2) - \\ - P[(d - h)(9r^2 - 4d^2) - \\ - 2d^2(d - 3h) - 2h^2(3d - h)] + \\ + cr^2(7r^2 - 4d^2) \} \}$

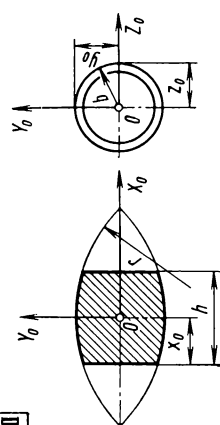
В формулах $a = r - b$; $d = \sqrt{b(2r - b)}$; $P = \sqrt{a^2 + h(2d - h)}$;
 $c = \arcsin \frac{d}{r} - \arcsin \frac{d - h}{r}$

Продолжение табл. 5

Эскиз и номер элемента	Объем, координаты центра масс	Моменты инерции относительно центральных плоскостей (вспомогательные величины) Главные центральные моменты инерции см. табл. 25, стр. 127
<div data-bbox="500 1414 539 1443" style="border: 1px solid black; padding: 2px; display: inline-block;">III</div>  <p style="text-align: center;">Элемент 106</p>	$V = \frac{\pi}{3} \{ h [3 (2r^2 - d^2) - h^2] - 3a (Ph + cr^2) \}$ $x_0 = \frac{\pi}{12} \cdot \frac{1}{V} \times$ $\times \{ h [6 (2d - h) (2r^2 - d^2) - [-h^2 (4d - 3h)] - 4a \times$ $\times \{ P [2 (r^2 - h^2) + 3hd] - r^2 (2r - 3cd) \} \} - (d - h)$ $y_0 = z_0 = b$	$I_{Y_0 O Z_0} = m \left\{ \frac{\pi}{60} \cdot \frac{1}{V} \times \right.$ $\times \{ 2h [10 (2r^2 - d^2) (3d^2 - 3hd + h^2) -$ $- 10d^2 h^2 + 3h^3 (5d - 2h)] -$ $- 5Pa [16d (r^2 - h^2) -$ $- 3h (r^2 - 4d^2 - 2h^2)] +$ $+ 5r^2 a [16rd - 3c (r^2 + 4d^2)] \} -$ $- (x_0 + d - h)^2 \}$ $I_{Z_0 O X_0} = I_{X_0 O Y_0} = \frac{\pi}{120} m \frac{1}{V} \times$ $\times \{ 2h [120d^4 + 10 (3d^2 - h^2) \times$ $\times (4r^2 - 3d^2) - 3 (5d^4 - h^4)] -$ $- 15a [Ph (9r^2 - 4d^2 - 2h^2) +$ $+ cr^2 (7r^2 - 4d^2)] \}$

В формулах $a = r - b$; $d = \sqrt{b(2r - b)}$; $P = \sqrt{r^2 - h^2}$;
 $c = r \arcsin \frac{h}{r}$

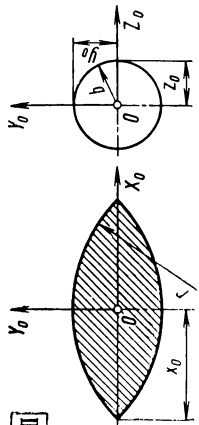
Продолжение табл. 5

Эскиз и номер элемента	Объем, координаты центра масс	Моменты инерции относительно центральных плоскостей (вспомогательные величины) Главные центральные моменты инерции см. табл. 25, стр. 127
<div data-bbox="491 1412 529 1442" style="border: 1px solid black; padding: 2px; display: inline-block;">III</div>  <p style="text-align: center;">Элемент 107</p>	$V = \frac{\pi}{12} \{ h [12 (2r^2 - d^2) - h^2] - 6a (Ph + 4cr^2) \}$ $x_0 = -\frac{1}{2} h$ $y_0 = z_0 = b$	$I_{Y_0 O Z_0} = \frac{\pi}{240} m \frac{1}{V} \times$ $\times \{ h^3 [20 (2r^2 - d^2) - 3h^2] -$ $[-15a \{ 8cr^4 - Ph (2r^2 - h^2) \}] \}$ $I_{Z_0 O X_0} = I_{X_0 O Y_0} = \frac{\pi}{960} m \frac{1}{V} \times$ $\times \{ h \{ 40 [48a^4 + (4r^2 - 3d^2) \times$ $\times (12d^2 - h^2)] - 3 (80d^4 - h^4) \} -$ $- 30a \{ Ph [2 (9r^2 - 4d^2) - h^2] +$ $+ 8cr^2 (7r^2 - 4d^2) \} \}$
	<p>В формулах $a = r - b$; $d = \sqrt{b(2r - b)}$; $P = \sqrt{4r^2 - h^2}$;</p> $c = \arcsin \frac{h}{2r}$	

Продолжение табл. 5

Эскиз и номер элемента	Объем, координаты центра масс	Моменты инерции относительно центральных плоскостей (вспомогательные величины) Главные центральные моменты инерции см. табл. 25, стр. 127
<div data-bbox="500 1013 703 1442"> </div>	$V = \frac{\pi}{3} [2d (3r^2 - 2d^2) - 3a (ad + cr^2)] = K_1 r^3$ $x_0 = \frac{\pi}{12} \cdot \frac{1}{V} \{ d^2 (12r^2 - 7d^2) - 4a [3cr^2d - b^2 (3r - b)] \} = K_2 r$ $y_0 = z_0 = b$	$I_{Y_0 O Z_0} = m \left\{ \frac{\pi}{60} \cdot \frac{1}{V} \times \right. \\ \times \{ 2d^3 (20r^2 - 11d^2) - \\ - 5a [3cr^2 (r^2 + 4d^2) - 3r^2d \times \\ \times (r + 3b) - 2b^2d (3r - b)] \} - x_0^2 \} = \\ = K_3 m r^2$ $I_{Z_0 O X_0} = I_{X_0 O Y_0} = \frac{\pi}{120} m \frac{1}{V} \times \\ \times \{ 16d [15a^4 + d^2 (10r^2 - 9d^2)] - \\ - 15a [3ad (3r^2 - 2d^2) + \\ + cr^2 (7r^2 - 4d^2)] \} = K_4 m r^2$
<p>В формулах $a = r - b$; $d = \sqrt{b(2r - b)}$; $c = \arcsin \frac{d}{r}$.</p> <p>Коэффициенты $K_i = f \left(p = \frac{b}{r} \right)$ приведены в табл. 8 (см. стр. 487)</p>		

Продолжение табл. 5

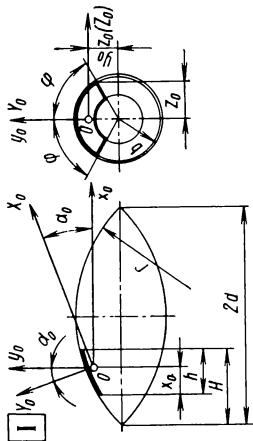
Эскиз и номер элемента	Объем, координаты центра масс	Моменты инерции относительно центральных плоскостей (вспомогательные величины) Главные центральные моменты инерции см. табл. 25, стр. 127
<div data-bbox="502 1404 540 1437" style="border: 1px solid black; padding: 2px; display: inline-block;">III</div>  <p style="text-align: center;">Элемент 109</p>	$V = \frac{2}{3} \pi [2d (3r^2 - 2d^2) - 3a (ad + cr^2)] = 2K_1 r^3$ $x_0 = d = K_5 r$ $y_0 = z_0 = b$	$I_{Y_0 O Z_0} = \frac{\pi}{30} m \frac{1}{V} \times$ $\times \{8d^2 (5r^2 - 4d^2) - 15a [cr^4 - ad (r^2 - 2d^2)]\} =$ $= K_6 m r^2$ $I_{Z_0 O X_0} = I_{X_0 O Y_0} = \frac{\pi}{60} m \frac{1}{V} \times$ $\times \{16d [15a^4 + d^2 (10r^2 - 9d^2)] - 15a [3ad (3r^2 - 2d^2) + cr^2 (7r^2 - 4d^2)]\} = K_4 m r^2$

В формулах $a = r - b$; $d = \sqrt{b(2r - b)}$; $c = \arcsin \frac{d}{r}$.

Коэффициенты $K_i = f\left(p = \frac{b}{r}\right)$ приведены в табл. 8 (см. стр. 487)

Продолжение табл. 5

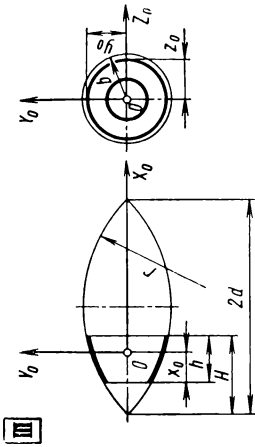
ЭЛЕМЕНТЫ ПОВЕРХНОСТИ

Эскиз и номер элемента	Поверхность, координаты центра масс	Моменты инерции относительно центральных плоскостей (вспомогательные величины) Главные центральные моменты инерции см. табл. 25, стр. 127
 <p style="text-align: center;">Элемент 110</p>	$S = 2\varphi r (h - ca)$ $x_0 = \varphi \frac{r}{S} [(H^2 - t^2) - 2a(P_t - P_H + cd)] - t$ $y_0 = \sin \varphi \cdot \frac{r}{S} [c(3r^2 - 2d^2) + P_t(d - t) - P_H(d - H) - 4ah]$ $z_0 = (P_H - a) \sin \varphi$	$J_{y_0 z_0} = m \left\{ \frac{\varphi}{3} \cdot \frac{r}{S} \{2(H^2 - t^2) - 3a[P_t(3d + t) - P_H(3d + H) + c(r^2 + 2d^2)]\} - (x_0 + t)^2 \right\}$ $J_{z_0 x_0} = m [(2\varphi + \sin 2\varphi) T^2 - y_0^2]$ $I_{x_0 y_0} = (2\varphi - \sin 2\varphi) m T^2$ $J_{x_0 y_0} = m \left\{ \frac{\sin \varphi}{3} \cdot \frac{r}{S} \times \right.$ $\times \{P_t[(8r^2 - 5d^2) + t(d - 2t)] -$ $- P_H[(8r^2 - 5d^2) + H(d - 2H)] -$ $- 3[2a(H^2 - t^2) -$ $- cd(3r^2 - 2d^2)]\} - (x_0 + t)y_0 \left. \right\}$

Продолжение табл. 5

Эскиз и номер элемента	Поверхность, координаты центра масс	Моменты инерции относительно центральных плоскостей (вспомогательные величины) Главные центральные моменты инерции см. табл. 25, стр. 127
		<p>В формулах $a = r - b$; $t = H - h$; $d = \sqrt{b(2r - b)}$;</p> $P_t = \sqrt{a^2 + t(2d - t)}; \quad P_H = \sqrt{a^2 + H(2d - H)};$ $c = \arcsin \frac{d - t}{r} - \arcsin \frac{d - H}{r};$ $T^2 = \frac{1}{12} \cdot \frac{r}{S} \{ 2 [12ha^2 + 3d(H^2 - t^2) - (H^3 - t^3)] -$ $- 3a [3P_t(d - t) - 3P_H(d - H) + c(5r^2 - 2d^2)] \}.$ <p>Подставляя значения параметров H и h, указанные в «Предметно-иллюстрированном оглавлении», можно получить формулы для соответствующих элементов поверхности оживала (см. стр. 27).</p> <p>Элементы при $H = d + \frac{h}{2}$ и $H = h = 2d$ относятся к элементам II типа (см. табл. 25, стр. 127), остальные — к элементам I типа. Формулы для некоторых тел, полученные подстановкой значений параметров φ и b, приведены: при $\varphi = \pi$ на стр. 259 (элемент 111), при $b = r$ на стр. 313 (элемент 181).</p>

Продолжение табл. 5

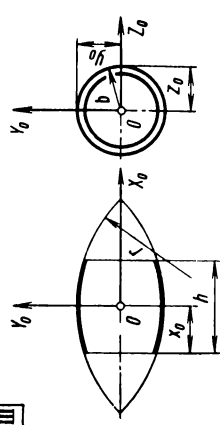
Эскиз и номер элемента	Поверхность, координаты центра масс	Моменты инерции относительно центральных плоскостей (вспомогательные величины). Главные центральные моменты инерции см. табл. 25, стр. 127
<div style="display: flex; align-items: center;"> <div style="margin-right: 10px;">III</div>  </div> <p style="text-align: center;">Элемент 111</p>	$S = 2\pi r (h - ca)$ $x_0 = \pi \frac{r}{S} [(H^3 - t^3) -$ $- 2a (P_t - P_H + cd)] - t$ $y_0 = z_0 = P_H - a$	$I_{Y_0 Z_0} = m \left\{ \frac{\pi}{3} \cdot \frac{r}{S} \{ 2 (H^3 - t^3) - \right.$ $- 3a [P_t (3d + t) - P_H (3d + H) +$ $+ c (r^2 + 2d^2)] \} - (x_0 + t)^2 \}$ $I_{Z_0 X_0} = I_{X_0 Y_0} = \frac{\pi}{6} m \frac{r}{S} \times$ $\times \{ 2 [12ha^2 + 3d (H^2 - t^2) -$ $- (H^3 - t^3)] - 3a [3P_t (d - t) -$ $- 3P_H (d - H) + c (5r^2 - 2d^2)] \}$
	<p>В формулах $a = r - b$; $t = H - h$; $d = \sqrt{b(2r - b)}$; $P_t = \sqrt{a^2 + t(2d - t)}$; $P_H = \sqrt{a^2 + H(2d - H)}$;</p> $c = \arcsin \frac{d - t}{r} - \arcsin \frac{d - H}{r}.$	
<p>Формулы для некоторых тел, полученные подстановкой значений параметров H, h и b, приведены на следующих страницах:</p>		
Параметры	$H = h$ $H = d$ $H = d + \frac{h}{2}$	$H = h = d$ $H = h = 2d$ $b = r$
Страница	260 261 262	263 264 317
Элемент	112 113 114	115 116 187

Продолжение табл. 5

Эскиз и номер элемента	Поверхность, координаты центра масс	Моменты инерции относительно центральных плоскостей (вспомогательные величины) Главные центральные моменты инерции см. табл. 26, стр. 127
<div data-bbox="511 1011 734 1433"> </div> <div data-bbox="740 1149 767 1295" style="text-align: center;"> <p>Элемент 113</p> </div>	$S = 2\pi r (h - ca)$ $x_0 = \pi \frac{r}{S} \times$ $\times [h^2 + 2a (r - P - ch)]$ $y_0 = z_0 = b$	$I_{Y_0 O Z_0} = m \left\{ \frac{\pi}{3} \cdot \frac{r}{S} \times \right.$ $\times \{ 2 [3d (2ar - h^2) + h (3d^2 + h^2)] -$ $- 3a [P (4d - h) + c (r^2 + 2d^2)] \} -$ $- (x_0 + d - h)^2 \}$ $I_{Z_0 O X_0} = I_{X_0 O Y_0} = \frac{\pi}{6} m \frac{r}{S} \times$ $\times \{ 2h [3 (4r^2 - 3d^2) - h^2] -$ $- 3a [3Ph + c (5r^2 - 2d^2)] \}$

В формулах $a = r - b$; $d = \sqrt{b (2r - b)}$; $P = \sqrt{r^2 - h^2}$;
 $c = \arcsin \frac{h}{r}$

Продолжение табл. 5

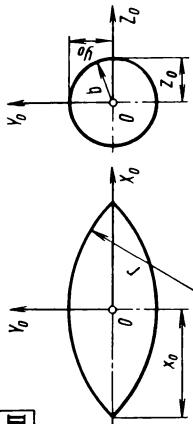
Эскиз и номер элемента	Поверхность, координаты центра масс	Моменты инерции относительно центральных плоскостей (вспомогательные величины) и главные центральные моменты инерции см. табл. 25, стр. 127
<div data-bbox="475 1404 513 1437" style="border: 1px solid black; padding: 2px; display: inline-block;">III</div>  <p style="text-align: center;">Элемент 114</p>	$S = 2\pi r (h - 2ca)$ $x_0 = \frac{1}{2} \frac{h}{\theta}$ $y_0 = z_0 = b$	$I_{Y_0 Z_0} = \frac{\pi}{6} m \frac{r}{S} \times$ $\times [3a (Ph - 4cr^2) + h^3]$ $I_{Z_0 X_0} = I_{X_0 Y_0} = \frac{\pi}{12} m \frac{r}{S} \times$ $\times \{h [12 (4r^2 - 3d^2) - h^2] -$ $- 3a [3Ph + 4c (5r^2 - 2d^2)]\}$ <p style="text-align: right;">В формулах $a = r - b$; $d = \sqrt{b(2r - b)}$; $P = \sqrt{4r^2 - h^2}$; $c = \arcsin \frac{h}{2r}$</p>

Продолжение табл. 5

Эскиз и номер элемента	Поверхность, координаты центра масс	Моменты инерции относительно центральных плоскостей (вспомогательные величины) Главные центральные моменты инерции см. табл. 25, стр. 127
<div data-bbox="507 998 693 1437"> </div>	$S = 2\pi r (d - ca) = K_1 r^2$ $x_0 = \pi \frac{r}{S} [d^2 - 2a (cd - b)] =$ $= K_2 r$ $y_0 = z_0 = b$	$I_{Y_0 O Z_0} = m \left\{ \frac{\pi}{3} \cdot \frac{r}{S} \times \right.$ $\times \{ 2d^3 - 3a [c (r^2 + 2d^2) -$ $- d (r + 3b)] \} - x_0^2 \} = K_3 m r^2$ $I_{Z_0 O X_0} = I_{X_0 O Y_0} = \frac{\pi}{6} m \frac{r}{S} \times$ $\times [d (15r^2 - 11d^2) -$ $- 3ca (5r^2 - 2d^2)] = K_4 m r^2$

В формулах $a = r - b$; $d = \sqrt{b(2r - b)}$; $c = \arcsin \frac{d}{r}$.
 Коэффициенты $K_i = f \left(p = \frac{b}{r} \right)$ приведены в табл. 9 (см. стр. 488)

Продолжение табл. 5

Эскиз и номер элемента	Поверхность, координаты центра масс	Моменты инерции относительно центральных плоскостей (вспомогательные величины) Главные центральные моменты инерции см. табл. 25, стр. 127
<div data-bbox="500 1409 540 1437" style="border: 1px solid black; padding: 2px; display: inline-block;">III</div>  <p style="text-align: center;">Элемент 116</p>	$S = 4\pi r (d - ca) = 2K_1 r^2$ $x_0 = d = K_5 r$ $y_0 = z_0 = b$	$I_{Y_0 Z_0} = \frac{2}{3} \pi m \frac{r}{S} \times$ $\times [d (3r^2 - d^2) - 3car^2] = K_6 \pi r^2$ $I_{Z_0 O X_0} = I_{X_0 O Y_0} = \frac{\pi}{3} m \frac{r}{S} \times$ $\times [d (15r^2 - 11d^2) -$ $- 3ca (5r^2 - 2d^2)] = K_4 \pi r^2$

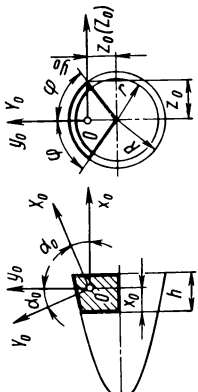
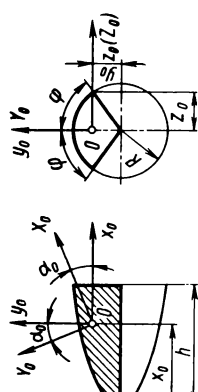
В формулах $a = r - b$; $d = \sqrt{b(2r - b)}$; $c = \arcsin \frac{d}{r}$.

Коэффициенты $K_i = f \left(p = \frac{b}{r} \right)$ приведены: K_1 , K_4 и K_6 в табл. 9 (см. стр. 488); K_5 в табл. 8 (см. стр. 487)

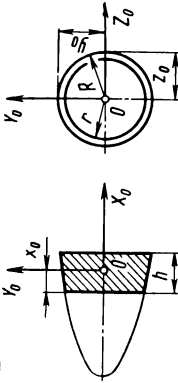
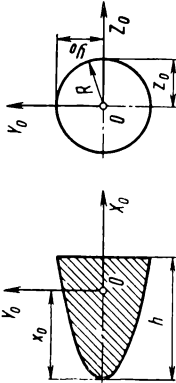
6. ЭЛЕМЕНТЫ ПАРАБОЛОИДА ВРАЩЕНИЯ (ОБРАЗУЮЩАЯ — КВАДРАТНАЯ ПАРАБОЛА)

Масса $m = V\rho$ или $m = S\delta\rho$, где V — объем; S — поверхность; δ — толщина стенки; ρ — плотность материала

ЭЛЕМЕНТЫ ОБЪЕМА

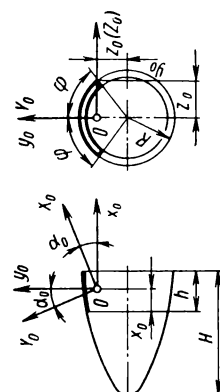
Эскиз и номер элемента	Объем, координаты центра масс	Моменты инерции относительно центральных плоскостей (вспомогательные величины) Главные центральные моменты инерции см. табл. 25, стр. 127
<div data-bbox="408 1403 441 1435" style="border: 1px solid black; padding: 2px; display: inline-block;">I</div>  <p style="text-align: center;">Элемент 117</p>	$V = \frac{\varphi}{2} h (R^2 + r^2)$ $x_0 = \frac{\varphi}{6} \cdot \frac{h^2}{V} (2R^2 + r^2)$ $y_0 = \frac{4}{15} \sin \varphi \frac{h}{V} \cdot \frac{R^5 - r^5}{R^2 - r^2}$ $z_0 = R \sin \varphi$ <p style="text-align: center;">В формулах $T^2 = \frac{1}{24} \cdot \frac{h}{V}$</p>	$J_{y_0 O z_0} = \frac{\varphi^2}{72} m \frac{h^4}{V^2} [(R^2 + r^2)^2 + 2R^2 r^2]$ $J_{z_0 O x_0} = m [(2\varphi + \sin 2\varphi) T^2 - y_0^2]$ $I_{x_0 O y_0} = (2\varphi - \sin 2\varphi) m T^2$ $J_{x_0 \cdot y_0} = m \left[\frac{4}{21} \sin \varphi \frac{h^2}{V} \times \right. \\ \left. \times \frac{R^7 - r^7}{(R^2 - r^2)^2} - x_0 y_0 \right]$
<div data-bbox="692 1403 725 1435" style="border: 1px solid black; padding: 2px; display: inline-block;">I</div>  <p style="text-align: center;">Элемент 118</p>	$V = \frac{\varphi}{2} R^2 h$ $x_0 = \frac{2}{3} h = 0,66667h$ $y_0 = \frac{8}{15} \cdot \frac{\sin \varphi}{\varphi} R$ $z_0 = R \sin \varphi$	$J_{y_0 O z_0} = \frac{1}{18} m h^2 = 0,05556 m h^2$ $J_{z_0 O x_0} = m \left[\frac{2\varphi + \sin 2\varphi}{12\varphi} R^2 - y_0^2 \right]$ $I_{x_0 O y_0} = \frac{2\varphi - \sin 2\varphi}{12\varphi} m R^2$ $J_{x_0 \cdot y_0} = \frac{8}{315} \cdot \frac{\sin \varphi}{\varphi} m R h$

Продолжение табл. 6

Эскиз и номер элемента	Объем, координаты центра масс	Моменты инерции относительно центральных плоскостей (вспомогательные величины) Главные центральные моменты инерции см. табл. 25, стр. 127
<div><div>III</div><div></div><div>Элемент 119</div></div>	$V = \frac{\pi}{2} h (R^2 + r^2) = K_1 R^2 h$ $x_0 = \frac{\pi}{2} \cdot \frac{h^2}{V} (2R^2 + r^2) = K_2 h$ $y_0 = z_0 = R$	$I_{Y_0 O Z_0} = \frac{\pi^2}{72} \times$ $\times m \frac{h^4}{V^2} [(R^2 + r^2)^2 + 2R^2 r^2] = K_3 m h^2$ $I_{Z_0 O X_0} = I_{X_0 O Y_0} = \frac{\pi}{12} \times$ $\times m \frac{h}{V} [R^2 (R^2 + r^2) + r^4] = K_4 m R^2$ <p>Коэффициенты $K_i = f \left(p = \frac{r}{R} \right)$ приведены в табл. 10 (см. стр. 488)</p>
<div><div>III</div><div></div><div>Элемент 120</div></div>	$V = \frac{\pi}{2} R^2 h = 1,57080 R^2 h$ $x_0 = \frac{2}{3} h = 0,66667 h;$ $y_0 = z_0 = R$	$I_{Y_0 O Z_0} = \frac{1}{18} m h^2 = 0,05556 m h^2$ $I_{Z_0 O X_0} = I_{X_0 O Y_0} = \frac{1}{6} m R^2 =$ $= 0,16667 m R^2$

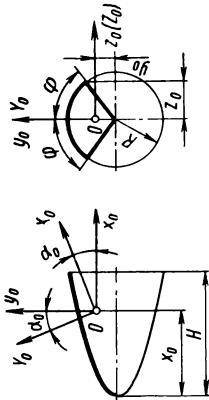
Продолжение табл. 6

ЭЛЕМЕНТЫ ПОВЕРХНОСТИ

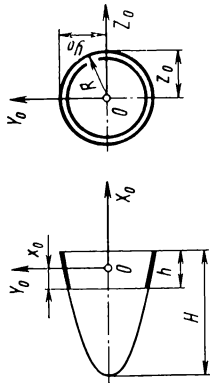
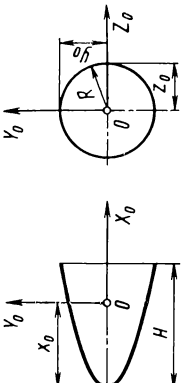
Эскиз и номер элемента	Поверхность, координаты центра масс	Моменты инерции относительно центральных плоскостей (вспомогательные величины) Главные центральные моменты инерции см. табл. 25, стр. 127
<div data-bbox="491 1404 529 1437" style="border: 1px solid black; padding: 2px; display: inline-block;">1</div> 	$S = \frac{\varphi}{6} \cdot \frac{R}{H^2} (P_H^3 - P_t^3)$ $x_0 = \frac{\varphi}{60} \cdot \frac{R}{SH^3} \times$ $\times [P_H^3 (6H^2 - R^2) -$ $- P_t^3 (6A^2 - R^2)] - t$ $y_0 = \frac{\sin \varphi}{64} \cdot \frac{R^2}{SH^3} \times$ $\times [4P_H H (P_H^2 + 4H^2) -$ $- 4P_t A (P_t^2 + 4A^2) - cR^4]$ $z_0 = R \sin \varphi$	$J_{y_0 O z_0} = m \left\{ \frac{\varphi}{420} \cdot \frac{R}{SH^4} \times \right.$ $\times [P_H^3 (6H^2 (5H^2 - R^2) + R^4) -$ $- P_t^3 (6A^2 (5A^2 - R^2) + R^4)] -$ $\left. - (x_0 + t)^2 \right\}$ $J_{z_0 O x_0} = m [(2\varphi + \sin 2\varphi) T^2 - y_0^2]$ $I_{x_0 O y_0} = (2\varphi - \sin 2\varphi) m T^2$ $J_{x_0 \cdot y_0} = m \left\{ \frac{\sin \varphi}{1536} \cdot \frac{R^3}{SH^4} [32 (P_H^3 H^3 - \right.$ $- P_t^3 A^3) + 12 [P_H H (32H^4 - R^4) -$ $- P_t A (32A^4 - R^4)] + 3cR^6 \right\} -$ $\left. - (x_0 + t) y_0 \right\}$ <p>В формулах $P_H = \sqrt{R^2 + 4H^2}$; $P_t = \sqrt{R^2 + 4Ht}$; $A = \sqrt{Ht}$; $t = H - h$; $c = \ln \frac{P_H^2 + 4H(P_H + H)}{P_t^2 + 4A(P_t + A)}$; $T^2 = \frac{1}{240} \cdot \frac{R^3}{SH^4} \times$ $\times [P_H^3 (6H^2 - R^2) - P_t^3 (6A^2 - R^2)]$</p>

Элемент 121

Продолжение табл. 6

Эскиз и номер элемента	Поверхность, координаты центра масс	Моменты инерции относительно центральных плоскостей (вспомогательные величины) Главные центральные моменты инерции см. табл. 25, стр. 127
<div data-bbox="489 1409 527 1442" style="border: 1px solid black; padding: 2px; display: inline-block;">I</div>  <div data-bbox="740 1149 762 1287" style="text-align: center;">Элемент 122</div>	$S = \frac{\varphi}{6} \cdot \frac{R}{H^2} (p^3 - R^3)$ $x_0 = \frac{\varphi}{60} \cdot \frac{R}{SH^3} \times$ $\times [P^3 (6H^2 - p^2) + R^3]$ $y_0 = \frac{\sin \varphi}{64} \cdot \frac{R}{SH^3} \times$ $\times [4PH (p^2 + 4H^2) - cR^4]$ $z_0 = R \sin \varphi$	$J_{y_0 O z_0} = m \left\{ \frac{\varphi}{420} \cdot \frac{R}{SH^4} \times \right.$ $\times [P^3 (6H^2 (5H^2 - R^2) + R^4)] -$ $\left. - R^7 \right\} - x_0^2 \}$ $J_{z_0 O x_0} = m [(2\varphi + \sin 2\varphi) T^2 - y_0^2]$ $I_{x_0 O y_0} = (2\varphi - \sin 2\varphi) m T^2$ $J_{x_0 \cdot y_0} = m \left\{ \frac{\sin \varphi}{1536} \cdot \frac{R^2}{SH^4} \times \right.$ $\times [4PH (8P^2 H^2 + 3 (32H^4 - R^4)) +$ $\left. + 3cR^6 \right] - (x_0 + t) y_0 \}$
	<p>В формулах $P = \sqrt{R^2 + 4H^2}$; $c = \ln \frac{P^2 + 4H(P+H)}{R^2}$; $T^2 =$</p> $= \frac{1}{240} \cdot \frac{R^3}{SH^4} [P^3 (6H^2 - R^2) + R^5]$	

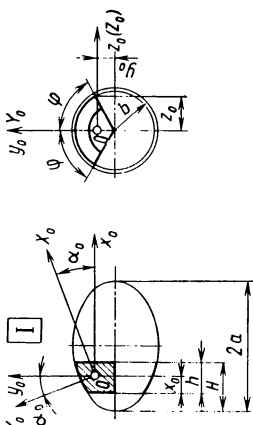
Продолжение табл. 6

Эскиз и номер элемента	Поверхность, координаты центра масс	Моменты инерции относительно центральных плоскостей (вспомогательные величины) Главные центральные моменты инерции см. табл. 25, стр. 127
<div data-bbox="343 1404 387 1445">III</div>  <p style="text-align: center;">Элемент 123</p>	$S = \frac{\pi}{6} \cdot \frac{R}{H^2} (P_H^3 - P_t^3)$ $x_0 = \frac{\pi}{60} \cdot \frac{R}{SH^3} \times$ $\times [P_H^3 (6H^2 - R^2) - P_t^3 (6A^2 - R^2)] - t$ $y_0 = z_0 = R$ <p>В формулах $P_H = \sqrt{R^2 + 4H^2}$; $P_t = \sqrt{R^2 + 4Ht}$; $A = \sqrt{Ht}$; $t = H - h$; $c = \ln \frac{P_H^2 + 4H(P_H + H)}{P_t^2 + 4A(P_t + A)}$</p>	$I_{Y_0 O Z_0} = m \left\{ \frac{\pi}{420} \cdot \frac{R}{SH^4} \{ P_H^3 [6H^2 \times \right.$ $\times (5H^2 - R^2) + R^4] - P_t^3 [6A^2 (5A^2 -$ $- R^2) + R^4] \} - (x_0 + t)^2 \}$ $I_{Z_0 O X_0} = I_{X_0 O Y_0} = \frac{\pi}{120} m \frac{R^3}{SH^4} \times$ $\times [P_H^3 (6H^2 - R^2) - P_t^3 (6A^2 - R^2)]$
<div data-bbox="693 1404 737 1445">III</div>  <p style="text-align: center;">Элемент 124</p>	$S = \frac{\pi}{6} \cdot \frac{R}{H^2} (P_H^3 - R^3) = K_1 R^2$ $x_0 = \frac{\pi}{60} \cdot \frac{R}{SH^3} \times$ $\times [P_H^3 (6H^2 - R^2) - R^5] = K_2 R$ $y_0 = z_0 = R$ <p>В формулах $P = \sqrt{R^2 + 4H^2}$</p>	$I_{Y_0 O Z_0} = m \left\{ \frac{\pi}{420} \cdot \frac{R}{SH^4} \{ P^3 [6H^2 (5H^2 - \right.$ $- R^2) + R^4] - R^7 \} - x_0^2 \} = K_3 m R^2$ $I_{Z_0 O X_0} = I_{X_0 O Y_0} = \frac{\pi}{120} m \frac{R^3}{SH^4} \times$ $\times [P^3 (6H^2 - R^2) + R^5] = K_4 m R^2$ <p>Кoeffициенты $K_i = f \left(p = \frac{H}{R} \right)$ приведены в табл. 11 (см. стр. 489)</p>

7. ЭЛЕМЕНТЫ ЭЛЛИПСОИДА ВРАЩЕНИЯ

Масса $m = V\rho$ или $m = S\delta\rho$, где V — объем; S — поверхность; δ — толщина стенки; ρ — плотность материала

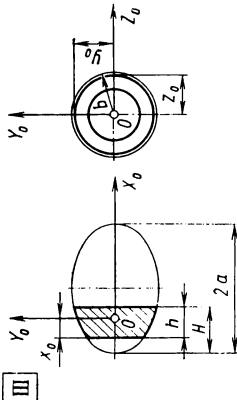
ЭЛЕМЕНТЫ ОБЪЕМА

Эскиз и номер элемента	Объем, координаты центра масс	Моменты инерции относительно центральных плоскостей (спомогательные величины) Главные центральные моменты инерции см. табл. 25, стр. 127
 <p style="text-align: right;">Элемент 125</p>	$V = \frac{\varphi}{3} \cdot \frac{b^2}{a^2} \times$ $\times [3a (H^2 - t^2) - (H^3 - t^3)]$ $x_0 = \frac{\varphi}{12} \cdot \frac{b^2}{a^2} \cdot \frac{1}{V} \times$ $\times [8a (H^3 - t^3) -$ $- 3 (H^4 - t^4)] - t$ $y_0 = \frac{\sin \varphi}{12} \cdot \frac{b^3}{a^3} \cdot \frac{1}{V} \times$ $\times \{ P_t [a^2 (3a + t) -$ $- 2t^2 (3a - t)] -$ $- P_H [a^2 (3a + H) -$ $- 2H^2 (3a - H)] + 3ca^4 \}$ $z_0 = \frac{b}{a} P_H \sin \varphi$	$J_{y_0 O z_0} = m \left\{ \frac{\varphi}{10} \cdot \frac{b^2}{a^2} \cdot \frac{1}{V} \times \right.$ $\times [5a (H^4 - t^4) - 2 (H^5 - t^5)] -$ $\left. - (x_0 + t)^2 \right\}$ $J_{z_0 O x_0} = m [(2\varphi + \sin 2\varphi) T^2 - y_0^2]$ $I_{x_0 O y_0} = (2\varphi - \sin 2\varphi) m T^2$ $J_{x_0 y_0} = m \left\{ \frac{\sin \varphi}{60} \cdot \frac{b^3}{a^3} \cdot \frac{1}{V} \times \right.$ $\times \{ P_t [5a^2 (3a + t) + 2a^2 t^2 -$ $- 2t^3 (11a - 4t)] -$ $- P_H [5a^2 (3a + H) + 2a^2 H^2 -$ $- 2H^3 (11a - 4H)] + 15ca^5 \}$ $\left. - (x_0 + t) y_0 \right\}$

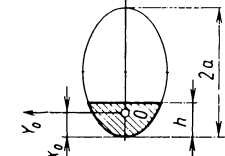
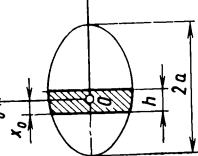
Продолжение табл. 7

Эскиз и номер элемента	Объем, координаты центра масс	Моменты инерции относительно центральных плоскостей (вспомогательные величины) Главные центральные моменты инерции см. табл. 25, стр. 127
		<p>В формулах $t = H - h$; $P_t = \sqrt{t(2a - t)}$; $P_H = \sqrt{H(2a - H)}$;</p> $c = \arcsin \frac{a - t}{a} - \arcsin \frac{a - H}{a}; \quad T^2 = \frac{1}{120} \cdot \frac{b^4}{a^4} \cdot \frac{1}{V} \{ 5a [4a (H^3 -$ $- t^3) - 3 (H^4 - t^4)] + 3 (H^5 - t^5) \}$ <p>Подставляя значения параметров H и h, указанные в «Предметно-иллюстрированном оглавлении», можно получить формулы для соответствующих элементов объема эллипсоида вращения (см. стр. 28).</p> <p>Элементы при $H = a + \frac{h}{2}$ и $H = h = 2a$ относятся к элементам II типа (см. табл. 25, стр. 127), остальные — к элементам I типа. Формулы для некоторых тел, полученные подстановкой значений параметров φ, a и b, приведены: при $\varphi = \pi$ на стр. 272 (элемент 126), при $a = b = r$ на стр. 289 (элемент 144).</p>

Продолжение табл. 7

Эскиз и номер элемента	Объем, координаты центра масс	Моменты инерции относительно центральных плоскостей (вспомогательные величины) Главные центральные моменты инерции см. табл. 25, стр. 127
 <p style="text-align: center;">Элемент 126</p>	$V = \frac{\pi}{3} \cdot \frac{b^2}{a^2} [3a(H^2 - t^2) - (H^3 - t^3)] = K_1 ab^2$ $x_0 = \frac{\pi}{12} \cdot \frac{b^2}{a^2} \cdot \frac{1}{V} \times [8a(H^3 - t^3) - 3(H^4 - t^4)] - t = K_2 a$ $y_0 = z_0 = \frac{b}{a} \sqrt{H(2a - H)} = K_3 b$	$I_{Y_o Z_o} = m \left\{ \frac{\pi}{10} \cdot \frac{b^2}{a^2} \cdot \frac{1}{V} \times [5a(H^4 - t^4) - 2(H^5 - t^5)] - (x_0 + t)^2 \right\} = K_3 m a^2$ $I_{Z_o O X_o} = I_{X_o O Y_o} = \frac{\pi}{60} m \frac{b^4}{a^4} \cdot \frac{1}{V} \times [5a[4a(H^3 - t^3) - 3(H^4 - t^4)] + 3(H^5 - t^5)] = K_4 m b^2$
<p>В формулах $t = H - h$.</p> <p>Коэффициенты $K_1 = f \left(n = \frac{H}{a}; p = \frac{h}{a} \right)$ приведены в табл. 12 (см. стр. 489); коэффициент $K_5 = f \left(p = \frac{H}{a} \right)$ приведен в табл. 8 (см. стр. 487).</p> <p>Формулы для некоторых тел, полученные подстановкой значений параметров H, h, a и b, приведены на следующих страницах:</p>		
Параметры	$H = h$ $H = a$ $H = a + \frac{h}{2}$	$H = h = a$ $H = h = 2a$ $a = b = r$
Страница	273	274
Элемент	127	128
	129	130
	131	147

Продолжение табл. 7

Эскиз и номер элемента	Объем, координаты центра масс	Моменты инерции относительно центральных плоскостей (вспомогательные величины) Главные центральные моменты инерции см. табл. 25, стр. 127
<div data-bbox="311 1396 343 1429">III</div>  <p style="text-align: center;">Элемент 127</p>	$V = \frac{\pi}{3} \cdot \frac{b^2}{a^2} A h^2 = K_1 a b^2$ $x_0 = \frac{1}{4} \cdot \frac{h}{A} (8a - 3h) = K_2 a$ $y_0 = z_0 = \frac{b}{a} \sqrt{\frac{h(2a-h)}{3}} = K_3 b$ <p>В формулах $A = 3a - h$. Коэффициенты $K_i = f\left(p = \frac{h}{a}\right)$ приведены: K_1, K_2, K_3 и K_4 в табл. 12 (см. стр. 489) при $n = p$; коэффициент K_5 в табл. 8 (см. стр. 487)</p>	$I_{Y_0 O Z_0} = \frac{1}{80} m \frac{h^2}{A^2} \times$ $\times [8a(5a - 3h) + 3ht^2] = K_3 m a^2$ $I_{Z_0 O X_0} = I_{X_0 O Y_0} = \frac{1}{20} m \frac{b^2}{a^2} \times$ $\times \frac{h}{A} [5a(4a - 3h) + 3ht^2] = K_4 m b^2$
<div data-bbox="693 1396 726 1429">III</div>  <p style="text-align: center;">Элемент 128</p>	$V = \frac{\pi}{3} \cdot \frac{b^2}{a^2} A^2 h = K_1 a b^2$ $x_0 = \frac{1}{4} \cdot \frac{h}{A^2} (6a^2 - h^2) = K_2 a$ $y_0 = z_0 = b$ <p>В формулах $A^2 = 3a^2 - h^2$. Коэффициенты $K_i = f\left(p = \frac{h}{a}\right)$ приведены в табл. 12 (см. стр. 489) при $n = 1$</p>	$I_{Y_0 O Z_0} = \frac{1}{80} m \frac{h^2}{A^4} \times$ $\times [4a^2(15a^2 - 11h^2) + 3ht^4] = K_3 m a^2$ $I_{Z_0 O X_0} = I_{X_0 O Y_0} = \frac{1}{20} m \frac{b^2}{a^2} \times$ $\times \frac{1}{A^2} [5a^2(3a^2 - 2h^2) + 3ht^4] = K_4 m b^2$

Продолжение табл. 7

Эскиз и номер элемента	Объем, координаты центра масс	Моменты инерции относительно центральных плоскостей (вспомогательные величины) Главные центральные моменты инерции см. табл. 25, стр. 127
<div data-bbox="336 1219 549 1425"> </div>	$V = \frac{\pi}{12} \cdot \frac{b^2}{a^2} A^3 h = K_1 a b^2$ $x_0 = \frac{1}{2} h = 0,5h; \quad y_0 = z_0 = b$ <p>В формулах $A^2 = 12a^2 - h^2$. Коэффициенты $K_i = f\left(p = \frac{h}{a}\right)$ приведены в табл. 12 (см. стр. 489) при $n = 1 + \frac{p}{2}$</p>	$I_{Y_0 O Z_0} = \frac{1}{20} m \frac{h^2}{A^2} \times$ $\times (20a^2 - 3h^2) = K_3 m a^2$ $I_{Z_0 O X_0} = I_{X_0 O Y_0} = \frac{1}{80} m \frac{b^2}{a^2} \times$ $\times \frac{1}{A^2} [40a^2 (6a^2 - h^2) + 3h^4] = K_4 m b^2$
<div data-bbox="685 1219 898 1425"> </div>	$V = \frac{2}{3} \pi a b^2 = 2,09440 a b^2$ $x_0 = \frac{5}{8} a = 0,625a;$ $y_0 = z_0 = b$	$I_{Y_0 O Z_0} = \frac{19}{320} m a^2 = 0,05938 m a^2$ $I_{Z_0 O X_0} = I_{X_0 O Y_0} = \frac{1}{5} m b^2 = 0,2 m b^2$

Продолжение табл. 7

Эскиз и номер элемента	Объем, координаты центра масс	Моменты инерции относительно центральных плоскостей (вспомогательные величины) Главные центральные моменты инерции см. табл. 25, стр. 127
<div style="display: flex; align-items: center;"> <div style="border: 1px solid black; padding: 2px; margin-right: 10px;">III</div> </div>	$V = \frac{4}{3} \pi a b^2 = 4,18879 a b^2$ $x_0 = a; y_0 = z_0 = b$	$I_{y_0 O z_0} = \frac{1}{5} m a^2 = 0,2 m a^2$ $I_{z_0 O x_0} = I_{x_0 O y_0} = \frac{1}{5} m b^2 = 0,2 m b^2$

Элемент 131

КОМБИНИРОВАННЫЕ ЭЛЕМЕНТЫ ОБЪЕМА

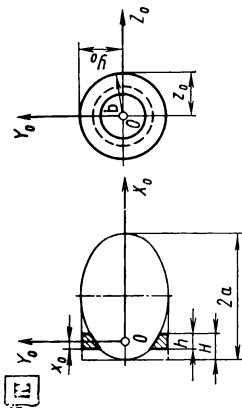
Эскиз и номер элемента	Объем, координаты центра масс	Моменты инерции относительно центральных плоскостей (вспомогательные величины) Главные центральные моменты инерции см. табл. 25, стр. 127
<div style="display: flex; align-items: center;"> <div style="border: 1px solid black; padding: 2px; margin-right: 10px;">I</div> </div>	$V = \frac{\varphi}{3} \cdot \frac{b^2}{a^2} \{ 3a^2 h - [3a (H^2 - t^2) - (H^3 - t^3)] \}$ $x_0 = \frac{\varphi}{12} \cdot \frac{b^2}{a^2} \cdot \frac{1}{V} \times \{ 6a^2 (H^2 - t^2) - [18a (H^3 - t^3) - 3 (H^4 - t^4)] \} - t$	$J_{y_0 O z_0} = m \left\{ \frac{\varphi}{30} \cdot \frac{b^2}{a^2} \cdot \frac{1}{V} \times \right.$ $\times \{ 10a^2 (H^3 - t^3) - 3 [5a (H^4 - t^4) - 2 (H^5 - t^5)] \} - (x_0 + t)^2 \}$ $J_{z_0 O x_0} = m [(2\varphi + \sin 2\varphi) T^2 - y_0^2]$ $I_{x_0 O y_0} = (2\varphi - \sin 2\varphi) m T^2$

Элемент 132

Продолжение табл. 7

Эскиз и номер элемента	Объем, координаты центра масс	Моменты инерции относительно центральных плоскостей (вспомогательные величины) Главные центральные моменты инерции см. табл. 25, стр. 127
	$y_0 = \frac{\sin \varphi}{12} \cdot \frac{b^3}{a^3} \cdot \frac{1}{V} \times$ $\times \{ a^3 (8h - 3ca) -$ $- P_t [a^2 (3a + t) -$ $- 2t^2 (3a - t)] +$ $+ P_H [a^2 (3a + H) -$ $- 2H^2 (3a - H)] \}$ $z_0 = b \sin \varphi$	$J_{x_0 y_0} = m \left\{ \frac{\sin \varphi}{60} \cdot \frac{b^3}{a^3} \cdot \frac{1}{V} \times \right.$ $\{ 20a^3 (H^2 - t^2) - P_t [5a^3 (3a + t) +$ $+ 2a^2 t^2 - 2t^3 (11a - 4t)] +$ $+ P_H [5a^3 (3a + H) + 2a^2 H^2 -$ $- 2H^3 (11a - 4H)] - 15ca^5 \} -$ $\left. - (x_0 + t) y_0 \right\}$
	<p>В формулах $t = H - h$; $P_t = V \sqrt{t(2a - t)}$; $P_H = V \sqrt{H(2a - H)}$;</p> $c = \arcsin \frac{a - t}{a} - \arcsin \frac{a - H}{a}; \quad T^2 = \frac{1}{120} \cdot \frac{b^4}{a^4} \cdot \frac{1}{V} \{ 15a^4 h -$ $- [20a^2 (H^3 - t^3) - 15a (H^4 - t^4) + 3 (H^5 - t^5)] \}.$ <p>Подставляя значения параметров H и h, указанные в «Предметно-иллюстрированном оглавлении», можно получить формулы для соответствующих комбинированных элементов эллипсоида вращения (см. стр. 29). Элементы при $H = a + \frac{h}{2}$ и $H = h = 2a$ относятся к элементам II типа (см. табл. 25, стр. 127), остальные — к элементам I типа.</p> <p>Формулы для некоторых тел, полученные подстановкой значений параметров φ, a и b, приведены: при $\varphi = \pi$ на стр. 277 (элемент 133), при $a = b = r$ на стр. 301 (элемент 161)</p>	

Продолжение табл. 7

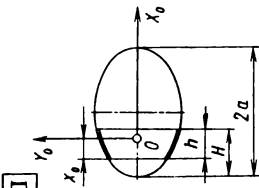
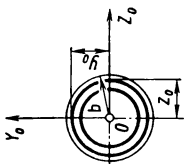
Эскиз и номер элемента	Объем, координаты центра масс	Моменты инерции относительно центральных плоскостей (вспомогательные величины) Главные центральные моменты инерции см. табл. 25, стр. 127
	$V = \frac{\pi}{3} \cdot \frac{b^2}{a^2} \{ 3a^2 h -$ $- [3a (H^2 - t^2) - (H^3 - t^3)] \}$ $x_0 = \frac{\pi}{12} \cdot \frac{b^2}{a^2} \cdot \frac{1}{V} \times$ $\times \{ 6a^2 (H^2 - t^2) -$ $- [8a (H^3 - t^3) -$ $- 3 (H^4 - t^4)] \} - t$ $y_0 = z_0 = b$	$I_{Y_0 O Z_0} = m \left\{ \frac{\pi}{30} \cdot \frac{b^2}{a^2} \cdot \frac{1}{V} \times \right.$ $\times \{ 10a^2 (H^3 - t^3) - 3 [5a (H^4 - t^4) -$ $- 2 (H^5 - t^5)] \} - (x_0 + t)^2 \}$ $I_{Z_0 O X_0} = I_{X_0 O Y_0} = \frac{\pi}{60} m \frac{b^4}{a^4} \cdot \frac{1}{V} \times$ $\times \{ 15a^4 h - [20a^2 (H^3 - t^3) -$ $- 15a (H^4 - t^4) + 3 (H^5 - t^5)] \}$

Элемент 133

В формулах $t = H - h$.
 Подставляя значения параметров H и h , указанные в «Предметно-иллюстрированном оглавлении», можно получить формулы для соответствующих комбинированных элементов эллипсоида вращения (см. стр. 29). Все элементы относятся к элементам III типа (см. табл. 25, стр. 127).
 Формулы для комбинированного элемента шара, полученные подстановкой параметров $a = b = r$, приведены на стр. 303 (элемент 162)

Продолжение табл. 7

ЭЛЕМЕНТЫ ПОВЕРХНОСТИ

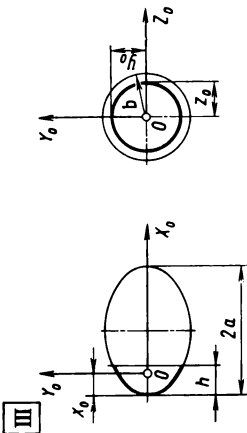
Эскиз и номер элемента	Поверхность, координаты центра масс	Моменты инерции относительно центральных плоскостей (вспомогательные величины) Главные центральные моменты инерции см. табл. 25, стр. 127
<div data-bbox="485 1388 518 1429" style="border: 1px solid black; padding: 2px; display: inline-block;">III</div>  	$S = \frac{\pi}{e} \cdot \frac{b}{a} [eP_t(a-t) - eP_H(a-H) + ca^2]$ $x_0 = \frac{\pi}{3e^2} \cdot \frac{b}{a} \cdot \frac{1}{S} \{ P_t [(2 + e^2)a^2 + e^2t(a-2t)] - P_H [(2 + e^2)a^2 + e^2H(a-2H)] + 3eca^3 \} - t$ $y_0 = z_0 = \frac{b}{a} \sqrt{H(2a-H)}$	$I_{Y_0Z_0} = m \left\{ \frac{\pi}{12e^3} \cdot \frac{b}{a} \cdot \frac{1}{S} \times \right.$ $\times \{ eP_t [(13 + 2e^2)a^3 + (3 + 2e^2)a^2t + 2e^2t^2(a-3t)] - eP_H \times$ $\times [(13 + 2e^2)a^3 + (3 + 2e^2)a^2H + 2e^2H^2(a-3H)] +$ $\left. + 3c(1 + 4e^2)a^4 \right\} - (x_0 + t)^2 \}$ $I_{Z_0Ox_0} = I_{X_0Oy_0} = \frac{\pi}{8e^3} m \frac{b^3}{a^3} \times$ $\times \frac{1}{S} \{ eP_t [(1 + 2e^2)a^3 - (1 - 2e^2)a^2t -$ $- 2e^2t^2(3a-t)] -$ $- eP_H [(1 + 2e^2)a^3 -$ $- (1 - 2e^2)a^2H - 2e^2H^2(3a-H)] -$ $- c(1 - 4e^2)a^4 \}$

Элемент 134

Продолжение табл. 7

Эскиз и номер элемента	Поверхность, координаты центра масс	Моменты инерции относительно центральных плоскостей (вспомогательные величины) Главные центральные моменты инерции см. табл. 25, стр. 127
<p>В формулах $t = H - h$; $e = \frac{\sqrt{a^2 - b^2}}{a}$; $P_t = \sqrt{b^2 + e^2 t (2a - t)}$;</p> <p>$P_H = \sqrt{b^2 + e^2 H (2a - H)}$; $c = \arcsin \frac{a - t}{a} e - \arcsin \frac{a - H}{a} e$</p> <p>Формулы для некоторых тел, полученные подстановкой значений параметров H и h, приведены на следующих страницах:</p>		
Параметры	$H = h$	$H = a + \frac{h}{2}$
Страница	280	281
Элемент	135	136

Продолжение табл. 7

Эскиз и номер элемента	Поверхность, координаты центра масс	Моменты инерции относительно центральных плоскостей (вспомогательные величины) Главные центральные моменты инерции см. табл. 23, стр. 127
<div data-bbox="475 1404 518 1437" style="border: 1px solid black; padding: 2px; display: inline-block;">III</div> 	$S = \frac{\pi}{e} \cdot \frac{b}{a} \{ e [ab - P(a-h)] + ca^2 \}$ $x_0 = \frac{\pi}{3e^2} \cdot \frac{b}{a} \cdot \frac{1}{S} \times$ $\times \{ (2 + e^2) a^2 b - P [(2 + e^2) a^2 + e^2 h (a - 2h)] + 3eca^3 \}$ $y_0 = z_0 = \frac{b}{a} \sqrt{h(2a-h)}$	$I_{y_0 O z_0} = m \left\{ \frac{\pi}{12e^3} \cdot \frac{b}{a} \times \right.$ $\times \frac{1}{S} \{ e(13 + 2e^2) a^3 b -$ $- eP [(13 + 2e^2) a^3 +$ $+ (3 + 2e^2) a^2 h + 2e^2 h^2 (a - 3h)] +$ $+ 3c(1 + 4e^2) a^4 \} - x_0^2 \}$ $I_{z_0 O x_0} = I_{x_0 O y_0} = \frac{\pi}{8e^3} m \frac{b^3}{a^3} \times$ $\times \frac{1}{S} \{ e(1 + 2e^2) a^3 b -$ $- eP [(1 + 2e^2) a^3 - (1 - 2e^2) a^2 h -$ $- 2e^2 h^2 (3a - h)] - c(1 - 4e^2) a^4 \}$
<p>В формулах $e = \frac{\sqrt{a^2 - b^2}}{a}$; $P = \sqrt{b^2 + e^2 h(2a - h)}$; $c = \arcsin e - \arcsin \frac{a-h}{a} e$</p>		

Элемент 135

Продолжение табл. 7

Эскиз и номер элемента	Поверхность, координаты центра масс	Моменты инерции относительно центральных плоскостей (вспомогательные величины) Главные центральные моменты инерции см. табл. 26, стр. 127
<div data-bbox="485 1396 518 1429" style="border: 1px solid black; padding: 2px; display: inline-block;">III</div> <div data-bbox="507 1015 726 1404"> </div>	$S = \frac{\pi}{e} \cdot \frac{b}{a} (ePh + ca^2)$ $x_0 = \frac{\pi}{3e^2} \cdot \frac{b}{a} \cdot \frac{1}{S} \times$ $\times \{ P [e^2h \{ 3a - 2h \} + 2a^2] -$ $- (2 - 3ce) a^3 \} - (a - h)$ $y_0 = z_0 = b$	$I_{Y_0OZ_0} = m \left\{ \frac{\pi}{12e^3} \cdot \frac{b}{a} \cdot \frac{1}{S} \times \right.$ $\times \{ eP [a^2 (16a - 3h) +$ $+ 2e^2h (6a^2 - 8ah + 3h^2)] +$ $+ [3c (1 + 4e^2) - 16e] a^4 \} -$ $\left. - (x_0 + a - h)^2 \right\}$ $I_{Z_0OX_0} = I_{X_0OY_0} = \frac{\pi}{8e^3} m \frac{b^3}{a^3} \times$ $\times \frac{1}{S} \{ ePh [2e^2 (2a^2 - h^2) + a^2] -$ $- c (1 - 4e^2) a^4 \}$

В формулах $e = \frac{\sqrt{a^2 - b^2}}{a}$; $P = \sqrt{a^2 - e^2 h^2}$; $c = \arcsin \frac{h}{a} \frac{e}{a}$

Элемент 136

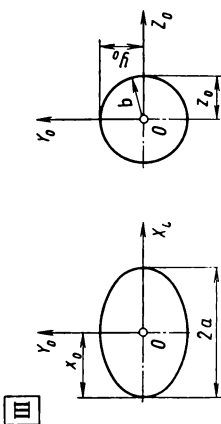
Продолжение табл. 7

Эскиз и номер элемента	Поверхность, координаты центра масс	Моменты инерции относительно центральных плоскостей (вспомогательные величины) Главные центральные моменты инерции см. табл. 26, стр. 127
<div data-bbox="480 1388 518 1429" style="border: 1px solid black; padding: 2px; display: inline-block;">III</div> <div data-bbox="502 1015 720 1412"> </div> <div data-bbox="737 1144 764 1291" style="text-align: center;">Элемент 137</div>	$S = \frac{\pi \cdot b}{2e} (ePh + 4ca^2)$ $x_0 = \frac{1}{2} h$ $y_0 = z_0 = b$	$I_{Y_0 O Z_0} = \frac{\pi}{16e^3} m \frac{b}{a} \times$ $\times \frac{1}{S} [e^2 Ph (e^2 h^2 - 2a^2) + 8ca^4]$ $I_{Z_0 O X_0} = I_{X_0 O Y_0} = \frac{\pi}{32e^3} m \frac{b^3}{a^3} \times$ $\times \frac{1}{S} \{ ePh [e^2 (8a^2 - h^2) + 2a^2] -$ $- 8c (1 - 4e^2) a^4 \}$
	<p>В формулах $e = \frac{\sqrt{a^2 - b^2}}{a}$; $P = \sqrt{4a^2 - e^2 h^2}$; $c = \arcsin \frac{h}{2a} e$</p>	

Продолжение табл. 7

Эскиз и номер элемента	Поверхность, координаты центра масс	Моменты инерции относительно центральных плоскостей (вспомогательные величины) Главные центральные моменты инерции см. табл. 25, стр. 127
<div data-bbox="491 1393 529 1429" style="border: 1px solid black; padding: 2px; display: inline-block;">III</div> <div data-bbox="518 1023 704 1404" style="text-align: center;"> </div> <div data-bbox="720 1153 748 1291" style="text-align: center;">Элемент 138</div>	$S = \frac{\pi}{e} b (eb + ca) = K_1 a^2$ $x_0 = \frac{\pi}{3e^2} \cdot \frac{ab}{S} [(2 + e^2) b - (2 - 3ce) a] = K_2 a$ $y_0 = z_0 = b$	$I_{Y_0 O Z_0} = m \left\{ \frac{\pi}{12e^3} \cdot \frac{a^3 b}{S} \times \right. \\ \times [e (13 + 2e^2) b + [3c (1 + 4e^2) - 16e] a] - x_0^2 \} = K_3 m a^2$ $I_{Z_0 O X_0} = I_{X_0 O Y_0} = \frac{\pi}{8e^3} m \frac{b^3}{S} \times \\ \times [\epsilon (1 + 2e^2) b - c (1 - 4e^2) a] = \\ = K_4 m b^2$
<div data-bbox="797 462 857 933" style="text-align: center;"> <p>В формулах $e = \frac{\sqrt{a^2 - b^2}}{a}$; $c = a \operatorname{arcsin} e$.</p> <p>Коэффициенты $K_i = f \left(p = \frac{b}{a} \right)$ приведены в табл. 13 (см. стр. 494)</p> </div>		

Продолжение табл. 7

Эскиз и номер элемента	Поверхность, координаты центра масс	Моменты инерции относительно центральных плоскостей (вспомогательные величины) Главные центральные моменты инерции см. табл. 25, стр. 127
<div><div>III</div><div></div><div>Элемент 139</div></div>	<div>$S = 2 \frac{\pi}{e} b (eb + ca) =$$= 2K_1 a^2$$x_0 = a; \quad y_0 = z_0 = b$</div>	<div>$I_{Y_0 O Z_0} = \frac{\pi}{2e^3} m \times$$\times \frac{a^2 b}{S} [ca - e(1 - 2e^2)b] = K_5 m a^2$$I_{Z_0 O X_0} = I_{X_0 O Y_0} = \frac{\pi}{4e^3} m \times$$\times \frac{b^3}{S} [e(1 + 2e^2)b - c(1 - 4e^2)a] =$$= K_4 m b^2$</div>

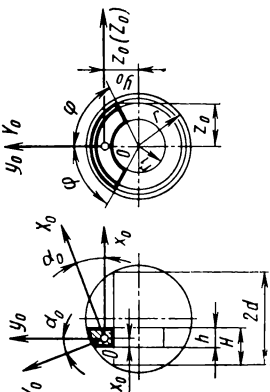
В формулах $e = \frac{\sqrt{a^2 - b^2}}{a}$; $c = \operatorname{arcsin} e$.

Коэффициенты $K_i = f\left(p = \frac{b}{a}\right)$ приведены в табл. 13 (см. стр. 494)

8. ЭЛЕМЕНТЫ ШАРА

Масса $m = V\rho$ или $m = S\delta\rho$, где V — объем; S — поверхность; δ — толщина стенки; ρ — плотность материала

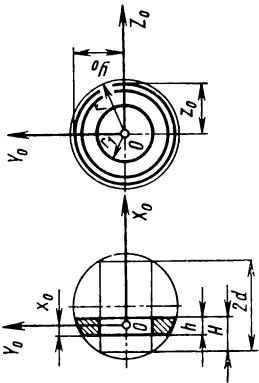
ЭЛЕМЕНТЫ ОБЪЕМА

Эскиз и номер элемента	Объем, координаты центра масс	Моменты инерции относительно центральных плоскостей (вспомогательные величины) Главные центральные моменты инерции см. табл. 25, стр. 127
<div data-bbox="492 1406 541 1443" style="border: 1px solid black; padding: 2px; display: inline-block;">I</div>  <p style="text-align: right;">Элемент 140</p>	$V = \frac{\varphi}{3} [3d (H^2 - t^2) - (H^3 - t^3)]$ $x_0 = \frac{\varphi}{12} \cdot \frac{1}{V} [8d (H^3 - t^3) - 3 (H^4 - t^4)] - t$ $y_0 = \frac{\sin \varphi}{12} \cdot \frac{1}{V} \{ P_t [5r^2 (d - t) - 2d^2 (d - 3t) - 2t^2 (3d - t)] - P_H [5r^2 (d - H) - 2d^2 \times (d - 3H) - 2H^2 (3d - H)] + 3cr^4 - 8r_1^3 h \}$ $z_0 = \sqrt{H (2r - H)} \sin \varphi$	$J_{y_0 z_0} = m \left\{ \frac{\varphi}{10} \cdot \frac{1}{V} [5d (H^4 - t^4) - 2 (H^5 - t^5)] - (x_0 + t)^2 \right\}$ $J_{z_0 O x_0} = m [(2\varphi + \sin 2\varphi) T^2 - y_0^2]$ $I_{x_0 O y_0} = (2\varphi - \sin 2\varphi) m T^2$ $J_{x_0 y_0} = m \left\{ \frac{\sin \varphi}{60} \cdot \frac{1}{V} \{ P_t [5r^2 \times (3r^2 - r_1^2) - 2r_1^4 + td (5r^2 + 2r_1^2) + 2t^2 (r^2 - 9r_1^2) - 2t^3 (11d - 4t)] - P_H [5r^2 (3r^2 - r_1^2) - 2r_1^4 + Hd (5r^2 + 2r_1^2) + 2H^2 (r^2 - 9r_1^2) - 2H^3 (11d - 4H)] + 15cr^4 d - 20r_1^3 (H^2 - t^2) \} - (x_0 + t) y_0 \right\}$

Продолжение табл. 8

Эскиз и номер элемента	Объем, координаты центра масс	Моменты инерции относительно центральных плоскостей (вспомогательные величины) Главные центральные моменты инерции см. табл. 25, стр. 127
		<p>В формулах $t = H - h$; $d = \sqrt{r^2 - r_1^2}$; $P_t = \sqrt{r_1^2 + t(2d - t)}$;</p> $P_H = \sqrt{r_1^2 + H(2d - H)}; \quad c = \arcsin \frac{d - t}{r} - \arcsin \frac{d - H}{r};$ $T^2 = \frac{1}{120V} \{ 10 [3r_1^2 d (H^2 - t^2) + (2r^2 - 3r_1^2) (H^3 - t^3) -$ $- 3 [5d (H^4 - t^4) - (H^5 - t^5)]] \}.$ <p>Подставляя значения параметров H и h, указанные в «Предметно-иллюстрированном оглавлении», можно получить формулы для соответствующих элементов шара (см. стр. 29—30). Элементы при $H = r + \frac{h}{2}$ и $H = h = 2r$ относятся к элементам II типа (см. табл. 25, стр. 162), остальные — к элементам I типа.</p> <p>Формулы для некоторых тел, полученные подстановкой значений параметров φ и r_1, приведены: при $\varphi = \pi$ на стр. 287 (элемент 127); при $r_1 = 0$ на стр. 289 (элемент 144).</p>

Продолжение табл. 8

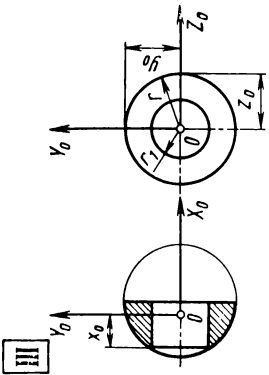
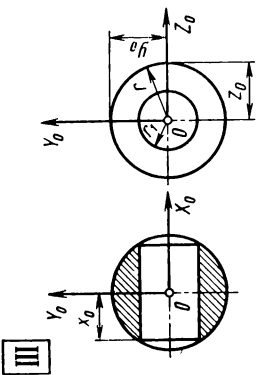
Эскиз и номер элемента	Объем, координаты центра масс	Моменты инерции относительно центральных плоскостей (вспомогательные величины) Главные центральные моменты инерции см. табл. 25, стр. 127
<div data-bbox="467 1377 515 1416" style="border: 1px solid black; padding: 2px; display: inline-block;">III</div>  <p style="text-align: right;">Элемент 141</p>	$V = \frac{\pi}{3} [3d (H^2 - t^2) - (H^3 - t^3)]$ $x_0 = \frac{\pi}{12} \cdot \frac{1}{V} [8d (H^3 - t^3) - 3 (H^4 - t^4)] - t$ $y_0 = z_0 = \sqrt{H (2r - H)}$	$I_{Y_0 O Z_0} = m \left\{ \frac{\pi}{10} \cdot \frac{1}{V} [5d (H^4 - t^4) - 2 (H^5 - t^5)] - (x_0 + t)^2 \right\}$ $I_{Z_0 O X_0} = I_{X_0 O Y_0} = \frac{\pi}{60} m \cdot \frac{1}{V} \times$ $\times [10 [3r_1^2 d (H^2 - t^2) + (2r^2 - 3r_1^2) (H^3 - t^3)] - 3 [5d (H^4 - t^4) - 3 (H^5 - t^5)]]$

В формулах $t = H - h$; $d = \sqrt{r^2 - r_1^2}$.

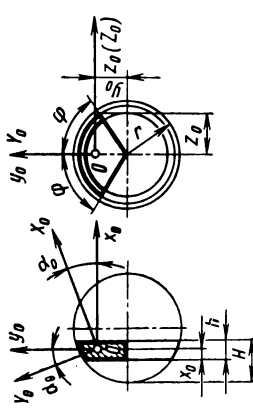
Подставляя значения параметра H , указанные в «Предметно-иллюстрированном оглавлении», можно получить формулы для соответствующих элементов шара (см. стр. 30). Все элементы относятся к элементам III типа (см. табл. 25, стр. 127).

Формулы для некоторых тел, полученные подстановкой значений параметров H , h и r_1 , приведены: при $H = h = d$ на стр. 288 (элемент 142), при $H = h = 2d$ на стр. 288 (элемент 143) и при $r_1 = 0$ на стр. 292 (элемент 147).

Продолжение табл. 8

Эскиз и номер элемента	Объем, координаты центра масс	Моменты инерции относительно центральных плоскостей (вспомогательные величины) Главные центральные моменты инерции см. табл. 25, стр. 127
<div><div>III</div><div></div><div>Элемент 142</div></div>	$V = \frac{2}{3} \pi \sqrt{(r^2 - r_1^2)^3}$ $x_0 = \frac{5}{8} \sqrt{r^2 - r_1^2};$ $y_0 = z_0 = r$	$I_{Y_0 O Z_0} = \frac{19}{320} m (r^2 - r_1^2) =$ $= 0,05938 m (r^2 - r_1^2)$ $I_{Z_0 O X_0} = I_{X_0 O Y_0} = \frac{1}{10} m (2r^2 +$ $+ 3r_1^2) = m (0,2r^2 + 0,3r_1^2)$
<div><div>III</div><div></div><div>Элемент 143</div></div>	$V = \frac{4}{3} \pi \sqrt{(r^2 - r_1^2)^3}$ $x_0 = \sqrt{r^2 - r_1^2};$ $y_0 = z_0 = r$	$I_{Y_0 O Z_0} = \frac{1}{5} m (r^2 - r_1^2) =$ $= 0,2 m (r^2 - r_1^2)$ $I_{Z_0 O X_0} = I_{X_0 O Y_0} = \frac{1}{10} m (2r^2 +$ $+ 3r_1^2) = m (0,2r^2 + 0,3r_1^2)$

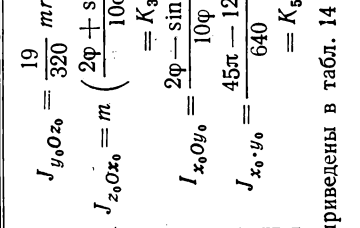
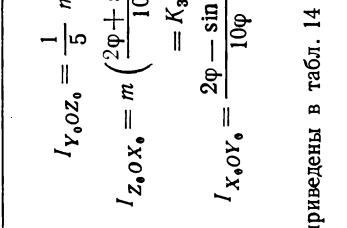
Продолжение табл. 8

Эскиз и номер элемента	Объем, координаты центра масс	Моменты инерции относительно центральных плоскостей (вспомогательные величины) Главные центральные моменты инерции см. табл. 25, стр. 127
<div data-bbox="436 1388 485 1429" style="border: 1px solid black; padding: 2px; display: inline-block;">1</div>  <p style="text-align: center;">Элемент 144</p>	$V = \frac{\varphi}{3} [3r (H^2 - t^2) - (H^3 - t^3)]$ $x_0 = \frac{\varphi}{12} \cdot \frac{1}{V} [8r (H^3 - t^3) - 3 (H^4 - t^4)] - t$ $y_0 = \frac{\sin \varphi}{12} \cdot \frac{1}{V} \{P_t [r^2 (3r + t) - 2t^2 (3r - t)] - P_H \times [r^2 (3r + H) - 2H^2 (3r - H)] + 3cr^4\}$ $z_0 = P_H \sin \varphi$	$J_{y_0 O z_0} = m \left\{ \frac{\varphi}{10} \cdot \frac{1}{V} [5r (H^4 - t^4) - 2 (H^5 - t^5)] - (x_0 + t)^2 \right\}$ $J_{z_0 O x_0} = m [(2\varphi + \sin 2\varphi) T^2 - y_0^2]$ $I_{x_0 O y_0} = (2\varphi - \sin 2\varphi) m T^2$ $J_{x_0 \cdot y_0} = m \left\{ \frac{\sin \varphi}{60} \cdot \frac{1}{V} \{P_t [5r^3 (3r + t) + 2r^2 t^2 - 2t^3 (11r - 4t)] - P_H [5r^3 (3r + H) + 2r^2 H^2 - 2H^3 (11r - 4H)] + 15cr^5\} - (x_0 + t) y_0 \right\}$

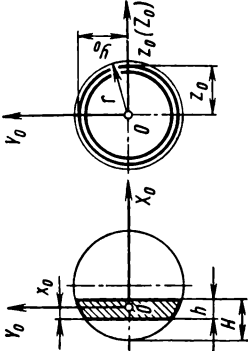
Продолжение табл. 8

Эскиз и номер элемента	Объем, координаты центра масс	Моменты инерции относительно центральных плоскостей (вспомогательные величины) Главные центральные моменты инерции см. табл. 25, стр. 127
		<p>В формулах $t = H - h$; $P_t = \sqrt{t(2r - t)}$; $P_H = \sqrt{H(2r - H)}$;</p> $c = \arcsin \frac{r - t}{r} - \arcsin \frac{r - H}{r};$ $T^2 = \frac{1}{120V} \{5r [4r (H^3 - t^3) - 3 (H^4 - t^4)] + 3 (H^5 - t^5)\}.$ <p>Подставляя значения параметра H, указанные в «Предметно-иллюстрированном оглавлении», можно получить формулы для соответствующих элементов шара (см. стр. 30). Элемент при $H = r + \frac{h}{2}$ относится к элементам II типа (см. табл. 25, стр. 127), остальные — к элементам I типа.</p> <p>Формулы для некоторых тел, полученные подстановкой значений параметров H, h и φ, приведены: при $H = h = r$ на стр. 291 (элемент 145), при $H = h = 2r$ на стр. 291 (элемент 146) и при $\varphi = \pi$ на стр. 292 (элемент 147)</p>

Продолжение табл. 8

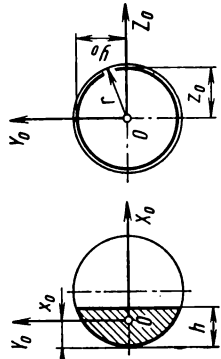
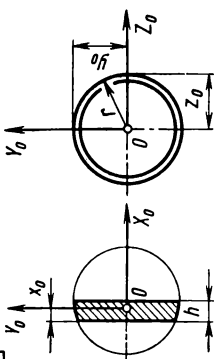
Эскиз и номер элемента	Объем, координаты центра масс	Моменты инерции относительно центральных плоскостей (вспомогательные величины) Главные центральные моменты инерции см. табл. 25, стр. 127
<p>I</p>  <p>Элемент 145</p>	$V = \frac{2}{3} \varphi r^3 = \frac{1}{2} K_1 r^3$ $x_0 = \frac{5}{8} r = 0,625 r$ $y_0 = \frac{3}{16} \pi \frac{\sin \varphi}{\varphi} r = K_2 r$ $z_0 = r$ <p>Коэффициенты $K_i = f(\varphi)$ приведены в табл. 14 (см. стр. 494)</p>	$J_{y_0 O z_0} = \frac{19}{320} m r^2 = 0,05938 m r^2$ $J_{z_0 O x_0} = m \left(\frac{2\varphi + \sin 2\varphi}{10\varphi} r^2 - y_0^2 \right) = K_3 m r^2$ $I_{x_0 O y_0} = \frac{2\varphi - \sin 2\varphi}{10\varphi} m r^2 = K_4 m r^2$ $J_{x_0 y_0} = \frac{45\pi - 128}{640} \cdot \frac{\sin \varphi}{\varphi} m r^2 = K_5 m r^2$
<p>II</p>  <p>Элемент 146</p>	$V = \frac{4}{3} \varphi r^3 = K_1 r^3$ $x_0 = z_0 = r$ $y_0 = \frac{3}{16} \pi \frac{\sin \varphi}{\varphi} r = K_2 r$ <p>Коэффициенты $K_i = f(\varphi)$ приведены в табл. 14 (см. стр. 494)</p>	$I_{y_0 O z_0} = \frac{1}{5} m r^2 = 0,2 m r^2$ $I_{z_0 O x_0} = m \left(\frac{2\varphi + \sin 2\varphi}{10\varphi} r^2 - y_0^2 \right) = K_3 m r^2$ $I_{x_0 O y_0} = \frac{2\varphi - \sin 2\varphi}{10\varphi} m r^2 = K_4 m r^2$

Продолжение табл. 8

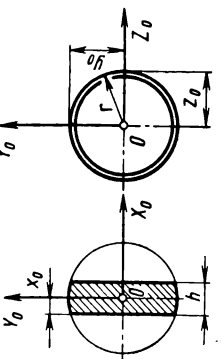
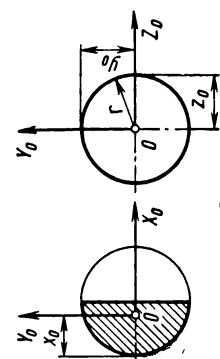
Эскиз и номер элемента	Объем, координаты центра масс	Моменты инерции относительно центральных плоскостей (вспомогательные величины) Главные центральные моменты инерции см. табл. 25, стр. 127
<div data-bbox="445 1377 496 1414" style="border: 1px solid black; padding: 2px; display: inline-block;">III</div> 	$V = \frac{\pi}{3} [3r (H^2 - t^2) - (H^3 - t^3)] = K_1 r^3$ $x_0 = \frac{\pi}{12} \cdot \frac{1}{V} [8r (H^3 - t^3) - 3 (H^4 - t^4)] - t = K_2 r$ $y_0 = z_0 = \sqrt{H (2r - H)} = K_3 r$	$I_{y_0 z_0} = m \left\{ \frac{\pi}{10} \cdot \frac{1}{V} [5r (H^4 - t^4) - 2 (H^5 - t^5)] - (x_0 + t)^2 \right\} = K_3 m r^2$ $I_{z_0 o x_0} = I_{x_0 o y_0} = \frac{\pi}{60} m \frac{1}{V} \times \times \{5r [4r (H^3 - t^3) - 3 (H^4 - t^4) + 3 (H^5 - t^5)]\} = K_4 m r^2$
<p>В формулах $t = H - h$.</p> <p>Коэффициенты $K_i = f \left(n = \frac{H}{r}; p = \frac{h}{r} \right)$ приведены в табл. 12 (см. стр. 489); коэффициент $K_5 = f \left(p = \frac{H}{r} \right)$ — в табл. 8 (см. стр. 487).</p> <p>Формулы для некоторых тел, полученные подстановкой значений параметров H и h, приведены на следующих страницах:</p>		
Параметры	$H = h$ $H = r$	$H = r + \frac{h}{2}$ $H = h = r$ $H = h = 2r$
Страница	293	294
Элемент	148	151

Элемент 147

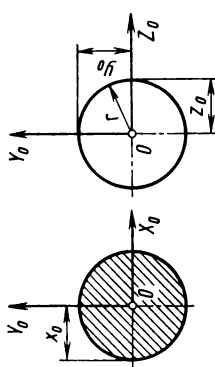
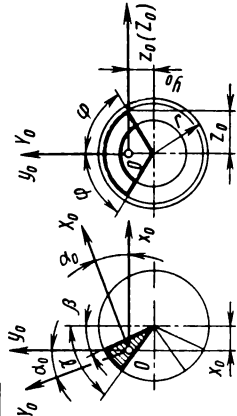
Продолжение табл. 8

Эскиз и номер элемента	Объем, координаты центра масс	Моменты инерции относительно центральных плоскостей (вспомогательные величины) Главные центральные моменты инерции см. табл. 25, стр. 127
<div data-bbox="294 1380 343 1421" style="border: 1px solid black; padding: 2px; display: inline-block;">III</div>  <div data-bbox="595 1144 616 1291" style="text-align: center;">Элемент 148</div>	$V = \frac{\pi}{3} A h^2 = K_1 r^3$ $x_0 = \frac{1}{4} \cdot \frac{h}{A} (8r - 3h) = K_2 r$ $y_0 = z_0 = \sqrt{h(2r - h)} = K_5 r$ <p>В формулах $A = 3r - h$. Коэффициенты $K_i = f\left(p = \frac{h}{r}\right)$ приведены: K_1, K_2, K_3 и K_4 — в табл. 12 (стр. 489) при $n = p$; коэффициент K_5 — в табл. 8 (стр. 487)</p>	$I_{Y_0 O Z_0} = \frac{1}{80} m \frac{h^2}{A^2} [8r(5r - 3h) + 3h^2] = K_3 m r^2$ $I_{Z_0 O X_0} = I_{X_0 O Y_0} = \frac{1}{20} m \frac{h}{A} \times$ $\times [5r(4r - 3h) + 3h^2] = K_4 m r^2$
<div data-bbox="655 1380 704 1421" style="border: 1px solid black; padding: 2px; display: inline-block;">III</div>  <div data-bbox="933 1161 955 1307" style="text-align: center;">Элемент 149</div>	$V = \frac{\pi}{3} A^2 h = K_1 r^3$ $x_0 = \frac{1}{4} \cdot \frac{h}{A^2} (6r^2 - h^2) = K_2 r$ $y_0 = z_0 = r$ <p>В формулах $A^2 = 3a^2 - h^2$. Коэффициенты $K_i = f\left(p = \frac{h}{r}\right)$ приведены в табл. 12 (стр. 489) при $n = 1$</p>	$I_{Y_0 O Z_0} = \frac{1}{80} m \frac{h^2}{A^4} [4r^2(15r^2 - 11h^2) + 3h^4] = K_3 m r^2$ $I_{Z_0 O X_0} = I_{X_0 O Y_0} = \frac{1}{20} m \frac{1}{A^2} \times$ $\times [5r^2(3r^2 - 2h^2) + 3h^4] = K_4 m r^2$

Продолжение табл. 8

Эскиз и номер элемента	Объем, координаты центра масс	Моменты инерции относительно центральных плоскостей (вспомогательные величины) главные центральные моменты инерции см. табл. 25, стр. 127
<div data-bbox="289 1372 343 1421">III</div>  <p style="text-align: center;">Элемент 150</p>	$V = \frac{\pi}{12} A^2 h = K_1 r^3$ $x_0 = \frac{1}{2} h = 0,5h;$ $y_0 = z_0 = r$ <p>В формулах $A^2 = 12r^2 - h^2$. Коэффициенты $K_i = f\left(p = \frac{h}{r}\right)$ приведены в табл. 12 (стр. 489) при $n = 1 + \frac{p}{2}$</p>	$I_{Y_0 O Z_0} = \frac{1}{20} m \frac{h^2}{A^2} (20r^2 - 3h^2) = K_3 m r^2$ $I_{Z_0 O X_0} = I_{X_0 O Y_0} = \frac{1}{80} m \frac{1}{A^2} \times [40r^2 (6r^2 - h^2) + 3h^4] = K_4 m r^2$
<div data-bbox="638 1372 693 1421">III</div>  <p style="text-align: center;">Элемент 151</p>	$V = \frac{2}{3} \pi r^3 = 2,09440 r^3$ $x_0 = \frac{5}{8} r = 0,625r$ $y_0 = z_0 = r$	$I_{Y_0 O Z_0} = \frac{19}{320} m r^2 = 0,05938 m r^2$ $I_{Z_0 O X_0} = I_{X_0 O Y_0} = \frac{1}{5} m r^2 = 0,2 m r^2$

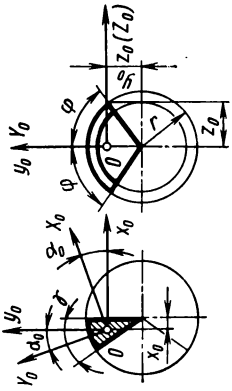
Продолжение табл. 8

Эскиз и номер элемента	Объем, координаты центра масс	Моменты инерции относительно центральных плоскостей (вспомогательные величины) Главные центральные моменты инерции см. табл. 25, стр. 127
<div data-bbox="300 1380 347 1421">III</div>  <div data-bbox="573 1153 595 1291">Элемент 152</div>	$V = \frac{4}{3} \pi r^3 = 4,18879 r^3$ $x_0 = y_0 = z_0 = r$	$I_{y_0 O z_0} = I_{z_0 O x_0} = I_{x_0 O y_0} =$ $= \frac{1}{5} m r^2 = 0,2 m r^2$
<div data-bbox="644 1404 691 1445">I</div>  <div data-bbox="944 1153 966 1291">Элемент 153</div>	$V = \frac{2}{3} \varphi (\sin \gamma - \sin \beta) r^3$ $x_0 = \frac{3}{8} (\sin \gamma + \sin \beta) r$ $y_0 = \frac{\sin \varphi}{8} [2 (\gamma - \beta) +$ $+ (\sin 2\gamma - \sin 2\beta)] \frac{r^4}{V}$ $z_0 = \cos \beta \cdot \sin \varphi \cdot r$	$J_{y_0 O z_0} = \frac{1}{320} [19 (\sin \gamma - \sin \beta)^2 +$ $+ 12 \sin \gamma \cdot \sin \beta] m r^2$ $I_{z_0 O x_0} = m [(2\varphi + \sin 2\varphi) T^2 - y_0^2]$ $I_{x_0 O y_0} = (2\varphi - \sin 2\varphi) m T^2$ $J_{x_0 y_0} = m \left[\frac{2}{15} \sin \varphi (\cos^3 \beta - \right.$ $\left. - \cos^3 \gamma) \frac{r^5}{V} - x_0 y_0 \right]$

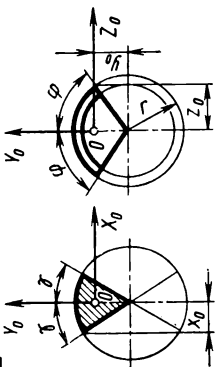
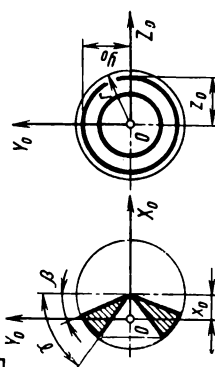
Продолжение табл. 8

Эскиз и номер элемента	Объем, координаты центра масс	Моменты инерции относительно центральных плоскостей (вспомогательные величины) Главные центральные моменты инерции см. табл. 25, стр. 127
		<p>В формулах $I^2 = \frac{3}{20\phi} [3 - (\sin^2 \gamma + \sin \gamma \cdot \sin \beta + \sin^2 \beta)] r^2$.</p> <p>Формулы для некоторых тел, полученные подстановкой значений параметров β, γ и ϕ, приведены на следующих страницах:</p>
Параметры	$\beta=0$	$\phi=\pi$ $\gamma = \frac{\pi}{2}$; $\beta=0$ $\gamma = \frac{\pi}{2}$; $\beta = -\frac{\pi}{2}$
Страница	297	298
Элемент	154	146

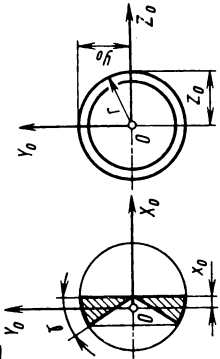
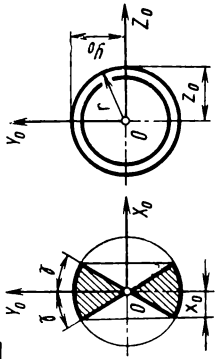
Продолжение табл. 8

Эскиз и номер элемента	Объем, координаты центра масс	Моменты инерции относительно центральных плоскостей (вспомогательные величины) Главные центральные моменты инерции см. табл. 25, стр. 127
<div data-bbox="456 1401 504 1437" style="border: 1px solid black; padding: 2px; display: inline-block;">I</div>  <p style="text-align: center;">Элемент 154</p>	$V = \frac{2}{3} \varphi \cdot \sin \gamma \cdot r^3$ $x_0 = \frac{3}{8} \sin \gamma \cdot r$ $y_0 = \frac{3}{16} \cdot \frac{\sin \varphi}{\varphi} \cdot \frac{2\gamma + \sin 2\gamma}{\sin \gamma} \cdot r$ $z_0 = r \cdot \sin \varphi$	$J_{y_0 O z_0} = \frac{19}{320} \sin^2 \gamma \cdot m r^2$ $J_{z_0 O x_0} = m \left[\frac{2\varphi + \sin 2\varphi}{20\varphi} \times \right. \\ \left. \times (3 - \sin^2 \gamma) r^2 - y_0^2 \right]$ $I_{x_0 O y_0} = \frac{2\varphi - \sin 2\varphi}{20\varphi} (3 - \sin^2 \gamma) m r^2$ $J_{x_0 \cdot y_0} = m \left(\frac{\sin \varphi}{5\varphi} \cdot \frac{1 - \cos^3 \gamma}{\sin \gamma} \times \right. \\ \left. \times r^2 - x_0 y_0 \right)$

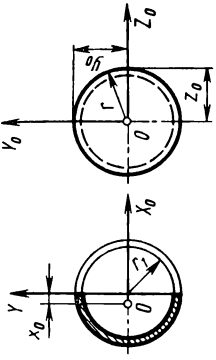
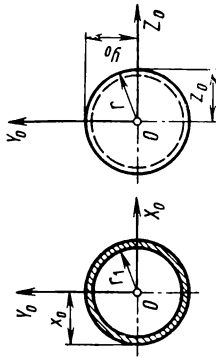
Продолжение табл. 8

Эскиз и номер элемента	Объем, координаты центра масс	Моменты инерции относительно центральных плоскостей (вспомогательные величины) Главные центральные моменты инерции см. табл. 25, стр. 127
<div data-bbox="289 1377 338 1409">II</div>  <div data-bbox="567 1144 595 1282" style="text-align: center;">Элемент 155</div>	$V = \frac{4}{3} \varphi \cdot \sin \gamma \cdot r^3$ $x_0 = r \cdot \sin \gamma$ $y_0 = \frac{3}{16} \cdot \frac{\sin \varphi}{\varphi} \cdot \frac{2\gamma + \sin 2\gamma}{\sin \gamma} r$ $z_0 = r \cdot \sin \varphi$	$I_{Y_0 O Z_0} = \frac{1}{5} \sin^2 \gamma \cdot m r^2$ $I_{Z_0 O X_0} = m \left[\frac{2\varphi + \sin 2\varphi}{20\varphi} \times (3 - \sin^2 \gamma) r^2 - y_0^2 \right]$ $I_{X_0 O Y_0} = \frac{2\varphi - \sin 2\varphi}{20\varphi} \times (3 - \sin^2 \gamma) m r^2$
<div data-bbox="644 1377 693 1409">III</div>  <div data-bbox="922 1144 950 1282" style="text-align: center;">Элемент 156</div>	$V = \frac{2}{3} \pi (\sin \gamma - \sin \beta) r^3$ $x_0 = \frac{3}{8} (\sin \gamma + \sin \beta) r$ $y_0 = z_0 = r \cos \beta$	$I_{Y_0 O Z_0} = \frac{1}{320} [19 (\sin \gamma - \sin \beta)^2 + 12 \sin \gamma \cdot \sin \beta] m r^2$ $I_{Z_0 O X_0} = I_{X_0 O Y_0} = \frac{3}{10} [3 - (\sin^2 \gamma + \sin \gamma \cdot \sin \beta + \sin^2 \beta)] m r^2$

Продолжение табл. 8

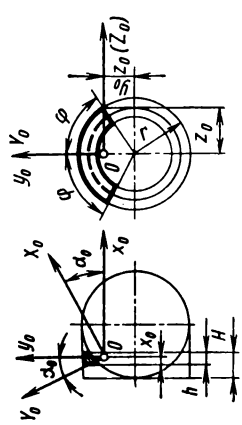
Эскиз и номер элемента	Объем, координаты центра масс	Моменты инерции относительно центральных плоскостей (вспомогательные величины) Главные центральные моменты инерции см. табл. 25, стр. 127
<div data-bbox="289 1377 336 1417" style="border: 1px solid black; padding: 2px; display: inline-block;">III</div>  <p style="text-align: center;">Элемент 157</p>	$V = \frac{2}{3} \pi \cdot \sin \gamma \cdot r^3$ $x_0 = \frac{3}{8} \sin \gamma \cdot r;$ $y_0 = z_0 = r$	$I_{Y_0 O Z_0} = \frac{19}{320} \sin^2 \gamma \cdot m r^2$ $I_{Z_0 O X_0} = I_{X_0 O Y_0} =$ $= \frac{1}{10} (3 - \sin^2 \gamma) m r^2$
<div data-bbox="644 1377 691 1417" style="border: 1px solid black; padding: 2px; display: inline-block;">III</div>  <p style="text-align: center;">Элемент 158</p>	$V = \frac{4}{3} \pi \cdot \sin \gamma \cdot r^3$ $x_0 = r \cdot \sin \gamma;$ $y_0 = z_0 = r$	$I_{Y_0 O Z_0} = \frac{1}{5} \sin^2 \gamma \cdot m r^2$ $I_{Z_0 O X_0} = I_{X_0 O Y_0} =$ $= \frac{1}{10} (3 - \sin^2 \gamma) m r^2$

Продолжение табл. 8

Эскиз и номер элемента	Объем, координаты центра масс	Моменты инерции относительно центральных плоскостей (вспомогательные величины) Главные центральные моменты инерции см. табл. 25, стр. 127
<div data-bbox="303 1360 350 1403" style="border: 1px solid black; padding: 2px; display: inline-block;">III</div>  <p style="text-align: center;">Элемент 159</p>	$V = \frac{2}{3} \pi (r^3 - r_1^3) = K_1 r^3$ $x_0 = \frac{3}{8} \cdot \frac{r^4 - r_1^4}{r^3 - r_1^3} = K_2 r$ $y_0 = z_0 = r$	$I_{Y_0 O Z_0} = \frac{1}{5} m \left(\frac{r^5 - r_1^5}{r^3 - r_1^3} - 5x_0^2 \right) = K_3 m r^2$ $I_{Z_0 O X_0} = I_{X_0 O Y_0} = \frac{1}{5} m \frac{r^5 - r_1^5}{r^3 - r_1^3} = K_4 m r^2$ <p style="text-align: center;">Коэффициенты $K_i = f \left(p = \frac{r_1}{r} \right)$ приведены в табл. 15 (см. стр. 495)</p>
<div data-bbox="642 1360 689 1403" style="border: 1px solid black; padding: 2px; display: inline-block;">III</div>  <p style="text-align: center;">Элемент 160</p>	$V = \frac{4}{3} \pi (r^3 - r_1^3) = 2K_1 r^3$ $x_0 = y_0 = z_0 = r$	$I_{Y_0 O Z_0} = I_{Z_0 O X_0} = I_{X_0 O Y_0} = \frac{1}{5} m \frac{r^5 - r_1^5}{r^3 - r_1^3} = K_4 m r^2$ <p style="text-align: center;">Коэффициенты $K_i = f \left(p = \frac{r_1}{r} \right)$ приведены в табл. 15 (см. стр. 495)</p>

Продолжение табл. 8

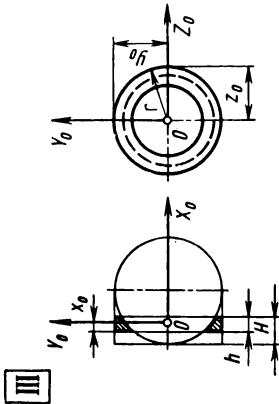
КОМБИНИРОВАННЫЕ ЭЛЕМЕНТЫ ОБЪЕМА

Эскиз и номер элемента	Объем, координаты центра масс	Моменты инерции относительно центральных плоскостей (вспомогательные величины) Главные центральные моменты инерции см. табл. 25, стр. 127
<div data-bbox="469 1388 518 1429" style="border: 1px solid black; padding: 2px; display: inline-block;">I</div>  <p style="text-align: center;">Элемент 161</p>	$V = \frac{\varphi}{3} \{ 3r^2 h - [3r (H^2 - t^2) - (H^3 - t^3)] \}$ $x_0 = \frac{\varphi}{12} \cdot \frac{1}{V} \{ 6r^2 (H^2 - t^2) - [8r (H^3 - t^3) - 3 (H^4 - t^4)] \} - t$ $y_0 = \frac{\sin \varphi}{12} \cdot \frac{1}{V} \{ r^3 \times$ $\times (8h - 3cr) - P_t [r^2 (3r + t) - 2t^2 (3r - t)] + P_H [r^2 (3r + H) - 2H^2 (3r - H)] \}$ $z_0 = r \cdot \sin \varphi$	$J_{y_0 O z_0} = m \left\{ \frac{\varphi}{30} \cdot \frac{1}{V} \{ 10r^2 (H^3 - t^3) - 3 [5r (H^4 - t^4) - 2 (H^5 - t^5)] \} - (x_0 + t)^2 \right\}$ $J_{z_0 O x_0} = m [(2\varphi + \sin 2\varphi) T^2 - y_0^2]$ $I_{x_0 O y_0} = (2\varphi - \sin 2\varphi) m T^2$ $J_{x_0 y_0} = m \left\{ \frac{\sin \varphi}{60} \cdot \frac{1}{V} \{ 20r^3 \times \right.$ $\times (H^2 - t^2) - P_t [5r^3 (3r + t) + 2r^2 t^2 - 2t^3 (11r - 4t)] +$ $+ P_H [5r^3 (3r + H) + 2r^2 H^2 - 2H^3 (11r - 4H)] - 15cr^3 \} -$ $\left. - (x_0 + t) y_0 \right\}$

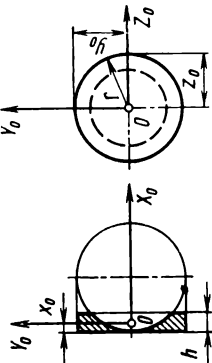
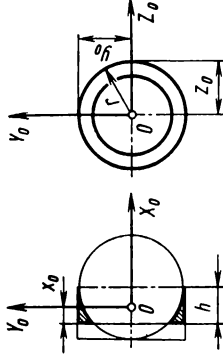
Продолжение табл. 8

Эскиз и номер элемента	Объем, координаты центра масс	Моменты инерции относительно центральных плоскостей (вспомогательные величины) Главные центральные моменты инерции см. табл. 25, стр. 127
	<p>В формулах $t = H - h$; $P_t = \sqrt{t(2r - t)}$; $P_H = \sqrt{H(2r - H)}$;</p> $c = \arcsin \frac{r - t}{r} - \arcsin \frac{r - H}{r};$ $T^2 = \frac{1}{120V} \{ 15r^4h - [20r^2(H^3 - t^3) - 15r(H^4 - t^4) + 3(H^5 - t^5)] \}.$	<p>Подставляя значения параметров H и h, указанные в «Предметно-иллюстрированном оглавлении», можно получить формулы для соответствующих комбинированных элементов шара (см. стр. 31—32). Элементы при $H = r + \frac{h}{2}$ и $H = h = 2r$ относятся к элементам II типа (см. табл. 25, стр. 127), остальные — к элементам I типа.</p> <p>Формулы для тела при $\varphi = \pi$ приведены на стр. 303 (элемент 162)</p>

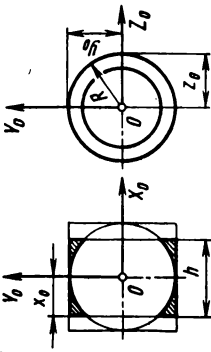
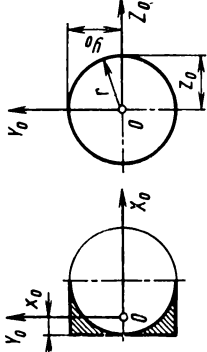
Продолжение табл. 8

Эскиз и номер элемента	Объем, координаты центра масс	Моменты инерции относительно центральных плоскостей (вспомогательные величины) Главные центральные моменты инерции см. табл. 25, стр. 127
<div style="display: flex; align-items: center;"> <div style="border: 1px solid black; padding: 2px; margin-right: 10px;">III</div>  <div style="margin-left: 20px;">Элемент 162</div> </div>	$V = \frac{\pi}{3} \{ 3r^2 h - [3r(H^2 - t^2) - (H^3 - t^3)] \}$ $x_0 = \frac{\pi}{12} \cdot \frac{1}{V} \{ 6r^2 (H^2 - t^2) - [8r(H^3 - t^3) - 3(H^4 - t^4)] \} - t$ $y_0 = z_0 = r$	$I_{Y_0 Z_0} = m \left\{ \frac{\pi}{30} \cdot \frac{1}{V} \{ 10r^2 (H^3 - t^3) - 3[5r(H^4 - t^4) - 2(H^5 - t^5)] \} - (x_0 + t)^2 \right\}$ $I_{Z_0 O X_0} = I_{X_0 O Y_0} = \frac{\pi}{60} m \cdot \frac{1}{V} \times \{ 15r^4 h - [20r^2 (H^3 - t^3) - 15r(H^4 - t^4) + 3(H^5 - t^5)] \}$
	<p>В формулах $t = H - h$. Формулы для некоторых тел, полученные подстановкой значений параметров H и h, приведены на следующих страницах:</p>	
Параметры	$H = h$ $H = r$	$H = r + \frac{h}{2}$ $H = h = r$ $H = h = 2r$
Страница	304	305
Элемент	163	166

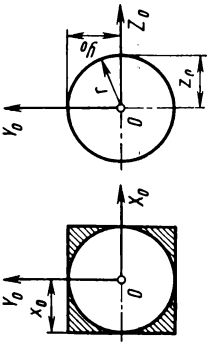
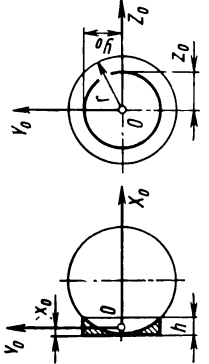
Продолжение табл. 8

Эскиз и номер элемента	Объем, координаты центра масс	Моменты инерции относительно центральных плоскостей (вспомогательные величины) Главные центральные моменты инерции см. табл. 25, стр. 127
<div data-bbox="303 1393 351 1433" style="border: 1px solid black; padding: 2px; display: inline-block;">III</div>  <p style="text-align: center;">Элемент 163</p>	$V = \frac{\pi}{3} h [3r(r-h) + h^2]$ $x_0 = \frac{\pi}{12} \cdot \frac{h^2}{V} [2r(3r-4h) + 3h^2]$ $y_0 = z_0 = r$	$I_{y_0 O z_0} = m \left\{ \frac{\pi}{30} \cdot \frac{h^3}{V} [5r(2r-3h) + 6h^2] - x_0^2 \right\}$ $I_{z_0 O y_0} = I_{x_0 O y_0} = \frac{\pi}{60} m \frac{h}{V} \times$ $\times \{ 15r^4 - h^2 [5r(4r-3h) + 3h^2] \}$
<div data-bbox="631 1393 679 1433" style="border: 1px solid black; padding: 2px; display: inline-block;">III</div>  <p style="text-align: center;">Элемент 164</p>	$V = \frac{\pi}{3} h^3 = 1,04720 h^3$ $x_0 = \frac{1}{4} h = 0,25h;$ $y_0 = z_0 = r$	$I_{y_0 O z_0} = \frac{3}{80} m h^2 = 0,0375 m h^2$ $I_{z_0 O x_0} = I_{x_0 O y_0} = \frac{1}{20} \times$ $\times m (10r^2 - 3h^2) =$ $= m (0,5r^2 - 0,15h^2)$

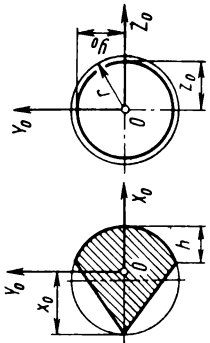
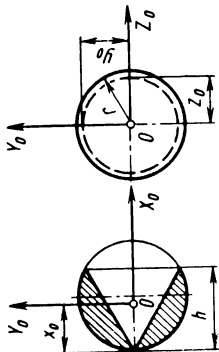
Продолжение табл. 8

Эскиз и номер элемента	Объем, координаты центра масс	Моменты инерции относительно центральных плоскостей (вспомогательные величины) Главные центральные моменты инерции см. табл. 25, стр. 127
<div data-bbox="285 1386 331 1422" style="border: 1px solid black; padding: 2px; display: inline-block;">III</div>  <p style="text-align: center;">Элемент 165</p>	$V = \frac{\pi}{12} h^3 = 0,26180h^3$ $x_0 = \frac{1}{2} h = 0,5h;$ $y_0 = z_0 = r$	$I_{Y_0OZ_0} = \frac{3}{20} m h^2 = 0,15 m h^2$ $I_{Z_0OX_0} = I_{X_0OY_0} = \frac{1}{80} \times$ $\times m (40r^2 - 3h^2) =$ $= m (0,5r^2 - 0,0375h^2)$
<div data-bbox="632 1386 679 1422" style="border: 1px solid black; padding: 2px; display: inline-block;">III</div>  <p style="text-align: center;">Элемент 166</p>	$V = \frac{\pi}{3} r^3 = 1,04720r^3$ $x_0 = \frac{1}{4} r = 0,25r;$ $y_0 = z_0 = r$	$I_{Y_0OZ_0} = \frac{3}{80} m r^2 = 0,0375 m r^2$ $I_{Z_0OX_0} = I_{X_0OY_0} = \frac{7}{20} m r^2 = 0,35 m r^2$

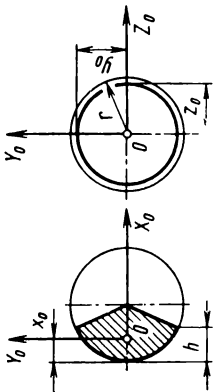
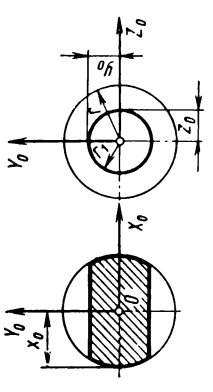
Продолжение табл. 8

Эскиз и номер элемента	Объем, координаты центра масс	Моменты инерции относительно центральных плоскостей (вспомогательные величины) Главные центральные моменты инерции см. табл. 25, стр. 127
<div data-bbox="289 1382 336 1419">III</div>  <div data-bbox="568 1149 594 1291">Элемент 167</div>	$V = \frac{2}{3} \pi r^3 = 2,09440 r^3$ $x_0 = y_0 = z_0 = r$	$I_{Y_0 O Z_0} = \frac{3}{5} m r^2 = 0,60 m r^2$ $I_{Z_0 O X_0} = I_{X_0 O Y_0} = \frac{7}{20} m r^2 = 0,35 m r^2$
<div data-bbox="635 1393 682 1430">III</div>  <div data-bbox="915 1149 940 1291">Элемент 168</div>	$V = \frac{\pi}{3} A h^2$ $x_0 = \frac{1}{4} \cdot \frac{h}{A} (4r - 3h)$ $y_0 = z_0 = \sqrt{h(2r - h)}$ <p data-bbox="907 630 932 927">В формулах $A = 3r - 2h$</p>	$I_{Y_0 O Z_0} = \frac{1}{80} m \frac{h^2}{A^2} \times [8r(5r - 7h) + 19h^2]$ $I_{Z_0 O X_0} = I_{X_0 O Y_0} = \frac{1}{20} m \frac{h}{A} \times [5r(8r - 9h) + 12h^2]$

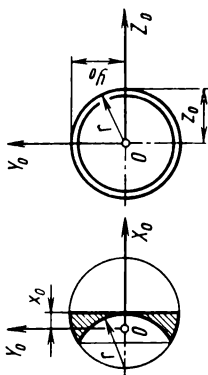
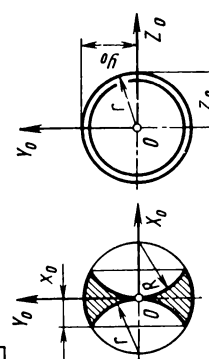
Продолжение табл. 8

Эскиз и номер элемента	Объем, координаты центра масс	Моменты инерции относительно центральных плоскостей (вспомогательные величины) Главные центральные моменты инерции см. табл. 25, стр. 127
<div data-bbox="292 1377 343 1414">III</div>  <p style="text-align: center;">Элемент 169</p>	$V = \frac{\pi}{3} r A h$ $x_0 = \frac{1}{2A} [6r(2r - h) + h^2]$ $y_0 = z_0 = \sqrt{h(2r - h)}$ <p style="text-align: center;">В формулах $A = 4r - h$</p>	$I_{Y_0 O Z_0} = \frac{1}{20} m \frac{1}{A^2} [48r^3(r - h) + 12rh^2(3r - h) + h^4]$ $I_{Z_0 O X_0} = I_{X_0 O Y_0} = \frac{1}{20} m \frac{h}{A} \times [8r(3r - 2h) + 3h^2]$
<div data-bbox="636 1377 682 1414">III</div>  <p style="text-align: center;">Элемент 170</p>	$V = \frac{\pi}{3} rh^2 = 1,04720 rh^2$ $x_0 = \frac{1}{2} h = 0,5h$ $y_0 = z_0 = \sqrt{h(2r - h)}$	$I_{Y_0 O Z_0} = \frac{1}{20} m h^2 = 0,05 m h^2$ $I_{Z_0 O X_0} = I_{X_0 O Y_0} = \frac{1}{20} m \times [8r(3r - 2h) + 3h^2]$

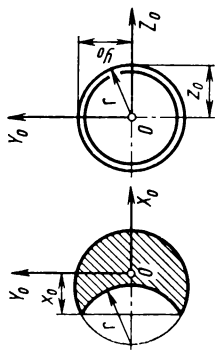
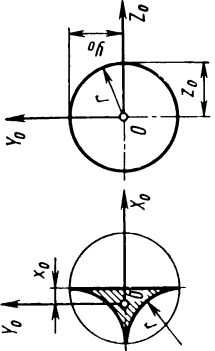
Продолжение табл. 8

Эскиз и номер элемента	Объем, координаты центра масс	Моменты инерции относительно центральных плоскостей (вспомогательные величины) Главные центральные моменты инерции см. табл. 25, стр. 127
<div data-bbox="281 1377 328 1414" style="border: 1px solid black; padding: 2px; display: inline-block;">III</div>  <p style="text-align: center;">Элемент 171</p>	$V = \frac{2}{3} \pi r^2 h = 2,09440 r^2 h$ $x_0 = \frac{1}{8} (2r + 3h) = 0,25r + 0,375h$ $y_0 = z_0 = \sqrt{\frac{h}{2} (2r - h)}$	$I_{y_0 z_0} = \frac{1}{320} m [12r(r-h) + 19h^2] =$ $= m [0,0375r(r-h) + 0,05938h^2]$ $I_{z_0 x_0} = I_{x_0 y_0} = \frac{1}{10} m \times$ $\times mh (3r - h) = mh (0,3r - 0,1h)$
<div data-bbox="645 1377 692 1414" style="border: 1px solid black; padding: 2px; display: inline-block;">III</div>  <p style="text-align: center;">Элемент 172</p>	$V = \frac{4}{3} \pi (r^3 - A^3)$ $x_0 = r; \quad y_0 = z_0 = r_1$ <p style="text-align: center;">В формулах $A = \sqrt{r^2 - r_1^2}$</p>	$I_{y_0 z_0} = \frac{4\pi}{15} m \frac{1}{V} (r^5 - A^5)$ $I_{z_0 x_0} = I_{x_0 y_0} = \frac{2\pi}{15} m \frac{1}{V} \times$ $\times [2r^5 - (2r^2 + 3r_1^2) A^3]$

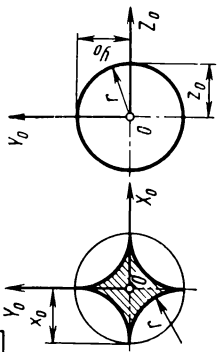
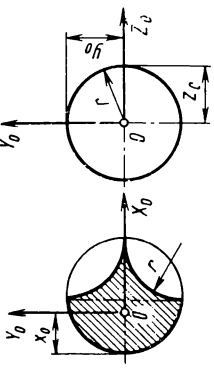
Продолжение табл. 8

Эскиз и номер элемента	Объем, координаты центра масс	Моменты инерции относительно центральных плоскостей (вспомогательные величины) Главные центральные моменты инерции см. табл. 25, стр. 127
<div data-bbox="283 1396 333 1437" style="border: 1px solid black; padding: 2px; display: inline-block;">III</div>  <p style="text-align: center;">Элемент 173</p>	$V = \frac{\pi}{4} r^3 = 0,78540 r^3$ $x_0 = \frac{1}{6} r = 0,16667 r$ $y_0 = z_0 = r$	$I_{Y_0 Z_0} = \frac{1}{72} m r^2 = 0,01389 m r^2$ $I_{Z_0 O X_0} = I_{X_0 O Y_0} = \frac{5}{16} m r^2 = 0,31250 m r^2$
<div data-bbox="627 1380 677 1421" style="border: 1px solid black; padding: 2px; display: inline-block;">III</div>  <p style="text-align: center;">Элемент 174</p>	$V = \frac{\pi}{2} r^3 = 1,57080 r^3$ $x_0 = \frac{1}{2} r = 0,5 r;$ $y_0 = z_0 = r$	$I_{Y_0 Z_0} = \frac{1}{24} m r^2 = 0,04167 m r^2$ $I_{Z_0 O X_0} = I_{X_0 O Y_0} = \frac{5}{16} m r^2 = 0,31250 m r^2$

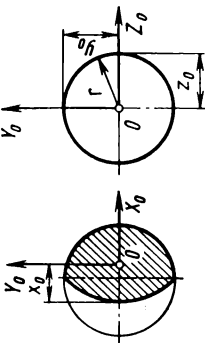
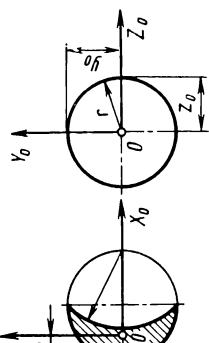
Продолжение табл. 8

Эскиз и номер элемента	Объем, координаты центра масс	Моменты инерции относительно центральных плоскостей (вспомогательные величины) Главные центральные моменты инерции см. табл. 25, стр. 127
<div data-bbox="289 1372 333 1404" style="border: 1px solid black; padding: 2px; display: inline-block;">III</div>  <p style="text-align: center;">Элемент 175</p>	$V = \frac{11}{12} \pi r^3 = 2,87979r^3$ $x_0 = \frac{17}{22} r = 0,77273r$ $y_0 = z_0 = r$	$I_{Y_0 O Z_0} = \frac{509}{4840} \pi r^4 = 0,10516 \pi r^4$ $I_{Z_0 O X_0} = I_{X_0 O Y_0} = \frac{203}{880} \pi r^4 = 0,23068 \pi r^4$
<div data-bbox="644 1372 687 1404" style="border: 1px solid black; padding: 2px; display: inline-block;">III</div>  <p style="text-align: center;">Элемент 176</p>	$V = \frac{\pi}{6} (10 - 3\pi) r^3 = 0,30118r^3$ $x_0 = \frac{19 - 6\pi}{2(10 - 3\pi)} r = 0,13077r$ $y_0 = z_0 = r$	$I_{Y_0 O Z_0} = \frac{555 - 318\pi + 45\pi^2}{20(10 - 3\pi)^2} \pi r^4 = 0,01598 \pi r^4$ $I_{Z_0 O X_0} = I_{X_0 O Y_0} = \frac{332 - 105\pi}{40(10 - 3\pi)} \pi r^4 \times \pi r^2 = 0,09269 \pi r^4$

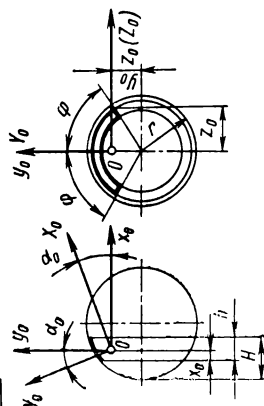
Продолжение табл. 8

Эскиз и номер элемента	Объем, координаты центра масс	Моменты инерции относительно центральных плоскостей (вспомогательные величины) Главные центральные моменты инерции см. табл. 25, стр. 127
<div data-bbox="292 1365 339 1406">III</div>  <p style="text-align: center;">Элемент 177</p>	$V = \frac{\pi}{3} (10 - 3\pi) r^3 =$ $= 0,60236r^3$ $x_0 = y_0 = z_0 = r$	$I_{Y_0OZ_0} = \frac{236 - 75\pi}{20 (10 - 3\pi)} mr^2 =$ $= 0,03308mr^2$ $I_{Z_0OX_0} = I_{X_0OY_0} = \frac{332 - 105\pi}{40 (10 - 3\pi)} \times$ $\times mr^2 = 0,09269mr^2$
<div data-bbox="638 1365 685 1406">III</div>  <p style="text-align: center;">Элемент 178</p>	$V = \frac{\pi}{6} (14 - 3\pi) r^3 =$ $= 2,39558r^3$ $x_0 = \frac{22 - 6\pi}{14 - 3\pi} r = 0,68859r$ $y_0 = z_0 = r$	$I_{Y_0OZ_0} = \frac{2248 - 846\pi + 45\pi^2}{20 (14 - 3\pi)^2} mr^2 =$ $= 0,08204mr^2$ $I_{Z_0OX_0} = I_{X_0OY_0} = \frac{364 - 105\pi}{40 (14 - 3\pi)} \times$ $\times mr^2 = 0,18651mr^2$

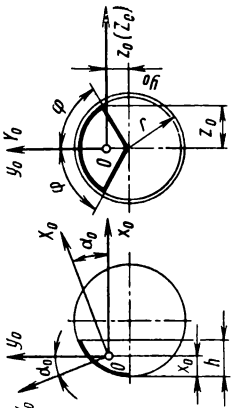
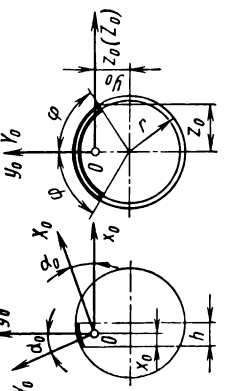
Продолжение табл. 8

Эскиз и номер элемента	Объем, координаты центра масс	Моменты инерции относительно центральных плоскостей (вспомогательные величины) Главные центральные моменты инерции см. табл. 25, стр. 127
<div data-bbox="289 1372 338 1404" style="border: 1px solid black; padding: 2px; display: inline-block;">III</div>  <p style="text-align: center;">Элемент 179</p>	$V = \frac{\pi}{3} (4\sqrt{2} - 3) r^3 = 2,78225r^3$ $x_0 = \frac{3(3\sqrt{2} - 2)}{13 - 2\sqrt{2}} r = 0,66144r$ $y_0 = z_0 = r$	$I_{Y_0 O Z_0} = \frac{383 - 200\sqrt{2}}{10(13 - 2\sqrt{2})^2} \pi r^2 = 0,09681 \pi r^2$ $I_{Z_0 O X_0} = I_{X_0 O Y_0} = \frac{93 - 38\sqrt{2}}{20(13 - 2\sqrt{2})} \times \pi r^2 = 0,19299 \pi r^2$
<div data-bbox="627 1372 677 1404" style="border: 1px solid black; padding: 2px; display: inline-block;">III</div>  <p style="text-align: center;">Элемент 180</p>	$V = \frac{\pi}{3} (7 - 4\sqrt{2}) r^3 = 1,40654r^3$ $x_0 = \frac{4(4\sqrt{2} - 5)}{10\sqrt{2} - 9} r = 0,51096r$ $y_0 = z_0 = r$	$I_{Y_0 O Z_0} = \frac{27(57 - 40\sqrt{2})}{10(10\sqrt{2} - 9)^2} \pi r^2 = 0,04406 \pi r^2$ $I_{Z_0 O X_0} = I_{X_0 O Y_0} = \frac{7(10\sqrt{2} - 11)}{20(10\sqrt{2} - 9)} \pi r^2 = 0,21387 \pi r^2$

Продолжение табл. 8

Эскиз и номер элемента	Поверхность, координаты центра масс	Моменты инерции относительно центральных плоскостей (вспомогательные величины) Главные центральные моменты инерции см. табл. 25, стр. 127					
<div><div>I</div><div></div></div>	<p>Поверхность, координаты центра масс</p> $S = 2\pi rh$ $x_0 = \frac{1}{2} h$ $y_0 = \sin \varphi \cdot \frac{r}{S} [P_t (r - t) - P_H (r - H) + cr^2]$ $z_0 = P_H \sin \varphi$	$J_{y_0 O z_0} = \frac{1}{12} m h^2$ $J_{z_0 O x_0} = m [(2\varphi + \sin 2\varphi) T^2 - y_0^2]$ $I_{x_0 O y_0} = (2\varphi - \sin 2\varphi) m T^2$ $J_{x_0 y_0} = m \left\{ \frac{\sin \varphi}{3} \cdot \frac{r}{S} \{ P_t [3r^2 + t(r - 2t)] - P_H [3r^2 + H(r - H)] + 3cr^3 \} - (x_0 + t) y_0 \right\}$					
<p>В формулах $t = H - h$; $P_t = \sqrt{t(2r - t)}$; $P_H = \sqrt{H(2r - H)}$; $c = \arcsin \frac{r - t}{r} - \arcsin \frac{r - H}{r}$; $T^2 = \frac{1}{6} \cdot \frac{r}{S} [3r(H^2 - t^2) - (H^3 - t^3)]$ Формулы для некоторых тел, полученные подстановкой значений параметров H, h и φ, приведены на следующих страницах:</p>							
Параметры		<table><tr><td>$H = h$</td><td>$H = r$</td><td>$H = r + \frac{h}{2}$</td><td>$H = h = 2r$</td><td>$\varphi = \pi$</td></tr></table>	$H = h$	$H = r$	$H = r + \frac{h}{2}$	$H = h = 2r$	$\varphi = \pi$
$H = h$	$H = r$	$H = r + \frac{h}{2}$	$H = h = 2r$	$\varphi = \pi$			
Страница	314	314	315	316	317		
Элемент	182	183	184	185	186		

Элемент 181

Эскиз и номер элемента	Поверхность, координаты центра масс	Моменты инерции относительно центральных плоскостей (вспомогательные величины) Главные центральные моменты инерции см. табл. 25, стр. 127
<div data-bbox="281 1409 328 1446" style="border: 1px solid black; width: 20px; height: 20px; display: flex; align-items: center; justify-content: center;">I</div>  <p style="text-align: center;">Элемент 182</p>	$S = 2\pi r h$ $x_0 = \frac{1}{2} h$ $y_0 = \sin \varphi \cdot \frac{r}{S} [cr^2 - P(r-h)]$ $z_0 = P \sin \varphi$ <p style="text-align: center;">В формулах $P = \sqrt{h(2r-h)}$; $c = \arccos \frac{r-h}{r}$; $T^2 = \frac{1}{12\pi} h(3r-h)$</p>	$J_{y_0 O z_0} = \frac{1}{12} \pi h^3$ $J_{z_0 O x_0} = m \left[(2\varphi + \sin 2\varphi) T^2 - y_0^2 \right]$ $I_{x_0 O y_0} = (2\varphi - \sin 2\varphi) m T^2$ $J_{x_0 y_0} = m \left\{ \frac{\sin \varphi}{3} \cdot \frac{r}{S} \{ 3cr^3 - \right.$ $\left. - P[3r^2 + h(r-2h)] \} - x_0 y_0 \right\}$
<div data-bbox="638 1409 685 1446" style="border: 1px solid black; width: 20px; height: 20px; display: flex; align-items: center; justify-content: center;">I</div>  <p style="text-align: center;">Элемент 183</p>	$S = 2\pi r h$ $x_0 = \frac{1}{2} h$ $y_0 = \sin \varphi \cdot \frac{r}{S} (Ph + cr^2)$ $z_0 = r \cdot \sin \varphi$ <p style="text-align: center;">В формулах $P = \sqrt{r^2 - h^2}$; $c = \arcsin \frac{h}{r}$; $T^2 = \frac{1}{12\pi} (3r^2 - h^2)$</p>	$J_{y_0 O z_0} = \frac{1}{12} \pi h^3$ $J_{z_0 O x_0} = m \left[(2\varphi + \sin 2\varphi) T^2 - y_0^2 \right]$ $I_{x_0 O y_0} = (2\varphi - \sin 2\varphi) m T^2$ $J_{x_0 y_0} = \frac{\sin \varphi}{6} m \frac{r}{S} \times$ $\times [P(4r^2 - h^2) - r^2(4r - 3ch)]$

Продолжение табл. 8

Эскиз и номер элемента	Поверхность, координаты центра масс	Моменты инерции относительно центральных плоскостей (асимптотические величины) Главные центральные моменты инерции см. табл. 25, стр. 127
<div data-bbox="270 1393 314 1425" style="border: 1px solid black; padding: 2px; display: inline-block;">II</div> <div data-bbox="306 1024 536 1393"> </div> <div data-bbox="547 1154 574 1295" style="text-align: center;">Элемент 184</div>	$S = 2\pi r h$ $x_0 = \frac{1}{2} h$ $y_0 = \frac{\sin \varphi}{2} \cdot \frac{r}{S} \times$ $\times \left[h \sqrt{4r^2 - h^2} + 4r^2 \cdot \arcsin \frac{h}{2r} \right]$ $z_0 = r \cdot \sin \varphi$	$I_{Y_0 O Z_0} = \frac{1}{12} m h^2$ $I_{Z_0 O X_0} = m \left[\frac{2\varphi + \sin 2\varphi}{48\varphi} \times \right.$ $\times (12r^2 - h^2) - y_0^2 \left. \right]$ $I_{X_0 O Y_0} = \frac{2\varphi - \sin 2\varphi}{48\varphi} m (12r^2 - h^2)$
<div data-bbox="601 1393 645 1425" style="border: 1px solid black; padding: 2px; display: inline-block;">I</div> <div data-bbox="667 1024 885 1393"> </div> <div data-bbox="907 1154 934 1295" style="text-align: center;">Элемент 185</div>	$S = 2\pi r^2 = K_1 r^2$ $x_0 = \frac{1}{2} r = 0,5r$ $y_0 = \frac{\pi}{4} \cdot \frac{\sin \varphi}{\varphi} r = K_2 r$ $z_0 = r \cdot \sin \varphi = K_3 r$	$J_{Y_0 O Z_0} = \frac{1}{12} m r^2 = 0,08333 m r^2$ $J_{Z_0 O X_0} = m \left(\frac{2\varphi + \sin 2\varphi}{6\varphi} r^2 - y_0^2 \right) =$ $= K_4 m r^2$ $I_{X_0 O Y_0} = \frac{2\varphi - \sin 2\varphi}{6\varphi} m r^2 = K_5 m r^2$ $J_{X_0 \cdot Y_0} = \frac{3\pi - 8}{24} \cdot \frac{\sin \varphi}{\varphi} m r^2 =$ $= K_6 m r^2$

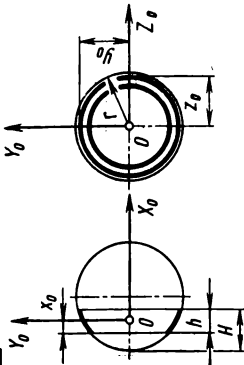
Коэффициенты $K_i = f(\varphi)$ приведены в табл. 16 (см. стр. 495)

Продолжение табл. 8

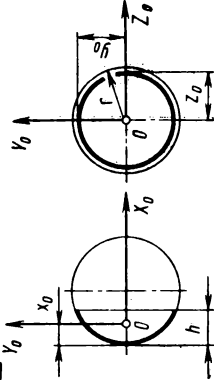
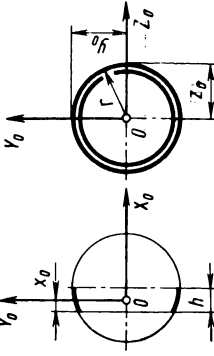
Эскиз и номер элемента	Поверхность, координаты центра масс	Моменты инерции относительно центральных плоскостей (вспомогательные величины) Главные центральные моменты инерции см. табл. 25, стр. 127
<div data-bbox="456 1377 507 1414" style="border: 1px solid black; padding: 2px; display: inline-block;">II</div> <div data-bbox="521 1029 740 1393"> </div>	$S = 4\varphi r^2 = 2K_1 r^2$ $x_0 = r$ $y_0 = \frac{\pi}{4} \cdot \frac{\sin \varphi}{\varphi} r = K_2 r$ $z_0 = r \cdot \sin \varphi = K_3 r$	$I_{Y_0 O Z_0} = \frac{1}{3} m r^2 = 0,33333 m r^2$ $I_{Z_0 O X_0} = m \left(\frac{2\varphi + \sin 2\varphi}{6\varphi} r^2 - y_0^2 \right) =$ $= K_4 m r^2$ $I_{X_0 O Z_0} = \frac{2\varphi - \sin 2\varphi}{6\varphi} m r^2 =$ $= K_5 m r^2$

Коэффициенты $K_i = f(\varphi)$ приведены в табл. 16 (см. стр. 495)

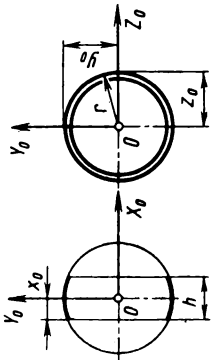
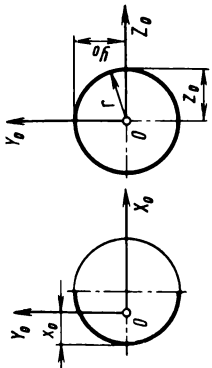
Продолжение табл. 8

Эскиз и номер элемента	Поверхность, координаты центра масс	Моменты инерции относительно центральных плоскостей (вспомогательные величины) Главные центральные моменты инерции см. табл. 25, стр. 127
<div data-bbox="456 1372 503 1409">III</div>  <div data-bbox="754 1149 779 1287" style="writing-mode: vertical-rl; transform: rotate(180deg);">Элемент 187</div>	$S = 2\pi r h = 6,28318 r h$ $x_0 = \frac{1}{2} h = 0,5 h$ $y_0 = z_0 = \sqrt{H(2r - H)}$	$I_{Y_0 O Z_0} = \frac{1}{12} m h^2 = 0,08333 m h^2$ $I_{Z_0 O X_0} = I_{X_0 O X_0} =$ $= \frac{1}{6} m [(3r - H)(2H - h) - (H - h)^2]$
<p>Формулы для некоторых тел, полученные подстановкой значений параметров H и h, приведены на следующих страницах:</p>		
Параметры	$H = h$ $H = r$	$H = r + \frac{h}{2}$ $H = h = 2r$
Страница	318 318	319 320
Элемент	188 189	190 191

Продолжение табл. 8

Эскиз и номер элемента	Поверхность, координаты центра масс	Моменты инерции относительно центральных плоскостей (вспомогательные величины) Главные центральные моменты инерции см. табл. 25, стр. 127
<div data-bbox="274 1393 323 1430">III</div>  <div data-bbox="558 1154 585 1292">Элемент 188</div>	$S = 2\pi r h = 6,28318 r h$ $x_0 = \frac{1}{2} h = 0,5 h$ $y_0 = z_0 = \sqrt{h(2r - h)}$	$I_{Y_0 O Z_0} = \frac{1}{12} m h^2 = 0,08333 m h^2$ $I_{Z_0 O X_0} = I_{X_0 O Y_0} = \frac{1}{6} m h (3r - h) = m h (0,5r - 0,16667 h)$
<div data-bbox="639 1377 689 1414">III</div>  <div data-bbox="918 1154 945 1292">Элемент 189</div>	$S = 2\pi r h = 6,28318 r h$ $x_0 = \frac{1}{2} h = 0,5 r;$ $y_0 = z_0 = r$	$I_{Y_0 O Z_0} = \frac{1}{12} m h^2 = 0,08333 m h^2$ $I_{Z_0 O X_0} = I_{X_0 O Y_0} = \frac{1}{6} m (3r^2 - h^2) = m (0,5r^2 - 0,16667 h^2)$

Продолжение табл. 8

Эскиз и номер элемента	Поверхность, координаты центра масс	Моменты инерции относительно центральных плоскостей (вспомогательные величины) Главные центральные моменты инерции см. табл. 26, стр. 127
<div data-bbox="292 1365 339 1406">III</div>  <p style="text-align: center;">Элемент 190</p>	$S = 2\pi r h = 6,28318 r h$ $x_0 = \frac{1}{2} h = 0,5 h;$ $y_0 = z_0 = r$	$I_{y_0, z_0} = \frac{1}{12} m h^2 = 0,08333 m h^2$ $I_{z_0, o x_0} = I_{x_0, o y_0} = \frac{1}{24} m (12 r^2 - h^2) =$ $= m (0,5 r^2 - 0,04167 h^2)$
<div data-bbox="649 1365 696 1406">III</div>  <p style="text-align: center;">Элемент 191</p>	$S = 2\pi r^2 = 6,28318 r^2$ $x_0 = \frac{1}{2} h = 0,5 r;$ $y_0 = z_0 = r$	$I_{y_0, z_0} = \frac{1}{12} m r^2 = 0,08333 m r^2$ $I_{z_0, o x_0} = I_{x_0, o y_0} = \frac{1}{3} m r^2 =$ $= 0,33333 m r^2$

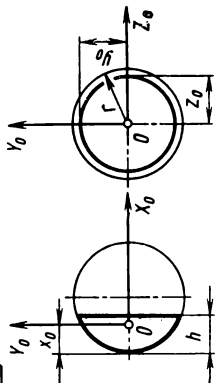
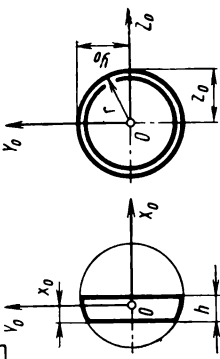
Продолжение табл. 8

КОМБИНИРОВАННЫЕ ЭЛЕМЕНТЫ ПОВЕРХНОСТИ

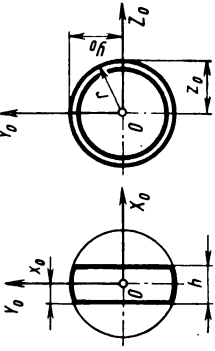
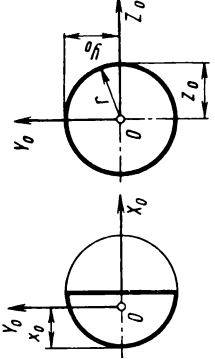
Эскиз и номер элемента	Поверхность, координаты центра, масс	Моменты инерции относительно центральных плоскостей (вспомогательные величины) Главные центральные моменты инерции см. табл. 25, стр. 127
<div data-bbox="459 1373 508 1409">III</div> <div data-bbox="521 1036 762 1393"> </div>	$S = \pi [2H (2r - H) + h (2H - h)]$ $x_0 = \pi \frac{h}{S} [rh + H (2r - H)]$ $y_0 = z_0 = \sqrt{H (2r - H)}$	$I_{Y_0 Z_0} = m \left\{ \frac{\pi}{3} \cdot \frac{h^2}{S} [2rh + 3H (2r - H)] - x_0^2 \right\}$ $I_{Z_0 O X_0} = I_{X_0 O Y_0} = \frac{\pi}{12} \times \times m \frac{1}{S} \{ 4r [H^2 (3r - H) - t^2 (3r - t)] + + 3 [H^2 (2r - H)^2 + t^2 (2r - t)^2] \}$
<p>В формулах $t = H - h$. Формулы для некоторых тел, полученные подстановкой значений параметров H и h, приведены на следующих страницах:</p>		
Параметры	$H = h$ $H = r$	$H = r + \frac{h}{2}$ $H = h = r$ $H = h = 2r$
Страница	322 322	323 323 320
Элемент	194 195	196 197 192

Элемент 193

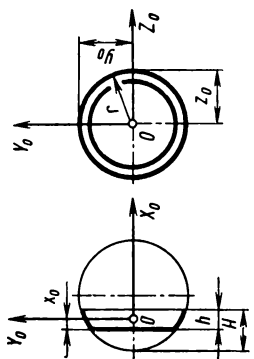
Продолжение табл. 8

Эскиз и номер элемента	Поверхность, координаты центра масс	Моменты инерции относительно центральных плоскостей (вспомогательные величины) Главные центральные моменты инерции см. табл. 26, стр. 127
<div data-bbox="289 1380 333 1421" style="border: 1px solid black; padding: 2px; display: inline-block;">III</div>  <p style="text-align: center;">Элемент 194</p>	$S = \pi h (4r - h)$ $x_0 = \pi \frac{h^2}{S} (3r - h)$ $y_0 = z_0 = \sqrt{h (2r - h)}$	$I_{Y_0 O Z_0} = \frac{\pi^2}{3} m \frac{r h^4}{S^2} (5r - 2h)$ $I_{Z_0 O X_0} = I_{X_0 O Y_0} = \frac{\pi}{12} \times$ $\times m \frac{h^2}{S} [8r (3r - 2h) + 3h^2]$
<div data-bbox="638 1372 682 1412" style="border: 1px solid black; padding: 2px; display: inline-block;">III</div>  <p style="text-align: center;">Элемент 195</p>	$S = \pi [2r (r + h) - h^2]$ $x_0 = \pi \frac{r h}{S} (r + h)$ $y_0 = z_0 = r$	$I_{Y_0 O Z_0} = \frac{\pi^2}{3} m \frac{r h^2}{S^2} \times$ $\times [r^2 (3r + 4h) - 2h^2 (r + h)]$ $I_{Z_0 O X_0} = I_{X_0 O Y_0} = \frac{\pi}{12} m \frac{1}{S} \times$ $\times [6r^2 (r^2 + 2rh - h^2) - h^3 (4r - 3h)]$

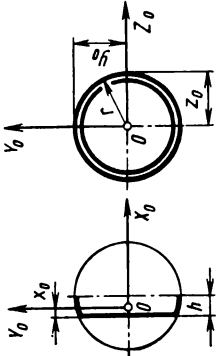
Продолжение табл. 8

Эскиз и номер элемента	[Поверхность, координаты центра масс	Моменты инерции относительно центральных плоскостей (испомогательные величины) Главные центральные моменты инерции см. табл. 25, стр. 127
<div data-bbox="292 1369 336 1409" style="border: 1px solid black; padding: 2px; display: inline-block;">III</div>  <p style="text-align: center;">Элемент 196</p>	$S = \frac{\pi}{2} [4r(r+h) - h^2]$ $x_0 = \frac{1}{2}h; \quad y_0 = z_0 = r$	$I_{Y_0OZ_0} = \frac{\pi}{24} m \frac{h^2}{S} [4r(3r+h) - 3h^2]$ $I_{Z_0OX_0} = I_{X_0OY_0} = \frac{\pi}{96} \times$ $\times m \frac{1}{S} \{8r[6r^2(r+2h)] -$ $- h^2(3r+h) + 3h^4\}$
<div data-bbox="636 1385 680 1425" style="border: 1px solid black; padding: 2px; display: inline-block;">III</div>  <p style="text-align: center;">Элемент 197</p>	$S = 3\pi r^2 = 9,42478r^2$ $x_0 = \frac{2}{3}r = 0,66667r$ $y_0 = z_0 = r$	$I_{Y_0OZ_0} = \frac{1}{9}mr^2 = 0,11111mr^2$ $I_{Z_0OX_0} = I_{X_0OY_0} = \frac{11}{36}mr^2 =$ $= 0,30556mr^2$

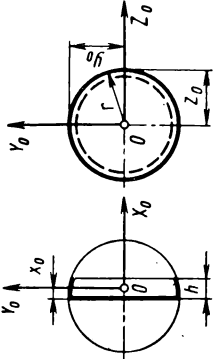
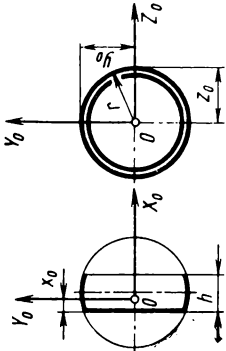
Продолжение табл. 8

Эскиз и номер элемента	Поверхность, координаты центра масс	Моменты инерции относительно центральных плоскостей (вспомогательные величины) Главные центральные моменты инерции см. табл. 25, стр. 127
<div data-bbox="453 1380 502 1421" style="border: 1px solid black; padding: 2px; display: inline-block;">III</div>  <p style="text-align: center;">Элемент 198</p>	$S = \pi (2rH - t^2)$ $x_0 = \pi \frac{rt^2}{S}$ $y_0 = z_0 = \sqrt{H(2r - H)}$	$I_{Y_0OZ_0} = \frac{\pi^2}{3} \times$ $\times m \frac{rt^3}{S^2} [r(H + 3t) - 2t^2]$ $I_{Z_0OX_0} = I_{X_0OY_0} = \frac{\pi}{12} \times$ $\times m \frac{1}{S} \{4r[H^2(3r - H) - 2t^3] + 3t^4\}$
<p>В формулах $t = H - h$. Формулы для некоторых тел, полученные подстановкой значений параметров H и h, приведены на следующих страницах:</p>		
Параметры	$H = h$ $H = r$ $H = r + \frac{h}{2}$	$H = h = r$ $H = h = 2r$ $H = r + h$
Страница	318 325 326	326 320 326
Элемент	188 199 201	192 200

Продолжение табл. 8

Эскиз и номер элемента	Поверхность, координаты центра масс	Моменты инерции относительно центральных плоскостей (вспомогательные величины) Главные центральные моменты инерции см. табл. 25, стр. 127
<div data-bbox="467 1377 516 1412" style="border: 1px solid black; padding: 2px; display: inline-block;">III</div>  <p style="text-align: center;">Элемент 199</p>	$S = \pi [r(r + 2h) - h^2]$ $x_0 = \pi \frac{rh^2}{S}; \quad y_0 = z_0 = r$	$I_{Y_0 O Z_0} = \frac{\pi^2}{3} \times$ $\times m \frac{rh^3}{S^2} [2(r^2 - h^2) + rh]$ $I_{Z_0 O X_0} = I_{X_0 O Y_0} = \frac{\pi}{12} \times$ $\times m \frac{1}{S} [3(r^2 - h^2)^2 + 4rh(3r^2 - h^2)]$

Продолжение табл. 8

Эскиз и номер элемента	Поверхность, координаты центра масс	Моменты инерции относительно центральных плоскостей (вспомогательные величины) Главные центральные моменты инерции см. табл. 25, стр. 127
<div data-bbox="281 1377 328 1414" style="border: 1px solid black; padding: 2px; display: inline-block;">III</div>  <p style="text-align: center;">Элемент 200</p>	$S = \pi r (r + 2h)$ $x_0 = \pi \frac{rh^2}{S}; \quad y_0 = z_0 = r$	$I_{Y_0 O Z_0} = \frac{\pi^2}{3} m \frac{r^2 h^3}{S^2} (2r + h)$ $I_{Z_0 O X_0} = I_{X_0 O Y_0} = \frac{\pi}{12} \times$ $\times m \frac{r}{S} [3r^2 (r + 4h) - 4h^3]$
<div data-bbox="631 1365 678 1403" style="border: 1px solid black; padding: 2px; display: inline-block;">III</div>  <p style="text-align: center;">Элемент 201</p>	$S = \frac{\pi}{4} [4r (r + 2h) - h^2]$ $x_0 = \pi \frac{rh^2}{S}; \quad y_0 = z_0 = r$	$I_{Y_0 O Z_0} = \frac{\pi^2}{6} \times$ $\times m \frac{rh^3}{S^2} [2r (2r + h) - h^2]$ $I_{Z_0 O X_0} = I_{X_0 O Y_0} = \frac{\pi}{192} \times$ $\times m \frac{1}{S} \{8r [6r^2 (r + 4h) -$ $- h^2 (3r + 2h)] + 3h^4\}$

Продолжение табл. 8

Эскиз и номер элемента

III

Элемент 202

Поверхность,
координаты центра масс

$$S = \pi [2rh + (R^2 - r_1^2)]$$

$$x_0 = \pi \frac{h}{S} [rh + (R^2 - r_1^2)]$$

$$y_0 = z_0 = R$$

$$I_{Y_0 O Z_0} = \frac{\pi^2}{3} m \frac{rh^3}{S^2} [rh + 2(R^2 - r_1^2)]$$

$$I_{Z_0 O X_0} = I_{X_0 O Y_0} = \frac{\pi}{12} m \frac{1}{S} \times [4rh^2(3r - h) + 3(R^4 - r_1^4)]$$

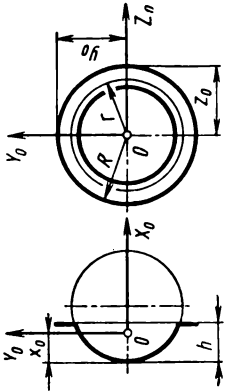
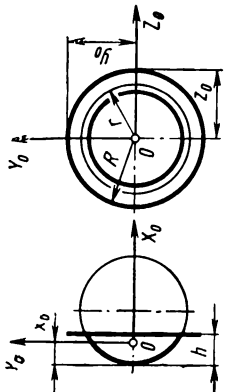
Подставляя значения входящих параметров, указанные в «Предметно-иллюстрированном оглавлении», можно получить формулы для соответствующих комбинированных элементов поверхности шара (см. стр. 34). Все элементы относятся к элементам III типа (см. табл. 26, стр. 127).

Формулы для некоторых тел, полученные подстановкой значений параметров h , r_1 и R , приведены на следующих страницах:

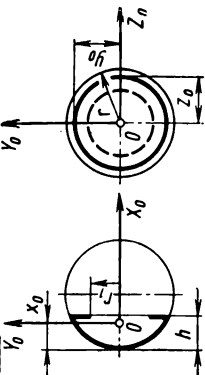
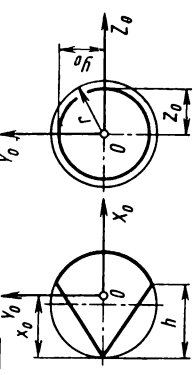
Параметры	$r_1 = \sqrt{h(2r-h)}$	$r_1 = 0$	$R = \sqrt{h(2r-h)}$	$R = \sqrt{h(2r-h)}$	$r_1 = 0$
Страница	328	328	329	322	322
Элемент	203	204	205	194	194
Параметры	$h = R = r$; $r_1 = 0$	$R = r_1 = \sqrt{h(2r-h)}$	$h = R = r_1 = r$	$R = r_1$;	$h = 2r$
Страница	323	318	319	320	320
Элемент	197	188	191	192	192

Моменты инерции относительно центральных плоскостей (вспомогательные величины)
Главные центральные моменты инерции см. табл. 26, стр. 127

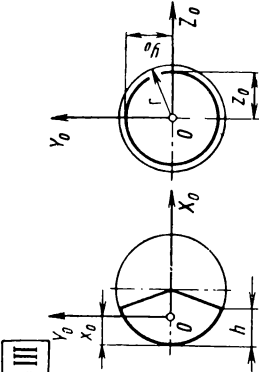
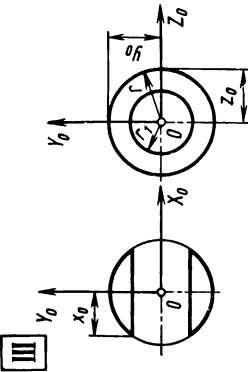
Продолжение табл. 8

Эскиз и номер элемента	Поверхность, координаты центра масс	Моменты инерции относительно центральных плоскостей (вспомогательные величины) Главные центральные моменты инерции см. табл. 26, стр. 127
<div data-bbox="274 1386 321 1422">III</div>  <p style="text-align: center;">Элемент 203</p>	$S = \pi (R^2 + h^2)$ $x_0 = \pi \frac{h}{S} [R^2 - h(r - h)]$ $y_0 = z_0 = R$	$I_{Y_0 O Z_0} = \frac{\pi^2}{3} \times$ $\times m \frac{r h^3}{S^2} [2(R^2 + h^2) - 3rh]$ $I_{Z_0 O X_0} = I_{X_0 O Y_0} = \frac{\pi}{12} \times$ $\times m \frac{1}{S} [8rh^3 + 3(R^4 - h^4)]$
<div data-bbox="623 1386 670 1422">III</div>  <p style="text-align: center;">Элемент 204</p>	$S = \pi (2rh + R^2)$ $x_0 = \pi \frac{h}{S} (rh + R^2)$ $y_0 = z_0 = R$	$I_{Y_0 O Z_0} = \frac{\pi^2}{3} m \frac{r h^3}{S^2} (rh + 2R^2)$ $I_{Z_0 O X_0} = I_{X_0 O Y_0} = \frac{\pi}{12} \times$ $\times m \frac{1}{S} [4rh^2 (3r - h) + 3R^4]$

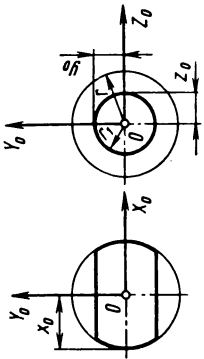
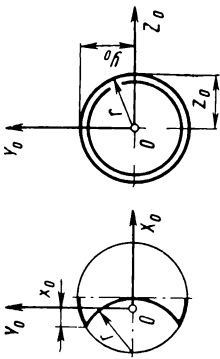
Продолжение табл. 8

Эскиз и номер элемента	Поверхность, координаты центра масс	Моменты инерции относительно центральных плоскостей (вспомогательные величины) Главные центральные моменты инерции см. табл. 25, стр. 127
<div data-bbox="289 1356 343 1404">III</div>  <p style="text-align: center;">Элемент 205</p>	$S = \pi [h(4r - h) - r_1^2]$ $x_0 = \pi \frac{h}{S} [h(3r - h) - r_1^2]$ $y_0 = z_0 = \sqrt{h(2r - h)}$	$I_{Y_0 O Z_0} = \frac{\pi^2}{3} \times$ $\times m \frac{r h^3}{S^2} [5rh - 2(r_1^2 + h^2)]$ $I_{Z_0 O X_0} = I_{X_0 O Y_0} = \frac{\pi}{12} \times$ $\times m \frac{1}{S} [8rh^2(3r - 2h) + 3(h^4 - r_1^4)]$
<div data-bbox="638 1356 693 1404">III</div>  <p style="text-align: center;">Элемент 206</p>	$S = \pi a(a + h)$ $x_0 = \frac{\pi}{6} \cdot \frac{a}{S} [3a(2r + h) +$ $+ 4h^2]$ $y_0 = z_0 = \sqrt{h(2r - h)}$ <p style="text-align: center;">В формулах $a = \sqrt{2r(2r - h)}$</p>	$I_{Y_0 O Z_0} = m \left\{ \frac{\pi}{6} \cdot \frac{a}{S} [4ar(2r + h) + \right.$ $+ h^2(2a + 3h)] - x_0^2 \}$ $I_{Z_0 O X_0} = I_{X_0 O Y_0} = \frac{\pi}{12} m \frac{a}{S} \times$ $\times (2r - h) [2a(r + h) + 3h^2]$

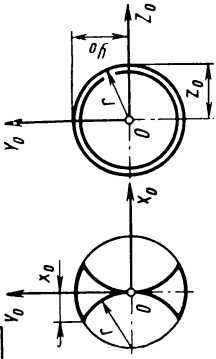
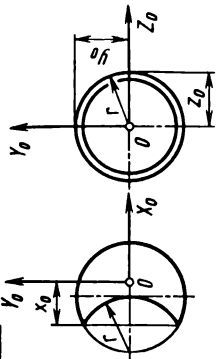
Продолжение табл. 8

Эскиз и номер элемента	Поверхность, координаты центра масс	Моменты инерции относительно центральных плоскостей (вспомогательные величины) Главные центральные моменты инерции см. табл. 25, стр. 127
<div data-bbox="295 1370 342 1406">III</div>  <p style="text-align: center;">Элемент 207</p>	$S = \pi r (a + 2h)$ $x_0 = \frac{\pi}{3} \cdot \frac{r}{S} [a(r + 2h) + 3h^2]$ $y_0 = z_0 = a$ <p style="text-align: center;">В формулах $a = \sqrt{h(2r - h)}$</p>	$I_{Y_0 O Z_0} = \frac{\pi^2}{18} m \frac{r^2 h}{S^2} [2r(r^2 + 2h^2) - 5h(r^2 - h^2) + 6a(r^2 + h^2)]$ $I_{Z_0 O X_0} = I_{X_0 O Y_0} = \frac{\pi}{12} \times$ $\times m \frac{r h}{S} [3a(2r - h) + 4h(3r - h)]$
<div data-bbox="650 1370 697 1406">III</div>  <p style="text-align: center;">Элемент 208</p>	$S = 4\pi (r + r_1) \sqrt{r^2 - r_1^2}$ $x_0 = \sqrt{r^2 - r_1^2}; \quad y_0 = z_0 = r$	$I_{Y_0 O Z_0} = \frac{1}{3} m (r^2 - r_1^2)$ $I_{Z_0 O X_0} = I_{X_0 O Y_0} = \frac{1}{6} m \times$ $\times [2r(r - r_1) + 3r_1^2]$

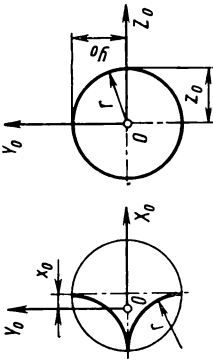
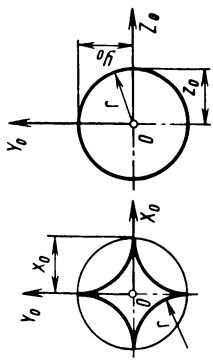
Продолжение табл. 8

Эскиз и номер элемента	Поверхность, координаты центра масс	Моменты инерции относительно центральных плоскостей (вспомогательные величины) Главные центральные моменты инерции см. табл. 26, стр. 127
<div data-bbox="295 1365 345 1406" style="border: 1px solid black; padding: 2px; display: inline-block;">III</div>  <p style="text-align: center;">Элемент 209</p>	$S = 4\pi [r^2 - (r - r_1) \sqrt{r^2 - r_1^2}]$ $x_0 = r; \quad y_0 = z_0 = r_1$	$I_{Y_0 O Z_0} = \frac{4\pi}{3} m \frac{1}{S} \times$ $\times [r^4 - (r - r_1) \sqrt{r^2 - r_1^2}]^3]$ $I_{Z_0 O X_0} = I_{X_0 O Y_0} = \frac{2\pi}{3} m \frac{1}{S} \times$ $\times [2r^4 - (2r^3 + r_1^2 - 3r^2) \sqrt{r^2 - r_1^2}]$
<div data-bbox="634 1365 683 1406" style="border: 1px solid black; padding: 2px; display: inline-block;">III</div>  <p style="text-align: center;">Элемент 210</p>	$S = 2\pi r^2 = 6,28318r^2$ $x_0 = \frac{1}{4} r = 0,25r;$ $y_0 = z_0 = r$	$I_{Y_0 O Z_0} = \frac{1}{48} m r^2 = 0,02083 m r^2$ $I_{Z_0 O X_0} = I_{X_0 O Y_0} = \frac{1}{3} m r^2 =$ $= 0,33333 m r^2$

Продолжение табл. 8

Эскиз и номер элемента	Поверхность, координаты центра масс	Моменты инерции относительно центральных плоскостей (вспомогательные величины) Главные центральные моменты инерции см. табл. 25, стр. 127
<div data-bbox="292 1377 340 1414" style="border: 1px solid black; padding: 2px; display: inline-block;">III</div>  <p style="text-align: center;">Элемент 211</p>	$S = 4\pi r^2 = 12,56637 r^2$ $x_0 = \frac{1}{2} r = 0,5r;$ $y_0 = z_0 = r$	$I_{Y_0 O Z_0} = \frac{1}{12} \pi r^2 = 0,08333 \pi r^2$ $I_{Z_0 O X_0} = I_{X_0 O Y_0} = \frac{1}{3} \pi r^2 = 0,33333 \pi r^2$
<div data-bbox="642 1377 690 1414" style="border: 1px solid black; padding: 2px; display: inline-block;">III</div>  <p style="text-align: center;">Элемент 212</p>	$S = 4\pi r^2 = 12,56637 r^2$ $x_0 = \frac{5}{8} r = 0,625r;$ $y_0 = z_0 = r$	$I_{Y_0 O Z_0} = \frac{37}{192} \pi r^2 = 0,19271 \pi r^2$ $I_{Z_0 O X_0} = I_{X_0 O Y_0} = \frac{1}{3} \pi r^2 = 0,33333 \pi r^2$

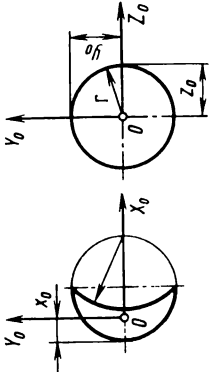
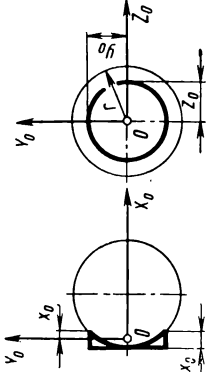
Продолжение табл. 8

Эскиз и номер элемента	Поверхность, координаты центра масс	Моменты инерции относительно центральных плоскостей (вспомогательные величины) Главные центральные моменты инерции см. табл. 25, стр. 127
<div data-bbox="281 1360 333 1398" style="border: 1px solid black; padding: 2px; display: inline-block;">III</div>  <p style="text-align: center;">Элемент 213</p>	$S = \pi (\pi - 2) r^2 = 3,58642 r^2$ $x_0 = \frac{\pi - 3}{\pi - 2} r = 0,12403 r$ $y_0 = z_0 = r$	$I_{Y_0 O Z_0} = \frac{3\pi^2 - 10\pi + 2}{6 (\pi - 2)^2} m r^2 =$ $= 0,02467 m r^2$ $I_{Z_0 O X_0} = I_{X_0 O Y_0} = \frac{15\pi - 44}{12 (\pi - 2)} m r^2 =$ $= 0,22803 m r^2$
<div data-bbox="627 1347 679 1385" style="border: 1px solid black; padding: 2px; display: inline-block;">III</div>  <p style="text-align: center;">Элемент 214</p>	$S = 2\pi (\pi - 2) r^2 = 7,17284 r^2$ $x_0 = y_0 = z_0 = r$	$I_{Y_0 O Z_0} = \frac{9\pi - 28}{6 (\pi - 2)} m r^2 = 0,04005 m r^2$ $I_{Z_0 O X_0} = I_{X_0 O Y_0} = \frac{15\pi - 44}{12 (\pi - 2)} m r^2 =$ $= 0,22803 m r^2$

Продолжение табл. 8

Эскиз и номер элемента	Поверхность, координаты центра масс	Моменты инерции относительно центральных плоскостей (вспомогательные величины) Главные центральные моменты инерции см. табл. 25, стр. 127
<div data-bbox="281 1365 334 1406">III</div> <div data-bbox="347 1040 552 1393"></div> <div data-bbox="568 1146 594 1284">Элемент 215</div>	$S = \pi^2 r^2 = 9,86960 r^2$ $x_0 = \frac{2}{\pi} (\pi - 2) r = 0,72676 r$ $y_0 = z_0 = r$	$I_{Y_0 O Z_0} = \frac{\pi^2 + 8\pi - 32}{2\pi^2} mr^2 = 0,14197 mr^2$ $I_{Z_0 O X_0} = I_{X_0 O Y_0} = \frac{5\pi - 12}{4\pi} mr^2 = 0,29507 mr^2$
<div data-bbox="635 1357 687 1398">III</div> <div data-bbox="683 1040 896 1403"></div> <div data-bbox="912 1146 938 1284">Элемент 216</div>	$S = 2(3 - \sqrt{2})\pi r^2 = 9,96379 r^2$ $x_0 = \frac{1 + \sqrt{2}}{2(3 - \sqrt{2})} r = 0,76120 r$ $y_0 = z_0 = r$	$I_{Y_0 O Z_0} = \frac{59 - 38\sqrt{2}}{12(3 - \sqrt{2})^2} mr^2 = 0,17430 mr^2$ $I_{Z_0 O X_0} = I_{X_0 O Y_0} = \frac{5}{6} \times \frac{2 - \sqrt{2}}{3 - \sqrt{2}} mr^2 = 0,12313 mr^2$

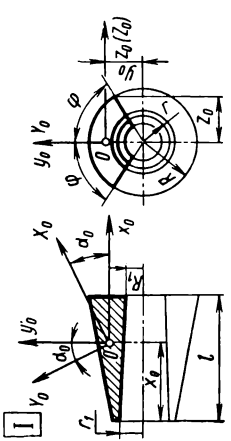
Продолжение табл. 8

Эскиз и номер элемента	Поверхность, координаты центра масс	Моменты инерции относительно центральных плоскостей (вспомогательные величины) Главные центральные моменты инерции см. табл. 25, стр. 127
<div data-bbox="279 1360 328 1406" style="border: 1px solid black; padding: 2px; display: inline-block;">III</div>  <p style="text-align: center;">Элемент 217</p>	$S = 2(3 - \sqrt{2})\pi r^2 = 9,96379r^2$ $x_0 = \frac{9 - 5\sqrt{2}}{2(3 - \sqrt{2})}r = 0,60819r$ $y_0 = z_0 = r$	$I_{Y_0OZ_0} = \frac{107 - 74\sqrt{2}}{12(3 - \sqrt{2})^2}mr^2 =$ $= 0,07781mr^2$ $I_{Z_0OX_0} = I_{X_0OY_0} = \frac{5}{6} \times$ $\times \frac{2 - \sqrt{2}}{3 - \sqrt{2}}mr^2 = 0,12313mr^2$
<div data-bbox="634 1349 683 1395" style="border: 1px solid black; padding: 2px; display: inline-block;">III</div>  <p style="text-align: center;">Элемент 218</p>	$S = \pi h [2(2r + a) - h]$ $x_0 = \pi \frac{h^2}{S} (3r + a - h)$ $y_0 = z_0 = a$ <p style="text-align: center;">В формулах $a = \sqrt{h(2r - h)}$</p>	$I_{Y_0OZ_0} = \frac{\pi^2}{3} \times$ $\times m \frac{h^4}{S^2} [5r^2 + 2a(3r - h) - h^2]$ $I_{Z_0OX_0} = I_{X_0OY_0} = \frac{\pi}{12} m \frac{h^2}{S} \times$ $\times [8r(3r - 2h) + 12a(2r - h) + 3h^2]$

9. ЭЛЕМЕНТЫ КРУГОВОГО УСЕЧЕННОГО КОНУСА

Масса $m = V\rho$ или $m = S\delta\rho$, где V — объем; S — поверхность; δ — толщина стенки;
 ρ — плотность материала

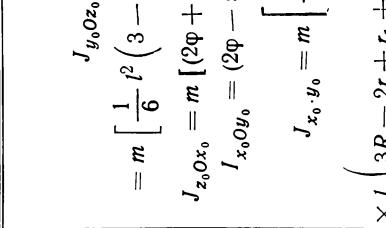
ЭЛЕМЕНТЫ ОБЪЕМА

Эскиз и номер элемента	Объем, координаты центра масс	Моменты инерции относительно центральных плоскостей (вспомогательные величины) Главные центральные моменты инерции см. табл. 25, стр. 127
 <p style="text-align: center;">Элемент 219</p>	$V = \frac{\varphi}{3} l [(R^2 - R_1^2) + (Rr - R_1r_1) + (r^2 - r_1^2)]$ $x_0 = \frac{\varphi}{12} \cdot \frac{l^2}{V} [3(R^2 - R_1^2) + 2(Rr - R_1r_1) + (r^2 - r_1^2)]$ $y_0 = \frac{\sin \varphi}{6} \cdot \frac{l}{V} [(R^3 - R_1^3) + (R^2r - R_1^2r_1) + (Rr^2 - R_1r_1^2) + (r^3 - r_1^3)]$ $z_0 = R \sin \varphi$	$J_{y_0Oz_0} = m \left\{ \frac{\varphi}{30} \cdot \frac{l^3}{V} [6(R^2 - R_1^2) + 3(Rr - R_1r_1) + (r^2 - r_1^2)] - x_0^2 \right\}$ $J_{z_0Ox_0} = m [(2\varphi + \sin 2\varphi) T^2 - y_0^2]$ $I_{x_0Oy_0} = (2\varphi - \sin 2\varphi) m T^2$ $J_{x_0, y_0} = m \left\{ \frac{\sin \varphi}{30} \cdot \frac{l^2}{V} [4(R^3 - R_1^3) + 3(R^2r - R_1^2r_1) + 2(Rr^2 - R_1r_1^2) + (r^3 - r_1^3)] - x_0y_0 \right\}$

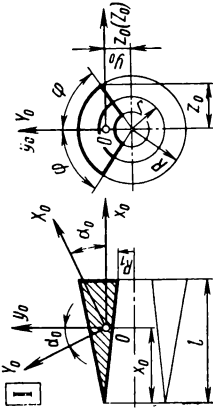
Продолжение табл. 9

Эскиз и номер элемента	Объем, координаты центра масс	Моменты инерции относительно центральных плоскостей (вспомогательные величины) Главные центральные моменты инерции см. табл. 25, стр. 127						
<div>В формулах $T^2 = \frac{1}{40} \cdot \frac{l}{V} [R(R+r)(R^2+r^2) + (r^4-r_1^4) - R_1(R_1+r_1)(R_1^2+r_1^2)]$.</div> <div>Подставляя значения параметров R_1 и r_1, указанные в «Предметно-иллюстрированном оглавлении», можно получить формулы для соответствующих элементов усеченного конуса (см. стр. 35). Все элементы относятся к элементам I типа (см. табл. 25, стр. 127). Формулы для некоторых тел, полученные подстановкой значений параметров R_1, r_1, φ и r, приведены на следующих страницах:</div>								
Пара- метры	$R_1=R-(r-r_1)$ $r_1=r$ $R_1=r_1$	$R_1=r_1=R$ $R_1=r_1=r$ $R_1=r_1=0$ $\varphi=\pi$ $r=R$						
Страница	338	339	340	341	342	343	344	390
Элемент	220	221	222	223	224	225	226	274


Продолжение табл. 9

Эскиз и номер элемента	Объем, координаты центра масс	Моменты инерции относительно центральных плоскостей (вспомогательные величины) Главные центральные моменты инерции см. табл. 25, стр. 127
 <p style="text-align: center;">Элемент 220</p>	$V = \varphi l (r - r_1) (R + r_1)$ $x_0 = \frac{1}{6} l \left(4 - \frac{r + r_1}{R + r_1} \right)$ $y_0 = \frac{\sin \varphi}{6\varphi} \times$ $\frac{(R^4 - r^4 + r_1^4) - (R - r + r_1)^4}{(r - r_1) (R + r_1) (R - r)}$ $z_0 = R \sin \varphi$	$J_{y_0 O z_0} =$ $= m \left[\frac{1}{6} l^2 \left(3 - \frac{r + r_1}{R + r_1} \right) - x_0^2 \right]$ $J_{z_0 O x_0} = m \left[(2\varphi + \sin 2\varphi) T^2 - y_0^2 \right]$ $I_{x_0 O y_0} = (2\varphi - \sin 2\varphi) m T^2$ $J_{x_0 \cdot y_0} = m \left[\frac{\sin \varphi}{6\varphi} \times \right.$ $\left. \times l \left(3R - 2r + r_1 + \frac{r^2 - r_1^2}{R + r_1} \right) - x_0 y_0 \right]$
	<p>В формулах $T^2 = \frac{1}{40\varphi} \cdot \frac{(R^5 - r^5 + r_1^5) - (R - r + r_1)^5}{(r - r_1) (R + r_1) (R - r)}$</p>	

Продолжение табл. 9

Эскиз и номер элемента	Объем, координаты центра масс	Моменты инерции относительно центральных плоскостей (вспомогательные величины) Главные центральные моменты инерции см. табл. 25, стр. 127
	$V = -\frac{\varphi}{3} A l (R - R_1)$ $x_0 = \frac{1}{4} l \left(3 - \frac{r}{A} \right)$ $y_0 =$ $= \frac{\sin \varphi}{2\varphi} \left(R + r + \frac{R_1^2 - Rr}{A} \right)$ $z_0 = R \sin \varphi$	$J_{y_0 O z_0} =$ $= \frac{1}{80} m l^2 \left\{ 3 + \frac{r}{A^2} [6(R + R_1) + r] \right\}$ $J_{z_0 O x_0} = m [(2\varphi + \sin 2\varphi) T^2 - y_0^2]$ $J_{x_0 O y_0} = (2\varphi - \sin 2\varphi) m T^2$ $J_{x_0, y_0} =$ $= m \left\{ \frac{\sin \varphi}{10\varphi} l \left[4(R + R_1) - r - \right. \right.$ $\left. - \frac{4RR_1 - 3r^2}{A} \right] - x_0 y_0 \left. \right\}$
<p style="text-align: center;">Элемент 221</p>	<p>В формулах $A = R + R_1 + r$; $T^2 = \frac{3}{40\varphi} \left(R^2 + R_1^2 + r^2 + \frac{RR_1 r}{A} \right)$</p>	

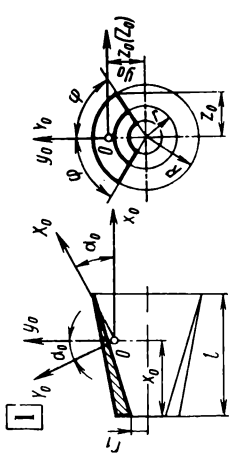
Продолжение табл. 9

Эскиз и номер элемента	Объем, координаты центра масс	Моменты инерции относительно центральных плоскостей (вспомогательные величины) Главные центральные моменты инерции см. табл. 25, стр. 127
 <p style="text-align: center;">Элемент 222</p>	$V = \frac{\pi}{3} l [R(R+r) + r^2 - 3r_1^2]$ $x_0 = \frac{\pi}{12} \times$ $\times \frac{l^2}{V} [R(3R+2r) + r^2 - 6r_1^2]$ $y_0 = \frac{\sin \varphi}{6} \times$ $\times \frac{l}{V} [(R+r)(R^2+r^2) - 4r_1^3]$ $z_0 = R \sin \varphi$	$J_{y_0 O z_0} =$ $= m \left\{ \frac{\pi}{30} \cdot \frac{l^3}{V} [3R(2R+r) - 10r_1^2] - x_0^2 \right\}$ $J_{z_0 O x_0} = m [(2\varphi + \sin 2\varphi) T^2 - y_0^2]$ $I_{x_0 O y_0} = (2\varphi - \sin 2\varphi) m T^2$ $J_{x_0 \cdot y_0} =$ $= m \left\{ \frac{\sin \varphi}{30} \cdot \frac{l^2}{V} [R^2(4R+3r) + \right.$ $\left. + r^2(2R+r) - 10r_1^3] - x_0 y_0 \right\}$
<p style="text-align: center;">В формулах $T^2 = \frac{1}{40} \cdot \frac{l}{V} [R(R+r)(R^2+r^2) + r^4 - 5r_1^4]$</p>		

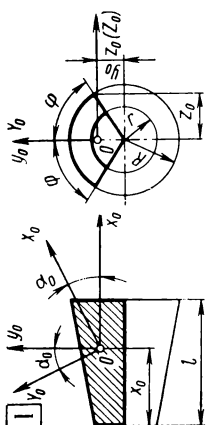
Продолжение табл. 9

Эскиз и номер элемента	Объем, координаты центра масс	Моменты инерции относительно центральных плоскостей (вспомогательные величины) Главные центральные моменты инерции см. табл. 25, стр. 127
<div data-bbox="496 1015 720 1437"> </div> <div data-bbox="726 1161 748 1299" style="writing-mode: vertical-rl; transform: rotate(180deg);">Элемент 223</div>	$V = \frac{\varphi}{3} A l (R - r)$ $x_0 = \frac{1}{4} l \left(3 - \frac{r}{A} \right)$ $y_0 = \frac{\sin \varphi}{2\varphi} \left(R + 3 \frac{r^2}{A} \right)$ $z_0 = R \sin \varphi$	$J_{y_0 O z_0} = \frac{1}{80} m l^2 \left(3 + r \frac{6R + 7r}{A^2} \right)$ $J_{z_0 O x_0} = m \left[(2\varphi + \sin 2\varphi) T^2 - y_0^2 \right]$ $I_{x_0 O y_0} = (2\varphi - \sin 2\varphi) m T^2$ $J_{x_0 y_0} = m \left[\frac{\sin \varphi}{10\varphi} \times \right.$ $\left. \times l \left(4R + r + 11 \frac{r^2}{A} \right) - x_0 y_0 \right]$
	<p>В формулах $A = R + 2r$; $T^2 = \frac{3}{40\varphi} \left(R^2 + 3r^2 - 2 \frac{r^3}{A} \right)$</p>	

Продолжение табл. 9

Эскиз и номер элемента	Объем, координаты центра масс	Моменты инерции относительно центральных плоскостей (вспомогательные величины) Главные центральные моменты инерции см. табл. 26, стр. 127
	$V = \frac{\varphi}{3} Al (r - r_1)$ $x_0 = -\frac{1}{4} l \left(1 + \frac{R}{A} \right)$ $y_0 = \frac{\sin \varphi}{2\varphi} \left(R + r - \frac{Rr - r_1^2}{A} \right)$ $z_0 = R \sin \varphi$	$J_{y_0 O z_0} =$ $= \frac{1}{80} ml^2 \left\{ 3 + \frac{R}{A^2} [6(r + r_1) + R] \right\}$ $J_{z_0 O x_0} = m \left[(2\varphi + \sin 2\varphi) T^2 - y_0^2 \right]$ $I_{x_0 O y_0} = (2\varphi - \sin 2\varphi) m T^2$ $J_{x_0 \cdot y_0} = m \left\{ \frac{\sin \varphi}{10\varphi} \times \right.$ $\times l \left[2R + \frac{R^2 + r_1(r + r_1)}{A} \right] - x_0 y_0 \left. \right\}$
Элемент 224	<p>В формулах $A = R + r + r_1$; $T^2 = \frac{3}{40\varphi} \left(R^2 + r^2 + r_1^2 + \frac{Rr_1}{A} \right)$</p>	

Продолжение табл. 9

Эскиз и номер элемента	Объем, координаты центра масс	Моменты инерции относительно центральных плоскостей (вспомогательные величины) Главные центральные моменты инерции см. табл. 25, стр. 127
 <p style="text-align: center;">Элемент 225</p>	$V = -\frac{\varphi}{3} l \frac{R^3 - r^3}{R - r} = K_1 R^2 l$ $x_0 = \frac{1}{4} l \left[2 + \frac{(R-r)(R^2-r^2)}{R^3-r^3} \right] = K_2 l$ $y_0 = -\frac{\sin \varphi}{2\varphi} \cdot \frac{R^4 - r^4}{R^3 - r^3} = K_3 R$ $z_0 = R \sin \varphi = K_3 R$	$J_{y_0 z_0} = \frac{3}{80} m l^2 \frac{(R-r)^2}{(R^3-r^3)^2} \times$ $\times [(R+r)^4 + 4R^2 r^2] = K_5 m l^2$ $J_{z_0 x_0} = m [(2\varphi + \sin 2\varphi) T^2 - y_0^2] = K_6 m R^2$ $I_{x_0 O y_0} = (2\varphi - \sin 2\varphi) m T^2 = K_7 m R^2$ $J_{x_0 \cdot y_0} = \frac{\sin \varphi}{40\varphi} m l \frac{(R-r)^3}{(R^3-r^3)^2} \times$ $\times [(R+r)^4 + 4R^2 r^2] = K_8 m R l$ <p style="text-align: center;">.</p> <p>В формулах $T^2 = \frac{3}{40\varphi} \cdot \frac{R^5 - r^5}{R^3 - r^3}$</p> <p>Коэффициенты $K_i = f\left(\varphi^\circ; p = \frac{r}{R}\right)$: K_1, K_4, K_6, K_7 и K_8 приведены в табл. 17 (см. стр. 496); коэффициенты $K_i = f\left(p = \frac{r}{R}\right)$: K_2 и K_5 приведены в табл. 19 (см. стр. 504); коэффициент $K_3 = f(\varphi^\circ)$ приведен в табл. 16 (см. стр. 495)</p>

Продолжение табл. 9

Эскиз и номер элемента

Элемент 226

Объем,
координаты центра масс

$$V = \frac{\pi}{3} l [(R^2 - R_1^2) + (Rr - R_1r_1) + (r^2 - r_1^2)]$$

$$x_0 = \frac{\pi}{12} \cdot \frac{l^2}{V} [3(R^2 - R_1^2) + 2(Rr - R_1r_1) + (r^2 - r_1^2)]$$

$$y_0 = z_0 = R$$

$$I_{Y_0OZ_0} = m \left\{ \frac{\pi}{30} \cdot \frac{l^3}{V} [6(R^2 - R_1^2) + 3(Rr - R_1r_1) + (r^2 - r_1^2)] - x_0^2 \right\}$$

$$I_{Z_0OX_0} = I_{X_0OY_0} =$$

$$= \frac{\pi}{20} m \frac{l}{V} [R(R+r)(R^2 + r^2) + (r^4 - r_1^4) - R_1(R_1 + r_1)(R_1^2 + r_1^2)]$$

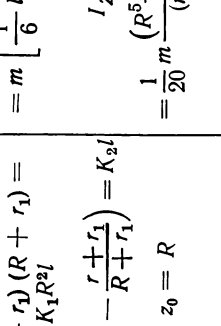
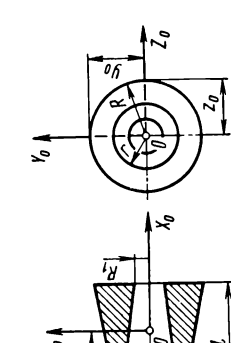
Подставляя значения параметров R_1 и r_1 , указанные в «Предметно-иллюстрированном оглавлении», можно получить формулы для соответствующих элементов усеченного конуса (см. стр. 36). Все элементы относятся к элементам I типа (см. табл. 25, стр. 127).
Формулы для некоторых тел, полученные подстановкой значений параметров R_1 , r_1 и r , приведены на следующих страницах:

Пара- метры	$R_1 = R - (r - r_1)$	$r_1 = r$	$R_1 = r_1$	$R_1 = r_1 = r$	$R_1 = R$	$R_1 = r_1 = 0$	$r = R$	$r_1 = r = 0$
Страница	345	345	346	346	346	347	394	416
Элемент	227	228	229	230	231	232	280	312

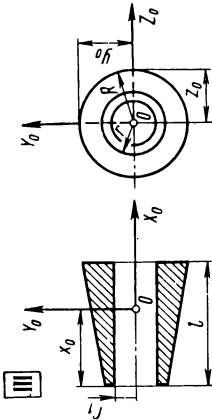
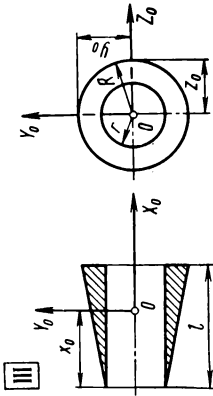
Моменты инерции относительно
центральных плоскостей
(вспомогательные величины)
Главные центральные моменты инерции
см. табл. 25, стр. 127

Элемент 226

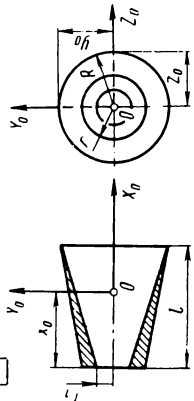
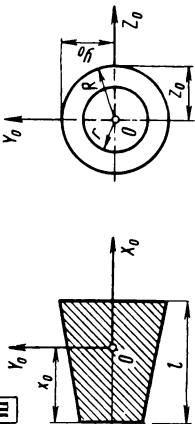
Продолжение табл. 9

Эскиз и номер элемента	Объем, координаты центра масс	Моменты инерции относительно центральных плоскостей (вспомогательные величины) Главные центральные моменты инерции см. табл. 25, стр. 127
<div data-bbox="327 487 546 812">  </div>	$V = \pi l (r - r_1) (R + r_1) = K_1 R^2 l$ $x_0 = \frac{1}{6} l \left(4 - \frac{r + r_1}{R + r_1} \right) = K_2 l$ $y_0 = z_0 = R$ <p>Коэффициенты $K_i = f \left(n = \frac{r}{R} ; p = \frac{r_1}{R} \right)$ приведены в табл. 18 (см. стр. 501)</p>	$I_{Y_0 O Z_0} =$ $= m \left[\frac{1}{6} l^2 \left(3 - \frac{r + r_1}{R + r_1} \right) - x_0^2 \right] =$ $= K_3 m l^2$ $I_{Z_0 O X_0} = I_{X_0 O Y_0} =$ $= \frac{1}{20} m \frac{(R^5 - r^5 + r_1^5) - (R - r + r_1)^5}{(r - r_1)(R + r_1)(R - r)} =$ $= K_4 m R^2$
<div data-bbox="677 1006 906 1347">  </div>	$V = \frac{\pi}{3} A l (R - R_1)$ $x_0 = \frac{1}{4} l \left(3 - \frac{r}{A} \right)$ $y_0 = z_0 = R$ <p>В формулах $A = R + R_1 + r$</p>	$I_{Y_0 O Z_0} =$ $= \frac{1}{80} m l^2 \left\{ 3 + \frac{r}{A^2} [6(R + R_1) + r] \right\}$ $I_{Z_0 O X_0} = I_{X_0 O Y_0} =$ $= \frac{3}{20} m (R^2 + R_1^2 + r^2 + \frac{R R_1 r}{A})$

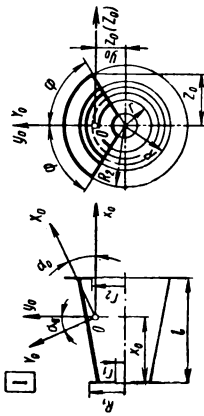
Продолжение табл. 9

Эскиз и номер элемента	Объем, координаты центра масс	Моменты инерции относительно центральных плоскостей (вспомогательные величины) Главные центральные моменты инерции см. табл. 25, стр. 127
 <p style="text-align: center;">Элемент 229</p>	$V = -\frac{\pi}{3} l [R(R+r) + r^2 - 3r_1^2]$ $x_0 = \frac{\pi}{12} \cdot \frac{l^2}{V} [R(3R+2r) + r^2 - 6r_1^2]$ $y_0 = z_0 = R$	$I_{Y_0 O Z_0} =$ $= m \left\{ \frac{\pi}{30} \cdot \frac{l^3}{V} [3R(2R+r) - 10r_1^2] - x_0^2 \right\}$ $I_{Z_0 O X_0} = I_{X_0 O Y_0} =$ $= \frac{\pi}{20} m \frac{l}{V} [R(R+r)(R^2+r^2) + r^4 - 5r_1^4]$
 <p style="text-align: center;">Элемент 230</p>	$V = \frac{\pi}{3} A l (R-r)$ $x_0 = \frac{1}{4} l \left(3 - \frac{r}{A} \right)$ $y_0 = z_0 = \frac{r}{A} R$ <p style="text-align: center;">В формулах $A = R + 2r$</p>	$I_{Y_0 O Z_0} = \frac{1}{80} m l^2 \left(3 + r \frac{6R+7r}{A^2} \right)$ $I_{Z_0 O X_0} = I_{X_0 O Y_0} =$ $= \frac{3}{20} m \left(R^2 + 3r^2 - 2 \frac{r}{A} \right)$

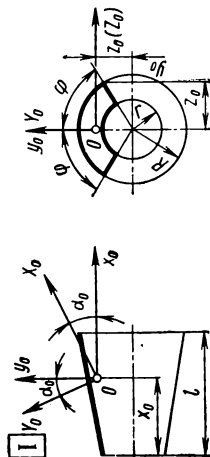
Продолжение табл. 9

Эскиз и номер элемента	Объем, координаты центра масс	Моменты инерции относительно центральных плоскостей (испомогательные величины) Главные центральные моменты инерции см. табл. 28, стр. 127
<div data-bbox="286 1377 325 1416" style="border: 1px solid black; padding: 2px; display: inline-block;">III</div>  <p style="text-align: center;">Элемент 231</p>	$V = \frac{\pi}{3} Al (r - r_1)$ $x_0 = \frac{1}{4} l \left(1 + \frac{R}{A} \right)$ $y_0 = z_0 = R$ <p style="text-align: center;">В формулах $A = R + r + r_1$</p>	$I_{Y_0 O Z_0} =$ $= \frac{1}{80} ml^2 \left\{ 3 + \frac{R}{A^2} [6 (r + r_1) + R] \right\}$ $I_{Z_0 O X_0} = I_{X_0 O Y_0} =$ $= \frac{3}{20} m \left(R^2 + r^2 + r_1^2 + \frac{R r r_1}{A} \right)$
<div data-bbox="653 1399 692 1438" style="border: 1px solid black; padding: 2px; display: inline-block;">III</div>  <p style="text-align: center;">Элемент 232</p>	$V = \frac{\pi}{3} l \frac{R^3 - r^3}{R - r} = K_1 R^2 l$ $x_0 = \frac{1}{4} l \left[2 + \frac{(R - r) (R^2 - r^2)}{R^3 - r^3} \right] =$ $= K_2 l$ $y_0 = z_0 = R$	$I_{Y_0 O Z_0} = \frac{\pi}{3} ml^2 \frac{(R - r)^2}{(R^3 - r^3)^2} \times$ $\times [(R + r)^4 + 4R^2 r^2] = K_5 ml^2$ $I_{Z_0 O X_0} = I_{X_0 O Y_0} =$ $= \frac{3}{20} m \frac{R^5 - r^5}{R^3 - r^3} = K_7 m R^2$ <p style="text-align: right;">Коэффициенты $K_i = f \left(p = \frac{r}{R} \right)$: K_2 и K_5 приведены в табл. 19 (см. стр. 504); K_1 и K_7 — в табл. 17 при $\varphi = \pi$ (см. стр. 496)</p>

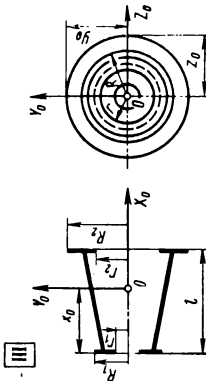
КОМБИНИРОВАННЫЕ ЭЛЕМЕНТЫ ПОВЕРХНОСТИ

Эскиз и номер элемента	Поверхность координаты центра масс	Моменты инерции относительно центральных плоскостей (вспомогательные величины) Главные центральные моменты инерции см. табл. 25, стр. 127
 <p style="text-align: right;">Элемент 233</p>	$S = \varphi [L(R+r) + (R_1^2 - r_1^2) + (R_2^2 - r_2^2)]$ $x_0 = -\frac{\varphi}{3} \cdot \frac{l}{S} [L(2R+r) + 3(R_2^2 - r_2^2)]$ $y_0 = \frac{2}{3} \sin \varphi \times$ $\times \frac{1}{S} [L(R^2 + Rr + r^2) + (R_1^3 - r_1^3) + (R_2^3 - r_2^3)]$ $z_0 = R_2 \sin \varphi$	$J_{y_0 O z_0} = m \left\{ \frac{\varphi}{6} \cdot \frac{l^2}{S} \times \right.$ $\times [L(3R+r) + 6(R_2^2 - r_2^2)] - x_0^2 \}$ $J_{z_0 O x_0} = m [(2\varphi + \sin 2\varphi) T^2 - y_0^2]$ $I_{x_0 O y_0} = (2\varphi - \sin 2\varphi) m T^2$ $J_{x_0 y_0} = m \left\{ \frac{\sin \varphi}{6} \times \right.$ $\times \frac{l}{S} [L(3R^2 + 2Rr + r^2) +$ $+ 4(R_2^3 - r_2^3)] - x_0 y_0 \}$
	<p>В формулах $L = \sqrt{l^2 + (R-r)^2}$;</p> $T^2 = \frac{1}{8S} [L(R+r)(R^2 + r^2) + (R_1^4 - r_1^4) + (R_2^4 - r_2^4)]$	<p>Подставляя значения параметров R_i и r_i, указанные в «Предметно-иллюстрированном оглавлении», можно получить формулы для соответствующих элементов поверхности усеченного конуса (см. стр. 36—37). Все элементы относятся к элементам I типа (см. табл. 25, стр. 127). Формулы для некоторых тел, полученные подстановкой значений параметров R_i, r_i, φ и r, приведены: при $r_1 = R_1 = r$ и $r_2 = R_2 = R$ на стр. 349 (элемент 234), при $\varphi = \pi$ — на стр. 350 (элемент 235), при $r = R$ на стр. 406 (элемент 298), при $R_1 = r_1 = r = 0$ на стр. 418 (элемент 315)</p>

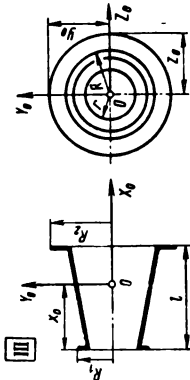
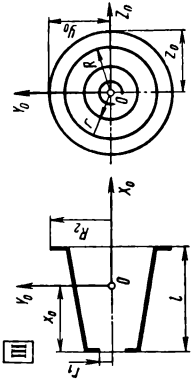
Продолжение табл. 9

Эскиз и номер элемента	Поверхность, координаты центра масс	Моменты инерции относительно центральных плоскостей (вспомогательные величины) Главные центральные моменты инерции см. табл. 25, стр. 127
 <p style="text-align: center;">Элемент 234</p>	$S = \varphi L (R + r)$ $x_0 = \frac{1}{3} l \frac{2R + r}{R + r} = K_1 l$ $y_0 = \frac{2}{3} \cdot \frac{\sin \varphi}{\varphi} \cdot \frac{R^3 - r^3}{R^2 - r^2} = K_4 R$ $z_0 = R \sin \varphi = K_3 R$	$J_{y_0 O z_0} = \frac{1}{18} m \frac{l^2}{(R + r)^2} [(R + r)^2 + 2Rr] = K_2 m l^2$ $J_{x_0 O x_0} = m \left[\frac{2\varphi + \sin 2\varphi}{8\varphi} (R^2 + r^2) - y_0^2 \right] = K_3 m R^2$ $I_{x_0 O y_0} = \frac{2\varphi - \sin 2\varphi}{8\varphi} m (R^2 + r^2) = K_6 m R^2$ $J_{x_0 \cdot y_0} = m \left[\frac{\sin \varphi}{6\varphi} \times \right. \\ \left. \times \frac{l}{R + r} (3R^2 + 2Rr + r^2) - x_0 y_0 \right] = K_7 m R l$ <p>В формулах $L = \sqrt{l^2 + (R - r)^2}$. Коэффициенты $K_i = f(\varphi^\circ)$; $p = \frac{r}{R}$: K_4, K_5, K_6 и K_7 приведены в табл. 20 (см. стр. 505); коэффициенты $K_i = f\left(p = \frac{r}{R}\right)$: K_1 и K_2 приведены в табл. 21 (см. стр. 509); коэффициент $K_3 = f(\varphi^\circ)$ приведен в табл. 16 (см. стр. 495)</p>

Продолжение табл. 9

Эскиз и номер элемента	Поверхность, координаты центра масс	Моменты инерции относительно центральных плоскостей (вспомогательные расчеты) Главные центральные моменты инерции см. табл. 25, стр. 127																								
	$S = \pi [L(R+r) + (R_1^2 - r_1^2) + (R_2^2 - r_2^2)]$ $x_0 = -\frac{\pi}{3} \cdot \frac{l}{S} [L(2R+r) + 3(R_2^2 - r_2^2)]$ $y_0 = z_0 = R_2$	$I_{y_0 z_0} = m \left\{ \frac{\pi}{6} \cdot \frac{l^2}{S} [L(3R+r) + 6(R_2^2 - r_2^2)] - x_0^2 \right\}$ $I_{z_0 x_0} = I_{x_0 y_0} =$ $= \frac{\pi}{4} m \frac{1}{S} [L(R+r)(R^2 + r^2) + (R_1^4 - r_1^4) + (R_2^4 - r_2^4)]$																								
<p>В формулах $L = \sqrt{l^2 + (R-r)^2}$</p> <p>Подставляя значения параметров R_i и r_i, указанные в «Предметно-иллюстрированном оглавлении», можно получить формулы для соответствующих элементов усеченного конуса (см. стр. 37). Все элементы относятся к элементам III типа (см. табл. 25, стр. 127).</p> <p>Формулы для некоторых тел, полученные подстановкой значений параметров R_1, r_1, R_2, r_2 и r, приведены на следующих страницах:</p>																										
Параметры		<table><tr><td>$r_1 = r; R_1 = R$</td><td>$r_2 = R$</td><td>$r_1 = r; R_1 = R$</td><td>$r_2 = R$</td><td>$r_1 = r; R_1 = R$</td><td>$r_2 = R$</td><td>$r_1 = r; R_1 = R$</td><td>$r_2 = R$</td></tr><tr><td>351</td><td>351</td><td>352</td><td>352</td><td>353</td><td>353</td><td>353</td><td>353</td></tr><tr><td>236</td><td>237</td><td>238</td><td>239</td><td>240</td><td>241</td><td>300</td><td>317</td></tr></table>	$r_1 = r; R_1 = R$	$r_2 = R$	$r_1 = r; R_1 = R$	$r_2 = R$	$r_1 = r; R_1 = R$	$r_2 = R$	$r_1 = r; R_1 = R$	$r_2 = R$	351	351	352	352	353	353	353	353	236	237	238	239	240	241	300	317
$r_1 = r; R_1 = R$	$r_2 = R$	$r_1 = r; R_1 = R$	$r_2 = R$	$r_1 = r; R_1 = R$	$r_2 = R$	$r_1 = r; R_1 = R$	$r_2 = R$																			
351	351	352	352	353	353	353	353																			
236	237	238	239	240	241	300	317																			
Страница		351	351	352	352	353	407	420																		
Элемент		236	237	238	239	240	300	317																		

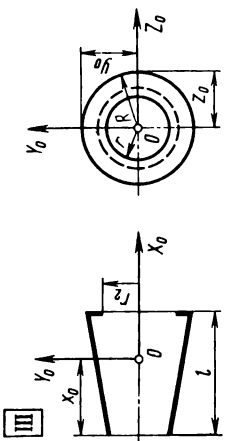
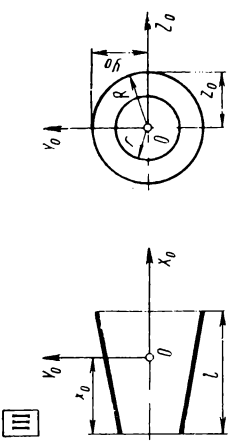
Продолжение табл. 9

Эскиз и номер элемента	Поверхность, координаты центра масс	Моменты инерции относительно центральных плоскостей (вспомогательные величины) Главные центральные моменты инерции см. табл. 25, стр. 127
 <p style="text-align: center;">Элемент 236</p>	$S = \pi [L(R+r) + (R_1^2 - r^2) + (R_2^2 - R^2)]$ $x_0 = \frac{\pi}{3} \cdot \frac{l}{S} [L(2R+r) + 3(R_2^2 - R^2)]$ $y_0 = z_0 = R_2$ <p style="text-align: center;">В формулах $L = \sqrt{l^2 + (R-r)^2}$</p>	$I_{Y_0OZ_0} = m \left\{ \frac{\pi}{6} \cdot \frac{l^2}{S} [L(3R+r) + 6(R_2^2 - R^2)] - x_0^2 \right\}$ $I_{Z_0OX_0} = I_{X_0OY_0} =$ $= \frac{\pi}{4} m \frac{1}{S} [L(R+r)(R^2 + r^2) + (R_1^4 - r^4) + (R_2^4 - R^4)]$
 <p style="text-align: center;">Элемент 237</p>	$S = \pi [L(R+r) + (r^2 - r_1^2) + (R_2^2 - R^2)]$ $x_0 = \frac{\pi}{3} \cdot \frac{l}{S} [L(2R+r) + 3(R_2^2 - R^2)]$ $y_0 = z_0 = R_2$ <p style="text-align: center;">В формулах $L = \sqrt{l^2 + (R-r)^2}$</p>	$I_{Y_0OZ_0} = m \left\{ \frac{\pi}{6} \cdot \frac{l^2}{S} [L(3R+r) + 6(R_2^2 - R^2)] - x_0^2 \right\}$ $I_{Z_0OX_0} = I_{X_0OY_0} =$ $= \frac{\pi}{4} m \frac{1}{S} [L(R+r)(R^2 + r^2) + (r^4 - r_1^4) + (R_2^4 - R^4)]$

Продолжение табл. 9

Эскиз и номер элемента	Поверхность, координаты центра масс	Моменты инерции относительно центральных плоскостей (асимптотические величины) Главные центральные моменты инерции см. табл. 25, стр. 127
<div data-bbox="322 1015 540 1437"> </div> <div data-bbox="540 1153 573 1299">Элемент 238</div>	$S = \pi [L(R+r) + (R^2 - r^2) + (r^2 - r_1^2)]$ $x_0 = \frac{\pi}{3} \cdot \frac{l}{S} [L(2R+r) + 3(R^2 - r_1^2)]$ $y_0 = z_0 = R$ <p>В формулах $L = \sqrt{l^2 + (R-r)^2}$</p>	$I_{Y_0 O Z_0} = m \left\{ \frac{\pi}{6} \cdot \frac{l^2}{S} [L(3R+r) + 6(R^2 - r_1^2)] - x_0^2 \right\}$ $I_{Z_0 O X_0} = I_{X_0 O Y_0} =$ $= \frac{\pi}{4} m \frac{1}{S} [L(R+r)(R^2 + r^2) + (R^4 - r_1^4) + (r^4 - r_1^4)]$
<div data-bbox="660 1023 889 1437"> </div> <div data-bbox="900 1153 933 1299">Элемент 239</div>	$S = \pi [L(R+r) + (r^2 - r_1^2)]$ $x_0 = \frac{\pi}{3} \cdot \frac{Ll}{S} (2R+r)$ $y_0 = z_0 = R$ <p>В формулах $L = \sqrt{l^2 + (R-r)^2}$</p>	$I_{Y_0 O Z_0} = m \left[\frac{\pi}{6} \cdot \frac{Ll^2}{S} (3R+r) - x_0^2 \right]$ $I_{Z_0 O X_0} = I_{X_0 O Y_0} =$ $= \frac{\pi}{4} m \frac{1}{S} [L(R+r)(R^2 + r^2) + (r^4 - r_1^4)]$

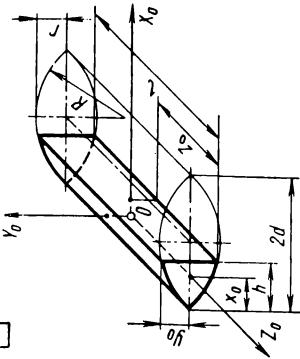
Продолжение табл. 9

Эскиз и номер элемента	Поверхность, координаты центра масс	Моменты инерции относительно центральных плоскостей (вспомогательные величины) Главные центральные моменты инерции см. табл. 28, стр. 127
<div data-bbox="311 1404 354 1445">III</div>  <p style="text-align: center;">Элемент 240</p>	$S = \pi [L(R+r) + (R^2 - r^2)]$ $x_0 = \frac{\pi}{3} \cdot \frac{l}{S} [L(2R+r) + 3(R^2 - r^2)]$ $y_0 = z_0 = R$ <p style="text-align: center;">В формулах $L = \sqrt{l^2 + (R-r)^2}$</p>	$I_{Y_0 O Z_0} = m \left\{ \frac{\pi}{6} \cdot \frac{l^2}{S} [L(3R+r) + 6(R^2 - r^2)] - x_0^2 \right\}$ $I_{Z_0 O X_0} = I_{X_0 O Y_0} = \frac{\pi}{4} m \frac{l}{S} [L(R+r)(R^2 + r^2) - (R^4 - r^4)]$
<div data-bbox="666 1404 709 1445">III</div>  <p style="text-align: center;">Элемент 241</p>	$S = \pi (R+r) \sqrt{l^2 + (R-r)^2}$ $x_0 = \frac{1}{3} l \frac{2R+r}{R+r} = K_1 l$ $y_0 = z_0 = R$	$I_{Y_0 O Z_0} = \frac{1}{18} m \frac{l^2}{(R+r)^2} [(R+r)^2 + 2Rr] = K_2 m l^2$ $I_{Z_0 O X_0} = I_{X_0 O Y_0} = \frac{1}{4} m (R^2 + r^2) = 0,25m(R^2 + r^2)$ <p style="text-align: right;">Коэффициенты $K_i = f(p = \frac{r}{R})$ приведены в табл. 21 (см. стр. 509)</p>

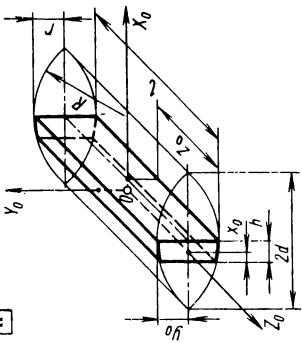
Продолжение табл. 10

Эскиз и номер элемента	Объем, координаты центра масс	Моменты инерции относительно центральных плоскостей (вспомогательные величины) Главные центральные моменты инерции см. табл. 25, стр. 127
	<p>В формулах</p> $d = \sqrt{r(2R - r)}; \quad t = H - h; \quad P_t = \sqrt{(R - r)^2 + t(2d - t)};$ $P_H = \sqrt{(R - r)^2 + H(2d - H)}; \quad c = \arcsin \frac{d - t}{R} - \arcsin \frac{d - H}{R}$ <p>Формулы для некоторых тел, полученные подстановкой значений параметров H, h и r, приведены на следующих страницах:</p>	
Параметры	$H = h$ $H = d$	$H = h = d$ $H = h = 2d$ $r = R$
Страница	356 357 358	359 360 383
Элемент	243 244 245	246 247 266

Продолжение табл. 10

Эскиз и номер элемента	Объем, координаты центра масс	Моменты инерции относительно центральных плоскостей (вспомогательные величины) Главные центральные моменты инерции см. табл. 25, стр. 127
<div data-bbox="434 1369 470 1398" style="border: 1px solid black; padding: 2px; display: inline-block;">II</div>  <p style="text-align: center;">Элемент 243</p>	$V = l[(R-r)(d-2h) - P(d-h) + cR^2]$ $x_0 = \frac{1}{3} \cdot \frac{l}{V} \{(R-r)(2R^2 + d^2 - 3h^2) - P[2(R^2 - h^2) + d(d+h)] + 3cR^2d\}$ $y_0 = P - (R-r)$ $z_0 = \frac{1}{2} l$	$I_{Y_0OZ_0} = m \left\{ \frac{1}{12} \cdot \frac{l}{V} \{(R-r) \times \right.$ $\times (13R^2d + 2d^3 - 8h^3) -$ $- P[R^2(13d + 3h) + 2d^2(d+h) +$ $+ 2h^2(d-3h)] + 3cR^2(R^2 + 4d^2)\} - x_0^2 \}$ $I_{Z_0OX_0} = \frac{1}{12} m \frac{l}{V} \{(R-r) \times$ $\times [R^2(17d - 32h) - 2d^2(7d - 16h) -$ $- 8h^2(3d - h)] - P[17R^2(d-h) -$ $- 2d^2(7d - 9h) - 2h^2(3d - h)] +$ $+ 3cR^2(5R^2 - 4d^2)\}$ $I_{X_0OY_0} = \frac{1}{12} m l^2$
<p>В формулах $d = \sqrt{r(2R-r)}$; $P = \sqrt{(R-r)^2 + h(2d-h)}$; $c = \arcsin \frac{d}{R} - \arcsin \frac{d-h}{R}$</p>		

Продолжение табл. 10

Эскиз и номер элемента	Объем, координаты центра масс	Моменты инерции относительно центральных плоскостей (вспомогательные величины) Главные центральные моменты инерции см. табл. 26, стр. 127
<div data-bbox="434 1351 475 1383" style="border: 1px solid black; padding: 2px; display: inline-block;">II</div>  <p style="text-align: right;">Элемент 244</p>	$V = l [Ph + cR^2 - 2h(R - r)]$ $x_0 = \frac{1}{3} \cdot \frac{l}{V} \{ P [2(R^2 - h^2) + 3hd] - R^2(2R - 3cd) - 3h(R - r)(2d - h) \} - (d - h)$ $y_0 = r$ $z_0 = \frac{1}{2} l$	$I_{Y_0OZ_0} = m \left\{ \frac{1}{12} \cdot \frac{l}{V} \times \right.$ $\times [P(16d(R^2 - h^2) - 3h(R^2 - 4d^2) - 2h^2)] - 16R^3d + 3cR^2(R^2 + 4d^2) - 8h(R - r)(3d^2 - 3dh + h^2) \} - (x_0 + d - h)^2 \}$ $I_{Z_0OX_0} = \frac{1}{12} m \frac{l}{V} \{ h [P(17R^2 - 12d^2 - 2h^2) - 8(R - r)(4R^2 - d^2 + h^2)] + 3cR^2(5R^2 - 4d^2) \}$ $I_{X_0OY_0} = \frac{1}{12} ml^2$

В формулах $d = \sqrt{r(2R - r)}$; $P = \sqrt{R^2 - h^2}$; $c = \arcsin \frac{h}{R}$

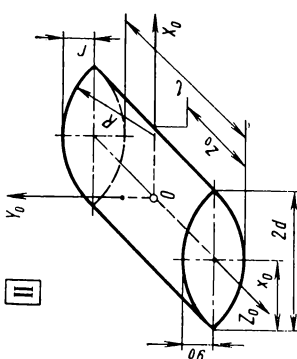
Продолжение табл. 10

Эскиз и номер элемента	Объем, координаты центра масс	Моменты инерции относительно центральных плоскостей (вспомогательные величины) Главные центральные моменты инерции см. табл. 25, стр. 127
<div data-bbox="445 1047 764 1396"> </div> <div data-bbox="780 1144 808 1291">Элемент 245</div>	$V = \frac{1}{2} l [Ph + 4cR^2 - 4h \times$ $\times (R - r)]$ $x_0 = \frac{1}{2} h$ $y_0 = r$ $z_0 = \frac{1}{2} l$	$I_{y_0 z_0} = \frac{1}{48} m \frac{l}{V} \{ 8 [3cR^4 - h^3 \times$ $\times (R - r)] - 3Ph (2R^2 - h^2) \}$ $I_{z_0 x_0} = \frac{1}{48} m \frac{l}{V} \times$ $\times \{ Ph [2 (17R^2 - 12d^2) - h^2] -$ $- 8h (R - r) [4 (4R^2 - d^2) - h^2] +$ $+ 24cR^2 (5R^2 - 4d^2) \}$ $I_{x_0 y_0} = \frac{1}{12} ml^2$

В формулах $d = \sqrt{r(2R - r)}$; $P = \sqrt{4R^2 - h^2}$; $c = \arcsin \frac{h}{2R}$

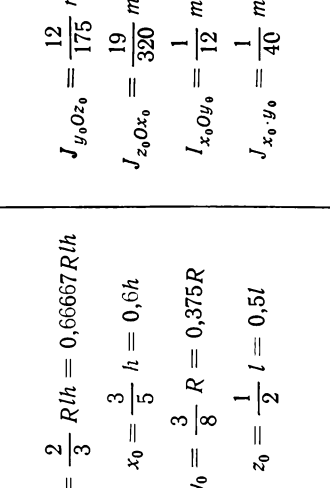
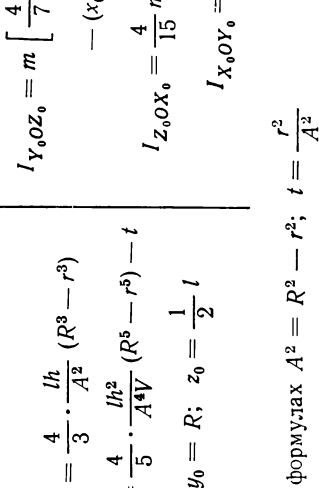
Продолжение табл. 10

Эскиз и номер элемента	Объем, координаты центра масс	Моменты инерции относительно центральных плоскостей (вспомогательные величины) Главные центральные моменты инерции см. табл. 25, стр. 127
<div data-bbox="456 1052 744 1399" data-label="Image"> </div> <div data-bbox="766 1156 788 1295" data-label="Caption"> <p>Элемент 246</p> </div>	$V = l [cR^2 - d(R - r)]$ $x_0 = \frac{1}{3} \cdot \frac{l}{V} [3R^2(cd - 2r) + 2r^2(3R - r)]$ $y_0 = r; \quad z_0 = \frac{1}{2} l$	$I_{y_0 z_0} = m \left\{ \frac{1}{12} \cdot \frac{l}{V} \times \right.$ $\times \{ 3cR^2(R^2 + 4d^2) - d[3R(R^2 + 2d^2) +$ $+ r(13R^2 - 6d^2)] \} - x_0^2 \}$ $I_{z_0 x_0} = \frac{1}{12} m \frac{l}{V} [3cR^2(5R^2 - 4d^2) -$ $- d(R - r)(15R^2 - 2d^2)]$ $I_{x_0 y_0} = \frac{1}{12} ml^2$
<p>В формулах $d = \sqrt{r(2R - r)}$; $c = \arcsin \frac{d}{R}$</p>		

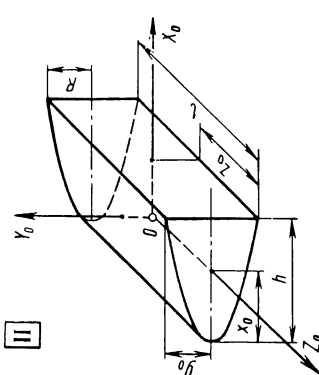
Эскиз и номер элемента	Объем, координаты центра масс	Моменты инерции относительно центральных плоскостей (вспомогательные величины) Главные центральные моменты инерции см. табл. 25, стр. 127
<div><div>II</div></div> <div>Элемент 247</div>	$V = 2l [cR^2 - d(R - r)]$ $x_0 = d$ $y_0 = r$ $z_0 = \frac{1}{2}l$	$I_{Y_0OZ_0} = \frac{1}{6}m \frac{l}{V} [3cR^4 - d(R - r) \times (3R^2 + 2d^2)]$ $I_{Z_0OX_0} = \frac{1}{6}m \frac{l}{V} [3cR^2 (5R^2 - 4d^2) - d(R - r) (15R^2 - 2d^2)]$ $I_{X_0OY_0} = \frac{1}{12}ml^2$

В формулах $d = \sqrt{r(2R - r)}$; $c = \arcsin \frac{d}{R}$

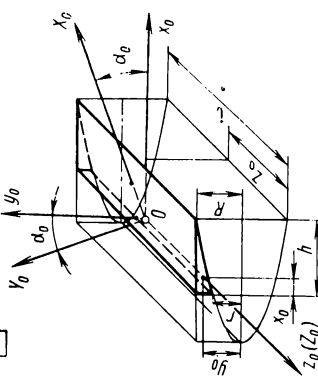
Продолжение табл. 10

Эскиз и номер элемента	Объем, координаты центра масс	Моменты инерции относительно центральных плоскостей (вспомогательные величины) Главные центральные моменты инерции см. табл. 25, стр. 127
<div data-bbox="278 414 311 462">I</div>  <div data-bbox="578 1055 606 1201">Элемент 249</div>	$V = \frac{2}{3} R l h = 0,66667 R l h$ $x_0 = \frac{3}{5} h = 0,6 h$ $y_0 = \frac{4}{8} R = 0,375 R$ $z_0 = \frac{1}{2} l = 0,5 l$	$J_{y_0 O z_0} = \frac{12}{175} m h^2 = 0,06857 m h^2$ $J_{z_0 O x_0} = \frac{19}{320} m R^2 = 0,05938 m R^2$ $I_{x_0 O y_0} = \frac{1}{12} m l^2 = 0,08333 m l^2$ $J_{x_0 y_0} = \frac{1}{40} m R h = 0,025 m R h$
<div data-bbox="633 414 666 462">II</div>  <div data-bbox="917 1055 944 1201">Элемент 250</div>	$V = \frac{4}{3} \cdot \frac{l h}{A^2} (R^3 - r^3)$ $x_0 = \frac{4}{5} \cdot \frac{l h^2}{A^4 V} (R^5 - r^5) - t$ $y_0 = R; \quad z_0 = \frac{1}{2} l$ <p data-bbox="906 519 950 925">В формулах $A^2 = R^2 - r^2$; $t = \frac{r^2}{A^2}$</p>	$I_{y_0 O z_0} = m \left[\frac{4}{7} \cdot \frac{l h^3}{A^6 V} (R^7 - r^7) - (x_0 + t)^2 \right]$ $I_{z_0 O x_0} = \frac{4}{15} m \frac{l h}{A^2 V} (R^5 - r^5)$ $I_{x_0 O y_0} = \frac{1}{12} m l^2$

Продолжение табл. 10

Эскиз и номер элемента	Объем, координаты центра масс	Моменты инерции относительно центральных плоскостей (вспомогательные величины) Главные центральные моменты инерции см. табл. 25, стр. 127
<div data-bbox="436 1339 475 1372" style="border: 1px solid black; padding: 2px; display: inline-block;">III</div>  <p style="text-align: center;">Элемент 25 l</p>	$V = \frac{4}{3} R l h = 1,33333 R l h$ $x_0 = \frac{3}{5} h = 0,6 h$ $y_0 = R; \quad z_0 = \frac{1}{2} l = 0,5 l$	$I_{Y_0 O Z_0} = \frac{12}{175} m h^2 = 0,06857 m h^2$ $I_{Z_0 O X_0} = \frac{1}{5} m R^2 = 0,2 m R^2$ $I_{X_0 O Y_0} = \frac{1}{12} m l^2 = 0,08333 m l^2$

Продолжение табл. 10

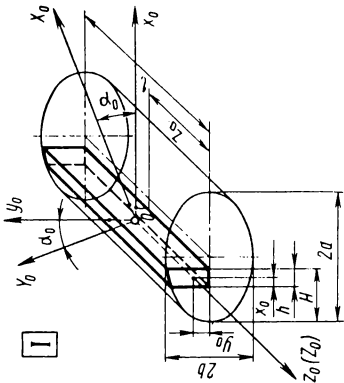
Эскиз и номер элемента	Объем, координаты центра масс	Моменты инерции относительно центральных плоскостей (вспомогательные величины) Главные центральные моменты инерции см. табл. 25, стр. 127
<div data-bbox="430 1354 470 1386" style="border: 1px solid black; display: inline-block; width: 20px; height: 20px; text-align: center; line-height: 20px;">I</div> 	$V = \frac{1}{3} \cdot \frac{lh}{A^2} [R^3 - r^2 (3R - 2r)]$ $x_0 = \frac{1}{10} \cdot \frac{lh^2}{A^4 V} \times$ $\times [R^5 - r^4 (5R - 4r)] - t$ $y_0 = \frac{1}{4} \cdot \frac{lhA^2}{V}$ $z_0 = \frac{1}{2} l$	$J_{y_0 O z_0} = m \left\{ \frac{1}{21} \cdot \frac{lh^3}{A^6 V} \times \right.$ $\times [R^7 - r^6 (7R - 6r)] - (x_0 \div t)^2 \Big\}$ $J_{z_0 O x_0} = m \left\{ \frac{1}{15} \cdot \frac{lh}{A^2 V} \times \right.$ $\times [R^3 (3R^2 - 5r^2) \div 2r^5] - y_0^2 \Big\}$ $I_{x_0 O y_0} = \frac{1}{12} m l^2$ $J_{x_0 y_0} = m \left\{ \frac{1}{12} \cdot \frac{lh^2}{A^4 V} \times \right.$ $\times [R^6 - r^4 (3R^2 - 2r^2)] - (x_0 \div t) y_0 \Big\}$
Элемент 252	<p>В формулах $A^2 = R^2 - r^2$; $t = \frac{r^2}{A^2}$</p>	

Продолжение табл. 10

Эскиз и номер элемента	Объем, координаты центра масс	Моменты инерции относительно центральных плоскостей (вспомогательные величины) Главные центральные моменты инерции см. табл. 25, стр. 127
<div data-bbox="445 1036 765 1425"> </div> <div data-bbox="784 1157 805 1295" style="text-align: right;"> Элемент 253 </div>	$V = \frac{1}{3} R l h = 0,3333 R l h$ $x_0 = \frac{3}{10} h = 0,3 h$ $y_0 = \frac{3}{4} R = 0,75 R$ $z_0 = \frac{1}{2} l = 0,5 l$	$J_{y_0 O z_0} = \frac{37}{100} m h^2 = 0,37 m h^2$ $J_{z_0 O x_0} = \frac{3}{80} m R^2 = 0,0375 m R^2$ $I_{x_0 O y_0} = \frac{1}{12} m l^2 = 0,08333 m l^2$ $J_{x_0 \cdot y_0} = \frac{1}{10} m R h = 0,1 m R h$

Продолжение табл. 10

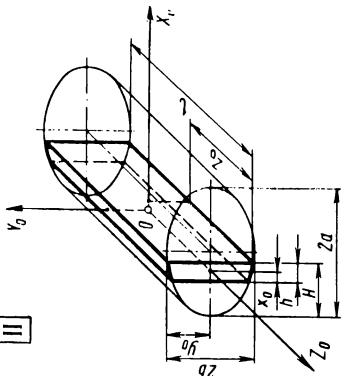
ЭЛЕМЕНТЫ ОБЪЕМА ЭЛЛИПТИЧЕСКОГО ЦИЛИНДРА

Эскиз и номер элемента	Объем, координаты центра масс	Моменты инерции относительно центральных плоскостей (вспомогательные величины) Главные центральные моменты инерции см. табл. 25, стр. 127
 <p style="text-align: right;">Элемент 254</p>	$V = \frac{1}{2} l \frac{b}{a} [P_t (a - t) - P_H (a - H) + ca^2]$ $x_0 = \frac{1}{6} \cdot \frac{l}{V} \cdot \frac{b}{a} \times$ $\times \{P_t [a(3a + t) - 2t^2] - P_H [a(3a + H) - 2H^2] + 3ca^3\} - t$ $y_0 = \frac{1}{6} \cdot \frac{l}{V} \cdot \frac{b^2}{a^2} \times$ $\times [3a(H^2 - t^2) - (H^3 - t^3)]$ $z_0 = \frac{1}{2} l$	$J_{y_0 O z_0} = m \left\{ \frac{1}{24} \cdot \frac{l}{V} \cdot \frac{b}{a} \times \right.$ $\times \{P_t [5a^2(3a + t) + 2t^2(a - 3t)] - P_H [5a^2(3a + H) + 2H^2(a - 3H)] + 15ca^4\} - (x_0 + t)^2 \}$ $J_{z_0 O x_0} = m \left\{ \frac{1}{24} \cdot \frac{l}{V} \cdot \frac{b^3}{a^3} \times \right.$ $\times \{P_t [a^2(3a + t) - 2t^2(3a - t)] - P_H [a^2(3a + H) - 2H^2(3a - H)] + 3ca^4\} - y_0^2 \}$ $I_{x_0 O y_0} = \frac{1}{12} m l^2$ $J_{x_0 y_0} = m \left\{ \frac{1}{24} \cdot \frac{l}{V} \cdot \frac{b^2}{a^2} \times \right.$ $\times [8a(H^3 - t^3) - 3(H^4 - t^4)] - (x_0 + t)y_0 \}$

Продолжение табл. 10

Эскиз и номер элемента	Объем, координаты центра масс	Моменты инерции относительно центральных плоскостей (вспомогательные величины) Главные центральные моменты инерции см. табл. 25, стр. 127
	<p>В формулах $t = H - h$; $P_t = \sqrt{t(2a - t)}$; $P_H = \sqrt{H(2a - H)}$; $c = \arcsin \frac{a - t}{a} - \arcsin \frac{a - H}{a}$.</p> <p>Подставляя значения параметров H и h, указанные в «Предметно-иллюстрированном оглавлении», можно получить формулы для соответствующих элементов эллиптического цилиндра (см. стр. 39). Элементы при $H = a + \frac{h}{2}$ и $H = h = 2a$ относятся к элементам II типа (см. табл. 25, стр. 127), остальные — к элементам I типа.</p> <p>Формулы для элемента кругового цилиндра, полученные подстановкой параметров $a = b = R$, приведены на стр. 378 (элемент 261)</p>	

Продолжение табл. 10

Эскиз и номер элемента	Объем, координаты центра масс	Моменты инерции относительно центральных плоскостей (вспомогательные величины) Главные центральные моменты инерции см. табл. 25, стр. 127
<div data-bbox="426 1338 467 1370" style="border: 1px solid black; padding: 2px; display: inline-block;">III</div>  <p style="text-align: right;">Элемент 255</p>	$V = l \frac{b}{a} [P_t(a-t) - P_H \times (a-H) + ca^2] = K_1 abl$ $x_0 = \frac{1}{3} \cdot \frac{l}{V} \cdot \frac{b}{a} \times \times \{P_t[a(3a+t) - 2t^2] - - P_H[a(3a+H) - 2H^2] + + 3ca^2\} - t = K_2 a$ $y_0 = \frac{b}{a} P_H = K_3 b;$ $z_0 = \frac{1}{2} l = 0,5l$	$I_{Y_0 O Z_0} = m \left\{ \frac{1}{12} \cdot \frac{l}{V} \cdot \frac{b}{a} \times \times \{P_t[5a^2(3a+t) + 2t^2(a-3t)] - - P_H[5a^2(3a+H) + 2H^2(a-3H)] + + 15ca^4\} - (x_0+t)^2 \right\} = K_3 ma^2$ $I_{Z_0 O X_0} = \frac{1}{12} m \frac{l}{V} \cdot \frac{b^3}{a^3} \times \times \{P_t[a^2(3a+t) - 2t^2(3a-t)] - - P_H[a^2(3a+H) - 2H^2(3a-H)] + + 3ca^4\} = K_4 mb^2$ $I_{X_0 O Y_0} = \frac{1}{12} ml^2 = 0,08333 ml^2$

Продолжение табл. 10

Эскиз и номер элемента	Объем, координаты центра масс	Моменты инерции относительно центральных плоскостей (вспомогательные величины) Главные центральные моменты инерции см. табл. 25, стр. 127
	<p>В формулах $t = H - h$; $P_t = \sqrt{t(2a - t)}$; $P_H = \sqrt{H(2a - H)}$; $c = \arcsin \frac{a - t}{a} - \arcsin \frac{a - H}{a}$</p> <p>Коэффициенты $K_i = f\left(n = \frac{H}{a}; p = \frac{h}{a}\right)$: K_2 и K_3 приведены в табл. 2 (см. стр. 476), K_1 и K_4 — в табл. 22 (см. стр. 509); коэф- фициент $K_5 = f\left(p = \frac{H}{a}\right)$ приведен в табл. 8 (см. стр. 487).</p> <p>Подставляя значения параметров H и h, указанные в «Предметно- иллюстрированном оглавлении», можно получить формулы для соот- ветствующих элементов эллиптического цилиндра (см. стр. 39). Все элементы относятся к элементам II типа (см. табл. 25, стр. 127). Коэф- фициенты K_i определяют по значениям n и p, приведенным для ана- логичных элементов кругового цилиндра (см. элементы 267—269, стр. 385—387).</p> <p>Формулы для элемента кругового цилиндра, полученные подста- новкой параметров $a = b = R$, приведены на стр. 383 (элемент 266)</p>	

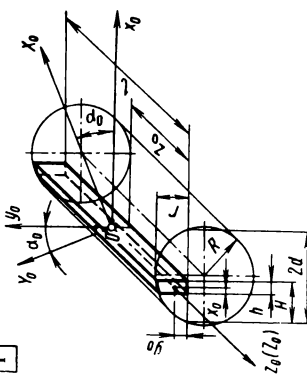
Продолжение табл. 10

Эскиз и номер элемента	Объем, координаты центра масс	Моменты инерции относительно центральных плоскостей (вспомогательные величины) Главные центральные моменты инерции см. табл. 25, стр. 127
	$y_0 = \frac{1}{6} \cdot \frac{l}{V} \cdot \frac{b^2}{a^2} \times$ $\times \{3a [ah - (H^2 - t^2)] +$ $+ (H^3 - t^3)\}$ $z_0 = \frac{1}{2} l$	$J_{x_0 \cdot y_0} = m \left\{ \frac{1}{24} \cdot \frac{l}{V} \cdot \frac{b^2}{a^2} \times \right.$ $\times [6a^2 (H^2 - t^2) - 8a (H^3 - t^3) +$ $\left. + 3 (H^4 - t^4) \right] - (x_0 + t) y_0 \}$
	<p>В формулах $t = H - h$; $P_t = \sqrt{t(2a - t)}$; $P_H = \sqrt{H(2a - H)}$;</p> $c = \arcsin \frac{a - t}{a} - \arcsin \frac{a - H}{a}.$ <p>Подставляя значения параметров H и h, указанные в «Предметно-иллюстрированном оглавлении», можно получить формулы для соответствующих комбинированных элементов эллиптического цилиндра (см. стр. 39—40). Элементы при $H = a + \frac{h}{2}$ и $H = h = 2a$ относятся к элементам II типа (см. табл. 25, стр. 127), остальные — к элементам I типа.</p> <p>Формулы для элемента кругового цилиндра, полученные подстановкой параметров $a = b = R$, приведены на стр. 396 (элемент 284)</p>	

11. ЭЛЕМЕНТЫ КРУГОВОГО ЦИЛИНДРА

Масса $m = V\rho$ или $m = S\delta\rho$, где V — объем; S — поверхность; δ — толщина стенки; ρ — плотность материала

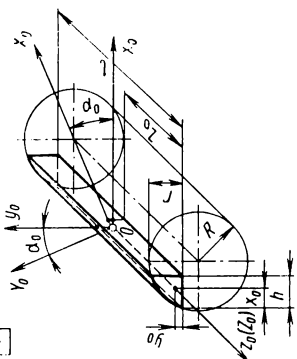
ЭЛЕМЕНТЫ ОБЪЕМА

Эскиз и номер элемента	Объем, координаты центра масс	Моменты инерции относительно центральных плоскостей (вспомогательные величины) Главные центральные моменты инерции см. табл. 25, стр. 127
<div data-bbox="496 1380 540 1412" style="border: 1px solid black; display: inline-block; padding: 2px;">1</div>  <div data-bbox="851 1153 879 1299" style="text-align: right;">Элемент 257</div>	$V = \frac{1}{2} l [P_t (d - t) - P_H (d - H) + cR^2 - 2h (R - r)]$ $x_0 = \frac{1}{6} \cdot \frac{l}{V} \{ P_t [2(R^2 - t^2) + d(d + t)] - P_H [2(R^2 - H^2) + d(d + H)] + 3[cR^2d - (R - r) \times (H^2 - t^2)] - t$ $y_0 = \frac{1}{6} \cdot \frac{l}{V} \{ 6h (R - r)^2 + 3d(H^2 - t^2) - (H^3 - t^3) - 3(R - r) [P_t (d - t) - P_H (d - H) + cR^2] \}$ $z_0 = \frac{1}{2} l$	$J_{y_0Oz_0} = m \left\{ \frac{1}{24} \cdot \frac{l}{V} \{ P_t \times [R^2 (13d + 3t) + 2d^2 (d + t) + 2t^2 (d - 3t)] - P_H [R^2 (13d + 3H) + 2d^2 (d + H) + 2H^2 (d - 3H)] + 3cR^2 (R^2 + 4d^2) - 8(R - r) \times (H^3 - t^3) \} - (x_0 + t)^2 \right\}$ $J_{z_0Ox_0} = m \left\{ \frac{1}{24} \cdot \frac{l}{V} \times \{ P_t [17R^2 (d - t) - 2d^2 (7d - 9t) - 2t^2 (3d - t)] - P_H [17R^2 (d - H) - 2d^2 (7d - 9H) - 2H^2 (3d - H)] + 3cR^2 (5R^2 - 4d^2) - 8(R - r) \times [4h (R - r)^2 + 3d (H^2 - t^2) - (H^3 - t^3)] \} - y_0^2 \right\}$

Продолжение табл. 11

Эскиз и номер элемента	Объем, координаты центра масс	Моменты инерции относительно центральных плоскостей (вспомогательные величины) Главные центральные моменты инерции см. табл. 23, стр. 127
		$I_{x_0 O y_0} = \frac{1}{12} m l^2$ $J_{x_0, y_0} = m \left\{ \frac{1}{24} \cdot \frac{l}{V} \times \right.$ $\times \{ 4P_H (R-r) [2(R^2 - H^2) +$ $+ d(d+H)] - 4P_t (R-r) \times$ $\times [2(R^2 - t^2) + d(d+t)] -$ $- 12(R-r) [cR^2d - (R-r) \times$ $\times (H^2 - t^2)] + 8d(H^3 - t^3) -$ $\left. - 3(H^4 - t^4) \} - (x_0 + t) y_0 \right\}$ <p>В формулах</p> $t = H - h; \quad d = \sqrt{r(2R-r)}; \quad P_t = \sqrt{(R-r)^2 + t(2d-t)};$ $P_H = \sqrt{(R-r)^2 + H(2d-H)}; \quad c = \arcsin \frac{d-t}{R} - \arcsin \frac{d-H}{R}$ <p>Формулы для некоторых тел, полученные подстановкой значений параметров H, h и r, приведены: при $H = h$ на стр. 374 (элемент 258); при $H = d$ на стр. 376 (элемент 259); при $H = d + \frac{h}{2}$ на стр. 377 (элемент 260) и при $r = R$ на стр. 388 (элемент 261)</p>

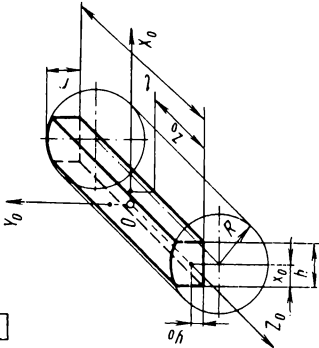
Продолжение табл. 11

Эскиз и номер элемента	Объем, координаты центра масс	Моменты инерции относительно центральных плоскостей (вспомогательные величины) Главные центральные моменты инерции см. табл. 25, стр. 127
<div data-bbox="448 1360 489 1393" style="border: 1px solid black; padding: 2px; display: inline-block;">1</div>  <p style="text-align: right;">Элемент 258</p>	$V = \frac{1}{2} l [(R-r)(d-2h) - P(d-h) + cR^2]$ $x_0 = \frac{1}{6} \cdot \frac{l}{V} \times$ $\times \{(R-r)(2R^2 + d^2 - 3ht^2) - P[2(R^2 - h^2) + d(d+h)] + 3cR^2 d\}$	$J_{y_0 O z_0} = m \left\{ \frac{1}{24} \cdot \frac{l}{V} \{(R-r) \times \right.$ $\times (13R^2 d + 2d^3 - 8ht^3) -$ $- P[R^2(13d + 3h) + 2d^2(d+h) +$ $+ 2ht^2(d-3h)] + 3cR^2(R^2 + 4d^2)\} -$ $\left. - x_0^2 \right\}$ $J_{z_0 O x_0} = m \left\{ \frac{1}{24} \cdot \frac{l}{V} \times \right.$ $\times \{(R-r)[R^2(17d - 32h) -$ $- 2d^2(7d - 16h) - 8ht^2(3d - h)] -$ $- P[17R^2(d-h) - 2d^2(7d - 9h) -$ $- 2ht^2(3d - h)] + 3cR^2(5R^2 - 4d^2)\} -$ $\left. - y_0^2 \right\}$

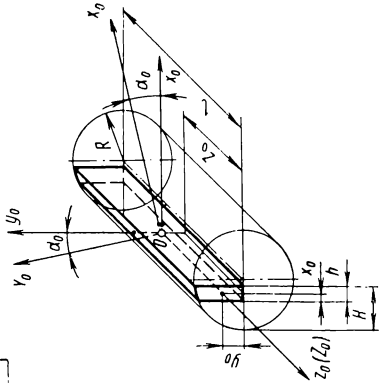
Продолжение табл. 11

Эскиз и номер элемента	Объем, координаты центра масс	Моменты инерции относительно центральных плоскостей (вспомогательные величины) Главные центральные моменты инерции см. табл. 23, стр. 127
	$y_0 = \frac{1}{6} \cdot \frac{l}{V} \times$ $\times \{ h^2 (3d - h) - 3(R - r) \times$ $\times [cR^2 + (R - r)(d - 2h) -$ $- P(d - h)] \}$ $z_0 = \frac{1}{2} l$	$I_{x_0 y_0} = \frac{1}{12} ml^2$ $J_{x_0 y_0} = m \left\{ \frac{1}{24} \cdot \frac{l}{V} \times \right.$ $\times \{ 4P(R - r) [2(R^2 - h^2) +$ $+ d(d + h)] - 4(R - r) \times$ $\times [3cR^2 d + (R - r) \times$ $\times (2R^2 + d^2 - 3h^2)] +$ $\left. + h^3 (8d - 3h) \right\} - x_0 y_0 \}$
	<p>В формулах $d = \sqrt{r(2R - r)}$; $P = \sqrt{(R - r)^2 + h(2d - h)}$; $c = \arcsin \frac{d}{R} - \arcsin \frac{d - h}{R}$</p>	

Продолжение табл. 11

Эскиз и номер элемента	Объем, координаты центра масс	Моменты инерции относительно центральных плоскостей (асимптотические величины) Главные центральные моменты инерции см. табл. 23, стр. 127
<div data-bbox="416 1369 456 1398" style="border: 1px solid black; padding: 2px; display: inline-block;">II</div> 	$V = \frac{1}{4} l [Ph + 4cR^2 - 4h(R-r)]$ $x_0 = \frac{1}{2} h$ $y_0 = \frac{1}{24} \cdot \frac{l}{V} \times$ $\times \{ h [12 (2R^2 - d^2) - h^2] - 6 (R-r) (Ph + 4cR^2) \}$ $z_0 = \frac{1}{2} l$	$I_{y_0 z_0} = \frac{1}{96} m \frac{l}{V} \times$ $\times \{ 8 [3cR^4 - h^3 (R-r)] - 3Ph (2R^2 - h^2) \}$ $I_{z_0 x_0} = m \left\{ \frac{1}{96} \cdot \frac{l}{V} \times \right.$ $\times \{ Ph [2 (17R^2 - 12d^2) - h^2] - 8h (R-r) [4 (4R^2 - d^2) - h^2] + 24cR^2 (5R^2 - 4d^2) \} - y_0^2 \} /$ $I_{x_0 y_0} = \frac{1}{12} m l^2$
Элемент 260	<p>В формулах $d = \sqrt{r(2R-r)}$; $P = \sqrt{4R^2 - h^2}$; $c = \arcsin \frac{h}{2R}$</p>	

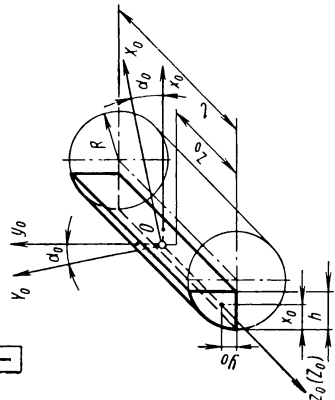
Продолжение табл. 11

Эскиз и номер элемента	Объем, координаты центра масс	Моменты инерции относительно центральных плоскостей (вспомогательные величины) Главные центральные моменты инерции см. табл. 25, стр. 127
<div data-bbox="401 1383 442 1416" style="border: 1px solid black; width: 30px; height: 20px; display: flex; align-items: center; justify-content: center;">1</div>  <div data-bbox="827 1161 851 1299" style="position: absolute; right: 10px; bottom: 10px; transform: rotate(90deg);">Элемент 261</div>	$V = \frac{1}{2} l [P_t (R - t) - P_H (R - H) + cR^2]$ $x_0 = \frac{1}{6} \cdot \frac{l}{V} \times \{ P_t [R (3R + t) - 2t^2] - P_H [R (3R + H) - 2H^2] + 3cR^3 \} - t$ $y_0 = \frac{1}{6} \cdot \frac{l}{V} \times [3R (H^2 - t^2) - (H^3 - t^3)]$ $z_0 = \frac{1}{2} l$	$J_{y_0 O z_0} = m \left\{ \frac{1}{24} \cdot \frac{l}{V} \times \right. \\ \times \{ P_t [5R^2 (3R + t) + 2t^2 (R - 3t)] - \\ - P_H [5R^2 (3R + H) + 2H^2 (R - 3H)] + \\ \left. + 15cR^4 \} - (x_0 + t)^2 \right\}$ $J_{z_0 O x_0} = m \left\{ \frac{1}{24} \cdot \frac{l}{V} \times \right. \\ \times \{ P_t [R^2 (3R + t) - 2t^2 (3R - t)] - \\ - P_H [R^2 (3R + H) - 2H^2 (3R - H)] + \\ \left. + 3cR^4 \} - y_0^2 \right\}$ $I_{x_0 O y_0} = \frac{1}{12} ml^2$ $J_{x_0' y_0'} = m \left\{ \frac{1}{24} \cdot \frac{l}{V} \times \right. \\ \times \{ 8R (H^3 - t^3) - 3 (H^4 - t^4) \} - \\ \left. - (x_0 + t) y_0 \right\}$

В формулах $t = H - h$; $P_t = \sqrt{t(2R - t)}$; $P_H = \sqrt{H(2R - H)}$;
 $c = \arcsin \frac{R}{R - t} - \arcsin \frac{R}{R - H}$

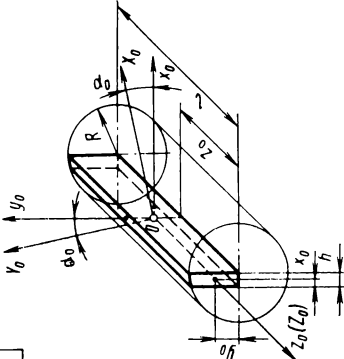
Формулы для некоторых тел, полученные подстановкой значений параметров H и h , приведены: при $H = h$ на стр. 379 (элемент 262); при $H = R$ на стр. 380 (элемент 263); при $H = R + \frac{h}{2}$ на стр. 381 (элемент 264) и при $H = h = R$ на стр. 382 (элемент 265)

Продолжение табл. 11

Эскиз и номер элемента	Объем, координаты центра масс	Моменты инерции относительно центральных плоскостей (вспомогательные величины) Главные центральные моменты инерции см. табл. 23, стр. 127
<div data-bbox="416 1357 459 1390" style="border: 1px solid black; padding: 2px; display: inline-block;">1</div>  <p style="text-align: right;">Элемент 262</p>	$V = \frac{1}{2} l [cR^2 - P(R - h)]$ $x_0 = \frac{1}{6} \cdot \frac{l}{V} \times$ $\times \{3cR^3 - P[R(3R + h) - 2h^2]\}$ $y_0 = \frac{1}{6} \cdot \frac{l}{V} h^2 (3R - h)$ $z_0 = \frac{1}{2} l$	$J_{y_0 O z_0} = m \left\{ \frac{1}{24} \cdot \frac{l}{V} \times \right.$ $\times \{15cR^4 - P[5R^2(3R + h) +$ $+ 2h^2(R - 3h)]\} - x_0^2 \}$ $J_{z_0 O x_0} = m \left\{ \frac{1}{24} \cdot \frac{l}{V} \times \right.$ $\times \{3cR^4 - P[R^2(3R + h) -$ $- 2h^2(3R - h)]\} - y_0^2 \}$ $I_{x_0 O y_0} = \frac{1}{12} ml^2$ $J_{x_0 y_0} = m \left[\frac{1}{24} \cdot \frac{l}{V} h^3 (8R - 3h) - \right.$ $\left. - x_0 y_0 \right]$

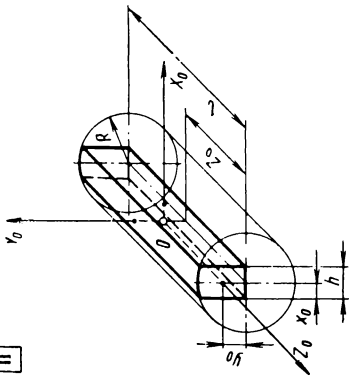
В формулах $P = \sqrt{h(2R - h)}$; $c = \arccos \frac{R - h}{R}$

Продолжение табл. 11

Эскиз и номер элемента	Объем, координаты центра масс	Моменты инерции относительно центральных плоскостей (вспомогательные величины) Главные центральные моменты инерции см. табл. 25, стр. 127
<div data-bbox="412 1382 454 1409" style="border: 1px solid black; padding: 2px; display: inline-block;">I</div>  <div data-bbox="794 1154 816 1292" style="text-align: right;">Элемент 263</div>	$V = \frac{1}{2} l (Ph + cR^3)$ $x_0 = \frac{1}{6} \cdot \frac{l}{V} \times$ $\times [P (2R^2 + h^2) - R^2 (2R - 3ch)]$ $y_0 = \frac{1}{6} \cdot \frac{lh}{V} (3R^2 - h^2)$ $z_0 = \frac{1}{2} l$	$J_{y_0 O z_0} = m \left\{ \frac{1}{24} \cdot \frac{l}{V} \times \right.$ $\times [P (16R (R^2 - h^2) +$ $+ 3h (3R^2 + 2h^2))] +$ $+ (15c - 16) R^4 \} - (x_0 + R - h)^2 \}$ $J_{z_0 O x_0} = m \left\{ \frac{1}{24} \cdot \frac{l}{V} \times \right.$ $\times [Ph (5R^2 - 2h^2) + 3cR^4] - y_0^2 \}$ $I_{x_0 O y_0} = \frac{1}{12} ml^2$ $J_{x_0 \cdot y_0} = m \left\{ \frac{1}{24} \cdot \frac{lh}{V} \times \right.$ $\times [6R^2 (2R - h) - h^2 (4R - 3h)] -$ $- (x_0 + R - h) y_0 \}$

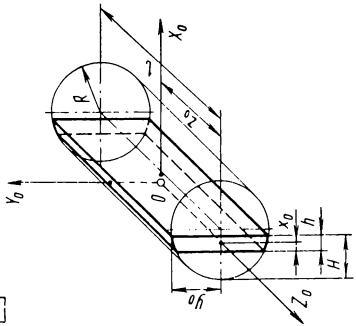
В формулах $P = \sqrt{R^2 - h^2}$; $c = \arcsin \frac{h}{R}$

Продолжение табл. 11

Эскиз и номер элемента	Объем, координаты центра масс	Моменты инерции относительно центральных плоскостей (асимметричные величины) Главные центральные моменты инерции см. табл. 28, стр. 127
<div data-bbox="412 1382 454 1411" style="border: 1px solid black; padding: 2px; display: inline-block;">II</div>  <p style="text-align: right; margin-right: 50px;">Элемент 264</p>	$V = \frac{1}{4} l (4cR^2 + Ph)$ $x_0 = \frac{1}{2} h$ $y_0 = \frac{1}{24} \cdot \frac{lh}{V} \times (12R^2 - h^2)$ $z_0 = \frac{1}{2} l$	$I_{Y_0 Z_0} = \frac{1}{32} m \frac{l}{V} \times [8cR^4 - Ph(2R^2 - h^2)]$ $I_{Z_0 O X_0} = m \left\{ \frac{1}{96} \cdot \frac{l}{V} \times [24cR^4 + Ph(10R^2 - h^2)] - y_0^2 \right\}$ $I_{X_0 O Y_0} = \frac{1}{12} m l^2$

В формулах $P = \sqrt{4R^2 - h^2}$; $c = \arcsin \frac{h}{2R}$

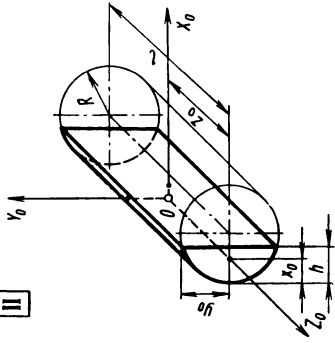
Продолжение табл. 11

Эскиз и номер элемента	Объем, координаты центра масс	Моменты инерции относительно центральных плоскостей (вспомогательные величины) Главные центральные моменты инерции см. табл. 23, стр. 127
<div data-bbox="412 1354 452 1386" style="border: 1px solid black; padding: 2px; display: inline-block;">11</div>  <p style="text-align: right;">Элемент 266</p>	$V = l [P_t (R - t) - P_H (R - H) + cR^2] = K_1 R^2 l$ $x_0 = \frac{1}{3} \cdot \frac{l}{V} \times$ $\times \{ P_t [R (3R + t) - 2t^2] - P_H [R (3R + H) - 2H^2] + 3cR^3 \} - t = K_2 R$ $y_0 = P_H = K_3 R;$ $z_0 = \frac{1}{2} l = 0,5l$	$I_{Y_0 O Z_0} = m \left\{ \frac{1}{12} \cdot \frac{l}{V} \times \right.$ $\times \{ P_t [5R^2 (3R + t) + 2t^2 (R - 3t)] -$ $- P_H [5R^2 (3R + H) +$ $+ 2H^2 (R - 3H)] + 15cR^4 \} -$ $- (x_0 + t)^2 \} = K_3 m R^2$ $I_{Z_0 O X_0} = \frac{1}{12} m \frac{l}{V} \times$ $\times \{ P_t [R^2 (3R + t) - 2t^2 (3R - t)] -$ $- P_H [R^2 (3R + H) -$ $- 2H^2 (3R - H)] + 3cR^4 \} =$ $= K_4 m R^2$ $I_{X_0 O Y_0} = \frac{1}{12} m l^2 = 0,08333 m l^2$

Продолжение табл. 11

Эскиз и номер элемента	Объем, координаты центра масс	Моменты инерции относительно центральных плоскостей (вспомогательные величины) Главные центральные моменты инерции см. табл. 23, стр. 127
	<p>В формулах $t = H - h$; $P_t = \sqrt{t(2R - t)}$; $P_H = \sqrt{H(2R - H)}$; $c = \arcsin \frac{R-t}{R} - \arcsin \frac{R-H}{R}$.</p> <p>Коэффициенты $K_1 = f\left(n = \frac{H}{R}; p = \frac{h}{R}\right)$; K_2 и K_3 приведены в табл. 2 (см. стр. 476), K_1 и K_4 — в табл. 22 (см. стр. 509); коэф- фициент $K_6 = f\left(p = \frac{H}{R}\right)$ — в табл. 8 (см. стр. 487).</p> <p>Формулы для некоторых тел, полученные подстановкой значений параметров H и h, приведены на следующих страницах:</p>	<p>Параметры $H=h$ $H=R$ $H = R + \frac{h}{2}$ $H=h=R$ $H=h=2R$</p>
	<p>Страница 385 386 387 388 388</p>	<p>388</p>
	<p>Элемент 267 268 269 270 271</p>	<p>271</p>

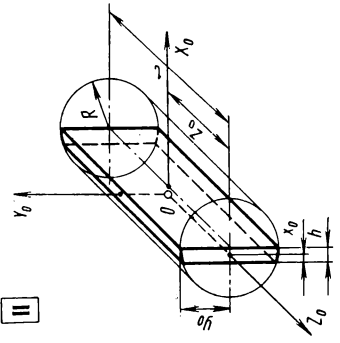
Продолжение табл. 11

Эскиз и номер элемента	Объем, координаты центра масс	Моменты инерции относительно центральных плоскостей (вспомогательные величины) Главные центральные моменты инерции см. табл. 25, стр. 127
<div data-bbox="431 1349 470 1382" style="border: 1px solid black; padding: 2px; display: inline-block;">II</div>  <p style="text-align: right;">Элемент 267</p>	$V = l [cR^2 - P(R - h)] = K_1 R^2 l$ $x_0 = \frac{1}{3} \cdot \frac{l}{V} \times \times \{3cR^3 - P[R(3R + h) - 2h^2]\} = K_2 R$ $y_0 = P = K_3 R;$ $z_0 = \frac{1}{2} l = 0.5l$	$I_{y_0 O z_0} = m \left\{ \frac{1}{12} \cdot \frac{l}{V} \times \times \{15cR^4 - P[5R^2(3R + h) + 2h^2(R - 3h)]\} - x_0^2 \right\} = K_3 m R^2$ $I_{z_0 O x_0} = \frac{1}{12} m \frac{l}{V} \times \times \{3cR^4 - P[R^2(3R + h) - 2h^2(3R - h)]\} = K_4 m R^2$ $I_{x_0 O y_0} = \frac{1}{12} m l^2 = 0.08333 m l^2$

В формулах $P = \sqrt{h(2R - h)}$; $c = \arccos \frac{R - h}{R}$

Коэффициенты $K_1 = f\left(p = \frac{h}{R}\right)$; K_2 и K_3 приведены в табл. 2 при $n = p$ (см. стр. 476), K_1 и K_4 — в табл. 22 при $n = p$ (см. стр. 509), K_5 — в табл. 8 (см. стр. 487)

Продолжение табл. 11

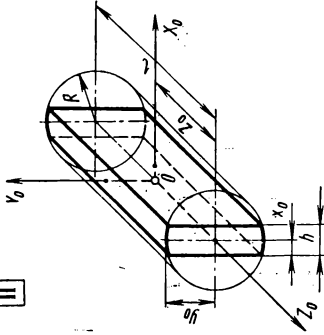
Эскиз и номер элемента	Объем, координаты центра масс	Моменты инерции относительно центральных плоскостей (вспомогательные величины) Главные центральные моменты инерции см. табл. 26, стр. 127
	$V = l(P h + c R^2) = K_1 R^2 l$ $x_0 = \frac{1}{3} \cdot \frac{l}{V} \times$ $\times [P(2R^2 + h^2) - R^2(2R - 3ch)] = K_2 R$ $y_0 = R; \quad z_0 = \frac{1}{2} l = 0,5l$	$I_{y_0 o z_0} = m \left\{ \frac{1}{12} \cdot \frac{l}{V} \times \right.$ $\times [P(16R(R^2 - h^2) +$ $+ 3h(3R^2 + 2h^2)] + (15c - 16)R^4 \} -$ $- (x_0 + R - h)^2 \} = K_3 m R^2$ $I_{z_0 o x_0} = \frac{1}{12} m \frac{l}{V} \times$ $\times [Ph(5R^2 - 2h^2) + 3cR^4] = K_4 m R^2$ $I_{x_0 o y_0} = \frac{1}{12} m l^2 = 0,08333 m l^2$

В формулах $P = \sqrt{R^2 - h^2}$, $c = \arcsin \frac{h}{R}$

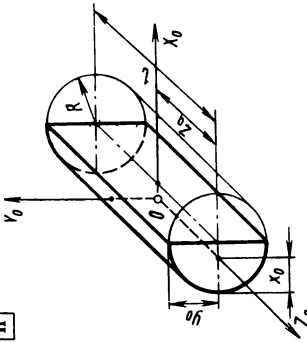
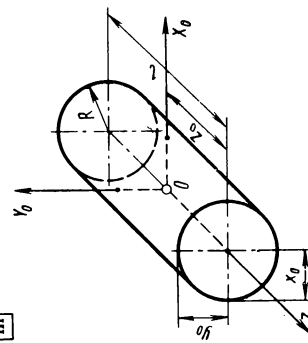
Коэффициенты $K_i = f\left(p = \frac{p}{R}\right)$; K_2 и K_3 приведены в табл. 2 при $n = 1$ (см. стр. 476); коэффициенты K_1 и K_4 — в табл. 22 при $n = 1$ (см. стр. 509)

Элемент 268

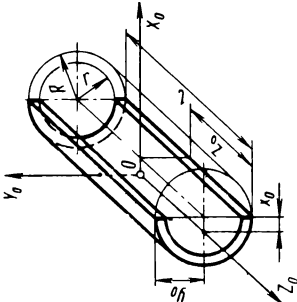
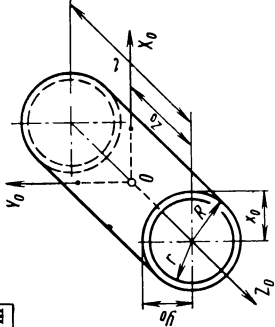
Продолжение табл. 11

Эскиз и номер элемента	Объем, координаты центра масс	Моменты инерции относительно центральных плоскостей (вспомогательные величины) Главные центральные моменты инерции см. табл. 26, стр. 127
<div data-bbox="452 1338 490 1370" style="border: 1px solid black; padding: 2px; display: inline-block;">II</div>  <div data-bbox="806 1159 834 1297" style="text-align: right;">Элемент 269</div>	$V = \frac{1}{2} l (4cR^2 + Ph) = K_1 R^2 l$ $x_0 = \frac{1}{2} h = 0,5h$ $y_0 = R$ $z_0 = \frac{1}{2} l = 0,5l$	$I_{Y_0 O Z_0} = \frac{1}{16} m \frac{l}{V} \times$ $\times [8cR^4 - Ph(2R^2 - h^2)] = K_3 m R^2$ $I_{Z_0 O X_0} = \frac{1}{48} m \frac{l}{V} \times$ $\times [24cR^4 + Ph(10R^2 - h^2)] =$ $= K_4 m R^2$ $I_{X_0 O Y_0} = \frac{1}{12} m l^2 = 0,08333 m l^2$
	<p>В формулах $P = \sqrt{4R^2 - h^2}$; $c = \arcsin \frac{h}{2R}$</p> <p>Коэффициенты $K_i = f\left(p = \frac{h}{R}\right)$: K_3 приведен в табл. 2 при $n = 1 + \frac{p}{2}$ (см. стр. 476), K_1 и K_4 — в табл. 22 при $n = 1 + \frac{p}{2}$ (см. стр. 509)</p>	

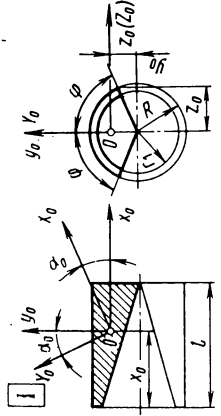
Продолжение табл. 11

Эскиз и номер элемента	Объем, координаты центра масс	Моменты инерции относительно центральных плоскостей (вспомогательные величины) Главные центральные моменты инерции см. табл. 25, стр. 127
<div data-bbox="276 1442 314 1474">II</div>  <p data-bbox="423 979 450 1117">Элемент 270</p>	$V = \frac{1}{2} \pi R^2 l = 1,57080 R^2 l$ $x_0 = \frac{3\pi - 4}{3\pi^2} R = 0,57559 R$ $y_0 = R; \quad z_0 = \frac{1}{2} l = 0,5 l$	$I_{Y_0 O Z_0} = \frac{9\pi^2 - 64}{36\pi^2} m R^2 = 0,06987 m R^2$ $I_{Z_0 O X_0} = \frac{1}{4} m R^2 = 0,25 m R^2$ $I_{X_0 O Y_0} = \frac{1}{12} m l^2 = 0,08333 m l^2$
<div data-bbox="625 1442 663 1474">III</div>  <p data-bbox="773 979 800 1117">Элемент 271</p>	$V = \pi R^2 l = 3,14159 R^2 l$ $x_0 = y_0 = R;$ $z_0 = \frac{1}{2} l = 0,5 l$	$I_{Y_0 O Z_0} = I_{Z_0 O X_0} = \frac{1}{4} m R^2 =$ $= 0,25 m R^2$ $I_{X_0 O Y_0} = \frac{1}{12} m l^2 = 0,08333 m l^2$

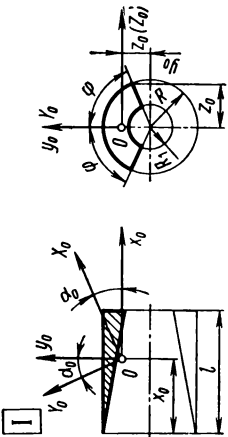
Продолжение табл. 11

Эскиз и номер элемента	Объем, координаты центра масс	Моменты инерции относительно центральных плоскостей (вспомогательные величины) Главные центральные моменты инерции см. табл. 26, стр. 127
<div data-bbox="278 1365 317 1398">III</div>  <p data-bbox="618 1154 639 1292">Элемент 272</p>	$V = \frac{\pi}{2} l (R^2 - r^2)$ $x_0 = \frac{2}{3} \cdot \frac{l}{V} (R^3 - r^3)$ $y_0 = R; \quad z_0 = \frac{1}{2} l$	$I_{Y_0 Z_0} = \frac{1}{8} m \times$ $\times \left[\pi \frac{l}{V} (R^4 - r^4) - 8x_0^2 \right]$ $I_{Z_0 O X_0} = \frac{\pi}{8} m \frac{l}{V} (R^4 - r^4)$ $I_{X_0 O Y_0} = \frac{1}{12} m l^2$
<div data-bbox="660 1446 699 1479">III</div>  <p data-bbox="792 984 814 1122">Элемент 273</p>	$V = \pi l (R^2 - r^2)$ $x_0 = y_0 = R; \quad z_0 = \frac{1}{2} l$	$I_{Y_0 O Z_0} = I_{Z_0 O X_0} = \frac{1}{4} m (R^2 + r^2)$ $I_{X_0 O Y_0} = \frac{1}{12} m l^2$

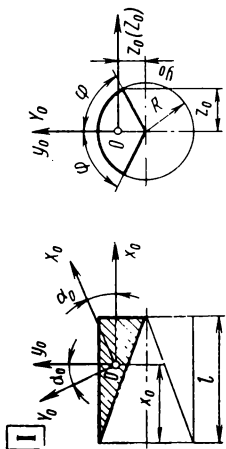
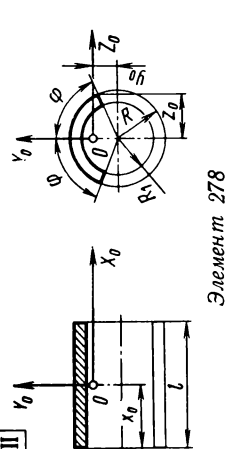
Продолжение табл. 11

Эскиз и номер элемента	Объем, координаты центра масс	Моменты инерции относительно центральных плоскостей (вспомогательные величины) Главные центральные моменты инерции см. табл. 25, стр. 127
 <p style="text-align: center;">Элемент 275</p>	$V = \frac{\varphi}{3} l (3R^2 - r_1^2)$ $x_0 = \frac{\varphi}{12} \cdot \frac{l^2}{V} (6R^2 - r_1^2)$ $y_0 = \frac{\sin \varphi}{6} \cdot \frac{l}{V} (4R^3 - r_1^3)$ $z_0 = R \sin \varphi$	$J_{y_0 z_0} = m \left[\frac{\varphi}{30} \cdot \frac{l^3}{V} (10R^2 - r_1^2) - x_0^2 \right]$ $J_{z_0 O x_0} = m \left[\frac{2\varphi + \sin 2\varphi}{40} \cdot \frac{l}{V} \times \right. \\ \left. \times (5R^4 - r_1^4) - y_0^2 \right]$ $I_{x_0 O y_0} = \frac{2\varphi - \sin 2\varphi}{40} m \frac{l}{V} (5R^4 - r_1^4)$ $J_{x_0 y_0} = m \left[\frac{\sin \varphi}{30} \cdot \frac{l^2}{V} \times \right. \\ \left. \times (10R^3 - r_1^3) - x_0 y_0 \right]$

Продолжение табл. 11

Эскиз и номер элемента	Объем, координаты центра масс	Моменты инерции относительно центральных плоскостей (вспомогательные величины) Главные центральные моменты инерции см. табл. 25, стр. 127
<div data-bbox="500 1409 540 1438" style="border: 1px solid black; padding: 2px; display: inline-block;">I</div>  <div data-bbox="758 1153 780 1291" style="text-align: center;">Элемент 276</div>	$V = \frac{\varphi}{3} A l (R - R_1)$ $x_0 = \frac{1}{4} l \left(3 - \frac{R}{A} \right)$ $y_0 = -\frac{\sin \varphi}{2\varphi} \left(R_1 + 3 \frac{R^2}{A} \right)$ $z_0 = R \sin \varphi$	$J_{y_0 z_0} = \frac{1}{80} m l^2 \left[3 + \frac{R}{A^2} (7R + 6R_1) \right]$ $J_{z_0 o x_0} = m \left[(2\varphi + \sin 2\varphi) T^2 - y_0^2 \right]$ $I_{x_0 o y_0} = (2\varphi - \sin 2\varphi) m T^2$ $J_{x_0 \cdot y_0} = m \left[\frac{\sin \varphi}{10\varphi} l (4R_1 + \right.$ $\left. + R \frac{9R - R_1}{A} \right) - x_0 y_0 \right]$ В формулах $A = 2R + R_1$; $T^2 = \frac{3}{40\varphi} \left(2R^2 + R_1^2 + \frac{R^2 R_1}{A} \right)$

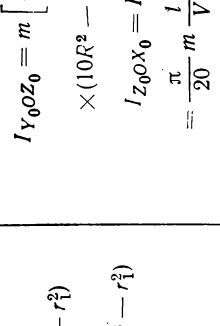
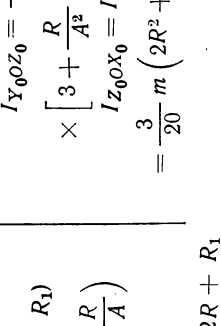
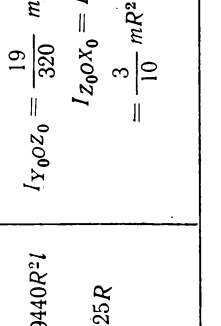
Продолжение табл. 11

Эскиз и номер элемента	Объем, координаты центра масс	Моменты инерции относительно центральных плоскостей (испомогательные величины) Главные центральные моменты инерции см. табл. 23, стр. 127
<p>I</p>  <p style="text-align: center;">Элемент 277</p>	$V = \frac{2}{3} \varphi R^2 l = 0,66667 \varphi R^2 l$ $x_0 = \frac{5}{8} l = 0,625 l$ $y_0 = \frac{3}{4} \cdot \frac{\sin \varphi}{\varphi} R = 0,75 \frac{\sin \varphi}{\varphi} R$ $z_0 = R \sin \varphi$	$J_{y_0 O z_0} = \frac{19}{320} m l^2 = 0,05938 m l^2$ $J_{z_0 O x_0} = m \left[\frac{3}{20} \times \right. \\ \left. \times \frac{\varphi}{2\varphi + \sin 2\varphi} R^2 - y_0^2 \right]$ $I_{x_0 O y_0} = \frac{3}{20} \cdot \frac{2\varphi - \sin 2\varphi}{\varphi} m R^2$ $J_{x_0 y_0} = -\frac{3}{160} \cdot \frac{\sin \varphi}{\varphi} m R l = -0,01875 \frac{\sin \varphi}{\varphi} m R l$
<p>II</p>  <p style="text-align: center;">Элемент 278</p>	$V = \varphi l (R^2 - R_1^2)$ $x_0 = \frac{1}{2} l$ $y_0 = \frac{2}{3} \cdot \frac{\sin \varphi}{\varphi} \times \frac{R^3 - R_1^3}{R^2 - R_1^2}$ $z_0 = R \sin \varphi$	$I_{x_0 O z_0} = \frac{1}{12} m l^2$ $I_{z_0 O x_0} = m \left[\frac{2\varphi + \sin 2\varphi}{8\varphi} \times \right. \\ \left. \times (R^2 + R_1^2) - y_0^2 \right]$ $I_{x_0 O y_0} = \frac{2\varphi - \sin 2\varphi}{8\varphi} m (R^2 + R_1^2)$

Продолжение табл. 11

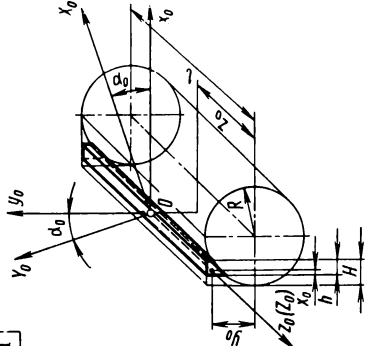
Эскиз и номер элемента	Объем координаты центра масс	Моменты инерции относительно центральных плоскостей (вспомогательные величины) Главные центральные моменты инерции см. табл. 25, стр. 127
<div data-bbox="311 1226 518 1437"> </div> <div data-bbox="322 1006 518 1177"> </div> <div data-bbox="529 1153 556 1291">Элемент 279</div>	$V = \varphi R^2 l = K_1 R^2 l$ $x_0 = \frac{1}{2} l = 0,5l$ $y_0 = \frac{2}{3} \cdot \frac{\sin \varphi}{\varphi} R = K_4 R$ $z_0 = R \sin \varphi = K_3 R$ <p>Коэффициенты $K_i = f(\varphi)$: K_1, K_4, K_3 и K_7 приведены в табл. 17 при $p = 1$ (см. стр. 496), K_3 — в табл. 16 (см. стр. 495)</p>	$I_{Y_0 O Z_0} = \frac{1}{12} m l^2 = 0,08333 m l^2$ $I_{Z_0 O X_0} = m \left(\frac{2\varphi + \sin 2\varphi}{8\varphi} R^2 - y_0^2 \right) = K_6 m R^2$ $I_{X_0 O Y_0} = \frac{2\varphi - \sin 2\varphi}{8\varphi} m R^2 = K_7 m R^2$
<div data-bbox="655 1226 873 1437"> </div> <div data-bbox="682 1006 873 1177"> </div> <div data-bbox="889 1153 917 1291">Элемент 280</div>	$V = \frac{\pi}{3} l \times$ $\times [3R^2 - (R_1^2 + R_1 r_1 + r_1^2)]$ $x_0 = \frac{\pi}{12} \cdot \frac{l^2}{V} \times$ $\times [6R^2 - (3R_1^2 + 2R_1 r_1 + r_1^2)]$ $y_0 = z_0 = R$	$I_{Y_0 O Z_0} = m \left\{ \frac{\pi}{30} \cdot \frac{l^3}{V} \times \right.$ $\times [10R^2 - (6R_1^2 + 3R_1 r_1 + r_1^2)] - x_0^2 \Big\}$ $I_{Z_0 O X_0} = I_{X_0 O Y_0} = \frac{\pi}{20} m \frac{l}{V} \times$ $\times [5R^4 - R_1 (R_1 + r_1) (R_1^2 + r_1^2) - r_1^4]$ <p>Формулы для некоторых тел, полученные подстановкой значений параметров R_1 и r_1, приведены: при $R_1 = 0$ на стр. 395 (элемент 281); при $r_1 = R$ на стр. 395 (элемент 282) и при $R_1 = \varnothing$ и $r_1 = R$ на стр. 395 (элемент 283)</p>

Продолжение табл. 11

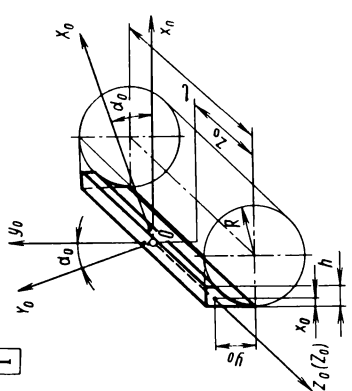
Эскиз и номер элемента	Объем координаты центра масс	Моменты инерции относительно центральных плоскостей (вспомогательные величины) Главные центральные моменты инерции см. табл. 25, стр. 127
 <p>Элемент 281</p>	$V = \frac{\pi}{3} l (3R^2 - r_1^2)$ $x_0 = \frac{\pi}{12} \cdot \frac{l^2}{V} (6R^2 - r_1^2)$ $y_0 = z_0 = R$	$I_{Y_0 Z_0} = m \left[\frac{\pi}{30} \cdot \frac{l^3}{V} \times \right. \\ \times (10R^2 - r_1^2) - x_0^2 \left. \right]$ $I_{Z_0 O X_0} = I_{X_0 O Y_0} =$ $= -\frac{\pi}{20} m \frac{l}{V} (5R^4 - r_1^4)$
 <p>Элемент 282</p>	$V = \frac{\pi}{3} A l (R - R_1)$ $x_0 = \frac{1}{4} l \left(3 - \frac{R}{A} \right)$ $y_0 = z_0 = R$ <p>В формулах $A = 2R + R_1$</p>	$I_{Y_0 Z_0} = \frac{1}{80} m l^2 \times$ $\times \left[3 + \frac{R}{A^2} (7R + 6R_1) \right]$ $I_{Z_0 O X_0} = I_{X_0 O Y_0} =$ $= \frac{3}{20} m \left(2R^2 + R_1^2 + \frac{R^2 R_1}{A} \right)$
 <p>Элемент 283</p>	$V = \frac{2}{3} \pi R^2 l = 2,09440 R^2 l$ $x_0 = \frac{5}{8} R = 0,625 R$ $y_0 = z_0 = R$	$I_{Y_0 Z_0} = \frac{19}{320} m l^2 = 0,05938 m l^2$ $I_{Z_0 O X_0} = I_{X_0 O Y_0} =$ $= \frac{3}{10} m R^2 = 0,3 m R^2$

Продолжение табл. 11

КОМБИНИРОВАННЫЕ ЭЛЕМЕНТЫ ОБЪЕМА

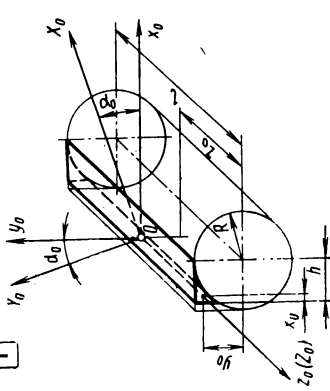
Эскиз и номер элемента	Объем, координаты центра масс	Моменты инерции относительно центральных плоскостей (вспомогательные величины) Главные центральные моменты инерции см. табл. 23, стр. 127
<div data-bbox="434 1377 478 1409">I</div>  <div data-bbox="838 1149 862 1291" style="text-align: right;">Элемент 284</div>	$V = \frac{1}{2} l [2Rh - P_t (R - t) + P_H (R - H) - cR^2]$ $x_0 = \frac{1}{6} \cdot \frac{l}{V} \times$ $\times \{3R (H^2 - t^2) - P_t [R(3R + t) - 2t^2] + P_H [R(3R + H) - 2H^2] - 3cR^3\} - t$ $y_0 = \frac{1}{6} \cdot \frac{l}{V} \times$ $\times \{3R [Rh - (H^2 - t^2)] + (H^3 - t^3)\}$ $z_0 = \frac{1}{2} l$	$J_{y_0 z_0} = m \left\{ \frac{1}{24} \cdot \frac{l}{V} \times \right.$ $\times \{8R (H^3 - t^2) - P_t [5R^2 (3R + t) + 2t^2 (R - 3t)] + P_H [5R^2 (3R + H) + 2H^2 (R - 3H)] - 15cR^4\} -$ $\left. - (x_0 + t)^2 \right\}$ $J_{z_0 x_0} = m \left\{ \frac{1}{24} \cdot \frac{l}{V} \times \right.$ $\times \{P^3 (3h - 3cR) - P_t [R^2 (8R + t) - 2t^2 (3R - t)] + P_H [R^2 (8R + H) - 2H^2 (3R - H)]\} - y_0^2 \}$ $I_{x_0 y_0} = \frac{1}{12} m l^2$ $J_{x_0 y_0} = m \left\{ \frac{1}{24} \cdot \frac{l}{V} \times \right.$ $\times [6R^2 (H^2 - t^2) - 8R (H^3 - t^3) + 3 (H^4 - t^4)] - (x_0 + t) y_0 \}$

Продолжение табл. 11

Эскиз и номер элемента	Объем, координаты центр масс	Моменты инерции относительно центральных плоскостей (вспомогательные величины) Главные центральные моменты инерции см. табл. 25, стр. 127
<div data-bbox="425 1364 469 1404" style="border: 1px solid black; display: inline-block; padding: 2px;">I</div>  <div data-bbox="802 1153 835 1299" style="text-align: right;">Элемент 285</div>	$V = \frac{1}{2} l [P(R-h) - R(cR-2h)]$ $x_0 = \frac{1}{6} \cdot \frac{l}{V} \times$ $\times \{ P[R(3R+h) - 2h^2] - 3R(cR^2 - h^2) \}$ $y_0 = \frac{1}{6} \cdot \frac{lh}{V} \times$ $\times [3R(R-h) + h^2]$ $z_0 = \frac{1}{2} l$	$J_{y_0 z_0} = m \left\{ \frac{1}{24} \cdot \frac{l}{V} \times \right.$ $\times \{ P[5R^2(3R+h) + 2h^2(R-3h)] -$ $- R(5cR^3 - 8h^3) \} - x_0^2 \}$ $J_{z_0 x_0} = m \left\{ \frac{1}{24} \cdot \frac{l}{V} \times \right.$ $\times \{ P[R^2(3R+h) - 2h^2(3R-h)] -$ $- R^3(3cR - 8h) \} - y_0^2 \}$ $I_{x_0 y_0} = \frac{1}{12} m l^2$ $J_{x_0 \cdot y_0} = m \left\{ \frac{1}{24} \cdot \frac{lh^2}{V} \times \right.$ $\times \{ 6R^2 - h(8R-3h) \} - x_0 y_0 \}$

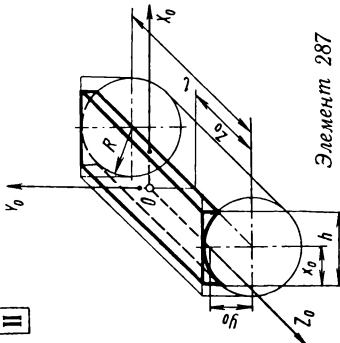
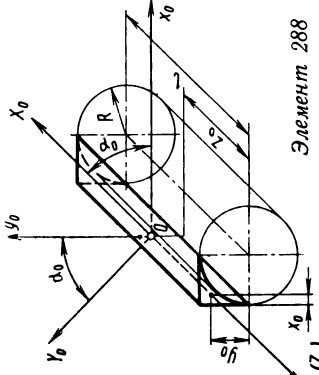
В формулах $P = \sqrt{h(2R-h)}$; $c = \arccos \frac{R-h}{R}$

Продолжение табл. 11

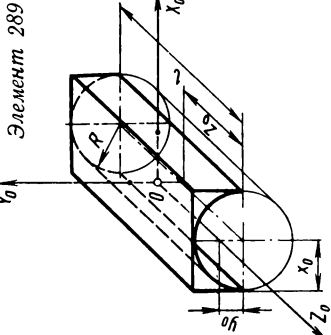
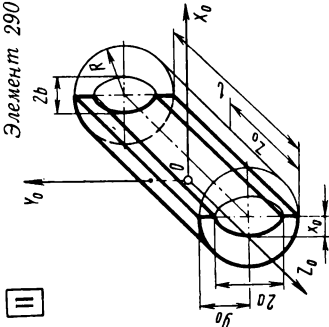
Эскиз и номер элемента	Объем, координаты центра масс	Моменты инерции относительно центральных плоскостей (вспомогательные величины) Главные центральные моменты инерции см. табл. 23, стр. 127
<div data-bbox="436 1356 475 1396" style="border: 1px solid black; display: inline-block; padding: 2px;">1</div>  <p style="text-align: right;">Элемент 286</p>	$V = \frac{1}{2} l [2Rh - (Ph + cR^2)]$ $x_0 = \frac{1}{6} \cdot \frac{l}{V} \times$ $\times \{ R [3h (2R - h) -$ $- (2 - 3c) R^2] -$ $- P [R (2R + 3h) - 2h^2] \} -$ $- (R - h)$ $y_0 = \frac{1}{6} \cdot \frac{lh^3}{V}; \quad z_0 = \frac{1}{2} l$	$J_{y_0 O z_0} = m \left\{ \frac{1}{24} \cdot \frac{l}{V} \times \right.$ $\times \{ 8Rh [3R (R - h) + h^2] -$ $- P [16R (R^2 - h^2) +$ $+ 3h (3R^2 + 2h^2)] + (16 - 15c) R^4 \} -$ $\left. - (x_0 + R - h)^2 \right\}$ $J_{z_0 O x_0} = m \left\{ \frac{1}{24} \cdot \frac{l}{V} \times \right.$ $\times [R^3 (8h - 3cR) -$ $- Ph (5R^2 - 2h^2)] - y_0^2 \}$ $I_{x_0 O y_0} = \frac{1}{12} m l^2$ $J_{x_0 \cdot y_0} = m \left[\frac{1}{24} \cdot \frac{lh^3}{V} \times \right.$ $\times (4R - 3h) - (x_0 + R - h) y_0 \Big]$

В формулах $P = \sqrt{R^2 - h^2}$; $c = \arcsin \frac{h}{R}$

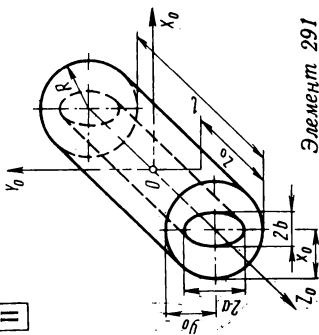
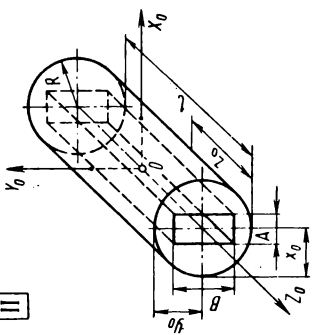
Продолжение табл. 11

Эскиз и номер элемента	Объем, координаты центра масс	Моменты инерции относительно центральных плоскостей (вспомогательные величины) Главные центральные моменты инерции см. табл. 28, стр. 127
<div data-bbox="267 203 311 251">II</div>  <div data-bbox="584 1071 611 1218">Элемент 287</div>	$V = \frac{1}{4} l [4R(h - cR) - Ph]$ $x_0 = \frac{1}{2} h; \quad y_0 = \frac{1}{24} \cdot \frac{lh^3}{V}$ $z_0 = \frac{1}{2} l$ <p data-bbox="584 617 616 933">В формулах $P = V\sqrt{4R^2 - h^2}$;</p>	$I_{y_0 O z_0} = \frac{1}{96} m \frac{l}{V} \times$ $\times [8R(h^3 - 3cR^3) + 3Ph(2R^2 - h^2)]$ $I_{z_0 O x_0} = m \left\{ \frac{1}{96} \cdot \frac{l}{V} \times \right.$ $\times [8R^3(4h - 3cR) -$ $\left. - Ph(10R^2 - h^2) \right] - y_0^2 \left. \right\}$ $I_{x_0 O y_0} = \frac{1}{12} m l^2$
<div data-bbox="638 203 682 251">I</div>  <div data-bbox="922 1047 950 1193">Элемент 288</div>	$V = \frac{1}{4} (4 - \pi) R^2 l =$ $= 0,21460 R^2 l$ $x_0 = \frac{10 - 3\pi}{3(4 - \pi)} R = 0,22337 R$ $y_0 = \frac{2}{3(4 - \pi)} R = 0,77663 R$ $z_0 = \frac{1}{2} l$	$J_{y_0 O z_0} = J_{z_0 O x_0} =$ $= \frac{9\pi^2 - 84\pi + 176}{36(4 - \pi)^2} m R^2 = 0,03516 m R^2$ $I_{x_0 O y_0} = \frac{1}{12} m l^2 = 0,08333 m l^2$ $\alpha_0 = 45^\circ$

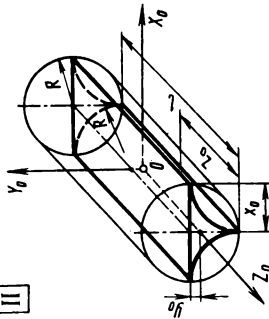
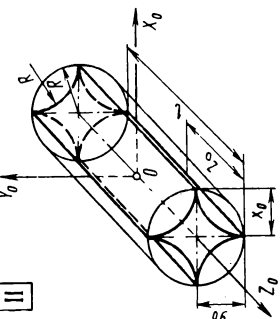
Продолжение табл. 11

Эскиз и номер элемента	Объем, координаты центра масс	Моменты инерции относительно центральных плоскостей (вспомогательные величины) Главные центральные моменты инерции см. табл. 25, стр. 127
<div data-bbox="270 1377 314 1409" style="border: 1px solid black; padding: 2px; display: inline-block;">II</div> <div data-bbox="270 1044 298 1190" style="text-align: center;">Элемент 289</div> 	$V = \frac{1}{2} (4 - \pi) R^2 l = 0,42920 R^2 l$ $x_0 = R$ $y_0 = \frac{2}{3(4 - \pi)} R = 0,77663 R$ $z_0 = \frac{1}{2} l = 0,5 l$	$I_{Y_0 O Z_0} = \frac{16 - 3\pi}{12(4 - \pi)} m R^2 = 0,63832 m R^2$ $I_{Z_0 O X_0} = \frac{9\pi^2 - 84\pi + 176}{36(4 - \pi)^2} m R^2 = 0,03516 m R^2$ $I_{X_0 O Y_0} = \frac{1}{12} m l^2 = 0,08333 m l^2$
<div data-bbox="620 1352 663 1385" style="border: 1px solid black; padding: 2px; display: inline-block;">II</div> <div data-bbox="620 1068 647 1206" style="text-align: center;">Элемент 290</div> 	$V = \frac{\pi}{2} l (R^2 - ab)$ $x_0 = \frac{2}{3} \cdot \frac{l}{V} (R^3 - a^2 b)$ $y_0 = R; \quad z_0 = \frac{1}{2} l$	$I_{Y_0 O Z_0} = \frac{1}{8} m \times$ $\times \left[\pi \frac{l}{V} (R^4 - a^3 b) - 8x_0^2 \right]$ $I_{Z_0 O X_0} = \frac{\pi}{8} m \frac{l}{V} (R^4 - ab^3)$ $I_{X_0 O Y_0} = \frac{1}{12} m l^2$

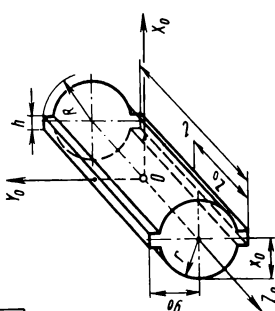
Продолжение табл. 11

Эскиз и номер элемента	Объем, координаты центра масс	Моменты инерции относительно центральных плоскостей (вспомогательные величины) Главные центральные моменты инерции см. табл. 25, стр. 127
<div data-bbox="267 1356 305 1388">II</div>  <div data-bbox="573 1063 595 1209">Элемент 291</div>	$V = \pi l (R^2 - ab)$ $x_0 = y_0 = R$ $z_0 = \frac{1}{2} l$	$I_{Y_0 O X_0} = \frac{\pi}{4} m \frac{l}{V} (R^4 - ab^3)$ $I_{X_0 O Y_0} = \frac{1}{12} m l^2$
<div data-bbox="616 1347 655 1380">II</div>  <div data-bbox="944 1161 966 1307">Элемент 292</div>	$V = l (\pi R^2 - AB)$ $x_0 = y_0 = R$ $z_0 = \frac{1}{2} l$	$I_{Y_0 O Z_0} = \frac{1}{12} m \frac{l}{V} (3\pi R^4 - A^3 B)$ $I_{Z_0 O X_0} = \frac{1}{12} m \frac{l}{V} (3\pi R^4 - AB^3)$ $I_{X_0 O Y_0} = \frac{1}{12} m l^2$

Продолжение табл. 11

Эскиз и номер элемента	Объем, координаты центра масс	Моменты инерции относительно центральных плоскостей (вспомогательные величины) Главные центральные моменты инерции см. табл. 25, стр. 127
<div data-bbox="289 1339 327 1372" style="border: 1px solid black; padding: 2px; display: inline-block;">II</div>  <p style="text-align: center;">Элемент 293</p>	$V = \frac{4 - \pi}{2} R^2 l = 0,42920 R^2 l$ $x_0 = R$ $y_0 = \frac{10 - 3\pi}{3(4 - \pi)} R = 0,22337 R$ $z_0 = \frac{1}{2} l = 0,5 l$	$I_{Y_0 O Z_0} = \frac{16 - 5\pi}{4(4 - \pi)} m R^2 = 0,08505 m R^2$ $I_{Z_0 O X_0} = \frac{9\pi^2 - 84\pi + 176}{36(4 - \pi)^2} m R^2 = 0,03516 m R^2$ $I_{X_0 O Y_0} = \frac{1}{12} m l^2 = 0,08333 m l^2$
<div data-bbox="635 1339 673 1372" style="border: 1px solid black; padding: 2px; display: inline-block;">II</div>  <p style="text-align: center;">Элемент 294</p>	$V = (4 - \pi) R^2 l = 0,85841 R^2 l$ $x_0 = y_0 = R, \quad z_0 = \frac{1}{2} l = 0,5 l$	$I_{Y_0 O Z_0} = I_{Z_0 O X_0} = \frac{16 - 5\pi}{4(4 - \pi)} m R^2 = 0,08505 m R^2$ $I_{X_0 O Y_0} = \frac{1}{12} m l^2 = 0,08333 m l^2$

Продолжение табл. 11

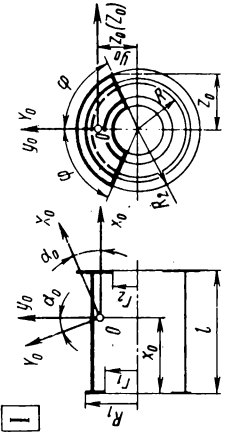
Эскиз и номер элемента	Объем, координаты центра масс	Моменты инерции относительно центральных плоскостей (вспомогательные величины) Главные центральные моменты инерции см. табл. 28, стр. 127
<div data-bbox="453 1360 493 1393" style="border: 1px solid black; padding: 2px; display: inline-block;">II</div>  <p style="text-align: center;">Элемент 295</p>	$V = \frac{1}{2} l \left\{ 2 [2c_R R^2 + (\pi - 2c_r) r^2] + h (P_R - P_r) \right\}$ $x_0 = r$ $y_0 = R$ $z_0 = \frac{1}{2} l$	$I_{Y_0 Z_0} = \frac{1}{16} m \frac{l}{V} \{ 4 [2c_R R^4 + (\pi - 2c_r) r^4] - h [P_R (2R^2 - h^2) - P_r (2r^2 - h^2)] \}$ $I_{Z_0 X_0} = \frac{1}{48} m \frac{l}{V} \{ 12 [2c_R R^4 + (\pi - 2c_r) r^4] + h [P_R (10R^2 - h^2) - P_r (10r^2 - h^2)] \}$ $I_{X_0 Y_0} = \frac{1}{12} m l^2$ <p style="text-align: right;">В формулах $c_R = \arcsin \frac{h}{2R}$; $P_R = \sqrt{4R^2 - h^2}$; $c_r = \arcsin \frac{h}{2r}$; $P_r = \sqrt{4r^2 - h^2}$</p>

Продолжение табл. 11

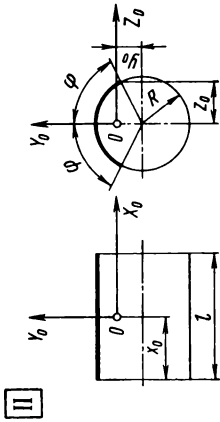
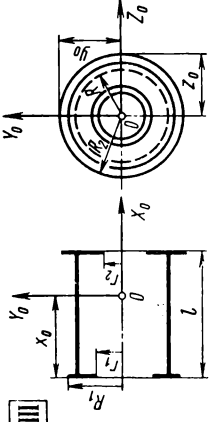
Эскиз и номер элемента	Объем, координаты центра масс	Моменты инерции относительно центральных плоскостей (асимптотические величины) Главные центральные моменты инерции см. табл. 28, стр. 127
<div data-bbox="270 1063 540 1388"> </div> <div data-bbox="562 1144 584 1291">Элемент 296</div>	$V = \frac{1}{4} l \{ 4 [ncR^2 + (\pi - nc)r^2] + nh(P_R - P_r) \}$ $x_0 = r; \quad y_0 = R;$ $z_0 = \frac{1}{2} l$ <p>Параметры c_R, P_R, c_r и P_r приведены в таблице для элемента 295 (см. стр. 404). Формулы справедливы для четного числа шлицев $n \geq 4$</p>	$I_{Y_0 O Z_0} = I_{Z_0 O X_0} = \frac{1}{96} m \frac{l}{V} \times$ $\times \{ 24 [ncR^4 + (\pi - nc)r^4] +$ $+ nh [P_R (2R^2 + h^2) - P_r (2r^2 + h^2)] \}$ $I_{X_0 O Y_0} = \frac{1}{12} ml^2$
<div data-bbox="606 1063 922 1388"> </div> <div data-bbox="933 1144 955 1291">Элемент 297</div>	$V = \frac{1}{2} l (2\pi R^2 - 3\sqrt{3}A^2)$ $x_0 = y_0 = R;$ $z_0 = \frac{1}{2} l$	$I_{Y_0 O Z_0} = I_{Z_0 O X_0} =$ $= \frac{1}{16} m \frac{l}{V} (4\pi R^4 - 5\sqrt{3}A^4)$ $I_{X_0 O Y_0} = \frac{1}{12} ml^2$

Продолжение табл. II

КОМБИНИРОВАННЫЕ ЭЛЕМЕНТЫ ПОВЕРХНОСТИ

Эскиз и номер элемента	Поверхность, координаты центра масс	Моменты инерции относительно центральных плоскостей (вспомогательные величины) Главные центральные моменты инерции см. табл. 25, стр. 127
 <p style="text-align: center;">Элемент 298</p>	$S = \varphi \left[2Rl + (R_1^2 - r_1^2) + (R_2^2 - r_2^2) \right] + \frac{l}{S} [Rl + (R_2^2 - r_2^2)]$ $x_0 = \varphi \frac{l}{S} [Rl + (R_2^2 - r_2^2)]$ $y_0 = \frac{2}{3} \sin \varphi \cdot \frac{1}{S} [3R^2 l + (R_1^3 - r_1^3) + (R_2^3 - r_2^3)]$ $z_0 = R_2 \sin \varphi$	$J_{y_0 O z_0} = m \left\{ \frac{\varphi}{3} \cdot \frac{l^2}{S} [2Rl + 3(R_2^2 - r_2^2)] - x_0^2 \right\}$ $J_{z_0 O x_0} = m [(2\varphi + \sin 2\varphi) T^2 - y_0^2]$ $I_{x_0 O y_0} = (2\varphi - \sin 2\varphi) m T^2$ $J_{x_0 y_0} = m \left\{ \frac{\sin \varphi}{3} \cdot \frac{l}{S} [3R^2 l + 2(R_2^3 - r_2^3)] - x_0 y_0 \right\}$
	<p>В формулах $T^2 = \frac{1}{8S} [4R^3 l + (R_1^4 - r_1^4) + (R_2^4 - r_2^4)]$.</p> <p>Подставляя значения параметров R_i и r_i, указанные в «Предметно-иллюстрированном оглавлении», можно получить формулы для соответствующих элементов поверхности цилиндра (см. стр. 43—44). Элементы, получаемые подстановкой параметров $r_2 = r_1$ и $R_2 = R_1$; $R_1 = R_2 = R$ и $r_2 = r_1$; $R_1 = R_2 = R$ и $r_1 = r_2 = 0$; $r_1 = r_2 = R$ и $R_2 = R_1$, относятся к элементам II типа (см. табл. 25, стр. 127), остальные — к элементам I типа.</p> <p>Формулы для тел, полученные подстановкой параметров R_i, r_i и φ, приведены: при $r_1 = r_2 = R_1 = R_2 = R$ на стр. 407 (элемент 299), при $\varphi = \pi$ на стр. 407 (элемент 300)</p>	

Продолжение табл. 11

Эскиз и номер элемента	Поверхность, координаты центра масс	Моменты инерции относительно центральных плоскостей (вспомогательные величины) Главные центральные моменты инерции см. табл. 28, стр. 127
<p>II</p>  <p>Элемент 299</p>	$S = 2\varphi Rl$ $x_0 = \frac{1}{2} l = 0,5l$ $y_0 = \frac{\sin \varphi}{\varphi} R = K_4 R$ $z_0 = R \sin \varphi = K_3 R$ <p>Коэффициенты $K_i = f(\varphi)$: K_4, K_5 и K_6 приведены в табл. 20 при $\rho = 1$ (см. стр. 505), K_3 — в табл. 16 (см. стр. 495). Значения угла φ (в рад) приведены в табл. 1 (см. стр. 476)</p>	$I_{Y_0 O Z_0} = \frac{1}{12} m l^2 = 0,08333 m l^2$ $J_{Z_0 O X_0} = m \left(\frac{2\varphi + \sin 2\varphi}{4\varphi} R^2 - y_0^2 \right) = K_5 m R^2$ $I_{X_0 O Y_0} = \frac{2\varphi - \sin 2\varphi}{4\varphi} m R^2 = K_6 m R^2$
<p>III</p>  <p>Элемент 300</p>	$S = \pi [2Rl + (R_1^2 - r_2^2)] + (R_2^2 - r_2^2)$ $x_0 = \pi \frac{l}{S} [Rl + (R_2^2 - r_2^2)]$ $y_0 = z_0 = R_2$	$I_{Y_0 O Z_0} = m \left\{ \frac{\pi}{3} \cdot \frac{l^2}{S} [2Rl + 3(R_2^2 - r_2^2)] - x_0^2 \right\}$ $I_{Z_0 O X_0} = I_{X_0 O Y_0} = \frac{\pi}{4} m \frac{1}{S} \times [4R^3 l + (R_1^4 - r_1^4) + (R_2^4 - r_2^4)]$

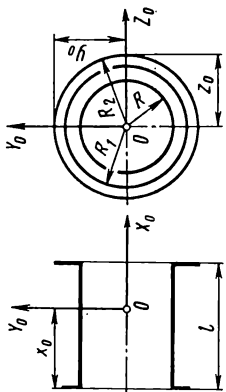
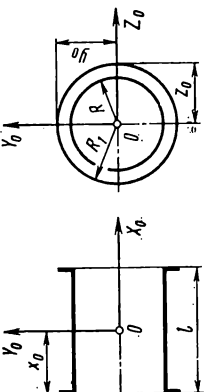
Продолжение табл. 11

Эскиз и номер элемента	Поверхность, координаты центра масс	Моменты инерции относительно центральных плоскостей (вспомогательные величины) Главные центральные моменты инерции см. табл. 25, стр. 127
		<p>Подставляя значения параметров r_i и R_i, указанные в «Предметно-иллюстрированном оглавлении», можно получить формулы для соответствующих элементов поверхности цилиндра (см. стр. 44). Все элементы относятся к элементам III типа (см. табл. 25, стр. 127).</p> <p>Формулы для некоторых тел, полученные подстановкой значений параметров r_1, r_2, R_1 и R_2, приведены на следующих страницах:</p>
		<div>Параметры</div> <div> $R_1 = R_2 = R$ $R_1 = R_2 = R$ $r_1 = r_2 = R$ $r_1 = r_2 = R$ $r_1 = r_2 = R$ $r_1 = r_2 = R$ $r_1 = r_2 = R$ $r_1 = r_2 = R$ </div>
		<div>Страница</div> <div>409 409 409 410 410 411 412 412</div>
		<div>Элемент</div> <div>301 302 303 304 305 306 307</div>

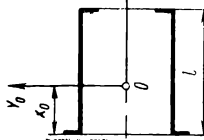
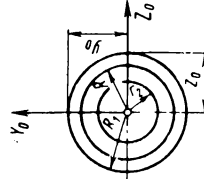
Продолжение табл. 11

Эскиз и номер элемента	Поверхность, координаты центра масс	Моменты инерции относительно центральных плоскостей (вспомогательные величины) Главные центральные моменты инерции см. табл. 25, стр. 127
<div data-bbox="327 1023 524 1429"> </div> <p data-bbox="546 1136 567 1282">Элемент 301</p>	$S = \pi [2R(R+l) - (r_1^2 + r_2^2)]$ $x_0 = \pi \frac{l}{S} [R(R+l) - r_2^2]$ $y_0 = z_0 = R$	$I_{Y_0 O Z_0} = m \left\{ \frac{\pi}{3} \cdot \frac{l^2}{S} [R(3R + 2l) - 3r_2^2] - x_0^2 \right\}$ $I_{Z_0 O X_0} = I_{X_0 O Y_0} = \frac{\pi}{4} m \frac{1}{S} \times [2R^3(R+2l) - (r_1^4 + r_2^4)]$
<div data-bbox="677 1023 873 1429"> </div> <p data-bbox="895 1136 917 1282">Элемент 302</p>	$S = \pi [R(R+2l) - r_1^2]$ $x_0 = \pi \frac{Rl^2}{S}; \quad y_0 = z_0 = R$	$I_{Y_0 O Z_0} = m \left(\frac{2}{3} \pi \frac{Rl^3}{S} - x_0^2 \right)$ $I_{Z_0 O X_0} = I_{X_0 O Y_0} = \frac{\pi}{4} m \frac{1}{S} \times [R^3(R+4l) - r_1^4]$

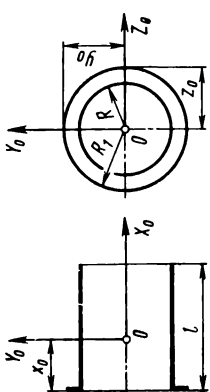
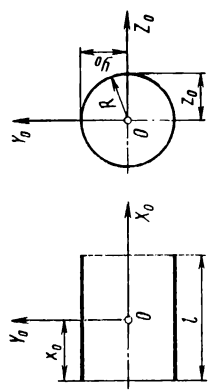
Продолжение табл. 11

Эскиз и номер элемента	Поверхность, координаты центра масс	Моменты инерции относительно центральных плоскостей (вспомогательные величины). Главные центральные моменты инерции см. табл. 25, стр. 127
<div data-bbox="317 1406 355 1438">III</div>  <p style="text-align: center;">Элемент 303</p>	$S = \pi [2R(l - R) + (R_1^2 + R_2^2)]$ $x_0 = \pi \frac{l}{S} [R(l - R) + R_2^2]$ $y_0 = z_0 = R_2$	$I_{Y_0 O Z_0} = m \left\{ \frac{\pi}{3} \cdot \frac{l^2}{S} [R(2l - 3R) + 3R_2^2] - x_0^2 \right\}$ $I_{Z_0 O X_0} = I_{X_0 O Y_0} = \frac{\pi}{4} m \frac{1}{S} \times [2R^3(2l - R) + (R_1^4 + R_2^4)]$
<div data-bbox="689 1406 727 1438">III</div>  <p style="text-align: center;">Элемент 304</p>	$S = 2\pi [R(l - R) + R_1^2]$ $x_0 = \frac{1}{2} l$ $y_0 = z_0 = R_1$	$I_{Y_0 O Z_0} = \frac{\pi}{6} m \frac{l^2}{S} \times [3(R_1^2 - R^2) + Rl]$ $I_{Z_0 O X_0} = I_{X_0 O Y_0} = \frac{\pi}{2} m \frac{1}{S} \times [(R_1^4 - R^4) + 2R^3 l]$

Продолжение табл. 11

Эскиз и номер элемента	Поверхность, координаты центра масс	Моменты инерции относительно центральных плоскостей (вспомогательные величины) Главные центральные моменты инерции см. табл. 25, стр. 127
<div data-bbox="489 1401 529 1433" style="border: 1px solid black; padding: 2px; display: inline-block;">III</div>   <p style="text-align: center;">Элемент 305</p>	$S = \pi [2Rl + (R_1^2 - R_2^2)]$ $x_0 = \pi \frac{l}{S} [R (R + l) - r_2^2]$ $y_0 = z_0 = R_1$	$I_{Y_0 O Z_0} = m \left\{ \frac{\pi}{3} \cdot \frac{l^2}{S} [R (3R + 2l) - 3r_2^2] - x_0^2 \right\}$ $I_{Z_0 O X_0} = I_{X_0 O Y_0} = \frac{\pi}{4} m \frac{1}{S} \times [4R^3 l + (R_1^4 - R_2^4)]$

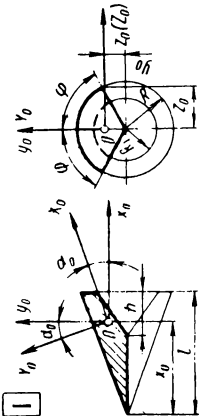
Продолжение табл. 11

Эскиз и номер элемента	Поверхность координаты центра масс	Моменты инерции относительно центральных плоскостей (вспомогательные величины) Главные центральные моменты инерции см. табл. 25, стр. 127
<div data-bbox="327 1412 371 1453">III</div>  <p style="text-align: center;">Элемент 306</p>	$S = \pi [2Rl + (R_1^2 - R^2)]$ $x_0 = \pi \frac{Rl^2}{S};$ $y_0 = z_0 = R_1$	$I_{Y_0 O Z_0} = \frac{\pi^2}{3} m \frac{Rl^3}{S^2} \times$ $\times [Rl + 2(R_1^2 - R^2)]$ $I_{Z_0 O X_0} = I_{X_0 O Y_0} = \frac{\pi}{4} m \frac{1}{S} \times$ $\times [4R^3 l + (R_1^4 - R^4)]$
<div data-bbox="677 1404 720 1445">III</div>  <p style="text-align: center;">Элемент 307</p>	$S = 2\pi Rl = 6,28318Rl$ $x_0 = \frac{1}{2} l = 0,5l;$ $y_0 = z_0 = R$	$I_{Y_0 O Z_0} = \frac{1}{12} ml^2 = 0,08333ml^2$ $I_{Z_0 O X_0} = I_{X_0 O Y_0} =$ $= \frac{1}{2} mR^2 = 0,5mR^2$

12. ЭЛЕМЕНТЫ КРУГОВОГО КОНУСА

Масса $m = V\rho$ или $m = S\delta\rho$, где V — объем; S — поверхность;
 δ — толщина стенки; ρ — плотность материала

ЭЛЕМЕНТЫ ОБЪЕМА

Эскиз и номер элемента	Объем. координаты центра масс	Моменты инерции относительно центральных плоскостей (спомогательные величины) Главные центральные моменты инерции см. табл. 25, стр. 127
 <p style="text-align: right;">Элемент 308</p>	$V = \frac{\varphi}{3} (R_1^2 l - R_1^2 h)$ $x_0 = \frac{\varphi}{12} \cdot \frac{1}{V} [3R_1^2 l^2 - R_1^2 h (4l - h)]$ $y_0 = \frac{\sin \varphi}{6} \cdot \frac{1}{V} \times (R_1^3 l - R_1^3 h)$ $z_0 = R \sin \varphi$	$J_{y_0 O z_0} = m \left[\frac{\varphi}{30} \cdot \frac{1}{V} (R^2 l^3 - R_1^2 h^3) - (l - x_0)^2 \right]$ $J_{z_0 O x_0} = m [(2\varphi + \sin 2\varphi) T^2 - y_0^2]$ $I_{x_0 O y_0} = (2\varphi - \sin 2\varphi) m T^2$ $J_{x_0 \cdot y_0} = m \left[\frac{\sin \varphi}{20} \cdot \frac{1}{V} \times (R^3 l^2 - R_1^3 h^2) - (l - x_0) y_0 \right]$

В формулах $T^2 = \frac{1}{40V} (R^4 l - R_1^4 h)$.

Подставляя значения параметров R_1 и h , указанные в «Предметно-иллюстрированном оглавлении», можно получить формулы для соответствующих элементов конуса (см. стр. 45). Все элементы относятся к элементам I типа (см. табл. 25, стр. 127).

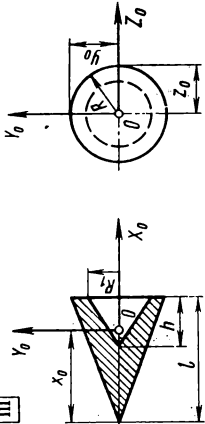
Формулы для некоторых тел, полученные подстановкой значений параметров R_1 , h и φ , приведены: при $R_1 = 0$ или $h = 0$ на стр. 414 (элемент 309), при $\varphi = \pi$ на стр. 415 (элемент 310)

Продолжение табл. 12

Эскиз и номер элемента	Объем, координаты центра масс	Моменты инерции относительно центральных плоскостей (вспомогательные величины) Главные центральные моменты инерции см. табл. 25, стр. 127
<div data-bbox="491 730 709 1055"> </div> <div data-bbox="731 1136 764 1299">Элемент 309</div>	$V = \frac{\varphi}{3} R^2 l = K_1 R^2 l$ $x_0 = \frac{3}{4} l = 0,75 l$ $y_0 = \frac{\sin \varphi}{2 \varphi} R = K_4 R$ $z_0 = R \sin \varphi = K_3 R$	$J_{y_0 O z_0} = \frac{3}{80} m l^2 = 0,0375 m l^2$ $J_{z_0 O x_0} = m \left[\frac{3}{40} \cdot \frac{2 \varphi + \sin 2 \varphi}{\varphi} \times \right. \\ \left. \times R^2 - y_0^2 \right] = K_6 m R^2$ $I_{x_0 O y_0} = \frac{3}{40} \cdot \frac{2 \varphi - \sin 2 \varphi}{\varphi} m R^2 = \\ = K_7 m R^2$ $J_{x_0, y_0} = \frac{\sin \varphi}{40 \varphi} m R l = K_8 m R l$

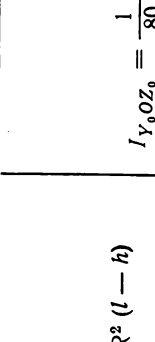
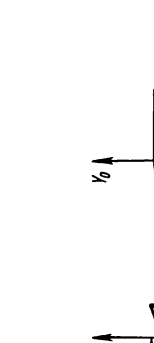
Коэффициенты $K_i = f(\varphi)$: K_1, K_4, K_6, K_7 и K_8 приведены в табл. 17 при $\rho = 0$ (см. стр. 496); K_3 в табл. 16 (см. стр. 495).

Продолжение табл. 12

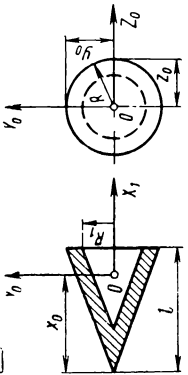
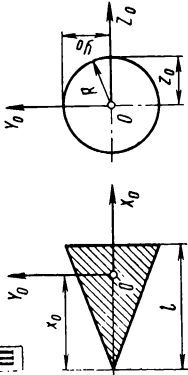
Эскиз и номер элемента	Объем, координаты центра масс	Моменты инерции относительно центральных плоскостей (вспомогательные величины) Главные центральные моменты инерции см. табл. 23, стр. 127
<div data-bbox="489 1403 528 1435" style="border: 1px solid black; padding: 2px; display: inline-block;">III</div>  <p style="text-align: center;">Элемент 310</p>	$V = \frac{\pi}{3} (R^2 l - R_1^2 h)$ $x_0 = \frac{\pi}{12} \cdot \frac{1}{V} [3R^2 l^2 - R_1^2 h (4l - h)]$ $y_0 = z_0 = R$	$I_{Y_0 O Z_0} = m \left[\frac{\pi}{30} \cdot \frac{1}{V} (R^2 l^3 - R_1^2 h^3) - (l - x_0)^2 \right]$ $I_{Z_0 O X_0} = I_{X_0 O Y_0} = \frac{\pi}{20} \cdot \frac{1}{V} m \times (R^4 l - R_1^4 h)$

Формулы для некоторых тел, полученные подстановкой значений параметров R_1 и h , приведены: при $R_1 = R$ на стр. 416 (элемент 311); при $h = l$ на стр. 416 (элемент 312); при $h = \frac{R_1}{R} l$ на стр. 417 (элемент 313) и при $R_1 = 0$ или $h = 0$ на стр. 417 (элемент 314).

Продолжение табл. 12

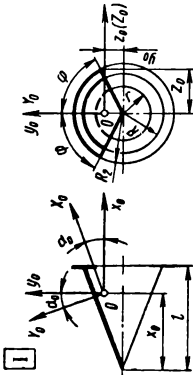
Эскиз и номер элемента	Объем, координаты центра масс	Моменты инерции относительно центральных плоскостей (вспомогательные величины) Главные центральные моменты инерции см. табл. 25, стр. 127
<div data-bbox="300 446 343 511">III</div>  <p style="text-align: center;">Элемент 311</p>	$V = \frac{\pi}{3} R^2 (l - h)$ $x_0 = \frac{1}{4} (3l - h)$ $y_0 = z_0 = R$	$I_{y_0 o z_0} = \frac{1}{80} m [3 (l^2 + h^2) - 2lh]$ $I_{z_0 o x_0} = I_{x_0 o y_0} = \frac{3}{20} m R^2$
<div data-bbox="660 1380 704 1445">III</div>  <p style="text-align: center;">Элемент 312</p>	$V = \frac{\pi}{3} l (R^2 - R_1^2)$ $x_0 = \frac{3}{4} l = 0,75l$ $y_0 = z_0 = R$	$I_{y_0 o z_0} = \frac{3}{80} m l^2 = 0,0375 m l^2$ $I_{z_0 o x_0} = I_{x_0 o y_0} = \frac{3}{20} m \times (R^2 + R_1^2)$

Продолжение табл. 12

Эскиз и номер элемента	Объем, координаты центра масс	Моменты инерции относительно центральных плоскостей (вспомогательные величины) Главные центральные моменты инерции см. табл. 25, стр. 127
<div data-bbox="336 1377 380 1409" style="border: 1px solid black; padding: 2px; display: inline-block;">III</div>  <p style="text-align: center;">Элемент 313</p>	$V = \frac{\pi}{3} \cdot \frac{l}{R} (R^3 - R_1^3) = K_1 R^2 l$ $x_0 = \frac{\pi}{12} \cdot \frac{l^2}{R^3 V} [3R^4 - R_1^3 (4R - R_1)] = K_2 l$ $y_0 = z_0 = R$ <p style="text-align: center;">Коэффициенты $K_i = f \left(p = \frac{R_1}{R} \right)$ приведены в табл. 23 (см. стр. 511)</p>	$I_{Y_0 O Z_0} = m \left[\frac{\pi}{30} \cdot \frac{l^3}{R^3 V} (R^5 - R_1^5) - (l - x_0)^2 \right] = K_3 m l^2$ $I_{Z_0 O X_0} = I_{X_0 O Y_0} = \frac{\pi}{20} m \frac{l}{R V} \times (R^5 - R_1^5) = K_4 m R^2$
<div data-bbox="699 1377 743 1409" style="border: 1px solid black; padding: 2px; display: inline-block;">III</div>  <p style="text-align: center;">Элемент 314</p>	$V = \frac{\pi}{3} R^2 l = 1,04720 R^2 l$ $x_0 = \frac{3}{4} l = 0,75 l$ $y_0 = z_0 = R$	$I_{Y_0 O Z_0} = \frac{3}{80} m l^2 = 0,0375 m l^2$ $I_{Z_0 O X_0} = I_{X_0 O Y_0} = \frac{3}{20} m R^2 = 0,15 m R^2$

Продолжение табл. 12

КОМБИНИРОВАННЫЕ ЭЛЕМЕНТЫ ПОВЕРХНОСТИ

Эскиз и номер элемента	Поверхность, координаты центра масс	Моменты инерции относительно центральных плоскостей (вспомогательные величины) Главные центральные моменты инерции см. табл. 26, стр. 127
	$S = \varphi [RL + (R_2^2 - r_2^2)]$ $x_0 = \frac{\varphi}{3} \cdot \frac{l}{S} [2RL + 3(R_2^2 - r_2^2)]$ $y_0 = \frac{2}{3} \sin \varphi_3 \frac{1}{S} [R^2 L + (R_2^3 - r_2^3)]$ $z_0 = R_2 \sin \varphi$	$J_{y_0 O z_0} = m \left\{ \frac{\varphi}{2} \cdot \frac{l^2}{S} [RL + 2(R_2^2 - r_2^2)] - x_0^2 \right\}$ $J_{z_0 O x_0} = m [(2\varphi + \sin 2\varphi) T^2 - y_0^2]$ $I_{x_0 O y_0} = (2\varphi - \sin 2\varphi) m T^2$ $J_{x_0 \cdot y_0} = m \left\{ \frac{\sin \varphi}{6} \cdot \frac{l}{S} [3R^2 L + 4(R_2^3 - r_2^3)] - x_0 y_0 \right\}$

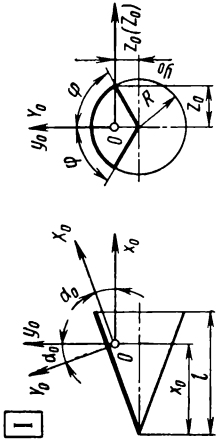
Элемент 315

В формулах $L = \sqrt{R^2 + l^2}$; $T^2 = \frac{1}{8S} [R^3 L + (R_2^4 - r_2^4)]$

Подставляя значения параметров r_2 и R_2 , указанные в «Предметно-иллюстрированном оглавлении», можно получить формулы для соответствующих элементов поверхности конуса (см. стр. 45). Все элементы относятся к элементам I типа (см. табл. 25, стр. 127).

Формулы для некоторых тел, полученные подстановкой значений параметров r_2 , R_2 и φ , приведены: при $R_2 = r_2 = R$ на стр. 419 (элемент 316), при $\varphi = \pi$ — на стр. 420 (элемент 317)

Продолжение табл. 12

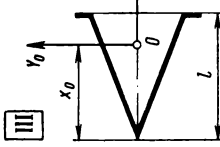
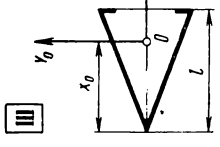
Эскиз и номер элемента	Поверхность, координаты центра масс	Моменты инерции относительно центральных плоскостей (вспомогательные величины) Главные центральные моменты инерции см. табл. 25, стр. 127
<div data-bbox="489 1419 530 1451" style="border: 1px solid black; padding: 2px; display: inline-block;">I</div>  <p style="text-align: center;">Элемент 316</p>	$S = \varphi R \sqrt{R^2 + l^2}$ $x_0 = \frac{2}{3} l = 0,66667l$ $y_0 = \frac{2}{3} \cdot \frac{\sin \varphi}{\varphi} R = K_4 R$ $z_0 = R \sin \varphi = K_3 R$	$J_{y_0 O z_0} = \frac{1}{18} m l^2 = 0,05556 m l^2$ $J_{z_0 O x_0} = m \left(\frac{2\varphi + \sin 2\varphi}{8\varphi} R^2 - y_0^2 \right) = K_5 m R^2$ $I_{x_0 O y_0} = \frac{2\varphi - \sin 2\varphi}{8\varphi} m R^2 = K_6 m R^2$ $J_{x_0, y_0} = \frac{\sin \varphi}{18\varphi} m R l = K_7 m l$ <p>Коэффициенты $K_1 = f(\varphi^\circ)$; K_4, K_5, K_6 и K_7 приведены в табл. 20 при $p = 0$ (см. стр. 505), K_3 — в табл. 16 (см. стр. 495)</p>

Продолжение табл. 13

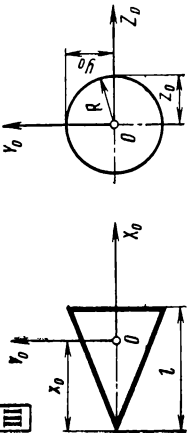
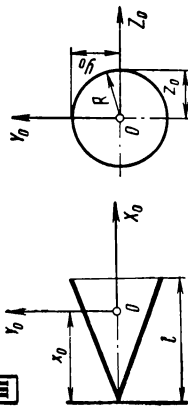
Эскиз и номер элемента	Поверхность, координаты центра масс	Моменты инерции относительно центральных плоскостей (вспомогательные величины) Главные центральные моменты инерции см. табл. 25, стр. 127
<div><div></div><div></div></div> <div>Элемент 317</div>	$S = \pi [RL + (R_c^2 - r_2^2)]$ $x_0 = \frac{\pi}{3} \cdot \frac{l}{S} [2RL + 3(R_2^2 - r_2^2)]$ $y_0 = z_0 = R_2$	$I_{Y_0OZ_0} = m \left\{ \frac{\pi}{2} \cdot \frac{l^3}{S} [RL + 2(R_2^2 - r_2^2)] - x_0^2 \right\}$ $I_{Z_0OX_0} = I_{X_0OY_0} = \frac{\pi}{4} m \frac{l}{S} \times [R^3L + (R_2^4 - r_2^4)]$

В формулах $L = \sqrt{R^2 + l^2}$
Формулы для некоторых тел, полученные подстановкой значений параметров R_2 и r_2 , приведены: при $r_2 = R$ на стр. 421 (элемент 318); при $R_2 = R$ на стр. 421 (элемент 319); при $R_2 = R$ и $r_2 = 0$ на стр. 422 (элемент 320) и при $R_2 = r_2 = R$ на стр. 422 (элемент 321)

Продолжение табл. 12

Эскиз и номер элемента	Поверхность, координаты центра масс	Моменты инерции относительно центральных плоскостей (вспомогательные величины) Главные центральные моменты инерции см. табл. 25, стр. 127
<div data-bbox="316 1396 360 1445">III</div>  <p style="text-align: center;">Элемент 318</p>	$S = \pi [R(L - R) + R_2^2]$ $x_0 = \frac{\pi}{3} \cdot \frac{l}{S} [R(2L - 3R) + 3R_2^2]$ $y_0 = z_0 = R_2$	$I_{Y_0 O Z_0} = m \left\{ \frac{\pi}{2} \cdot \frac{l^2}{S} [R(L - 2R) + 2R_2^2] - x_0^2 \right\}$ $I_{Z_0 O X_0} = I_{X_0 O Y_0} = \frac{\pi}{4} m \frac{l}{S} \times [R^3(L - R) + R_2^4]$ <p style="text-align: center;">В формулах $L = \sqrt{R^2 + l^2}$;</p>
<div data-bbox="666 1396 709 1445">III</div>  <p style="text-align: center;">Элемент 319</p>	$S = \pi [R(R + L) - r_2^2]$ $x_0 = \frac{\pi}{3} \cdot \frac{l}{S} [R(3R + 2L) - 3r_2^2]$ $y_0 = z_0 = R$	$I_{Y_0 O Z_0} = m \left\{ \frac{\pi}{2} \cdot \frac{l^2}{S} [R(2R + L) - 2r_2^2] - x_0^2 \right\}$ $I_{Z_0 O X_0} = I_{X_0 O Y_0} = \frac{\pi}{4} m \frac{l}{S} \times [R^3(R + L) - r_2^4]$ <p style="text-align: center;">В формулах $L = \sqrt{R^2 + l^2}$</p>

Продолжение табл. 12

Эскиз и номер элемента	Поверхность, координаты центра масс	Моменты инерции относительно центральных плоскостей (вспомогательные величины) Главные центральные моменты инерции см. табл. 25, стр. 127
<div data-bbox="333 1404 376 1437" style="border: 1px solid black; padding: 2px; display: inline-block;">III</div>  <p style="text-align: center;">Элемент 320</p>	$S = \pi R (R + L)$ $x_0 = \frac{\pi}{3} \cdot \frac{Rl}{S} (3R + 2L)$ $y_0 = z_0 = R$	$I_{y_0 O z_0} = \frac{\pi^2}{18} m \frac{LR^2 l^2}{S^2} (3R + L)$ $I_{z_0 O x_0} = I_{x_0 O y_0} = \frac{1}{4} m R^2$ <p style="text-align: center;">В формулах $L = \sqrt{R^2 + l^2}$</p>
<div data-bbox="660 1396 704 1429" style="border: 1px solid black; padding: 2px; display: inline-block;">III</div>  <p style="text-align: center;">Элемент 321</p>	$S = \pi R \sqrt{R^2 + l^2}$ $x_0 = \frac{2}{3} l = 0,66667l$ $y_0 = z_0 = R$	$I_{y_0 O z_0} = \frac{1}{18} m l^2 = 0,05556 m l^2$ $I_{z_0 O x_0} = I_{x_0 O y_0} = \frac{1}{4} m R^2 = 0,25 m R^2$

Продолжение табл. 13

Эскиз и номер элемента	Объем, координаты центра масс	Моменты инерции относительно центральных плоскостей (вспомогательные величины) Главные центральные моменты инерции см. табл. 25, стр. 127		
<p>Подставляя значения входящих параметров, указанные в «Предметно-иллюстрированном оглавлении», можно получить формулы для соответствующих толстостенных профилей (см. стр. 46—48). Профили, симметричные относительно центральной плоскости Y_0OZ_0 или Z_0OX_0, относятся к элементам II типа (см. табл. 25, стр. 127), остальные — к элементам I типа.</p> <p>Формулы для некоторых тел, полученные подстановкой значений параметров a, b, c, e, δ, B, E и l, приведены на следующих страницах:</p>				
Параметры	$e=0;$ $a=A-\delta$	$e=0;$ $a=A-\delta;$ $b=c=\delta$	$e=0;$ $E=A;$ $a=A-\delta$	$e=0;$ $E=A;$ $a=A-\delta;$ $b=c=\delta$ $a = \frac{A-\delta}{2};$ $e = \frac{E-\delta}{2}$
Страница	426	427	428	429
Элемент	323	324	325	327
Параметры	$b=c=\delta;$ $a = \frac{A-\delta}{2};$ $e = \frac{E-\delta}{2}$	$E = A;$ $a = e = \frac{A-\delta}{2}$	$E = A;$ $b=c=\delta;$ $a = e = \frac{A-\delta}{2}$	$e=a=0;$ $b=c=\delta$

Продолжение табл. 13

Эскиз и номер элемента	Объем, координаты центра масс			Моменты инерции относительно центральных плоскостей (вспомогательные величины) Главные центральные моменты инерции см. табл. 25, стр. 127			
	Страница	430	430	431	432	433	
Элемент	Элемент	328	329	330	331	332	
Параметры	Параметры	$e=a=0;$ $E=A$	$e=a=0;$ $E=A;$ $b=c=\delta$	$c=0$	$c=0;$ $a=\frac{A-\delta}{2}$	$c=0;$ $b=\delta;$ $a=\frac{A-\delta}{2}$	
Страница	Страница	434	435	436	437	438	438
Элемент	Элемент	333	334	335	336	337	338
Параметры	Параметры	$a=c=0$	$a=c=0;$ $b=\delta$	$a=c=0;$ $B=A;$ $b=\delta$	$a=b=$ $=c=e=$ $=0;$ $\delta=A$	$a=b=$ $=c=e=$ $=0;$ $\delta=B=A$	$a=b=$ $=c=e=$ $=0;$ $\delta=B=$ $=l=A$
Страница	Страница	439	440	440	445	451	447
Элемент	Элемент	339	340	341	348	361	352

Продолжение табл. 13

Эскиз и номер элемента	Объем, координаты центра масс	Моменты инерции относительно центральных плоскостей (вспомогательные величины) Главные центральные моменты инерции см. табл. 25, стр. 127
<div data-bbox="445 1062 743 1398"> </div> <div data-bbox="757 1154 779 1292">Элемент 323</div>	$V = l [B\delta + b (A - \delta) + c (E - \delta)]$ $x_0 = \frac{1}{2} \cdot \frac{l}{V} \{ A^2 b + Ec \times [E + 2 (A - \delta)] + \delta (B - b - c) (2A - \delta) \}$ $y_0 = \frac{1}{2} \cdot \frac{l}{V} [b^2 (A - \delta) + Ec (2B - c) + \delta (B - c)^2]$ $z_0 = \frac{1}{2} l$	$J_{y_0 z_0} = \frac{1}{3} m \left\{ \frac{l}{V} \{ A^3 b + Ec \times [3 (A - \delta)^2 + E^2 + 3E (A - \delta)] + \delta (B - b - c) [3A (A - \delta) + \delta^2] \} - 3x_0^2 \right\}$ $J_{z_0 x_0} = \frac{1}{3} m \left\{ \frac{l}{V} \{ b^3 (A - \delta) + Ec [3B (B - c) + c^2] + \delta (B - c)^3 \} - 3y_0^2 \right\}$ $I_{x_0 y_0} = \frac{1}{12} m l^2$ $J_{x_0 y_0} = \frac{1}{4} m \left\{ \frac{l}{V} \{ A^2 b^2 + Ec \times (2B - c) [E + 2 (A - \delta)] + \delta (2A - \delta) [(B - c)^2 - b^2] \} - 4x_0 y_0 \right\}$

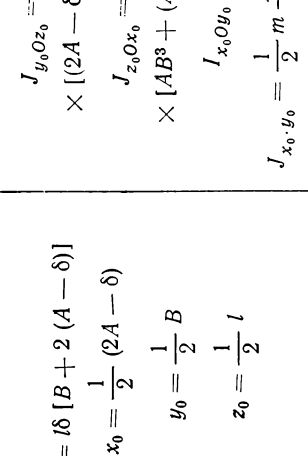
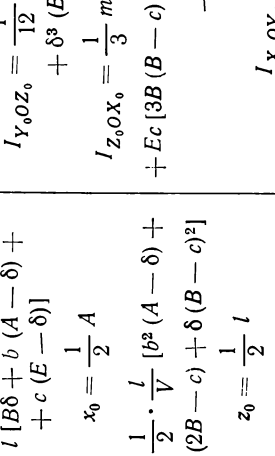
Продолжение табл. 13

Эскиз и номер элемента	Объем, координаты центра масс	Моменты инерции относительно центральных плоскостей (вспомогательные величины) Главные центральные моменты инерции см. табл. 25, стр. 127
<div data-bbox="445 1062 743 1398"> </div> <div data-bbox="757 1154 781 1295">Элемент 324</div>	$V = l\delta (A + B + E - 2\delta)$ $x_0 = \frac{1}{2} \cdot \frac{l\delta}{V} [(A + E)^2 - 2E\delta + (B - 2\delta)(2A - \delta)]$ $y_0 = \frac{1}{2} \cdot \frac{l\delta}{V} [B(B + 2E) + \delta(A - 2B - E)]$ $z_0 = \frac{1}{2} l$	$J_{y_0 z_0} = \frac{1}{3} m \left\{ \frac{l\delta}{V} \{A^3 + E^3 + 3E(A - \delta)(A + E - \delta) + (B - 2\delta)[3A(A - \delta) + \delta^2]\} - 3x_0^2 \right\}$ $J_{z_0 x_0} = \frac{1}{3} m \left\{ \frac{l\delta}{V} \{\delta^2(A + E - \delta) + (B - \delta)[3BE + (B - \delta)^2]\} - 3y_0^2 \right\}$ $I_{x_0 y_0} = \frac{1}{12} ml^2$ $J_{x_0 y_0} = \frac{1}{3} m \left\{ \frac{l\delta}{V} \{A^2\delta + E \times (2B - \delta)[E + 2(A - \delta)] + B(B - 2\delta)(2A - \delta)\} - 4x_0 y_0 \right\}$

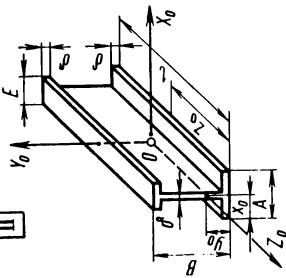
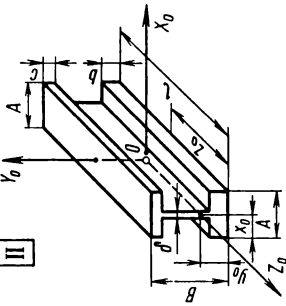
Продолжение табл. 13

Эскиз и номер элемента	Объем, координаты центра масс	Моменты инерции относительно центральных плоскостей (вспомогательные величины) Главные центральные моменты инерции см. табл. 25, стр. 127
<div data-bbox="445 1057 751 1390"> </div> <div data-bbox="773 1157 794 1295">Элемент 325</div>	$V = l [B\delta + (A - \delta)(b + c)]$ $x_0 = \frac{1}{2} \cdot \frac{l}{V} [A^2b + Ac \times (3A - 2\delta) + \delta(B - b - c)(2A - \delta)]$ $y_0 = \frac{1}{2} \cdot \frac{l}{V} [b^2(A - \delta) + Ac(2B - c) + \delta(B - c)^2]$ $z_0 = \frac{1}{2} l$	$J_{y_0 O z_0} = \frac{1}{3} m \left\{ \frac{l}{V} \{ A^3 (b + c) + 3Ac(A - \delta)(2A - \delta) + \delta(B - b - c)[3A(A - \delta) + \delta^2] - 3x_0^2 \} \right.$ $J_{z_0 O x_0} = \frac{1}{3} m \left\{ \frac{l}{V} \{ A(b^3 + c^3) + 3ABc(B - c) + \delta \times [(B - c)^3 - b^3] - 3y_0^2 \} \right.$ $I_{x_0 O y_0} = \frac{1}{12} ml^2$ $J_{x_0 \cdot y_0} = \frac{1}{4} m \left\{ \frac{l}{V} \{ A^2b^2 + Ac \times (2B - c)(3A - 2\delta) + \delta(2A - \delta)[(B - c)^2 - b^2] \} - 4x_0 y_0 \right\}$

Продолжение табл. 13

Эскиз и номер элемента	Объем, координаты центра масс	Моменты инерции относительно центральных плоскостей (вспомогательные величины) Главные центральные моменты инерции см. табл. 25, стр. 127
<p>I</p>  <p>Элемент 326</p>	$V = l\delta [B + 2(A - \delta)]$ $x_0 = \frac{1}{2} (2A - \delta)$ $y_0 = \frac{1}{2} B$ $z_0 = \frac{1}{2} l$	$J_{y_0Oz_0} = \frac{1}{12} m \frac{l\delta}{V} \times [(2A - \delta)^3 + \delta^3 (B - \delta)]$ $J_{z_0Ox_0} = \frac{1}{12} m \frac{l}{V} \times [AB^3 + (A - \delta)(B - 2\delta)^3]$ $I_{x_0Oy_0} = \frac{1}{12} ml^2$ $J_{x_0y_0} = \frac{1}{2} m \frac{A\delta l}{V} (A - \delta)(B - \delta)$
<p>II</p>  <p>Элемент 327</p>	$V = l[B\delta + b(A - \delta) + c(E - \delta)]$ $x_0 = \frac{1}{2} A$ $y_0 = \frac{1}{2} \cdot \frac{l}{V} [b^2(A - \delta) + Ec(2B - c) + \delta(B - c)^2]$ $z_0 = \frac{1}{2} l$	$I_{y_0Oz_0} = \frac{1}{12} m \frac{l}{V} [A^3b + E^3c + \delta^3(B - b - c)]$ $I_{z_0Ox_0} = \frac{1}{3} m \left\{ \frac{l}{V} [b^3(A - \delta) + Ec(3B - c) + c^3] + \delta(B - c)^3 \right\} - 3y_0^2 \left\{ \right.$ $\left. I_{x_0Oy_0} = \frac{1}{12} ml^2 \right.$

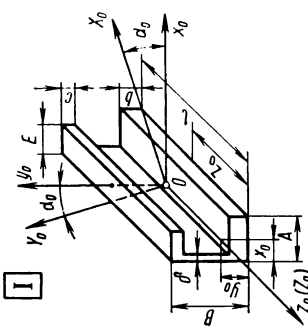
Продолжение табл. 13

Эскиз и номер элемента	Объем, координаты центра масс	Моменты инерции относительно центральных плоскостей (вспомогательные величины) Главные центральные моменты инерции см. табл. 25, стр. 127
<div data-bbox="285 1386 328 1419">II</div>  <div data-bbox="532 1003 558 1141">Элемент 328</div>	$V = l\delta(A + B + E - 2\delta)$ $x_0 = \frac{1}{2}A$ $y_0 = \frac{1}{2}\frac{l\delta}{V}[B(B + 2E) + \delta(A - 2B - E)]$ $z_0 = \frac{1}{2}l$	$I_{Y_0OZ_0} = \frac{1}{12}m\frac{l\delta}{V} \times [A^3 + E^3 + \delta^2(B - 2\delta)]$ $I_{Z_0OX_0} = \frac{1}{3}m\left\{\frac{l\delta}{V}[\delta^2(A + E - \delta) + (B - \delta)[3BE + (B - \delta)^2]] - 3y_0^2\right\}$ $I_{X_0OY_0} = \frac{1}{12}ml^2$
<div data-bbox="634 1386 678 1419">III</div>  <div data-bbox="898 995 923 1133">Элемент 329</div>	$V = l[B\delta + (A - \delta)(b + c)]$ $x_0 = \frac{1}{2}A$ $y_0 = \frac{1}{2} \cdot \frac{l}{V} [b^2(A - \delta) + Ac(2B - c) + \delta(B - c)^2]$ $z_0 = \frac{1}{2}l$	$I_{Y_0OZ_0} = \frac{1}{12}m\frac{l}{V}[A^3(b + c) + \delta^3(B - b - c)]$ $I_{Z_0OX_0} = -\frac{1}{3}m\left\{\frac{l}{V}[b^3(A - \delta) + Ac[3B(B - c) + c^2] + \delta(B - c)^3] - 3y_0^2\right\}$ $I_{X_0OY_0} = \frac{1}{12}ml^2$

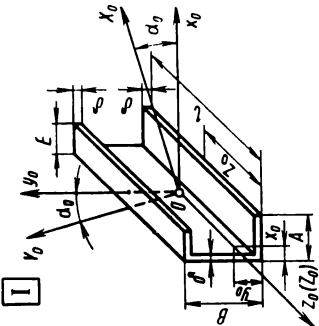
Продолжение табл. 13

Эскиз и номер элемента	Объем, координаты центра масс	Моменты инерции относительно центральных плоскостей (вспомогательные величины) Главные центральные моменты инерции см. табл. 25, стр. 127
<div data-bbox="423 1084 718 1377"> </div> <div data-bbox="751 1154 773 1295">Элемент 330</div>	$V = l\delta [B + 2(A - \delta)]$ $x_0 = \frac{1}{2} A$ $y_0 = \frac{1}{2} B$ $z_0 = \frac{1}{2} l$	$I_{Y_0 Z_0} = \frac{1}{12} m \frac{l\delta}{V} \times$ $\times [2A^3 + \delta^2 (B - 2\delta)]$ $I_{Z_0 X_0} = \frac{1}{12} m \frac{l}{V} \times$ $\times [AB^3 - (A - \delta)(B - 2\delta)^3]$ $I_{X_0 Y_0} = \frac{1}{12} ml^2$

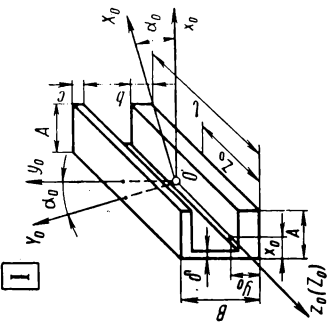
Продолжение табл. 13

Эскиз и номер элемента	Объем, координаты центра масс	Моменты инерции относительно центральных плоскостей (вспомогательные величины) Главные центральные моменты инерции см. табл. 25, стр. 127
<div data-bbox="436 1323 475 1356" style="border: 1px solid black; padding: 2px; display: inline-block;">I</div>  <p style="text-align: center;">Элемент 331</p>	$V = l [B\delta + b (A - \delta) + c (E - \delta)]$ $x_0 = \frac{1}{2} \cdot \frac{l}{V} [A^2b + E^2c + \delta^2 (B - b - c)]$ $y_0 = \frac{1}{2} \cdot \frac{l}{V} [b^2 (A - \delta) + Ec (2B - c) + \delta (B - c)^2]$ $z_0 = \frac{1}{2} l$	$J_{y_0Oz_0} = \frac{1}{3} m \left\{ \frac{l}{V} \times [A^3b + E^3c + \delta^3 (B - b - c)] - 3x_0^2 \right\}$ $J_{z_0Ox_0} = \frac{1}{3} m \left\{ \frac{l}{V} \times [b^3 (A - \delta) + Ec \times [3B (B - c) + c^2] + \delta (B - c)^2] - 3y_0^2 \right\}$ $I_{x_0Oy_0} = \frac{1}{12} ml^2$ $J_{x_0y_0} = \frac{1}{4} m \left\{ \frac{l}{V} [b^2 (A^2 - \delta^2) + E^2c (2B - c) + \delta^2 (B - c)^2] - 4x_0y_0 \right\}$

Продолжение табл. 13

Эскиз и номер элемента	Объем, координаты центра масс	Моменты инерции относительно центральных плоскостей (вспомогательные величины) Главные центральные моменты инерции см. табл. 25, стр. 127
 <p style="text-align: right;">Элемент 332</p>	$V = l\delta (A + B + E - 2\delta)$ $x_0 = \frac{1}{2} \cdot \frac{l\delta}{V} \times [A^2 + E^2 + \delta (B - 2\delta)]$ $y_0 = \frac{1}{2} \cdot \frac{l\delta}{V} [B (B + 2E) + \delta (A - 2B - E)]$ $z_0 = \frac{1}{2} l$	$J_{y_0 O z_0} = \frac{1}{3} m \left\{ \frac{l\delta}{V} \times [A^3 + E^3 + \delta^2 (B - 2\delta)] - 3x_0^2 \right\}$ $J_{z_0 O x_0} = \frac{1}{3} m \left\{ \frac{l\delta}{V} [\delta^2 (A + E - \delta) + (B - \delta) [3BE + (B - \delta)^2]] - 3y_0^2 \right\}$ $I_{x_0 O y_0} = \frac{1}{12} m l^2$ $J_{x_0 y_0} = \frac{1}{4} m \left\{ \frac{l\delta}{V} \times [\delta (A^2 + B^2 - E^2) + 2B (E^2 - \delta^2)] - 4x_0 y_0 \right\}$

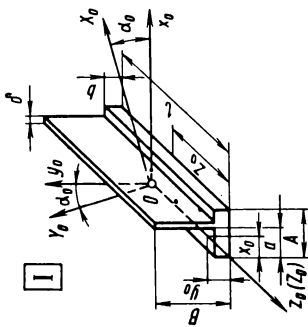
Продолжение табл. 13

Эскиз и номер элемента	Объем, координаты центра масс	Моменты инерции относительно центральных плоскостей (вспомогательные величины) Главные центральные моменты инерции см. табл. 25, стр. 127
 <p style="text-align: center;">Элемент 333</p>	$V = l [B\delta + (A - \delta)(b + c)]$ $x_0 = -\frac{1}{2} \cdot \frac{l}{V} [A^2(b + c) + \delta^2(B - b - c)]$ $y_0 = -\frac{1}{2} \cdot \frac{l}{V} [b^2(A - \delta) + \delta^2(B - b - c)]$ $z_0 = \frac{1}{2} l$	$J_{y_0 z_0} = \frac{1}{3} m \left\{ \frac{l}{V} \times \right.$ $\times [A^3(b + c) + \delta^3(B - b - c)] -$ $\left. - 3x_0^2 \right\}$ $J_{z_0 x_0} = \frac{1}{3} m \left\{ \frac{l}{V} \{b^3(A - \delta) + \right.$ $+ Ac[3B(B - c) + c^2] + \delta(B - c)^3\} -$ $\left. - 3y_0^2 \right\}$ $I_{x_0 y_0} = \frac{1}{12} ml^2$ $J_{x_0 y_0} = \frac{1}{4} m \left\{ \frac{l}{V} [b^2(A^2 - \delta^2) + \right.$ $+ A^2c(2B - c) + \delta^2(B - c)^2] -$ $\left. - 4x_0 y_0 \right\}$

Продолжение табл. 13

Эскиз и номер элемента	Объем, координаты центра масс	Моменты инерции относительно центральных плоскостей (вспомогательные величины) Главные центральные моменты инерции см. табл. 25, стр. 127
<div data-bbox="472 1068 756 1393"> </div> <div data-bbox="767 1154 794 1295">Элемент 334</div>	$V = l\delta [B + 2(A - \delta)]$ $x_0 = \frac{1}{2} \cdot \frac{l\delta}{V} \times$ $\times [2A^2 + \delta^2 (B - 2\delta)] -$ $y_0 = \frac{1}{2} B; \quad z_0 = \frac{1}{2} l$	$I_{Y_0OZ_0} = \frac{1}{3} m \left\{ \frac{l\delta}{V} \times \right.$ $\times [2A^2 + \delta^2 (B - 2\delta)] -$ $\left. - 3x_0^2 \right\}$ $I_{Z_0OX_0} = \frac{1}{12} m \frac{l}{V} [AB^3 -$ $- (A - \delta) (B - 2\delta)^3]$ $I_{X_0OY_0} = \frac{1}{12} ml^2$

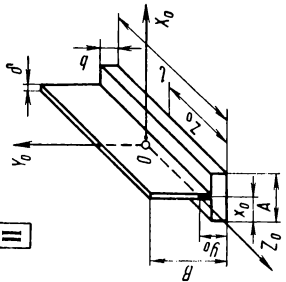
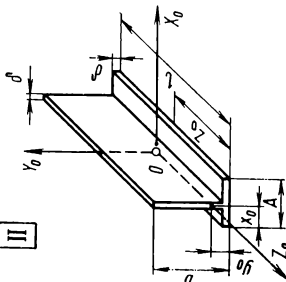
Продолжение табл. 13

Эскиз и номер элемента	Объем, координаты центра масс	Моменты инерции относительно центральных плоскостей (вспомогательные величины) Главные центральные моменты инерции см. табл. 25, стр. 127
 <p style="text-align: right;">Элемент 335</p>	$V = l [Ab + \delta (B - b)]$ $x_0 = \frac{1}{2} \cdot \frac{l}{V} [A^2b + \delta (B - b) (2a + \delta)]$ $y_0 = \frac{1}{2} \cdot \frac{l}{V} [Ab^2 + \delta (B^2 - b^2)]$ $z_0 = \frac{1}{2} l$	$J_{y_0 O z_0} = \frac{1}{3} m \left\{ \frac{l}{V} [A^3b + \delta (B - b) (3a^2 + \delta^2 + 3a\delta)] - 3x_0^2 \right\}$ $J_{z_0 O x_0} = \frac{1}{3} m \left\{ \frac{l}{V} \times [Ab^3 + \delta (B^3 - b^3)] - 3y_0^2 \right\}$ $I_{x_0 O y_0} = \frac{1}{12} ml^2$ $J_{x_0, y_0} = \frac{1}{4} m \left\{ \frac{l}{V} [A^2b^2 + \delta (2a + \delta) (B^2 - b^2)] - 4x_0 y_0 \right\}$

Продолжение табл. 13

Эскиз и номер элемента	Объем, координаты центра масс	Моменты инерции относительно центральных плоскостей (вспомогательные величины) Главные центральные моменты инерции см. табл. 25, стр. 127
<div data-bbox="426 1065 743 1382"> </div> <div data-bbox="765 1154 792 1292" style="text-align: right;"> <p>Элемент 336</p> </div>	$V = \delta (A + B - \delta)$ $x_0 = \frac{1}{2} \cdot \frac{\delta}{V} \times$ $\times [A^2 + (B - \delta) (2a + \delta)]$ $y_0 = \frac{1}{2} \cdot \frac{\delta}{V} \times$ $\times [A\delta + (B^2 - \delta^2)]$ $z_0 = \frac{1}{2} l$	$J_{y_0 O z_0} = \frac{1}{3} m \left\{ \frac{\delta}{V} [A^3 + \right.$ $\left. + (B - \delta) (3a^2 + \delta^2 + 3a\delta)] - \right.$ $\left. - 3x_0^2 \right\}$ $J_{z_0 O x_0} = \frac{1}{3} m \times$ $\times \left\{ \frac{\delta}{V} [A\delta^2 + (B^3 - \delta^3)] - 3y_0^2 \right\}$ $I_{x_0 O y_0} = \frac{1}{12} ml^2$ $J_{x_0 y_0} = \frac{1}{4} m \left\{ \frac{\delta}{V} [A^2 \delta + \right.$ $\left. + (2a + \delta) (B^2 - \delta^2)] - 4x_0 y_0 \right\}$

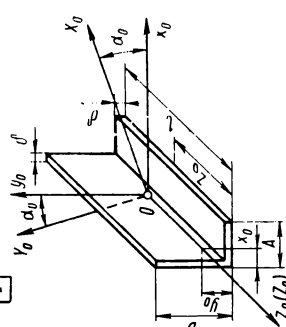
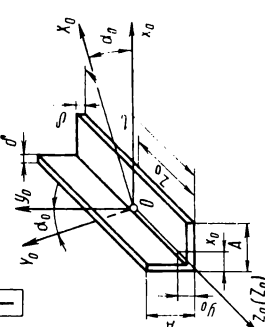
Продолжение табл. 13

Эскиз и номер элемента	Объем, координаты центра масс	Моменты инерции относительно центральных плоскостей (вспомогательные величины) Главные центральные моменты инерции см. табл. 25, стр. 127
<div data-bbox="281 1382 325 1414">II</div>  <div data-bbox="532 992 554 1130">Элемент 337</div>	$V = l [Ab + \delta (B - b)]$ $x_0 = \frac{1}{2} A$ $y_0 = \frac{1}{2} \cdot \frac{l}{V} \times$ $\times [Ab^2 + \delta (B^2 - b^2)]$ $z_0 = \frac{1}{2} l$	$I_{Y_0 OZ_0} = \frac{1}{12} m \frac{l}{V} \times$ $\times [A^3 b + \delta^3 (B - b)]$ $I_{Z_0 OX_0} = \frac{1}{3} m \times$ $\times \left\{ \frac{l}{V} [Ab^3 + \delta (B^3 - b^3)] - \right.$ $\left. - 3y_0^2 \right\}$ $I_{X_0 OY_0} = \frac{1}{12} ml^2$
<div data-bbox="639 1382 683 1414">II</div>  <div data-bbox="891 992 912 1138">Элемент 338</div>	$V = l\delta (A + B - \delta)$ $x_0 = \frac{1}{2} A$ $y_0 = \frac{1}{2} \cdot \frac{l\delta}{V} \times$ $\times [A\delta^2 + (B^3 - \delta^3)]$ $z_0 = \frac{1}{2} l$	$I_{Y_0 OZ_0} = \frac{1}{12} m \frac{l\delta}{V} \times$ $\times [A^3 + \delta^2 (B - \delta)]$ $I_{Z_0 OX_0} = \frac{1}{3} m \times$ $\times \left\{ \frac{l\delta}{V} [A\delta^2 + (B^3 - \delta^3)] - 3y_0^2 \right\}$ $I_{X_0 OY_0} = \frac{1}{12} ml^2$

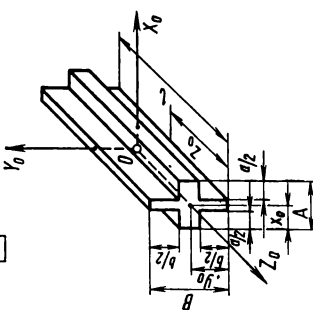
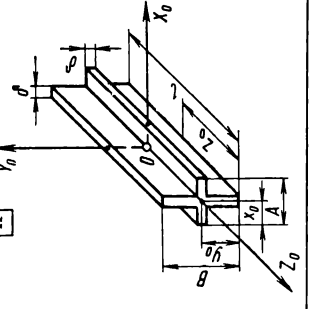
Продолжение табл. 13

Эскиз и номер элемента	Объем, координаты центра масс	Моменты инерции относительно центральных плоскостей (вспомогательные величины) Главные центральные моменты инерции см. табл. 25, стр. 127
<div data-bbox="423 1062 746 1377"> </div> <p data-bbox="768 1154 790 1289">Элемент 339</p>	$V = l [A b + \delta (B - b)]$ $x_0 = \frac{1}{2} \cdot \frac{l}{V} \times$ $\times [A^2 b + \delta^2 (B - b)]$ $y_0 = \frac{1}{2} \cdot \frac{l}{V} \times$ $\times [A b^2 + \delta (B^2 - b^2)]$ $z_0 = \frac{1}{2} l$	$J_{y_0 O z_0} = \frac{1}{3} m \left\{ \frac{l}{V} \times \right.$ $\times [A^3 b + \delta^3 (B - b)] - 3 x_0^2 \left. \right\}$ $J_{z_0 O x_0} = \frac{1}{3} m \left\{ \frac{l}{V} \times \right.$ $\times [A b^3 + \delta (B^3 - b^3)] - 3 y_0^2 \left. \right\}$ $I_{x_0 O y_0} = \frac{1}{12} m l^2$ $J_{x_0 \cdot y_0} = \frac{1}{4} m \left\{ \frac{l}{V} [A^2 b^2 + \delta^2 \times \right.$ $\times (B^2 - b^2)] - 4 x_0 y_0 \left. \right\}$

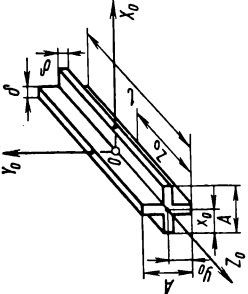
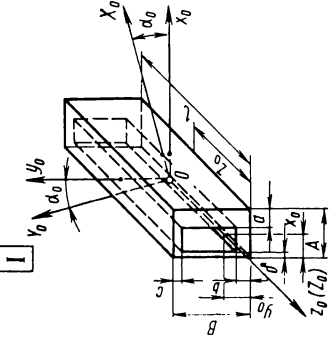
Продолжение табл. 13

Эскиз и номер элемента	Объем, координаты центра масс	Моменты инерции относительно центральных плоскостей (вспомогательные величины) Главные центральные моменты инерции см. табл. 25, стр. 127
<div data-bbox="300 1323 338 1356" style="border: 1px solid black; padding: 2px; display: inline-block;">I</div>  <p style="text-align: center;">Элемент 340</p>	$V = l\delta (A + B - \delta)$ $x_0 = \frac{1}{2} \cdot \frac{l\delta}{V} [A^2 + \delta(B - \delta)]$ $y_0 = \frac{1}{2} \cdot \frac{l\delta}{V} [A\delta + (B^2 - \delta^2)]$ $z_0 = \frac{1}{2} l$	$J_{y_0 O z_0} = \frac{1}{3} m \left\{ \frac{l\delta}{V} [A^3 + \delta^3 \times \right.$ $\times (B - \delta)] - 3x_0^2 \}$ $J_{z_0 O x_0} = \frac{1}{3} m \left\{ \frac{l\delta}{V} [A\delta^2 + \right.$ $+ (B^3 - \delta^3)] - 3y_0^2 \}$ $I_{x_0 O y_0} = \frac{1}{12} ml^2$ $J_{x_0 y_0} = -\frac{1}{4} m \frac{l^2 \delta^2}{V^2} \times$ $\times AB (A - \delta) (B - \delta)$
<div data-bbox="671 1404 709 1437" style="border: 1px solid black; padding: 2px; display: inline-block;">I</div>  <p style="text-align: center;">Элемент 341</p>	$V = l\delta (2A - \delta)$ $x_0 = y_0 = \frac{1}{2} \cdot \frac{l\delta}{V} \times$ $\times [A^2 + \delta (A - \delta)]$ $z_0 = \frac{1}{2} l$	$J_{y_0 O z_0} = J_{z_0 O x_0} = \frac{1}{3} m \times$ $\times \left\{ \frac{l\delta}{V} [A^3 + \delta^3 (A - \delta)] - \right.$ $\left. - 3x_0^2 \right\}$ $I_{x_0 O y_0} = \frac{1}{12} ml^2$ $\alpha_0 = -45^\circ$

Продолжение табл. 13

Эскиз и номер элемента	Объем, координаты центра масс	Моменты инерции относительно центральных плоскостей (вспомогательные величины) Главные центральные моменты инерции см. табл. 25, стр. 127
<div data-bbox="267 190 311 235">II</div>  <p style="text-align: center;">Элемент 342</p>	$V = l (AB - ab)$ $x_0 = \frac{1}{2} A$ $y_0 = \frac{1}{2} B; \quad z_0 = \frac{1}{2} l$	$I_{Y_0 O Z_0} = \frac{1}{12} m \frac{l}{V} \times$ $\times [A^3 B - 3Aab (A - a) - a^3 b]$ $I_{Z_0 O X_0} = \frac{1}{12} m \frac{l}{V} \times$ $\times [AB^3 - 3Bab (B - b) - ab^3]$ $I_{X_0 O Y_0} = \frac{1}{12} ml^2$
<div data-bbox="627 190 671 235">II</div>  <p style="text-align: center;">Элемент 343</p>	$V = l\delta (A + B - \delta)$ $x_0 = \frac{1}{2} A$ $y_0 = \frac{1}{2} B$ $z_0 = \frac{1}{2} l$	$I_{Y_0 O Z_0} = \frac{1}{12} m \frac{l\delta}{V} \times$ $\times [A^3 + \delta^2 (B - \delta)]$ $I_{Z_0 O X_0} = \frac{1}{12} m \frac{l\delta}{V} \times$ $\times [B^3 + \delta^2 (A - \delta)]$ $I_{X_0 O Y_0} = \frac{1}{12} ml^2$

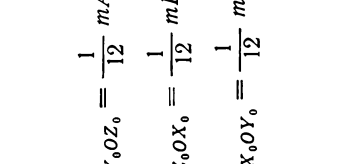
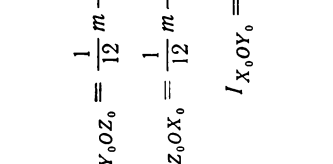
Продолжение табл. 13

Эскиз и номер элемента	Объем, координаты центра масс	Моменты инерции относительно центральных плоскостей (вспомогательные величины) Главные центральные моменты инерции см. табл. 25, стр. 127
<div data-bbox="281 1398 319 1430">II</div>  <div data-bbox="516 1003 538 1141">Элемент 344</div>	$V = l\delta (2A - \delta)$ $x_0 = y_0 = \frac{1}{2} A;$ $z_0 = \frac{1}{2} l$	$I_{y_0 O z_0} = I_{z_0 O x_0} = \frac{1}{12} \times$ $\times m \frac{l\delta}{V} [A^3 + \delta^2 (A - \delta)]$ $I_{x_0 O y_0} = \frac{1}{12} m l^2$
<div data-bbox="598 1312 636 1344">I</div>  <div data-bbox="936 1157 958 1295">Элемент 345</div>	$V = l (AB - kn)$ $x_0 = \frac{1}{2} \cdot \frac{l}{V} [A^2 B -$ $- kn (k + 2\delta)]$ $y_0 = \frac{1}{2} \cdot \frac{l}{V} [AB^2 -$ $- kn (n + 2b)]$ $z_0 = \frac{1}{2} l$	$J_{y_0 O z_0} = \frac{1}{3} m \left\{ \frac{l}{V} [A^3 B - k^3 n -$ $- 3kn\delta (k + \delta)] - 3x_0^2 \right\}$ $J_{z_0 O x_0} = \frac{1}{3} m \left\{ \frac{l}{V} [AB^3 - kn^3 -$ $- 3kn\delta (n + b)] - 3y_0^2 \right\}$ $I_{x_0 O y_0} = \frac{1}{12} m l^2$ $J_{x_0 y_0} = \frac{1}{4} m \left\{ \frac{l}{V} [A^2 B^2 -$ $- kn (k + 2\delta) (n + 2b)] - 4x_0 y_0 \right\}$

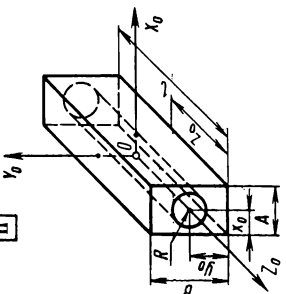
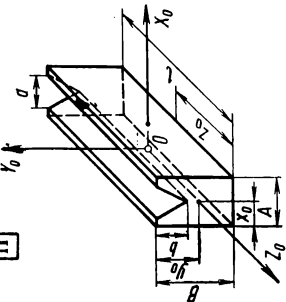
Продолжение табл. 13

Эскиз и номер элемента	Объем, координаты центра масс	Моменты инерции относительно центральных плоскостей (вспомогательные величины) Главные центральные моменты инерции см. табл. 2Б, стр. 127				
<p>В формулах $k = A - a - \delta$; $n = B - b - c$</p> <p>Формулы для некоторых тел, полученные подстановкой значений параметров a, b, c, δ, B и l, приведены на следующих страницах:</p>						
Пара- метры	$c=b$; $a=\delta$	$a=b$ $=c=\delta$	$c=b$; $a=\delta$; $B=A$	$a=b$ $=c=\delta$; $B=A$	$a+\delta$ $=B=A$ $b+c$ $=B=A$	
Страница	444	444	450	451	445	451
Элемент	346	347	359	360	348	361
Пара- метры	$a+\delta$ $=B=l$ $=A$; $b+c$ $=B=l$ $=A$	$a=0$	$a=0$; $c=b=\delta$	$c=a=0$	$c=a=0$; $b=\delta$; $B=A$	$c=a=0$; $b=\delta$; $B=A$
Страница	452	434	435	439	440	440
Элемент	362	333	334	339	340	341

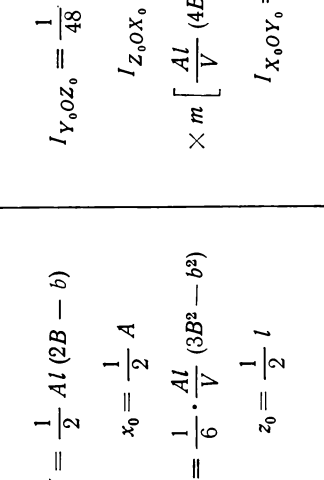
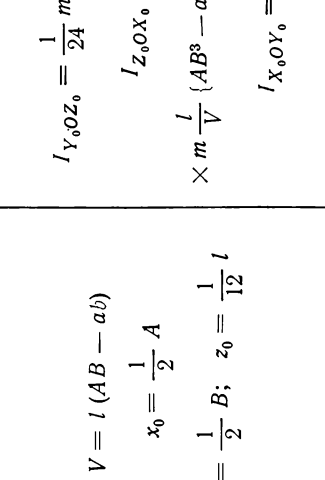
Продолжение табл. 13

Эскиз и номер элемента	Объем, координаты центра масс	Моменты инерции относительно центральных плоскостей (вспомогательные величины) Главные центральные моменты инерции см. табл. 25, стр. 127
<div data-bbox="270 402 606 565">  </div> <p data-bbox="270 565 606 592">Элемент 348</p>	$V = AB l$ $x_0 = \frac{1}{2} A = 0,5A$ $y_0 = \frac{1}{2} B = 0,5B$ $z_0 = \frac{1}{2} l = 0,5l$	$I_{Y_0 Z_0} = \frac{1}{12} m A^2 = 0,08333 m A^2$ $I_{Z_0 X_0} = \frac{1}{12} m B^2 = 0,08333 m B^2$ $I_{X_0 Y_0} = \frac{1}{12} m l^2 = 0,08333 m l^2$
<div data-bbox="627 402 958 565">  </div> <p data-bbox="627 565 958 592">Элемент 349</p>	$V = l (AB - \pi a b)$ $x_0 = \frac{1}{2} A$ $y_0 = \frac{1}{2} B; \quad z_0 = \frac{1}{2} l$	$I_{Y_0 Z_0} = \frac{1}{12} m \frac{l}{V} (A^3 B - 3 \pi a^3 b)$ $I_{Z_0 X_0} = \frac{1}{12} m \frac{l}{V} (AB^3 - 3 \pi a b^3)$ $I_{X_0 Y_0} = \frac{1}{12} m l^2$

Продолжение табл. 13

Эскиз и номер элемента	Объем, координаты центра масс	Моменты инерции относительно центральных плоскостей (вспомогательные величины) Главные центральные моменты инерции см. табл. 25 стр. 127
<div data-bbox="289 1372 327 1404">II</div>  <div data-bbox="551 998 584 1144" style="text-align: center;">Элемент 350</div>	$V = l (AB - \pi R^2)$ $x_0 = \frac{1}{2} A$ $y_0 = \frac{1}{2} B; \quad z_0 = \frac{1}{2} l$	$I_{Y_0 O Z_0} = \frac{1}{12} m \frac{l}{V} (A^3 B - 3\pi R^4)$ $I_{Z_0 O X_0} = \frac{1}{12} m \frac{l}{V} (AB^3 - 3\pi R^4)$ $I_{X_0 O Y_0} = \frac{1}{12} m l^2$
<div data-bbox="633 1380 671 1412">III</div>  <div data-bbox="900 998 933 1144" style="text-align: center;">Элемент 351</div>	$V = \frac{1}{2} l (2AB - ab)$ $x_0 = \frac{1}{2} A$ $y_0 = \frac{l}{6V} (3AB^2 - ab^2)$ $z_0 = \frac{1}{2} l$	$I_{Y_0 O Z_0} = \frac{l}{48} m \frac{1}{V} (4A^3 B - a^3 b)$ $I_{Z_0 O X_0} = \frac{1}{12} m \times$ $\times \left[\frac{l}{V} (4AB^3 - ab^3) - 12y_0^2 \right]$ $I_{X_0 O Y_0} = \frac{1}{12} m l^2$

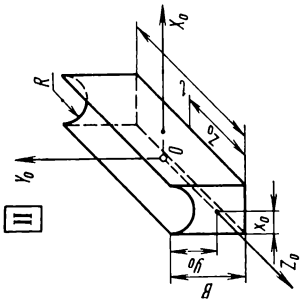
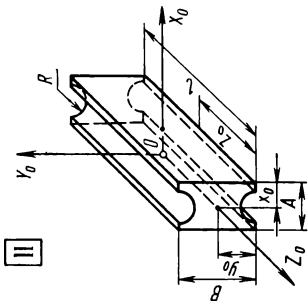
Продолжение табл. 13

Эскиз и номер элемента	Объем, координаты центра масс	Моменты инерции относительно центральных плоскостей (вспомогательные величины) Главные центральные моменты инерции см. табл. 25, стр. 127
 <p style="text-align: center;">Элемент 352</p>	$V = \frac{1}{2} Al (2B - b)$ $x_0 = \frac{1}{2} A$ $y_0 = \frac{1}{6} \cdot \frac{Al}{V} (3B^2 - b^2)$ $z_0 = \frac{1}{2} l$	$I_{Y_0 O Z_0} = \frac{1}{48} m \frac{A^3 l}{V} (4B - b)$ $I_{Z_0 O X_0} = \frac{1}{12} \times$ $\times m \left[\frac{Al}{V} (4B^3 - b^3) - 12y_0^2 \right]$ $I_{X_0 O Y_0} = \frac{1}{12} ml^2$
 <p style="text-align: center;">Элемент 353</p>	$V = l (AB - ab)$ $x_0 = \frac{1}{2} A$ $y_0 = \frac{1}{2} B; \quad z_0 = \frac{1}{12} l$	$I_{Y_0 O Z_0} = \frac{1}{24} m \frac{l}{V} (2A^3 B - a^3 b)$ $I_{Z_0 O X_0} = \frac{1}{12} \times$ $\times m \frac{l}{V} \{ AB^3 - ab [2(B - b)^2 + B^2] \}$ $I_{X_0 O Y_0} = \frac{1}{12} ml^2$

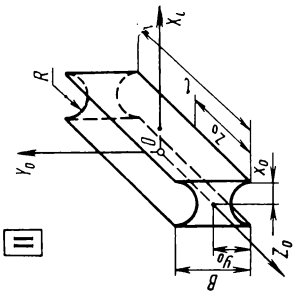
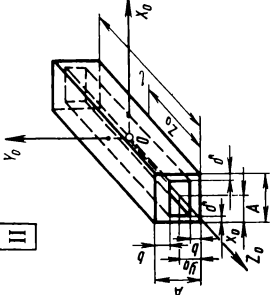
Продолжение табл. 13

Эскиз и номер элемента	Объем, координаты центра масс	Моменты инерции относительно центральных плоскостей (вспомогательные величины) Главные центральные моменты инерции см. табл. 25, стр. 127
<div data-bbox="278 1079 573 1388"> </div> <div data-bbox="595 1144 616 1291">Элемент 354</div>	$V = Al(B - b)$ $x_0 = \frac{1}{2} A$ $y_0 = \frac{1}{2} B; \quad z_0 = \frac{1}{2} l$	$I_{Y_0 O Z_0} = \frac{1}{24} m \frac{A^3 l}{V} (2B - b)$ $I_{Z_0 O X_0} = \frac{1}{12} m [B^3 - 2b(B - b)]$ $I_{X_0 O Y_0} = \frac{1}{12} m l^2$
<div data-bbox="635 1079 930 1388"> </div> <div data-bbox="944 1144 966 1291">Элемент 355</div>	$V = \frac{1}{2} l (2AB - \pi R^2)$ $x_0 = \frac{1}{2} A$ $y_0 = \frac{1}{6} \cdot \frac{l}{V} (3AB^2 - 4R^3)$ $z_0 = \frac{1}{2} l$	$I_{Y_0 O Z_0} = \frac{1}{24} m \frac{l}{V} (2A^3 B - 3\pi R^4)$ $I_{Z_0 O X_0} = \frac{1}{24} m \times$ $\times m \left[\frac{l}{V} (8AB^3 - 3\pi R^4) - 24y_0^2 \right]$ $I_{X_0 O Y_0} = \frac{1}{12} m l^2$

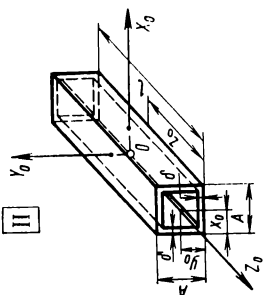
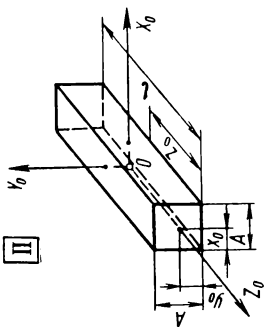
Продолжение табл. 13

Эскиз и номер элемента	Объем, координаты центра масс	Моменты инерции относительно центральных плоскостей (вспомогательные величины) Главные центральные моменты инерции см. табл. 25, стр. 127
 <p style="text-align: center;">Элемент 356</p>	$V = \frac{1}{2} Rl (4B - \pi R)$ $x_0 = R$ $y_0 = \frac{1}{3} \cdot \frac{Rl}{V} (3B^2 - 2R^2)$ $z_0 = \frac{1}{2} l$	$I_{Y_0OZ_0} = \frac{1}{24} m \frac{R^3 l}{V} (16B - 3\pi R)$ $I_{Z_0OX_0} = \frac{1}{24} \times$ $\times m \left[\frac{Rl}{V} (16B^3 - 3\pi R^3) - 24y_0^2 \right]$ $I_{X_0OY_0} = \frac{1}{12} ml^2$
 <p style="text-align: center;">Элемент 357</p>	$V = l (AB - \pi R^2)$ $x_0 = \frac{1}{2} A$ $y_0 = \frac{1}{2} B; \quad z_0 = \frac{1}{2} l$	$I_{Y_0OZ_0} = \frac{1}{12} m \frac{l}{V} (A^3 B - 3\pi R^4)$ $I_{Z_0OX_0} = \frac{1}{12} m \frac{l}{V} \times$ $\times [B (AB^2 + 16R^3) - 3\pi R^2 (B^2 + R^2)]$ $I_{X_0OY_0} = \frac{1}{12} ml^2$

Продолжение табл. 13

Эскиз и номер элемента	Объем, координаты центра масс	Моменты инерции относительно центральных плоскостей (вспомогательные величины) Главные центральные моменты инерции см. табл. 25, стр. 127
<div data-bbox="289 1079 584 1372">  </div> <div data-bbox="595 1144 616 1282">Элемент 358</div>	$V = Rl(2B - \pi R)$ $x_0 = R$ $y_0 = \frac{1}{2} B$ $z_0 = \frac{1}{2} l$	$I_{Y_0OZ_0} = \frac{1}{12} m \frac{R^3 l}{V} (8B - 3\pi R)$ $I_{Z_0OX_0} = \frac{1}{12} m \frac{Rl}{V} \times$ $\times [2B(B^2 + 8R^2) - 3\pi R(B^2 + R^2)]$ $I_{X_0OY_0} = \frac{1}{12} ml^2$
<div data-bbox="638 1079 911 1372">  </div> <div data-bbox="922 1144 944 1282">Элемент 359</div>	$V = l(A^2 - kn)$ $x_0 = y_0 = \frac{1}{2} A$ $z_0 = \frac{1}{2} l$	$I_{Y_0OZ_0} = \frac{1}{12} m \frac{l}{V} (A^4 - k^3 n)$ $I_{Z_0OX_0} = \frac{1}{12} m \frac{l}{V} (A^4 - kn^3)$ $I_{X_0OY_0} = \frac{1}{12} ml^2$ <p data-bbox="917 503 944 925">В формулах $k = A - 2\delta$; $n = B - 2b$</p>

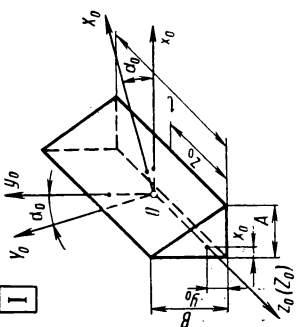
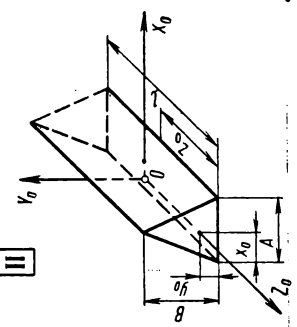
Продолжение табл. 13

Эскиз и номер элемента	Объем, координаты центра масс	Моменты инерции относительно центральных плоскостей (вспомогательные величины) Главные центральные моменты инерции см. табл. 25, стр. 127
 <p style="text-align: center;">Элемент 360</p>	$V = 4l\delta(A - \delta)$ $x_0 = y_0 = \frac{1}{2}A;$ $z_0 = \frac{1}{2}l$	$I_{y_0 z_0} = I_{z_0 x_0} = \frac{1}{6}m \times$ $\times [A^2 - 2\delta(A - \delta)]$ $I_{x_0 y_0} = \frac{1}{12}ml^2$
 <p style="text-align: center;">Элемент 361</p>	$V = A^2 l$ $x_0 = y_0 = \frac{1}{2}A = 0,5A;$ $z_0 = \frac{1}{2}l = 0,5l$	$I_{y_0 z_0} = I_{z_0 x_0} = \frac{1}{12}mA^2 =$ $= 0,08333mA^2$ $I_{x_0 y_0} = \frac{1}{12}ml^2 = 0,08333ml^2$

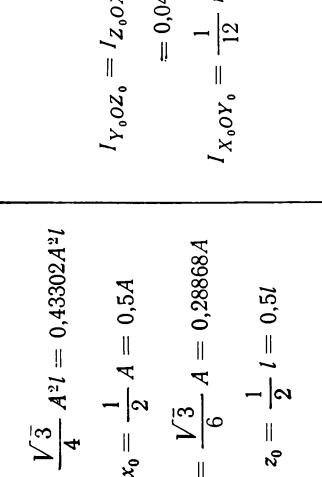
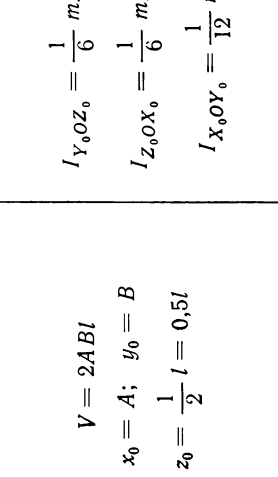
Продолжение табл. 13

Эскиз и номер элемента	Объем, координаты центра масс	Моменты инерции относительно центральных плоскостей (вспомогательные величины) Главные центральные моменты инерции см. табл. 25, стр. 127
<div data-bbox="292 1084 536 1365"> </div> <div data-bbox="565 1149 590 1284">Элемент 362</div>	$V = A^3$ $x_0 = y_0 = z_0 = \frac{1}{2} A = 0,5A$	$I_{y_0 O z_0} = I_{z_0 O x_0} = I_{x_0 O y_0} =$ $= \frac{1}{12} m A^2 = 0,08333 m A^2$
<div data-bbox="631 1068 929 1393"> </div> <div data-bbox="940 1149 965 1284">Элемент 363</div>	$V = \frac{1}{2} A B l$ $x_0 = \frac{1}{3} (A + 2a)$ $y_0 = \frac{1}{3} B$ $z_0 = \frac{1}{2} l$	$J_{y_0 O z_0} = \frac{1}{18} m (A^2 + Aa + a^2)$ $J_{z_0 O x_0} = \frac{1}{18} m B^2$ $I_{x_0 O y_0} = \frac{1}{12} m l^2$ $J_{x_0 y_0} = -\frac{1}{36} m B (A + 2a)$

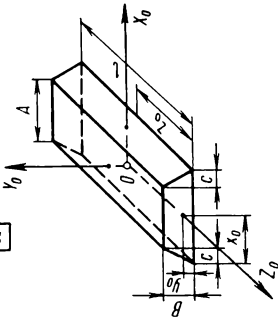
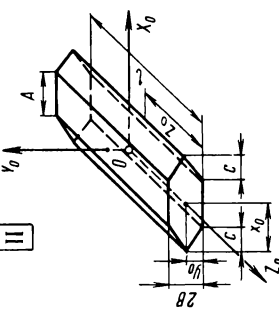
Продолжение табл. 13

Эскиз и номер элемента	Объем, координаты центра масс	Моменты инерции относительно центральных плоскостей (вспомогательные величины) Главные центральные моменты инерции см. табл. 25, стр. 127
<p>I</p>  <p style="text-align: right;">Элемент 364</p>	$V = \frac{1}{2} AB l = 0,5 AB l$ $x_0 = \frac{1}{3} A = 0,33333 A$ $y_0 = \frac{1}{3} B = 0,33333 B$ $z_0 = \frac{1}{2} l = 0,5 l$	$J_{y_0 O z_0} = \frac{1}{18} m A^2 = 0,05556 m A^2$ $J_{z_0 O x_0} = \frac{1}{18} m B^2 = 0,05556 m B^2$ $I_{x_0 O y_0} = \frac{1}{12} m l^2 = 0,08333 m l^2$ $J_{x_0 y_0} = -\frac{1}{36} m A B =$ $= -0,02778 m A B$
<p>II</p>  <p style="text-align: right;">Элемент 365</p>	$V = \frac{1}{2} AB l = 0,5 AB l$ $x_0 = \frac{1}{2} A = 0,5 A$ $y_0 = \frac{1}{3} B = 0,33333 B$ $z_0 = \frac{1}{2} l$	$I_{y_0 O z_0} = \frac{1}{24} m A^2 = 0,04167 m A^2$ $I_{z_0 O x_0} = \frac{1}{18} m B^2 = 0,05556 m B^2$ $I_{x_0 O y_0} = \frac{1}{12} m l^2 = 0,08333 m l^2$

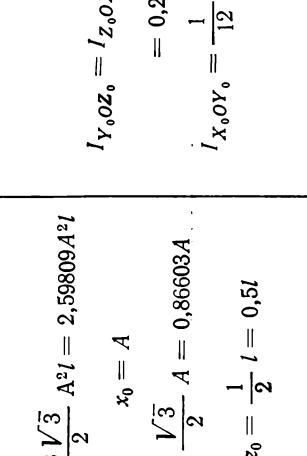
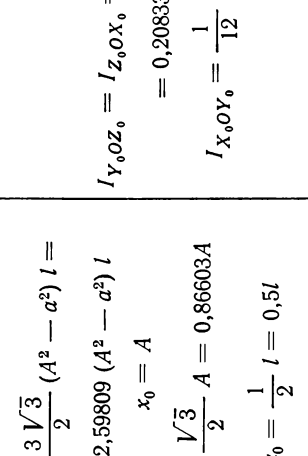
Продолжение табл. 13

Эскиз и номер элемента	Объем, координаты центра масс	Моменты инерции относительно центральных плоскостей (вспомогательные величины) Главные центральные моменты инерции см. табл. 25, стр. 127
<div data-bbox="281 1365 321 1398" style="border: 1px solid black; padding: 2px; display: inline-block;">III</div>  <p style="text-align: right;">Элемент 366</p>	$V = \frac{\sqrt{3}}{4} A^2 l = 0,43302 A^2 l$ $x_0 = \frac{1}{2} A = 0,5 A$ $y_0 = \frac{\sqrt{3}}{6} A = 0,28868 A$ $z_0 = \frac{1}{2} l = 0,5 l$	$I_{Y_0 O Z_0} = I_{Z_0 O X_0} = \frac{1}{24} mA^2 =$ $= 0,04167 mA^2$ $I_{X_0 O Y_0} = \frac{1}{12} ml^2 = 0,08333 ml^2$
<div data-bbox="653 1365 692 1398" style="border: 1px solid black; padding: 2px; display: inline-block;">II</div>  <p style="text-align: right;">Элемент 367</p>	$V = 2ABl$ $x_0 = A; \quad y_0 = B$ $z_0 = \frac{1}{2} l = 0,5 l$	$I_{Y_0 O Z_0} = \frac{1}{6} mA^3 = 0,16667 mA^3$ $I_{Z_0 O X_0} = \frac{1}{6} mB^3 = 0,16667 mB^3$ $I_{X_0 O Y_0} = \frac{1}{12} ml^2 = 0,08333 ml^2$

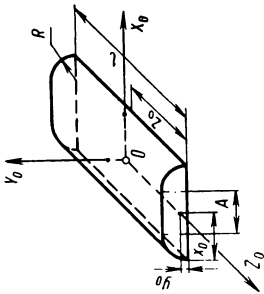
Продолжение табл. 13

Эскиз и номер элемента	Объем, координаты центра масс	Моменты инерции относительно центральных плоскостей (вспомогательные величины) Главные центральные моменты инерции см. табл. 25, стр. 127
<div data-bbox="295 1360 336 1393">II</div>  <p style="text-align: center;">Элемент 368</p>	$V = Bl(A + c)$ $x_0 = \frac{1}{2}(A + 2c)$ $y_0 = \frac{1}{6}B\left(3 - \frac{c}{A + c}\right)$ $z_0 = \frac{1}{2}l$	$I_{Y_0OZ_0} = \frac{1}{12} m [(A + c)^2 + c^2]$ $I_{Z_0OX_0} = \frac{1}{36} m B^2 \left[3 - \frac{c^2}{(A + c)^2} \right]$ $I_{X_0OY_0} = \frac{1}{12} m l^2$
<div data-bbox="656 1360 696 1393">II</div>  <p style="text-align: center;">Элемент 369</p>	$V = 2Bl(A + c)$ $x_0 = \frac{1}{2}(A + 2c)$ $y_0 = B; \quad z_0 = \frac{1}{2}l$	$I_{Y_0OZ_0} = \frac{1}{12} m [(A + c)^2 + c^2]$ $I_{Z_0OX_0} = \frac{1}{6} m B^2 \left(2 - \frac{c}{A + c} \right)$ $I_{X_0OY_0} = \frac{1}{12} m l^2$

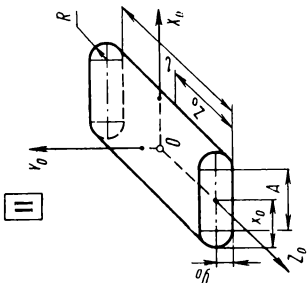
Продолжение табл. 13

Эскиз и номер элемента	Объем, координаты центра масс	Моменты инерции относительно центральных плоскостей (вспомогательные величины) Главные центральные моменты инерции см. табл. 25, стр. 127
<div data-bbox="270 191 306 228">II</div>  <div data-bbox="558 992 587 1138">Элемент 370</div>	$V = \frac{3\sqrt{3}}{2} A^2 l = 2,59809 A^2 l$ $x_0 = A$ $y_0 = \frac{\sqrt{3}}{2} A = 0,86603 A$ $z_0 = \frac{1}{2} l = 0,5 l$	$I_{y_0 z_0} = I_{z_0 y_0} = \frac{5}{24} mA^3 =$ $= 0,20833 mA^3$ $I_{x_0 y_0} = \frac{1}{12} ml^2 = 0,08333 ml^2$
<div data-bbox="620 191 656 228">II</div>  <div data-bbox="907 992 936 1138">Элемент 371</div>	$V = \frac{3\sqrt{3}}{2} (A^2 - a^2) l =$ $= 2,59809 (A^2 - a^2) l$ $x_0 = A$ $y_0 = \frac{\sqrt{3}}{2} A = 0,86603 A$ $z_0 = \frac{1}{2} l = 0,5 l$	$I_{y_0 z_0} = I_{z_0 y_0} = \frac{5}{24} m (A^2 + a^2) =$ $= 0,20833 m (A^2 + a^2)$ $I_{x_0 y_0} = \frac{1}{12} ml^2 = 0,08333 ml^2$

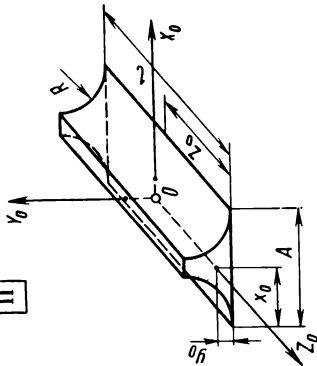
Продолжение табл. 13

Эскиз и номер элемента	Объем, координаты центра масс	Моменты инерции относительно центральных плоскостей (вспомогательные величины) Главные центральные моменты инерции см. табл. 25, стр. 127
<div data-bbox="456 1385 497 1417" style="border: 1px solid black; padding: 2px; display: inline-block;">II</div>  <p style="text-align: right;">Элемент 372</p>	$V = \frac{1}{2} R l (A + \pi R)$ $x_0 = \frac{1}{2} (A + 2R)$ $y_0 = \frac{1}{6} \cdot \frac{R^2 l}{V} (3A + 4R)$ $z_0 = \frac{1}{2} l$	$I_{Y_0 O Z_0} = \frac{1}{24} m \frac{R l}{V} \times$ $\times [3\pi R (A^2 + R^2) + 2A (A^2 + 8R^2)]$ $I_{Z_0 O X_0} = \frac{1}{24} m \times$ $\times \left[\frac{R^3 l}{V} (8A + 3\pi R) - 24 y_0^2 \right]$ $I_{X_0 O Y_0} = \frac{1}{12} m l^2$

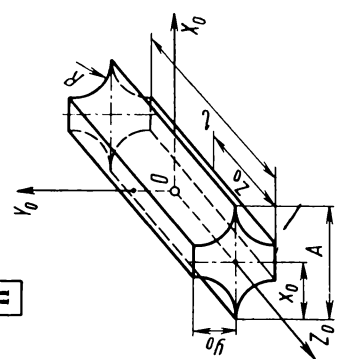
Продолжение табл. 13

Эскиз и номер элемента	Объем, координаты центра масс	Моменты инерции относительно центральных плоскостей (вспомогательные величины) Главные центральные моменты инерции см. табл. 25, стр. 127
 <p style="text-align: center;">Элемент 373</p>	$V = Rl(2A + \pi R) = \begin{cases} K_1 A^2 l \\ K'_1 R^2 l \end{cases}$ $x_0 = \frac{1}{2}(A + 2R) = 0,5A + R$ $y_0 = R$ $z_0 = \frac{1}{2} \quad i = 0,5l$	$I_{Y_0 O Z_0} = \frac{1}{12} m \frac{Rl}{V} [2A(A^2 + 8R^2) + 3\pi R(A^2 + R^2)] = \begin{cases} K_3 mA^2 \\ K'_3 mR^2 \end{cases}$ $I_{Z_0 O X_0} = \frac{1}{12} m \frac{R^3 l}{V} (8A + 3\pi R) = \begin{cases} K_4 mA^2 \\ K'_4 mR^2 \end{cases}$ $I_{X_0 O Y_0} = \frac{1}{12} ml^2 = 0,08333 ml^2$ <p>Коэффициенты $K_i = f\left(p = \frac{R}{A}\right)$ для $R \leq A$ и $K'_i = f\left(p' = \frac{A}{R}\right)$ для $R \geq A$ приведены в табл. 24 (см. стр. 511)</p>

Продолжение табл. 13

Эскиз и номер элемента	Объем, координаты центра масс	Моменты инерции относительно центральных плоскостей (вспомогательные величины) Главные центральные моменты инерции см. табл. 25, стр. 127
<div data-bbox="423 1318 475 1360" style="border: 1px solid black; padding: 2px; display: inline-block;">II</div>  <p style="text-align: center;">Элемент 374</p>	$V = \frac{1}{2} R l (2A - \pi R)$ $x_0 = \frac{1}{2} A$ $y_0 = \frac{1}{6} \cdot \frac{R^2 l}{V} (3A - 4R)$ $z_0 = \frac{1}{2} l$	$I_{Y_0 O Z_0} = \frac{1}{24} m \frac{R l}{V} \times$ $\times [2A (A^2 + 8R^2) - 3\pi R (A^2 + R^2)]$ $I_{Z_0 O X_0} = \frac{1}{24} \times$ $\times m \left[\frac{R^3 l}{V} (8A - 3\pi R) - 24y_0^2 \right]$ $I_{X_0 O Y_0} = \frac{1}{12} m l^2$

Продолжение табл. 13

Эскиз и номер элемента	Объем, координаты центра масс	Моменты инерции относительно центральных плоскостей (вспомогательные величины) Главные центральные моменты инерции см. табл. 25, стр. 127
<div data-bbox="409 1315 458 1356" style="border: 1px solid black; padding: 2px; display: inline-block;">II</div>  <p style="text-align: right;">Элемент 375</p>	$V = Rl(2A - \pi R)$ $x_0 = \frac{1}{2}A$ $y_0 = R; \quad z_0 = \frac{1}{2}l$	$I_{y_0 z_0} = \frac{1}{12} m \frac{Rl}{V} \times$ $\times [2A(A^2 + 8R^2) - 3\pi R(A^2 + R^2)]$ $I_{z_0 x_0} = \frac{1}{12} m \frac{R^3 l}{V} \times$ $\times [8A - (15\pi - 32)R]$ $I_{x_0 y_0} = \frac{1}{12} ml^2$

14. ПРОФИЛИ, КОРОБКИ ТОНКОСТЕННЫЕ

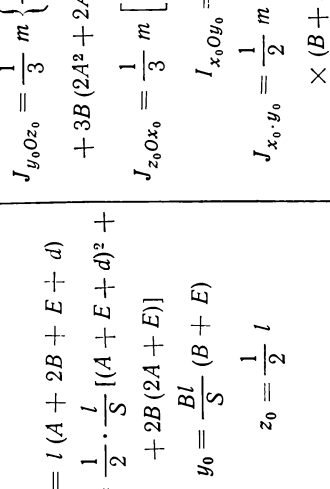
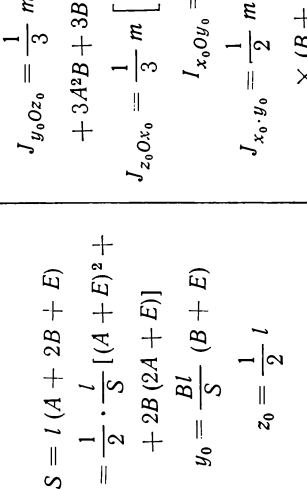
Масса $m = S\delta\rho$, где S — поверхность; δ — толщина стенки; ρ — плотность материала

Эскиз и номер элемента	Поверхность, координаты центра масс	Моменты инерции относительно центральных плоскостей (вспомогательные величины) Главные центральные моменты инерции см. табл. 25, стр. 127
<div data-bbox="475 1063 791 1388"> </div> <div data-bbox="813 1144 835 1291"> <p>Элемент 376</p> </div>	$S = l(A + B + E + b + d)$ $x_0 = -\frac{1}{2} \cdot \frac{l}{S} [A^2 + (E + d)^2 + 2(Ba + Eb) + 2k(E + b + d)]$ $y_0 = -\frac{1}{2} \cdot \frac{l}{S} [n(b + 2d) + B(B + 2E + b)]$ $z_0 = -\frac{1}{2} l$	$J_{y_0 z_0} = \frac{1}{3} m \left\{ \frac{l}{S} [A^3 + E^3 + d^3 + 3Ba^2 + 3(E + k)(d^2 + Ek) + 3(E + k)^2(b + d)] - 3x_0^2 \right\}$ $J_{z_0 x_0} = \frac{1}{3} m \left\{ \frac{l}{S} [B^3 + b^3 + 3B^2E + 3n(Bb + dn)] - 3y_0^2 \right\}$ $I_{x_0 y_0} = \frac{1}{12} ml^2$ $J_{x_0 y_0} = \frac{1}{2} m \left\{ \frac{l}{S} [B(E^2 + Ba) + 2k(BE + 2nd) + nd(2E + d) + b(B + n)(E + k)] - 2x_0 y_0 \right\}$
	<p>В формулах $k = a - e$; $n = B - b$.</p> <p>Подставляя значения входящих параметров, указанных в «Предметно-иллюстрированном оглавлении», можно получить формулы для соответствующих тонкостенных профилей (см. стр. 51—53).</p> <p>Профили, симметричные относительно центральной плоскости $Y_0 O Z_0$ или $Z_0 O X_0$, относятся к элементам II типа (см. табл. 25, стр. 127), остальные — к элементам I типа.</p> <p>Формулы для некоторых тел, полученные подстановкой значений параметров a, b, d, e, A, B, E и l, приведены на следующих страницах:</p>	

Продолжение табл. 14

Эскиз и номер элемента	Поверхность, координаты центра масс		Моменты инерции относительно центральных плоскостей (вспомогательные величины) Главные центральные моменты инерции см. табл. 25, стр. 127			
	Параметры	$a=A;$ $b=B;$ $e=0$	$a=A;$ $b=B;$ $d=e=0$	$a=d=A;$ $b=B;$ $e=0$	$b=d=0;$ $a=\frac{A}{2};$ $b=d=0$ $e=\frac{E}{2}$	$b=d=0;$ $a=A$ $e=\frac{A}{2}$
	Страница	463	463	464	464	465
	Элемент	377	378	379	380	381
	Параметры	$b=d=$ $=e=0;$ $a=A$	$b=d=$ $=e=0;$ $a=E=A$	$b=d=$ $=e=E=$ $=0$	$b=d=$ $=e=E=$ $=0;$ $a=\frac{A}{2}$	$a=b=$ $=d=e=$ $=0;$ $E=A$
	Страница	466	466	467	467	468
	Элемент	383	384	385	386	388
	Параметры	$a=b=$ $=d=e=$ $=E=0$	$a=b=$ $=d=e=$ $=E=0;$ $B=A$	$a=d=$ $=e=0;$ $b=B;$ $E=A$	$a=d=$ $=e=0;$ $b=B=$ $=E=l=$ $=A$	$a=b=$ $=d=E=$ $=A=0$
	Страница	469	469	470	471	475
	Элемент	389	390	391	394	402

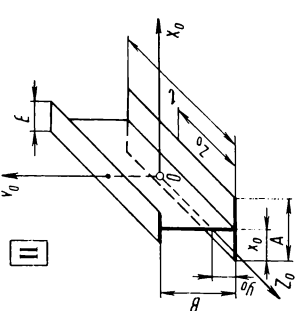
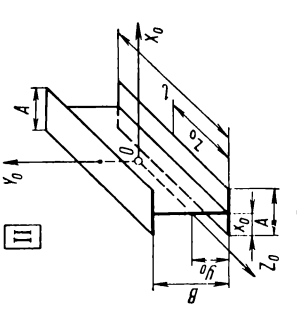
Продолжение табл. 14

Эскиз и номер элемента	Поверхность, координаты центра масс	Моменты инерции относительно центральных плоскостей (вспомогательные величины) Главные центральные моменты инерции см. табл. 25, стр. 127
 <p style="text-align: center;">Элемент 377</p>	$S = l(A + 2B + E + d)$ $x_0 = \frac{1}{2} \cdot \frac{l}{S} [(A + E + d)^2 + 2B(2A + E)]$ $y_0 = \frac{Bl}{S} (B + E)$ $z_0 = \frac{1}{2} l$	$J_{y_0 z_0} = \frac{1}{3} m \left\{ \frac{l}{S} [(A + E + d)^3 + 3B(2A^2 + 2AE + E^2)] - 3x_0^2 \right\}$ $J_{z_0 x_0} = \frac{1}{3} m \left[\frac{B^2 l}{S} (2B + 3E) - 3y_0^2 \right]$ $I_{x_0 y_0} = \frac{1}{12} ml^2$ $J_{x_0 y_0} = \frac{1}{2} m \left[\frac{Bl}{S} (2A + E) \times \right. \\ \left. \times (B + E) - 2x_0 y_0 \right]$
 <p style="text-align: center;">Элемент 378</p>	$S = l(A + 2B + E)$ $x_0 = \frac{1}{2} \cdot \frac{l}{S} [(A + E)^2 + 2B(2A + E)]$ $y_0 = \frac{Bl}{S} (B + E)$ $z_0 = \frac{1}{2} l$	$J_{y_0 z_0} = \frac{1}{3} m \left\{ \frac{l}{S} [(A + E)^3 + 3A^2 B + 3B(A + E)^2] - 3x_0^2 \right\}$ $J_{z_0 x_0} = \frac{1}{3} m \left[\frac{B^2 l}{S} (2B + 3E) - 3y_0^2 \right]$ $I_{x_0 y_0} = \frac{1}{12} ml^2$ $J_{x_0 y_0} = \frac{1}{2} m \left[\frac{Bl}{S} (2A + E) \times \right. \\ \left. \times (B + E) - 2x_0 y_0 \right]$

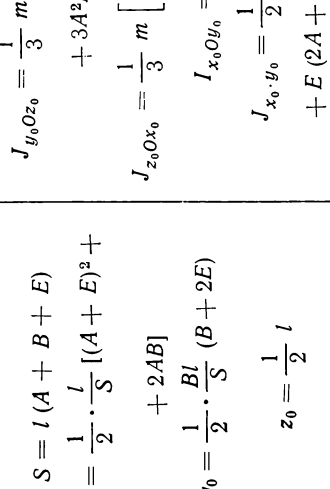
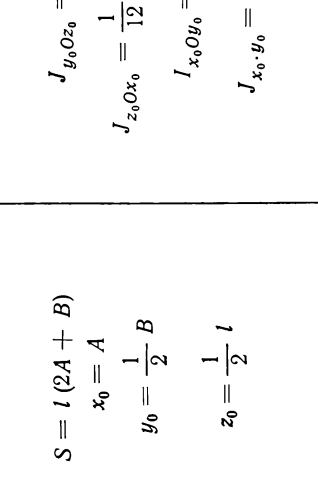
Продолжение табл. 14

Эскиз и номер элемента	Поверхность, координаты центра масс	Моменты инерции относительно центральных плоскостей (асимптотические величины) Главные центральные моменты инерции см. табл. 25, стр. 127
<div data-bbox="285 1162 579 1455"> </div> <div data-bbox="536 1000 563 1138">Элемент 379</div>	$S = l [2(A + B) + E]$ $x_0 = \frac{1}{2} (2A + E)$ $y_0 = \frac{Bl}{S} (B + E)$ $z_0 = \frac{1}{2} l$	$I_{y_0 O z_0} = \frac{1}{12} m \frac{l}{S} [(2A + E)^3 + 6BE^3]$ $I_{z_0 O x_0} = \frac{1}{3} m \left[\frac{B^2 l}{S} (2B + 3E) - 3y_0^2 \right]$ $I_{x_0 O y_0} = \frac{1}{12} m l^2$
<div data-bbox="634 1162 929 1455"> </div> <div data-bbox="885 1000 912 1138">Элемент 380</div>	$S = l (A + B + E)$ $x_0 = \frac{1}{2} \cdot \frac{l}{S} \{A^2 + E^2 + 2[Ba + E(a - e)]\}$ $y_0 = \frac{1}{2} \cdot \frac{Bl}{S} (B + 2E);$ $z_0 = \frac{1}{2} l$	$J_{y_0 O z_0} = \frac{1}{3} m \left\{ \frac{l}{S} [A^3 + E^3 + 3Ba^2 + 3E(a - e)(E + a - e)] - 3x_0^2 \right\}$ $J_{z_0 O x_0} = \frac{1}{3} m \left[\frac{B^2 l}{S} (B + 3E) - 3y_0^2 \right]$ $I_{x_0 O y_0} = \frac{1}{12} m l^2$ $J_{x_0 y_0} = \frac{1}{2} m \left\{ \frac{Bl}{S} [Ba + E(E + 2a - 2e)] - 2x_0 y_0 \right\}$

Продолжение табл. 14

Эскиз и номер элемента	Поверхность, координаты центра масс	Моменты инерции относительно центральных плоскостей (вспомогательные величины) Главные центральные моменты инерции см. табл. 25, стр. 127
 <p>Элемент 381</p>	$S = l(A + B + E)$ $x_0 = \frac{1}{2} A$ $y_0 = -\frac{1}{2} \cdot \frac{Bl}{S} (B + 2E);$ $z_0 = \frac{1}{2} l$	$I_{Y_0 Z_0} = \frac{1}{12} m \frac{l}{S} (A^3 + E^3)$ $I_{Z_0 X_0} = \frac{1}{3} m \left[\frac{B^2 l}{S} (B + 3E) - 3y_0^2 \right]$ $I_{X_0 Y_0} = \frac{1}{12} ml^2$
 <p>Элемент 382</p>	$S = l(2A + B)$ $x_0 = \frac{1}{2} A$ $y_0 = \frac{1}{2} B$ $z_0 = -\frac{1}{2} l$	$I_{Y_0 Z_0} = \frac{1}{6} m \frac{A^3 l}{S}$ $I_{Z_0 X_0} = \frac{1}{12} m \frac{B^2 l}{S} (6A + B)$ $I_{X_0 Y_0} = \frac{1}{12} ml^2$

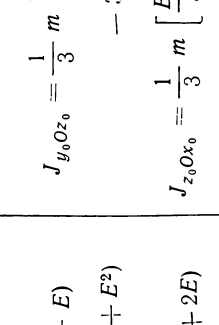
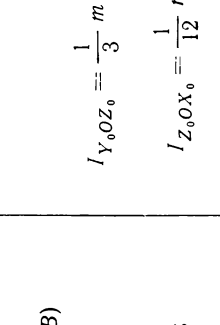
Продолжение табл. 14

Эскиз и номер элемента	Поверхность, координаты центра масс	Моменты инерции относительно центральных плоскостей (вспомогательные величины) Главные центральные моменты инерции см. табл. 25, стр. 127
<div data-bbox="281 418 325 516">I</div>  <div data-bbox="587 1149 609 1295">Элемент 383</div>	$S = l(A + B + E)$ $x_0 = \frac{1}{2} \cdot \frac{l}{S} [(A + E)^2 + 2AB]$ $y_0 = \frac{1}{2} \cdot \frac{Bl}{S} (B + 2E)$ $z_0 = \frac{1}{2} l$	$J_{y_0 O z_0} = \frac{1}{3} m \left\{ \frac{l}{S} [(A + E)^3 + 3A^2 B] - 3x_0^2 \right\}$ $J_{z_0 O x_0} = \frac{1}{3} m \left[\frac{B^2 l}{S} (B + 3E) - 3y_0^2 \right]$ $I_{x_0 O y_0} = \frac{1}{12} m l^2$ $J_{x_0 y_0} = \frac{1}{2} m \left\{ \frac{Bl}{S} [AB + E(2A + E)] - 2x_0 y_0 \right\}$
<div data-bbox="642 418 685 516">I</div>  <div data-bbox="904 1003 926 1149">Элемент 384</div>	$S = l(2A + B)$ $x_0 = A$ $y_0 = \frac{1}{2} B$ $z_0 = \frac{1}{2} l$	$J_{y_0 O z_0} = \frac{2}{3} m \frac{A^3 l}{S}$ $J_{z_0 O x_0} = \frac{1}{12} m \frac{B^2 l}{S} (6A + B)$ $I_{x_0 O y_0} = \frac{1}{12} m l^2$ $J_{x_0 y_0} = \frac{1}{2} m \frac{A^2 B l}{S}$

Продолжение табл. 14

Эскиз и номер элемента	Поверхность, координаты центра масс	Моменты инерции относительно центральных плоскостей (вспомогательные величины) Главные центральные моменты инерции см. табл. 25, стр. 127
<div data-bbox="278 1071 573 1372"> <p>Элемент 385</p> </div>	$S = l(A + B)$ $x_0 = -\frac{1}{2} \cdot \frac{l}{2S} (A^2 + 2Ba)$ $y_0 = \frac{1}{2} \cdot \frac{B^2 l}{S}$ $z_0 = \frac{1}{2}$	$J_{y_0 O z_0} = \frac{1}{3} m \left[\frac{l}{S} (A^3 + 3Ba^2) - 3x_0^2 \right]$ $J_{z_0 O x_0} = \frac{1}{12} m \frac{B^3 l^2}{S^2} (4A + B)$ $I_{x_0 O y_0} = \frac{1}{12} m l^2$ $J_{x_0 \cdot y_0} = \frac{1}{4} m \frac{AB^2 l^2}{S^2} (2a - A)$
<div data-bbox="649 1071 922 1372"> <p>Элемент 386</p> </div>	$S = l(A + B)$ $x_0 = \frac{1}{2} A$ $y_0 = \frac{1}{2} \cdot \frac{B^2 l}{S}$ $z_0 = \frac{1}{2} \cdot \frac{l}{A}$	$I_{y_0 O z_0} = \frac{1}{12} m \frac{A^3 l}{S}$ $I_{z_0 O x_0} = \frac{1}{12} m \frac{B^3 l^2}{S^2} (4A + B)$ $I_{x_0 O y_0} = \frac{1}{12} m l^2$

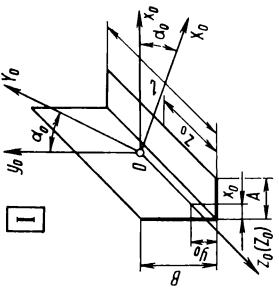
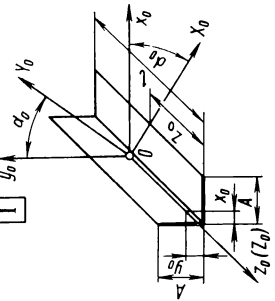
Продолжение табл. 14

Эскиз и номер элемента	Поверхность, координаты центра масс	Моменты инерции относительно центральных плоскостей (вспомогательные величины) Главные центральные моменты инерции см. табл. 26, стр. 127
<div data-bbox="273 194 311 227">I</div> 	$S = l(A + B + E)$ $x_0 = \frac{1}{2} \cdot \frac{l}{S} (A^2 + E^2)$ $y_0 = \frac{1}{2} \cdot \frac{Bl}{S} (B + 2E)$ $z_0 = \frac{1}{2} \cdot \frac{l}{S}$	$J_{y_0 O z_0} = \frac{1}{3} m \left[\frac{l}{S} (A^3 + E^3) - 3x_0^2 \right]$ $J_{z_0 O x_0} = \frac{1}{3} m \left[\frac{B^2 l}{S} (B + 3E) - 3y_0^2 \right]$ $I_{x_0 O y_0} = \frac{1}{12} m l^2$ $J_{x_0 \cdot y_0} = \frac{1}{2} m \left(\frac{B E^2 l}{S} - 2x_0 y_0 \right)$
<div data-bbox="633 194 671 227">II</div> 	$S = l(2A + B)$ $x_0 = \frac{A^2 l}{S}$ $y_0 = \frac{1}{2} B;$ $z_0 = \frac{1}{2} l$	$I_{y_0 O z_0} = \frac{1}{3} m \left(\frac{2A^3 l}{S} - 3x_0^2 \right)$ $I_{z_0 O x_0} = \frac{1}{12} m \frac{B^2 l}{S} (6A + B)$ $I_{x_0 O y_0} = \frac{1}{12} m l^2$

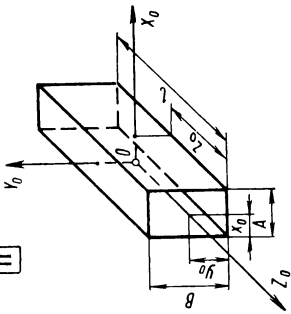
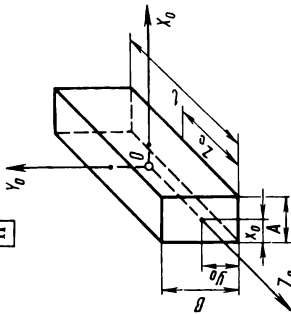
Элемент 387

Элемент 388

Продолжение табл. 14

Эскиз и номер элемента	Поверхность, координаты центра масс	Моменты инерции относительно центральных плоскостей (вспомогательные величины) Главные центральные моменты инерции см. табл. 26, стр. 127
 <p style="text-align: center;">Элемент 389</p>	$S = l(A + B)$ $x_0 = \frac{1}{2} \cdot \frac{A^2 l}{S}$ $y_0 = \frac{1}{2} \cdot \frac{B^2 l}{S}$ $z_0 = \frac{1}{2} l$	$J_{y_0 O z_0} = \frac{1}{12} m \frac{A^3 l^2}{S^2} (A + 4B)$ $J_{z_0 O x_0} = \frac{1}{12} m \frac{B^3 l^2}{S^2} (B + 4A)$ $I_{x_0 O y_0} = \frac{1}{12} m l^2$ $J_{x_0 \cdot y_0} = -\frac{1}{4} m \frac{A^3 B^2 l^2}{S^2}$
 <p style="text-align: center;">Элемент 390</p>	$S = 2Al$ $x_0 = y_0 = \frac{1}{4} A = 0,25A$ $z_0 = \frac{1}{2} l = 0,5l$	$J_{y_0 O z_0} = J_{z_0 O x_0} = \frac{5}{48} m A^2 = 0,10417 m A^2$ $I_{x_0 O y_0} = \frac{1}{12} m l^2 = 0,08333 m l^2$ $J_{x_0 \cdot y_0} = -\frac{1}{16} m A^2 = -0,0625 m A^2$

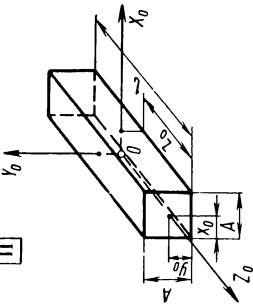
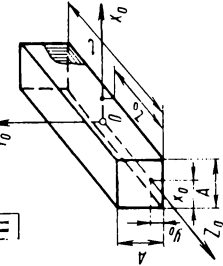
Продолжение табл. 14

Эскиз и номер элемента	Поверхность, координаты центра масс	Моменты инерции относительно центральных плоскостей (вспомогательные величины) Главные центральные моменты инерции см. табл. 25, стр. 127
<div data-bbox="281 1393 325 1425" style="border: 1px solid black; padding: 2px; display: inline-block;">II</div>  <p style="text-align: center;">Элемент 391 Боковая поверхность</p>	$S = 2l(A + B)$ $x_0 = \frac{1}{2}A$ $y_0 = \frac{1}{2}B$ $z_0 = \frac{1}{2}l$	$I_{y_0 z_0} = \frac{1}{6} m \frac{A^2 l}{S} (A + 3B)$ $I_{z_0 x_0} = \frac{1}{6} m \frac{B^2 l}{S} (B + 3A)$ $I_{x_0 y_0} = \frac{1}{12} ml^2$
<div data-bbox="631 1369 674 1401" style="border: 1px solid black; padding: 2px; display: inline-block;">III</div>  <p style="text-align: center;">Элемент 392 Полная поверхность</p>	$S = 2[AB + l(A + B)]$ $x_0 = \frac{1}{2}A$ $y_0 = \frac{1}{2}B;$ $z_0 = \frac{1}{2}l$	$I_{y_0 z_0} = \frac{1}{6} m \frac{A^2}{S} [AB + l(A + 3B)]$ $I_{z_0 x_0} = \frac{1}{6} m \frac{B^2}{S} [AB + l(B + 3A)]$ $I_{x_0 y_0} = \frac{1}{6} m \frac{l^2}{S} [3AB + l(A + B)]$

Продолжение табл. 14

Эскиз и номер элемента	Поверхность, координаты центра масс	Моменты инерции относительно центральных плоскостей (вспомогательные величины) Главные центральные моменты инерции см. табл. 25, стр. 127
<div data-bbox="281 1089 565 1360"> </div> <p data-bbox="590 1149 612 1284">Элемент 393</p>	$S = 2B(A + l) + Al$ $x_0 = \frac{1}{2} A$ $y_0 = \frac{B^2}{S} (A + l);$ $z_0 = \frac{1}{2} l$	$I_{Y_0 O Z_0} = \frac{1}{12} m \frac{A^2}{S} [2B(A + 3l) + Al]$ $I_{Z_0 O X_0} = \frac{1}{3} m \left[2 \frac{B^3}{S} (A + l) - 3y_0^2 \right]$ $I_{X_0 O Y_0} = \frac{1}{12} m \frac{l^2}{S} [2B(l + 3A) + Al]$
<div data-bbox="642 1081 896 1365"> </div> <p data-bbox="915 1149 936 1284">Элемент 394</p> <p data-bbox="936 1114 958 1333">Боковая поверхность</p>	$S = 4Al$ $x_0 = y_0 = \frac{1}{2} A = 0,5A$ $z_0 = \frac{1}{2} l = 0,5l$	$I_{Y_0 O Z_0} = I_{Z_0 O X_0} = \frac{1}{6} mA^2 = 0,16667 mA^2$ $I_{X_0 O Y_0} = \frac{1}{12} ml^2 = 0,08333 ml^2$

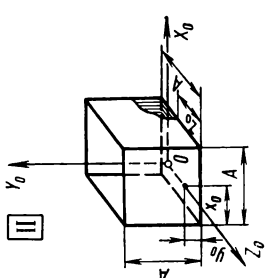
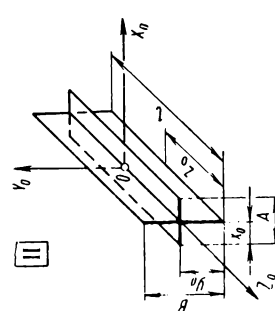
Продолжение табл. 14

Эскиз и номер элемента	Поверхность, координаты центра масс	Моменты инерции относительно центральных плоскостей (вспомогательные величины) Главные центральные моменты инерции см. табл. 25, стр. 162
<div data-bbox="295 1386 336 1419">II</div>  <div data-bbox="484 987 565 1122">Элемент 395 Полная поверхность</div>	$S = 2A(A + 2l)$ $x_0 = y_0 = \frac{1}{2}A = 0,5A$ $z_0 = \frac{1}{2}l = 0,5l$	$I_{y_0 O z_0} = I_{z_0 O x_0} = \frac{1}{6} m \frac{A^3}{S} (A + 4l)$ $I_{x_0 O y_0} = \frac{1}{6} m \frac{Al^2}{S} (3A + 2l)$
<div data-bbox="634 1312 674 1344">III</div>  <div data-bbox="904 1149 929 1289">Элемент 396</div>	$S = A(2A + 3l)$ $x_0 = \frac{1}{2}A$ $y_0 = \frac{A^2}{S}(A + l)$ $z_0 = \frac{1}{2}l$	$I_{y_0 O z_0} = \frac{1}{12} m \frac{A^3}{S} (2A + 7l)$ $I_{z_0 O x_0} = \frac{1}{3} m \frac{A^4}{S^2} [A(A + 4l) + 3l^2]$ $I_{x_0 O y_0} = \frac{1}{4} m \frac{Al^2}{S} (2A + l)$

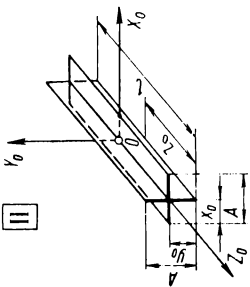
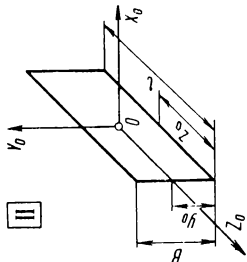
Продолжение табл. 14

Эскиз и номер элемента	Поверхность, координаты центра масс	Моменты инерции относительно центральных плоскостей (вспомогательные величины) Главные центральные моменты инерции см. табл. 25, стр. 127
<div data-bbox="267 1079 524 1364"> </div> <p data-bbox="529 1144 562 1291">Элемент 397</p> <p data-bbox="567 1104 595 1331">Боковая поверхность</p>	$S = 4A^2$ $x_0 = y_0 = z_0 = \frac{1}{2}A = 0,5A$	$I_{Y_0OZ_0} = I_{Z_0OX_0} =$ $= \frac{1}{6} mA^2 = 0,16667 mA^2$ $I_{X_0OY_0} = \frac{1}{12} mA^2 = 0,08333 mA^2$
<div data-bbox="638 1079 862 1364"> </div> <p data-bbox="884 1144 917 1291">Элемент 398</p> <p data-bbox="922 1104 950 1331">Полная поверхность</p>	$S = 6A^2$ $x_0 = y_0 = z_0 = \frac{1}{2}A = 0,5A$	$I_{Y_0OZ_0} = I_{Z_0OX_0} = I_{X_0OY_0} =$ $= \frac{5}{36} mA^2 = 0,13889 mA^2$

Продолжение табл. 14

Эскиз и номер элемента	Поверхность, координаты центра масс	Моменты инерции относительно центральных плоскостей (вспомогательные величины) Главные центральные моменты инерции см. табл. 25, стр. 127
<div><div>II</div><p>Элемент 399</p></div>	$S = 5A^2$ $x_0 = z_0 = \frac{1}{2} A = 0,5A$ $y_0 = \frac{2}{5} A = 0,4A$	$I_{y_0 z_0} = I_{x_0 y_0} = \frac{3}{20} m A^2 = 0,15 m A^2$ $I_{z_0 x_0} = \frac{8}{75} m A^2 = 0,10667 m A^2$
<div><div>II</div><p>Элемент 400</p></div>	$S = l(A + B)$ $x_0 = \frac{1}{2} A$ $y_0 = \frac{1}{2} B$ $z_0 = \frac{1}{2} l$	$I_{y_0 z_0} = \frac{1}{12} m \frac{A^3 l}{S}$ $I_{z_0 x_0} = \frac{1}{12} m \frac{B^3 l}{S}$ $I_{x_0 y_0} = \frac{1}{12} m l^2$

Продолжение табл. 14

Эскиз и номер элемента	Поверхность, координаты центра масс	Моменты инерции относительно центральных плоскостей (вспомогательные величины) Главные центральные моменты инерции см. табл. 28, стр. 127
 <p>Элемент 401</p>	$S = 2Al$ $x_0 = y_0 = \frac{1}{2} A = 0,5A$ $z_0 = \frac{1}{2} l = 0,5l$	$I_{Y_0 O Z_0} = I_{Z_0 O X_0} = \frac{1}{24} mA^2 =$ $= 0,04167 mA^2$ $I_{X_0 O Y_0} = \frac{1}{12} ml^2 = 0,08333 ml^2$
 <p>Элемент 402</p>	$S = Bl$ $x_0 = 0$ $y_0 = \frac{1}{2} B = 0,5B$ $z_0 = \frac{1}{2} l = 0,5l$	$I_{Y_0 O Z_0} = 0$ $I_{Z_0 O X_0} = \frac{1}{12} mB^2 = 0,08333 mB^2$ $I_{X_0 O Y_0} = \frac{1}{12} ml^2 = 0,08333 ml^2$

ПРИЛОЖЕНИЕ

Таблица 1

φ°	φ , рад	$2\varphi + \sin 2\varphi$	$2\varphi - \sin 2\varphi$	φ°	φ , рад	$2\varphi + \sin 2\varphi$	$2\varphi - \sin 2\varphi$
0	0,00000	0,00000	0,00000	95	1,65806	3,14247	3,48977
5	0,08727	0,34819	0,00089	100	1,74533	3,14864	3,83268
10	0,17453	0,69108	0,00704	105	1,83260	3,16520	4,16520
15	0,26180	1,02360	0,02360	110	1,91986	3,19693	4,48251
20	0,34907	1,34093	0,05535	115	2,00713	3,24822	4,78030
25	0,43633	1,63870	0,10662	120	2,09440	3,32277	5,05483
30	0,52360	1,91323	0,18117	125	2,18166	3,42363	5,30301
35	0,61086	2,16141	0,28203	130	2,26893	3,55305	5,52267
40	0,69813	2,38107	0,41145	135	2,35620	3,71240	5,71240
45	0,78540	2,57080	0,57080	140	2,44346	3,90211	5,87173
50	0,87266	2,73013	0,76051	145	2,53073	4,12177	6,00115
55	0,95993	2,85955	0,98017	150	2,61799	4,36995	6,10201
60	1,04720	2,96043	1,22837	155	2,70526	4,64448	6,17656
65	1,13446	3,03496	1,50288	160	2,79253	4,94227	6,22785
70	1,22173	3,08625	1,80067	165	2,87979	5,25958	6,25966
75	1,30900	3,11800	2,11800	170	2,96706	5,59210	6,27614
80	1,39626	3,13454	2,45050	175	3,05433	5,93501	6,28231
85	1,48353	3,14071	2,79341	180	3,14159	6,28318	6,28318
90	1,57080	3,14159	3,14159				

Таблица 2

Коэффициент K_1

ρ	$n = 0$	$n = 0,1$	$n = 0,2$	$n = 0,3$	$n = 0,4$	$n = 0,5$	$n = 0,6$
0,0	0,00000	0,00000	0,00000	0,00000	0,00000	0,00000	0,00000
0,1		0,36898	0,65832	0,82936	0,95376	1,04860	1,12148
0,2			1,02731	1,48769	1,78313	2,00236	2,17008
0,3				1,85667	2,44145	2,83173	3,12384
0,4					2,81044	3,49005	3,95321
0,5						3,95904	4,61153
0,6							4,98051

Продолжение табл. 2

p	$n = 0,7$	$n = 0,8$	$n = 0,9$	$n = 1,0$	$n = 1,1$	$n = 1,2$	$n = 1,3$
0,0	0,00000	0,00000	0,00000	0,00000	0,00000	0,00000	0,00000
0,1	1,17652	1,21616	1,24188	1,25454	1,25454	1,24188	1,21616
0,2	2,29799	2,39267	2,45803	2,49642	2,50908	2,49642	2,45803
0,3	3,34659	3,51415	3,63455	3,71257	3,75096	3,75096	3,71257
0,4	4,30036	4,56275	4,75603	4,88909	4,96711	4,99283	4,96711
0,5	5,12972	5,51651	5,80462	6,01057	6,14363	6,20899	6,20899
0,6	5,78804	6,34588	6,75839	7,05918	7,26511	7,38551	7,42515
0,7	6,15703	7,00420	7,58776	8,01293	8,31370	8,50698	8,60166
0,8		7,37319	8,24609	8,84230	9,26747	9,55558	9,72314
0,9			8,61506	9,50062	10,09683	10,50934	10,77173
1,0				9,86960	10,75515	11,33871	11,72550
1,1					11,12414	11,99703	12,55486
1,2						12,36602	13,21319
1,3							13,58217
p	$n = 1,4$	$n = 1,5$	$n = 1,6$	$n = 1,7$	$n = 1,8$	$n = 1,9$	$n = 2,0$
0,0	0,00000	0,00000	0,00000	0,00000	0,00000	0,00000	0,00000
0,1	1,17652	1,12148	1,04860	0,95376	0,82936	0,65832	0,36898
0,2	2,39267	2,29799	2,17008	2,00236	1,78313	1,48769	1,02731
0,3	3,63455	3,51415	3,34659	3,12384	2,83173	2,44145	1,85667
0,4	4,88909	4,75603	4,56275	4,30036	3,95321	3,49005	2,81044
0,5	6,14363	6,01059	5,80463	5,51651	5,12972	4,61153	3,85904
0,6	7,38551	6,01059	5,80463	5,51651	6,34587	5,78804	4,98051
0,7	8,60166	7,26511	7,05916	6,75839	7,58776	7,00420	6,15703
0,8	9,77818	9,72314	9,55558	9,26747	8,84230	8,24608	7,37319
0,9	10,89965	10,89965	10,77173	10,50934	10,09683	9,50062	8,61506
1,0	11,94825	12,02113	11,94825	11,72550	11,33871	10,75515	9,86960
1,1	12,90202	13,06973	13,06973	12,90202	12,55485	11,99703	11,12414
1,2	13,73138	14,02349	14,11833	14,02349	13,73138	13,21319	12,36602
1,3	14,38970	14,85286	15,07209	15,07209	14,85286	14,38970	13,58217
1,4	14,75869	15,51118	15,90146	16,02580	15,90148	15,51118	14,75869
1,5		15,88017	16,55978	16,85522	16,85522	16,55978	15,88017
1,6			16,92876	17,51354	17,68459	17,51354	16,92876
1,7				17,88253	18,34291	18,34291	17,88253
1,8					18,71190	19,00123	18,71190
1,9						19,37022	19,37022
2,0							19,73920

Коэффициент K_2

p	$n = 0$	$n = 0,1$	$n = 0,2$	$n = 0,3$	$n = 0,4$	$n = 0,5$	$n = 0,6$
0,0	0,00000	0,00000	0,00000	0,00000	0,00000	0,00000	0,00000
0,1		0,05982	0,05269	0,05144	0,05094	0,05066	0,05047
0,2			0,11928	0,10769	0,10466	0,10316	0,10224
0,3				0,17831	0,16366	0,15872	0,15605
0,4					0,23689	0,21984	0,21312
0,5						0,29498	0,27593
0,6							0,35251

Продолжение табл. 2

p	$n = 0,7$	$n = 0,8$	$n = 0,9$	$n = 1,0$	$n = 1,1$	$n = 1,2$	$n = 1,3$
0,0	0,00000	0,00000	0,00000	0,00000	0,00000	0,00000	0,00000
0,1	0,05033	0,05022	0,05013	0,05004	0,04996	0,04987	0,04978
0,2	0,10160	0,10110	0,10070	0,10034	0,10000	0,09966	0,09930
0,3	0,15430	0,15303	0,15202	0,15116	0,15038	0,14962	0,14884
0,4	0,20920	0,20652	0,20450	0,20284	0,20137	0,20000	0,19863
0,5	0,26752	0,26234	0,25864	0,25575	0,25330	0,25108	0,24892
0,6	0,33170	0,32170	0,31522	0,31043	0,30655	0,30316	0,30000
0,7	0,40941	0,38701	0,37546	0,36764	0,36166	0,35667	0,35217
0,8		0,46563	0,44170	0,42860	0,41939	0,41212	0,40584
0,9			0,52106	0,49582	0,48096	0,47026	0,46153
1,0				0,57558	0,54861	0,53231	0,52000
1,1					0,62908	0,60050	0,58244
1,2						0,68139	0,65106
1,3							0,73228
p	$n = 1,4$	$n = 1,5$	$n = 1,6$	$n = 1,7$	$n = 1,8$	$n = 1,9$	$n = 2,0$
0,0	0,00000	0,00000	0,00000	0,00000	0,00000	0,00000	0,00000
0,1	0,04967	0,04953	0,04934	0,04906	0,04856	0,04741	0,04018
0,2	0,09889	0,09840	0,09776	0,09684	0,09534	0,09230	0,08073
0,3	0,14798	0,14697	0,14570	0,14395	0,14128	0,13634	0,12169
0,4	0,19716	0,19550	0,19348	0,19080	0,18688	0,18016	0,16310
0,5	0,24670	0,24425	0,24136	0,23766	0,23247	0,22407	0,20502
0,6	0,29683	0,29345	0,28957	0,28478	0,27830	0,26829	0,24749
0,7	0,34783	0,34333	0,33834	0,33236	0,32454	0,31299	0,29058
0,8	0,40000	0,39416	0,38788	0,38061	0,37140	0,35830	0,33437
0,9	0,45375	0,44625	0,43847	0,42974	0,41904	0,40438	0,37894
1,0	0,50960	0,50000	0,49040	0,48000	0,46768	0,45138	0,42441
1,1	0,56830	0,55552	0,54407	0,53170	0,51756	0,49950	0,47091
1,2	0,63104	0,61478	0,60000	0,58522	0,56890	0,54894	0,51861
1,3	0,70000	0,67774	0,65893	0,64107	0,62226	0,60000	0,56772
1,4	0,78150	0,74696	0,72203	0,70000	0,67797	0,65304	0,61850
1,5		0,82867	0,79144	0,76317	0,73683	0,70856	0,67132
1,6			0,87331	0,83270	0,80000	0,76730	0,72669
1,7				0,91469	0,86958	0,83041	0,78531
1,8					0,95164	0,90000	0,84835
1,9						0,98209	0,91791
2,0							1,00000

Коэффициент K_3

p	$n = 0$	$n = 0,1$	$n = 0,2$	$n = 0,3$	$n = 0,4$	$n = 0,5$	$n = 0,6$
0,0	0,00000	0,00000	0,00000	0,00000	0,00000	0,00000	0,00000
0,1		0,00069	0,00082	0,00083	0,00083	0,00083	0,00083
0,2			0,00276	0,00324	0,00329	0,00331	0,00332
0,3				0,00621	0,00718	0,00735	0,00742
0,4					0,01107	0,01262	0,01297
0,5						0,01733	0,01955
0,6							0,02500

Продолжение табл. 2

p	$n = 0,7$	$n = 0,8$	$n = 0,9$	$n = 1,0$	$n = 1,1$	$n = 1,2$	$n = 1,3$
0,0	0,00000	0,00000	0,00000	0,00000	0,00000	0,00000	0,00000
0,1	0,00083	0,00083	0,00083	0,00083	0,00083	0,00083	0,00083
0,2	0,00332	0,00333	0,00333	0,00333	0,00333	0,00333	0,00333
0,3	0,00744	0,00746	0,00747	0,00747	0,00748	0,00748	0,00747
0,4	0,01312	0,01319	0,01322	0,01325	0,01326	0,01326	0,01326
0,5	0,02014	0,02039	0,02052	0,02060	0,02064	0,02065	0,02065
0,6	0,02794	0,02882	0,02922	0,02943	0,02955	0,02961	0,02963
0,7	0,03409	0,03779	0,03900	0,03958	0,03989	0,04005	0,04012
0,8		0,04461	0,04909	0,05067	0,05144	0,05185	0,05206
0,9			0,05654	0,06183	0,06380	0,06477	0,06528
1,0				0,06987	0,07598	0,07834	0,07952
1,1					0,08460	0,09152	0,09426
1,2						0,10069	0,10839
1,3							0,11809
p	$n = 1,4$	$n = 1,5$	$n = 1,6$	$n = 1,7$	$n = 1,8$	$n = 1,9$	$n = 2,0$
0,0	0,00000	0,00000	0,00000	0,00000	0,00000	0,00000	0,00000
0,1	0,00083	0,00083	0,00083	0,00083	0,00083	0,00082	0,00069
0,2	0,00333	0,00332	0,00332	0,00331	0,00329	0,00324	0,00276
0,3	0,00747	0,00746	0,00744	0,00742	0,00735	0,00718	0,00621
0,4	0,01325	0,01322	0,01319	0,01312	0,01297	0,01262	0,01107
0,5	0,02064	0,02060	0,02052	0,02039	0,02014	0,01955	0,01733
0,6	0,02960	0,02955	0,02943	0,02922	0,02882	0,02794	0,02500
0,7	0,04012	0,04005	0,03989	0,03958	0,03900	0,03779	0,03409
0,8	0,05212	0,05206	0,05185	0,05144	0,05067	0,04909	0,04461
0,9	0,06550	0,06550	0,06528	0,06477	0,06380	0,06183	0,05654
1,0	0,08008	0,08026	0,08008	0,07952	0,07834	0,07598	0,06987
1,1	0,09559	0,09615	0,09615	0,09559	0,09426	0,09152	0,08460
1,2	0,11146	0,11287	0,11328	0,11287	0,11146	0,10839	0,10069
1,3	0,12650	0,12981	0,13114	0,13114	0,12981	0,12650	0,11809
1,4	0,13670	0,14571	0,14909	0,15004	0,14909	0,14571	0,13670
1,5		0,15640	0,16579	0,16892	0,16892	0,16579	0,15640
1,6			0,17694	0,18636	0,18660	0,18636	0,17694
1,7				0,19793	0,20671	0,20671	0,19793
1,8					0,21865	0,22535	0,21865
1,9						0,23759	0,23759
2,0							0,25000

Коэффициент K_4

p	$n = 0$	$n = 0,1$	$n = 0,2$	$n = 0,3$	$n = 0,4$	$n = 0,5$	$n = 0,6$
0,0	0,00000	0,09500	0,18000	0,25500	0,32000	0,37500	0,42000
0,1		0,05769	0,14054	0,21941	0,28894	0,34870	0,39854
0,2			0,11078	0,18451	0,25660	0,32024	0,37446
0,3				0,15931	0,22531	0,29071	0,34835
0,4					0,20330	0,26238	0,32130
0,5						0,24281	0,29549
0,6							0,27788

Продолжение табл. 2

p	$n = 0,7$	$n = 0,8$	$n = 0,9$	$n = 1,0$	$n = 1,1$	$n = 1,2$	$n = 1,3$
0,0	0,45500	0,48000	0,49500	0,50000	0,49500	0,48000	0,45500
0,1	0,43845	0,46839	0,48835	0,49833	0,49833	0,48835	0,46839
0,2	0,41898	0,45367	0,47848	0,49337	0,49834	0,49337	0,47848
0,3	0,39695	0,43608	0,46552	0,48519	0,49503	0,49503	0,48519
0,4	0,37300	0,41599	0,44973	0,47394	0,48851	0,49337	0,48851
0,5	0,34817	0,39403	0,43148	0,45987	0,47892	0,48848	0,48848
0,6	0,32455	0,37121	0,41136	0,44336	0,46651	0,48051	0,48519
0,7	0,30856	0,34953	0,39038	0,42498	0,45165	0,46970	0,47879
0,8		0,33492	0,37043	0,40570	0,43491	0,45642	0,46954
0,9			0,35704	0,38732	0,41721	0,44122	0,45777
1,0				0,37500	0,40027	0,42500	0,44404
1,1					0,38891	0,40939	0,42920
1,2						0,39889	0,41482
1,3							0,40512

p	$n = 1,4$	$n = 1,5$	$n = 1,6$	$n = 1,7$	$n = 1,8$	$n = 1,9$	$n = 2,0$
0,0	0,42000	0,37500	0,32000	0,25500	0,18000	0,09500	0,00000
0,1	0,43845	0,39854	0,34870	0,28894	0,21941	0,14054	0,05769
0,2	0,45367	0,41898	0,37446	0,32024	0,26660	0,18451	0,11078
0,3	0,46552	0,43608	0,39695	0,34835	0,29071	0,22531	0,15931
0,4	0,47394	0,44973	0,41599	0,37300	0,32130	0,26238	0,20330
0,5	0,47892	0,45987	0,43148	0,39403	0,34817	0,29549	0,24281
0,6	0,48051	0,46651	0,44336	0,41136	0,37121	0,32455	0,27788
0,7	0,47879	0,46970	0,45165	0,42498	0,39038	0,34953	0,30856
0,8	0,47394	0,46954	0,45642	0,43491	0,40570	0,37043	0,33492
0,9	0,46618	0,46618	0,45777	0,44122	0,41721	0,38732	0,35704
1,0	0,45587	0,45987	0,45587	0,44404	0,42500	0,40027	0,37500
1,1	0,44353	0,45095	0,45095	0,44353	0,42920	0,40939	0,38891
1,2	0,43000	0,43993	0,44336	0,43993	0,43000	0,41482	0,39890
1,3	0,41675	0,42762	0,43359	0,43359	0,42762	0,41675	0,40512
1,4	0,40778	0,41544	0,42242	0,42498	0,42242	0,41544	0,40777
1,5		0,40712	0,41121	0,41486	0,41486	0,41121	0,40712
1,6			0,40350	0,40455	0,40570	0,40455	0,40350
1,7				0,39739	0,39618	0,39618	0,39739
1,8					0,38950	0,38732	0,38950
1,9						0,38104	0,38104
2,0							0,37500

Таблица 3

Для элемента a при $r \leq R$

p	K_1	K_2	K_3	K_4	K_5
0,00	0,00000	1,00000	0,00000	0,25000	0,00000
0,05	0,16967	0,97529	0,00020	0,27017	0,00082
0,10	0,36560	0,95110	0,00082	0,29142	0,00321
0,15	0,58934	0,92737	0,00183	0,31374	0,00711
0,20	0,84246	0,90404	0,00323	0,33710	0,01245
0,25	1,12654	0,88109	0,00502	0,36153	0,01917

Продолжение табл. 3

p	K_1	K_2	K_3	K_4	K_5
0,30	1,44315	0,85845	0,00718	0,38701	0,02722
0,35	1,79386	0,83611	0,00971	0,41353	0,03658
0,40	2,18024	0,81403	0,01260	0,44108	0,04719
0,45	2,60386	0,79218	0,01585	0,46967	0,05904
0,50	3,06629	0,77055	0,01945	0,49930	0,07210
0,55	3,56910	0,74910	0,02340	0,52995	0,08635
0,60	4,11387	0,72784	0,02769	0,56163	0,10177
0,65	4,70216	0,70673	0,03232	0,59434	0,11833
0,70	5,33554	0,68577	0,03728	0,62807	0,13603
0,75	6,01559	0,66493	0,04258	0,66282	0,15485
0,80	6,74387	0,64422	0,04820	0,69859	0,17478
0,85	7,52196	0,62363	0,05416	0,73537	0,19582
0,90	8,35143	0,60313	0,06044	0,77318	0,21795
0,95	9,23385	0,58273	0,06704	0,82100	0,24116
1,00	10,17078	0,56242	0,07396	0,85183	0,26544

Для элемента a при $r \geq R$

p'	K'_1	K'_2	K'_3	K'_4	K'_5
0,00	2,09440	0,62500	0,05938	0,20000	0,20000
0,05	2,34899	0,61939	0,06084	0,22119	0,20570
0,10	2,61929	0,61419	0,06217	0,24354	0,21102
0,15	2,90530	0,60937	0,06339	0,26705	0,21598
0,20	3,20702	0,60490	0,06450	0,29175	0,22061
0,25	3,52444	0,60073	0,06552	0,31763	0,22493
0,30	3,85758	0,59688	0,06645	0,34472	0,22896
0,35	4,20642	0,59328	0,06730	0,37300	0,23273
0,40	4,57097	0,58992	0,06808	0,40249	0,23625
0,45	4,95123	0,58678	0,06880	0,43320	0,23955
0,50	5,34719	0,58384	0,06946	0,46512	0,24266
0,55	5,75887	0,58108	0,07008	0,49826	0,24557
0,60	6,18625	0,57850	0,07064	0,53262	0,24831
0,65	6,62934	0,57606	0,07117	0,56821	0,25089
0,70	7,08814	0,57377	0,07165	0,60503	0,25332
0,75	7,56264	0,57161	0,07211	0,64308	0,25562
0,80	8,05286	0,56957	0,07253	0,68236	0,25780
0,85	8,55878	0,56763	0,07292	0,72287	0,25986
0,90	9,08041	0,56580	0,07329	0,76462	0,26182
0,95	9,61774	0,56406	0,07364	0,80761	0,26368
1,00	10,17078	0,56242	0,07396	0,85183	0,26544

Для элемента b

p	K_1	K_2	K_3	K_4	K_5
0,00	0,00000	0,00000	0,00000	0,25000	0,00000
0,05	0,14500	0,02469	0,00021	0,23091	0,00085
0,10	0,26690	0,04870	0,00084	0,21291	0,00348
0,15	0,36727	0,07193	0,00191	0,19601	0,00801
0,20	0,44768	0,09427	0,00342	0,18024	0,01460
0,25	0,50970	0,11557	0,00538	0,16560	0,02345

Продолжение табл. 3

p	K_1	K_2	K_3	K_4	K_5
0,30	0,55489	0,13567	0,00778	0,15211	0,03478
0,35	0,58484	0,15437	0,01061	0,13980	0,04887
0,40	0,60111	0,17144	0,01385	0,12868	0,06609
0,45	0,60527	0,18658	0,01746	0,11879	0,08685
0,50	0,59980	0,19947	0,02136	0,11017	0,11167
0,55	0,58355	0,20970	0,02543	0,10283	0,14123
0,60	0,56082	0,21684	0,02950	0,09682	0,17631
0,65	0,53225	0,22034	0,03327	0,09217	0,21788
0,70	0,49944	0,21969	0,03636	0,08890	0,26706
0,75	0,46394	0,21436	0,03821	0,08702	0,32512
0,80	0,42733	0,20402	0,03818	0,08647	0,39337
0,85	0,39118	0,18876	0,03562	0,08712	0,47285
0,90	0,35706	0,16950	0,03020	0,08873	0,56383
0,95	0,32654	0,14864	0,02269	0,00082	0,66487
1,00	0,30118	0,13077	0,01598	0,09269	0,77154

*

Таблица 4

Для элемента a при $r \leq R$

p	K_1	K_2	K_3	K_4	K_5
0,00	0,00000	1,00000	0,00000	0,50000	0,00000
0,05	0,01259	0,97884	0,00017	0,52171	0,00062
0,10	0,05144	0,95776	0,00070	0,54439	0,00248
0,15	0,11810	0,93679	0,00156	0,56805	0,00556
0,20	0,21414	0,91590	0,00277	0,59269	0,00984
0,25	0,34115	0,89509	0,00432	0,61831	0,01532
0,30	0,50068	0,87436	0,00620	0,64491	0,02199
0,35	0,69431	0,85370	0,00843	0,67250	0,02983
0,40	0,92360	0,83311	0,01098	0,70106	0,03884
0,45	1,19014	0,81258	0,01388	0,73061	0,04900
0,50	1,49550	0,79212	0,01710	0,76115	0,06031
0,55	1,84123	0,77172	0,02065	0,79267	0,07276
0,60	2,32891	0,75137	0,02453	0,82518	0,08635
0,65	2,66012	0,73108	0,02874	0,85867	0,10106
0,70	3,13643	0,71084	0,03327	0,89316	0,11689
0,75	3,65939	0,69064	0,03813	0,92862	0,13383
0,80	4,23060	0,67049	0,04331	0,96508	0,15189
0,85	4,85161	0,65039	0,04882	1,00253	0,17105
0,90	5,52400	0,63033	0,05464	1,04097	0,19130
0,95	6,24934	0,61030	0,06079	1,08040	0,21266
1,00	7,02920	0,59031	0,06726	1,12081	0,23510

Продолжение табл. 4

Для элемента a при $r \geq R$

p'	K'_1	K'_2	K'_3	K'_4	K'_5
0,00	2,09440	0,62500	0,05938	0,20000	0,20000
0,05	2,34114	0,61979	0,06071	0,22193	0,20527
0,10	2,58788	0,61558	0,06175	0,24646	0,20953
0,15	2,83462	0,61210	0,06259	0,27357	0,21306
0,20	3,08136	0,60917	0,06327	0,30324	0,21602
0,25	3,32810	0,60668	0,06384	0,33545	0,21853
0,30	3,57484	0,60454	0,06432	0,37020	0,22071
0,35	3,82158	0,60267	0,06472	0,40748	0,22260
0,40	4,06831	0,60103	0,06508	0,44728	0,22426
0,45	4,31506	0,59956	0,06539	0,48960	0,22573
0,50	4,56180	0,59827	0,06566	0,53443	0,22704
0,55	4,80854	0,59711	0,06590	0,58178	0,22822
0,60	5,05528	0,59606	0,06612	0,63164	0,22928
0,65	5,30202	0,59511	0,06631	0,68402	0,23025
0,70	5,54876	0,59424	0,06648	0,73890	0,23113
0,75	5,79550	0,59344	0,06664	0,79628	0,23193
0,80	6,04224	0,59277	0,06679	0,85618	0,23267
0,85	6,28898	0,59204	0,06692	0,91858	0,23335
0,90	6,53572	0,59142	0,06704	0,98349	0,23398
0,95	6,78246	0,59085	0,06715	1,05090	0,23456
1,00	7,02920	0,59031	0,06726	1,12081	0,23510

Для элемента b

p	K_1	K_2	K_3	K_4	K_5
0,00	0,00000	0,00000	0,00000	0,50000	0,00000
0,05	0,01207	0,02872	0,00018	0,47926	0,00063
0,10	0,04725	0,05733	0,00070	0,45950	0,00252
0,15	0,10396	0,08583	0,00158	0,44071	0,00570
0,20	0,18063	0,11420	0,00282	0,42289	0,01018
0,25	0,27570	0,14243	0,00442	0,40603	0,01600
0,30	0,38758	0,17051	0,00639	0,39014	0,02316
0,35	0,51471	0,19843	0,00872	0,37521	0,03169
0,40	0,65552	0,22619	0,01143	0,36124	0,04164
0,45	0,80844	0,25376	0,01451	0,34823	0,05301
0,50	0,97190	0,28114	0,01797	0,33617	0,06587
0,55	1,14432	0,30829	0,02181	0,32504	0,08023
0,60	1,32413	0,33522	0,02604	0,31487	0,09615
0,65	1,50978	0,36189	0,03067	0,30564	0,11367
0,70	1,69967	0,38829	0,03569	0,29733	0,13286
0,75	1,89225	0,41438	0,04112	0,28995	0,15376
0,80	2,08594	0,44014	0,04696	0,28350	0,17645
0,85	2,27917	0,46554	0,05321	0,27795	0,20101
0,90	2,47037	0,49054	0,05988	0,27330	0,22753
0,95	2,65797	0,51509	0,06697	0,26955	0,25611
1,00	2,84041	0,53915	0,07449	0,26668	0,28687

Таблица 5

ρ	K_1	K_2	K_3	K_4	K_5
0,00	0,00000	0,36338	0,09472	0,75000	0,50000
0,05	0,96228	0,37916	0,09018	0,71344	0,47563
0,10	1,87522	0,39465	0,08605	0,67875	0,45250
0,15	2,73882	0,40984	0,08233	0,64594	0,43062
0,20	3,55306	0,42468	0,07901	0,61500	0,41000
0,25	4,31795	0,43917	0,07609	0,58594	0,39062
0,30	5,03350	0,45326	0,07357	0,55875	0,37250
0,35	5,69970	0,46691	0,07144	0,53344	0,35562
0,40	6,31655	0,48009	0,06970	0,51000	0,34000
0,45	6,88405	0,49276	0,06833	0,48844	0,32562
0,50	7,40220	0,50485	0,06733	0,46875	0,31250
0,55	7,87101	0,51632	0,06667	0,45094	0,30062
0,60	8,29047	0,52708	0,06635	0,43500	0,29000
0,65	8,66058	0,53708	0,06632	0,42094	0,28062
0,70	8,98134	0,54620	0,06657	0,40875	0,27250
0,75	9,25275	0,55437	0,06704	0,39844	0,26562
0,80	9,47482	0,56144	0,06766	0,39000	0,26000
0,85	9,64754	0,56728	0,06838	0,38344	0,25562
0,90	9,77091	0,57173	0,06908	0,37875	0,25250
0,95	9,84493	0,57458	0,06964	0,37593	0,25062
1,00	9,86960	0,57558	0,06987	0,37500	0,25000

Таблица 6

Для элемента a при $r \leq R$

ρ	K_1	K_2	K_3	K_4	K_5
0,00	0,00000	0,00000	0,00000	0,50000	0,00000
0,05	0,00350	0,01122	0,00009	0,53972	0,00159
0,10	0,01453	0,02253	0,00035	0,58120	0,00635
0,15	0,03387	0,03392	0,00080	0,62446	0,01427
0,20	0,06231	0,04539	0,00142	0,66948	0,02532
0,25	0,10064	0,05692	0,00223	0,71626	0,03950
0,30	0,14963	0,06852	0,00321	0,76480	0,05679
0,35	0,21008	0,08017	0,00438	0,81511	0,07719
0,40	0,28276	0,09187	0,00573	0,86718	0,10067
0,45	0,36847	0,10362	0,00727	0,92101	0,12724
0,50	0,46800	0,11541	0,00899	0,97659	0,15689
0,55	0,58211	0,12724	0,01089	1,03394	0,18962
0,60	0,71161	0,13910	0,01298	1,09304	0,22540
0,65	0,85728	0,15100	0,01525	1,15390	0,26425
0,70	1,01990	0,16292	0,01771	1,21651	0,30616
0,75	1,20025	0,17488	0,02035	1,28088	0,35111
0,80	1,39913	0,18686	0,02318	1,34701	0,39912
0,85	1,61732	0,19886	0,02620	1,41489	0,45017
0,90	1,85560	0,21089	0,02940	1,48453	0,50426
0,95	2,11476	0,22294	0,03278	1,55592	0,56139
1,00	2,39558	0,23501	0,03636	1,62906	0,62157

Продолжение табл. 6

Для элемента a при $r \geq R$

p'	K'_1	K'_2	K'_3	K'_4	K'_5
0,00	1,04720	0,25000	0,03750	0,35000	0,60000
0,05	1,11462	0,24839	0,03740	0,39034	0,60232
0,10	1,18204	0,24696	0,03730	0,43316	0,60437
0,15	1,24946	0,24569	0,03722	0,47844	0,60620
0,20	1,31687	0,24455	0,03714	0,52621	0,60785
0,25	1,38429	0,24351	0,03706	0,57646	0,60933
0,30	1,45171	0,24258	0,03699	0,62919	0,61068
0,35	1,51913	0,24173	0,03692	0,68441	0,61190
0,40	1,58655	0,24095	0,03686	0,74212	0,61302
0,45	1,65397	0,24023	0,03680	0,80232	0,61406
0,50	1,72139	0,23957	0,03675	0,86501	0,61501
0,55	1,78881	0,23896	0,03670	0,93019	0,61588
0,60	1,86523	0,23839	0,03665	0,99788	0,61670
0,65	1,92365	0,23786	0,03661	1,06803	0,61746
0,70	1,99106	0,23738	0,03657	1,14069	0,61816
0,75	2,05848	0,23692	0,03653	1,21584	0,61882
0,80	2,12590	0,23649	0,03649	1,29350	0,61944
0,85	2,19332	0,23608	0,03645	1,37364	0,62002
0,90	2,26074	0,23570	0,03642	1,45629	0,62057
0,95	2,32816	0,23535	0,03639	1,54142	0,62108
1,00	2,39558	0,23501	0,03636	1,62906	0,62157

Для элемента b

p	K_1	K_2	K_3	K_4	K_5
0,00	0,00000	0,00000	0,00000	0,50000	0,00000
0,05	0,00324	0,01111	0,00009	0,46205	0,00160
0,10	0,01244	0,02211	0,00036	0,42588	0,00642
0,15	0,02680	0,03298	0,00078	0,39149	0,01448
0,20	0,04556	0,04369	0,00138	0,35888	0,02581
0,25	0,06791	0,05424	0,00214	0,32805	0,04047
0,30	0,09308	0,06458	0,00307	0,29902	0,05850
0,35	0,12028	0,07470	0,00416	0,27178	0,07994
0,40	0,14872	0,08455	0,00538	0,24635	0,10489
0,45	0,17762	0,09408	0,00675	0,22273	0,12343
0,50	0,20620	0,10323	0,00823	0,20095	0,15666
0,55	0,23366	0,11193	0,00983	0,18101	0,20173
0,60	0,25922	0,12008	0,01150	0,16293	0,24188
0,65	0,28210	0,12754	0,01323	0,14675	0,28619
0,70	0,30152	0,13415	0,01495	0,13249	0,33514
0,75	0,31668	0,13966	0,01661	0,12022	0,38912
0,80	0,32680	0,14374	0,01808	0,10999	0,44875
0,85	0,33110	0,14589	0,01919	0,10191	0,51495
0,90	0,32878	0,14538	0,01864	0,09615	0,58910
0,95	0,31907	0,14101	0,01892	0,09293	0,67338
1,00	0,30118	0,13077	0,01598	0,09269	0,77154

Таблица 7

Для элемента a при $r \leq R$

p	K_1	K_2	K_3	K_4	K_5
0,00	0,00000	0,00000	0,00000	0,50000	0,00000
0,05	0,50918	0,01838	0,00023	0,53269	0,00123
0,10	1,04979	0,03716	0,00095	0,56710	0,00490
0,15	1,62181	0,05629	0,00214	0,60323	0,01092
0,20	2,22524	0,07576	0,00381	0,64106	0,01924
0,25	2,86010	0,09553	0,00596	0,68060	0,02981
0,30	3,52636	0,11559	0,00858	0,72185	0,04259
0,35	4,22405	0,13589	0,01168	0,76479	0,05752
0,40	4,95315	0,15644	0,01526	0,80943	0,07458
0,45	5,71366	0,17721	0,01932	0,85577	0,09373
0,50	6,50559	0,19818	0,02384	0,90380	0,11493
0,55	7,32894	0,21934	0,02884	0,95352	0,13817
0,60	8,18370	0,24068	0,03430	1,00494	0,16341
0,65	9,06988	0,26219	0,04024	1,05804	0,19063
0,70	9,98748	0,28985	0,04664	1,11282	0,21982
0,75	10,93649	0,30565	0,05350	1,16930	0,25095
0,80	11,91692	0,32758	0,06083	1,22746	0,28400
0,85	12,92876	0,34965	0,06861	1,28730	0,31896
0,90	13,97202	0,37183	0,07686	1,34882	0,35582
0,95	15,04669	0,39412	0,08556	1,41202	0,39456
1,00	16,15278	0,41652	0,09472	1,47691	0,43517

Для элемента a при $r \geq R$

p'	K'_1	K'_2	K'_3	K'_4	K'_5
0,00	6,28318	0,50000	0,08333	0,33333	0,33333
0,05	6,77666	0,49005	0,08542	0,36724	0,34547
0,10	7,27015	0,48145	0,08707	0,40354	0,35596
0,15	7,76362	0,47395	0,08838	0,44224	0,36511
0,20	8,25711	0,46734	0,08945	0,48338	0,37318
0,25	8,75059	0,46148	0,09032	0,52695	0,38033
0,30	9,24407	0,45624	0,09104	0,57296	0,38672
0,35	9,73755	0,45153	0,09164	0,62144	0,39246
0,40	10,23102	0,44728	0,09215	0,67237	0,39764
0,45	10,72450	0,44342	0,09258	0,72578	0,40235
0,50	11,21798	0,43990	0,09294	0,78165	0,40665
0,55	11,71146	0,43627	0,09325	0,84000	0,41058
0,60	12,20494	0,43371	0,09352	0,90083	0,41420
0,65	12,69842	0,43098	0,09375	0,96414	0,41753
0,70	13,19190	0,42845	0,09395	1,02993	0,42062
0,75	13,68538	0,42610	0,09412	1,09820	0,42348
0,80	14,17886	0,42392	0,09428	1,16897	0,42614
0,85	14,67234	0,42189	0,09441	1,24222	0,42863
0,90	15,16582	0,41998	0,09453	1,31796	0,43095
0,95	15,65930	0,41820	0,09463	1,39619	0,43313
1,00	16,15278	0,41652	0,09472	1,47690	0,43517

Продолжение табл. 7

Для элемента б

p	K_1	K_2	K_3	K_4	K_5
0,00	0,00000	0,00000	0,00000	0,50000	0,00000
0,05	0,47777	0,01794	0,00023	0,46903	0,00126
0,10	0,92412	0,03541	0,00094	0,43979	0,00511
0,15	1,33906	0,05234	0,00210	0,41229	0,01164
0,20	1,72259	0,06869	0,00373	0,38653	0,02097
0,25	2,07470	0,08438	0,00579	0,36252	0,03322
0,30	2,39539	0,09934	0,00827	0,34028	0,04854
0,35	2,68467	0,11347	0,01115	0,31981	0,06710
0,40	2,94253	0,12668	0,01440	0,30112	0,08911
0,45	3,16897	0,13884	0,01797	0,28425	0,11480
0,50	3,36400	0,14979	0,02181	0,26919	0,14446
0,55	3,52761	0,15937	0,02582	0,25599	0,17841
0,60	3,65981	0,16736	0,02991	0,24465	0,21708
0,65	3,76059	0,17351	0,03391	0,23523	0,26095
0,70	3,82996	0,17749	0,03763	0,22775	0,31064
0,75	3,86791	0,17891	0,04076	0,22228	0,36691
0,80	3,87444	0,17727	0,04291	0,21888	0,43070
0,85	3,84956	0,17193	0,04347	0,21762	0,50325
0,90	3,79326	0,16207	0,04158	0,21863	0,58612
0,95	3,70554	0,14660	0,03597	0,22203	0,68143
1,00	3,58641	0,12403	0,02466	0,22803	0,79199

Таблица 8

p	K_1	K_2	K_3	K_4	K_5	K_6
0,00	0,00000	0,00000	0,00000	0,00000	0,00000	0,00000
0,05	0,00132	0,21414	0,00444	0,00048	0,31225	0,01406
0,10	0,00741	0,29814	0,00872	0,00191	0,43589	0,02769
0,15	0,02031	0,35932	0,01283	0,00431	0,52678	0,04087
0,20	0,04147	0,40807	0,01678	0,00768	0,60000	0,05362
0,25	0,07203	0,44847	0,02058	0,01203	0,66144	0,06594
0,30	0,11297	0,48263	0,02422	0,01736	0,71414	0,07782
0,35	0,16512	0,51181	0,02770	0,02368	0,75993	0,08926
0,40	0,22920	0,53683	0,03102	0,03100	0,80000	0,10028
0,45	0,30584	0,55825	0,03420	0,03932	0,83516	0,11088
0,50	0,39559	0,57648	0,03722	0,04866	0,86602	0,12104
0,55	0,49894	0,59185	0,04008	0,05902	0,89303	0,13079
0,60	0,61631	0,60456	0,04280	0,07042	0,91652	0,14012
0,65	0,74808	0,61479	0,04537	0,08285	0,93675	0,14903
0,70	0,89456	0,62268	0,04779	0,09634	0,95394	0,15752
0,75	1,05601	0,62833	0,05007	0,11089	0,96824	0,16561
0,80	1,23268	0,63183	0,05221	0,12651	0,97980	0,17329
0,85	1,42473	0,63321	0,05420	0,14322	0,98868	0,18056
0,90	1,63230	0,63253	0,05606	0,16103	0,99499	0,18744
0,95	1,85551	0,62979	0,05778	0,17995	0,99875	0,19391
1,00	2,09440	0,62500	0,05938	0,20000	1,00000	0,20000

Таблица 9

p	K_1	K_2	K_3	K_4	K_5
0,00	0,00000	0,00000	0,00000	0,00000	0,00000
0,05	0,06639	0,19393	0,00585	0,00085	0,01984
0,10	0,18828	0,26904	0,01152	0,00342	0,03937
0,15	0,34678	0,32296	0,01702	0,00768	0,05858
0,20	0,53532	0,36526	0,02235	0,01365	0,07746
0,25	0,75013	0,39969	0,02750	0,02130	0,09602
0,30	0,98874	0,42818	0,03248	0,03063	0,11426
0,35	1,24938	0,45191	0,03727	0,04165	0,13216
0,40	1,53072	0,47163	0,04190	0,05432	0,14973
0,45	1,83171	0,48786	0,04634	0,06866	0,16697
0,50	2,15152	0,50098	0,05060	0,08466	0,18386
0,55	2,48948	0,51130	0,05469	0,10229	0,20042
0,60	2,84504	0,51900	0,05860	0,12156	0,21663
0,65	3,21775	0,52425	0,06232	0,14246	0,23248
0,70	3,60722	0,52720	0,06587	0,16497	0,24799
0,75	4,01317	0,52791	0,06924	0,18909	0,26314
0,80	4,43535	0,52649	0,07242	0,21480	0,27792
0,85	4,87356	0,52295	0,07542	0,24209	0,29234
0,90	5,32766	0,51736	0,07824	0,27095	0,30638
0,95	5,79756	0,50971	0,08088	0,30137	0,32005
1,00	6,28318	0,50000	0,08333	0,33333	0,33333

Таблица 10

p	K_1	K_2	K_3	K_4
0,00	1,57080	0,66667	0,05556	0,16667
0,05	1,57472	0,66583	0,05583	0,16666
0,10	1,58650	0,66336	0,05664	0,16668
0,15	1,60613	0,65933	0,05794	0,16674
0,20	1,63362	0,65384	0,05966	0,16692
0,25	1,66897	0,64705	0,06170	0,16727
0,30	1,71216	0,63914	0,06397	0,16790
0,35	1,76321	0,63028	0,06635	0,16889
0,40	1,82212	0,62068	0,06876	0,17034
0,45	1,88888	0,61053	0,07111	0,17235
0,50	1,96349	0,60000	0,07333	0,17500
0,55	2,04596	0,58925	0,07536	0,17837
0,60	2,13628	0,57843	0,07718	0,18254
0,65	2,23445	0,56766	0,07875	0,18758
0,70	2,34048	0,55704	0,08007	0,19352
0,75	2,45436	0,54666	0,08115	0,20041
0,80	2,57610	0,53658	0,08199	0,20829
0,85	2,70569	0,52685	0,08261	0,21717
0,90	2,84314	0,51749	0,08302	0,22708
0,95	2,98843	0,50854	0,08326	0,23802
1,00	3,14159	0,50000	0,08333	0,25000

Таблица 11

p	K_1	K_2	K_3	K_4
0,00	3,14159	0,00000	0,00000	0,25000
0,05	3,14943	0,02501	0,00021	0,25019
0,10	3,17280	0,05016	0,00083	0,25081
0,15	3,21125	0,07553	0,00187	0,25179
0,20	3,26409	0,10123	0,00333	0,25308
0,25	3,33044	0,12731	0,00520	0,25463
0,30	3,40931	0,15382	0,00747	0,25637
0,35	3,49967	0,18076	0,01016	0,25823
0,40	3,60047	0,20813	0,01324	0,26017
0,45	3,71071	0,23591	0,01670	0,26213
0,50	3,82945	0,26408	0,02055	0,26407
0,55	3,95581	0,29257	0,02477	0,26597
0,60	4,08901	0,32138	0,02935	0,26781
0,65	4,22835	0,35045	0,03429	0,26958
0,70	4,37320	0,37976	0,03958	0,27126
0,75	4,52298	0,40927	0,04521	0,27285
0,80	4,67720	0,43896	0,05119	0,27435
0,85	4,83542	0,46878	0,05749	0,27575
0,90	4,99726	0,49874	0,06414	0,27707
0,95	5,16235	0,52879	0,07111	0,27831
1,00	5,33041	0,55894	0,07841	0,27947

Таблица 12

Коэффициент K_1

p	$n = 0$	$n = 0,1$	$n = 0,2$	$n = 0,3$	$n = 0,4$	$n = 0,5$	$n = 0,6$
0,0	0,00000	0,00000	0,00000	0,00000	0,00000	0,00000	0,00000
0,1		0,03036	0,08692	0,13718	0,18116	0,21886	0,25028
0,2			0,11729	0,22410	0,31835	0,40002	0,46914
0,3				0,25446	0,40526	0,53721	0,65031
0,4					0,43563	0,62412	0,78749
0,5						0,65449	0,87440
0,6							0,90478
0,7							
0,8							
0,9							
1,0							
1,1							
1,2							
1,3							
1,4							
1,5							
1,6							
1,7							
1,8							
1,9							
2,0							
2,1							
2,2							
2,3							
2,4							
2,5							
2,6							
2,7							
2,8							
2,9							
3,0							
3,1							
3,2							
3,3							
3,4							
3,5							
3,6							
3,7							
3,8							
3,9							
4,0							
4,1							
4,2							
4,3							
4,4							
4,5							
4,6							
4,7							
4,8							
4,9							
5,0							
5,1							
5,2							
5,3							
5,4							
5,5							
5,6							
5,7							
5,8							
5,9							
6,0							
6,1							
6,2							
6,3							
6,4							
6,5							
6,6							
6,7							
6,8							
6,9							
7,0							
7,1							
7,2							
7,3							
7,4							
7,5							
7,6							
7,7							
7,8							
7,9							
8,0							
8,1							
8,2							
8,3							
8,4							
8,5							
8,6							
8,7							
8,8							
8,9							
9,0							
9,1							
9,2							
9,3							
9,4							
9,5							
9,6							
9,7							
9,8							
9,9							
10,0							
10,1							
10,2							
10,3							
10,4							
10,5							
10,6							
10,7							
10,8							
10,9							
11,0							
11,1							
11,2							
11,3							
11,4							
11,5							
11,6							
11,7							
11,8							
11,9							
12,0							
12,1							
12,2							
12,3							
12,4							
12,5							
12,6							
12,7							
12,8							
12,9							
13,0							
13,1							
13,2							
13,3							
13,4							
13,5							
13,6							
13,7							
13,8							
13,9							
14,0							
14,1							
14,2							
14,3							
14,4							
14,5							
14,6							
14,7							
14,8							
14,9							
15,0							
15,1							
15,2							
15,3							
15,4							
15,5							
15,6							
15,7							
15,8							
15,9							
16,0							
16,1							
16,2							
16,3							
16,4							
16,5							
16,6							
16,7							
16,8							
16,9							
17,0							
17,1							
17,2							
17,3							
17,4							
17,5							
17,6							
17,7							
17,8							
17,9							
18,0							
18,1							
18,2							
18,3							
18,4							
18,5							
18,6							
18,7							
18,8							
18,9							
19,0							
19,1							
19,2							
19,3							
19,4							
19,5							
19,6							
19,7							
19,8							
19,9							
20,0							
20,1							
20,2							
20,3							
20,4							
20,5							
20,6							
20,7							
20,8							
20,9							
21,0							
21,1							
21,2							
21,3							
21,4							
21,5							
21,6							
21,7							
21,8							
21,9							
22,0							
22,1							
22,2							
22,3							
22,4							
22,5							
22,6							
22,7							
22,8							
22,9							
23,0							
23,1							
23,2							
23,3							
23,4							
23,5							
23,6							
23,7							
23,8							
23,9							
24,0							
24,1							
24,2							
24,3							
24,4							
24,5							
24,6							
24,7							
24,8							
24,9							
25,0							

Продолжение табл. 12

p	$n = 1,4$	$n = 1,5$	$n = 1,6$	$n = 1,7$	$n = 1,8$	$n = 1,9$	$n = 2,0$
0,0	0,00000	0,00000	0,00000	0,00000	0,00000	0,00000	0,00000
0,1	0,27541	0,25028	0,21886	0,18116	0,13718	0,08691	0,03037
0,2	0,56967	0,52569	0,46914	0,40002	0,31834	0,22410	0,11729
0,3	0,87650	0,81995	0,74455	0,65030	0,53721	0,40526	0,25447
0,4	1,18961	1,12678	1,03881	0,92572	0,78749	0,62412	0,43563
0,5	1,50272	1,43989	1,34564	1,21998	1,06290	0,87440	0,65450
0,6	1,80955	1,75300	1,65876	1,52681	1,35616	1,14982	0,90478
0,7	2,10381	2,05983	1,97187	1,83992	1,66399	1,44408	1,18019
0,8	2,37923	2,35410	2,27870	2,15303	1,97710	1,75091	1,47445
0,9	2,62951	2,62951	2,57296	2,45986	2,29022	2,06402	1,78128
1,0	2,84837	2,87979	2,84837	2,75412	2,59704	2,37713	2,09440
1,1	3,02954	3,09865	3,09865	3,02954	2,89131	2,68396	2,40751
1,2	3,16672	3,27982	3,31752	3,27982	3,16672	2,97822	2,71434
1,3	3,25364	3,41700	3,49868	3,49868	3,41700	3,25314	3,00860
1,4	3,28401	3,50392	3,63586	3,67985	3,63586	3,50392	3,28401
1,5		3,53429	3,72278	3,81703	3,81703	3,72278	3,53429
1,6			3,75316	3,90395	3,95421	3,90395	3,75316
1,7				3,93432	4,04113	4,04113	3,93432
1,8					4,07150	4,12805	4,07150
1,9						4,15842	4,15842
2,0							4,18879

Коэффициент K_2

p	$n = 0$	$n = 0,1$	$n = 0,2$	$n = 0,3$	$n = 0,4$	$n = 0,5$	$n = 0,6$
0,0	0,00000	0,00000	0,00000	0,00000	0,00000	0,00000	0,00000
0,1		0,06637	0,05512	0,05286	0,05187	0,05131	0,05094
0,2			0,13214	0,11495	0,10921	0,10628	0,10446
0,3				0,19722	0,17616	0,16710	0,16195
0,4					0,26153	0,23758	0,22553
0,5						0,32500	0,29865
0,6							0,38750
p	$n = 0,7$	$n = 0,8$	$n = 0,9$	$n = 1,0$	$n = 1,1$	$n = 1,2$	$n = 1,3$
0,0	0,00000	0,00000	0,00000	0,00000	0,00000	0,00000	0,00000
0,1	0,05066	0,05044	0,05025	0,05008	0,04991	0,04974	0,04955
0,2	0,10318	0,10220	0,10139	0,10067	0,10000	0,09932	0,09860
0,3	0,15854	0,15603	0,15403	0,15231	0,15075	0,14924	0,14768
0,4	0,21809	0,21290	0,20892	0,20563	0,20273	0,20000	0,19436
0,5	0,28386	0,27414	0,26702	0,26136	0,25653	0,25213	0,24786
0,6	0,35901	0,34166	0,32962	0,32045	0,31290	0,30625	0,30000
0,7	0,44891	0,41840	0,39856	0,38416	0,37276	0,36307	0,35426
0,8		0,50909	0,47655	0,45423	0,43735	0,42352	0,41138
0,9			0,56785	0,53321	0,50833	0,48879	0,47225

Продолжение табл. 12

p	$n = 0,7$	$n = 0,8$	$n = 0,9$	$n = 1,0$	$n = 1,1$	$n = 1,2$	$n = 1,3$
1,0 1,1 1,2 1,3				0,62500	0,58810 0,68026	0,56048 0,64087 0,73333	0,53802 0,61025 0,69113 0,78382
p	$n = 1,4$	$n = 1,5$	$n = 1,6$	$n = 1,7$	$n = 1,8$	$n = 1,9$	$n = 2,0$
0,0 0,1 0,2 0,3 0,4	0,00000 0,04933 0,09779 0,14596 0,19436	0,00000 0,04905 0,09681 0,14396 0,19107	0,00000 0,04868 0,09553 0,14145 0,18709	0,00000 0,04812 0,09371 0,13804 0,18190	0,00000 0,04713 0,09078 0,13289 0,17446	0,00000 0,04487 0,08504 0,12383 0,16241	0,00000 0,03362 0,06786 0,10278 0,13846
0,5 0,6 0,7 0,8 0,9	0,24346 0,29374 0,34573 0,40000 0,45725	0,23863 0,28709 0,33692 0,38861 0,44274	0,23297 0,27954 0,32723 0,37647 0,42774	0,22585 0,27037 0,31583 0,36264 0,41120	0,21613 0,25833 0,30143 0,34576 0,39167	0,20134 0,24098 0,28159 0,32344 0,36678	0,17500 0,21250 0,25109 0,29091 0,33214
1,0 1,1 1,2 1,3 1,4	0,51838 0,58450 0,65714 0,73838 0,83125	0,50000 0,56124 0,62758 0,70049 0,78200	0,48161 0,53875 0,60000 0,66643 0,73951	0,46197 0,51549 0,57241 0,63356 0,70000	0,43951 0,48974 0,54285 0,59950 0,66048	0,41189 0,45912 0,50886 0,56161 0,61799	0,37500 0,41974 0,46667 0,51618 0,56875
1,5 1,6 1,7 1,8 1,9 2,0		0,87500	0,82120 0,91428	0,77314 0,85493 0,94807	0,72685 0,80000 0,88182 0,97500	0,67879 0,74506 0,81817 0,90000 0,99318	0,62500 0,68571 0,75192 0,82500 0,90682 1,00000

Коэффициент K_3

p	$n = 0$	$n = 0,1$	$n = 0,2$	$n = 0,3$	$n = 0,4$	$n = 0,5$	$n = 0,6$
0,0 0,1 0,2 0,3 0,4 0,5 0,6	0,00000	0,00000 0,00056	0,00000 0,00080 0,00225	0,00000 0,00082 0,00308 0,00510	0,00000 0,00083 0,00323 0,00671 0,00914	0,00000 0,00083 0,00328 0,00713 0,01163 0,01438	0,00000 0,00083 0,00330 0,00729 0,01245 0,01784 0,02084

Продолжение табл 12

p	$n = 0,7$	$n = 0,8$	$n = 0,9$	$n = 1,0$	$n = 1,1$	$n = 1,2$	$n = 1,3$
0,0	0,00000	0,00000	0,00000	0,00000	0,00000	0,00000	0,00000
0,1	0,00083	0,00083	0,00083	0,00083	0,00083	0,00083	0,00083
0,2	0,00331	0,00332	0,00332	0,00332	0,00332	0,00332	0,00332
0,3	0,00737	0,00741	0,00743	0,00744	0,00745	0,00745	0,00745
0,4	0,01281	0,01299	0,01310	0,01315	0,01318	0,01319	0,01318
0,5	0,01917	0,01980	0,02014	0,02032	0,02043	0,02047	0,02047
0,6	0,02534	0,02726	0,02823	0,02876	0,02906	0,02921	0,02926
0,7	0,02856	0,03412	0,03671	0,03807	0,03883	0,03924	0,03942
0,8		0,03755	0,04421	0,04750	0,04928	0,05027	0,05077
0,9			0,04782	0,05558	0,05960	0,06180	0,06300
1,0				0,05938	0,06823	0,07295	0,07555
1,1					0,07219	0,08210	0,08748
1,2						0,08622	0,09711
1,3							0,10138
p	$n = 1,4$	$n = 1,5$	$n = 1,6$	$n = 1,7$	$n = 1,8$	$n = 1,9$	$n = 2,0$
0,0	0,00000	0,00000	0,00000	0,00000	0,00000	0,00000	0,00000
0,1	0,00083	0,00083	0,00083	0,00083	0,00082	0,00080	0,00056
0,2	0,00332	0,00331	0,00330	0,00328	0,00323	0,00308	0,00225
0,3	0,00744	0,00741	0,00737	0,00729	0,00713	0,00671	0,00510
0,4	0,01315	0,01310	0,01299	0,01281	0,01245	0,01163	0,00914
0,5	0,02043	0,02032	0,02014	0,01980	0,01917	0,01784	0,01438
0,6	0,02921	0,02906	0,02876	0,02823	0,02726	0,02534	0,02084
0,7	0,03942	0,03924	0,03883	0,03807	0,03671	0,03412	0,02856
0,8	0,05093	0,05077	0,05027	0,04928	0,04750	0,04421	0,03755
0,9	0,06353	0,06353	0,06300	0,06180	0,05960	0,05558	0,04782
1,0	0,07687	0,07727	0,07687	0,07555	0,07295	0,06823	0,05938
1,1	0,09036	0,09164	0,09164	0,09036	0,08748	0,08210	0,07219
1,2	0,10302	0,10600	0,10691	0,10600	0,10302	0,09711	0,08622
1,3	0,11310	0,11932	0,12204	0,12204	0,11932	0,11310	0,10138
1,4	0,11752	0,12982	0,13595	0,13782	0,13595	0,12982	0,11752
1,5		0,13438	0,14683	0,15224	0,15224	0,14683	0,13438
1,6			0,15151	0,16344	0,16705	0,16344	0,15151
1,7				0,16823	0,17850	0,17850	0,16823
1,8					0,18337	0,19011	0,18337
1,9						0,19504	0,19504
2,0							0,20000

Продолжение табл. 12

Коэффициент K_4

p	$n = 0$	$n = 0,1$	$n = 0,2$	$n = 0,3$	$n = 0,4$	$n = 0,5$	$n = 0,6$
0,0 0,1 0,2 0,3 0,4 0,5 0,6	0,00000	0,04749 0,03194	0,09000 0,07134 0,06114	0,12750 0,11024 0,09515 0,08761	0,16000 0,14477 0,12989 0,11733 0,11138	0,18750 0,17452 0,16105 0,14807 0,13739 0,13250	0,21000 0,19937 0,18778 0,17580 0,16438 0,15513 0,15100
p	$n = 0,7$	$n = 0,8$	$n = 0,9$	$n = 1,0$	$n = 1,1$	$n = 1,2$	$n = 1,3$
0,0 0,1 0,2 0,3 0,4	0,22750 0,21928 0,20980 0,19943 0,18873	0,24000 0,23422 0,22699 0,21856 0,20929	0,24750 0,24418 0,23930 0,23301 0,22554	0,25000 0,24916 0,24670 0,24268 0,23726	0,24750 0,24916 0,24916 0,24753 0,24433	0,24000 0,24418 0,24670 0,24753 0,24670	0,22750 0,23422 0,23930 0,24268 0,24433
0,5 0,6 0,7 0,8 0,9	0,17860 0,17049 0,16693	0,19971 0,19066 0,18348 0,18036	0,21724 0,20864 0,20053 0,19412 0,19135	0,23068 0,22327 0,21554 0,20823 0,20247	0,23974 0,23398 0,22738 0,22043 0,21383	0,24430 0,24050 0,23550 0,22964 0,22339	0,24430 0,24268 0,23962 0,23534 0,23017
1,0 1,1 1,2 1,3				0,20000	0,20862 0,20639	0,21741 0,21268 0,21067	0,22455 0,21912 0,21481 0,21297
p	$n = 1,4$	$n = 1,5$	$n = 1,6$	$n = 1,7$	$n = 1,8$	$n = 1,9$	$n = 2,0$
0,0 0,1 0,2 0,3 0,4	0,21000 0,21928 0,22700 0,23301 0,23726	0,18750 0,19937 0,20980 0,21856 0,22554	0,16000 0,17452 0,18778 0,19943 0,20929	0,12750 0,14477 0,16105 0,17580 0,18873	0,09000 0,11024 0,12989 0,14807 0,16438	0,04750 0,07134 0,09515 0,11733 0,13739	0,00000 0,03194 0,06114 0,08761 0,11138
0,5 0,6 0,7 0,8 0,9	0,23974 0,24050 0,23962 0,23726 0,23366	0,23068 0,23398 0,23550 0,23534 0,23366	0,21724 0,22327 0,22738 0,22964 0,23017	0,19971 0,20864 0,20838 0,22043 0,22339	0,17860 0,19066 0,20053 0,20823 0,21383	0,15513 0,17050 0,18348 0,19412 0,20247	0,13250 0,15100 0,16693 0,18036 0,19135
1,0 1,1 1,2 1,3 1,4	0,22911 0,22407 0,21914 0,21519 0,21350	0,23068 0,22671 0,22218 0,21769 0,21406	0,22911 0,22671 0,22327 0,21920 0,21509	0,22455 0,22407 0,22218 0,21920 0,21554	0,21741 0,21912 0,21914 0,21769 0,21509	0,20862 0,21268 0,21481 0,21519 0,21406	0,20000 0,20639 0,21066 0,21297 0,21350
1,5 1,6 1,7 1,8 1,9 2,0		0,21250	0,21174 0,21028	0,21175 0,20863 0,20726	0,21175 0,20823 0,20529 0,20400	0,21174 0,20863 0,20529 0,20247 0,20122	0,21250 0,21028 0,20726 0,20400 0,20122 0,20000

Таблица 13

ρ	K_1	K_2	K_3	K_4	K_5
0,00	0,00000	0,57559	0,06987	0,00000	0,25000
0,05	0,24704	0,57509	0,07003	0,00094	0,25059
0,10	0,49576	0,57369	0,07047	0,00374	0,25220
0,15	0,74761	0,57156	0,07111	0,00838	0,25467
0,20	1,00385	0,56882	0,07189	0,01484	0,25781
0,25	1,26555	0,56558	0,07277	0,02308	0,26150
0,30	1,53364	0,56194	0,07372	0,03305	0,26561
0,35	1,80893	0,55800	0,07468	0,04471	0,27005
0,40	2,09215	0,55381	0,07565	0,05802	0,27474
0,45	2,38392	0,54944	0,07659	0,07294	0,27960
0,50	2,68480	0,54495	0,07750	0,08943	0,28458
0,55	2,99530	0,54037	0,07836	0,10744	0,28962
0,60	3,31586	0,53575	0,07917	0,12695	0,29470
0,65	3,64688	0,53112	0,07991	0,14792	0,29976
0,70	3,98871	0,52650	0,08060	0,17032	0,30480
0,75	4,34169	0,52192	0,08121	0,19412	0,30977
0,80	4,70611	0,51738	0,08176	0,21930	0,31468
0,85	5,08224	0,51291	0,08224	0,24583	0,31950
0,90	5,47031	0,50952	0,08266	0,27369	0,32422
0,95	5,87056	0,50422	0,08303	0,30286	0,32883
1,00	6,28318	0,50000	0,08333	0,33333	0,33333

Таблица 14

φ°	K_1	K_2	K_3	K_4	K_5
0	0,00000	0,58905	0,05302	0,00000	0,02089
10	0,23271	0,58606	0,05249	0,00404	0,02079
20	0,46542	0,57716	0,05103	0,01585	0,02047
30	0,69813	0,56250	0,04899	0,03460	0,01995
40	0,93084	0,54235	0,04692	0,05894	0,01924
50	1,16355	0,51708	0,04548	0,08715	0,01834
60	1,39626	0,48714	0,04540	0,11730	0,01728
70	1,62897	0,45307	0,04735	0,14739	0,01607
80	1,86168	0,41547	0,05187	0,17550	0,01474
90	2,09440	0,37500	0,05938	0,20000	0,01330
100	2,32710	0,33237	0,06993	0,21960	0,01179
110	2,55982	0,28832	0,08339	0,23348	0,01023
120	2,79252	0,24357	0,09932	0,24135	0,00864
130	3,02524	0,19888	0,11705	0,24340	0,00705
140	3,25795	0,15496	0,13569	0,24030	0,00550
150	3,49066	0,11250	0,15426	0,23308	0,00399
160	3,72337	0,07214	0,17179	0,22302	0,00256
170	3,95608	0,03447	0,18728	0,21153	0,00122
180	4,18879	0,00000	0,20000	0,20000	0,00000

Таблица 15

p	K_1	K_2	K_3	K_4
0,00	2,09440	0,37500	0,05938	0,20000
0,05	2,09413	0,37504	0,05937	0,20002
0,10	2,09230	0,37534	0,05932	0,20020
0,15	2,08733	0,37608	0,05923	0,20066
0,20	2,07764	0,37742	0,05910	0,20155
0,25	2,06167	0,37946	0,05898	0,20298
0,30	2,03785	0,38228	0,05891	0,20505
0,35	2,00460	0,39592	0,05893	0,20786
0,40	1,96035	0,39038	0,05909	0,21149
0,45	1,90354	0,39568	0,05943	0,21599
0,50	1,83260	0,40179	0,06000	0,22143
0,55	1,74594	0,40868	0,06082	0,22784
0,60	1,64200	0,41633	0,06194	0,23526
0,65	1,51922	0,42469	0,06336	0,24373
0,70	1,37602	0,43373	0,06513	0,25325
0,75	1,21082	0,44341	0,06724	0,26385
0,80	1,02206	0,45369	0,06971	0,27554
0,85	0,80817	0,46452	0,07255	0,28833
0,90	0,56758	0,47588	0,07576	0,30222
0,95	0,29871	0,48771	0,07936	0,31722
1,00	0,00000	0,50000	0,08333	0,33333

Таблица 16

φ°	K_1	K_2	K_3	K_4	K_5	K_6
0	0,00000	0,78540	0,00000	0,04982	0,00000	0,05936
10	0,34906	0,78142	0,17365	0,04931	0,00673	0,05906
20	0,69813	0,76954	0,34202	0,04804	0,02642	0,05815
30	1,04720	0,75000	0,50000	0,04650	0,05760	0,05669
40	1,39626	0,72314	0,64279	0,04550	0,09823	0,05466
50	1,74533	0,68944	0,76604	0,04609	0,14525	0,05211
60	2,09440	0,64952	0,86602	0,04929	0,19550	0,04909
70	2,44346	0,60409	0,93969	0,05610	0,24565	0,04566
80	2,29252	0,55395	0,98481	0,06729	0,29250	0,04187
90	3,14159	0,50000	1,00000	0,08333	0,33333	0,03779
100	3,49056	0,44316	0,98481	0,10428	0,36600	0,03350
110	3,33972	0,38442	0,93969	0,12975	0,38913	0,02906
120	4,18879	0,32476	0,86602	0,15895	0,40225	0,02455
130	4,53785	0,26517	0,76604	0,19067	0,40567	0,02004
140	4,38692	0,20661	0,64279	0,22347	0,40050	0,01562
150	5,23599	0,15000	0,50000	0,25570	0,38847	0,01134
160	5,08505	0,09619	0,34202	0,28572	0,37170	0,00727
170	5,93412	0,04596	0,17365	0,31209	0,35255	0,00347
180	6,28318	0,00000	0,00000	0,33333	0,33333	0,00000

Таблица 17

Коэффициент K_1

ρ	$\varphi = 15^\circ$	$\varphi = 30^\circ$	$\varphi = 45^\circ$	$\varphi = 60^\circ$	$\varphi = 75^\circ$	$\varphi = 90^\circ$	$\varphi = 105^\circ$	$\varphi = 120^\circ$	$\varphi = 135^\circ$	$\varphi = 150^\circ$	$\varphi = 165^\circ$	$\varphi = 180^\circ$
0,00	0,08727	0,17453	0,26180	0,34906	0,43633	0,52360	0,61086	0,69813	0,78540	0,87266	0,95993	1,04720
0,05	0,09185	0,18370	0,27554	0,36739	0,45924	0,55109	0,64294	0,73478	0,82663	0,91848	1,01033	1,10218
0,10	0,09686	0,19373	0,29060	0,38746	0,48433	0,58119	0,67806	0,77493	0,87179	0,96866	1,06552	1,16239
0,15	0,10232	0,20464	0,30696	0,40928	0,51160	0,61392	0,71624	0,81856	0,92088	1,02320	1,12552	1,22784
0,20	0,10821	0,21642	0,32463	0,43284	0,54105	0,64926	0,75747	0,86568	0,97389	1,08210	1,19031	1,29852
0,25	0,11454	0,22907	0,34361	0,45815	0,57269	0,68722	0,80176	0,91630	1,03084	1,14537	1,25991	1,37445
0,30	0,12130	0,24260	0,36390	0,48520	0,60650	0,72780	0,84910	0,97040	1,09170	1,21300	1,33430	1,45560
0,35	0,12850	0,25700	0,38550	0,51400	0,64250	0,77100	0,89950	1,02800	1,15650	1,28500	1,41350	1,54200
0,40	0,13614	0,27227	0,40841	0,54454	0,68068	0,81681	0,95295	1,08908	1,22522	1,36136	1,49749	1,63363
0,45	0,14421	0,28842	0,43262	0,57683	0,72104	0,86525	1,00945	1,15366	1,29787	1,44208	1,58629	1,73049
0,50	0,15272	0,30543	0,45815	0,61086	0,76358	0,91630	1,06901	1,22173	1,37445	1,52716	1,67988	1,83260
0,55	0,16166	0,32332	0,48498	0,64664	0,80830	0,96997	1,13163	1,29329	1,45495	1,61661	1,77827	1,93993
0,60	0,17104	0,34208	0,51313	0,68417	0,85521	1,02625	1,19730	1,36834	1,53938	1,71042	1,88146	2,05251
0,65	0,18086	0,36172	0,54258	0,72344	0,90430	1,08516	1,26602	1,44688	1,62774	1,80860	1,98946	2,17032
0,70	0,19111	0,38223	0,57334	0,76445	0,95557	1,14668	1,33779	1,52891	1,72002	1,91114	2,10225	2,29336
0,75	0,20180	0,40361	0,60541	0,80721	1,00902	1,21082	1,41262	1,61443	1,81623	2,01804	2,21984	2,42164
0,80	0,21293	0,42586	0,63879	0,85172	1,06465	1,27758	1,49051	1,70344	1,91637	2,12930	2,34223	2,55516
0,85	0,22449	0,44898	0,67348	0,89707	1,12046	1,34696	1,57145	1,79594	2,02044	2,24493	2,46942	2,69392
0,90	0,23649	0,47298	0,70948	0,94597	1,18246	1,41895	1,65544	1,89194	2,12843	2,36492	2,60141	2,83791
0,95	0,24893	0,49786	0,74678	0,99571	1,24464	1,49356	1,74249	1,99142	2,24035	2,48928	2,73820	2,98713
1,00	0,26180	0,52360	0,78540	1,04720	1,30900	1,57080	1,83260	2,09440	2,35619	2,61799	2,87979	3,14159

При $\varphi = 0^\circ$ для всех значений ρ коэффициент $K_1 = 0$.

Продолжение табл. 17

Коэффициент K_4

p	$\varphi = 0^\circ$	$\varphi = 15^\circ$	$\varphi = 30^\circ$	$\varphi = 45^\circ$	$\varphi = 60^\circ$	$\varphi = 75^\circ$	$\varphi = 90^\circ$	$\varphi = 105^\circ$	$\varphi = 120^\circ$	$\varphi = 135^\circ$	$\varphi = 150^\circ$	$\varphi = 165^\circ$
0,00	0,50000	0,49431	0,47746	0,45016	0,41350	0,36896	0,31831	0,26354	0,20675	0,15005	0,09549	0,04494
0,05	0,50006	0,49437	0,47752	0,45021	0,41354	0,36900	0,31835	0,26357	0,20677	0,15007	0,09550	0,04494
0,10	0,50045	0,49475	0,47789	0,45056	0,41387	0,36929	0,31860	0,26378	0,20693	0,15019	0,09558	0,04498
0,15	0,50144	0,49573	0,47884	0,45145	0,41469	0,37002	0,31923	0,26430	0,20734	0,15048	0,09577	0,04507
0,20	0,50322	0,49750	0,48054	0,45306	0,41616	0,37134	0,32036	0,26524	0,20808	0,15102	0,09611	0,04523
0,25	0,50595	0,50019	0,48315	0,45552	0,41842	0,37335	0,32210	0,26668	0,20921	0,15184	0,09663	0,04547
0,30	0,50971	0,50391	0,48674	0,45890	0,42153	0,37612	0,32449	0,26866	0,21076	0,15297	0,09735	0,04581
0,35	0,51456	0,50870	0,49137	0,46326	0,42554	0,37970	0,32758	0,27121	0,21277	0,15442	0,09827	0,04624
0,40	0,52051	0,51459	0,49705	0,46863	0,43046	0,38409	0,33137	0,27435	0,21523	0,15621	0,09941	0,04678
0,45	0,52757	0,52156	0,50379	0,47498	0,43630	0,38930	0,33586	0,27807	0,21815	0,15833	0,10076	0,04742
0,50	0,53571	0,52962	0,51157	0,48231	0,44303	0,39531	0,34105	0,28236	0,22152	0,16077	0,10231	0,04815
0,55	0,54490	0,53870	0,52035	0,49059	0,45063	0,40209	0,34690	0,28721	0,22532	0,16353	0,10407	0,04897
0,60	0,55510	0,54878	0,53008	0,49977	0,45906	0,40962	0,35339	0,29258	0,22953	0,16659	0,10602	0,04989
0,65	0,56625	0,55981	0,54073	0,50981	0,46829	0,41785	0,36049	0,29846	0,23414	0,16994	0,10815	0,05089
0,70	0,57831	0,57173	0,55224	0,52066	0,47826	0,42674	0,36816	0,30482	0,23913	0,17355	0,11045	0,05198
0,75	0,59122	0,58448	0,56457	0,53228	0,48893	0,43627	0,37638	0,31162	0,24446	0,17743	0,11291	0,05314
0,80	0,60492	0,59803	0,57765	0,54462	0,50096	0,44638	0,38510	0,31884	0,25013	0,18154	0,11553	0,05437
0,85	0,61936	0,61231	0,59145	0,55732	0,51291	0,45704	0,39430	0,32645	0,25610	0,18557	0,11829	0,05566
0,90	0,63450	0,62728	0,60590	0,57125	0,52473	0,46821	0,40394	0,33443	0,26236	0,19042	0,12118	0,05702
0,95	0,65028	0,64288	0,62098	0,58548	0,53778	0,47985	0,41398	0,34275	0,26889	0,19515	0,12420	0,05844
1,00	0,66667	0,65908	0,63662	0,60021	0,55133	0,49194	0,42441	0,35139	0,27566	0,20007	0,12732	0,05992

При $\varphi = 180^\circ$ для всех значений p коэффициент $K_4 = 0$.

Продолжение табл. 17

Коэффициент K_a

p	$\varphi = 0^\circ$	$\varphi = 15^\circ$	$\varphi = 30^\circ$	$\varphi = 45^\circ$	$\varphi = 60^\circ$	$\varphi = 75^\circ$	$\varphi = 90^\circ$	$\varphi = 105^\circ$	$\varphi = 120^\circ$	$\varphi = 135^\circ$	$\varphi = 150^\circ$	$\varphi = 165^\circ$	$\varphi = 180^\circ$
0,00	0,05000	0,04890	0,04608	0,04285	0,04104	0,04252	0,04868	0,06008	0,07624	0,09565	0,11607	0,13496	0,15000
0,05	0,04998	0,04888	0,04606	0,04283	0,04103	0,04251	0,04867	0,06008	0,07625	0,09566	0,11608	0,13498	0,15002
0,10	0,04985	0,04875	0,04594	0,04273	0,04095	0,04245	0,04864	0,06009	0,07628	0,09573	0,11618	0,13509	0,15015
0,15	0,04955	0,04846	0,04567	0,04249	0,04076	0,04232	0,04859	0,06011	0,07639	0,09591	0,11643	0,13540	0,15050
0,20	0,04909	0,04801	0,04525	0,04213	0,04047	0,04214	0,04853	0,06019	0,07661	0,09628	0,11692	0,13599	0,15116
0,25	0,04848	0,04741	0,04469	0,04165	0,04010	0,04192	0,04848	0,06035	0,07699	0,09687	0,11772	0,13695	0,15223
0,30	0,04777	0,04672	0,04405	0,04110	0,03969	0,04169	0,04849	0,06063	0,07757	0,09775	0,11887	0,13834	0,15379
0,35	0,04702	0,04599	0,04338	0,04053	0,03928	0,04150	0,04859	0,06107	0,07839	0,09897	0,12045	0,14022	0,15590
0,40	0,04630	0,04528	0,04273	0,03998	0,03890	0,04138	0,04881	0,06171	0,07950	0,10055	0,12250	0,14266	0,15862
0,45	0,04566	0,04466	0,04215	0,03951	0,03862	0,04138	0,04919	0,06257	0,08091	0,10255	0,12505	0,14568	0,16199
0,50	0,04515	0,04416	0,04171	0,03917	0,03846	0,04152	0,04976	0,06369	0,08267	0,10498	0,12814	0,14934	0,16607
0,55	0,04484	0,04386	0,04144	0,03899	0,03847	0,04184	0,05054	0,06508	0,08478	0,10788	0,13179	0,15365	0,17088
0,60	0,04476	0,04378	0,04138	0,03901	0,03867	0,04236	0,05156	0,06677	0,08728	0,11125	0,13602	0,15864	0,17645
0,65	0,04495	0,04397	0,04157	0,03926	0,03909	0,04311	0,05284	0,06878	0,09018	0,11513	0,14087	0,16434	0,18280
0,70	0,04543	0,04444	0,04204	0,03977	0,03974	0,04410	0,05439	0,07111	0,09349	0,11951	0,14632	0,17075	0,18994
0,75	0,04624	0,04523	0,04280	0,04054	0,04066	0,04535	0,05623	0,07379	0,09721	0,12441	0,15241	0,17789	0,19789
0,80	0,04738	0,04636	0,04387	0,04161	0,04184	0,04687	0,05835	0,07680	0,10136	0,12984	0,15913	0,18576	0,20666
0,85	0,04888	0,04782	0,04527	0,04297	0,04330	0,04866	0,06078	0,08017	0,10595	0,13581	0,16649	0,19438	0,21625
0,90	0,05074	0,04964	0,04700	0,04464	0,04505	0,05074	0,06350	0,08390	0,11097	0,14231	0,17449	0,20374	0,22667
0,95	0,05296	0,05181	0,04906	0,04661	0,04709	0,05310	0,06653	0,08798	0,11642	0,14934	0,18314	0,21385	0,23792
1,00	0,05556	0,05435	0,05146	0,04890	0,04941	0,05574	0,06987	0,09242	0,12232	0,15692	0,19244	0,22471	0,25000

Продолжение табл. 17

Коэффициент K_r

p	$\varphi = 15^\circ$	$\varphi = 30^\circ$	$\varphi = 45^\circ$	$\varphi = 60^\circ$	$\varphi = 75^\circ$	$\varphi = 90^\circ$	$\varphi = 105^\circ$	$\varphi = 120^\circ$	$\varphi = 135^\circ$	$\varphi = 150^\circ$	$\varphi = 165^\circ$	$\varphi = 180^\circ$
0,00	0,00675	0,02595	0,05451	0,08798	0,12135	0,15000	0,17046	0,18101	0,18183	0,17481	0,16302	0,15000
0,05	0,00676	0,02596	0,05452	0,08799	0,12137	0,15002	0,17048	0,18103	0,18185	0,17483	0,16304	0,15002
0,10	0,00677	0,02598	0,05456	0,08806	0,12147	0,15015	0,17063	0,18119	0,18201	0,17498	0,16318	0,15015
0,15	0,00678	0,02604	0,05469	0,08827	0,12175	0,15050	0,17103	0,18161	0,18243	0,17539	0,16356	0,15050
0,20	0,00681	0,02615	0,05493	0,08866	0,12229	0,15116	0,17178	0,18241	0,18324	0,17616	0,16428	0,15116
0,25	0,00686	0,02634	0,05532	0,08928	0,12316	0,15223	0,17300	0,18370	0,18454	0,17741	0,16545	0,15223
0,30	0,00693	0,02661	0,05588	0,09020	0,12442	0,15379	0,17477	0,18558	0,18642	0,17922	0,16714	0,15379
0,35	0,00703	0,02697	0,05665	0,09143	0,12612	0,15590	0,17716	0,18813	0,18898	0,18168	0,16943	0,15590
0,40	0,00715	0,02744	0,05764	0,09303	0,12832	0,15862	0,18025	0,19141	0,19227	0,18485	0,17238	0,15862
0,45	0,00730	0,02802	0,05866	0,09501	0,13106	0,16199	0,18409	0,19548	0,19637	0,18879	0,17606	0,16199
0,50	0,00748	0,02873	0,06035	0,09740	0,13435	0,16607	0,18873	0,20041	0,20131	0,19354	0,18049	0,16607
0,55	0,00770	0,02956	0,06209	0,10022	0,13824	0,17088	0,19419	0,20621	0,20714	0,19914	0,18572	0,17088
0,60	0,00795	0,03053	0,06412	0,10349	0,14275	0,17645	0,20052	0,21293	0,21389	0,20563	0,19177	0,17645
0,65	0,00824	0,03162	0,06642	0,10721	0,14788	0,18280	0,20773	0,22059	0,22159	0,21303	0,19866	0,18280
0,70	0,00856	0,03286	0,06902	0,11140	0,15366	0,18994	0,21585	0,22921	0,23024	0,22135	0,20643	0,18994
0,75	0,00892	0,03424	0,07191	0,11606	0,16009	0,19789	0,22488	0,23880	0,23988	0,23062	0,21507	0,19789
0,80	0,00931	0,03575	0,07509	0,12120	0,16719	0,20666	0,23485	0,24938	0,25051	0,24084	0,22460	0,20666
0,85	0,00975	0,03741	0,07858	0,12683	0,17495	0,21625	0,24575	0,26096	0,26214	0,25201	0,23502	0,21625
0,90	0,01022	0,03921	0,08236	0,13294	0,18338	0,22667	0,25759	0,27353	0,27477	0,26416	0,24634	0,22667
0,95	0,01072	0,04116	0,08645	0,13954	0,19248	0,23792	0,27037	0,28710	0,28840	0,27727	0,25857	0,23792
1,00	0,01127	0,04325	0,09084	0,14662	0,20225	0,25000	0,28410	0,30169	0,30305	0,29135	0,27170	0,25000

При $\varphi = 0^\circ$ для всех значений p коэффициент $K_r = 0$.

Продолжение табл. 17

Коэффициент K_8

p	$\varphi = 0^\circ$	$\varphi = 15^\circ$	$\varphi = 30^\circ$	$\varphi = 45^\circ$	$\varphi = 60^\circ$	$\varphi = 75^\circ$	$\varphi = 90^\circ$	$\varphi = 105^\circ$	$\varphi = 120^\circ$	$\varphi = 135^\circ$	$\varphi = 150^\circ$	$\varphi = 165^\circ$
0,00	0,02500	0,02472	0,02387	0,02251	0,02067	0,01845	0,01592	0,01318	0,01034	0,00750	0,00477	0,00225
0,05	0,02627	0,02598	0,02509	0,02366	0,02173	0,01939	0,01673	0,01385	0,01086	0,00788	0,00502	0,00236
0,10	0,02747	0,02715	0,02623	0,02473	0,02272	0,02027	0,01749	0,01448	0,01136	0,00824	0,00524	0,00247
0,15	0,02843	0,02810	0,02714	0,02559	0,02351	0,02098	0,01810	0,01498	0,01175	0,00853	0,00543	0,00255
0,20	0,02905	0,02872	0,02774	0,02616	0,02403	0,02144	0,01850	0,01531	0,01201	0,00872	0,00555	0,00261
0,25	0,02929	0,02896	0,02797	0,02637	0,02423	0,02162	0,01865	0,01544	0,01211	0,00879	0,00559	0,00263
0,30	0,02913	0,02880	0,02782	0,02623	0,02409	0,02150	0,01854	0,01535	0,01204	0,00874	0,00556	0,00261
0,35	0,02856	0,02824	0,02728	0,02572	0,02362	0,02108	0,01818	0,01506	0,01181	0,00857	0,00546	0,00257
0,40	0,02762	0,02731	0,02638	0,02487	0,02284	0,02038	0,01758	0,01456	0,01142	0,00829	0,00528	0,00248
0,45	0,02634	0,02604	0,02515	0,02371	0,02178	0,01943	0,01677	0,01388	0,01089	0,00790	0,00503	0,00237
0,50	0,02474	0,02446	0,02363	0,02228	0,02046	0,01826	0,01575	0,01304	0,01023	0,00743	0,00472	0,00222
0,55	0,02289	0,02263	0,02186	0,02061	0,01893	0,01689	0,01457	0,01206	0,00946	0,00687	0,00437	0,00206
0,60	0,02081	0,02057	0,01987	0,01873	0,01721	0,01535	0,01325	0,01097	0,00860	0,00624	0,00397	0,00187
0,65	0,01854	0,01833	0,01771	0,01669	0,01533	0,01368	0,01180	0,00977	0,00767	0,00554	0,00354	0,00167
0,70	0,01612	0,01594	0,01540	0,01452	0,01334	0,01190	0,01026	0,00850	0,00667	0,00484	0,00308	0,00145
0,75	0,01359	0,01344	0,01298	0,01224	0,01124	0,01003	0,00865	0,00716	0,00562	0,00408	0,00260	0,00122
0,80	0,01097	0,01084	0,01047	0,00987	0,00907	0,00809	0,00698	0,00578	0,00453	0,00329	0,00209	0,00098
0,85	0,00828	0,00818	0,00790	0,00745	0,00684	0,00611	0,00527	0,00436	0,00342	0,00248	0,00158	0,00074
0,90	0,00564	0,00554	0,00532	0,00499	0,00458	0,00409	0,00353	0,00292	0,00229	0,00166	0,00106	0,00050
0,95	0,00278	0,00274	0,00265	0,00250	0,00230	0,00205	0,00177	0,00146	0,00115	0,00083	0,00053	0,00026
1,00	0,00000	0,00000	0,00000	0,00000	0,00000	0,00000	0,00000	0,00000	0,00000	0,00000	0,00000	0,00000

При $\varphi = 180^\circ$ для всех значений p коэффициент $K_8 = 0$.

Таблица 18

Коэффициент K_1

p	$n = 0$	$n = 0,05$	$n = 0,10$	$n = 0,15$	$n = 0,20$	$n = 0,25$	$n = 0,30$
0,00	0,00000	0,15708	0,31416	0,47124	0,62832	0,78540	0,94248
0,05		0,00000	0,16493	0,32987	0,49480	0,65973	0,82467
0,10			0,00000	0,17278	0,34557	0,51836	0,69115
0,15				0,00000	0,18064	0,36128	0,54192
0,20					0,00000	0,18850	0,37699
0,25						0,00000	0,19635
0,30							0,00000
p	$n = 0,35$	$n = 0,40$	$n = 0,45$	$n = 0,50$	$n = 0,55$	$n = 0,60$	$n = 0,65$
0,00	1,09956	1,25664	1,41372	1,57080	1,72788	1,88496	2,04204
0,05	0,98960	1,15454	1,31947	1,48440	1,64934	1,81427	1,97920
0,10	0,86393	1,03673	1,20951	1,38230	1,55504	1,72788	1,90066
0,15	0,72256	0,90321	1,08385	1,26449	1,44513	1,62577	1,80642
0,20	0,56548	0,75398	0,94248	1,13097	1,31947	1,50796	1,69648
0,25	0,39269	0,58904	0,78540	0,98175	1,17810	1,37444	1,57080
0,30	0,20420	0,40841	0,61261	0,81681	1,02102	1,22522	1,42942
0,35	0,00000	0,21206	0,42412	0,63617	0,84823	1,06029	1,27235
0,40		0,00000	0,21991	0,43982	0,65973	0,87965	1,09956
0,45			0,00000	0,22777	0,45553	0,68330	0,91106
0,50				0,00000	0,23562	0,47124	0,70686
0,55					0,00000	0,24347	0,48695
0,60						0,00000	0,25133
0,65							0,00000
p	$n = 0,70$	$n = 0,75$	$n = 0,80$	$n = 0,85$	$n = 0,90$	$n = 0,95$	$n = 1,00$
0,00	2,19911	2,35619	2,51327	2,67035	2,82743	2,98451	3,14159
0,05	2,14414	2,30907	2,47400	2,63894	2,80387	2,96881	3,13374
0,10	2,07346	2,24624	2,41903	2,59181	2,76460	2,93739	3,11018
0,15	1,98706	2,16710	2,34834	2,52898	2,70982	2,89027	3,07091
0,20	1,88496	2,07345	2,26195	2,45044	2,63834	2,82743	3,01593
0,25	1,76715	1,96350	2,15984	2,35619	2,55254	2,74889	2,94524
0,30	1,63363	1,83783	2,04203	2,24624	2,45044	2,65465	2,85885
0,35	1,48440	1,69646	1,90652	2,12058	2,33263	2,54469	2,75675
0,40	1,31949	1,53938	1,75929	1,97920	2,19911	2,41903	2,63894
0,45	1,13883	1,36659	1,59436	1,82212	2,04989	2,27765	2,50542
0,50	0,94248	1,17810	1,41372	1,64934	1,88496	2,12058	2,38619
0,55	0,73042	0,97389	1,21737	1,46084	1,70431	1,94778	2,19126
0,60	0,50265	0,75398	1,00531	1,25696	1,50796	1,75929	2,01062
0,65	0,25918	0,51836	0,77754	1,03673	1,29591	1,55509	1,81427
0,70	0,00000	0,26704	0,53407	0,80111	1,06814	1,33518	1,60221
0,75		0,00000	0,27489	0,54978	0,82467	1,09956	1,37445
0,80			0,00000	0,28274	0,56549	0,84823	1,13097
0,85				0,00000	0,29060	0,58119	0,87179
0,90					0,00000	0,29845	0,59690
0,95						0,00000	0,30631
1,00							0,00000

Продолжение табл. 18

Коэффициент K_2

p	$n = 0$	$n = 0,05$	$n = 0,10$	$n = 0,15$	$n = 0,20$	$n = 0,25$	$n = 0,30$
0,00	0,66667	0,65833	0,65000	0,64167	0,63333	0,62500	0,61667
0,05		0,65079	0,64286	0,63492	0,62698	0,61905	0,61111
0,10			0,63636	0,62879	0,62121	0,61364	0,60606
0,15				0,62319	0,61594	0,60864	0,60145
0,20					0,61111	0,60417	0,59722
0,25						0,60000	0,59333
0,30							0,58974
p	$n = 0,35$	$n = 0,40$	$n = 0,45$	$n = 0,50$	$n = 0,55$	$n = 0,60$	$n = 0,65$
0,00	0,60833	0,60000	0,59167	0,58333	0,57500	0,56667	0,55833
0,05	0,60317	0,59524	0,58730	0,57936	0,57143	0,56349	0,55556
0,10	0,59848	0,59091	0,58333	0,57576	0,56818	0,56061	0,55303
0,15	0,59420	0,58696	0,57971	0,57246	0,56522	0,55797	0,55072
0,20	0,59028	0,58333	0,57639	0,56944	0,56250	0,55556	0,54861
0,25	0,58667	0,58000	0,57333	0,56667	0,56000	0,55333	0,54667
0,30	0,58333	0,57692	0,57051	0,56410	0,55769	0,55128	0,54487
0,35	0,58025	0,57407	0,56790	0,56173	0,55556	0,54938	0,54321
0,40		0,57143	0,56548	0,55952	0,55357	0,54762	0,54167
0,45			0,56322	0,55747	0,55172	0,54598	0,54023
0,50				0,55556	0,55000	0,54444	0,53889
0,55					0,54840	0,54301	0,53763
0,60						0,54167	0,53646
0,65							0,53535
p	$n = 0,70$	$n = 0,75$	$n = 0,80$	$n = 0,85$	$n = 0,90$	$n = 0,95$	$n = 1,00$
0,00	0,55000	0,54167	0,53333	0,52500	0,51667	0,50833	0,50000
0,05	0,54761	0,53968	0,53174	0,52381	0,51587	0,50794	0,50000
0,10	0,54545	0,53788	0,53030	0,52273	0,51515	0,50758	0,50000
0,15	0,54348	0,53623	0,52899	0,52174	0,51449	0,50724	0,50000
0,20	0,54167	0,53472	0,52778	0,52083	0,51389	0,50694	0,50000
0,25	0,54000	0,53333	0,52667	0,52000	0,51333	0,50667	0,50000
0,30	0,53846	0,53205	0,52564	0,51923	0,51282	0,50641	0,50000
0,35	0,53704	0,53086	0,52469	0,51852	0,51235	0,50617	0,50000
0,40	0,53571	0,52976	0,52381	0,51786	0,51190	0,50595	0,50000
0,45	0,53448	0,52874	0,52299	0,51724	0,51149	0,50575	0,50000
0,50	0,53333	0,52778	0,52222	0,51667	0,51111	0,50556	0,50000
0,55	0,53226	0,52688	0,52150	0,51613	0,51075	0,50538	0,50000
0,60	0,53125	0,52604	0,52083	0,51562	0,51042	0,50521	0,50000
0,65	0,53030	0,52525	0,52020	0,51515	0,51010	0,50505	0,50000
0,70	0,52941	0,52451	0,51961	0,51471	0,50980	0,50490	0,50000
0,75		0,52381	0,51905	0,51429	0,50952	0,50476	0,50000
0,80			0,51852	0,51389	0,50926	0,50463	0,50000
0,85				0,51351	0,50901	0,50450	0,50000
0,90					0,50877	0,50439	0,50000
0,95						0,50427	0,50000
1,00							0,50000

Продолжение табл. 18

Коэффициент K_3

p	$n = 0$	$n = 0,05$	$n = 0,10$	$n = 0,15$	$n = 0,20$	$n = 0,25$	$n = 0,30$
0,00	0,05556	0,05826	0,06083	0,06326	0,06556	0,06771	0,06972
0,05		0,06060	0,06292	0,06513	0,06721	0,06916	0,07099
0,10			0,06474	0,06675	0,06864	0,07042	0,07208
0,15				0,06816	0,06989	0,07152	0,07304
0,20					0,07099	0,07248	0,07388
0,25						0,07333	0,07462
0,30							0,07528
p	$n = 0,35$	$n = 0,40$	$n = 0,45$	$n = 0,50$	$n = 0,55$	$n = 0,60$	$n = 0,65$
0,00	0,07160	0,07333	0,07493	0,07639	0,07771	0,07889	0,07993
0,05	0,07269	0,07426	0,07571	0,07703	0,07823	0,07930	0,08025
0,10	0,07363	0,07507	0,07639	0,07759	0,07868	0,07966	0,08052
0,15	0,07446	0,07577	0,07698	0,07808	0,07908	0,07997	0,08076
0,20	0,07518	0,07639	0,07750	0,07851	0,07943	0,08025	0,08097
0,25	0,07582	0,07693	0,07796	0,07889	0,07973	0,08049	0,08116
0,30	0,07639	0,07742	0,07836	0,07922	0,08000	0,08070	0,08132
0,35	0,07689	0,07785	0,07872	0,07952	0,08025	0,08089	0,08147
0,40		0,07823	0,07905	0,07979	0,08046	0,08106	0,08160
0,45			0,07934	0,08003	0,08066	0,08122	0,08171
0,50				0,08025	0,08083	0,08136	0,08182
0,55					0,08099	0,08148	0,08192
0,60						0,08160	0,08200
0,65							0,08208
p	$n = 0,70$	$n = 0,75$	$n = 0,80$	$n = 0,85$	$n = 0,90$	$n = 0,95$	$n = 1,00$
0,00	0,08083	0,08160	0,08222	0,08271	0,08306	0,08326	0,08333
0,05	0,08106	0,08176	0,08232	0,08277	0,08308	0,08327	0,08333
0,10	0,08127	0,08190	0,08242	0,08282	0,08310	0,08328	0,08333
0,15	0,08144	0,08202	0,08249	0,08286	0,08312	0,08328	0,08333
0,20	0,08160	0,08213	0,08256	0,08290	0,08314	0,08328	0,08333
0,25	0,08173	0,08222	0,08262	0,08293	0,08316	0,08329	0,08333
0,30	0,08185	0,08231	0,08268	0,08296	0,08317	0,08329	0,08333
0,35	0,08196	0,08238	0,08272	0,08300	0,08318	0,08330	0,08333
0,40	0,08206	0,08245	0,08277	0,08301	0,08319	0,08330	0,08333
0,45	0,08214	0,08251	0,08280	0,08304	0,08320	0,08330	0,08333
0,50	0,08222	0,08256	0,08284	0,08305	0,08321	0,08330	0,08333
0,55	0,08229	0,08261	0,08287	0,08307	0,08322	0,08330	0,08333
0,60	0,08236	0,08266	0,08290	0,08309	0,08322	0,08331	0,08333
0,65	0,08242	0,08270	0,08292	0,08310	0,08323	0,08331	0,08333
0,70	0,08247	0,08273	0,08295	0,08312	0,08324	0,08331	0,08333
0,75		0,08277	0,08297	0,08313	0,08324	0,08331	0,08333
0,80			0,08299	0,08314	0,08325	0,08331	0,08333
0,85				0,08315	0,08325	0,08331	0,08333
0,90					0,08326	0,08331	0,08333
0,95						0,08332	0,08333
1,00							0,08333

Продолжение табл. 18

Коэффициент K_4

p	$n = 0$	$n = 0,05$	$n = 0,10$	$n = 0,15$	$n = 0,20$	$n = 0,25$	$n = 0,30$
0,00	0,25000	0,23812	0,22750	0,21812	0,21000	0,20312	0,19750
0,05		0,25062	0,23938	0,22937	0,22062	0,21312	0,20688
0,10			0,25250	0,24187	0,23250	0,22437	0,21750
0,15				0,25562	0,24562	0,23688	0,22938
0,20					0,26000	0,25062	0,24520
0,25						0,26562	0,25687
0,30							0,27250
p	$n = 0,35$	$n = 0,40$	$n = 0,45$	$n = 0,50$	$n = 0,55$	$n = 0,60$	$n = 0,65$
0,00	0,19312	0,01900	0,18813	0,18750	0,18812	0,19000	0,19312
0,05	0,20187	0,19813	0,19562	0,19438	0,19438	0,19563	0,19812
0,10	0,21187	0,20750	0,20437	0,20250	0,20187	0,20250	0,20438
0,15	0,22312	0,21813	0,21438	0,21188	0,21062	0,21062	0,21188
0,20	0,23562	0,23000	0,22562	0,22250	0,22062	0,22000	0,22062
0,25	0,24938	0,24312	0,23812	0,23438	0,23187	0,23062	0,23062
0,30	0,26437	0,25750	0,25187	0,24750	0,24437	0,24250	0,24187
0,35	0,28062	0,27312	0,26688	0,26187	0,25812	0,25562	0,25437
0,40		0,29000	0,28312	0,27750	0,27312	0,27000	0,26812
0,45			0,30062	0,29438	0,28938	0,28562	0,28312
0,50				0,31250	0,30687	0,30250	0,29937
0,55					0,32562	0,32062	0,31687
0,60						0,34000	0,33562
0,65							0,35562
p	$n = 0,70$	$n = 0,75$	$n = 0,80$	$n = 0,85$	$n = 0,90$	$n = 0,95$	$n = 1,00$
0,00	0,19750	0,20312	0,21000	0,21812	0,22750	0,23812	0,25000
0,05	0,20187	0,20688	0,21312	0,22062	0,22937	0,23937	0,25062
0,10	0,20750	0,21187	0,21750	0,22437	0,23250	0,24187	0,25250
0,15	0,21438	0,21812	0,22312	0,22937	0,23688	0,24562	0,25562
0,20	0,22250	0,22562	0,23000	0,23562	0,24250	0,25062	0,26000
0,25	0,23187	0,23438	0,23812	0,24312	0,24937	0,25688	0,26562
0,30	0,24250	0,24437	0,24750	0,25187	0,25750	0,26437	0,27250
0,35	0,25437	0,25562	0,25812	0,26187	0,26688	0,27312	0,28062
0,40	0,26750	0,26812	0,27000	0,27312	0,27750	0,28312	0,29000
0,45	0,28187	0,28187	0,28313	0,28562	0,28938	0,29438	0,30062
0,50	0,29750	0,29687	0,29750	0,29937	0,30250	0,30688	0,31250
0,55	0,31437	0,31312	0,31312	0,31437	0,31687	0,32062	0,32562
0,60	0,33250	0,33062	0,33000	0,33062	0,33250	0,33562	0,34000
0,65	0,35187	0,34937	0,34812	0,34812	0,34937	0,35187	0,35562
0,70	0,37250	0,36937	0,36750	0,36687	0,36750	0,36937	0,37250
0,75		0,39062	0,38812	0,38687	0,38687	0,38812	0,39062
0,80			0,41000	0,40812	0,40750	0,40812	0,41000
0,85				0,43062	0,42937	0,42937	0,43062
0,90					0,45250	0,45187	0,45250
0,95						0,47562	0,47562
1,00							0,50000

Таблица 19

p	K_2	K_5	p	K_2	K_5
0,000	0,75000	0,03750			
0,050	0,73693	0,04148	0,55	0,59412	0,07530
0,100	0,72297	0,04577	0,60	0,58163	0,07802
0,150	0,70842	0,05016	0,65	0,56966	0,07946
0,200	0,69354	0,05447	0,70	0,55821	0,08062
0,250	0,67857	0,05858	0,75	0,54729	0,08154
0,300	0,66366	0,06242	0,80	0,53688	0,08224
0,350	0,64898	0,06592	0,85	0,52696	0,08275
0,400	0,63461	0,06905	0,90	0,51752	0,08308
0,450	0,62065	0,07182	0,95	0,50854	0,08327
0,500	0,60714	0,07423	1,00	0,50000	0,08333

Таблица 20

Коэффициент K_4

p	$\varphi = 0^\circ$	$\varphi = 15^\circ$	$\varphi = 30^\circ$	$\varphi = 45^\circ$	$\varphi = 60^\circ$	$\varphi = 75^\circ$	$\varphi = 90^\circ$	$\varphi = 105^\circ$	$\varphi = 120^\circ$	$\varphi = 135^\circ$	$\varphi = 150^\circ$	$\varphi = 165^\circ$
0,00	0,66667	0,65908	0,63662	0,60021	0,55133	0,49194	0,42441	0,35139	0,27566	0,20007	0,12732	0,05992
0,05	0,66825	0,66065	0,63814	0,60164	0,55264	0,49311	0,42542	0,35222	0,27632	0,20055	0,12763	0,06006
0,10	0,67373	0,66507	0,64241	0,60567	0,55634	0,49641	0,42827	0,35458	0,27817	0,20189	0,12848	0,06046
0,15	0,67971	0,67197	0,64908	0,61195	0,56212	0,50157	0,43372	0,35826	0,28105	0,20398	0,12982	0,06109
0,20	0,68689	0,67805	0,65784	0,62022	0,56971	0,50834	0,43556	0,36310	0,28485	0,20674	0,13157	0,06191
0,25	0,70000	0,69203	0,66845	0,63022	0,57890	0,51654	0,44563	0,36896	0,28945	0,21007	0,13369	0,06291
0,30	0,71282	0,70470	0,68069	0,64176	0,58950	0,52600	0,45380	0,37571	0,29475	0,21392	0,13614	0,06406
0,35	0,72716	0,71888	0,69439	0,65467	0,60136	0,53658	0,46292	0,38327	0,30068	0,21822	0,13888	0,06535
0,40	0,74286	0,73440	0,70938	0,66881	0,61436	0,54816	0,47292	0,39154	0,30717	0,22294	0,14188	0,06676
0,45	0,75977	0,75112	0,72553	0,68403	0,62832	0,56064	0,48368	0,40046	0,31416	0,22801	0,14510	0,06828
0,50	0,77778	0,76892	0,74272	0,70025	0,64322	0,57393	0,49515	0,40995	0,32161	0,23342	0,14854	0,06990
0,55	0,79677	0,78770	0,76086	0,71735	0,65893	0,58795	0,50724	0,41996	0,32946	0,23912	0,15217	0,07161
0,60	0,81667	0,80737	0,77986	0,73526	0,67538	0,60263	0,51991	0,43045	0,33769	0,24509	0,15597	0,07340
0,65	0,83737	0,82784	0,79963	0,75390	0,69250	0,61791	0,53309	0,44136	0,34625	0,25130	0,15993	0,07526
0,70	0,85882	0,84905	0,82012	0,77321	0,71024	0,63374	0,54674	0,45267	0,35512	0,25774	0,16402	0,07719
0,75	0,88095	0,87092	0,84125	0,79314	0,72854	0,65007	0,56083	0,46433	0,36427	0,26438	0,16825	0,07917
0,80	0,90370	0,89342	0,86297	0,81362	0,74736	0,66685	0,57532	0,47632	0,37368	0,27121	0,17259	0,08122
0,85	0,92703	0,91647	0,88524	0,83462	0,76664	0,68406	0,59016	0,48862	0,38332	0,27820	0,17705	0,08332
0,90	0,95088	0,94005	0,90802	0,85609	0,78637	0,70166	0,60535	0,50119	0,39318	0,28536	0,18160	0,08546
0,95	0,97526	0,96411	0,93126	0,87800	0,80650	0,71962	0,62084	0,51402	0,40325	0,29267	0,18625	0,08765
1,00	1,00000	0,98862	0,95493	0,90032	0,82699	0,73791	0,63662	0,52708	0,41350	0,30010	0,19098	0,08987

При $\varphi = 180^\circ$ для всех значений p коэффициент $K_4 = 0$.

Продолжение табл. 20

Коэффициент K_s

ρ	$\varphi = 0^\circ$	$\varphi = 15^\circ$	$\varphi = 30^\circ$	$\varphi = 45^\circ$	$\varphi = 60^\circ$	$\varphi = 75^\circ$	$\varphi = 90^\circ$	$\varphi = 105^\circ$	$\varphi = 120^\circ$	$\varphi = 135^\circ$	$\varphi = 150^\circ$	$\varphi = 165^\circ$	$\varphi = 180^\circ$
0,00	0,05556	0,05435	0,05146	0,04890	0,04951	0,05574	0,06987	0,09242	0,12232	0,15692	0,19244	0,22471	0,25000
0,05	0,05469	0,05350	0,05067	0,04821	0,04884	0,05533	0,06964	0,09237	0,12246	0,15722	0,19288	0,22526	0,25062
0,10	0,05244	0,05130	0,04863	0,04641	0,04739	0,05430	0,06908	0,09233	0,12292	0,15816	0,19423	0,22692	0,25250
0,15	0,04924	0,04818	0,04573	0,04387	0,04535	0,05288	0,06838	0,09240	0,12378	0,15977	0,19649	0,22970	0,25562
0,20	0,04543	0,04446	0,04226	0,04085	0,04294	0,05125	0,06766	0,09269	0,12510	0,16208	0,19969	0,23360	0,26000
0,25	0,04125	0,04037	0,03847	0,03755	0,04034	0,04954	0,06704	0,09326	0,12693	0,16513	0,20382	0,23861	0,26562
0,30	0,03689	0,03611	0,03451	0,03412	0,03767	0,04787	0,06657	0,09416	0,12928	0,16891	0,20890	0,24474	0,27250
0,35	0,03249	0,03181	0,03053	0,03068	0,03503	0,04630	0,06632	0,09544	0,13220	0,17345	0,21492	0,25199	0,28062
0,40	0,02816	0,02758	0,02661	0,02732	0,03250	0,04490	0,06635	0,09713	0,13569	0,17876	0,22190	0,26037	0,29000
0,45	0,02400	0,02352	0,02285	0,02411	0,03014	0,04372	0,06667	0,09924	0,13977	0,18484	0,22985	0,26986	0,30062
0,50	0,02006	0,01967	0,01930	0,02110	0,02799	0,04278	0,06733	0,10181	0,14446	0,19170	0,23875	0,28048	0,31250
0,55	0,01640	0,01610	0,01600	0,01834	0,02608	0,04213	0,06833	0,10483	0,14976	0,19935	0,24861	0,29223	0,32562
0,60	0,01306	0,01283	0,01300	0,01584	0,02445	0,04177	0,06970	0,10833	0,15567	0,20778	0,25944	0,30510	0,34000
0,65	0,01006	0,00990	0,01031	0,01366	0,02312	0,04173	0,07144	0,11231	0,16221	0,21701	0,27123	0,31909	0,35562
0,70	0,00742	0,00733	0,00796	0,01178	0,02208	0,04202	0,07357	0,11677	0,16938	0,22702	0,28398	0,33420	0,37250
0,75	0,00517	0,00514	0,00597	0,01024	0,02137	0,04264	0,07609	0,12173	0,17717	0,23783	0,29771	0,35044	0,39062
0,80	0,00332	0,00333	0,00434	0,00904	0,02099	0,04361	0,07901	0,12718	0,18560	0,24944	0,31240	0,36781	0,41000
0,85	0,00187	0,00192	0,00309	0,00818	0,02094	0,04492	0,08233	0,13313	0,19466	0,26184	0,32805	0,38630	0,43062
0,90	0,00083	0,00091	0,00221	0,00768	0,02123	0,04659	0,08605	0,13958	0,20435	0,27504	0,34468	0,40591	0,45250
0,95	0,00021	0,00030	0,00172	0,00753	0,02186	0,04860	0,09018	0,14653	0,21468	0,28904	0,36227	0,42665	0,47562
1,00	0,00000	0,00010	0,00161	0,00774	0,02283	0,05098	0,09472	0,15398	0,22565	0,30383	0,38082	0,44852	0,50000

Продолжение табл. 20

Коэффициент K_s

p	$\varphi = 15^\circ$	$\varphi = 30^\circ$	$\varphi = 45^\circ$	$\varphi = 60^\circ$	$\varphi = 75^\circ$	$\varphi = 90^\circ$	$\varphi = 105^\circ$	$\varphi = 120^\circ$	$\varphi = 135^\circ$	$\varphi = 150^\circ$	$\varphi = 165^\circ$	$\varphi = 180^\circ$
0,00	0,011127	0,04325	0,09084	0,14662	0,20225	0,25000	0,28410	0,30169	0,30305	0,29135	0,27170	0,25000
0,05	0,011130	0,04336	0,09107	0,14699	0,20276	0,25062	0,28481	0,30244	0,30381	0,29208	0,27238	0,25062
0,10	0,011138	0,04368	0,09175	0,14809	0,20428	0,25250	0,28694	0,30470	0,30608	0,29426	0,27442	0,25250
0,15	0,011152	0,04422	0,09289	0,14992	0,20680	0,25562	0,29050	0,30848	0,30987	0,29790	0,27782	0,25562
0,20	0,011172	0,04498	0,09448	0,15249	0,21034	0,26000	0,29547	0,31375	0,31517	0,30300	0,28957	0,26000
0,25	0,011197	0,04595	0,09652	0,15579	0,21489	0,26562	0,30186	0,32054	0,32199	0,30956	0,28868	0,26562
0,30	0,01228	0,04714	0,09902	0,15982	0,22046	0,27250	0,30967	0,32884	0,33033	0,31757	0,29616	0,27250
0,35	0,01265	0,04855	0,10197	0,16459	0,22703	0,28062	0,31891	0,33864	0,34018	0,32704	0,30499	0,28062
0,40	0,01307	0,05017	0,10538	0,17008	0,23461	0,29000	0,32956	0,34966	0,35154	0,33797	0,31518	0,29000
0,45	0,01355	0,05201	0,10924	0,17632	0,24321	0,30062	0,34164	0,36278	0,36442	0,35035	0,32672	0,30062
0,50	0,01408	0,05406	0,11356	0,18328	0,25282	0,31250	0,35513	0,37711	0,37881	0,36419	0,33963	0,31250
0,55	0,01468	0,05634	0,11832	0,19098	0,26344	0,32562	0,37005	0,39295	0,39472	0,37948	0,35389	0,32562
0,60	0,01532	0,05882	0,12355	0,19941	0,27506	0,34000	0,38638	0,41029	0,41215	0,39624	0,36952	0,34000
0,65	0,01603	0,06152	0,12923	0,20858	0,28770	0,35562	0,40414	0,42915	0,43109	0,41444	0,38650	0,35562
0,70	0,01679	0,06444	0,13536	0,21847	0,30136	0,37250	0,42332	0,44951	0,45155	0,43411	0,40484	0,37250
0,75	0,01760	0,06758	0,14194	0,22910	0,31602	0,39062	0,44391	0,47139	0,47352	0,45523	0,42454	0,39062
0,80	0,01848	0,07093	0,14898	0,24047	0,33170	0,41000	0,46593	0,49477	0,49700	0,47781	0,44559	0,41000
0,85	0,01941	0,07450	0,15648	0,25256	0,34388	0,43062	0,48937	0,51066	0,52001	0,50185	0,46801	0,43062
0,90	0,02039	0,07828	0,16443	0,26539	0,36608	0,45250	0,51823	0,54605	0,54852	0,52734	0,49178	0,45250
0,95	0,02144	0,08229	0,17283	0,27896	0,38479	0,47562	0,54051	0,57396	0,57656	0,55429	0,51691	0,47562
1,00	0,02254	0,08650	0,18169	0,29325	0,40451	0,50000	0,56821	0,60337	0,60610	0,58270	0,54340	0,50000

При $\varphi = 0^\circ$ для всех значений p коэффициент $K_s = 0$.

Продолжение табл. 20

Коэффициент K_r

p	$\varphi = 0^\circ$	$\varphi = 15^\circ$	$\varphi = 30^\circ$	$\varphi = 45^\circ$	$\varphi = 60^\circ$	$\varphi = 75^\circ$	$\varphi = 90^\circ$	$\varphi = 105^\circ$	$\varphi = 120^\circ$	$\varphi = 135^\circ$	$\varphi = 150^\circ$	$\varphi = 165^\circ$
0,00	0,05556	0,05492	0,05306	0,05002	0,04594	0,04100	0,03537	0,02928	0,02297	0,01667	0,01061	0,00499
0,05	0,05756	0,05691	0,05497	0,05183	0,04761	0,04248	0,03665	0,03034	0,02380	0,01728	0,01099	0,00517
0,10	0,05926	0,05760	0,05564	0,05246	0,04818	0,04299	0,03709	0,03071	0,02409	0,01748	0,01113	0,00524
0,15	0,05763	0,05727	0,05532	0,05216	0,04791	0,04275	0,03688	0,03054	0,02396	0,01739	0,01106	0,00521
0,20	0,05679	0,05614	0,05423	0,05113	0,04696	0,04191	0,03615	0,02993	0,02348	0,01704	0,01085	0,00510
0,25	0,05500	0,05437	0,05252	0,04952	0,04548	0,04058	0,03501	0,02899	0,02274	0,01651	0,01050	0,00494
0,30	0,05270	0,05210	0,05032	0,04744	0,04358	0,03888	0,03355	0,02777	0,02179	0,01581	0,01006	0,00474
0,35	0,04998	0,04941	0,04773	0,04500	0,04133	0,03688	0,03182	0,02634	0,02067	0,01500	0,00954	0,00449
0,40	0,04691	0,04640	0,04482	0,04226	0,03882	0,03464	0,02988	0,02474	0,01941	0,01409	0,00896	0,00422
0,45	0,04363	0,04314	0,04167	0,03929	0,03609	0,03220	0,02778	0,02300	0,01804	0,01310	0,00833	0,00392
0,50	0,04012	0,03967	0,03832	0,03612	0,03318	0,02961	0,02554	0,02115	0,01659	0,01204	0,00766	0,00361
0,55	0,03645	0,03603	0,03480	0,03281	0,03014	0,02689	0,02320	0,01921	0,01507	0,01094	0,00696	0,00328
0,60	0,03264	0,03227	0,03117	0,02938	0,02699	0,02408	0,02078	0,01720	0,01350	0,00960	0,00623	0,00293
0,65	0,02873	0,02840	0,02743	0,02586	0,02376	0,02120	0,01829	0,01514	0,01188	0,00862	0,00549	0,00258
0,70	0,02474	0,02446	0,02362	0,02227	0,02046	0,01826	0,01575	0,01304	0,01023	0,00742	0,00472	0,00222
0,75	0,02069	0,02046	0,01976	0,01863	0,01711	0,01527	0,01317	0,01091	0,00856	0,00621	0,00395	0,00186
0,80	0,01660	0,01641	0,01585	0,01494	0,01373	0,01225	0,01057	0,00875	0,00686	0,00498	0,00317	0,00149
0,85	0,01247	0,01233	0,01191	0,01123	0,01031	0,00920	0,00794	0,00657	0,00516	0,00374	0,00238	0,00112
0,90	0,00833	0,00823	0,00795	0,00750	0,00688	0,00614	0,00530	0,00439	0,00344	0,00250	0,00159	0,00075
0,95	0,00415	0,00412	0,00398	0,00375	0,00344	0,00307	0,00265	0,00220	0,00172	0,00125	0,00080	0,00037
1,00	0,00000	0,00000	0,00000	0,00000	0,00000	0,00000	0,00000	0,00000	0,00000	0,00000	0,00000	0,00000

При $\varphi = 180^\circ$ для всех значений p коэффициент $K_r = 0$.

Таблица 21

p	K_1	K_2	p	K_1	K_2
0,00	0,66667	0,05556	0,55	0,54839	0,08099
0,05	0,65079	0,06059	0,60	0,54167	0,08160
0,10	0,63636	0,06474	0,65	0,53535	0,08208
0,15	0,62318	0,06816	0,70	0,52941	0,08247
0,20	0,61111	0,07099	0,75	0,52381	0,08277
0,25	0,60000	0,07333	0,80	0,51852	0,08299
0,30	0,58974	0,07528	0,85	0,51351	0,08315
0,35	0,58025	0,07689	0,90	0,50877	0,08326
0,40	0,57143	0,07823	0,95	0,50427	0,08332
0,45	0,56322	0,07934	1,00	0,50000	0,08333
0,50	0,55556	0,08025			

Таблица 22

Коэффициент K_1

p	$n = 0$	$n = 0,1$	$n = 0,2$	$n = 0,3$	$n = 0,4$	$n = 0,5$	$n = 0,6$
0,0	0,00000	0,00000	0,00000	0,00000	0,00000	0,00000	0,00000
0,1		0,05872	0,10478	0,13200	0,15180	0,16689	0,17849
0,2			0,16350	0,23677	0,28379	0,31869	0,34538
0,3				0,29550	0,38857	0,45068	0,49717
0,4					0,44730	0,55546	0,62917
0,5						0,61418	0,73395
0,6							0,79267
p	$n = 0,7$	$n = 0,8$	$n = 0,9$	$n = 1,0$	$n = 1,1$	$n = 1,2$	$n = 1,3$
0,0	0,00000	0,00000	0,00000	0,00000	0,00000	0,00000	0,00000
0,1	0,18725	0,19356	0,19765	0,19967	0,19967	0,19765	0,19356
0,2	0,36574	0,38080	0,39121	0,39732	0,39933	0,39732	0,39121
0,3	0,53263	0,55929	0,57846	0,59087	0,59698	0,59698	0,59087
0,4	0,68442	0,72618	0,75694	0,77812	0,79054	0,79463	0,79054
0,5	0,81642	0,87798	0,92383	0,95661	0,97779	0,98819	0,98819
0,6	0,92120	1,00998	1,07563	1,12350	1,15628	1,17544	1,18175
0,7	0,97992	1,11465	1,20763	1,27530	1,32317	1,35393	1,36900
0,8		1,17348	1,31240	1,40730	1,47496	1,52082	1,54748
0,9			1,37113	1,51207	1,60696	1,67261	1,71438
1,0				1,57080	1,71174	1,80461	1,86617
1,1					1,77046	1,90939	1,99817
1,2						1,96811	2,10294
1,3							2,16167
p	$n = 1,4$	$n = 1,5$	$n = 1,6$	$n = 1,7$	$n = 1,8$	$n = 1,9$	$n = 2,0$
0,0	0,00000	0,00000	0,00000	0,00000	0,00000	0,00000	0,00000
0,1	0,18725	0,17849	0,16689	0,15180	0,13200	0,10478	0,05872
0,2	0,38080	0,36574	0,34538	0,31869	0,28379	0,23677	0,16350
0,3	0,57846	0,55929	0,53263	0,49717	0,45068	0,38857	0,29550
0,4	0,77812	0,75694	0,72618	0,68442	0,62917	0,55546	0,44730
0,5	0,97779	0,95661	0,92383	0,87798	0,81642	0,73395	0,61418
0,6	1,17544	1,15628	1,12350	1,07563	1,00998	0,92120	0,79267
0,7	1,36900	1,35393	1,32317	1,27530	1,20763	1,11475	0,97992
0,8	1,55624	1,54748	1,52082	1,47496	1,40730	1,31240	1,17348
0,9	1,73473	1,73473	1,71438	1,67261	1,60696	1,51207	1,37113
1,0	1,90162	1,91322	1,90162	1,86617	1,80461	1,71174	1,57080
1,1	2,05342	2,08011	2,08011	2,05342	1,99817	1,90939	1,77046
1,2	2,18542	2,23191	2,24700	2,23191	2,18542	2,10294	1,96811
1,3	2,29019	2,36391	2,39880	2,39880	2,36391	2,29019	2,16167
1,4	2,34892	2,46868	2,53080	2,55059	2,53080	2,46868	2,34892
1,5		2,52741	2,63557	2,68259	2,68259	2,63557	2,52741
1,6			2,69430	2,78737	2,81459	2,78737	2,69430
1,7				2,84609	2,91936	2,91936	2,84609
1,8					2,97809	3,02414	2,97809
1,9						3,08287	3,08287
2,0							3,14159

Продолжение табл. 22

Коэффициент K_4

p	$n = 0$	$n = 0,1$	$n = 0,2$	$n = 0,3$	$n = 0,4$	$n = 0,5$	$n = 0,6$
0,0	0,00000	0,06333	0,12000	0,17000	0,21333	0,25000	0,28000
0,1		0,03846	0,09369	0,14627	0,19263	0,23246	0,26570
0,2			0,07385	0,12300	0,17107	0,21349	0,24963
0,3				0,10620	0,15020	0,19380	0,23223
0,4					0,13553	0,17492	0,21420
0,5						0,16187	0,19700
0,6							0,18525
p	$n = 0,7$	$n = 0,8$	$n = 0,9$	$n = 1,0$	$n = 1,1$	$n = 1,2$	$n = 1,3$
0,0	0,30333	0,32000	0,33000	0,33333	0,33000	0,32000	0,30333
0,1	0,29230	0,31226	0,32557	0,33222	0,33222	0,32557	0,31226
0,2	0,27932	0,30244	0,31898	0,32891	0,33222	0,32891	0,31898
0,3	0,26464	0,29072	0,31035	0,32346	0,33002	0,33002	0,32346
0,4	0,24867	0,27733	0,29982	0,31596	0,32567	0,32891	0,32567
0,5	0,23211	0,26268	0,28765	0,30658	0,31928	0,32565	0,32565
0,6	0,21637	0,24747	0,27424	0,29557	0,31101	0,32034	0,32346
0,7	0,20571	0,23302	0,26025	0,28332	0,30110	0,31313	0,31920
0,8		0,22328	0,24696	0,27045	0,28994	0,30428	0,31303
0,9			0,23803	0,25822	0,27814	0,29415	0,30518
1,0				0,25000	0,26685	0,28333	0,29603
1,1					0,25927	0,27293	0,28614
1,2						0,26593	0,27655
1,3							0,27008
p	$n = 1,4$	$n = 1,5$	$n = 1,6$	$n = 1,7$	$n = 1,8$	$n = 1,9$	$n = 2,0$
0,0	0,28000	0,25000	0,21333	0,17000	0,12000	0,06333	0,00000
0,1	0,29230	0,26570	0,23246	0,19263	0,14627	0,09369	0,03846
0,2	0,30244	0,27932	0,24964	0,21349	0,17107	0,12301	0,07385
0,3	0,31035	0,29072	0,26464	0,23223	0,19380	0,15020	0,10620
0,4	0,31596	0,29982	0,27733	0,24867	0,21420	0,17492	0,13553
0,5	0,31928	0,30658	0,28765	0,26268	0,23211	0,19699	0,16187
0,6	0,32034	0,31101	0,29557	0,27424	0,24747	0,21636	0,18525
0,7	0,31920	0,31313	0,30110	0,28332	0,26025	0,23302	0,20571
0,8	0,31596	0,31302	0,30428	0,28994	0,27046	0,24696	0,22328
0,9	0,31078	0,31079	0,30518	0,29415	0,27814	0,25822	0,23803
1,0	0,30391	0,30658	0,30391	0,29602	0,28333	0,26685	0,25000
1,1	0,29568	0,30064	0,30064	0,29568	0,28614	0,27293	0,25927
1,2	0,28666	0,29329	0,29557	0,29329	0,28666	0,27655	0,26593
1,3	0,27783	0,28508	0,28906	0,28906	0,28508	0,27784	0,27008
1,4	0,27185	0,27696	0,28161	0,28332	0,28161	0,27696	0,27185
1,5		0,27142	0,27414	0,27658	0,27658	0,27414	0,27142
1,6			0,26900	0,26970	0,27046	0,26970	0,26900
1,7				0,26493	0,26412	0,26412	0,26493
1,8					0,25967	0,25822	0,25967
1,9						0,25403	0,25403
2,0							0,25000

Таблица 23

p	K_1	K_2	K_3	K_4
0,00	1,04720	0,75000	0,03750	0,15000
0,05	1,04706	0,74997	0,03750	0,15001
0,10	1,04615	0,74977	0,03749	0,15014
0,15	1,04366	0,74928	0,03747	0,15049
0,20	1,03881	0,74838	0,03746	0,15116
0,25	1,03083	0,74702	0,03749	0,15223
0,30	1,01892	0,74514	0,03757	0,15378
0,35	1,00229	0,74272	0,03774	0,15589
0,40	0,98017	0,73974	0,03801	0,15861
0,45	0,95177	0,73621	0,03841	0,16199
0,50	0,91630	0,73214	0,03897	0,16607
0,55	0,87297	0,72754	0,03969	0,17088
0,60	0,82100	0,72244	0,04060	0,17644
0,65	0,75961	0,71687	0,04170	0,18279
0,70	0,68800	0,71084	0,04301	0,18993
0,75	0,60541	0,70439	0,04454	0,19788
0,80	0,51103	0,69754	0,04629	0,20665
0,85	0,40408	0,69031	0,04826	0,21624
0,90	0,28379	0,68274	0,05046	0,22666
0,95	0,14935	0,67485	0,05289	0,23485
1,00	0,00000	0,66667	0,05556	0,25000

Таблица 24

Для $R \leq A$

Для $R \geq A$

p	K_1	K_3	K_4	p'	K'_1	K'_3	K'_4
0,00	0,00000	0,08333	0,00000	0,00	3,14159	0,25000	0,25000
0,05	0,10785	0,09706	0,00082	0,05	3,24159	0,26346	0,25257
0,10	0,23142	0,11206	0,00322	0,10	3,34159	0,27733	0,25499
0,15	0,37068	0,12833	0,00714	0,15	3,44159	0,29162	0,25726
0,20	0,52566	0,14586	0,01254	0,20	3,54159	0,30631	0,25941
0,25	0,69635	0,16465	0,01936	0,25	3,64159	0,32140	0,26144
0,30	0,88274	0,18470	0,02760	0,30	3,74159	0,33691	0,26336
0,35	1,08484	0,20602	0,03721	0,35	3,84159	0,35283	0,26518
0,40	1,30265	0,23370	0,04819	0,40	3,94159	0,36916	0,26691
0,45	1,53617	0,25290	0,06051	0,45	4,04159	0,38589	0,26856
0,50	1,78540	0,27749	0,07417	0,50	4,14159	0,40304	0,27012
0,55	2,05033	0,30383	0,08915	0,55	4,24159	0,42061	0,27161
0,60	2,33097	0,33142	0,10544	0,60	4,34159	0,43858	0,27303
0,65	2,62732	0,36026	0,12305	0,65	4,44159	0,45697	0,27439
0,70	2,93938	0,39036	0,14195	0,70	4,54159	0,47577	0,27569
0,75	3,26714	0,42170	0,16215	0,75	4,64159	0,49298	0,27693
0,80	3,61062	0,45247	0,18363	0,80	4,74159	0,51461	0,27812
0,85	3,96980	0,48817	0,20641	0,85	4,84159	0,53464	0,27926
0,90	4,34469	0,52673	0,23046	0,90	4,94159	0,55510	0,28035
0,95	4,73529	0,55964	0,25580	0,95	5,04159	0,57596	0,28140
1,00	5,14159	0,59725	0,28242	1,00	5,14159	0,59725	0,28242

ИБ № 984

МИХАИЛ ВЛАДИМИРОВИЧ ФАВОРИН
МОМЕНТЫ ИНЕРЦИИ ТЕЛ

Редактор издательства Акчурина З. З.

Технические редакторы: А. Ф. Уварова, Л. Т. Зубко

Корректоры:

Ц. И. Будницкая, В. А. Воробьева, Л. Я. Шабашова

Переплет художника А. Я. Михайлова

Сдано в набор 21/III 1977 г. Подписано к печати 11/XI 1977 г.

Т-16272 Формат 60×90¹/₁₆ Бумага типографская № 1

Усл. печ. л. 32,0 Уч.-изд. л. 32,6 Тираж 13 000 экз.

Заказ 73 Цена 1 р. 90 к.

Издательство «Машиностроение», 107885, Москва, Б-78,
1-й Басманный пер., 3

Ленинградская типография № 6 Союзполиграфпрома
при Государственном комитете Совета Министров СССР
по делам издательств, полиграфии и книжной торговли
193144, Ленинград, С-144, ул. Моисеенко, 10

1 р. 90 к.



«МАШИНОСТРОЕНИЕ»